

أحمد فيزار

(أستاذ مساعد مكلف، بالدروس)

# دفتر

الكهرباء و المغناطيسية

L.M.D / PHYSIQUE-2-/ 1

(الطبعة العربية)

دروس مبسطة

80 تمرين محلول

(النصوص باللغتين العربية و الفرنسية)

معجم المصطلحات العلمية

(عربي-فرنسي، فرنسي-عربي)

موجه لطلبة السنة أولى من التعليم العالي

L.M.D 1

علم المادة و العلوم التكنولوجية

**معجم المصطلحات**  
**Français-Arabe \* / فرنسي-عربي II**

| Français             | عربیة            |
|----------------------|------------------|
|                      |                  |
|                      | <b>A</b>         |
| <b>Absolu</b>        | مطلق             |
| <b>Actif</b>         | نشط              |
| <b>Algébrique</b>    | جبري             |
| <b>Alliage</b>       | فرز ، خليط معدني |
| <b>Angle</b>         | زاوية            |
| <b>Association</b>   | ضم أو جمع أو ربط |
| <b>Atome</b>         | ذرة              |
| <b>Attraction</b>    | تجاذب            |
|                      | <b>B</b>         |
| <b>Barreau</b>       | قضيب             |
| <b>Branche</b>       | فرع              |
| <b>Balance</b>       | ميزان            |
|                      | <b>C</b>         |
| <b>Capacité</b>      | سعة              |
| <b>Cartésien</b>     | كارتيزي          |
| <b>Champ</b>         | حق               |
| <b>Charge</b>        | شحنة             |
| <b>Circuit</b>       | دارة             |
| <b>Circulation</b>   | تجوال ، تجوّل    |
| <b>Circulaire</b>    | دائرى            |
| <b>Coefficient</b>   | معامل            |
| <b>colinéaire</b>    | متواافق خطيا     |
| <b>Conducteur</b>    | ناقل             |
| <b>Conductivité</b>  | ناقصية           |
| <b>Conservatif</b>   | محافظ            |
| <b>conservation</b>  | إنفاذ            |
| <b>Constant</b>      | ثابت             |
| <b>Continu</b>       | مستمر            |
| <b>Convention</b>    | مصطلح            |
| <b>Coordonnée</b>    | إحداثية          |
| <b>Correspondant</b> | متناسب           |
| <b>Couple</b>        | مزدوجة           |
| <b>Courant</b>       | تيار             |
| <b>Courbe</b>        | منحنى            |

|                      |                             |
|----------------------|-----------------------------|
| Cylindre             | أسطوانة                     |
| Cylindrique          | أسطواني                     |
| <b>D</b>             |                             |
| d.d.p ou tension     | فرق الكمون ، توتر           |
| Densité              | كثافة                       |
| Dérivé               | مشتق                        |
| Différentiel         | تفاضل                       |
| Dipôle               | ثنائي قطب                   |
| Discontinu           | متقطع                       |
| Disque               | قرص                         |
| Distance             | مسافة ، بعد                 |
| Divergence           | تباعد                       |
| <b>E</b>             |                             |
| Effet                | مفعول ، فعل                 |
| Electricité          | كهرباء                      |
| Electrisation        | تكهرب                       |
| Electromagnétisme    | الكهربومغناطيسيّة           |
| Electromagnétique    | كهربومغناطيسي               |
| Electrostatique      | الكهرباء الساكنة ، كهروساكن |
| Elément              | عنصر                        |
| Elémentaire          | عنصرية                      |
| Energie              | طاقة                        |
| Equation             | معادلة                      |
| Equilibre            | توازن                       |
| Equipotentiel        | متساوي الكمون               |
| Espace               | فضاء ، فراغ                 |
| <b>F</b>             |                             |
| Farad                | فاراد                       |
| Fermé                | مغلق                        |
| Fil                  | سلك ، خيط                   |
| Flux                 | تدفق                        |
| Force électromotrice | قوة محركة كهربائية          |
| Forme                | شكل                         |
| <b>G</b>             |                             |
| Générateur           | مولد ، منبع                 |
| Gradient             | تدرج                        |
| Grandeur             | مقدار                       |
| Groupement           | جمع ، ضم ، ربط              |
| <b>I</b>             |                             |
| inducteur            | محرض                        |
| Induction            | تحريض                       |

|                          |                 |
|--------------------------|-----------------|
| <b>Induit</b>            | مترض            |
| <b>Infini</b>            | لامتناهي        |
| <b>Influence</b>         | تأثير           |
| <b>Intégrale</b>         | تكامل           |
| <b>Intensité</b>         | شدة             |
| <b>Ion</b>               | شاردة ، أيون    |
| <b>Isolant</b>           | عازل            |
| <b>Jonction</b>          | توصيل ، وصلة    |
| <b>L</b>                 |                 |
| <b>Laplacien</b>         | لابلاسيان       |
| <b>Ligne</b>             | خط              |
| <b>Linéaire</b>          | خطي ، مستقيم    |
| <b>Linéique</b>          | خطي ، طولي      |
| <b>longueur</b>          | طول             |
| <b>M</b>                 |                 |
| <b>Magnétique</b>        | مغناطيسي        |
| <b>Maille</b>            | عروة            |
| <b>Masse</b>             | كتلة            |
| <b>Molécule</b>          | جزيء            |
| <b>Moment</b>            | عزم             |
| <b>N</b>                 |                 |
| <b>Négatif</b>           | سلبي            |
| <b>Noeud</b>             | عقدة            |
| <b>Notion</b>            | مفهوم           |
| <b>Noyau</b>             | نواة            |
| <b>Nucléon</b>           | نوكليون         |
| <b>Nul</b>               | معدوم           |
| <b>O</b>                 |                 |
| <b>Opérateur</b>         | مؤثر            |
| <b>Ordre de grandeur</b> | رتبة            |
| <b>P</b>                 |                 |
| <b>parallèle</b>         | موازي ، توازي   |
| <b>Particule</b>         | جسيمة           |
| <b>Partiel</b>           | جزئي            |
| <b>Passif</b>            | خامل            |
| <b>Permittivité</b>      | سماحية ، نفاذية |
| <b>Plaque</b>            | صفحة            |
| <b>Pointe</b>            | رأس حاد         |
| <b>Polaire</b>           | قطبي            |
| <b>Ponctuel</b>          | نقطي            |
| <b>Positif</b>           | موجب            |

|                        |                      |
|------------------------|----------------------|
| Potentiel              | كمون                 |
| Pouvoir                | قدرة                 |
| Pression               | ضغط                  |
| Principe               | مبدأ                 |
| Propre                 | ذاتية                |
| Propriété              | خصائص                |
| <b>Q</b>               |                      |
| Qualitatif             | كيفي                 |
| Quanta                 | كم                   |
| Quantification         | تمكيم                |
| Quantitatif            | كمي                  |
| Quark                  | كوارك                |
| <b>R</b>               |                      |
| Règle                  | قاعدة                |
| Répartition            | توزيع                |
| Répulsion              | تنافر                |
| Réseau                 | شبكة                 |
| Résistivité            | مقاومة               |
| <b>S</b>               |                      |
| Scalaire               | سلمي                 |
| Série                  | تسلسل                |
| Solide                 | صلب                  |
| Source                 | منبع ، مولد          |
| Spectre                | طيف                  |
| Sphère                 | كرة                  |
| Sphérique              | كرولي                |
| Stéradian              | ستيراديان            |
| Superposition          | تراكب                |
| Supraconducteur        | فائق الناقلية        |
| Surface                | سطح ، مساحة          |
| Surfacique,superficiel | سطحى                 |
| <b>T</b>               |                      |
| Tension, d.d.p         | توتر ، فرق في الكمون |
| Théorème               | نظريّة               |
| Total                  | كلي                  |
| Tube                   | أنبوب                |
| <b>U</b>               |                      |
| Uniforme               | منتظم                |
| <b>V</b>               |                      |
| Variation              | تغير                 |
| Vecteur                | شعاع                 |

|                  |       |
|------------------|-------|
| <b>Vectoriel</b> | شعاعي |
| <b>Vide</b>      | فراغ  |
| <b>Volume</b>    | حجم   |
| <b>Volumique</b> | حجمي  |

AFIZAZI - Univ-BECHAR

## معجم المصطلحات LEXIQUE Arabe-Français\* /I

| Français              | عربیة                       |
|-----------------------|-----------------------------|
|                       |                             |
| ا                     |                             |
| Coordonnée            | إحداثية                     |
| Conservation          | إنفاذ                       |
| Cylindre              | أسطوانة                     |
| Cylindrique           | أسطواني                     |
| Convention            | اصطلاح                      |
| Electrostatique       | الكهرباء الساکنة ، كهروساکن |
| Electrocinétique      | الكهرباء المتحركة           |
| Tube                  | أنبوب                       |
| ت                     |                             |
| Influence             | تأثير                       |
| Divergence            | تباعد                       |
| Induction             | تحريض                       |
| Attraction            | تجاذب                       |
| Circulation           | تجوال ، تجول                |
| Gradient              | تدرج                        |
| Flux                  | تدفق                        |
| Superposition         | ترابك                       |
| Série                 | سلسل                        |
| Variation             | تغير                        |
| Différentielle        | تفاضل                       |
| Parallèle, dérivation | تفرع ، توازي                |
| Intégrale             | تكامل                       |
| Quantification        | تمكيم                       |
| Electrisation         | تكهرب                       |
| Répulsion             | تنافر                       |
| Courant               | تيار                        |
| Equilibre             | توازن                       |
| Parallèle, dérivation | توازي ، تفرع                |
| Tension, d.d.p        | توتر ، فرق في الكمون        |
| Répartition           | توزيع                       |
| Jonction              | توصيل ، وصلة                |
| ث                     |                             |
| Constante             | ثابت                        |
| Dipôle                | ثنائي قطب                   |

| ج   |                 |
|---|-----------------|
| Algébrique  | جبري            |
| Partiel   | جزئي            |
| Molécule  | جزيء            |
| Particule   | جسيمة           |
| Groupement,association  | جمع ، ضم ، ربط  |
| ح   |                 |
| Champ   | حق              |
| خ   |                 |
| Passif  | خامل            |
| Propriétés  | خصائص           |
| Ligne   | خط              |
| linéaire  | خطي ، مستقيم    |
| Linéique  | خطي ، طولي      |
| د   |                 |
| Circuit   | دارة            |
| Circulaire  | دائري           |
| ذ   |                 |
| Propre  | ذاتية           |
| Atome   | ذرة             |
| ر   |                 |
| Pointe  | رأس حاد         |
| Ordre de grandeur   | رتبة            |
| ز   |                 |
| angle  | زاوية           |
| س   |                 |
| Stéradian   | ستيرadian       |
| Surface   | سطح ، مساحة     |
| Surfacique  | سطحى            |
| Négatif   | سلبى            |
| Fil   | سلك ، خيط       |
| Scalaire  | سلمي            |
| Permittivité  | سماحية ، نفاذية |
| ش   |                 |
| Ion   | شاردة ، أيون    |
| Réseau  | شبكة            |
| Charge  | شحنة            |
| Intensité   | شدة             |
| Forme   | شكل             |
| ص   |                 |
| Plaque  | صفحة            |

|                               |                    |
|-------------------------------|--------------------|
| <b>Solide</b>                 | صلب                |
| <b>Pression</b>               | ضغط                |
| <b>Groupement,association</b> | ضم أو جمع أو ربط   |
| <b>ط</b>                      |                    |
| <b>Energie</b>                | طاقة               |
| <b>Longueur</b>               | طول                |
| <b>Linéique</b>               | طولي ، خطى         |
| <b>Spectre</b>                | طيف                |
| <b>ع</b>                      |                    |
| <b>Isolant</b>                | عزل                |
| <b>Maille</b>                 | عروة               |
| <b>Moment</b>                 | عزم                |
| <b>Noeud</b>                  | عقدة               |
| <b>Elément</b>                | عنصر               |
| <b>Elémentaire</b>            | عنصري              |
| <b>ف</b>                      |                    |
| <b>Farad</b>                  | فاراد              |
| <b>supraconducteur</b>        | فائق الناقالية     |
| <b>Alliage</b>                | فرز ، خليط معدني   |
| <b>d.d.p , tension</b>        | فرق الكمون ، توتر  |
| <b>Effet</b>                  | فعل ، مفعول        |
| <b>Espace</b>                 | فضاء ، فراغ        |
| <b>ق</b>                      |                    |
| <b>Règle</b>                  | قاعدة              |
| <b>Pouvoir</b>                | قدرة               |
| <b>Disque</b>                 | قرص                |
| <b>Barreau</b>                | قضيب               |
| <b>Polaire</b>                | قطبي               |
| <b>Force électromotrice</b>   | قوة محركة كهربائية |
| <b>ك</b>                      |                    |
| <b>Cartésien</b>              | كارتيزي            |
| <b>Masse</b>                  | كتلة               |
| <b>Densité</b>                | كثافة              |
| <b>Sphère</b>                 | كرة                |
| <b>Sphérique</b>              | كروي               |
| <b>Total</b>                  | كلي                |
| <b>Quanta</b>                 | كم                 |
| <b>Potentiel</b>              | كمون               |
| <b>Quantitatif</b>            | كمي                |
| <b>Electricité</b>            | كهرباء             |
| <b>Electromagnétique</b>      | كهرومغناطيسي       |

|                           |               |
|---------------------------|---------------|
| <b>Electromagnétisme</b>  | كهرومغناطيسية |
| <b>Quark</b>              | كوارك         |
| <b>Qualitatif</b>         | كيفي          |
| ل                         |               |
| <b>Laplacien</b>          | لابلاسيان     |
| <b>Infini</b>             | لامتناهي      |
| م                         |               |
| <b>Opérateur</b>          | مؤثر          |
| <b>Principe</b>           | مبدأ          |
| <b>Inducteur</b>          | محرّض         |
| <b>Induit</b>             | متحرّض        |
| <b>Equipotentiel</b>      | متساوي الكمون |
| <b>Discontinu</b>         | متقطع         |
| <b>Correspondant</b>      | متناسب        |
| <b>colinéaire</b>         | متوافق خطياً  |
| <b>Conservatif</b>        | محافظ         |
| <b>Couple</b>             | مزدوجة        |
| <b>Effet</b>              | مفعول ، فعل   |
| <b>Distance</b>           | مسافة ، بعد   |
| <b>Continu</b>            | مستمر         |
| <b>Dérivé</b>             | مشتق          |
| <b>Absolu</b>             | مطلق          |
| <b>Equation</b>           | معادلة        |
| <b>Coefficient</b>        | معامل         |
| <b>Nul</b>                | معدوم         |
| <b>Fermé</b>              | مغلق          |
| <b>Aimant</b>             | مغناطيسي      |
| <b>Magnétique</b>         | مغناطيسي      |
| <b>Notion</b>             | مفهوم         |
| <b>Résistance</b>         | مقاومة        |
| <b>Résistivité</b>        | مقاومة        |
| <b>Grandeur</b>           | مقدار         |
| <b>Condensateur</b>       | مكتفة         |
| <b>Source, générateur</b> | منبع ، مولد   |
| <b>Uniforme</b>           | منتظم         |
| <b>Courbe</b>             | منحنى         |
| <b>Parallèle</b>          | موازي ، توازي |
| <b>Positif</b>            | وجب           |
| <b>Générateur, source</b> | مولد ، منبع   |
| <b>Balance</b>            | ميزان         |
| ن                         |               |

|                     |         |
|---------------------|---------|
| <b>Conducteur</b>   | ناقل    |
| <b>Conductivité</b> | ناقلية  |
| <b>Théorème</b>     | نظرية   |
| <b>Ponctuel</b>     | نقطي    |
| <b>Nucléon</b>      | نوكليون |
| <b>Actif</b>        | نشط     |
| <b>Noyau</b>        | نواة    |

# I/ الكهرباء الساكنة

## ELECTROSTATIQUE

الكهرباء الساكنة هي دراسة الظواهر الناتجة عن الشحنات الكهربائية في حالة السكون.

كلمة **كهرباء** مصطلح للكلمة الفرنسية « *électricité* » و هي بدورها مشتقة من الكلمة اليونانية « *électron* » و التي تعني **عنبر** (ambre) ، حيث لاحظ طاليس من ميلي (Thalès de Milet) المولود بـ إيوني (Ionie) - الساحل الغربي لتركيا الحديثة - و الذي عاش ما بين 625 و 545 قبل الميلاد ، لاحظ انجذاب هشيم التبن إلى قطعة من العنبر الأصفر المدلوك بواسطة الصوف.

### A/ المفاهيم الأساسية:

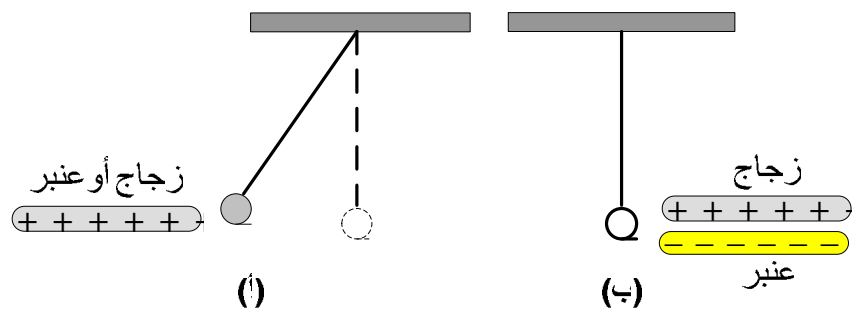
#### 1/ تجارب التكهرب:

إذا قربنا المشط ، بعد عملية المشط ، من قصاصات الورق ، نلاحظ أن القصاصات تتجذب إلى المشط . نفس الظاهرة تحصل عند دلكنا لقضيب من زجاج بواسطة قطعة من حرير أو قضيب من العنبر بواسطة قطعة من الصوف.

❖ **التجربة الأولى:** (الشكل 1.1-أ) نعلق كرية من البوليستيرين و نقرب لها قضيبا من زجاج أو من عنبر بعد ذلك مسبقا: القضيبان بعد ملامستهما الكريمة ينفرانها. و عكس ذلك إذا قربنا القضيبين معا للكرة ، لا شيء يحدث. (الشكل 1.1-أ)

❖ **التجربة الثانية:** (الشكل 2.1) إذا كانت الكريتان مكهربتين بفعل ملامستهما أحد القضيبين المدلوك فإنهما تتفاوتان. و بالعكس فإن الكريتين تتجاذبان إذا كانت كل منهما لامست قضيبا مدلوكا و مصنوعا من مادة مختلفة عن مادة الآخر.

نستنتج من هذه التجارب أن هذه المواد إكتسبت خاصية جديدة نسميها **"تكهرب"**. هذه الخاصية تولد تجاذبا أكثر شدة من التجاذب الكوني الحاصل بين كتلتين.



الشكل 1.1: تجربتان للكهرباء

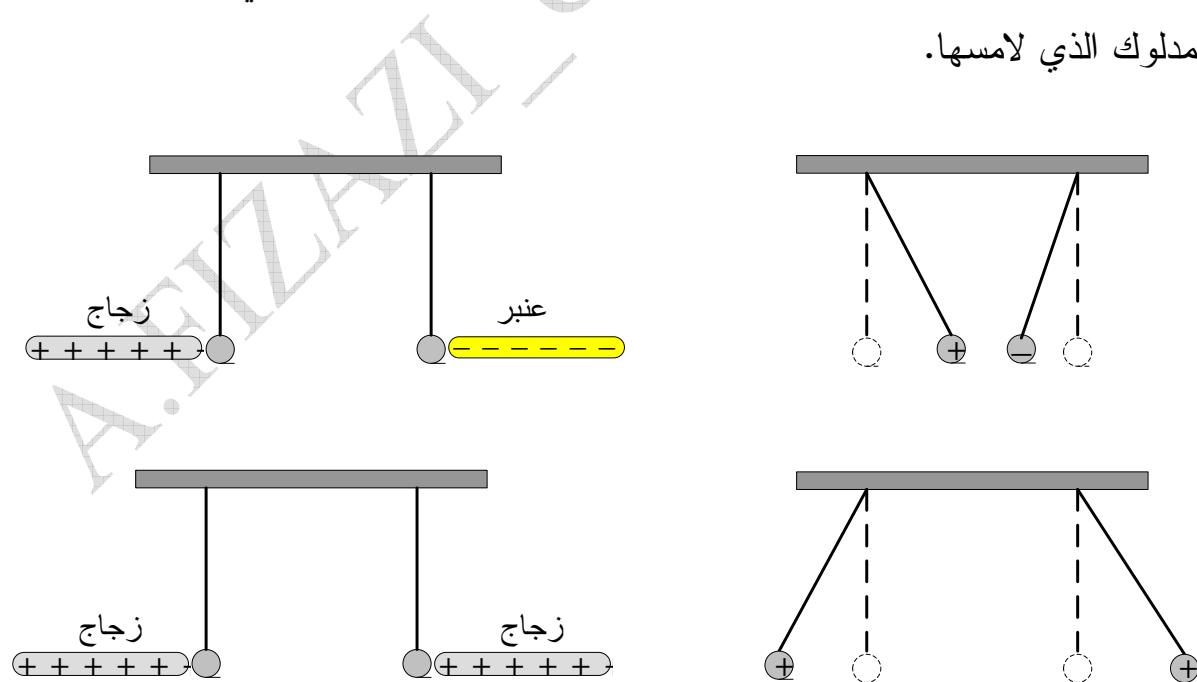
كل جسيمة تتميز أذن بخاصيتيين مستقلتين و أساسيتين:

- كتلتها  $m$
- شحنتها الكهربائية  $q$ .

تظهر تجارب بسيطة مثل التي وصفناها على وجود حالتين للكهرباء و الموافقة لصنفين من الشحن الكهربائية و الموصوفتين بـ شحنة موجبة (+) و شحنة سالبة (-). يرجع هذا التصنيف إلى العالم بنجمين فرنكلان (Benjamin Franklin) (1790-1706).

يتناقض جسمان يحملان شحنة كهربائية من نفس الاسم و يتلازمان إذا كانا يحملان شحتين كهربائيتين من اسمين مختلفين.

حسب الشكل 2.1 فإن كل كرية تتکهرب و تشحن بنفس الشحنة التي يحملها القصيب المدلوك الذي لامسها.



الشكل 2.1: التكهرب ، التجاذب و التناقض بين الشحنات

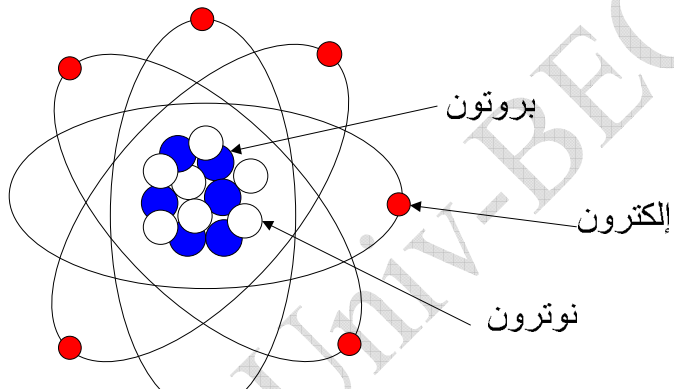
## 2/ الشحنة الأساسية و تكميم الشحنة الكهربائية:

(Charge électrique élémentaire et quantification de la charge électrique)

تجد الخصائص الكهربائية للمادة مبدأها على مستوى الذرة.

ت تكون المادة كما هو معلوم من ذرات . كل ذرة تتكون من نواة (nucleus) (تم اكتشافها سنة 1911 من قبل روثيرفورد Ernest Rutherford of Nelson 1871-1937). تطوف حول النواة سحابة متشكلة من إلكترونات. هذه الإلكترونات تتنافر فيما بينها غير أنها تبقى متوجهة حول النواة. النواة مكونة من بروتونات (protons) تحمل شحنات موجبة و نوترونات (neutrons). (James Chadwick 1891-1935) عديمة الشحنة اكتشفت في 1932 من قبل شادفيك

يطلق على الجسيمات المشكّلة للنواة اسم **النوكلبيونات** (nucléons).



الشكل 3.1: شكل الذرة

إلكترونات و البروتونات تحمل نفس الشحنة الكهربائية بالقيمة المطلقة و نرمز لها  $-e$ . هذه الشحنة الكهربائية تسمى **الشحنة الأساسية أو كم للشحنة الكهربائية**:

$$(1.1) \quad e = 1,602 \cdot 10^{-19} \text{ [A.s = C]}$$

القوى الكهربائية المطبقة بين البروتونات المشحونة إيجاباً و الإلكترونات المشحونة سلباً هي المسئولة عن تماسك الذرات و الجزيئات. الذرات الغير مشردة (أي التي لم تفقد و لم تكسب إلكترونات) شحنتها الإجمالية معروفة.

لا يمكن لشحنة كهربائية أن تأخذ أي قيمة عدية كانت. و بالفعل فإن كل شحنة كهربائية هي **مضاعف طبيعي للشحنة الأساسية**:

$$(2.1) \quad q = \pm n \cdot e \text{ [A.s = C], } n \in \mathbb{N}$$

و هذا يترجم المبدأ الأساسي **لتكميم الشحنة الكهربائية**.

في جملة مغلقة ، المجموع الجبري للشحنات الكهربائية الموجودة ثابت خلال الزمن.

هذا ما ينصّ عليه مبدأ انفاذ الشحنة الكهربائية للجملة المغلقة.

في الحقيقة أثبتت الدراسة الدقيقة لفيزياء الطاقات العليا أن البروتونات و النوترات تتكون من جسيمات أساسية أخرى و تدعى **كورك** (quark). غير أنه ، و حتى يومنا هذا ، لم يتمكن العلماء من عزلها ، و هي تحمل جزءا من الشحنة الأساسية نكتفي بذكر نوعين:

$$(u = +\frac{2}{3}e, d = -\frac{1}{3}e)$$

**مثال 1.1:** أحسب عدد الشحنات الأساسية المشكلة لشحنة مقدارها 1 كولومب.

$$\text{الجواب: } n = \frac{1}{1,60 \cdot 10^{-19}} = 625 \cdot 10^{16} \text{ شحنة أساسية.}$$

### 3 / النواقل والعوازل: (conducteurs et isolants)

ت تكون أي مادة من عدد كبير من الشحنات الكهربائية ، غير أن هذه الشحنات تتكافأ و تتعذر (عدد الإلكترونات = عدد البروتونات) . في درجة الحرارة العادية ، تكون الشحنة الكهربائية للمادة معروفة. حين تحصل عملية تكهرب هذا يعني حدوث انتقال شحنات من جسم إلى آخر.

هذه الشحنة التي تظهر على الجسم بالزيادة أو بالنقصان هي المسؤولة عن الأفعال الكهربائية التي تظهر على هذا الجسم (مثل القصيب المدلوك).

في ذرة ، تطفو الإلكترونات حول النواة وفق مدارات متباعدة. إلكترونات الطبقات الخارجية و القابلة للتحرر يمكنها المشاركة في الناقلة الكهربائية.

إذا كانت الطبقة الأخيرة لذرة عنصر كيميائي فريبة من التشعب فإنها لن تفقد أي إلكترون ، و إنما تحاول اكتساب إلكترون أو أكثر حتى تتشبع. مثل هذا العنصر يكون **عازل**. و بالعكس إذا كانت الطبقة الخارجية بعيدة عن التشعب ، فإن العنصر يفقد بسهولة إلكترونا أو أكثر. مثل هذا العنصر يكون **ناقلًا** جيداً.

و عليه فإن الناقل الجيد هو عنصر يحتوي على عدد كبير من الإلكترونات الحرة (أي الإلكترونات التي لها حرية الانتقال). و بالمقابل ، فإن العازل هو العنصر الذي يملك عددا قليلا من الإلكترونات الحرة. العازل المثالي هو الذي لا يتتوفر على أي إلكترون حرّ.

بقي أن نشير أن في السوائل حاملات الشحنة المتقللة هي **الشوارد** (ions).

نقول عن جسم أنه ناقل مثالي إذا كان بإمكان حاملات الشحنة - بعد تكهرب الجسم- أن تنتقل بكل حرية في كل الحجم المحتل من قبل المادة . و يكون الجسم عازلاً إذا بقيت حاملات الشحنة في نفس الموضع الذي ظهرت فيه.

#### **4/ تفسير ظاهرة التكهرب (Explication du phénomène d'électrisation)**

كما سبق و أن ذكرنا فإن ذرّات المواد تحتوي في حالتها الطبيعية على عدد متساو من الإلكترونات و البروتونات فتكون معتدلة كهربائيا (غير مشحونة) ، و لا تظهر أي تأثيرات كهربائية. أما إذا اختلف هذا التوازن الطبيعي للشحنات- كأن يزداد عدد الإلكترونات أو ينقص لسبب من الأسباب-تصبح المادة مشحونة كهربائيا. بصورة عامة ، تفسر كل ظواهر التكهرب بانتقال الإلكترونات مع إهمال تغير الكتلة الذي يرافق عملية الانتقال.

فمثلا، الزجاج المدلوك يفقد الإلكترونات فيتكهرب إيجابا. أما البلاستيك المدلوك يكتسب الإلكترونات فيتكهرب سلبا.

#### **B/ قانون كولومب-كافنديش (Loi de Coulomb-Cavendish):**

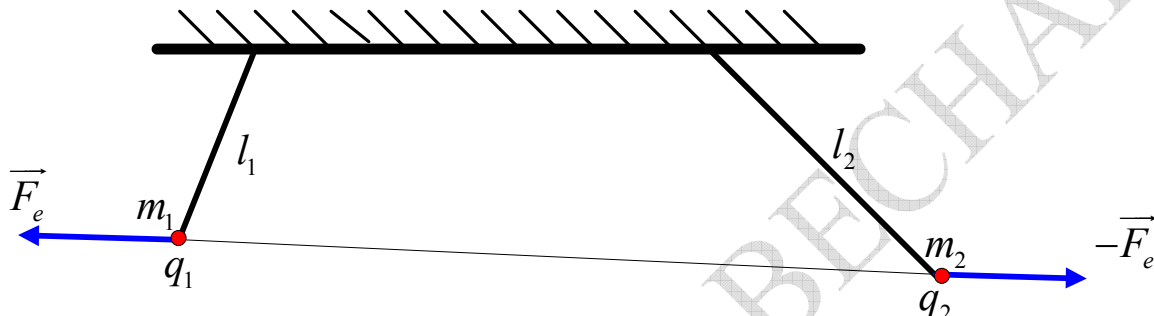
وضع العالم الفرنسي شارل أوغستان دي كولومب (1736-1806) قانونه سنة 1785 غير أن ، و حسب تاريخ العلوم ، فإن هذا القانون كان أول من اكتشفه هو الإنجليزي هنري كافنديش (1731-1810) و بقي مجهولاً بسبب عدم نشره في حينه. ولذا ، و للأمانة العلمية ، يحق تسمية هذا القانون بقانون كافنديش- كولومب. غير أنها نشير إليه في كل ما يتبع بقانون كولومب. (يرى المؤلف أن اسم Coulomb يكتب كولومب ونطقه أقرب للأصل).

#### **1/ الدراسة الكيفية: (Etude qualitative)**

للحصول على قياس كيفي لقوة التجاذب أو التناحر الكهربائية بين جسمين مشحونين يمكن تحقيق التركيب المبين على الشكل (4.1) و الذي يمثل جسيمين نقطتين تحملان شحنتين  $q_1$  و  $q_2$  كتلتاهما على التوالي  $m_1$  و  $m_2$  متبعادتين بالمسافة  $r$ .

من خلال هذا التركيب نبين كيفياً الخصائص الأربع التالية:

- أ/ حامل القوة الكهربائية  $\vec{F}_e$  هو المستقيم المار من الشحتين ،
- ب/ شدة القوة  $\vec{F}_e$  تتناسب عكساً مع مربع المسافة  $r$  الفاصلة بين الشحتين ،
- ج/ القوة تتناسب طرداً مع شحنة كل من الجسيميتين  $q_1$  و  $q_2$  ،
- د/ من أجل مسافة معينة  $r$  بين الجسيميتين فإن شدة  $\vec{F}_e$  مستقلة عن إشارة كل من الشحتين.



الشكل 4.1: تركيب للتأكد من قانون كولومب

## 2/ الدراسة الكمية: (Etude quantitative)

عبارة قانون كولومب: القوة الكهروساكنة التي تؤثر بها الشحنة  $q_1$  على الشحنة  $q_2$  و العكس بالعكس؛ تعطى بالعلاقة التجريبية :

- الشعاعية :

$$(3.1) \quad \vec{u} = \frac{\vec{r}}{r} \quad \text{حيث } \vec{u} \text{ يمثل شعاع الوحدة} \quad \boxed{\vec{F}_e = K \cdot \frac{q_1 \cdot q_2}{r^2} \vec{u} \quad [N]}$$

$$(4.1) \quad \boxed{F_e = K \cdot \frac{|q_1 \cdot q_2|}{r^2} \quad [N]} \quad \text{- السلمية :}$$

في الجملة الدولية الثابت  $K$  يعطى بالعبارة:

$$\cdot \underline{\text{permittivité du vide}} \text{ حيث } K = \frac{1}{4\pi\epsilon_0}$$

القيمة التجريبية لـ  $K$  هي:

$$K \approx 9.10^{+9} \left[ \text{Nm}^2 \text{C}^{-2} \right] \quad K = 8.9875.10^{+9} \left[ \frac{\text{Nm}^2}{\text{C}^2} \right]$$

(5.1)  $\epsilon_0 = 8.8542.10^{-12} \left[ \frac{\text{C}^2}{\text{N.m}^2} \right]$  و منه فإن  $\epsilon_0$  تأخذ القيمة

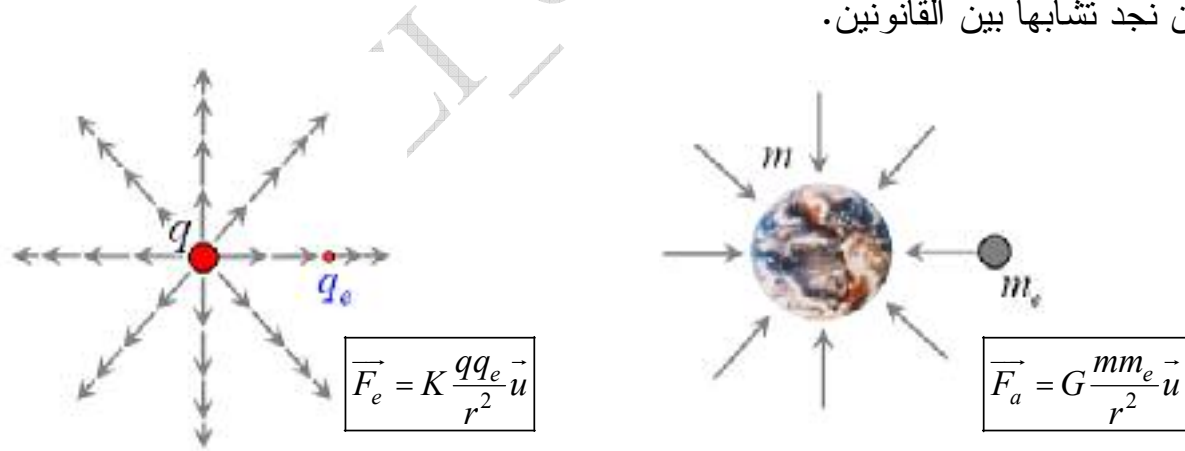
توجد عبارة أخرى لحساب  $\epsilon_0$  هي:  $\epsilon_0 = \frac{1}{4\pi c^2}$  حيث  $c$  يمثل سرعة انتشار الضوء في الفراغ  $c = 3.10^8 \text{ ms}^{-1}$ .

**مناقشة:**

إذا كان :

 $q_1 \cdot q_2 > 0$ : الشحتان لهما نفس الإشارة  $\leftrightarrow$  تناول ،  $\vec{F}_e$  تباعد الشحتين ، $q_1 \cdot q_2 < 0$ : الشحتان مختلفاً بالإشارة  $\leftrightarrow$  تجاذب ،  $\vec{F}_e$  تقارب الشحتين.و حسب مبدأ الفعل و رد الفعل فإن  $\vec{F}_{q_1} = -\vec{F}_{q_2}$ .

نذكرنا عبارة قانون كولومب بعبارة قوة الجذب الكوني (أو العام) التي صادفناها في دروس الميكانيك. باستثناء القيمة العددية للثابت  $K$  ، فإن هذا القانون له بالضبط نفس الخصائص الشعاعية لقوة الجذب الكوني (قانون نيوتن). و لهذا السبب فليس من الغريب أن نجد تشابهاً بين القانونين.



الشكل 5.1 : مقارنة بين قوة الجذب الكوني و القوة الكولومبية

**مثال 2.1:** ما هي النسبة بين قوة الجذب الكوني و التناول الكولومبي بين الإلكترونين؟

$$\frac{F_e}{F_g} = \frac{K \frac{e^2}{r^2}}{G \frac{m_e^2}{r^2}} \Rightarrow \frac{F_e}{F_g} = \frac{K \cdot e^2}{G \cdot m_e^2} ; \quad \frac{F_e}{F_g} \approx 4.10^{42}$$

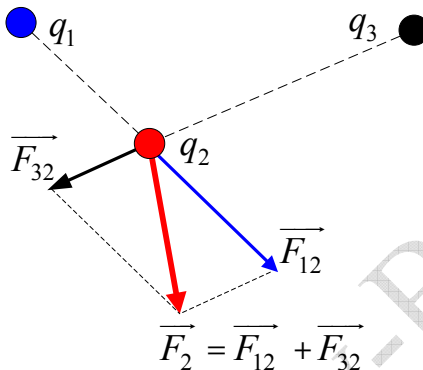
**الجواب:**

**مثال 3.1:** ما هي قوة التناور الكولومبي بين شحنتين من  $1C$  متباعدتين بـ  $1km$ ؟

$$F_e = \frac{1}{4\pi\epsilon_0} \cdot \frac{q^2}{r^2} ; F_e = 9.10^9 \frac{1}{(10^3)^2} ; F_e = 9.10^3 N$$

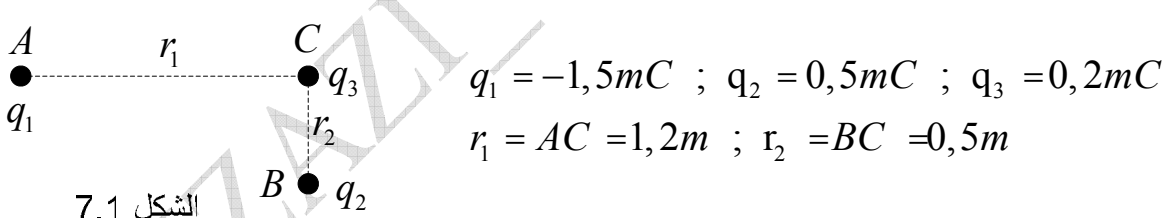
**الجواب:**

**ملاحظة:** في الحالة العامة إذا كان لدينا  $n$  شحنة كهربائية في الفراغ فإن مبدأ التراكب (Principe de superposition) يسمح بالجمع الشعاعي للقوى الكهروساكنة. هذا المبدأ لا يصلح إلا في حالة الشحنات الساكنة فقط !!



الشكل 6.1: مبدأ تراكب القوى

**مثال 4.1:** أحسب شدة المحصلة المؤثرة على الشحنة  $q_3$  انطلاقاً من الشكل (7.1).



**الجواب:** ننظر إلى الشكل 8.1:

بما أن  $0 < q_1 \cdot q_3 < 0$  فإن  $\vec{F}_{13}$  و هي قوة تجاذب،

و بما أن  $0 > q_2 \cdot q_3 > 0$  فإن  $\vec{F}_{23}$  و هي قوة تناور.

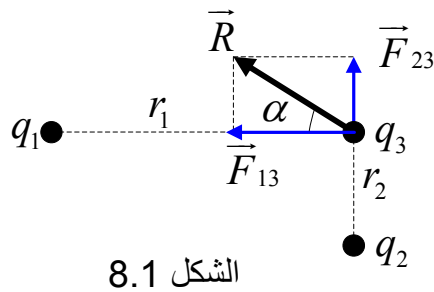
$$\vec{F}_{13} = -K \frac{q_1 q_3}{r_1^2} \vec{u}_1 ; F_{13} = 9.10^9 \frac{1,5 \cdot 10^{-3} \times 0,2 \cdot 10^{-3}}{(1,2)^2} \Rightarrow F_{13} = 1,875 \cdot 10^3 N$$

$$\vec{F}_{23} = K \frac{q_2 q_3}{r_2^2} \vec{u}_2 ; F_{23} = 9.10^9 \frac{0,5 \cdot 10^{-3} \times 0,2 \cdot 10^{-3}}{(0,5)^2} \Rightarrow F_{23} = 3,6 \cdot 10^3 N$$

$$R = \sqrt{F_{13}^2 + F_{23}^2} \Rightarrow R = 4,06 \cdot 10^3 N$$

أما الزاوية التي تصنعها المحصلة  $R$  مع المستقيم  $AC$  فتحسب كما يلي:

$$\tan \alpha = \frac{F_{23}}{F_{13}} ; \tan \alpha = 1,92 \Rightarrow \boxed{\alpha = 62.49^\circ}$$



الشكل 8.1

## C/ الحقل الكهروساكن: (Champ électrostatique)

كون شحتين متجلورتين تتأثران بقوى تجاذب أو تناول ، يجرنا لاعتبار كل شحنة كهربائية تغير الخصائص الفيزيائية للمجال الفضائي المحيط بها. لوصف هذا التغيير فإننا نقول أن كل شحنة كهربائية تولد في المجال الفضائي من حولها حقلًا كهربائيا.

### 1/ مفهوم الحقل الكهربائي: (Notion de champ électrique)

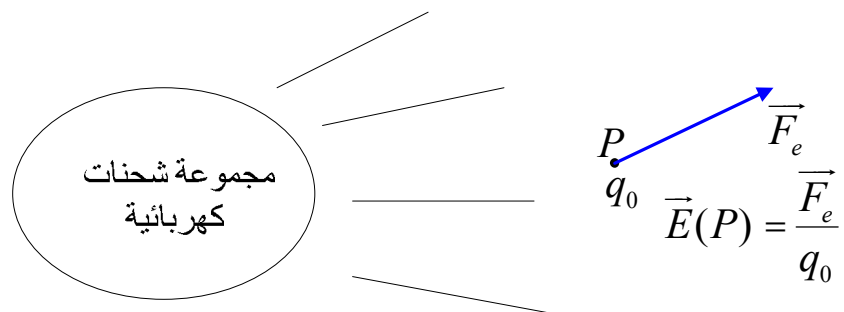
تعريف كيفي: نقول أنه يوجد حقل كهربائي في نقطة معينة من الفضاء إذا أثرت قوة كهروساكنة على شحنة نقطية  $q_0$  موضوعة في تلك النقطة.

تعريف كمي: نسمي الحقل الكهروساكن  $\vec{E}$  ، النسبة بين القوة الكهروساكنة  $\vec{F}_e$  و الشحنة الكهربائية  $q_0$  المتأثرة بالقوة  $\vec{F}_e$ . الشكل 9.1

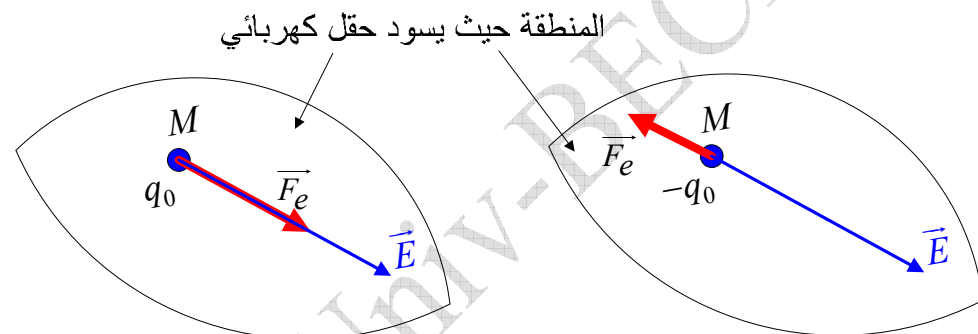
(6.1)

$$\boxed{\vec{E} = \frac{\vec{F}_e}{q_0}}$$

في الجملة الدولية للوحدات نعبر عن الحقل الكهربائي بالفولط على المتر  $Vm^{-1}$ . بما أن  $\vec{E}(M) = \frac{\vec{F}_e}{q_0}$  فإن  $\vec{E}(M)$  لهما نفس الحامل. أما الاتجاه في هذه الحالة فيتعلق بإشارة  $q_0$  أي بالشحنة المتأثرة بالقوة  $\vec{F}_e$ . الشكل 10.1



الشكل 9.1 : الحقل الكهربائي في نقطة من الفضاء



الشكل 10.1 : الحقل الكهربائي الناتج عن شحنة

## 2/ الحقل الكهروساكن الناتج عن شحنة نقطية:

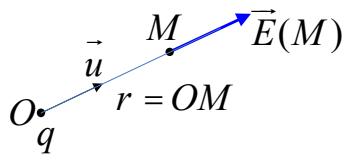
(Champ électrostatique créé par une charge ponctuelle)

**تعريف:** إذا وجدت جسيمة شحنتها  $q$  في النقطة  $O$  فإنها تولد في كل نقطة  $M$  من الفضاء المحيط بها حقولاً شعاعياً يسمى **الحقل الكهروساكن** المعبر عنه بالعبارة:

$$\vec{E}(M) = \frac{\vec{F}_e}{q_M} = \frac{1}{4\pi\epsilon_0} \cdot \frac{q}{r^2} \hat{u} \quad (7.1)$$

: الشحنة **الموجودة** في النقطة  $O$ .

$q_M$ : شحنة افتراضية موضوعة في النقطة  $M$  (ليس لها أي تأثير في حساب الحقل الكهربائي) و هي **المتأثرة** بالقوة  $\vec{F}_e$ .

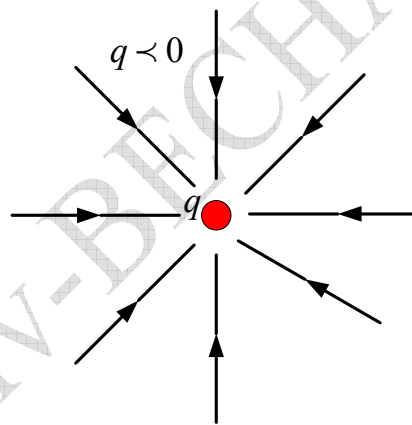
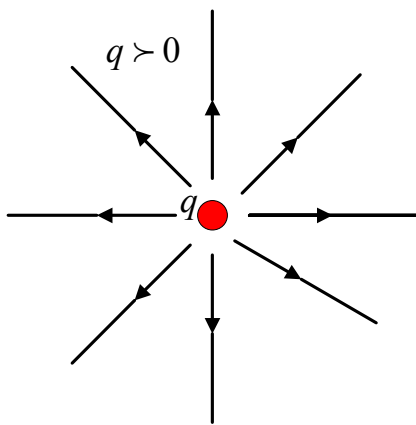


الشكل 11.1: الحقل الكهربائي الناتج عن شحنة نقطية

و باختصار فإن الحقل الكهربائي المتولد عن شحنة نقطية يكون:

- قطرياً : حامله يمر من الشحنة،
- موجهاً نحو الخارج إذا كانت  $q > 0$
- موجهاً نحو الداخل إذا كانت  $q < 0$
- شدته

$$E(M) = \frac{1}{4\pi\epsilon_0} \cdot \frac{|q|}{r^2} \quad (8.1)$$



الشكل 12.1: إتجاه الحقل الكهربائي في حالة شحنة موجبة و في حالة شحنة سالبة

### 3/ الحقل الكهربائي الناتج عن عدة شحنات نقطية:

(Champ électrique créé par un ensemble de charges ponctuelles)

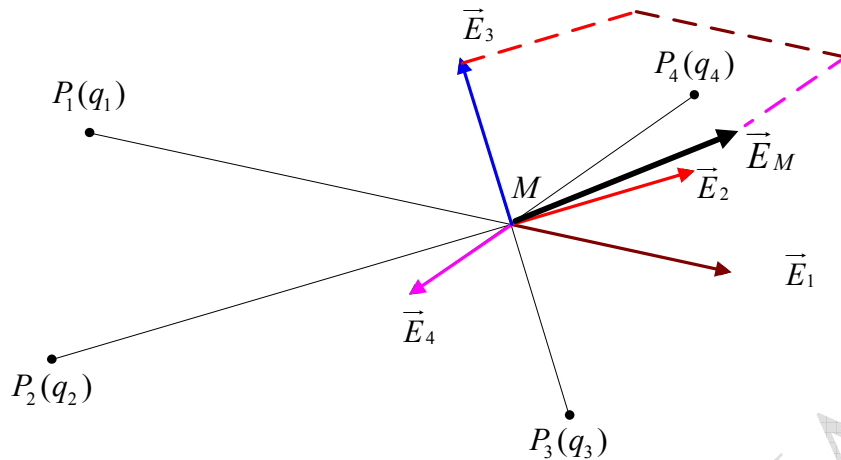
إذا كان لدينا الآن  $n$  جسيمة شحنها الكهربائية  $q_i$  ، الواقعة في النقطة  $P_i$ ، مما هو الحقل الكهروساكن المتولد عن هذه المجموعة من الشحن في نقطة  $M$ ؟

فما هو الشأن بالنسبة للقوى ، فإن مبدأ التراكب صالح كذلك بالنسبة للحقل الكهربائي.

( و بما أنه مبدأ فلا يمكن البرهنة عليه و إنما يجد صحته في التجربة).

و منه فإن:

$$(9.1) \quad \vec{E}(M) = \sum_{i=1}^n \frac{1}{4\pi\epsilon_0} \cdot \frac{q_i \vec{u}_i}{r_i^2}$$



الشكل 13.1 : تراكب الحقول الكهربائية في النقطة  $M$

#### 4/ الحقل الكهربائي الناتج عن توزيع مستمر للشحنة:

(Champ électrique créé par une distribution continue de charges)

في حالة عدد كبير من الشحنات ، يمكن لها أن تكون موزعة توزيعاً مستمراً على استقامة واحدة ، على سطح مستو أو في حجم.

في مثل هذا التوزيع للشحنة فإن مبدأ التراكب يبقى صالحاً . وعليه فيجب تجزئة هذا التوزيع إلى عدد لا متناهي من الأحجام أو السطوح أو القطع المستقيمة الصغيرة جداً و المشحونة ، ثم القيام بحساب العناصر الأساسية من الحقل  $d\vec{E}$  المتولدة عن كل عنصر من تلك العناصر المشحونة ، ثم القيام بالجمع الشعاعي للحقول العنصرية  $d\vec{E}$ . و بما أننا نأخذ العناصر الامتناهية الصغر فإننا حول الجمع ( $\sum$ ) إلى تكامل ثلاثي (  $\iiint$  ) ، ثانوي (  $\iint$  ) أو عادي (  $\int$  ) وهذا حسب ما إذا كان لدينا حجم ، سطح أو طول.

و انطلاقاً من ذلك نحصل على:

$$(10.1) \quad \vec{E} = \int d\vec{E}$$

هذا من الاعتقاد أن  $E = \int dE$  لأن  $d\vec{E}$  عبارة عن أشعة.

في حالة جملة محاور كارتيزية  $O_{xyz}$  ، يكون لدينا :

$$(11.1) \quad d\vec{E} = dE_x \vec{i} + dE_y \vec{j} + dE_z \vec{k}$$

وبعملية التكامل نصل إلى:

$$(12.1) \quad \vec{E} = \int \left( dE_x \vec{i} + dE_y \vec{j} + dE_z \vec{k} \right) = E_x \vec{i} + E_y \vec{j} + E_z \vec{k}$$

و منه فأن :

$$(13.1) \quad E_x = \int dE_x, \quad E_y = \int dE_y, \quad E_z = \int dE_z$$

و في كل الحالات فإن العبارة الواجب الاحتفاظ بها هي:

$$(14.1) \quad \boxed{\vec{E}(M) = \int d\vec{E}(M)}$$

مع العلم أن:

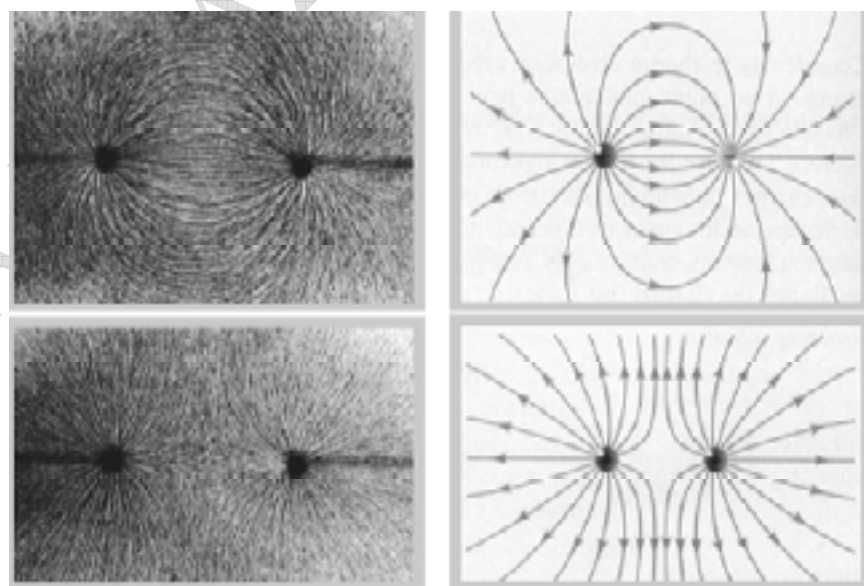
$$(15.1) \quad \boxed{d\vec{E}(M) = \frac{1}{4\pi\epsilon_0} \cdot \frac{dq}{r^2} \hat{u}}$$

لتوضيح هذا المبدأ نقترح دراسة ثلاثة تطبيقات شائعة لاحقا.

**5/ خطوط الحقل الكهربائي (أو الطيف الكهربائي):** (Lignes ou spectre de champ)

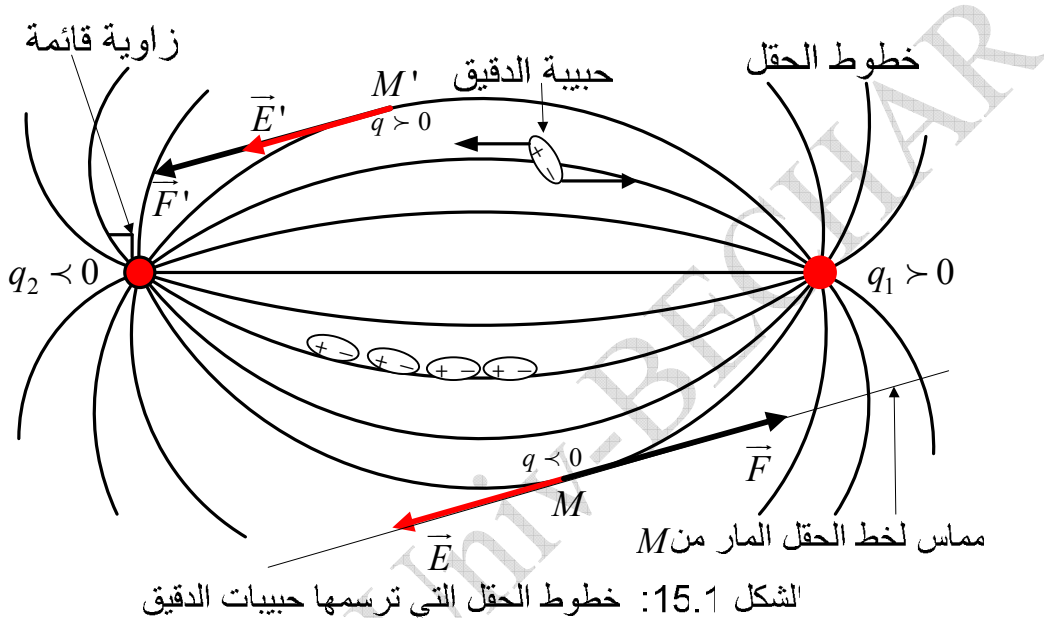
❖ **وصف تجريبية:** بجوار مسربين مشحونين ، الواحد إيجابا ( $q_1 > 0$ ) و الآخر سلبا ( $q_2 < 0$ ) ، نذر حبيبات الدقيق الغليظ (أو بذور العشب الطبيعي) على سطح من الزيت.

❖ **ملاحظة:** نلاحظ أن حبيبات الدقيق (أو بذور العشب الطبيعي) ترسم منحنيات نطلق عليها اسم خطوط الحقل الكهربائي. الشكل (14.1).



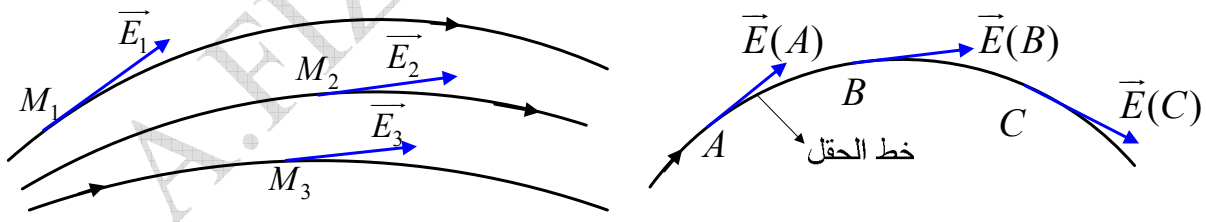
الشكل 14.1 : بذور العشب الطبيعي على سطح من الزيت، صورة و تمثيل

**♦ تفسير:** تحت تأثير الحقل الناتج عن الشحنتين  $q_1$  و  $q_2$  فإن حبيبات الدقيق تستقطب. و هكذا تصبح كل حبيبة عبارة عن ثنائي قطب كهربائي بحيث تخضع الشحنات لقوة كهربائية مطبقة من قبل  $q_1$  و  $q_2$ . هذه القوى لها فعل توجيه كل حبيبة موازاة للقوى الكهربائية. الشكل (15.1).



الشكل 15.1: خطوط الحقل التي ترسمها حبيبات الدقيق

**تعريف:** خطوط الحقل الكهربائي هي خطوط موجهة و مماسية في كل نقطة لشاعع الحقل  $\vec{E}$ . و هي خطوط تمر من الشحنة  $q$ . (الشكل 16.1)



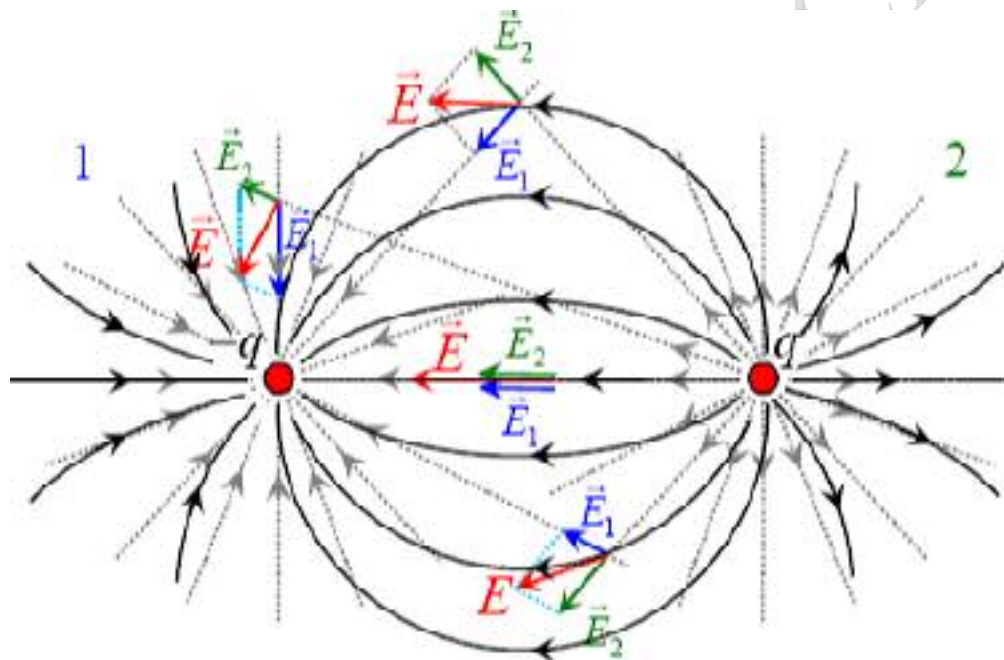
الشكل 16.1: خطوط الحقل الكهربائي

في حالة شحنة نقطية ، فإن خطوط الحقل هي نصف مستقيمات تتقاطع في النقطة حيث تتمرّك الشحنة. في حالة شحنة موجبة ، الحقل يكون موجها نحو الخارج و نقول أنه مغادر و هو الأمر نفسه بالنسبة لخطوط الحقل. و العكس صحيح بالنسبة للشحنة السالبة و نقول أن الحقل يصل أو يرد. الشكل (17.1)



الشكل 17.1: خطوط الحقل الكهربائي لشحنة موجبة و لشحنة سالبة منفردين

يمثل الشكل (18.1) خطوط الحقل حول شحتين نقطيتين متقاربتين و متساويتين و مختلفي الإشارة.

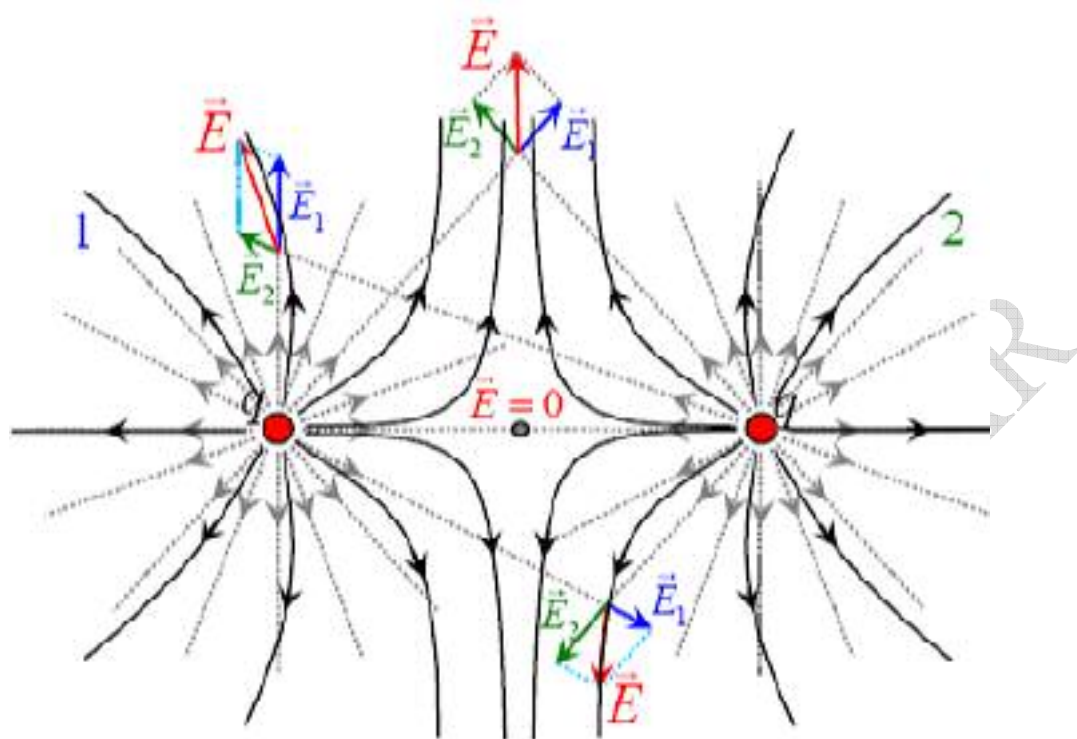


الشكل 18.1: خطوط الحقل لشحتين متساويتين و متعاكستي الإشارة

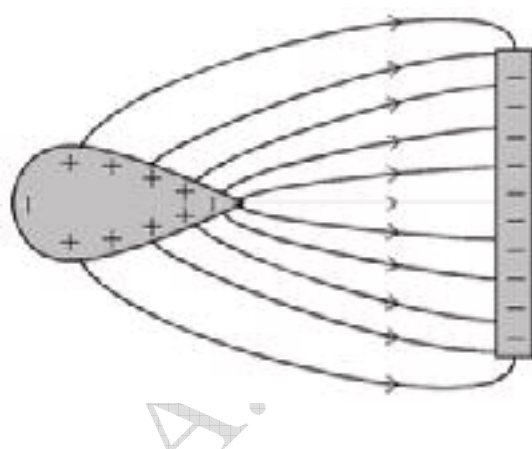
كما يمثل الشكل (19.1) خطوط الحقل حول شحتين نقطيتين متقاربتين و متساويتين و تحملان نفس الشحنة.

و يمثل الشكل (20.1) خطوط الحقل المنتظم (صفيحتان متوازيتان متقاربتان و مشحونتان الواحدة إيجاباً والأخرى سلباً، و بشحتين متساويتين بالقيمة المطلقة). باستثناء حافتي المكتفة ، فإن خطوط الحقل داخل المكتفة متوازية، متعمدة مع كل من الصفيحتين ، و متساوية الكثافة.

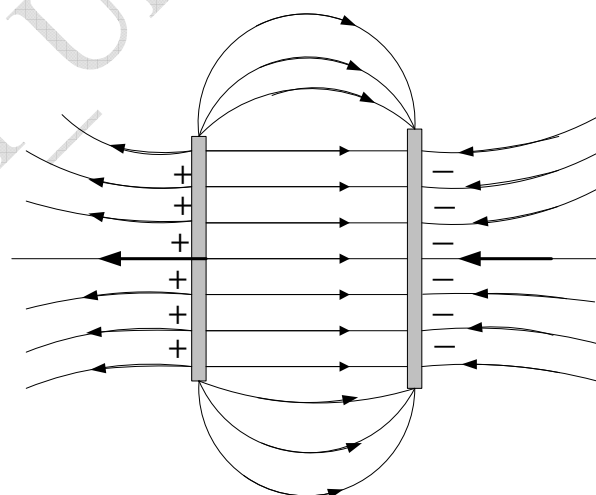
كما يمثل الشكل (21.1) خطوط الحقل لناقل حاد.



الشكل 19.1 : خطوط الحقل لشحتين متساويتين



الشكل 21.1 : الحقل الكهربائي لناقل حاد



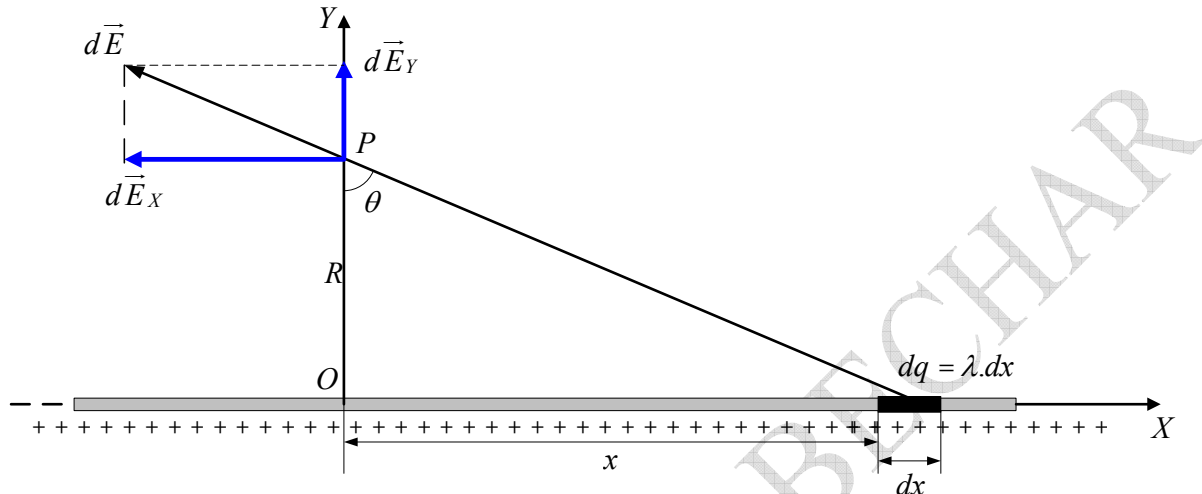
الشكل 20.1: خطوط الحقل الكهربائي المنتظم

## 6/ تطبيقات:

التطبيق الأول: الحقل الكهروساكن الناتج عن سلك رقيق لامتناهي الطول يحمل شحنة موجبة طولية كثافتها ثابتة.

**المطلوب:** حساب الحقل الكهربائي الساكن  $\vec{E}$  المتولد في النقطة  $P$  الواقعة على محور السلك عن كامل الشحنة التي يحملها السلك. (الشكل 22.1).

**الحل:** العنصر الصغير الواجب أخذه هو قطعة مستقيمة طولها  $dx$  تحمل الشحنة العنصرية :  $dq = \lambda \cdot dx$



الشكل 22.1: الحقل الكهروماسكون في النقطة  $P$  الناتج عن السلك المشحون

الحقل العنصري  $d\vec{E}$  المتولد عن الشحنة  $dq$  يقع على امتداد القطعة المستقيمة و التي طولها  $r$  الواقلةة بين  $P$  و  $dq$ .

بتطبيق العلاقة (14.1) نصل إلى:

$$dE = \frac{1}{4\pi\epsilon_0} \frac{dq}{r^2} = \frac{1}{4\pi\epsilon_0} \cdot \frac{\lambda \cdot dx}{r^2}$$

مع العلم أن:

$$d\vec{E} = d\vec{E}_x + d\vec{E}_y$$

كما أن:

$$E_x = \int dE_x = \int dE \cdot \sin \theta$$

$$E_y = \int dE_y = \int dE \cdot \cos \theta$$

أي:

$$E_x = \frac{\lambda}{4\pi\epsilon_0} \int \frac{dx}{r^2} \cdot \sin \theta$$

$$E_y = \frac{\lambda}{4\pi\epsilon_0} \int \frac{dx}{r^2} \cdot \cos\theta$$

نلاحظ أن  $r, \theta, x$  متغيرات، بينما  $R$  ثابت. نستنتج هندسياً أن:

$$x = R \cdot \tan\theta \Rightarrow dx = R \cdot d\theta \cdot \frac{1}{\cos^2\theta}$$

$$r = \frac{R}{\cos\theta}$$

تبعاً لهذه النتائج نحصل على:

$$E_x = \frac{\lambda}{4\pi\epsilon_0} \int \frac{dx}{r^2} \cdot \sin\theta = \frac{\lambda}{4\pi\epsilon_0} \int_{-\pi/2}^{+\pi/2} \frac{(R/\cos^2\theta) \cdot d\theta}{R^2/\cos^2\theta} \cdot \sin\theta$$

$$E_x = \frac{\lambda}{4\pi\epsilon_0} \int_{-\pi/2}^{+\pi/2} \frac{1}{R} \cdot \sin\theta \cdot d\theta = \frac{\lambda}{4\pi\epsilon_0} \cdot \frac{1}{R} \cdot [-\cos\theta]_{-\pi/2}^{+\pi/2} \Rightarrow [E_x = 0]$$

هذه النتيجة ( $\vec{E}_x = \vec{0}$ ) كانت متوقعة بسبب التناظر في المسألة.

أما المركبة العمودية فتحسب بنفس الطريقة حيث:

$$E_y = \frac{\lambda}{4\pi\epsilon_0} \int \frac{dx}{r^2} \cdot \cos\theta = \frac{\lambda}{4\pi\epsilon_0} \int_{-\pi/2}^{+\pi/2} \frac{(R/\cos^2\theta) \cdot d\theta}{R^2/\cos^2\theta} \cdot \cos\theta$$

$$E_y = \frac{\lambda}{4\pi\epsilon_0} \int_{-\pi/2}^{+\pi/2} \frac{1}{R} \cdot \cos\theta \cdot d\theta = \frac{\lambda}{4\pi\epsilon_0} \cdot \frac{1}{R} \cdot [\sin\theta]_{-\pi/2}^{+\pi/2} \Rightarrow [E_y = \frac{1}{2\pi\epsilon_0} \cdot \frac{\lambda}{R}]$$

أي أن في النهاية:

$$d\vec{E} = d\vec{E}_x + d\vec{E}_y \Rightarrow [\vec{E} = \vec{E}_y = \frac{1}{2\pi\epsilon_0} \cdot \frac{\lambda}{R} \hat{j}]$$

نفس الطريقة إذا كان الأمر يتعلق بحلقة رقيقة. يمكن الاستعانة بحل التطبيق الثاني.

**بـ / التطبيق الثاني: الحقل الكهروساكن الناتج عن قرص رقيق يحمل شحنة موجبة سطحية كثافتها ثابتة  $\sigma$ .**

قرص مركزه  $O$  و نصف قطره  $R$  مشحون بانتظام بكثافة سطحية  $0 < \sigma < \infty$ . ليكن محور عمودي في النقطة  $O$  على القرص.

أحسب بدلالة  $x$  الحقل  $\vec{E}$  في كل نقطة من المحور  $X'X$ . (عليها دراسة

$$\cdot (x > 0 ; x < 0 ; x = 0)$$

**الحل:** لتكن  $P$  نقطة من المحور  $OX$  حيث  $OP = x$ . لنحسب الحقل الكهربائي الناتج عن الشحنة السطحية في هذه النقطة. (الشكل 23.1)

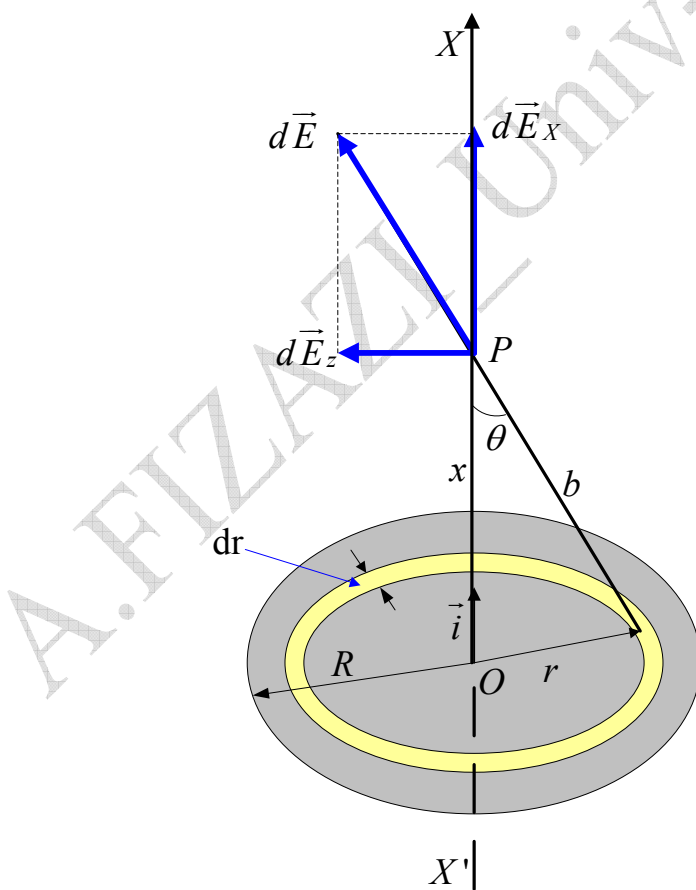
العنصر الصغير الواجب أخذه بعين الاعتبار هو إكليل (حلقة) عرضه  $dr$  و سطحه  $dS = \sigma \cdot dS = \sigma \cdot 2\pi r \cdot dr$  يحمل الشحنة العنصرية:  $dq = \sigma \cdot dS = \sigma \cdot 2\pi r \cdot dr$

بتطبيق العلاقة (14.1) يمكن حساب الحقل العنصري  $d\vec{E}$  المتولد عن الشحنة  $dq$ :

$$dE = \frac{1}{4\pi\epsilon_0} \frac{dq}{b^2} = \frac{1}{4\pi\epsilon_0} \cdot \frac{\sigma \cdot 2\pi r dr}{b^2}$$

مع العلم أن:

$$d\vec{E} = d\vec{E}_x + d\vec{E}_z$$



الشكل 23.1: الحقل الكهروساكن في النقطة  $P$  والناتج عن القرص المشحون

للحصول على الحقل الناتج عن كل القرص نكامل من 0 إلى  $R$ .  
نرى أن:

$$E_x = \int dE_x = \int dE \cdot \cos \theta$$

$$E_z = \int dE_z = \int dE \cdot \sin \theta$$

نظراً لانتظار المسألة فإن :

$$\boxed{\vec{E}_z = \vec{0} \Rightarrow \vec{E} = \vec{E}_x}$$

نترك للطالب فرصة التحقق بالحسابات من أن  $\vec{E}_z = \vec{0}$

$$E_x = \frac{\sigma \cdot 2\pi}{4\pi\epsilon_0} \int \frac{r \cdot dr}{b^2} \cdot \cos \theta$$

نلاحظ من خلال الشكل أن:

$$b^2 = x^2 + r^2$$

$$\cos \theta = \frac{x}{b} \Rightarrow \cos \theta = \frac{x}{\sqrt{x^2 + r^2}}$$

تبعاً لهذه النتائج نحصل على:

$$E = \frac{\sigma}{2\epsilon_0} \int \frac{x \cdot r \cdot dr}{(x^2 + r^2)^{3/2}}$$

$$E = \frac{\sigma x}{2\epsilon_0} \int_0^R \frac{r \cdot dr}{(x^2 + r^2)^{3/2}} \Rightarrow E = \frac{\sigma x}{2\epsilon_0} \cdot \left[ \frac{-1}{(x^2 + r^2)^{1/2}} \right]_0^R$$

$$\boxed{E = \frac{\sigma}{2\epsilon_0} \cdot \left[ \frac{x}{|x|} - \frac{x}{\sqrt{(x^2 + R^2)}} \right]}$$

في النهاية:

$$d\vec{E} = d\vec{E}_x + d\vec{E}_z \Rightarrow \boxed{\vec{E} = \vec{E}_x = \frac{\sigma}{2\epsilon_0} \left[ \frac{x}{|x|} - \frac{x}{\sqrt{x^2 + R^2}} \right] \vec{i}} \rightarrow (1)$$

مناقشة:

$$x > 0 \Rightarrow \vec{E} = \frac{\sigma}{2\epsilon_0} \left( 1 - \frac{x}{\sqrt{x^2 + R^2}} \right) \vec{i} \rightarrow (2)$$

موجة وفق  $\vec{i}$  ويبعد عن الشحنات الموجبة.

$$x < 0 \Rightarrow \vec{E} = -\frac{\sigma}{2\epsilon_0} \left( 1 + \frac{x}{\sqrt{x^2 + R^2}} \right) \vec{i} \rightarrow (3)$$

$\vec{E}$  عاكس  $\vec{i}$  و يبتعد من الشحنات الموجبة.

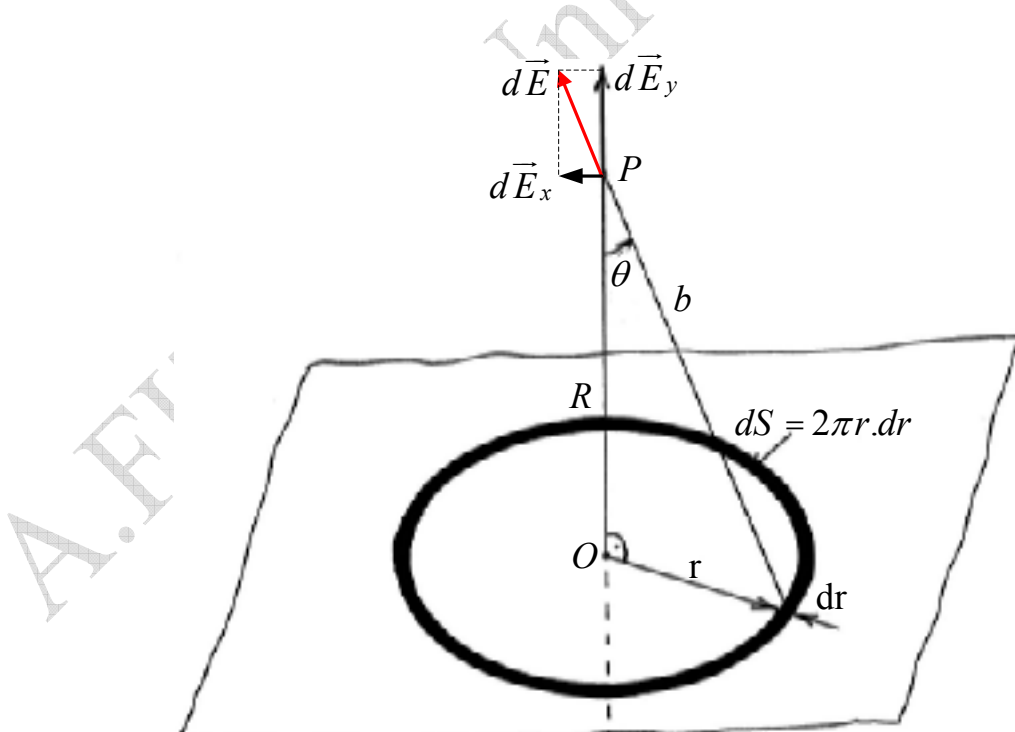
للحصول على عبارة  $\vec{E}$  من أجل  $x=0$  لا بد من القيام من دراسة نهاية المعادلة (2) أو المعادلة (3) لما يؤول  $x$  إلى الصفر. نجد:

$$x = 0 \Rightarrow \vec{E} = \frac{\sigma}{2\epsilon_0} \vec{i}$$

**ج/ التطبيق الثالث: الحقل الكهروساكن الناتج عن مستوى لا متناهي يحمل شحنة موجبة سطحية كثافتها ثابتة  $\sigma$ .**

هذا السطح العنصري هو عبارة عن حلقة نصف قطرها  $r$  و سمكها  $dr$  و مركزها  $O$ .  
(الشكل 24.1)

هذه الحلقة تولد حقولاً كهربائياً شاقولياً في النقطة  $P$  (المركبات الأفقيّة تتعدّم متى مثلي نتيجة التاظر)، و على الطالب أن يتحقق من هذه النتيجة.



الشكل 24.1: حقل سطح لا متناهي الأبعاد

نلاحظ من الشكل أن:  $dE_y = dE \cos\theta$   
 $dq = dS \cdot \sigma = 2\pi r \cdot dr \cdot \sigma$   
و منه فإن الحقل العنصري المولد في النقطة  $P$  عن الحلقة هو:

$$dE = dE_y = K \cdot \frac{dq}{b^2} \cdot \cos\theta = K \cdot \frac{2\pi r \cdot dr \cdot \sigma}{(R^2 + r^2)} \cdot \frac{R}{b}$$

و بالتالي فإن الحقل الكهربائي الكلي الناتج عن كل السطح هو:

$$E = \int_0^\infty K \cdot \frac{2\pi r \cdot dr \cdot \sigma \cdot R}{(R^2 + r^2)^{3/2}} = K \cdot 2\pi \sigma \cdot R \int_0^\infty \frac{r \cdot dr}{(R^2 + r^2)^{3/2}} \Rightarrow E = K \cdot 2\pi \sigma \cdot R \left[ -\frac{1}{\sqrt{R^2 + r^2}} \right]_0^\infty$$

$E = \frac{\sigma}{2\epsilon_0}$

و في الأخير:

و هذا معناه أن الحقل الكهربائي ثابت على طول المحور  $Oy$ . فحيث ما وجدت النقطة على المحور  $Oy$  فإن الحقل الكهربائي هو نفسه.

## D/ الكمون الكهربائي: (Potentiel électrique)

### 1/ تحول حقل أشعة: (Circulation d'un champ de vecteurs)

نفترض جسيمة ما تتنقل من  $A$  إلى  $B$  باتباع المسار المنحني  $L$  داخل حقل للأشعة (قد يكون حقل الجاذبية أو حقول كهربائية أو حقول مغناطيسية...) و الذي نرمز إليه بـ  $\vec{V}$ .  
تعريف: نسمى التكامل المنحني لحقل الأشعة  $\int_L \vec{V} \cdot d\vec{l}$  من النقطة  $A$  إلى النقطة  $B$  على طول المسار  $L$  العبارة:

$$(16.1) \quad \text{حيث } d\vec{l} \text{ هو شعاع الانتقال العنصري.} \quad \boxed{\int_L \vec{V} \cdot d\vec{l} = \int_A^B \vec{V} \cdot d\vec{l}}$$

ملاحظة: في الحالة العامة التكامل المنحني يتعلق بالمسلك.

تعريف: إذا كان المسلك أو المسار عبارة عن منحني مغلق فإن التكامل المنحني يسمى تحول حقل الأشعة و يكتب على الشكل:

(17.1)

$$\text{Circulation de } \vec{V} = \oint \vec{V} \cdot d\vec{l} = \vec{V}$$

لنطبق في ما يلي هذين التعريفين على الحقل الكهربائي  $\vec{E}$ .

## 2/ تجول الحقل الكهربائي:

نعتبر منطقة من الفضاء يسود فيها حقل كهربائي. كل جسيمة  $q_0$  تقع في هذا الحقل تخضع لقوة كهربائية:

$$(18.1) \quad \vec{F} = q_0 \cdot \vec{E} \quad (\text{لها نفس اتجاه } \vec{E} \text{ إذا كانت } q_0 > 0)$$

إذا لم تمسك هذه الشحنة فإنها ستنتقل في اتجاه  $\vec{F}$ . نفترض مجرباً يريد نقل الشحنة  $q_0$  وفق مسلك ما ببطء شديد. من أجل ذلك، يجب أولاً تطبيق قوة معاكسة مباشرة لـ  $\vec{F}$  لإبطال مفعولها، ثم تطبيق قوة إضافية في اتجاه الانتقال المراد. في أقصى الحدود للحصول على انتقال لا متناهي البطء، نعتبر أنه يكفي تطبيق قوة على  $q_0$  لتعوض القوة الكهربائية متساوية لها. هذا يعني تطبيق القوة  $\vec{F}_d = -q_0 \cdot \vec{E}$ .

من أجل انتقال عنصري  $d\vec{l}$  فإن العمل العنصري المناسب هو:

$$dW = \vec{F}_d \cdot d\vec{l} \Rightarrow dW = -q_0 \vec{E} \cdot d\vec{l}$$

إذا أردنا نقل الشحنة  $q_0$  وفق مسلك كييفي  $AB$ ، يجب بذل عمل  $: W_{AB}$

$$(19.1) \quad W_{AB} = \int_A^B \vec{F}_d \cdot d\vec{l} \Rightarrow W_{AB} = - \int_A^B q_0 \cdot \vec{E} \cdot d\vec{l} \Rightarrow W_{AB} = -q_0 \int_A^B \vec{E} \cdot d\vec{l}$$

**تعريف:** التكامل  $\int_A^B \vec{E} \cdot d\vec{l}$  يسمى **تجول الحقل الكهربائي** على طول المنحنى من  $A$  إلى  $B$ .

**تنبيه:** هذا التجول **محافظ** أي أنه لا يتعلق بال المسلك المتبعة. كما أن تجول الحقل الكهربائي وفق منحى مغلق (الرجوع إلى نقطة الانطلاق) معذوم كما سنرى.

**حالة خاصة:** إذا كانت  $|q_0| = 1C$  ، في هذه الحالة  $W = \int_A^B \vec{E} \cdot d\vec{l}$  و يسمى العمل المنجز

في هذه الحالة **القوة المحركة الكهربائية** (Force électromotrice).

**تعريف:** القوة المحركة الكهربائية تساوي العمل المنجز لنقل شحنة الوحدة ( $q = 1C$ )

على طول منحنى.

**توضيح:** إن كلمة "قوة" هنا مغالطة. لأننا نتكلم عن طاقة ، فالعادة هي التي أورثتنا

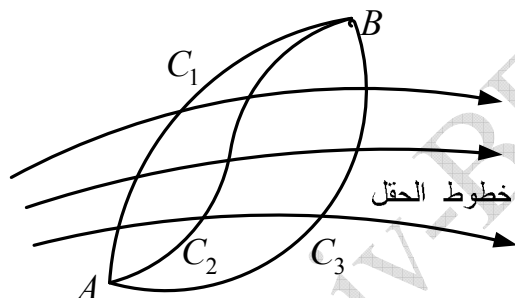
كلمة "قوة" عوض طاقة.

### 3/ الكمون الكهربائي: (Potentiel électrique)

في المثال المجدد على الشكل 25.1 يكون لدينا:

$$(20.1) \quad \int_A^B \vec{E} \cdot d\vec{l} = \int_A^B \vec{E} \cdot d\vec{l} = \int_A^B \vec{E} \cdot d\vec{l}$$

هذا يعني أن العمل اللازم لنقل الشحنة من النقطة  $A$  إلى النقطة  $B$  مستقل عن المسار المتبوع. عندما لا يتعلّق تحول الحقل على طول منحنى بالمسار، ولكن يتعلّق فقط ب نقطة الانطلاق ونقطة الوصول ، نقول عن هذا الحقل أنه محافظ. و هذا هو حال الحقل الكهروساكن.



الشكل 25.1 : "العمل لا يتعلّق بمسار الشحنة"

$$(21.1) \quad \text{في العبارة (19.1) نضع: } dV = -\vec{E} \cdot d\vec{l}$$

$V$  هو مقدار سلمي يسمى الكمون الكهربائي. نقول في هذه الحالة أن الحقل الكهربائي  $\vec{E}$  مشتق من الكمون  $V$ .

الطاقة اللازمة لنقل الشحنة  $q_0$  بين النقطتين  $B$  و  $A$  هي إذن:

$$(22.1) \quad W_{AB} = -q_0 \int_A^B \vec{E} \cdot d\vec{l} = q_0 \int_A^B dV = q_0 |V|_A^B = (V_B - V_A) \cdot q_0$$

المقدار  $V_B - V_A$  يسمى التوتر أو فرق الكمون بين النقطتين  $B$  و  $A$  و نرمز له بـ

حپٹ:  $U_{RA}$

$$(23.1) \quad U_{BA} = V_B - V_A = \frac{W_{AB}}{q_0}$$

و هذا ما يؤدي بنا إلى تعريف فرق الكمون:

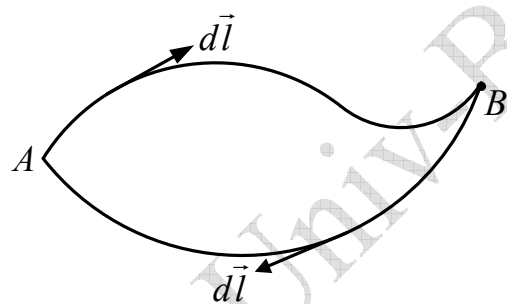
**تعريف:** فرق الكمون ( $U_{BA} = V_B - V_A$ ) يساوي العمل الواجب تقديمه لشحنة الواحدة (قيمتها تساوي الواحدة) لنقلها من النقطة  $A$  إلى النقطة  $B$ .

#### 4/ تجول الحقل الكهربائي على طول منحنى مغلق:

إذا كان المنحنى المتبع من قبل الشحنة مغلقاً، فكيف نبرهن أن تجول  $\vec{E}$  معدوم؟  
يكون الجواب سهلاً إذا حدثنا على هذا المنحنى  $L$  المغلق نقطتين  $A$  و  $B$ .  
الشكل 26.1.

$$(24.1) \quad \oint_L \vec{E} \cdot d\vec{l} = \int_A^B \vec{E} \cdot d\vec{l} + \int_B^A \vec{E} \cdot d\vec{l}$$

$$(25.1) \quad \oint_L \vec{E} \cdot d\vec{l} = (V_A - V_B) + (V_B - V_A) = 0$$



الشكل 26.1 : تجول  $\vec{E}$  وفق منحنى مغلق

**الخلاصة:** في الكهرباء الساكنة ، يكون تجول الحقل الكهربائي على طول كل منحنى مغلق معادلاً.

$$(26.1) \quad \boxed{\oint_L \vec{E} \cdot d\vec{l} = 0}$$

هذه النتيجة صحيحة دائماً كلما كان الحقل مشتق من كمون.

#### 5/ الكمون الكهربائي الناتج عن شحنة نقطية $q$ :

عرفنا أن  $\vec{E}$  الناتج عن  $q$  يكون قطرياً (أي يمر من الشحنة  $q$ ).

$$(27.1) \quad E(r) = \frac{1}{4\pi\epsilon_0} \cdot \frac{q}{r^2}$$

حساب  $V$  نحسب تجول  $\vec{E}$  على طول نصف قطر ما:

لدينا

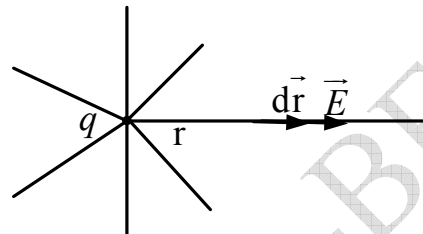
$$d\vec{l} \parallel d\vec{r}$$

و بما أن

$$d\vec{r} \parallel \vec{E}$$

فإن

$$(28.1) \quad \begin{aligned} dV &= -(\vec{E} \cdot d\vec{r}) \\ dV &= -E \cdot dr \end{aligned} \Rightarrow dV = -\frac{1}{4\pi\epsilon_0} \cdot \frac{1}{r^2} dr$$



الشكل 27.1 : تجول الحقن وفق القطر

$$(29.1) \quad V(r) = \int dV = -\frac{q}{4\pi\epsilon_0} \int \frac{1}{r^2} dr \Rightarrow V(r) = \frac{q}{4\pi\epsilon_0} \cdot \frac{1}{r} + C^{\text{te}} \quad \text{و منه}$$

بافتراض  $C^{\text{te}} = 0$  لما  $V = 0$  فإن  $r = \infty$

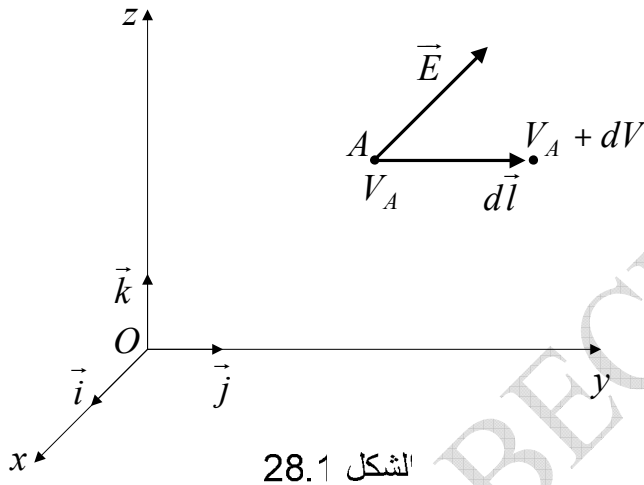
$$(30.1) \quad V(r) = \frac{q}{4\pi\epsilon_0} \cdot \frac{1}{r} \quad \text{في النهاية نصل إلى:}$$

يكون الكمون ثابتًا على كرات نصف قطرها  $r$  و مركزها الشحنة  $q$ . نقول أن هذه الكرات تشكل **سطوح متساوية الكمون** (surfaces équipotentielles). نبرهن أن فرق الكمون بين كرتين نصفي قطريهما  $r_1$  و  $r_2$  يعطى بالعبارة:

$$(31.1) \quad V_1 - V_2 = -\frac{q}{4\pi\epsilon_0} \cdot \left[ \frac{1}{r_1} - \frac{1}{r_2} \right]$$

حساب من  $\vec{E}$  / 6

رأينا أن  $dV = -\vec{E} \cdot d\vec{l}$  ، و باعتبار معلم كارتيزي  $O_{xyz}$  ، و بافتراض أن الكمون  $V$  و الحقل  $\vec{E}$  معروfan في النقطة  $A$  من الفضاء، يمكن حساب الكمون  $V_A + dV$  في كل نقطة موصولة إلى  $A$  بالشعاع العنصري  $d\vec{l}$ . الشكل 28.1



الشكل 28.1

**حالة خاصة:** نفترض أننا نبتعد عن  $A$  في جهة  $x$  ( و تبقى  $y$  و  $z$  ثابتان). و عليه فإن  $dV = -(\vec{E} \cdot \vec{i}) dx$  و منه  $d\vec{l} = \vec{i} dx$  أي:

$$(32.1) \quad dV = -E_x dx$$

نتوصل في هذه الحالة الخاصة إلى أن:

حيث  $E_x = -\frac{dV}{dx}$  حيث  $dV$  هو تغير  $V$  عندما  $y$  و  $z$  تكونان ثابتتين و أن  $x$  وحدها تتغير.

هذا الشرط في الإحداثيات يتطابق مع مفهوم الاستقاق الجزي. و عليه يمكن كتابة:

$$(33.1) \quad E_x = -\frac{\partial V}{\partial x}$$

بتكرار نفس التحليل من أجل  $y$  و  $z$  نجد:

$$(34.1) \quad E_y = -\frac{\partial V}{\partial y}$$

$$(35.1) \quad E_z = -\frac{\partial V}{\partial z}$$

بما أننا في المعلم  $O_{xyz}$  فإن:

$$\vec{E} = \vec{E}_x + \vec{E}_y + \vec{E}_z \Rightarrow \vec{E} = E_x \vec{i} + E_y \vec{j} + E_z \vec{k}$$

و عليه:

$$(36.1) \quad \vec{E} = \left[ -\frac{\partial V}{\partial x} \vec{i} - \frac{\partial V}{\partial y} \vec{j} - \frac{\partial V}{\partial z} \vec{k} \right] \Rightarrow \vec{E} = - \left[ \frac{\partial V}{\partial x} \vec{i} + \frac{\partial V}{\partial y} \vec{j} + \frac{\partial V}{\partial z} \vec{k} \right]$$

نتعرف في هذه العبارة على مؤثر التدرج و بالتالي فإن:

$$(37.1) \quad \vec{E} = -\overrightarrow{\text{grad}}V = - \left[ \frac{\partial V}{\partial x} \vec{i} + \frac{\partial V}{\partial y} \vec{j} + \frac{\partial V}{\partial z} \vec{k} \right]$$

$$(38.1) \quad \boxed{\vec{E} = -\overrightarrow{\text{grad}}V}$$

نفهم جيدا هنا العبارة "الحقل الكهربائي  $\vec{E}$  مشتق من الكمون  $V$ ".

عبارة  $\vec{E}$  بالإحداثيات الأسطوانية هي:

$$(39.1) \quad \vec{E} = -\overrightarrow{\text{grad}}V = - \left[ \frac{\partial V}{\partial \rho} \vec{u}_\rho + \frac{1}{r} \frac{\partial V}{\partial \theta} \vec{u}_\theta + \frac{\partial V}{\partial z} \vec{u}_z \right]$$

أما بالإحداثيات الكروية فإن  $\vec{E}$  يعطى بالعبارة:

$$(40.1) \quad \vec{E} = -\overrightarrow{\text{grad}}V = - \left[ \frac{\partial V}{\partial r} \vec{u}_r + \frac{1}{r} \frac{\partial V}{\partial \theta} \vec{u}_\theta + \frac{1}{r \sin \theta} \frac{\partial V}{\partial \phi} \vec{u}_\phi \right]$$

**مثال 5.1:** أستنتاج عبارة شعاع الحقل الكهربائي من عبارة الكمون الكهربائي التالية:

$$\cdot V(x, y, z) = 3x^2y + z^2$$

أحسب شدة  $\vec{E}$  في النقطة  $A(1, 2, -1)$

**الجواب:** يكفي اشتقاق  $V(x, y, z)$  باستعمال المعادلة (37.1) لنجد:

$$\boxed{\vec{E} = - \left[ 6xy \vec{i} + 3x^2 \vec{j} + 2z \vec{k} \right]}$$

أما الشدة في النقطة  $A(1, 2, -1)$  فهي:

$$\vec{E} = -12 \vec{i} + 3 \vec{j} - 2 \vec{k} \Rightarrow E = \sqrt{12^2 + 3^2 + 2^2}$$

$$E = \sqrt{157} \Rightarrow E \approx 12.53 \text{ V/m}$$

### 7/ الكمون الكهربائي الناتج عن عدة شحن نقطية متفرقة:

بما أن  $V$  مقدار سلمي فإن الكمون  $V(M)$  في النقطة  $M$  الناتج عن عدة شحن يعطى بالعبارة السلمية:

$$(41.1) \quad V(M) = \frac{1}{4\pi\epsilon_0} \sum_i \frac{q_i}{r_i}$$

حيث  $r_i$  هي المسافة بين  $q_i$  و النقطة  $M$  علماً أن  $q_i$  يمكن أن تكون موجبة أو سالبة و لذا لابد من أخذها بإشارتها (+ أو -).

### 8/ الكمون الكهربائي الناتج عن توزيع مستمر للشحنة:

في مثل هذه الحالة يكفي القيام بعملية تكاملية بعد تعين شحنة عنصرية مناسبة  $dq$  ، مثلاً قمنا به في حالة الحقل الكهربائي:

$$(42.1) \quad V = \frac{1}{4\pi\epsilon_0} \int \frac{dq}{r}$$

**نصيحة:** في الحالة العامة ، يستحسن حساب الكمون الكهربائي أولاً ثم استنتاج شعاع الحقل الكهربائي بعملية اشتقاء.

**مثال 6.1:** تحمل حلقة ، مركزها  $O$  و نصف قطرها  $R$  ، شحنة  $q$  موزعة بانتظام بكثافة طولية  $\lambda > 0$ .

1/ أحسب الكمون الكهربائي الناتج في النقطة  $M$  من المحور  $Oy$  والواقعة على البعد  $y$  من  $O$ .

2/ إستنتاج شعاع الحقل في النقطة  $M$ .

**الحل:** بالنسبة للنقطة  $M$  المحددة فإن  $r, y, R$  ثوابت ، و اعتماداً على الشكل 29.1 وبوضع

$$K = \frac{1}{4\pi\epsilon_0} \text{ يمكننا كتابة:}$$

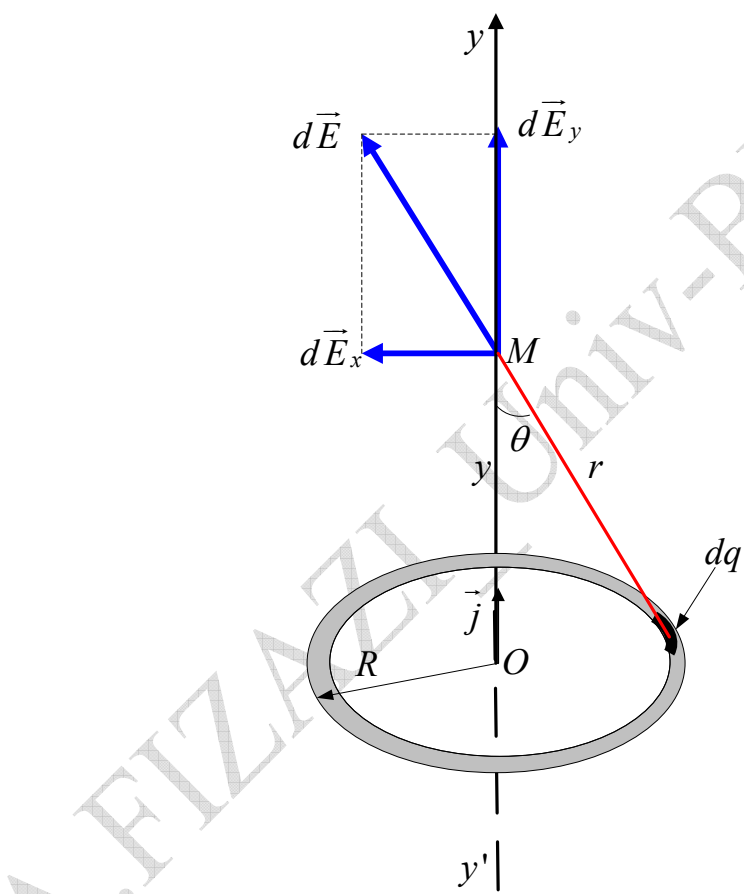
$$dV = K \frac{dq}{r} \Rightarrow \int dV = \frac{K}{r} \int dq \Rightarrow V = \frac{Kq}{r} + C^{te}$$

من الشكل نلاحظ أن  $r = \sqrt{R^2 + y^2}$  و بعد تعويض  $K$  و  $q = \lambda \cdot 2\pi R$  نصل إلى:

$$V = \frac{\lambda}{2\epsilon_0} \cdot \frac{R}{\sqrt{R^2 + y^2}} + C^{te}$$

يبقى الآن استنتاج  $E$ . بغية هذا يكفي اشتقاق عبارة  $V$  بالنسبة لـ  $y$  باستغلال المعادلة : (34.1)

$$E = -\frac{dV}{dy} \Rightarrow E = \frac{\lambda \cdot R}{2\epsilon_0} \cdot \frac{y}{(R^2 + y^2)^{3/2}}$$



الشكل 29.1: الحقل الكهروساكن في النقطة  $M$  والناتج عن الحلقة المشحونة

كما يمكن كتابة عبارة الشعاع  $\vec{E}$

$$\vec{E} = \left[ \frac{\lambda \cdot R}{2\epsilon_0} \cdot \frac{y}{(R^2 + y^2)^{3/2}} \right] \vec{j}$$

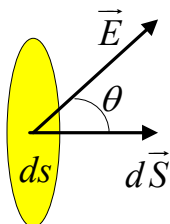
## / التدفق الكهروساكن: نظرية غوص: E

### /1 التدفق الكهربائي:

**تعريف:** نسمى تدفق الحقل الكهربائي عبر سطح المقدار:

$$(43.1) \quad \boxed{\Phi = \int \vec{E} \cdot d\vec{S}}$$

: شعاع السطح العنصري و هو دائما عمودي على السطح و موجه إلى خارج الحجم المحدود بالسطح.



الشكل 30.1: التدفق عبر سطح عنصري

إذا كانت الزاوية بين  $\vec{E}$  و  $d\vec{S}$  هي  $\theta$  فإن:

$$(44.1) \quad \boxed{\Phi = \oint_S \vec{E} \cdot d\vec{S} \cos \theta}$$

وحدة التدفق الكهربائي هي **الوبيير** (weber Wb) و معادلته ذات الأبعاد هي:

$$[\Phi] = L^3 \cdot T^{-3} \cdot A^{-1}$$

### /2 نظرية غوص:

تعبر نظرية غوص عن العلاقة بين التدفق الكهربائي عبر سطح مغلق و عدد الشحنات المتواجدة داخل الحجم المحاط بهذا السطح.

**مثلا:** لتكن  $q$  شحنة نقطية موجبة و التي تولد حقولا كهربائيا قطريا موجها نحو الخارج

$$\text{شعته } E(r) = K \cdot \frac{q}{r^2}$$

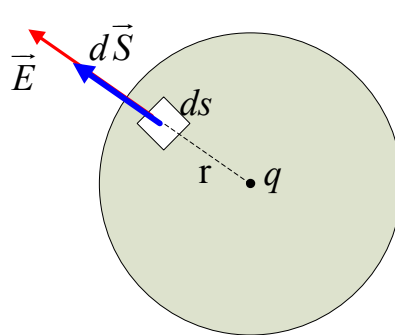
نعتبر كسر سطح مغلق كرها الشحنة  $q$ . الشكل 31.1 بما أننا في حالة كرها فإن كل الأشعه  $d\vec{S}$  هي قطرية أي أن لها نفس حامل  $\vec{E}$  و وبالتالي فإن  $(\vec{E}, d\vec{S}) = 0 \Rightarrow \cos 0 = 1$ .

التدفق الكهربائي العنصري عبر سطح عنصري  $d\vec{S}$  هو:

$$(45.1) \quad d\Phi = \vec{E} \cdot d\vec{S} = E \cdot dS$$

بعملية تكاملية نحصل على:

$$(46.1) \quad \Phi = \oint_S \vec{E} \cdot d\vec{S} = \oint_S K \cdot \frac{q}{r^2} \cdot dS$$



الشكل 31.1 : شحنة نقطية داخل كرة

و بما أن نصف قطر الكرة ثابت فإن :

$$(47.1) \quad \Phi = K \cdot \frac{q}{r^2} \oint_S dS$$

يكفي التذكر بأن المساحة الكلية للكرة هي:

$$(48.1) \quad \oint_S dS = S = 4\pi r^2$$

$$(49.1) \quad \boxed{\Phi = \frac{q}{\epsilon_0}}$$

و بالتعويض نجد:

**النتيجة:** تدفق الحقل الكهربائي الصادر من كرة ( $\forall r$ ) يوجد في مركزها شحنة نقطية

$$\text{موجبة } (q > 0) \text{ يساوي } \frac{q}{\epsilon_0}.$$

في حالة  $0 < q$  ، الحقل الكهربائي  $\vec{E}$  موجه نحو مركز الكرة و التدفق الكهربائي  $\Phi$  يكون سالبا لأن  $(\vec{E}, d\vec{S}) = \pi \Rightarrow \cos \pi = -1$ .

**تعليم:** النتيجة المتوصل إليها بالحساب من أجل شحنة واحدة هي محققة في الحالة العامة.

من أجل ذلك نعتبر سطحا مغلقا كيفيا يحتوي على  $n$  شحنة  $q_n + \dots + q_2 + q_1$  (مهما كانت إشاراتها).

نبرهن في هذه الحالة أن :

$$(50.1) \quad \Phi = \oint_S \vec{E} \cdot d\vec{S} = \sum_{i=1}^n q_i \cdot \frac{1}{\epsilon_0} = \frac{Q_i}{\epsilon_0} \quad [\text{Wb}]$$

و هذه هي نظريّة غوص:

النص: التدفق لحقل كهربائي و العابر لسطح مغلق يساوي المجموع الجيري للشحنات المتواجدة داخل الحجم المحدود من قبل السطح ، تقسيم نفاذية الفراغ  $\epsilon_0$ .

الفائدة من هذا القانون: يسمح هذا القانون بتسهيل حساب الحقل الكهربائي الناتج عن توزيع بسيط للشحنات.

نورد في ما يلي بعض الأمثلة لتوضيح كيفية تطبيق نظرية غوص.

### 3/ تطبيق نظرية غوص:

#### 1/ الحقل الكهربائي الناتج عن شحنة نقطية:

نعتبر الشحنة الموجبة  $q$  مركزاً لكرة نصف قطرها  $r$  ،  $\vec{E}$  قطري و مغادر أي  $\cos 0 = 1$

$$\Phi = \oint_S \vec{E} \cdot d\vec{S} \Rightarrow \Phi = \oint_S E \cdot dS \Rightarrow E \cdot S = \frac{q}{\epsilon_0}$$

سطح الكرة هو  $S = 4\pi r^2$  و منه:

$$(51.1) \quad E = \frac{q}{\epsilon_0 \cdot S} = \frac{1}{4\pi \epsilon_0} \cdot \frac{1}{r^2}$$

#### ب/ الحقل الكهربائي الناتج عن قضيب مشحون بانتظام و لا متناهي الطول:

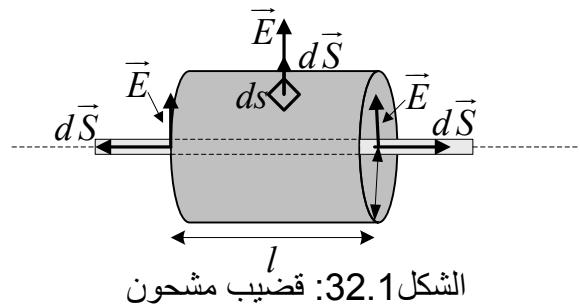
سطح غوص الملائم لهذه الحالة هو أسطوانة محورها منطبق مع القضيب و طولها  $L$ .

هناك ثلاث سطوح: سطح قاعدي  $S_1$  ، سطح قاعدي  $S_2$  ، والسطح الجانبي  $S_L$  :

التدفق عبر كل السطوح المكونة لأسطوانة غوص هي مجموع التدفقات عبر كل سطح أي

$$: \Phi = \sum \Phi_i$$

$$(52.1) \quad \Phi = \oint_S \vec{E} \cdot d\vec{S} = \underbrace{\oint_{S_1} \vec{E} \cdot d\vec{S}}_0 + \underbrace{\oint_{S_2} \vec{E} \cdot d\vec{S}}_0 + \underbrace{\oint_{S_L} \vec{E} \cdot d\vec{S}}$$



الشكل 32.1: قضيب مشحون

على السطحين القاعدين ( $S_1$ ) و ( $S_2$ ) ، الحقل  $\vec{E}$  عمودي على الشعاع  $d\vec{S}$ ، و لذلك لا يوجد أي تدفق عبر هذين السطحين ( $\cos\pi/2 = 0$ ). أما على السطح الجانبي ( $S_L$ ) الأشعة كلها قطرية شأنها شأن  $(\cos 0 = 1)$   $\vec{E} \cdot d\vec{S}$  و عليه:

$$(53.1) \quad \Phi = \oint_{S_L} \vec{E} \cdot d\vec{S} = E \cdot S_L = \frac{Q_i}{\epsilon_0}$$

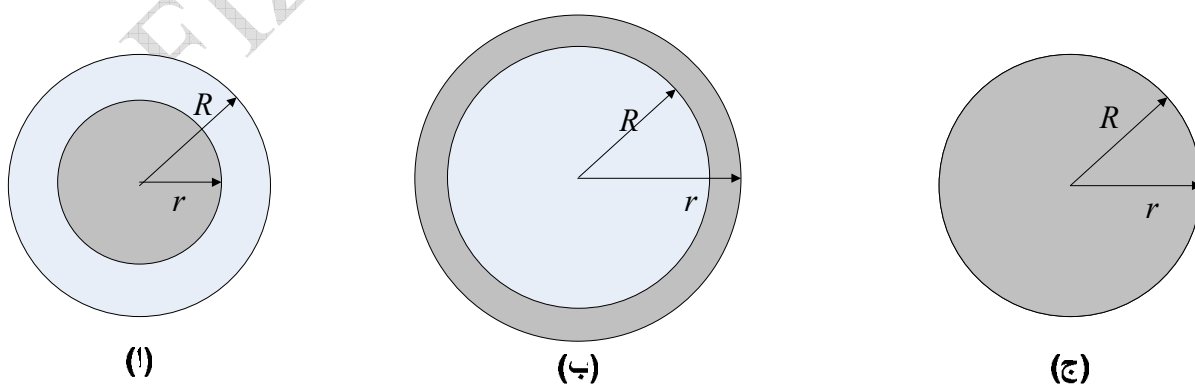
علماً أن  $S_L = 2\pi Rl$  و  $Q_i = \lambda \cdot l$  من ثم :

$$(54.1) \quad E \cdot 2\pi Rl = \frac{\lambda \cdot l}{\epsilon_0} \Rightarrow \boxed{E = \frac{\lambda}{2\pi\epsilon_0}}$$

### ج/ الحقل الكهربائي الناتج عن كرة مصممة مشحونة بانتظام:

مساحة غوص الملائمة هنا هي كرة نصف قطرها  $r$ . بتطبيق قانون غوص:

$$(55.1) \quad \Phi = \oint_S \vec{E} \cdot d\vec{S} \Rightarrow \Phi = \oint_S E \cdot dS \Rightarrow E \cdot S = \frac{Q_i}{\epsilon_0}$$



الشكل 33.1: كرة مصممة مشحونة

مناقشة:

❖ الشكل 33.1 - جزء فقط من الشحنة التي تحملها الكرة محصور داخل  $R > r$ :

سطح غوص:

$$(56.1) \quad E \cdot 4\pi r^2 = \frac{\rho \cdot V}{\epsilon_0} = \frac{\rho \cdot \frac{4}{3}\pi r^3}{\epsilon_0} \Rightarrow E = \frac{\rho \cdot r}{3\epsilon_0}$$

$E$  يتناسب طرداً مع البعد  $r$ .

❖ الشكل 33.1 بـ كل الشحنة التي تحملها الكرة موجودة داخل سطح غوص:

$$(57.1) \quad E \cdot 4\pi r^2 = \frac{\rho \cdot V}{\epsilon_0} = \frac{\rho \cdot \frac{4}{3}\pi R^3}{\epsilon_0} \Rightarrow E = \frac{\rho \cdot R^3}{3\epsilon_0 \cdot r^2} \Rightarrow E = \frac{Q}{4\pi\epsilon_0 r^2}$$

الكرة و كأنها شحنة نقطية.

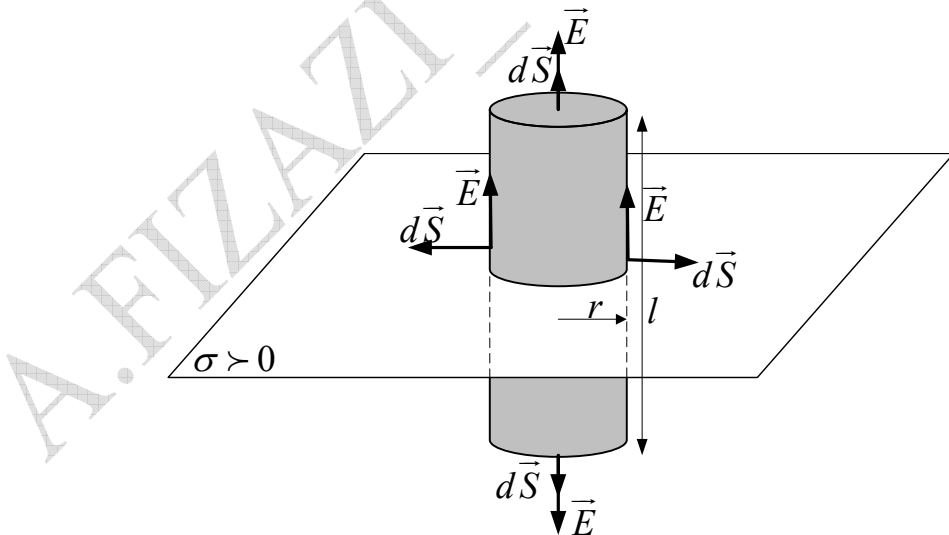
❖ الشكل 33.1 جـ سطح غوص منطبق مع سطح الكرة:

$$(58.1) \quad E = \frac{\rho}{3\epsilon_0} \cdot \frac{R^3}{R^2} \Rightarrow E = \frac{\rho \cdot R}{3\epsilon_0}$$

شدة الحقل الكهربائي على سطح الكرة ثابت.

#### د/ الحقل الكهربائي الناتج عن مستوى لا نهائي مشحون بانتظام:

سطح غوص الملائم هنا هو أسطوانة عمودية على السطح. هنا كذلك لدينا ثلاثة سطوح:



الشكل 34: سطح لامتناهي مشحون

التدفق عبر السطح القاعدي  $\Phi_1 = E \cdot S_1 : S_1$

التدفق عبر السطح القاعدي  $\Phi_2 = E \cdot S_2 : S_2$

التدفق عبر السطح الجانبي  $\Phi_L = E \cdot S_L$  معدوم

انتبه إلى أن  $\vec{E}_1 = -\vec{E}_2$  و لكن  $E.S_1 = E.S_2$  و منه:

$$\Phi = 2E.S = \frac{Q}{\epsilon_0}$$

و أخيرا نلاحظ أن الحقل الكهربائي منتظم مهما كان بعد النقطة عن المستوى:

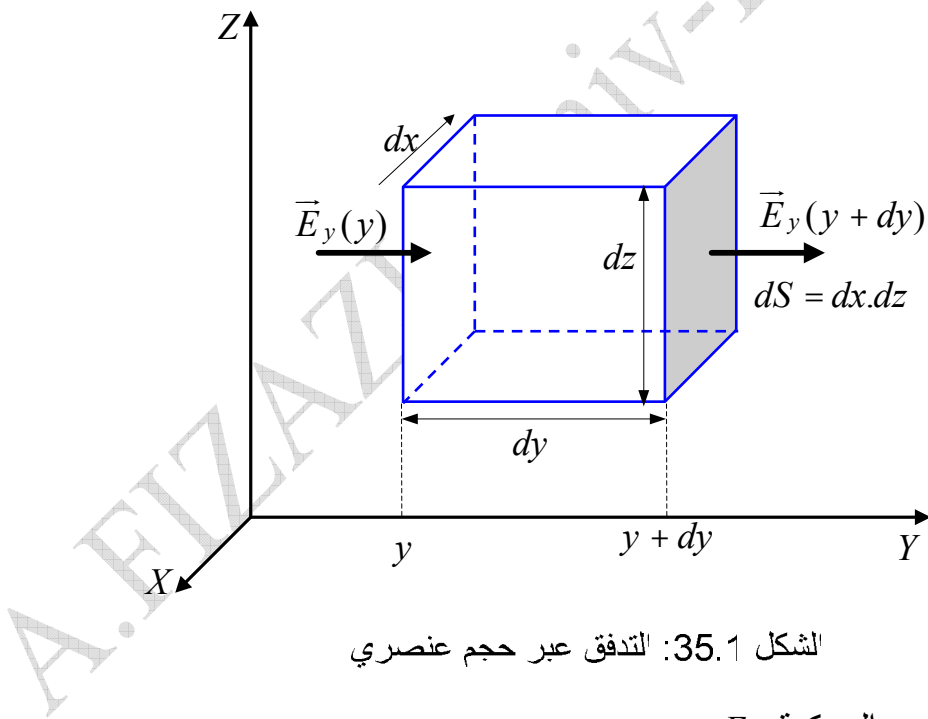
(59.1)

$$E = \frac{\sigma}{2\epsilon_0}$$

**الخلاصة:** من خلال هذه الأمثلة نلاحظ أن النتائج المتحصل عليها هي مطابقة لتلك التي وجدناها في الفقرة C و لكن بأكثر سهولة ، و هذه هي الفائدة من تطبيق نظرية غوص.

#### 4/ الشكل التفاضلي لنظرية غوص: (forme différentielle du théorème de Gauss)

الإحداثيات الديكارتية للحقل  $\vec{E}$  هي  $E_x, E_y, E_z$ . لنحسب التدفق الصادر من مكعب عنصري حجمه  $dV = dx dy dz$ . (الشكل 35.1)



الشكل 35.1: التدفق عبر حجم عنصري

التدفق الناتج عن المركبة  $E_y$  :

- ✓ معدوم على الوجوه : الأمامي ، الخلفي ، العلوي والسفلي و ذلك لأن شعاع الحقل عمودي على شعاع السطح.
- ✓ يبقى حساب التدفق على الوجهين الجانبيين ذاتي المساحة  $. dS = dx.dz$

• التدفق الداخل في  $y$  سالب نظرا لأن الحقل موجه نحو داخل الحجم عكس

$$\left( \overrightarrow{E}_y, d\vec{S} \right) = \pi \cdot d\vec{S}$$

$$-E_y(y).dx.dz$$

• التدفق الخارج في  $y + dy$  موجب و يساوي:

و من هذا نحصل على التدفق عبر الوجهين الجانبيين:

$$\Phi_{dS_y} = (E_y(y + \partial y).dx.dz - E_y(y).dx.dz)$$

بما أن المسافة  $dy$  بين السطحين صغيرة جدا فإن الرياضيات تسمح لنا بكتابة:

$$E_y(y + \partial y) - E_y(y) = \Delta E_y = dE_y = (E_y)' . dy = \frac{\partial E_y}{\partial y} dy$$

النتيجة لكل هذا:

$$d\Phi_{dS_y} = (E_y(y + \partial y).dx.dz - E_y(y).dx.dz) = \left( \frac{\partial E_y}{\partial y} \right) dx dy dz$$

$$\left( \frac{\partial E_y}{\partial y} \right) dx dy dz = \left( \frac{\partial E_y}{\partial y} \right) dv$$

بما أن النتائج متماثلة بالنسبة للتدفق عبر الواجهات الأربع المتبقية ، فإن التدفق

الكلي للحجم العنصري  $dv$  يساوي:

$$d\Phi_E = d\Phi_{dS_x} + d\Phi_{dS_y} + d\Phi_{dS_z} = \left( \frac{\partial E_x}{\partial x} + \frac{\partial E_y}{\partial y} + \frac{\partial E_z}{\partial z} \right) dv$$

إذا كانت  $dq$  هي شحنة الحجم  $dv$  فإنه حسب نظرية غوص:

$$d\Phi_E = \left[ \frac{\partial E_x}{\partial x} + \frac{\partial E_y}{\partial y} + \frac{\partial E_z}{\partial z} \right] dv = \frac{dq}{\epsilon_0}$$

إذا كانت  $\rho$  ترمز إلى الكثافة الشحنية الحجمية فإن  $dq = \rho.dv$  و منه:

$$(60.1) \quad \boxed{\frac{\partial E_x}{\partial x} + \frac{\partial E_y}{\partial y} + \frac{\partial E_z}{\partial z} = \frac{\rho}{\epsilon_0}}$$

نتعرف في هذه العبارة على تباعد  $\vec{E}$ :

(61.1)

$$\operatorname{div} \vec{E} = \frac{\rho}{\epsilon_0}$$

و التي تعبر عن نظرية غوص على الشكل التفاضلي.

**كيف تكون عبارة الكمون الكهربائي؟**

نعرف أن  $\vec{E} = -\overrightarrow{\operatorname{grad}}V$

$$E_x = -\frac{\partial V}{\partial x} \quad E_y = -\frac{\partial V}{\partial y} \quad E_z = -\frac{\partial V}{\partial z} \quad \text{أي :}$$

و منه:

$$\frac{\partial}{\partial x} \left( -\frac{\partial V}{\partial x} \right) + \frac{\partial}{\partial y} \left( -\frac{\partial V}{\partial y} \right) + \frac{\partial}{\partial z} \left( -\frac{\partial V}{\partial z} \right) = \frac{\rho}{\epsilon_0}$$

(62.1)

$$\frac{\partial^2 V}{\partial x^2} + \frac{\partial^2 V}{\partial y^2} + \frac{\partial^2 V}{\partial z^2} = -\frac{\rho}{\epsilon_0} \quad \text{أي :}$$

يطلق على هذه العبارة اسم **معادلة بواسون** (équation de Poisson) التي تسمح بحساب  $V$  إذا كنا نعرف توزيع الشحنة و العكس صحيح.

**مثال 7.1:** يسود في منطقة من الفراغ حقل كهروساكن من الشكل:  $\vec{E} = x\vec{i} + 2y\vec{j} + 3\vec{k}$  أوجد عبارة الكثافة الحجمية للشحنة.

**الجواب:** تطبيقاً للمعادلة (61.1)

$$\operatorname{div} \vec{E} = \frac{\rho}{\epsilon_0} \Rightarrow \rho = \epsilon_0 \left[ \frac{\partial E_x}{\partial x} + \frac{\partial E_y}{\partial y} + \frac{\partial E_z}{\partial z} \right]$$

$$\rho = \epsilon_0 [1 + 2 + 0] \Rightarrow \boxed{\rho = 3\epsilon_0}$$

**مثال 8.1:** تعطى عبارة الكمون:  $V(x, y, z) = \frac{q}{4\pi\epsilon_0 a^3} + \frac{q}{4\pi\epsilon_0 a^3} (x^2 + y^2 - z^2)$  إستنتاج عبارة كثافة الشحنة.

**الجواب:** من معادلة بواسون نتوصل إلى  $\rho$ :

$$\frac{q}{4\pi\epsilon_0 a^3} [2 + 2 - 2] = -\frac{\rho}{\epsilon_0} \Rightarrow \boxed{\rho = \frac{-q}{2\pi\epsilon_0 a^3}}$$

## ماذا لو لم تكون هناك أي شحنة؟

هذا يعني أن:

$$(62.1) \quad \rho = 0 \Rightarrow \boxed{\frac{\partial^2 V}{\partial x^2} + \frac{\partial^2 V}{\partial y^2} + \frac{\partial^2 V}{\partial z^2} = 0}$$

تعرف هذه العبارة باسم معادلة لابلاس (équation de Laplace) و تستعمل خاصة في ميكانيك السوائل. يظهر في هذه المعادلة مؤثر يسمى مؤثر لابلاس أو لابلاسيان (Le Laplacien) و هو:

$$(64.1) \quad \boxed{\Delta = \frac{\partial^2}{\partial x^2} + \frac{\partial^2}{\partial y^2} + \frac{\partial^2}{\partial z^2}}$$

## 5/ مفهوم الزاوية الصلبة: (Notion de l'angle solide)

في الهندسة المستوية الزاوية المستوية هي التي نهتم بها في تقديراتنا. أما حين يتعلق الأمر بالهندسة الفضائية فإن الحديث يكون على الزاوية الصلبة أو المجردة. فعلى سبيل المثال الأشعة الضوئية المنبعثة من منبع ضوئي نقطي في الظلام يتميز بمقدارين: المنحى أو الجهة (عبارة عن مستقيم) و الزاوية الأعظمية لانتشار الحزمة الضوئية حول هذا المستقيم (عبارة عن مخروط). في الحالة الأخيرة تلك الزاوية هي التي نسميها الزاوية الصلبة أو المجردة. الشكل 36.1-أ

تعريف: الزاوية الصلبة ، أو المجردة ، العنصرية هي الفضاء الموجود داخل سطح مخروطي عنصري  $dS$  البعيد بمسافة  $R$  عن قمة المخروط ، و تحسب بالعبارة:

$$(65.1) \quad \boxed{d\Omega = \frac{dS}{R^2}}$$

تكون الزاوية الصلبة موجبة دائماً و هي مستقلة عن  $R$ . وحدتها ستيرadian (sr) (stéradian).

لتحديد قيمة الزاوية الصلبة  $\Omega$  ، نرسم مخروطاً مركزه  $O$  و نصف قطره  $R$ . مساحة الدائرة التي يقطعها المخروط هي  $S$  (الشكل 36.1-بـ). قيمة الزاوية الصلبة هي:

$$(66.1) \quad \boxed{\Omega = \frac{S}{R^2}}$$

بالإحداثيات الكروية فإن السطح العنصري ، باعتبار  $R$  ثابتة ، يساوي:

$$(67.1) \quad dS = R^2 \sin \theta \cdot d\theta \cdot d\varphi$$

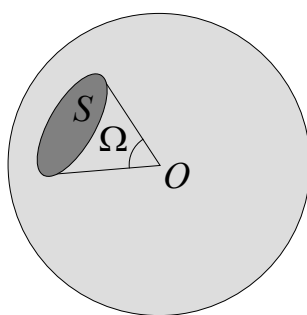
إذن الزاوية الصلبة العنصرية تكتب:

$$(68.1) \quad d\Omega = \sin \theta \cdot d\theta \cdot d\varphi$$

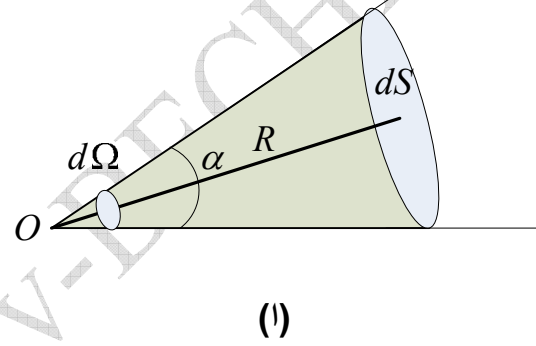
و منه فإن الزاوية الصلبة المحيطة بمخروط ، زاويته في القمة  $\alpha$  ، تساوي:

$$(69.1) \quad \Omega = \int d\Omega = \int_0^{2\pi} d\varphi \int_0^\alpha \sin \theta \cdot d\theta = 2\pi (1 - \cos \alpha)$$

$$(70.1) \quad \boxed{\Omega = 2\pi (1 - \cos \alpha)}$$



(ب)



(ل)

الشكل 36.1: الزاوية الصلبة

### مناقشة:

الحالة الأولى: مناسب لنصف الفضاء المشكل من قبل  $\alpha = \pi/2 \Rightarrow \boxed{\Omega = 2\pi \text{ sr}}$ .  $\alpha = \pi/2$

الحالة الثانية: مناسب لكل الفضاء حول نقطة و هي أكبر قيمة للزاوية الصلبة.

### الحالة العامة:

إذا كان شعاع السطح العنصري موازياً للمستقيم  $OP$  (الشكل 37.1-أ) فإن

$\cos \theta = 1$  ، و بالتالي الزاوية الصلبة العنصرية تساوي:

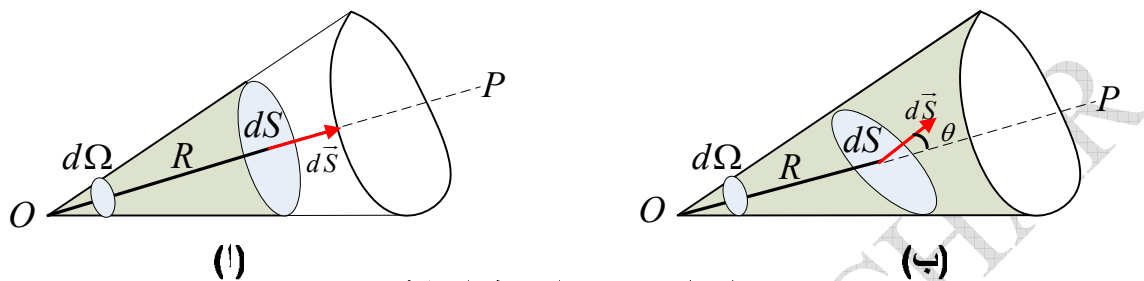
$$(71.1) \quad \boxed{d\Omega = \frac{dS}{R^2}}$$

أما إذا كان شعاع السطح العنصري يصنع الزاوية  $\theta$  مع المستقيم  $OP$  (الشكل 37.1-ب-) فإن الزاوية الصلبة العنصرية تساوي:

(72.1)

$$d\Omega = \frac{dS \cdot \cos \theta}{R^2}$$

هذه العلاقة هي التي يجب الاحتفاظ بها لحساب الزاوية الصلبة في الحالة العامة.



الشكل 37.1: الزاوية الصلبة

#### ❖ العلاقة بين الزاوية الصلبة و التدفق الكهربائي:

الحقل الكهربائي الناتج عن شحنة نقطية  $q$  على البعد  $r$  من الشحنة هو  $E = K \frac{q}{r^2}$ .

التدفق العنصري  $d\Phi$  عبر السطح العنصري  $dS$  الموجود على البعد  $r$  من الشحنة يكتب:

$$(73.1) \quad d\Phi = E \cdot dS = K \cdot q \frac{dS}{r^2}$$

$$(74.1) \quad d\Phi = \frac{q}{4\pi\epsilon_0} \cdot d\Omega$$

بعملية تكاملية نحصل على التدفق الكلي العابر لكل السطح  $S$ :

$$(75.1) \quad \Phi = \frac{q}{4\pi\epsilon_0} \Omega$$

التدفق الكهربائي الناتج عن شحنة نقطية عبر سطح كيفي يساوي  $\frac{q}{4\pi\epsilon_0}$  مضروب في الزاوية الصلبة  $\Omega$  التي نرى من خلالها هذا السطح من الشحنة النقطية.

إذا كان السطح مغلقاً و يحيط بالشحنة  $q$  فإن الزاوية الصلبة هي  $4\pi$  و التدفق يساوي

$$\cdot \frac{q}{\epsilon_0}$$

أما إذا كان السطح مغلقاً ولا يحيط بالشحنة  $q$  فإن الزاوية الصلبة معدومة ( $\Omega = 0$ ) و التدفق الكهربائي معدوم كذلك.

### **F/ ثانوي القطب الكهربائي:** (Dipôle électrique)

❖ **تعريف:** يتكون ثانوي قطب كهربائي من شحتين متساويتين و متعاكستين في الإشارة و متبعدين بمسافة صغيرة جداً.  
الشكل 18.1 يمثل خطوط الحقل لثانوي القطب الكهربائي.

❖ **تعريف:** العزم الكهربائي لثانوي القطب (moment dipolaire) هو شعاع حرّ  $\vec{p}$  يساوي جداء قيمة الشحنة  $q$  في شعاع الإنتقال  $\vec{a}$  للشحنة ، موجه من الشحنة الموجبة نحو الشحنة السالبة (الشكل 38.1):

(76.1)

$$\boxed{\vec{p} = q \cdot \vec{a}}$$

### **❖ الكمون الكهربائي الناتج عن ثانوي القطب الكهربائي:**

نريد حساب الكمون الكهربائي الناتج عن الشحتين  $+q$  ،  $-q$  - في نقطة  $P$  تبعد بـ  $r_1$  عن الشحنة  $+q$  و بـ  $r_2$  عن الشحنة  $-q$ . البعد  $a$  صغير جداً أمام المسافتين  $r_1$  و  $r_2$ . (الشكل 38.1)

$$V = \sum V_i \Rightarrow V = K \left[ \frac{q}{r_1} - \frac{q}{r_2} \right] \Rightarrow V = K \cdot q \cdot \frac{(r_2 - r_1)}{r_2 \cdot r_1}$$

بما أن  $a \gg r$  فإن  $r_2 - r_1 = a \cos \theta$  و  $r_1 \cdot r_2 \approx r^2$  و عليه فإن:

(77.1)

$$V = \frac{1}{4\pi\epsilon_0} \cdot \frac{q \cdot a \cdot \cos \theta}{r^2} \Rightarrow \boxed{V = \frac{p \cdot \cos \theta}{4\pi\epsilon_0 \cdot r^2}}$$

### **❖ الحقل الكهربائي الناتج عن ثانوي القطب الكهربائي:**

سنحاول إيجاد  $E$  انطلاقاً من المعادلة  $\vec{E} = -\overrightarrow{\text{grad}}V$ .

**بالإحداثيات المستطيلة:** اعتماداً على الشكل 38.1 نرى أن:

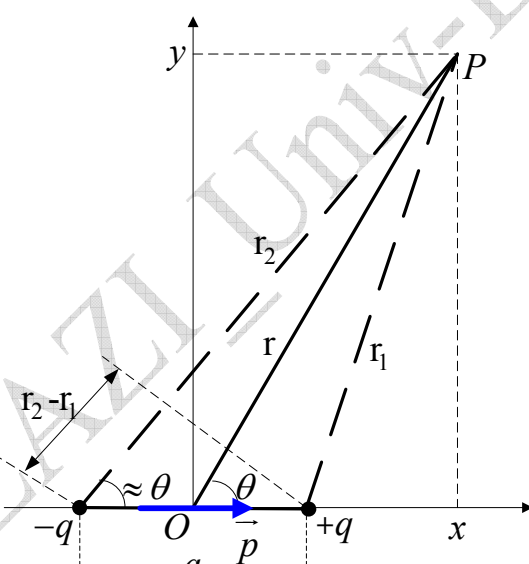
$$r_1 = \left[ y^2 + (x - a/2)^2 \right]^{1/2}; \quad r_2 = \left[ y^2 + (x + a/2)^2 \right]^{1/2}$$

و بما أن

$$V = K \cdot q \left[ \frac{1}{r_1} - \frac{1}{r_2} \right]$$

إذن:

$$(78.1) \quad V = \frac{1}{4\pi\epsilon_0} \cdot q \left[ \frac{1}{\left[ y^2 + (x - a/2)^2 \right]^{1/2}} - \frac{1}{\left[ y^2 + (x + a/2)^2 \right]^{1/2}} \right]$$



الشكل 38.1: ثنائي القطب الكهربائي

يبقى الآن القيام بعملية الاشتقاء:

$$(79.1) \quad E_x = -\frac{\partial V}{\partial x} = \frac{1}{4\pi\epsilon_0} \cdot q \left[ \frac{x - a/2}{\left[ y^2 + (x - a/2)^2 \right]^{3/2}} - \frac{x + a/2}{\left[ y^2 + (x + a/2)^2 \right]^{3/2}} \right]$$

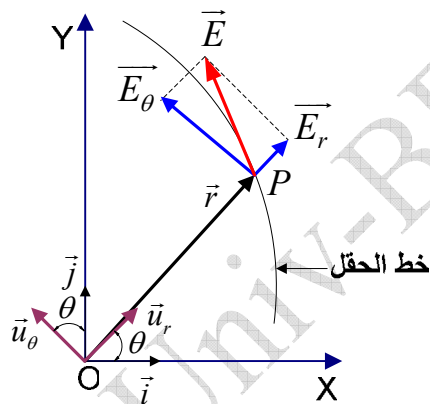
$$(80.1) E_y = -\frac{\partial V}{\partial y} = \frac{1}{4\pi\epsilon_0} \cdot q \left[ \frac{y}{\left[ y^2 + (x-a/2)^2 \right]^{3/2}} - \frac{y}{\left[ y^2 + (x+a/2)^2 \right]^{3/2}} \right]$$

### بالإحداثيات القطبية:

نتبع نفس الطريقة السابقة و نعتمد على الشكل 39.1

نعرف أن:  $\vec{E} = \vec{E}_r + \vec{E}_\theta$  و عليه:

$$(81.1) \quad E_r = -\frac{\partial V}{\partial r} = \frac{2p \cos\theta}{4\pi\epsilon_0 r^3} ; \quad E_\theta = -\frac{1}{r} \frac{\partial V}{\partial \theta} = p \cdot \frac{\sin\theta}{4\pi\epsilon_0 r^3}$$



الشكل 39.1: الإحداثيات القطبية للحقن

EXERCICES

\*\*

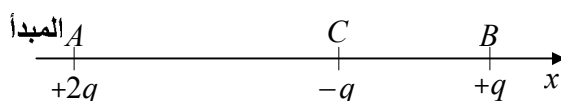
تمارينExercice 1.1

Soit la distribution de charges (de l'ordre du microcoulomb) ci-dessous ;  $AB = d = 0,2\text{m}$  ; Les deux charges placées en  $A$  et  $B$  sont fixes; par contre la charge placée en  $C$  est mobile sur la droite  $AB$ .

Quelle est la position d'équilibre de la charge placée en  $C$ , si elle existe ?

التمرين 1.1

ليكن توزيع الشحنات (من مرتبة الميكروكولومب) المبين أسفله؛  $AB = d = 0,2\text{m}$  الشحتان الموضوعتان في  $A$  و  $B$  ساكنتان؛عكس الشحنة الموضوعة في  $C$  المتحركة على المستقيم  $AB$ . ما هو موضع التوازن للشحنة الموضوعة في  $C$ ، إن وجد؟

Exercice 1.2

Aux deux extrémités d'un fil de longueur  $2l$ , sont attachés deux ballons sphériques gonflés avec de l'hélium (l'hélium étant plus léger que l'air), et portent la même charge  $+q$ . On suspend au milieu du fil une masse  $m$ . Le système abandonné à lui même dans l'atmosphère occupe alors une position d'équilibre stable dans un même plan vertical, telle que chaque moitié du fil fait un angle  $\alpha$  avec l'horizontale (figure ci-dessous).

En négligeant les masses du fil et des ballons, calculer la valeur de  $q$ .

Application numérique :

$$g = 10 \text{ N} \cdot \text{kg}^{-1}, \quad l = 1 \text{ m}, \quad m = 5 \text{ g}, \quad \alpha = \pi/6 \text{ rad}$$

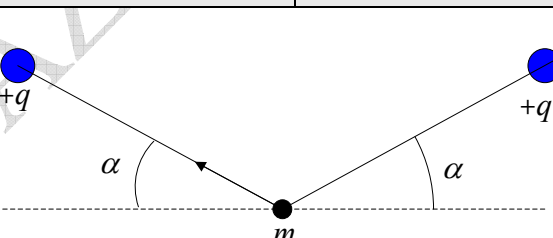
تمرين 2.1

تربيط في نهاية خيط طوله  $2l$  نفختان (بالونان) كرويتنان متماثلتان مملوئتان بغاز الهليوم (الهليوم أخف من للهواء)، وتحملن نفس الشحنة  $+q$ . تعلق في منتصف الخيط كتلة  $m$ . ترك النفختان في الهواء فتتوارزان وتسقزان في مستوى شاقولي واحد بحيث يصنع كل جزء من الخيط عنده عدئذ مع الأفق الزاوية ( $\alpha$ ). (الشكل أسفله)

باهمال كتلة الخيط والنفختين أحسب قيمة  $q$ .

تطبيق عددي:

$$g = 10 \text{ N} \cdot \text{kg}^{-1}, \quad l = 1 \text{ m}, \quad m = 5 \text{ g}, \quad \alpha = \pi/6 \text{ rad}$$

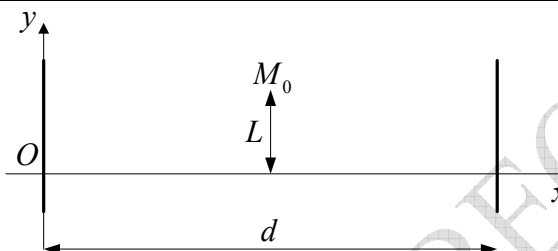
Exercice 2.3

Une petite boule (supposée ponctuelle) électrisée de masse  $m$  et portant une charge positive  $q$  telle que  $\frac{q}{m} = 10^{-6} \text{ C kg}^{-1}$  est placée entre deux plaques métalliques  $A$  et  $B$  verticales distantes de  $d = 4\text{cm}$ . Ces deux plaques soumises à une tension positive  $U_{AB} = U$  créent un champ électrique supposé uniforme.

التمرين 3.1

كرة صغيرة (مفترضة نقطية) مشحونة كتلتها  $m$  وتحمل الشحنة الموجبة  $q$  بحيث  $\frac{q}{m} = 10^{-6} \text{ C kg}^{-1}$  وضعت بين صفيحتين معدنيتين  $A$  و  $B$  شاقوليتين متبعدين بـ  $d = 4\text{cm}$ . حين تخضع هاتين الصفيحتين للتوتر  $U_{AB} = U$  الموجب ينشأ حقل كهربائي مفترض منتظم.

|   |   |
|---|---|
| <p>A la date <math>t = 0</math>, la boule est abandonnée sans vitesse initiale en un point <math>M_0</math> de coordonnées <math>x_0 = \frac{d}{2}</math> et <math>y_0 = L = 1m</math>. Soit <math>g = 10ms^{-2}</math></p> <p>l'intensité du champ de pesanteur.</p> <p>1/ Trouver l'équation de la trajectoire de la boule.</p> <p>2/ Calculer la date de passage de la boule dans le plan horizontale <math>y = 0</math>.</p> <p>3/ Quelle valeur doit-on donner à <math>U</math> pour que la trajectoire de la boule passe par le point <math>P</math> de coordonnées <math>(d, 0)</math> ?</p> | <p>في اللحظة <math>t = 0</math>, تترك الكرة بدون سرعة ابتدائية من النقطة ذات الإحداثيين <math>M_0</math> و <math>x_0 = \frac{d}{2}</math> ، ليكن <math>y_0 = L = 1m</math> ، شدة حقل الجاذبية <math>g = 10ms^{-2}</math>.</p> <p>أوجد معادلة مسار الكرة.</p> <p>أحسب لحظة مرور الكرة في المستوى الأفقي <math>y = 0</math>.</p> <p>ما هي القيمة الواجب إعطاؤها لـ <math>U</math> حتى يمر مسار الكرة من النقطة ذات الإحداثيين <math>(d, 0)</math> ؟</p> |
|---|---|

**Exercice 1.4**

Soient  $n$  charges ponctuelles ( $q \neq 0$ ) placées aux sommets  $A_i$  d'un polygone régulier de centre  $O$ , de côtés de longueur  $a$ .

1/ Déterminer le champ électrostatique  $\vec{E}(z)$  en un point  $M$  de l'axe  $Oz$  du polygone (orthogonal en  $O$  à son plan)

2/ En déduire  $\vec{E}(z)$  dans le cas :

- a/ d'un triangle équilatéral d'axe  $Oz$ ,
- b/ d'un carré d'axe  $Oz$ .

**التمرين 4.1**

لتكن  $n$  شحنة نقطية ( $q \neq 0$ ) موضوعة في القم  $A_i$  لمتعدد الأضلاع المنتظم مركزه  $O$ , ذي أضلاع طولها  $a$ .

1/ عين الحقل الكهربائي ( $\vec{E}(z)$ ) في نقطة  $M$  من المحور  $Oz$  العمودي في  $O$  على مستوى متعدد الأضلاع.

2/ إستنتج ( $\vec{E}(z)$ ) في حالة:

- ا/ مثلث متساوي الأضلاع محوره  $Oz$ .
- ب/ مربع محوره  $Oz$ .

**Exercice 1.5**

Des charges ponctuelles occupent les sommets  $A, B$  et  $C$  d'un losange de côté  $a$ , comme indiqué sur la figure ci-dessous ( il n'y a pas de charge en  $D$  ).

1/ Calculer le champ électrique produit par les trois charges au sommet  $D$  ; représenter graphiquement ce champ.

2/ Calculer le potentiel produit en  $D$  .

3/ On place la charge  $+2q$  au point  $D$ . Calculer la force électrique exercée par les autres charges sur cette charge.

4/ Calculer l'énergie potentielle de la charge  $+2q$  .

**التمرين 5.1:**

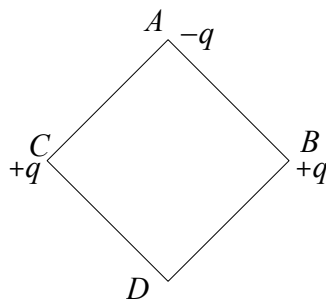
وضعت شحنات نقطية على الرؤوس  $C, B, A$  و  $D$  معين ضلعه  $a$  ، كما هو مبين في الشكل أسفله ( في لا توجد شحنة).

1/ أحسب الحقل الكهربائي الناتج عن الشحنات الثلاثة عند النقطة  $D$  ؛ مثل هذا الحقل بيانيا.

2/ أحسب الكمون (الجهد) الناتج في النقطة  $D$  .

3/ نضع الشحنة  $+2q$  في النقطة  $D$  ؛ أحسب القوة الكهربائية المطبقة عليها من طرف الشحن الأخرى.

4/ أحسب الطاقة الكامنة للشحنة  $+2q$  .

**Exercice 1.6**

On considère deux charges  $q$  et  $-2q$  situées respectivement aux deux points  $A(a, 0, 0)$  et  $A'(4a, 0, 0)$  dans les coordonnées cartésiennes.

1/ Calculer le potentiel électrique en un point quelconque  $M(x, y, z)$ .

2/ Déterminer la surface équipotentielle  $V = 0$ .

3/ Montrer qu'en chaque point de cette surface le champ électrique passe par un point constant qu'il faudra déterminer.

**التمرين 6.1**

نعتبر شحتين  $q$  و  $-2q$  موضعتين على الترتيب في النقطتين  $(a, 0, 0)$  و  $(4a, 0, 0)$  في الإحداثيات الكارتيزية.

1/ إحسب الجهد الكهربائي في نقطة ما  $M(x, y, z)$ .

2/ حدد السطح متساوي الكمون  $V = 0$ .

3/ بين أنه في كل نقطة من هذا السطح يمر الحقل الكهربائي بنقطة ثابتة و التي عليك تعينها.

**Exercice 1.7**

On considère un segment  $AB$  électrisé positivement de densité linéique homogène  $\lambda$  de longueur  $2a$  et de centre  $O$ .

1/ Démontrer que la composante  $\vec{E}_y$  du champ électrostatique est nulle.

2/ Déterminer le champ électrostatique en un point  $M$  de l'axe de symétrie  $Ox$ . On pose  $OM = x$ .

3/ En déduire en ce point  $M$  le champ créé par un fil « infini ».

**التمرين 7.1**

نعتبر قطعة مستقيمة  $AB$  مكهربة ايجابا ذات كثافة طولية  $\lambda$  متجانسة طولها  $2a$  و منتصفها  $O$ .

1/ برهن أن المركبة  $\vec{E}_y$  للحقل الكهروساكن معدومة.

2/ حدد الحقل الكهروساكن في نقطة  $M$  من محور التنازد  $Ox$ . نضع  $OM = x$ .

3/ استنتج في هذه النقطة  $M$  الحقل الناتج عن سلك "لا متاهي".

**Exercice 1.8**

Un fil de longueur  $L$  porte une densité linéaire de charge  $\lambda > 0$  (figure ci-dessous).

1/ Montrer que les composantes du champ électrique au point  $P$  situé à une distance  $R$  du fil sont données par :

$$E_x = \frac{\lambda}{4\pi\epsilon_0 R} (\sin\theta_2 - \sin\theta_1)$$

$$E_y = \frac{\lambda}{4\pi\epsilon_0 R} (\cos\theta_2 - \cos\theta_1)$$

Où  $E_x$  et  $E_y$  sont les composantes du champ, consécutivement parallèle et perpendiculaire au fil, et  $\theta_1$  et  $\theta_2$  les angles que font avec la perpendiculaire au fil les droites joignant le point  $P$  aux extrémités du fil.

**التمرين 8.1**

يحمل سلك طوله  $L$  كثافة خطية لشحنة  $\lambda > 0$  (الشكل في الأسفل).

1/ برهن أن مركبتي الحقل الكهربائي في نقطة  $P$  واقعة على بعد  $R$  من السلك هما على التوالي :

$$E_x = \frac{\lambda}{4\pi\epsilon_0 R} (\sin\theta_2 - \sin\theta_1)$$

$$E_y = \frac{\lambda}{4\pi\epsilon_0 R} (\cos\theta_2 - \cos\theta_1)$$

حيث  $E_x$  و  $E_y$  هما مركبتي الحقل ، على التوالي الموازية و العمودية على السلك، و  $\theta_1$  و  $\theta_2$  الزوايا بينهما المستقيمان الواثلان النقطة  $P$  بنهاياتي السلك مع العمود للسلك.

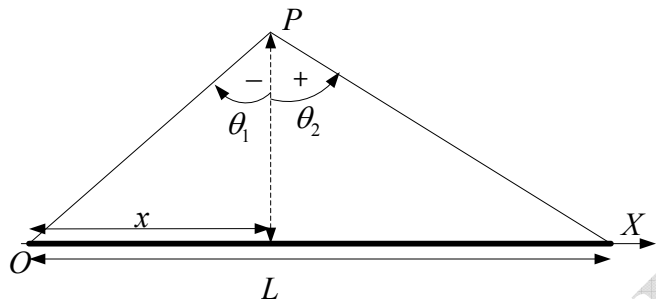
2/ أوجد الحقل حينما تقع النقطة  $P$  على نفس البعد من

2/ Trouver le champ quand le point  $P$  est équidistant des deux extrémités du fil.

3/ En déduire le champ en un point de l'axe de symétrie d'un fil infiniment long.

Les signes des angles  $\theta_1$  et  $\theta_2$  sont ceux indiqués sur la figure.

نهايتي السلك.  
3/ يستخرج عبارة الحقل في نقطة من محور تناظر سلك لا متناهي الطول  
إشارتا الزاويتين  $\theta_1$  و  $\theta_2$  هما كما هو مبين على الشكل.



### Exercice 1.9

Une charge linéaire ( $\lambda > 0$ ) est répartie uniformément sur un fil en forme d'anneau de rayon  $R$ . (figure ci-dessous).

1/ Calculer le champ électrique produit par le fil au point  $P$  situé sur l'axe  $OX$  à une distance  $x$  du centre  $O$ .

2/ Calculer le potentiel électrique produit au même point  $P$ .

3/ Déterminer par le calcul le point pour lequel le champ électrique est maximal.

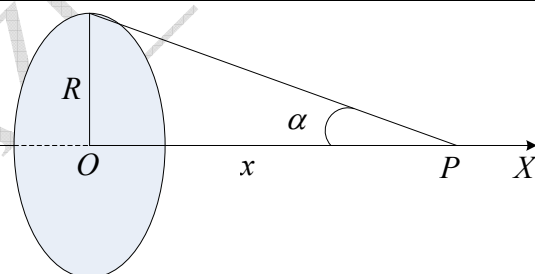
### التمرين 9.1

تتوزع شحنة خطية ( $\lambda > 0$ ) بانتظام على سلك في شكل حلقة نصف قطرها  $R$ . (الشكل في الأسفل)

1/ أحسب الحقل الكهربائي الناشئ عن السلك في النقطة  $P$  الواقعة على المحور  $OX$  و التي تبعد  $x$  عن المركز  $O$ .

2/ أحسب الجهد (الكمون) الكهربائي في نفس النقطة  $P$ .

3/ عين حسابياً النقطة التي من أجلها يكون الحقل الكهربائي أعظمياً.

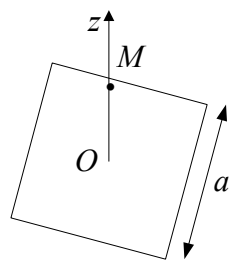


### Exercice 1.10

Une plaque métallique en forme de carré de côté  $a$  et de centre  $O$  est chargée uniformément d'une densité surfacique  $\sigma > 0$ . Ecrire l'expression du champ électrostatique créé au point  $M$  situé sur l'axe de symétrie perpendiculaire à la plaque et telle que  $OM = z = \frac{a}{2}$

### التمرين 10.1

صفيحة معدنية على شكل مربع ضلعها  $a$  ، مركزها  $O$  و مشحونة بانتظام بكثافة سطحية  $\sigma > 0$ . أكتب عبارة الحقل الكهروساكن الناتج في النقطة  $M$  الواقعة على محور التناظر  $Oz$  العمودي على الصفيحة و حيث  $OM = z = \frac{a}{2}$

**Exercice 1.11**

Une rondelle métallique de rayon intérieur  $R_1$  et de rayon extérieur  $R_2$  porte une charge répartie uniformément (densité surfacique de charge  $\sigma$ ).

1/ Calculer le champ électrostatique sur l'axe de la rondelle à la distance  $z$  de son centre.

2/ Retrouver le résultatat à partir du calcul du potentiel.

3/ Etudier le cas particulier  $R_1 = 0$ .

4/ Quel est le champ créé par un plan chargé infini ?

**التمرين 11.1**

تحمل حلقة معدنية ذات نصف قطر داخلي  $R_1$  و نصف قطر خارجي  $R_2$  شحنة موزعة بانتظام ( الكثافة السطحية للشحنة  $\sigma$  ).

1/ أحسب الحقل الكهروساكن على محور الحلقة على بعد  $z$  من مركزها.

2/ أوجد من جديد النتيجة انطلاقا من حساب الكمون.

3/ أدرس الحاله الخاصة  $0 < R_1 = 0$ .

4/ ما هو الحقل الناتج عن مستوى مشحون لامتناهي؟

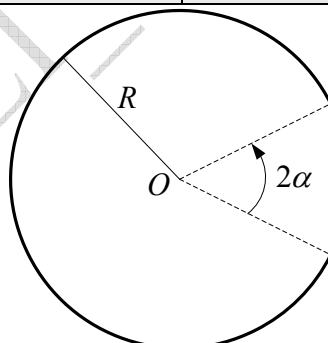
**Exercice 1.12**

Un anneau de centre  $O$  et de rayon  $R$  porte une densité linéique uniforme de charges  $\lambda$  sauf sur un arc d'angle au centre  $2\alpha$ . (Figure ci-dessous).

Déterminer le champ électrostatique en  $O$ .

**التمرين 12.1**

حلقة مركزها  $O$  و نصف قطرها  $R$  تحمل كثافة طولية منتظمة للشحنات  $\lambda$  ما عدى على قوس ذي زاوية في المركز  $2\alpha$ . (الشكل في الأسفل) عين الحقل الكهروساكن في  $O$ .

**Exercice 1.13**

On considère une portion de cône, de demi-angle au sommet  $\alpha$  et de rayons limites  $R_1$  et  $R_2$  ( $R_1 < R_2$ ).

Ce système est chargé en surface avec la densité non uniforme :  $\sigma = \sigma_0 \frac{a}{R}$

$a$  est une constante homogène à une longueur et le rayon du cône en un point de son axe de symétrie.

Déterminer le champ électrostatique au sommet  $O$  du cône.

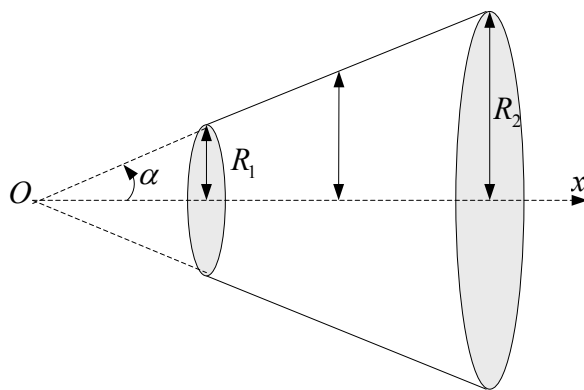
**التمرين 13.1**

نعتبر جزءا من مخروط ، ذي نصف زاوية رأسية  $\alpha$  و نصف قطر حدبين  $R_1$  و  $R_2$  ( $R_1 < R_2$ ). هذه الجملة مشحونة سطحيا بكتافة غير منتظمة:

$$\sigma = \sigma_0 \frac{a}{R}$$

$a$  ثابت متجانس مع طول و نصف قطر المخروط في نقطة من محور تناظره.

عين الحقل الكهروساكن في الرأس ( القمة )  $O$  للمخروط.

**Exercice 1.14**

Un nombre infini d'ions de charges alternativement positives et négatives  $\pm q$  sont disposés à intervalle régulier  $a$  le long d'une droite (figure ci-dessous).

Trouver l'énergie potentielle d'un ion.

Application numérique :

$$a = 2,8 \cdot 10^{-10} m, q = 1,6 \cdot 10^{-18} C$$

On rappelle :

$$\ln(1+x) = \left( x - \frac{x^2}{2} + \frac{x^3}{3} - \frac{x^4}{4} + \dots \dots \frac{x^n}{n} \right)$$

**التمرين 14.1**

وضع عدد لا متناهي من الشوارد ذات الشحنات المتناوبة موجبة و سالبة  $\pm q$  على بعد منتظم  $a$  على طول مستقيم (الشكل في الأسفل).

أوجد الطاقة الكامنة لشاردة واحدة.

تطبيق عدي:

$$q = 1,6 \cdot 10^{-18} C, a = 2,8 \cdot 10^{-10} m$$

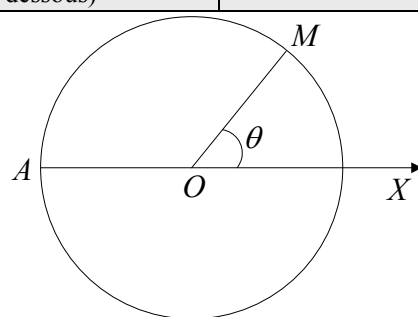
$$\ln(1+x) = \left( x - \frac{x^2}{2} + \frac{x^3}{3} - \frac{x^4}{4} + \dots \dots \frac{x^n}{n} \right)$$

**Exercice 1.15**

Une sphère  $S$  de rayon  $R$  porte une charge surfacique  $\sigma(\theta) = \sigma_0 \cos \theta$  à symétrie de révolution autour d'un axe diamétral  $\overrightarrow{OX}$ . On demande de calculer le champ électrique aux points  $O$  et  $A$  de l'axe  $\overrightarrow{OX}$ . (Figure ci-dessous)

**التمرين 15.1**

كرة  $S$  نصف قطرها  $R$  و تحمل شحنة سطحية  $\sigma(\theta) = \sigma_0 \cos \theta$  ذات تناطر دوراني حول المحور القطري  $\overrightarrow{OX}$ . المطلوب حساب الحقل الكهربائي في النقطتين  $O$  و  $A$  من المحور  $\overrightarrow{OX}$ . (الشكل أسفله)

**Exercice 1.16**

Soit une demi sphère de centre  $O$ , de rayon  $R$ , chargée uniformément en surface avec la densité surfacique  $\sigma > 0$ .

1/ Exprimer le potentiel et le champ électriques au point  $O$ . Expliquer pourquoi dans ce cas,

**التمرين 16.1**

لتكن نصف كرة مركزها  $O$ , نصف قطرها  $R$ , مشحونة بانتظام على السطح بكتافة سطحية  $\sigma > 0$ .

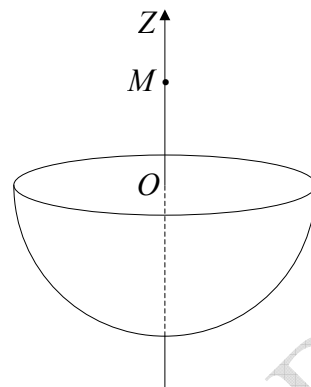
1/ عبر عن الكمون و الحقل الكهربائيين في النقطة  $O$ . إشرح لماذا في هذه الحالة لا يمكن استنتاج

l'expression du champ ne peut pas être déduite par dérivation de l'expression du potentiel ( $\vec{E} = -\overrightarrow{\text{grad}}V$ ).

2/ Exprimer le potentiel  $V(z)$  en un point  $M(z)$  de l'axe de symétrie  $Oz$  de cette demi sphère.

En déduire le champ  $E(z)$  et retrouver alors les expressions de 1/.

عبارة الحقل باشتاقاع عبارة الكمون ( $\vec{E} = -\overrightarrow{\text{grad}}V$ )  
عبر عن الكمون  $(z)$  في نقطة  $M(z)$  من محور التاظر  $OZ$  لنصف الكرة هذه. يستنتج الحقل و اوجد من جديد عبارتي 1/.



### Exercice 1.17

1/ Trouver une expression pour le champ et le potentiel électriques d'un plan portant une densité superficielle de charge uniforme  $\sigma > 0$  :

a/ en supposant qu'il est constitué d'une série de couronnes toutes concentriques de centre  $O$ ,

b/ en utilisant l'angle solide.

2/ Retrouver les mêmes résultats en appliquant le théorème de Gauss.

Qu'observez-vous ?

3/ Une charge  $-q$  de masse  $m$  est placée à une distance  $z$  du plan. La charge est libérée de sa position de repos. Calculer son accélération, la vitesse avec laquelle elle tombera sur le plan et le temps qu'elle mettra pour atteindre le plan.

### التمرين 17.1

1/ أوجد عبارة للحقل و للكمون الكهربائيين لمستوى يحمل كثافة سطحية لشحنة منتظمة  $\sigma > 0$  :  
أ/ بافتراض أنه مشكل من سلسلة من أكاليل كلها متمركزة ذات مركز  $O$  ،  
ب/ باستعمال الزاوية الصلبة.

2/ أوجد نفس النتائج باستعمال نظرية غوص.  
ماذا تلاحظ؟

3/ توضع شحنة  $-q$  - كتلتها  $m$  على بعد  $z$  من المستوى. تحرر الشحنة من موضع سكونها. أحسب تسارعها، السرعة التي تسقط بها على المستوى و الزمن الذي تأخذه لبلوغ المستوى.

### Exercice 1.18

Une sphère, de rayon  $R$ , porte une charge volumique  $\rho$  qui est répartie uniformément dans tout le volume qu'elle occupe à l'exception d'une cavité de rayon . Le centre de cette cavité est à la distance  $d$  du centre de cette sphère. La cavité est vide de charges.

En utilisant le théorème de Gauss et le principe de superposition, calculer le champ en tout point de la cavité. Que concluez-vous ?

### التمرين 18.1

تحمل كرة، نصف قطرها  $R$  ، شحنة حجمية  $\rho$  موزعة بانتظام على كل الحجم الذي تشغله باستثناء التجويف نصف قطره . مركز التجويف يبعد عن مركز الكرة بمسافة  $d$ . التجويف فارغ من الشحنات.  
باستعمال نظرية غوص و مبدأ التركب ، أحسب الحقل في كل نقطة من التجويف. ماذا تستنتج؟

**Exercice 1.19**

Une sphère creuse de rayon  $R$  porte une densité de charge surfacique uniforme  $\sigma > 0$ .

1/ Calculer le champ électrostatique produit en un point  $P$ , situé à une distance  $b$  du centre  $O$ , à l'extérieur, à l'intérieur puis à la surface de la sphère.

2/ En appliquant le théorème de Gauss, retrouver les résultats précédents.

3/ Calculer le potentiel électrique à l'intérieur, à l'extérieur et à la surface de la sphère. Que concluez-vous ?

3/ Partant des résultats de la question 3/, retrouver le champ à l'extérieur, à l'intérieur et à la surface de la sphère.

**التمرين 19.1**

يشحن سطح كرة مجوفة نصف قطرها  $R$  بالكثافة السطحية المنتظمة  $\sigma > 0$ .

1/ أحسب الحقل الكهروساكن الناتج في النقطة  $P$ ، الواقع على المسافة  $b$  عن المركز  $O$ ، خارج ، داخل ثم على سطح الكرة.

2/ بتطبيق نظرية غوص أوجد من جديد النتائج السابقة.

3/ أحسب الكمون الكهربائي داخل، خارج و على سطح الكرة. ماذا تستنتج؟

4/ انطلاقا من نتائج السؤال 3/ أوجد من جديد الحقل داخل، خارج و على سطح الكرة.

**Exercice 1.20**

Un cylindre plein de longueur infinie, de rayon  $R$  porte une densité de charge volumique  $\rho > 0$ .

1/ En utilisant le théorème de Gauss, calculer le champ électrostatique à l'intérieur, à la surface et à l'extérieur du cylindre.

2/ En déduire le potentiel à l'intérieur, à la surface et à l'extérieur du cylindre, en supposant  $V = 0$  sur l'axe du cylindre.

**التمرين 20.1**

أسطوانة مصممة لا متاهية الطول، نصف قطرها  $R$  ، تحمل بانتظام كثافة شحنة حجمية  $\rho > 0$ .

1/ باستعمال نظرية غوص أحسب الحقل الكهربائي الساكن داخل، على سطح و خارج الأسطوانة.

2/ يستنتج الكمون (الجهد) الكهربائي داخل، على سطح و خارج الأسطوانة، بافتراض  $V = 0$  على محور الأسطوانة.

**Exercice 1.21**

On considère deux sphères,  $s_1$  pleine et  $s_2$  creuse, concentriques au point  $O$ , de rayons  $R_1$  et  $R_2$  tel que  $(R_1 \prec R_2)$ . La première porte une charge volumique de densité  $\rho > 0$  et la deuxième une charge surfacique de densité  $\sigma > 0$ .

1/ En appliquant le théorème de Gauss calculer le champ électrostatique dans les régions :  $r \prec R_1$ ,  $R_1 \prec r \prec R_2$  et  $r \succ R_2$ . On note par le rayon de la surface de Gauss.

2/ En déduire le potentiel électrique dans les mêmes régions à une constante près.

3/ Représenter les fonctions  $E(r)$  et  $V(r)$ .

**التمرين 21.1**

نعتبر كرتين،  $s_1$  مصممة و  $s_2$  مجوفة، متراكزين في النقطة  $O$ ، نصف قطريهما  $R_1$  و  $R_2$  بحيث  $(R_1 \prec R_2)$ . تحمل الأولى شحنة حجمية كثافتها  $\rho > 0$  و تحمل الثانية شحنة سطحية كثافتها  $\sigma > 0$ .

1/ بتطبيق نظرية غوص أحسب الحقل الكهربائي الساكن الناتج في المناطق:  $r \prec R_1 \prec r \prec R_2$  و  $R_2 \prec r$ . تمثل نصف قطر سطح غوص.

2/ يستنتج الكمون الكهربائي في نفس المناطق بثابت تقريري.

3/ أرسم الدالتين  $E(r)$  و  $V(r)$ .

**Exercice 1.22**

On considère deux cylindres coaxiaux infiniment longs, de rayons  $R_1$  et  $R_2$  ,  $(R_1 \prec R_2)$  , portant des charges respectives  $+λ$  et  $-λ$  par unité de longueur.

1/ Montrer, en utilisant le théorème de Gauss, que le champ électrique est :

a/ nul si  $r \prec R_1$  ou si  $r \succ R_2$  sachant que  $r$  est le rayon de la surface de Gauss( cylindre),

b/ inversement proportionnel à  $r$  pour  $R_1 \prec r \prec R_2$  .

**التمرين 22.1**

نعتبر أسطوانتين متمحورتين لا متاهيتي الطول ، نصف قطريهما  $R_1$  و  $R_2$  ،  $(R_1 \prec R_2)$  ، و تحملان على التوالي الشحنتين  $+λ$  و  $-λ$  لوحدة الطول.

1/ بين باستخدام نظرية غوص أن:

1/ الحقل الكهربائي معروف إذا كان  $R_1 \prec r \prec R_2$  أو

ب/ الحقل الكهربائي يتناسب عكسا مع  $r$  من أجل

2/ En déduire le potentiel dans tout l'espace. Où sont rapprochées les surfaces équipotentielles le plus?

$$R_1 \prec r \prec R_2$$

2/ يستنتج الكمون الكهربائي في كل الفضاء. أين تكون السطوح متساوية الكمون أكثر تقاربًا؟

### Exercice 1.23

Soit le potentiel à symétrie sphérique suivant :

$$V(r) = \frac{e}{4\pi\epsilon_0} \left( k + \frac{1}{r} \right) \exp(-2kr) \rightarrow (1)$$

où désigne la distance entre l'origine  $O$  et un point  $M$ , où  $k$  désigne une constante et où  $e$  désigne la charge élémentaire :  $e = 1,6 \cdot 10^{-19} C$ . Ce potentiel est créé par une distribution de charges inconnue et que l'on cherche à caractériser.

1/ Quelle est la dimension de la constante  $k$ ? Quelle est son unité dans le système international?

2/ Calculer l'expression du champ électrique créé par la distribution de charges. On rappelle que le vecteur gradient en coordonnées sphériques s'écrit :

$$\vec{\text{grad}} f = \frac{\partial f}{\partial r} \vec{u}_r + \frac{1}{r} \frac{\partial f}{\partial \theta} \vec{u}_\theta + \frac{1}{r \sin \theta} \frac{\partial f}{\partial \phi} \vec{u}_\phi$$

3/ En appliquant le théorème de Gauss à la sphère  $S$  de centre  $O$  et de rayon , montrer que la charge  $q(r)$  contenue dans cette sphère s'écrit :

$$q(r) = e(1 + 2kr + 2k^2r^2) \exp(-2kr) \rightarrow (2)$$

4/ Montrer que la distribution étudiée contient une charge ponctuelle  $e$  placée en  $O$ .

5/ Calculer la  $\lim_{r \rightarrow \infty} q(r)$  et en déduire qu'en outre la charge ponctuelle placée en  $O$ , il existe dans tout l'espace une densité volumique de charge non nulle. Expliquez pourquoi le potentiel donné par l'équation (1) peut être utilisé pour modéliser un atome d'hydrogène.

6/ A partir de la relation (2), montrer que la densité volumique de charge  $\rho(r)$  s'écrit :

$$\rho(r) = \frac{-e}{\pi} k^3 \exp(-2kr)$$

### التمرين 23.1

ليكن الكمون ذي التناظر الكروي التالي:

$$V(r) = \frac{e}{4\pi\epsilon_0} \left( k + \frac{1}{r} \right) \exp(-2kr) \rightarrow (1)$$

حيث ترمز إلى المسافة بين المركز  $O$  و نقطة  $M$ , حيث  $k$  ترمز إلى ثابت و  $e$  ترمز إلى الشحنة العنصرية:  $e = 1,6 \cdot 10^{-19} C$ . هذا الكمون ناتج عن توزيع للشحنات مجھول و الذي نبحث عن تمييزه.

1/ ما هو بعد الثابت  $k$ ? ما هي وحدته في الجملة الدولية؟

2/ أحسب عبارة الحقل الكهربائي الناتج عن هذا التوزيع للشحنات. نذكر أن شاع التدرج بالإحداثيات الكروية يكتب:

$$\vec{\text{grad}} f = \frac{\partial f}{\partial r} \vec{u}_r + \frac{1}{r} \frac{\partial f}{\partial \theta} \vec{u}_\theta + \frac{1}{r \sin \theta} \frac{\partial f}{\partial \phi} \vec{u}_\phi$$

3/ بتطبيق نظرية غوص على الكرة  $S$  ذات المركز  $O$  و نصف القطر ، بين أن الشحنة  $q(r)$  المتوافدة داخل هذه الكرة تكتب:

$$q(r) = e(1 + 2kr + 2k^2r^2) \exp(-2kr) \rightarrow (2)$$

4/ بين أن التوزيع المدروس يحتوي شحنة نقطية موضوعة في  $O$ .

5/ أحسب نهاية  $q(r)$  و استنتاج أنه بالإضافة إلى الشحنة النقطية الموضوعة في  $O$  ، يوجد في كل الفضاء كثافة حجمية للشحنة غير معروفة. إشرح لماذا الكمون المعطى بالمعادلة (1) يمكن استعماله لنموذجة ذرة هيدروجين.

6/ انطلاقا من العلاقة (2)، بين أن الكثافة الحجمية للشحنة  $\rho(r)$  نكتب:

$$\rho(r) = \frac{-e}{\pi} k^3 \exp(-2kr)$$

### Exercice 1.24

On considère une distribution de charges à symétrie sphérique de centre  $O$ . Le potentiel en un point  $M$  de

l'espace est:  $V(r) = \frac{q}{4\pi\epsilon_0} \frac{e^{-r/a}}{r}$  avec  $OM = r$  et

$a$  une constante positive.

1/ Déterminer le champ électrostatique en ce

### التمرين 24.1

نعتبر توزيعا ذي تناظر كروي مركزه  $O$ . الكمون في نقطة  $M$  من الفضاء هو:

$$V(r) = \frac{q}{4\pi\epsilon_0} \frac{e^{-r/a}}{r}$$

موجب.

|   |   |
|---|---|
| <p>point <math>M</math>.</p> <p>2/ Calculer le flux du champ à travers une sphère de centre <math>O</math> et de rayon . Faire tendre successivement vers <math>O</math>, puis vers l'infini. Conclure.</p> <p>3/ Déterminer la densité volumique de charge <math>\rho</math>.</p> <p>4/ Etudier la fonction <math>z(r) = 4\pi r^2 \rho(r)</math>. Quelle est la signification de cette fonction?</p> | <p>/1 عين الحقل الكهروساكن في هذه النقطة <math>M</math>.</p> <p>/2 أحسب التدفق عبر كرة مركزها <math>O</math> و نصف قطرها . قم بتمديد على التوالي نحو <math>O</math>، ثم نحو اللانهائي. ماذا تنتهي؟</p> <p>/3 حدد الكثافة الحجمية للشحنة <math>\rho</math>.</p> <p>/4 أدرس الدالة <math>z(r) = 4\pi r^2 \rho(r)</math> . ما هو مدلول هذه الدالة؟</p> |
|---|---|

**Exercice 1.25**

Soit un dipôle  $D$  , son moment étant  $\vec{p}$  et  $a$  la distance entre ses deux charges  $-q$  et  $+q$  . (Figure ci-dessous)

1/ Calculer le champ et le potentiel électriques produits par le dipôle  $D$  au point  $M$  en fonction de  $p, \theta$  et , sachant que  $a \ll$  .

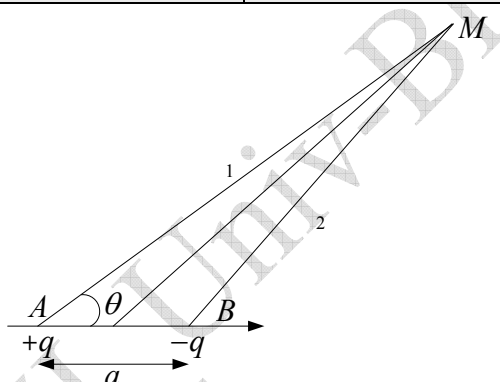
2/ Trouver l'équation des surfaces équipotentielles ainsi que l'équation des lignes de champ.

**التمرين 25.1**

ليكن ثنائي قطب  $D$  ، عزمه  $\vec{p}$  و  $a$  المسافة الفاصلة بين شحتيه  $-q$  و  $+q$  . (الشكل أسفله)

1/ أحسب الحقل و الكمون الكهربائيين الناتجين عن ثنائي القطب  $D$  عند النقطة  $M$  بدلالة  $M$  بدلالة  $p, \theta$  و علما أن  $a \ll$  .

2/ أوجد معادلة سطوح تساوي الكمون.



**Corrigés des exercices 1.1 à 1.25 :****حلول التمارين من 1.1 إلى 25.1****التمرين 1.1:**

الشحنة الموضعان في  $A$  و  $C$  متعاكستا للإشارة، إذن تتجاذبان. إذا وضعنا  $AC = x$  فإن شدة قوة الجذب تساوي:

$$F_{AC} = 9 \cdot 10^9 \frac{|2q||-q|}{x^2} \Rightarrow F_{AC} = 9 \cdot 10^9 \frac{2q^2}{x^2}$$

الشحنة الموضعان في  $B$  و  $C$  متعاكستا للإشارة، إذن تتجاذبان. وبما أن  $BC = d - x$  فإن شدة قوة الجذب تساوي:

$$F_{BC} = 9 \cdot 10^9 \frac{|q||-q|}{(d-x)^2} \Rightarrow F_{BC} = 9 \cdot 10^9 \frac{q^2}{(d-x)^2}$$

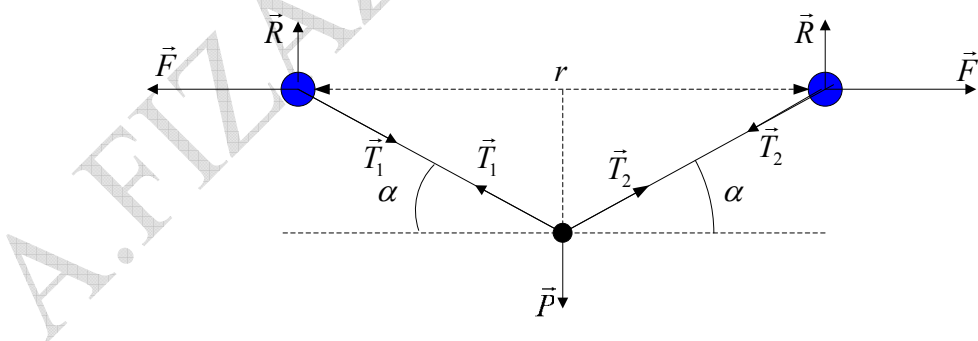
الشحنة الموضعة في  $C$ ، الخاسعة للقوتين الكهربائيتين لا يمكنها أن تتوزن إلا إذا كانت القوتان متعاكستين مباشرة. لا يتحقق هذا إلا إذا وقعت  $C$  بين  $A$  و  $B$ . وعليه:

$$F_{AC} = F_{BC} \Rightarrow 9 \cdot 10^9 \frac{2q^2}{x^2} = 9 \cdot 10^9 \frac{q^2}{(d-x)^2} \Rightarrow \frac{2}{x^2} = \frac{1}{(d-x)^2}$$

$$\begin{aligned} \frac{2}{x^2} &= \frac{1}{(d-x)^2} \\ d = 0,2 &\quad \left| \Rightarrow x^2 - 0,8x + 0,08 = 0 \Rightarrow [x = AC = 0,117m] \right. \end{aligned}$$

**التمرين 2.1:**

أساس الحل هو الرسم الهندسي المبين على الشكل أسفله:



الجملة في توازن:  $\sum \vec{F}_i = \vec{0}$  علما أن  $\vec{F}$  هي القوة الكهروساكنة التكافيرية.

عند مركز الكتلة  $m$  يمكننا أن نكتب:  $|\vec{T}_1| = |\vec{T}_2| = |\vec{T}| = \vec{P} + \vec{T}_1 + \vec{T}_2 = \vec{0}$  علما أن:

$$\text{نسقط على المحور الشاقولي: } (1) \quad 2T \sin \alpha - P = 0 \Rightarrow T = \frac{P}{2 \sin \alpha}$$

عند مركز أحد البالونين:  $\vec{T}_1 + \vec{F} + \vec{R} = \vec{0}$ ؛  $\vec{T}_1 + \vec{F} + \vec{R} = \vec{0}$  تمثل دافعة أرخميدس.

بالإسقاط على المحور الأفقي: (2)  $F = T \cos \alpha = 0 \Rightarrow F = T \cos \alpha \rightarrow$   
من (1) و (2) نحصل على عبارة شدة القوة  $\vec{F}$  و التي هي:

$$F = \frac{P \cdot \cos \alpha}{2 \cdot \sin \alpha} \Rightarrow \boxed{F = \frac{P}{2} \cot \alpha}$$

حسب قانون كولومب:

$$F = k \cdot \frac{q^2}{r^2} \Rightarrow k \cdot \frac{q^2}{r^2} = \frac{P}{2} \cdot \cot \alpha \Rightarrow q^2 = \frac{P}{2} \cdot \frac{r^2}{k} \cot \alpha \Rightarrow \boxed{q = r \sqrt{\frac{P \cot \alpha}{2 \cdot k}}}.$$

غير أن غير معروفة، ولذا ينبغي تحديدها هندسيا:  $r = 2l \cos \alpha$  الخطوة الأخيرة هي القيام بالتطبيق العددي:

$$\begin{array}{c} P = mg = 5 \cdot 10^{-2} N \\ \cot \pi / 6 = 1,732 \\ r = 1,732 \end{array} \Rightarrow \boxed{q = 3,8 \cdot 10^{-6} N = 3,8 \mu C}$$

### التمرين 3.1:

الكرة المشحونة خاضعة لثقلها  $\vec{P}$  و للقوة الكهروساكنة  $\vec{F} = q\vec{E}$ . بما أن التوتر  $U_{AB}$  موجب فإن الحقل الكهروساكن  $\vec{E}$  يتجه نحو  $B$ ، أي نحو الكمون الأصغر.  
طبق العلاقة الأساسية للتحريك على الكرة لنسنن عبارة التسارع اللحظي المكتسب:

$$\begin{array}{c} \vec{j} \\ O \quad \vec{i} \\ \downarrow \quad \vec{P} = m\vec{g} \\ \vec{F} = q\vec{E} \end{array} \quad \vec{P} + \vec{F} = m\vec{a} \Rightarrow m\vec{g} + q\vec{E} = m\vec{a} \\ \vec{a} = \vec{g} + \frac{q}{m}\vec{E}$$

نكتب عبارة التسارع في القاعدة  $(O, \vec{i}, \vec{j})$ :

$$\begin{array}{c} \vec{a} = a_x \vec{i} + a_y \vec{j} \\ \vec{g} = -g \vec{j} \\ \vec{E} = E \vec{i} \end{array} \Rightarrow \vec{a} = \frac{q}{m} E \vec{i} - g \vec{j}$$

السرعة الابتدائية معدومة. السرعة اللحظية هي الدالة الأصلية للتسارع. انطلاقا من مركبي السرعة اللحظية نصل إلى المعادلتين الزمنيتين لحركة الكرة دون نسيان الوضع الابتدائي للمتحرك:

$$\left( t = 0, x_0 = \frac{1}{2}d, y_0 = L = lm \right)$$

$$a_x = \frac{q}{m} E \Rightarrow v_x = \frac{q}{m} E \cdot t \Rightarrow x = \frac{1}{2} \frac{q}{m} E \cdot t^2 + \frac{1}{2} d \rightarrow (1)$$

$$a_y = -g \Rightarrow v_y = -gt \Rightarrow y = -\frac{1}{2} gt^2 + 1 \rightarrow (2)$$

بحذف الزمن ما بين المعادلتين الزمنيتين نحصل على معادلة مسار الكرة:

$$t^2 = \frac{2m}{qE} \left( x - \frac{1}{2} d \right) \Rightarrow y = -\frac{1}{2} g \left[ \frac{2m}{qE} \left( x - \frac{1}{2} d \right) \right] + 1$$

$$\boxed{y = -\frac{mg}{qE} x + \frac{mg}{qE} \frac{d}{2} + 1} \Rightarrow \boxed{y = -\frac{10^7}{E} x + \frac{2 \cdot 10^5}{E} + 1}$$

مسار الكرة مستقيم.  
نعرض في المعادلة الزمنية (2) الترتيب بصفر لنجعل على لحظة مرور الكرة من المستوى :  $y = 0$

$$y = -\frac{1}{2}gt^2 + 1 = 0 \Rightarrow t = 0,447s$$

لحساب التوتر، علينا أولاً تعين الحقل الكهربائي في النقطة  $(d, 0)$ . نعرض في معادلة المسار كل من الإحداثيين بقيمتهما:

$$\left| \begin{array}{l} y = -\frac{10^7}{E}x + \frac{2 \cdot 10^5}{E} + 1 \\ x = d = 0,04m \\ y = 0 \end{array} \right| \Rightarrow E = 2 \cdot 10^5 Vm^{-1}$$

$$U = Ed \quad , \quad U = 8 \cdot 10^3 V$$

#### التمرين 4.1:

توزيع الشحنات غير متواصل. الحقل الكهروساكن يحمله المحور بسبب تناول متعدد الأضلاع بالنسبة للمحور  $E_z = E \cos \theta$ . لتكن  $R$  نصف قطر الدائرة التي تحصر متعدد الأضلاع.  
الحقل الناتج في النقطة  $M$  عن الشحنة  $q$  الموضعية في القمة  $A_i$ : (انظر الشكل)

$$\left| \begin{array}{l} E_{iz} = \frac{1}{4\pi\epsilon_0} \frac{q}{(A_i M)^2} \cos \theta \\ \cos \theta = \frac{OM}{AM} = \frac{z}{\sqrt{R^2 + z^2}} \end{array} \right| \Rightarrow E_{iz} = \frac{q}{4\pi\epsilon_0} \frac{z}{(R^2 + z^2)^{3/2}}$$

كل ضلع يرى من المركز تحت الزاوية  $\frac{2\pi}{n}$ . بالنظر إلى الشكل فإن:

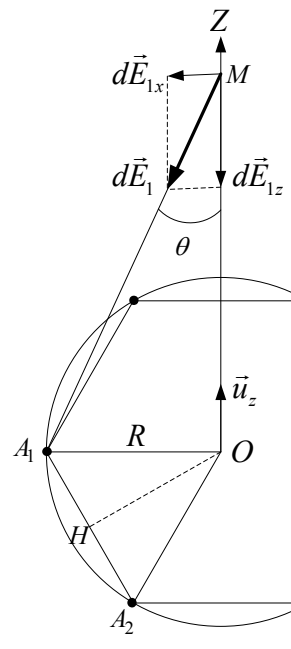
$$\left| \begin{array}{l} A_i H = \frac{a}{2} = R \sin \widehat{A_i O H} \\ \widehat{A_i O H} = \frac{2\pi}{n} / 2 \Rightarrow \widehat{A_i O H} = \frac{\pi}{n} \end{array} \right| \Rightarrow R = \frac{a}{2 \sin \frac{\pi}{n}}$$

الحقل الكهربائي الحاصل يساوي مجموع كل الحقول الناتجة عن كل الشحنات النقطية:

$$\vec{E} = \vec{E}_z = \sum_1^n \vec{E}_{iz}$$

و عليه:

$$\boxed{\vec{E}_z = n \frac{q}{4\pi\epsilon_0} \frac{z}{\left( \frac{a^2}{4 \sin^2 \frac{\pi}{n}} + z^2 \right)^{3/2}} \vec{u}_z}$$



في حالة مثلث متساوي الأضلاع فإن  $n = 3$  و منه فالحقل الكهروساكن هو:

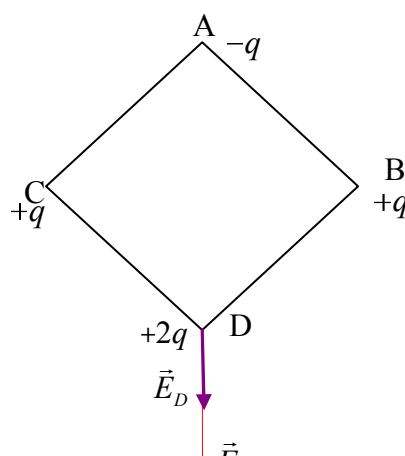
$$\vec{E}_z = \frac{3q}{4\pi\epsilon_0} \frac{z}{\left( \frac{a^2}{4\sin^2 \frac{\pi}{3}} + z^2 \right)^{\frac{3}{2}}} \vec{u}_z \Rightarrow E_z = \frac{3q}{4\pi\epsilon_0} \frac{z}{\left( \frac{a^2}{3} + z^2 \right)^{\frac{3}{2}}}$$

في حالة مربع فإن  $n = 4$  و منه فالحقل الكهروساكن هو:

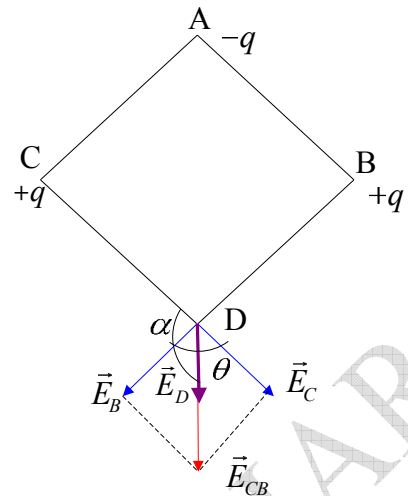
$$\vec{E}_z = \frac{q}{\pi\epsilon_0} \frac{z}{\left( \frac{a^2}{4\sin^2 \frac{\pi}{4}} + z^2 \right)^{\frac{3}{2}}} \vec{u}_z \Rightarrow E_z = \frac{q}{\pi\epsilon_0} \frac{z}{\left( \frac{a^2}{2} + z^2 \right)^{\frac{3}{2}}}$$

### التمرين 5.1:

1/ تمثيل و حساب الحقل الكهربائي:



شكل تابع للسؤال 3



شكل تابع للسؤال 1

$$\vec{E}_D = \vec{E}_A + \vec{E}_B + \vec{E}_C \quad ; \quad \vec{E}_{CB} = \vec{E}_C + \vec{E}_B$$

$$E_C = E_B = k \frac{q}{a^2} ; \quad (AD = \sqrt{a^2 + a^2} = \sqrt{2a^2}) \Rightarrow E_A = k \frac{q}{2a^2}$$

$$E_{CB} = \sqrt{E_C^2 + E_B^2 + 2E_B E_C \cos \pi/2} \Rightarrow E_{CB} = E_C \sqrt{2} \Rightarrow E_{CB} = \sqrt{2} \frac{kq}{a^2}$$

$$\alpha = \pi \Rightarrow E_D = \sqrt{E_{CB}^2 + E_A^2 - 2E_A E_{CB} \cdot \cos \pi} \Leftrightarrow E_D = E_{CB} - E_A$$

$$E_D = \frac{kq}{a^2} \cdot \sqrt{2} - \frac{kq}{2a^2} \Rightarrow E_D = \frac{kq}{a^2} \cdot \left[ \sqrt{2} - \frac{1}{2} \right] \Rightarrow \boxed{E_D = 0,914 \cdot \frac{kq}{a^2} (V.m^{-1})}$$

حساب الكمون الناتج في النقطة D : 2/

$$V_D = V_A + V_C + V_B ; \quad V_D = -\frac{kq}{\sqrt{2}a} + \frac{kq}{a} + \frac{kq}{a} \Rightarrow V_D = \frac{kq}{a} \left( 2 - \frac{1}{\sqrt{2}} \right) \Rightarrow \boxed{V_D = 1,29 \frac{kq}{a}}$$

حساب القوة المطبقة على الشحنة (+2q) في النقطة D : 3/

$$\vec{F}_D = 2q \cdot \vec{E}_D \Rightarrow F_D = 2q \cdot E_D$$

$$F_D = 2q \cdot \left[ \frac{kq}{a^2} \left( \sqrt{2} - \frac{1}{2} \right) \right] \Rightarrow F_D = \frac{kq^2}{a^2} (2\sqrt{2} - 1) \Rightarrow \boxed{F_D \approx 1,83 \cdot \frac{kq^2}{a^2} (N)}$$

حساب الطاقة الكامنة للشحنة +2q : 4/

$$E_p = QV , \quad E_p = 2qV , \quad E_p = 2q \cdot \frac{kq}{a} \left( 2 - \frac{1}{\sqrt{2}} \right) \Rightarrow \begin{cases} E_p = 2 \cdot \frac{kq^2}{a} (4 - \sqrt{2}) \\ E_p \approx 2,59 \frac{kq^2}{a} \end{cases} (J)$$

التمرين 6.1:

1/ لحساب الكمون الكهربائي نستعمل العبارة السلمية:  $V = \frac{1}{4\pi\epsilon_0} \frac{q}{d}$  بعد وضع النقطتين على المعلم كما هو مبين على الشكل نحسب البعدين  $d$  و  $d'$  للنقطة  $M$  عن الشحنتين:

$$d' = \sqrt{(x-4a)^2 + y^2 + z^2}, \quad d = \sqrt{(x-a)^2 + y^2 + z^2}$$

الكمون الناتج في النقطة  $M(x, y, z)$  هو إذن:

$$V_M = \frac{q}{4\pi\epsilon_0} \left( \frac{1}{d} - \frac{2}{d'} \right)$$

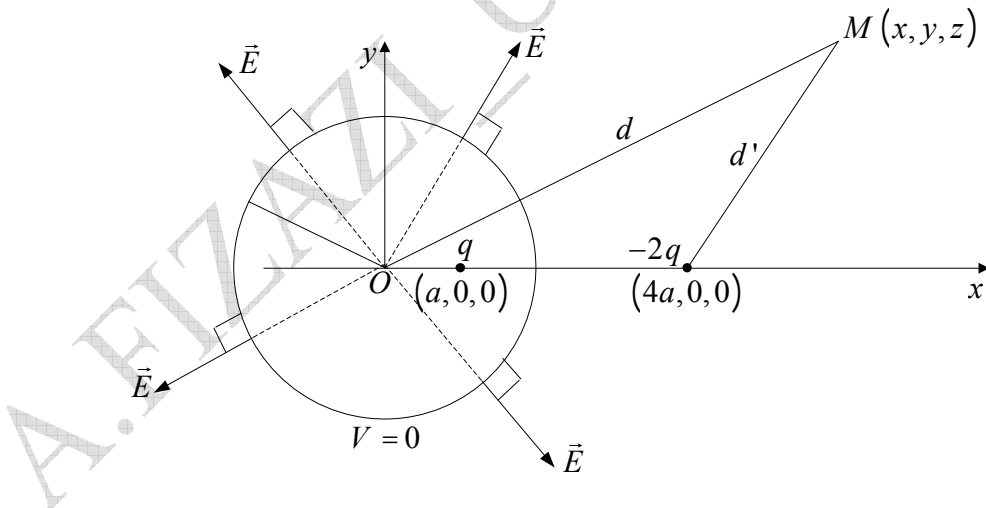
$$V_M = \frac{q}{4\pi\epsilon_0} \left( \frac{1}{\sqrt{(x-a)^2 + y^2 + z^2}} - \frac{2}{\sqrt{(x-4a)^2 + y^2 + z^2}} \right)$$

2/ السطح متساوي الكمون:

$$V(x, y, z) = 0 \Rightarrow \frac{q}{4\pi\epsilon_0} \left( \frac{1}{d} - \frac{2}{d'} \right) = 0$$

$$\frac{1}{\sqrt{(x-a)^2 + y^2 + z^2}} - \frac{2}{\sqrt{(x-4a)^2 + y^2 + z^2}} = 0 \Rightarrow [x^2 + y^2 + z^2 = 4a^2]$$

يتبيّن لنا أن السطح متساوي الكمون  $V = 0$  هو كرة نصف قطرها  $r = 2a$ .  
3/ الحقل الكهربائي عمودي على السطح المتساوي الكمون. مهما كانت النقطة التي يمر منها الحقل فإنه عمودي على سطح الكرة وبالتالي فإنه يمر لا محالة بالمركز  $O$  لهذه الكرة.

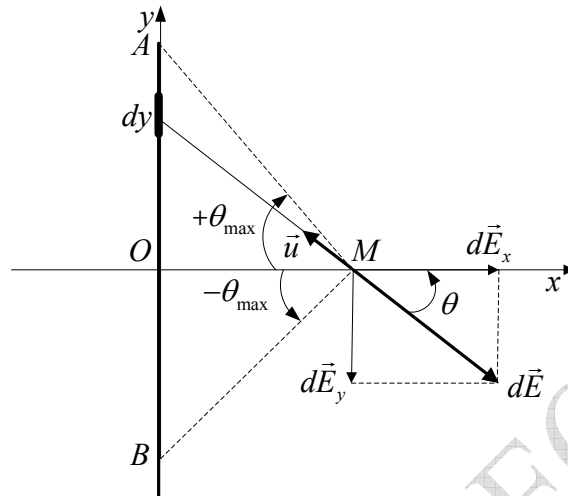
التمرين 7.1:

1/ ليكن الحقل العنصري  $d\vec{E}$  في النقطة  $M$  الناتج عن طول عنصري  $dy$  من القطعة المستقيمة.  $M$  تبعد عن  $dy$  مسافة .

$$d\vec{E}(M) = -\frac{1}{4\pi\epsilon_0} \frac{dq}{r^2} \vec{u} \quad \left| \begin{array}{l} dq = \lambda dy \\ \Rightarrow d\vec{E}(M) = -\frac{1}{4\pi\epsilon_0} \frac{\lambda dy}{r^2} \vec{u} \end{array} \right.$$

للحقل العنصري  $d\vec{E}(M)$  مركبتان:

$$\begin{aligned} d\vec{E}(M) &= d\vec{E}_x + d\vec{E}_y \\ d\vec{E}(M) &= dE_x \vec{u}_x + dE_y \vec{u}_y \\ dE_x &= dE \cos \theta, \quad dE_y = dE \sin \theta \end{aligned}$$



لنبرهن أن  $E_y = 0$

$$dE_y = dE \sin \theta$$

$$dE_y = -\frac{1}{4\pi\epsilon_0} \frac{\lambda dy}{r^2} \sin \theta$$

$$r^2 = \frac{x^2}{\cos^2 \theta}$$

$$y = xt \tan \theta \Rightarrow dy = \frac{x}{\cos^2 \theta} d\theta$$

$$\Rightarrow E_y = -\frac{1}{4\pi\epsilon_0} \frac{1}{x} \int_{-\theta_{\max}}^{+\theta_{\max}} \sin \theta d\theta$$

$$E_y = -\frac{1}{4\pi\epsilon_0} \frac{1}{x} [\cos \theta]_{-\theta_{\max}}^{+\theta_{\max}} \Rightarrow E_y = -\frac{1}{4\pi\epsilon_0} \frac{1}{x} \left[ \underbrace{\cos (+\theta_{\max})}_{0} - \underbrace{\cos (-\theta_{\max})}_{\cos \theta_{\max}} \right]$$

$$\boxed{E_y = 0}$$

إذن الحقل الناتج يساوي مركبته الأفقيّة (حسب الشكل). نعبر عن  $r^2$  و  $dy$  بدلالة  $x$  و  $\cos \theta$

$$\begin{aligned}
 dE_x &= dE \cos \theta \\
 dE_x &= \frac{1}{4\pi\epsilon_0} \frac{\lambda dy}{r^2} \cos \theta \\
 r^2 &= \frac{x^2}{\cos^2 \theta} \\
 y = xt \tan \theta &\Rightarrow dy = \frac{x}{\cos^2 \theta} d\theta
 \end{aligned}
 \quad \left| \begin{aligned}
 \Rightarrow E_x &= \frac{\lambda}{4\pi\epsilon_0} \frac{1}{x} \int_{-\theta_{\max}}^{+\theta_{\max}} \cos \theta d\theta \\
 E_x &= \frac{\lambda}{4\pi\epsilon_0} \frac{1}{x} [\sin \theta]_{-\theta_{\max}}^{+\theta_{\max}} \Rightarrow E_x = \frac{\lambda}{4\pi\epsilon_0} \frac{1}{x} \left[ \sin(+\theta_{\max}) - \underbrace{\sin(-\theta_{\max})}_{-\sin \theta_{\max}} \right] \\
 E_x &= \frac{\lambda}{4\pi\epsilon_0} \frac{1}{x} \cdot 2 \sin(+\theta_{\max}) \\
 \sin(+\theta_{\max}) &= \frac{a}{\sqrt{a^2 + x^2}}
 \end{aligned} \right. \quad \Rightarrow \boxed{E = E_x = \frac{\lambda}{2\pi\epsilon_0} \frac{1}{x} \frac{a}{\sqrt{a^2 + x^2}}} \Leftrightarrow \boxed{\vec{E} = \frac{\lambda}{2\pi\epsilon_0} \frac{1}{x} \frac{a}{\sqrt{a^2 + x^2}} \vec{u}_x}$$

3/ في حالة سلك لا متماهي الطول فإن  $a \rightarrow \infty$  و هذا يقودنا إلى 1 . و منه:

$$\boxed{E = \frac{\lambda}{2\pi\epsilon_0} \frac{1}{x} \Leftrightarrow \vec{E} = \frac{\lambda}{2\pi\epsilon_0} \frac{1}{x} \vec{u}_x}$$

**التمرين 8.1:**

1/ نبحث أولاً عن محصلة الحقلين العنصريين في النقطة  $P$  الناتجين عن طول عنصري من الجزء  $x$  و طول عنصري من الجزء  $L-x$ . ننظر إلى الشكل المرافق:

$$d\vec{E}_1 = d\vec{E}_{1x} + d\vec{E}_{1y} : x$$

$$d\vec{E}_2 = d\vec{E}_{2x} + d\vec{E}_{2y} : L-x$$

مركتبا الحقل العنصري  $d\vec{E}$  الناتج عن تركيب  $d\vec{E}_1$  و  $d\vec{E}_2$  هما:

$$d\vec{E}_x = d\vec{E}_{1x} - d\vec{E}_{2x} \Rightarrow dE_x = dE_{1x} - dE_{2x}$$

$$d\vec{E}_y = d\vec{E}_{1y} + d\vec{E}_{2y} \Rightarrow dE_y = dE_{1y} + dE_{2y}$$

لحساب  $E_x$  علينا بحساب  $E_{1x}$  و  $E_{2x}$   
حساب  $E_{1x}$

$$\begin{aligned}
 dE_{1x} &= dE_1 \sin \alpha \\
 dE_{1x} &= \frac{1}{4\pi\epsilon_0} \frac{dq}{r_1^2} \sin \alpha \Rightarrow dE_{1x} = \frac{1}{4\pi\epsilon_0} \frac{\lambda dx}{r_1^2} \sin \alpha \\
 dq &= \lambda dx
 \end{aligned}$$

نعبر عن  $dx$  و  $\sin \alpha$  بدلالة الزاوية  $\alpha$  فنحصل على:

$$x = R \tan \alpha \Rightarrow dx = R \frac{d\alpha}{\cos^2 \alpha}$$

$$r_1 = \frac{R}{\cos \alpha}$$

$$\Rightarrow dE_{1x} = \frac{1}{4\pi\epsilon_0} \frac{\lambda R \frac{d\alpha}{\cos^2 \alpha}}{\left(\frac{R}{\cos \alpha}\right)^2} \sin \alpha = \frac{1}{4\pi\epsilon_0} \frac{\lambda}{R} \sin \alpha \cdot d\alpha$$

ناتج فتح على  $E_{1x}$

$$E_{1x} = \frac{1}{4\pi\epsilon_0} \frac{\lambda}{R} \int_0^{\theta_1} \sin \alpha \cdot d\alpha \Rightarrow E_{1x} = \frac{1}{4\pi\epsilon_0} \frac{\lambda}{R} [-\cos \alpha]_0^{\theta_1}$$

$$E_{1x} = \frac{1}{4\pi\epsilon_0} \frac{\lambda}{R} (-\cos \theta_1 + 1)$$

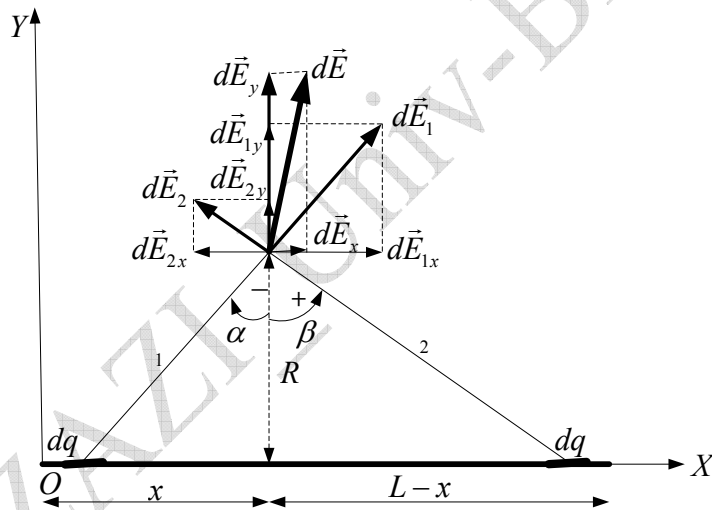
بالمثل نحصل على  $E_{2x}$

$$dE_{2x} = -dE_2 \sin \beta$$

$$dE_{2x} = -\frac{1}{4\pi\epsilon_0} \frac{dq}{r_2^2} \sin \beta$$

$$dq = \lambda dx$$

$$\Rightarrow dE_{2x} = -\frac{1}{4\pi\epsilon_0} \frac{\lambda dx}{r_2^2} \sin \beta$$



ناتج عن  $dx$  و  $dq$  بدلالة الزاوية  $\beta$  فتح على:

$$x = R \tan \beta \Rightarrow dx = R \frac{d\beta}{\cos^2 \beta}$$

$$r_2 = \frac{R}{\cos \beta}$$

$$\Rightarrow dE_{2x} = -\frac{1}{4\pi\epsilon_0} \frac{\lambda R \frac{d\beta}{\cos^2 \beta}}{\left(\frac{R}{\cos \beta}\right)^2} \sin \beta = -\frac{1}{4\pi\epsilon_0} \frac{\lambda}{R} \sin \beta \cdot d\beta$$

ناتج فتح على  $E_{2x}$

$$E_{2x} = -\frac{1}{4\pi\epsilon_0} \frac{\lambda}{R} \int_0^{\theta_2} \sin \beta \cdot d\beta \Rightarrow E_{2x} = -\frac{1}{4\pi\epsilon_0} \frac{\lambda}{R} [-\cos \beta]_0^{\theta_2}$$

$$E_{2x} = -\frac{1}{4\pi\epsilon_0} \frac{\lambda}{R} (-\cos \theta_2 + 1)$$

و منه فإن المركبة الموازية للسلاك هي:

$$E_x = E_{1x} - E_{2x} \Rightarrow E_x = \frac{1}{4\pi\epsilon_0} \frac{\lambda}{R} (-\cos\theta_1 + 1) - \left[ -\frac{1}{4\pi\epsilon_0} \frac{\lambda}{R} (-\cos\theta_2 + 1) \right]$$

$$\boxed{E_x = \frac{1}{4\pi\epsilon_0} \frac{\lambda}{R} (\cos\theta_2 - \cos\theta_1)}$$

لحساب  $E_y$  علينا بحساب  $E_{1y}$  و  $E_{2y}$   
حساب  $E_{1y}$

$$\begin{aligned} dE_{1y} &= dE_1 \cos\alpha \\ dE_{1y} &= \frac{1}{4\pi\epsilon_0} \frac{dq}{r_1^2} \cos\alpha \\ dq &= \lambda dx \end{aligned} \Rightarrow dE_{1y} = \frac{1}{4\pi\epsilon_0} \frac{\lambda dx}{r_1^2} \cos\alpha$$

نعبر عن  $dx$  و  $r_1$  بدلالة الزاوية  $\alpha$  فنحصل على:

$$\begin{aligned} x = R \tan\alpha \Rightarrow dx = R \frac{d\alpha}{\cos^2\alpha} \\ r_1 = \frac{R}{\cos\alpha} \end{aligned} \Rightarrow dE_{1y} = \frac{1}{4\pi\epsilon_0} \frac{\lambda R \frac{d\alpha}{\cos^2\alpha}}{\left(\frac{R}{\cos\alpha}\right)^2} \cos\alpha = \frac{1}{4\pi\epsilon_0} \frac{\lambda}{R} \cos\alpha \cdot d\alpha$$

نكمال لنحصل على  $E_{1y}$

$$E_{1y} = \frac{1}{4\pi\epsilon_0} \frac{\lambda}{R} \int_0^{-\theta_1} \cos\alpha \cdot d\alpha \Rightarrow E_{1y} = \frac{1}{4\pi\epsilon_0} \frac{\lambda}{R} [\sin\alpha]_0^{-\theta_1}$$

$$\boxed{E_{1y} = \frac{1}{4\pi\epsilon_0} \frac{\lambda}{R} (-\sin\theta_1)}$$

بالمثل نحسب  $E_{2y}$

$$\begin{aligned} dE_{2y} &= dE_2 \cos\beta \\ dE_{2y} &= \frac{1}{4\pi\epsilon_0} \frac{dq}{r_2^2} \cos\beta \\ dq &= \lambda dx \end{aligned} \Rightarrow dE_{2y} = \frac{1}{4\pi\epsilon_0} \frac{\lambda dx}{r_2^2} \cos\beta$$

نعبر عن  $dx$  و  $r_2$  بدلالة الزاوية  $\beta$  فنحصل على:

$$\begin{aligned} x = R \tan\beta \Rightarrow dx = R \frac{d\beta}{\cos^2\beta} \\ r_2 = \frac{R}{\cos\beta} \end{aligned} \Rightarrow dE_{2y} = \frac{1}{4\pi\epsilon_0} \frac{\lambda R \frac{d\beta}{\cos^2\beta}}{\left(\frac{R}{\cos\beta}\right)^2} \cos\beta = \frac{1}{4\pi\epsilon_0} \frac{\lambda}{R} \cos\beta \cdot d\beta$$

نكمال لنحصل على  $E_{2y}$

$$E_{2y} = \frac{1}{4\pi\epsilon_0} \frac{\lambda}{R} \int_0^{\theta_2} \cos\beta \cdot d\beta \Rightarrow E_{2y} = \frac{1}{4\pi\epsilon_0} \frac{\lambda}{R} [\sin\beta]_0^{\theta_2}$$

$$\boxed{E_{2y} = \frac{1}{4\pi\epsilon_0} \frac{\lambda}{R} (\sin\theta_2)}$$

و منه فإن المركبة العمودية للسلك هي:

$$E_y = E_{1y} + E_{2y} \Rightarrow E_y = \frac{1}{4\pi\epsilon_0} \frac{\lambda}{R} (-\sin\theta_1) + \left[ \frac{1}{4\pi\epsilon_0} \frac{\lambda}{R} (\sin\theta_2) \right]$$

$$\boxed{E_y = \frac{1}{4\pi\epsilon_0} \frac{\lambda}{R} (\sin\theta_2 - \sin\theta_1)}$$

و عليه فإن الحقل الناتج في النقطة  $P$  عن كل السلك هو:

$$\vec{E} = \frac{1}{4\pi\epsilon_0} \frac{\lambda}{R} [(\cos\theta_2 - \cos\theta_1) \vec{u}_x + (\sin\theta_2 - \sin\theta_1) \vec{u}_y]$$

2/ حينما تقع النقطة  $P$  على نفس البعد من نهاية السلك فإن  $\theta_1 = -\theta_2$ . نضع  $\theta = \theta_2$  ، و عليه يكون الحقل الناتج هو:

$$\vec{E} = \frac{1}{4\pi\epsilon_0} \frac{\lambda}{R} \left[ \underbrace{(\cos\theta - \cos(-\theta))}_{0} \vec{u}_x + \underbrace{(\sin\theta - \sin(-\theta))}_{2\sin\theta} \vec{u}_y \right]$$

$$\boxed{\vec{E} = \frac{1}{2\pi\epsilon_0} \frac{\lambda}{R} \sin\theta \vec{u}_y} \Leftrightarrow \boxed{E = \frac{1}{2\pi\epsilon_0} \frac{\lambda}{R} \sin\theta}$$

بالنسبة لسلك لا متناهي الطول فإن  $\sin\theta \rightarrow 1$  أي  $\theta \rightarrow \frac{\pi}{2}$  و عليه:

$$\boxed{\vec{E} = \frac{1}{2\pi\epsilon_0} \frac{\lambda}{R} \vec{u}_y} \Leftrightarrow \boxed{E = \frac{1}{2\pi\epsilon_0} \frac{\lambda}{R}}$$

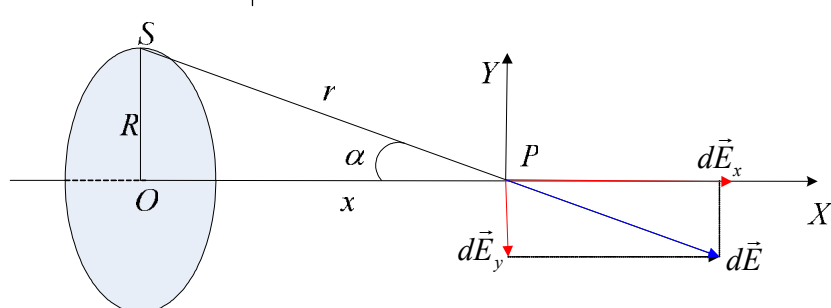
### التمرين 9.1

الحقل الكهربائي العنصري  $d\vec{E}$  الناتج في النقطة  $P$  عن شحنة عنصرية  $dq$  من السلك

$$d\vec{E} = d\vec{E}_x + d\vec{E}_y \Rightarrow d\vec{E} = dE_x \vec{i} + dE_y \vec{j}$$

هو :  $\vec{E}_y = \vec{0} \Rightarrow \vec{E} = \vec{E}_x$  بسبب التنازل لأن

$$\left| \begin{array}{l} dE = k \frac{dq}{r^2} \\ dE_x = dE \cos\alpha \Rightarrow dE_x = k \frac{dq}{r^2} \cos\alpha \Rightarrow dE_x = k \frac{\lambda dl}{r^2} \cos\alpha \\ dq = \lambda dl \end{array} \right.$$



في المثلث القائم  $: POS$

$$\cos \alpha = \frac{x}{r} = \frac{x}{\sqrt{x^2 + R^2}} \Rightarrow dE_x = \frac{k\lambda x}{(x^2 + R^2)^{3/2}} dl ;$$

$$E_x = \frac{k\lambda x}{(x^2 + R^2)^{3/2}} \int_0^{2\pi R} dl \Rightarrow E_x = \frac{k\lambda x}{(x^2 + R^2)^{3/2}} \cdot 2\pi R$$

$$\boxed{\bar{E} = \frac{\lambda x R}{2 \cdot \epsilon_0 (x^2 + R^2)^{3/2}} \vec{i}} \Leftrightarrow \boxed{E = \frac{\lambda x R}{2 \cdot \epsilon_0 (x^2 + R^2)^{3/2}} (V.m^{-1})}$$

2/ حساب الجهد الكهربائي:

$$dV = k \frac{dq}{r} , dV = k \frac{\lambda dl}{(x^2 + R^2)^{1/2}} \Rightarrow V = k \frac{\lambda}{(x^2 + R^2)^{1/2}} \int_0^{2\pi R} dl \Rightarrow \boxed{V = \frac{\lambda R}{2\epsilon_0 \sqrt{(x^2 + R^2)}} (V)}$$

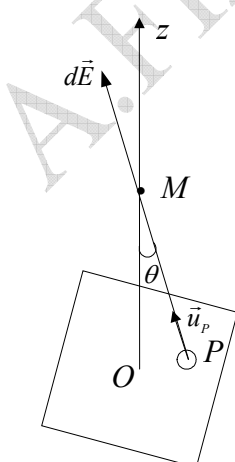
3/ تعين النقطة ذات الحقل الكهربائي الأعظمي: لكي يكون الحقل أعظمياً يجب أن تكون

مشتقته بالنسبة لـ  $x$  معدومة:  $\left. \frac{dE_x}{dx} \right|_M = 0$  ولذا نبدأ بحساب هذه المشتقة.

$$\frac{dE_x}{dx} = \frac{\lambda R}{2\epsilon_0} \left[ \frac{\left(x^2 + R^2\right)^{3/2} - \frac{3}{2}(2x)\left(x^2 + R^2\right)^{1/2} - x}{(x^2 + R^2)^3} \right] = \frac{\lambda R}{2\epsilon_0} \left[ \frac{\left(x^2 + R^2\right)^{1/2} \times (x^2 + R^2 - 3x^2)}{(x^2 + R^2)^3} \right]$$

$$\boxed{\frac{dE_x}{dx} = \frac{\lambda R}{2\epsilon_0} \left[ \frac{R^2 - 2x^2}{(x^2 + R^2)^{5/2}} \right]} \quad \text{العلاقة النهائية:}$$

$$\frac{dE_x}{dx} = 0 \Rightarrow R^2 - 2x_{\max} = 0 \Rightarrow \boxed{x_{\max} = \pm \frac{R}{\sqrt{2}}}$$



### التمرين 10.1:

الحقل الكهروساكن العنصري الناتج عن الشحنة العنصرية المتمرکزة حول النقطة  $P$  يساوي:

$$d\vec{E} = \frac{1}{4\pi\epsilon_0} \frac{dq}{r^2} \vec{u}_P = \frac{1}{4\pi\epsilon_0} \frac{\sigma dS}{r^2} \vec{u}_P$$

بسبب التناظر فإن الحقل الحاصل يحمله المحور  $OZ$ :

$$dE_z = dE \cdot \cos \theta \Rightarrow E(M) = \frac{1}{4\pi\epsilon_0} \int \frac{\sigma dS}{r^2} \cdot \cos \theta$$

نتعرف على الزاوية المحسدة العنصرية  $d\Omega = \frac{dS \cdot \cos \theta}{r^2}$  و التي من خلالها، و من النقطة  $M$ ، نرى السطح العنصري  $dS$  حول النقطة  $P$ :

$$E(M) = \frac{1}{4\pi\epsilon_0} \Omega(M)$$

تقع النقطة  $M$  على بعد  $\frac{a}{2}$ ، أي في مركز مكعب حيث الصفيحة تشكل إحدى واجهاته.

لما ننظر من النقطة  $M$  إلى كل فضاء المكعب(6 واجهات) تكون الزاوية المحسدة تساوي  $\Omega = 4\pi$  ، و منه فإن واجهة واحدة تقابلها زاوية محسدة قدرها:  $\Omega(M) = \frac{4\pi}{6} = \frac{2\pi}{3}$ . و في الأخير فإن الحقل الكهروساكن الناتج عن الصفيحة في النقطة  $M$  يساوي:

$$E(M) = \frac{1}{4\pi\epsilon_0} \frac{2\pi}{3} \Rightarrow E(M) = \frac{1}{6\epsilon_0}$$

### التمرين 11.1:

1/ نعتبر على القرص سطحاً عنصرياً واقعاً على بعد  $d$  من المركز  $O$ . يكتب هذا العنصر من السطح، في قاعدة اسطوانية ( $\vec{u}_r, \vec{u}_\theta, \vec{u}_z$ ) :  $d^2S = dr \cdot rd\theta$  ، يحمل شحنة عنصيرية  $d^2q = \sigma d^2S$

$$\text{ينتج حقل } \vec{d^2E} = \frac{1}{4\pi\epsilon_0} \frac{d^2q}{l^2} \vec{d^2E} \text{ بحيث}$$

بما أن الحقل الكلي يحمله  $\vec{u}_z$ ، علينا بالبحث عن عباره المسقط على هذا المحور.

كل السطوح العنصيرية الواقعة على بعد  $d$  من  $O$  تنتج حقولاً كهروساكنة عنصيرية تصنف نفس الزاوية مع المحور  $OZ$ . يمكننا إذن مكاملة النتيجة السابقة بتغيير  $\theta$  بين  $0$  و  $2\pi$  :

$$dE_z = \int_0^{2\pi} d^2E \cos \alpha = \frac{\sigma}{4\pi\epsilon_0} \int_0^{2\pi} \frac{r \cos \alpha \cdot dr}{l^2} d\theta = \frac{\sigma}{2\epsilon_0} \frac{r \cos \alpha \cdot dr}{l^2}$$

بقي لنا أن نكمل ما بين  $R_1$  و  $R_2$  بالانتباه إلى أن  $\cos \alpha = \frac{z}{l}$  و  $l^2 = r^2 + z^2$

$$E = \int_{R_1}^{R_2} dE_z = \frac{\sigma z}{2\epsilon_0} \int_{R_1}^{R_2} \frac{r dr}{(r^2 + z^2)^{3/2}}$$

نضع:  $u_2 = (R_2^2 + z^2)$  و  $u_1 = (R_1^2 + z^2)$  . مع  $du = 2rdr$  . و منه  $r = \sqrt{u}$  . نحصل على:

$$E = \frac{\sigma z}{2\epsilon_0} \int_{u_1}^{u_2} \frac{du}{2u^{3/2}} \Rightarrow E = \frac{\sigma z}{2\epsilon_0} \left[ -2\sqrt{u} \right]_{u_1}^{u_2}$$

و في الأخير:

$$E = \frac{\sigma z}{2\epsilon_0} \left( \frac{1}{\sqrt{R_1^2 + z^2}} - \frac{1}{\sqrt{R_2^2 + z^2}} \right)$$

2/ الكمون الناتج عن السطح العنصري  $d^2V = \frac{1}{4\pi\epsilon_0} \frac{d^2q}{l}$  هو  $d^2V = \frac{1}{4\pi\epsilon_0} \frac{d^2q}{l}$  . بعد مكاملة الزاوية  $\theta$ ، نحصل

$$. dV = \frac{\sigma}{4\epsilon_0} \frac{du}{\sqrt{u}} . \text{ كما فعلنا في السابق، نضع } u = (r^2 + z^2) \text{، فنحصل على } dV = \frac{\sigma}{2\epsilon_0} \frac{r dr}{\sqrt{r^2 + z^2}}$$

كل هذا يؤدي بنا إلى:

$$V = \frac{\sigma}{4\epsilon_0} \int_{u_1}^{u_2} \frac{du}{\sqrt{u}} \Rightarrow V = \frac{\sigma}{2\epsilon_0} \left[ \sqrt{u} \right]_{u_1}^{u_2}$$

$$V = \frac{\sigma}{2\epsilon_0} \left[ \sqrt{u_2} - \sqrt{u_1} \right] \Rightarrow \boxed{V = \frac{\sigma}{2\epsilon_0} \left[ \sqrt{R_2^2 + z^2} - \sqrt{R_1^2 + z^2} \right]}$$

نعرف أن  $\vec{E} = -\vec{\text{grad}}V$

$$\vec{\text{grad}}V = \frac{\partial V}{\partial \rho} \vec{u}_\rho + \frac{1}{\rho} \frac{\partial V}{\partial \theta} \vec{u}_\theta + \frac{\partial V}{\partial z} \vec{u}_z$$

بتطبيق هذا على النتيجة السابقة نجد مركبة واحدة للحقل الكهروساكن وفق المحور  $OZ$  و ذلك لأن المشتقان الجزيئيان بالنسبة لـ  $\rho$  و  $\theta$  معادلان.

$$E = \frac{\sigma}{2\epsilon_0} \left( \frac{z}{\sqrt{R_1^2 + z^2}} - \frac{z}{\sqrt{R_2^2 + z^2}} \right) \Rightarrow \boxed{E = \frac{\sigma z}{2\epsilon_0} \left( \frac{1}{\sqrt{R_1^2 + z^2}} - \frac{1}{\sqrt{R_2^2 + z^2}} \right)}$$

عندما  $R_1 = 0$  نجد الحقل الكهروساكن الناتج على محور قرص مشحون بانتظام:

$$E = \frac{\sigma z}{2\epsilon_0} \left( \frac{1}{z} - \frac{1}{\sqrt{R_2^2 + z^2}} \right) \Rightarrow \boxed{E = \frac{\sigma}{2\epsilon_0} \left( 1 - \frac{1}{\sqrt{1 + \frac{R_2^2}{z^2}}} \right)}$$

بالنسبة لمستوى لامتناهي  $\rightarrow R_2 \infty$ . يكون لدينا:

$$\frac{1}{\sqrt{1 + \frac{R_2^2}{z^2}}} \approx \frac{1}{\sqrt{\frac{R_2^2}{z^2}}} = \frac{z}{R} \rightarrow 0 \Rightarrow \boxed{E = \frac{\sigma}{2\epsilon_0}}$$

يصبح الحقل مستقلا عن  $z$  ، أي عن المسافة إلى المستوى. في كل نقطة خارج المستوى المشحون،

$$\text{الحقل يساوي } E = \frac{\sigma}{2\epsilon_0}$$

### التمرين 12.1

ليكن الحقل العنصري  $d\vec{E}$  الناتج في النقطة  $O$  عن طول عنصري  $dl$  متمركز في نقطة  $P$  من المحيط المشحون للحفلة: ( إشارة ناقص ناتجة عن الاتجاهين المتعاكسيين للحقل العنصري  $(O)$  و شعاع الواحدة  $\vec{u}$  حسب ما هو موضح في الشكل أسفله).

$$d\vec{E}(O) = -\frac{1}{4\pi\epsilon_0} \frac{dq}{R^2} \vec{u}_r$$

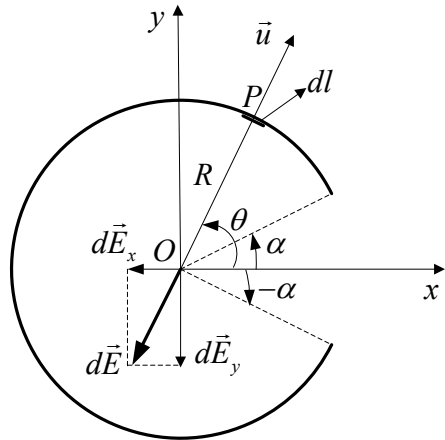
$$dq = \lambda dl$$

$$dl = Rd\theta$$

$$\Rightarrow d\vec{E}(O) = -\frac{1}{4\pi\epsilon_0} \frac{\lambda d\theta}{R} \vec{u}$$

للحقل العنصري  $d\vec{E}(O) = d\vec{E}_x + d\vec{E}_y$  مركبتان: غير أن، و بسبب تناظر توزيع الشحنات، فإن المركبة  $d\vec{E}_x$  هي وحدتها المساهمة في الحقل الإجمالي في  $O$  . و منه:

$$dE_x = dE \cos \theta \Rightarrow dE_x = -\frac{1}{4\pi\epsilon_0} \frac{\lambda}{R} \cos \theta \cdot d\theta$$



للحصول على الحقل الكلي الناتج عن كل الشحنة في النقطة  $O$  ، نكامل من  $\theta = \alpha$  حتى  $\theta = 2\pi - \alpha$  :

$$dE_x = dE \cos \theta \Rightarrow E = -\frac{1}{4\pi\epsilon_0} \frac{\lambda}{R} [\sin \theta]_{\alpha}^{2\pi-\alpha}$$

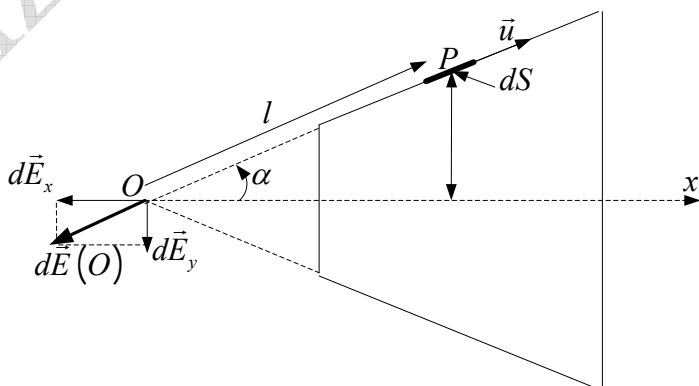
$$E = -\frac{1}{4\pi\epsilon_0} \frac{\lambda}{R} [\sin(2\pi - \alpha) - \sin \alpha]$$

$$\boxed{E = \frac{1}{2\pi\epsilon_0} \frac{\lambda}{R} \sin \alpha \Leftrightarrow \vec{E} = -\frac{1}{2\pi\epsilon_0} \frac{\lambda}{R} \sin \alpha \vec{u}_y}$$

### التمرين 13.1:

المستويات المارة من المحور  $Ox$  هي مستويات تناظر لتوسيع الشحنات. لا بد أن الحقل الكهروساكن ينتمي تباعاً لمجموع هذه المستويات إذن لتقاطعها: الحقل الناتج ( $O$ )  $\vec{E}(O)$  حامله هو المحور  $Ox$ .

نعتبر سطحاً عنصرياً  $dS$  الواقع على جسم المخروط و المتمرکز حول النقطة  $P$ . هذا ما هو موضح على الشكل التالي:



السطح العنصري يولد في  $O$  الحقل العنصري:

$$\begin{aligned} d\vec{E}(O) &= -\frac{1}{4\pi\epsilon_0} \frac{dq}{l^2} \vec{u} \\ dq &= \sigma dS \\ dS &= rd\theta dl \end{aligned} \quad \Rightarrow d\vec{E}(O) = -\frac{1}{4\pi\epsilon_0} \frac{\sigma r d\theta dl}{l^2} \vec{u}$$

للحقل العنصري  $d\vec{E}(O)$  مركبتان:  $d\vec{E}_x + d\vec{E}_y$  غير أُن، و بسبب تناظر توزيع الشحنات، فإن المركبة  $d\vec{E}_x$  هي وحدها المساهمة في الحقل الإجمالي في  $O$ . و منه:

$$dE_x = dE(O) \cos \theta \Rightarrow dE_x = -\frac{1}{4\pi\epsilon_0} \frac{\sigma r d\theta dl}{l^2} \cos \alpha \rightarrow (1)$$

نعبر عن  $l$  بدلالة :

$$\sin \alpha = \frac{r}{l} \Rightarrow \begin{cases} \frac{1}{l^2} = \frac{\sin^2 \alpha}{r^2} \\ dl = \frac{1}{\sin \alpha} dr \end{cases}$$

نعرض في المعادلة (1) :

$$dE_x = -\frac{1}{4\pi\epsilon_0} \sigma r d\theta \frac{1}{\sin \alpha} dr \frac{\sin^2 \alpha}{r^2} \cos \alpha$$

$$dE_x = -\frac{\sigma_0 a}{4\pi\epsilon_0} \cos \alpha \sin \alpha \cdot \frac{dr}{r^2} d\theta$$

للحصول على الحقل الكلي الناتج عن كل الشحنة في النقطة  $O$ ، نكامل تماما مضاعفا:

$$E_x = -\frac{\sigma_0 a}{4\pi\epsilon_0} \cos \alpha \sin \alpha \int_{R_1}^{R_2} \frac{dr}{r^2} \int_0^{2\pi} d\theta$$

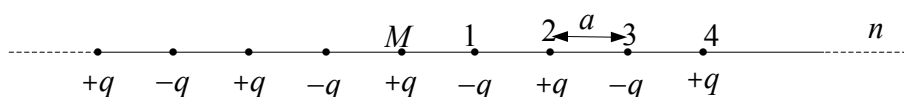
$$E_x = -\frac{\sigma_0 a}{4\pi\epsilon_0} \cos \alpha \sin \alpha \left[ -\frac{1}{r} \right]_{R_1}^{R_2} [\theta]_0^{2\pi}$$

$$E(O) = E_x = \frac{\sigma_0 a}{2\epsilon_0} \underbrace{\cos \alpha \sin \alpha}_{\frac{1}{2} \sin 2\alpha} \left[ \frac{1}{R_2} - \frac{1}{R_1} \right]$$

$$E(O) = \frac{\sigma_0 a}{4\epsilon_0} \sin 2\alpha \left( \frac{1}{R_2} - \frac{1}{R_1} \right) \Leftrightarrow \vec{E}(O) = \frac{\sigma_0 a}{4\epsilon_0} \sin 2\alpha \left( \frac{1}{R_2} - \frac{1}{R_1} \right) \vec{u}_x$$

### التمرين 14.1:

كل الشوارد تقع على استقامة واحدة. لتكن  $M$  نقطة تناظر. (الشكل)



ندرس أولاً النصف الأيمن للمسقيم: الطاقة الكامنة للشحنة الواقعة في النقطة  $M$  تساوي:

الكمون الكهربائي  $V_M$  الناتج في النقطة  $M$  عن شوارد النصف المذكور هي:

$$\left| \begin{array}{l} V_M = \sum V_i = \sum \frac{1}{4\pi\epsilon_0} \frac{q_i}{r_i} \\ V_1 = \frac{1}{4\pi\epsilon_0} \frac{q_1}{a} < 0 \\ V_2 = \frac{1}{4\pi\epsilon_0} \frac{q_2}{2a} > 0 \\ V_3 = \frac{1}{4\pi\epsilon_0} \frac{q_3}{3a} < 0 \\ \dots \\ |q_1| = |q_2| = |q_3| = \dots = |q| \end{array} \right| \Rightarrow V_M = \frac{1}{4\pi\epsilon_0} \frac{q}{a} \left( -1 + \frac{1}{2} - \frac{1}{3} + \frac{1}{4} - \dots + \frac{1}{n} \right)$$

و عليه فإن الطاقة الكامنة للشحنة الواقعة في النقطة  $M$  (باعتبار نصف المستقيم معا) هي:

$$\left| \begin{array}{l} E_{P_M} = 2q_M \cdot V_M \\ |q_M| = q \end{array} \right| \Rightarrow E_{P_M} = \frac{1}{2\pi\epsilon_0} \frac{q^2}{a} \left( -1 + \frac{1}{2} - \frac{1}{3} + \frac{1}{4} - \dots + \frac{1}{n} \right)$$

و هذا ما يعادل:

$$\left| \begin{array}{l} E_{P_M} = -\frac{1}{2\pi\epsilon_0} \frac{q^2}{a} \left( 1 - \frac{1}{2} + \frac{1}{3} - \frac{1}{4} + \dots + \frac{1}{n} \right) \\ \ln(1+1) = \left( 1 - \frac{1}{2} + \frac{1}{3} - \frac{1}{4} + \dots - \frac{1}{n} \right) \text{ فإن } \ln(1+x) = \left( x - \frac{x^2}{2} + \frac{x^3}{3} - \frac{x^4}{4} + \dots - \frac{x^n}{n} \right) \text{ باعتبار} \\ E_{P_M} = -\frac{1}{2\pi\epsilon_0} \frac{q^2}{a} \ln 2 \Rightarrow \boxed{E_{P_M} = -3,2 \cdot 10^{-26} J} \end{array} \right| \text{ إذن:}$$

### التمرين 15.1:

الحقل الكهربائي في النقطة  $O$ : (انظر الشكل)

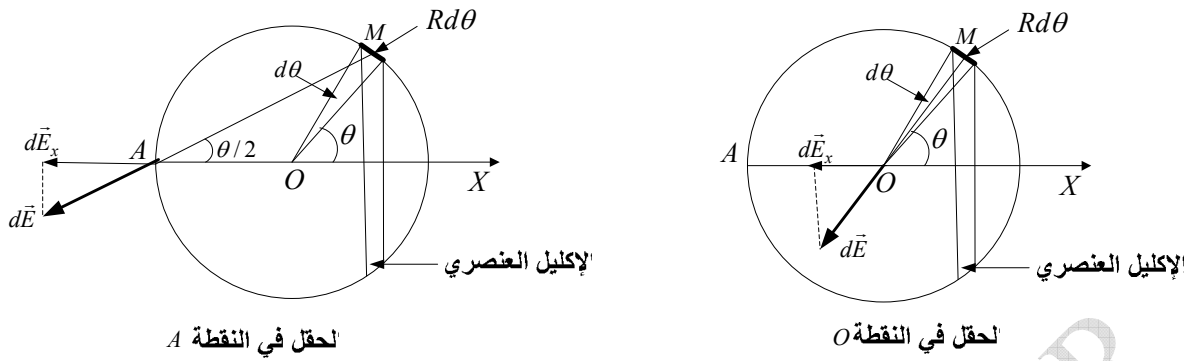
الإكليل الكروي العنصري عرضه  $Rd\theta$  و محيطه  $2\pi R \sin\theta$  يحمل الشحنة العنصرية  $dq = \sigma dS = 2\pi R^2 \sigma_0 \sin\theta \cos\theta d\theta$ . بسبب التناقض الحقل  $\vec{E}_x$  هو وحده المساهم في الحقل  $\vec{E}$ .  
نلاحظ من خلال الشكل أن:

$$dE_x(O) = -dE(O) \cos\theta = -\frac{1}{4\pi\epsilon_0} \frac{dq}{R^2} \cos\theta$$

$$dE_x(O) = -\frac{1}{4\pi\epsilon_0} \frac{2\pi R^2 \sigma_0 \sin\theta \cos\theta^2 d\theta}{R^2}$$

$$E_x(O) = -\frac{\sigma_0}{2\epsilon_0} \int_0^\pi \frac{\sin\theta \cos^2\theta}{\cos^2\theta d(\cos\theta)} d\theta \Rightarrow E_x(O) = -\frac{\sigma_0}{2\epsilon_0} \left[ -\frac{1}{3} \cos^3\theta \right]_0^\pi$$

$$\boxed{E(O) = -\frac{\sigma_0}{3\epsilon_0}} \Leftrightarrow \boxed{\vec{E}(O) = -\frac{\sigma_0}{3\epsilon_0} \vec{u}_x}$$



### الحقل الكهربائي في النقطة $A$ (انظر الشكل)

نفس الإكليل الكروي العنصري عرضه  $Rd\theta$  و محيطه  $2\pi R \sin \theta$  يحمل الشحنة العنصرية  $dq = \sigma dS = 2\pi R^2 \sigma_0 \sin \theta \cos \theta d\theta$ . غير أن الفرق بين الحالة هذه و الحالة السابقة تتمثل في المسافة بين النقطة  $M$  و النقطة  $A$ . حسب الشكل:

$$(OM)^2 = (OA)^2 + (AM)^2 + 2(OA)(AM) \cos \frac{\theta}{2} \Rightarrow (OA) = r = 2R \cos \frac{\theta}{2}$$

$$R^2 = r^2 + (2R \cos \frac{\theta}{2})^2 + 2r(2R \cos \frac{\theta}{2}) \cos \frac{\theta}{2}$$

بسبب التنازلي للحقل  $\vec{E}_x$  هو وحده المساهم في الحقل  $\vec{E}$ .  
نلاحظ من خلال الشكل أن:

$$dE_x(A) = -dE(A) \cos \frac{\theta}{2} = -\frac{1}{4\pi\epsilon_0} \frac{dq}{r^2} \cos \frac{\theta}{2}$$

$$dE_x(A) = -\frac{1}{4\pi\epsilon_0} \frac{2\pi R^2 \sigma_0 \sin \theta \cos \theta d\theta}{\left(2R \cos \frac{\theta}{2}\right)^2} \cos \frac{\theta}{2}$$

$$E_x(A) = -\frac{\sigma_0}{8\epsilon_0} \int_0^\pi \frac{\sin \theta \cos \theta \cos \frac{\theta}{2}}{\cos^2 \frac{\theta}{2}} d\theta = -\frac{\sigma_0}{8\epsilon_0} \int_0^\pi \frac{\sin \theta \cos \theta}{\cos \frac{\theta}{2}} d\theta$$

نقوم بالتحويل المثلثي  $\sin \theta = \sin\left(\frac{\theta}{2} + \frac{\theta}{2}\right) = 2 \sin \frac{\theta}{2} \cos \frac{\theta}{2}$ ، ثم نعرض:

$$E_x(A) = -\frac{\sigma_0}{8\epsilon_0} \int_0^\pi \frac{2 \sin \frac{\theta}{2} \cos \frac{\theta}{2}}{\cos \frac{\theta}{2}} \cos \theta d\theta = -\frac{\sigma_0}{8\epsilon_0} \int_0^\pi 2 \sin \frac{\theta}{2} \cos \theta d\theta$$

نقوم بتحويل مترسي آخر  $2 \sin \frac{\theta}{2} \cos \theta = \sin \frac{3\theta}{2} - \sin \frac{\theta}{2}$ ، ثم نعرض:

$$E_x(A) = -\frac{\sigma_0}{8\epsilon_0} \int_0^\pi \left( \sin \frac{3\theta}{2} - \sin \frac{\theta}{2} \right) d\theta$$

$$E_x(A) = -\frac{\sigma_0}{8\epsilon_0} \left[ -\frac{2}{3} \cos \frac{3\theta}{2} + 2 \cos \frac{\theta}{2} \right]_0^\pi = -\frac{\sigma_0}{8\epsilon_0} \left[ +\frac{2}{3} - 2 \right]$$

$$\boxed{E_x(A) = \frac{\sigma_0}{6\epsilon_0}} \Leftrightarrow \boxed{\vec{E}(A) = \vec{E}_x(A) = \frac{\sigma_0}{6\epsilon_0} \vec{u}_x}$$

**التمرين 16.1:**

/1 الكلون العنصري  $dV = \frac{1}{4\pi\epsilon_0} \frac{dq}{R}$  الناتج في المركز  $O$  عن شحنة عنصرية  $dq$  هو : كل  $dq$  و مهما كان موقعها على سطح نصف الكرة تبعد بنفس المسافة  $R$  عن المركز  $O$ . بما أن سطح نصف الكرة هو  $S = \frac{4\pi R^2}{2}$  فإنه يحمل الشحنة الكلية :  $q = 2\sigma\pi R^2$  . إذن الكلون في النقطة  $O$  الناتج عن كل الشحنة هو :

$$V(O) = \int \frac{1}{4\pi\epsilon_0} \frac{dq}{R}$$

$$V(O) = \frac{1}{4\pi\epsilon_0} \frac{q}{R} \quad \Rightarrow \quad \boxed{V(O) = \frac{\sigma R}{2\epsilon_0}}$$

$$q = 2\sigma\pi R^2$$

لحساب الحقل في مركز نصف الكرة، نجزئ نصف الكرة إلى إكلييل واحد محيطه  $2\pi r$  ، حيث  $r = R \sin \theta$  ، و سمه  $Rd\theta$  و سطحه  $dS = 2\pi R^2 d\theta$  . كل إكلييل عنصري يحمل الشحنة العنصرية  $dq = \sigma dS = 2\pi\sigma R^2 \sin \theta d\theta$  . (انظر الشكل في الأسفل)

الحقل العنصري  $dE$  الناتج في المركز  $O$  عن شحنة عنصرية يحملها إكلييل هو :  $d\vec{E} = dE_z + d\vec{E}_x$  . بسبب التمايز فإن الحقل الناتج يحمله المحور  $Oz$  و بالتالي فإن :

$$d\vec{E}_x = dE \sin \theta \vec{u}_x = \vec{0}$$

$$d\vec{E}_z = dE \cos \theta \vec{u}_z \quad \Rightarrow \quad d\vec{E} = d\vec{E}_z$$

و من كل هذا نستنتج أن :

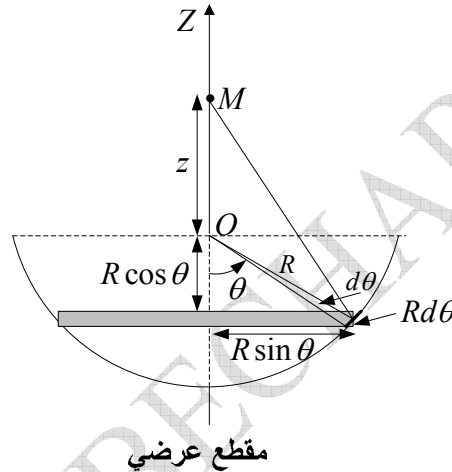
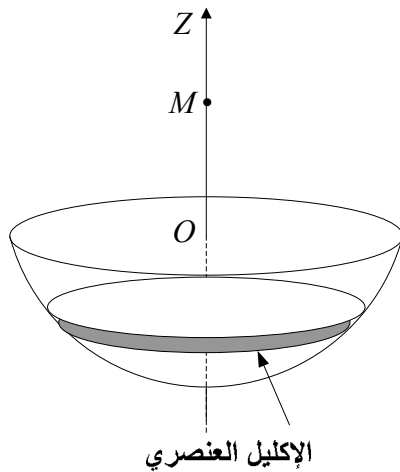
$$dE_z = \frac{1}{4\pi\epsilon_0} \frac{dq}{R^2} \cos \theta = \frac{1}{4\pi\epsilon_0} \frac{\sigma dS}{R^2} \cos \theta$$

$$dE_z = \frac{1}{4\pi\epsilon_0} \frac{\sigma 2\pi R^2 \sin \theta d\theta}{R^2} \cos \theta \Rightarrow dE_z = \frac{\sigma}{2\epsilon_0} \sin \theta \cos \theta d\theta$$

نقوم بالتحويل المثلثي :  $\sin \theta \cos \theta = \frac{1}{2} \sin 2\theta$  ، ثم نعرض و نكمل لنجعل في الأخير على الحقل الكهروساكن  $E(O)$  الناتج عن كل الشحنة السطحية في مركز نصف الكرة :

$$E_z = \frac{\sigma}{2\epsilon_0} \int_0^{\pi/2} \frac{1}{2} \sin 2\theta d\theta \Rightarrow E_z = \frac{\sigma}{4\epsilon_0} \left[ -\frac{\cos 2\theta}{2} \right]$$

$$E_z = E(O) = \frac{\sigma}{4\epsilon_0} \Leftrightarrow \vec{E}_z = \vec{E}(O) = \frac{\sigma}{4\epsilon_0} \vec{u}_z$$



لم نحسب سوى قيمة الكمون في نقطة معينة  $(O)V(z)$  وليس دالة الكمون  $V(z)$  على طول المحور  $Oz$ . ولهذا السبب لا يمكن استعمال القانون  $\vec{E} = -\nabla V$  لحساب الحقل.

2/ نتبع نفس الخطوات السابقة في هذا السؤال ما عدى أن في هذه الحالة ، الشحنة العنصرية  $dq$  لا تبعد بنفس المسافة عن النقطة  $M$  الواقعة على المحور  $Oz$ .  
الكون العنصري:

$$\begin{aligned} dV &= \frac{1}{4\pi\epsilon_0} \frac{dq}{r} = \frac{1}{4\pi\epsilon_0} \frac{\sigma dS}{r} \\ dS &= dS = 2\pi R^2 d\theta \\ r^2 &= (z + R \cos \theta)^2 + (R \sin \theta)^2 \end{aligned} \quad \Rightarrow dV = \frac{\sigma R^2}{2\epsilon_0} \frac{\sin \theta \cdot d\theta}{(z^2 + R^2 + 2Rz \cos \theta)^{1/2}}$$

لكمالية هذه العبارة نضع  $u = z^2 + R^2 + 2Rz \cos \theta$  ، و نعرف

$$\text{أن: } \int \frac{du}{2\sqrt{u}} = \sqrt{u} .$$

$$V(M) = \frac{\sigma R^2}{2\epsilon_0} \frac{1}{(-2zR)} \int_{u(\theta=0)}^{u(\theta=\pi/2)} \frac{du}{2\sqrt{u}}$$

$$V(M) = -\frac{\sigma R}{2\epsilon_0 z} \left[ \sqrt{u} \right]_{\theta=0}^{\theta=\pi/2} \Rightarrow V(M) = \frac{\sigma R}{2\epsilon_0 z} \left[ z + R - \sqrt{z^2 + R^2} \right]$$

للحصول على الحقل الكهربائي يكفي اشتقاق دالة الكمون بالنسبة لـ  $z$  :

$$\vec{E}(z) = -\frac{dV(z)}{dz} \vec{u}_z \Rightarrow E(z) = \frac{\sigma R}{2\epsilon_0} \left( \frac{R}{z^2} + \frac{1}{\sqrt{z^2 + R^2}} - \frac{\sqrt{z^2 + R^2}}{z^2} \right)$$

$$E(z) = \frac{\sigma R}{2\epsilon_0} \left( \frac{R - \sqrt{z^2 + R^2}}{z^2} + \frac{1}{\sqrt{z^2 + R^2}} \right)$$

حين  $z = 0$  ، فإن  $E(0) = V$  و  $E(0) = 0$  تأخذان شكلين غير محددين. ولذا يجب علينا البحث عن نهايتيهما عندما  $z \rightarrow 0$ .

نكتب الكمون على الشكل:

$$V(z) = \frac{\sigma R}{2\epsilon_0} \left[ 1 + \frac{R}{z} - \frac{(z^2 + R^2)^{1/2}}{z} \right] = \frac{\sigma R}{2\epsilon_0} \left[ 1 + \frac{R}{z} - \frac{R}{z} \left( 1 + \frac{z^2}{R^2} \right)^{1/2} \right]$$

حسب نهاية الكمون عندما  $z \rightarrow 0$

$$V(0) = \lim_{z \rightarrow 0} V(z) = \frac{\sigma R}{2\epsilon_0} \left[ 1 + \frac{R}{z} - \frac{R}{z} \left( 1 + \frac{1}{2} \frac{z^2}{R^2} \right) \right] \Rightarrow V(0) = \frac{\sigma R}{2\epsilon_0}$$

بالنسبة للحقل نتبع نفس المنهجية:

$$E(0) = \lim_{z \rightarrow 0} \frac{\sigma R}{2\epsilon_0} \left( \frac{R}{z^2} - R \frac{\left( 1 + \frac{z^2}{R^2} \right)^{1/2}}{z^2} + \frac{1}{\sqrt{z^2 + R^2}} \right) = \lim_{z \rightarrow 0} \frac{\sigma R}{2\epsilon_0} \left( -\frac{R}{z^2} \left( \frac{z^2}{2R^2} \right) + \frac{1}{R} \right)$$

$$E(0) = \frac{\sigma}{4\epsilon_0}$$

و هكذا تكون قد وجدنا من جديد قيمتي الكمون والحقول المتطابقتين تماما مع نتنيجي السؤال 1.

### التمرين 17.1:

ليكن  $Oz$  محور تنازلي (عمودي على المستوى الامتدادي)، و  $M$  نقطة من المحور  $Oz$  لامتداده القريب من السطح. الحقول الناتج يحمله المحور  $Oz$  وذلك بسبب التنازلي.

1/ نقسم المستوى إلى سلسلة من الأكاليل، ذات نصف قطر  $d$  و سمك  $d$ ، كما هو مبين على الشكل أ:

كل إكليل يحمل الشحنة العنصرية  $dq = 2\pi r dr \sigma$  و يبعد عن النقطة  $M$  مسافة  $R$ .

الكمون الكهربائي الناتج عن الإكليل هو:

$$dV = \frac{1}{4\pi\epsilon_0} \frac{\sigma \cdot 2\pi r dr}{R}$$

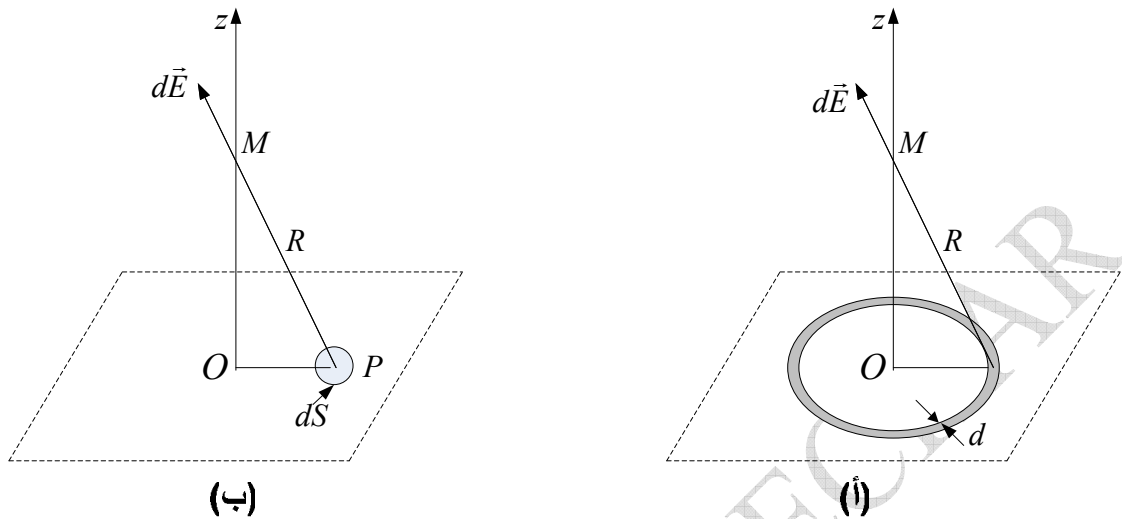
$$V = \frac{\sigma}{2\epsilon_0} \int_0^\infty \frac{r dr}{\sqrt{r^2 + z^2}} \Rightarrow V = -\frac{\sigma}{2\epsilon_0} \left[ \sqrt{r^2 + z^2} \right]_0^\infty$$

$$V = -\frac{\sigma}{2\epsilon_0} z$$

يكفي الآن اشتقاق عبارة الكمون التي توصلنا إليها لنحصل على الحقول الكهربائي:

$$E = -\frac{dV}{dz} \Rightarrow E = \frac{\sigma}{2\epsilon_0}$$

ب/ للتوضيع نحسب في هذا السؤال الحقل الكهربائي ثم نستنتج الكمون الكهربائي.  
ليكن  $d\vec{E}$  الحقل العنصري المتولد عن الشحنة  $dq = \sigma dS$  التي يحملها سطح عنصري  $dS$  حول النقطة  $P$  من السطح (الشكل-ب-) :



$$d\vec{E} = \frac{1}{4\pi\epsilon_0} \frac{dq}{(PM)^2} \vec{u}_P$$

$$\vec{E}(M) = \int dE \cos \theta \vec{u}_z$$

$$dq = \sigma dS$$

$$PM = r$$

$$\Rightarrow \vec{E}(M) = \frac{\sigma}{4\pi\epsilon_0} \int \frac{dS \cos \theta}{r^2} \vec{u}_z$$

ننعرف على الزاوية الصلبة العنصرية  $d\Omega = \frac{dS \cos \theta}{r^2}$  التي نرى من خلالها، و من النقطة  $M$  ، السطح العنصري  $dS$  حول النقطة  $P$ . و بما أن السطح لا متناهي فإننا نراه تحت الزاوية الصلبة  $\Omega_M = 2\pi$  . و عليه:

$$\boxed{\vec{E}(M) = \frac{\sigma}{2\epsilon_0} \vec{u}_z} \Leftrightarrow \boxed{E(M) = \frac{\sigma}{2\epsilon_0}}$$

نحصل على عبارة الكمون الكهربائي انطلاقاً من عبارة الحقل الكهربائي التي وجدناها:

$$dV = -Edz \Rightarrow V = -\frac{\sigma}{2\epsilon_0} \int dz \Rightarrow \boxed{V = -\frac{\sigma}{2\epsilon_0} z}$$

2/ **باستعمال نظرية غوص:** بالنظر إلى الشكل-ج- نختار سطح غوص الملائم و هو أسطوانة. التدفق عبر السطح الجانبي معدوم لأن  $\vec{E} \perp d\vec{S}$  ، بينما التدفق عبر كل من السطحين القاعديين  $S_1$  و  $S_2$  يساوي  $\Phi_{S1} = \Phi_{S2} = ES$  . أما الشحنة المحصورة داخل الأسطوانة فهي:  $Q_{int} = \sigma S$  . و عليه، و حسب نظرية غوص فإن الحقل الكهربائي الناتج عن السطح اللامتناهي هو:

$$\Phi = 2ES = \frac{Q_{int}}{\epsilon_0} \Rightarrow \boxed{E = \frac{\sigma}{2\epsilon_0}}$$

نلاحظ من خلال النتائج المتوصل إليها أن الحقل الكهربائي الناتج عن سطح لا متناهي ثابت في كل الفضاء المحيط بالمستوى؛ بينما الكمون الكهربائي يتاسب طرداً مع المسافة بين السطح و النقطة الواقعة على محور هذا السطح.

3/ خلال سقوطها الشحنة خاضعة لقوى شاقوليتين: ثقلها  $\vec{P}$  و القوة الكهروساكنة  $\vec{F}_e$ . نطبق العلاقة الأساسية للتحريك لحساب تسارع تسارع الشحنة:

$$\begin{aligned} \vec{P} + \vec{F}_e &= m\vec{a} \\ F_e = qE &= q \frac{\sigma}{2\epsilon_0} \Rightarrow a = g + \frac{q}{2m} \frac{\sigma}{\epsilon_0} \\ P = mg \end{aligned}$$

التسارع ثابت و المسار مستقيم إذن الحركة مستقيمة متغيرة بانتظام. سرعة الشحنة عند وصولها المستوى تساوي:

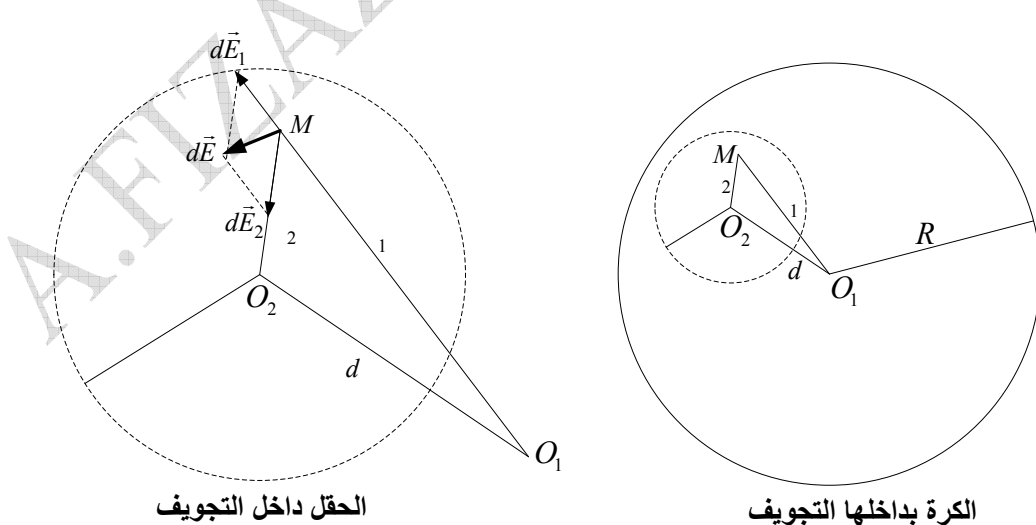
$$v = \sqrt{2az} \Rightarrow v = \sqrt{2 \left( g + \frac{q}{2m} \frac{\sigma}{\epsilon_0} \right) z}$$

و في الأخير مدة سقوط الشحنة تساوي:

$$\begin{aligned} z &= \frac{1}{2} at^2 \\ t &= \sqrt{\frac{2z}{a}} \Rightarrow t = \sqrt{\frac{2z}{g + \frac{q}{2m} \frac{\sigma}{\epsilon_0}}} \end{aligned}$$

### التمرين 18.1:

يمكن نمذجة (تمثيل الشيء بنموذج) التجويف ذي النصف قطر المحفور داخل الكرة  $R$  على أنه تراكم لكرة مشحونة نصف قطرها ذات كثافة  $\rho$  - مركزها  $O_2$  و كرة نصف قطرها ذات كثافة حجمية  $\rho$  + مركزها  $O_1$ .



نطبق مبدأ التراكم في نقطة  $M$  من التجويف:

$$\vec{E}(M) = \vec{E}_1(M) + \vec{E}_2(M)$$

$\vec{E}_1(M)$  : الحقل الناتج عن  $\rho$   
 $-\vec{E}_2(M)$  : الحقل الناتج عن  $-\rho$

التناظر و انعدام التغيرات لكل منبع تؤكّد أن كل حقل هو قطري:

$$\vec{E}_1(M) = E_1 \vec{u}_1, \quad \vec{u}_1 = \frac{\overrightarrow{O_1 M}}{r_1}$$

$$\vec{E}_2(M) = E_2 \vec{u}_2, \quad \vec{u}_2 = \frac{\overrightarrow{O_2 M}}{r_2}$$

نستعمل نظرية غوص: من أجل كل توزيع نأخذ كره نصف قطرها  $r_i$  و مركزها  $O_i$  و سطحها المغلق  $S_i$  يمر من النقطة  $M$ .

$$\oint \vec{E}_i \cdot d\vec{S}_i = \frac{Q_{int}}{\epsilon_0} = \frac{\rho V_i}{\epsilon_0}$$

$$\oint E_1 \cdot dS_1 = E_1 \cdot 4\pi r_1^2 = \rho \frac{4}{3\epsilon_0} \pi r_1^3 \Rightarrow E_1 = \frac{\rho}{3\epsilon_0} r_1$$

$$\oint E_2 \cdot dS_2 = E_2 \cdot 4\pi r_2^2 = -\rho \frac{4}{3\epsilon_0} \pi r_2^3 \Rightarrow E_2 = -\frac{\rho}{3\epsilon_0} r_2$$

نكتب العبارتين الشعاعيتين للحقلي الناتجين:

$$\vec{E}_1 = \frac{\rho}{3\epsilon_0} r_1 \vec{u}_1 = \frac{\rho}{3\epsilon_0} r_1 \frac{\overrightarrow{O_1 M}}{r_1} \Rightarrow \vec{E}_1 = \frac{\rho}{3\epsilon_0} \overrightarrow{O_1 M} \rightarrow (1)$$

$$\vec{E}_2 = -\frac{\rho}{3\epsilon_0} r_2 \vec{u}_2 = -\frac{\rho}{3\epsilon_0} r_2 \frac{\overrightarrow{O_2 M}}{r_2} \Rightarrow \vec{E}_2 = -\frac{\rho}{3\epsilon_0} \overrightarrow{O_2 M} \rightarrow (2)$$

جمع الحقلي نحصل على الحقل الناتج في نقطة  $M$  منتمية للتجويف:

$$(1) + (2) \Rightarrow \vec{E}(M) = \frac{\rho}{3\epsilon_0} \left( \frac{\overrightarrow{O_1 M} - \overrightarrow{O_2 M}}{\overrightarrow{O_1 O_2}} \right)$$

$$\boxed{\vec{E}(M) = \frac{\rho}{3\epsilon_0} \overrightarrow{O_1 O_2}} \Leftrightarrow \boxed{E(M) = \frac{\rho}{3\epsilon_0} d = C^{te}}$$

الحقل الكهروساكن الناتج منتظم داخل كل التجويف.

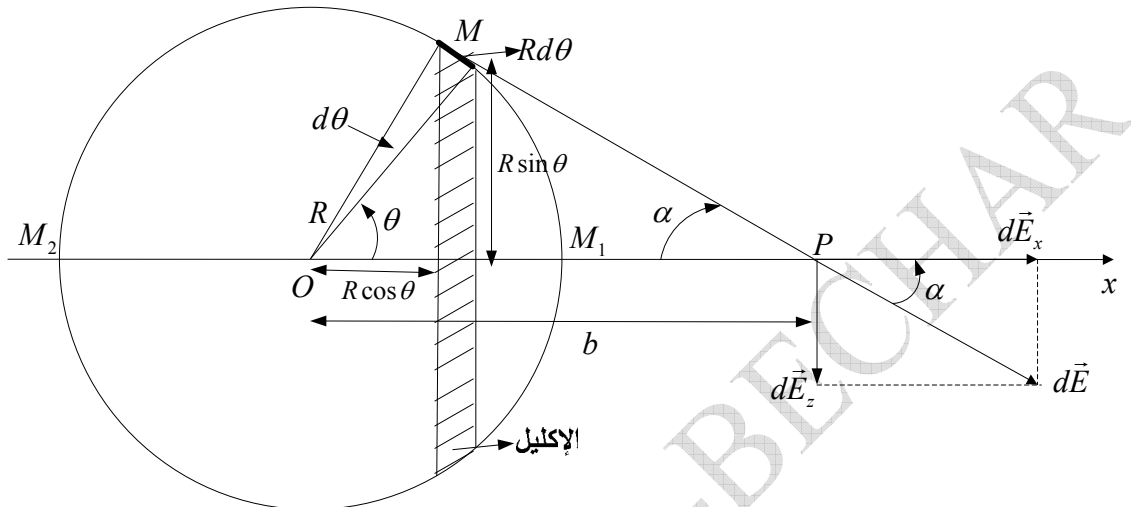
### التمرين 19.1:

لحساب الحقل خارج الكرة، نجزئ الكرة إلى إكليلات عنصرية. الإكليل الواحد محاط بـ  $2\pi\rho$ ، حيث  $\rho = R\sin\theta$  (نصف قطر الإكليل)، و سمه  $Rd\theta$  و سطحه  $dS = 2\pi R^2 \sin\theta d\theta$ . كل إكليل عنصري يحمل الشحنة العنصرية  $dq = \sigma dS = 2\pi\sigma R^2 \sin\theta d\theta$ .

الحقل العنصري  $dE$  الناتج عن الشحنة العنصرية التي يحملها إكليل هو:  $d\vec{E} = dE_z + d\vec{E}_x$ . بسبب التناظر فإن الحقل الناتج يحمله المحور  $OX$  و بالتالي فإن:

$$\begin{aligned} d\vec{E}_z &= -dE \cdot \sin \alpha \vec{u}_z = \vec{0} \\ d\vec{E}_x &= dE \cdot \cos \alpha \vec{u}_x \end{aligned} \Rightarrow d\vec{E} = d\vec{E}_x \Leftrightarrow dE_x = dE \cos \alpha$$

$$dE_x = \frac{1}{4\pi\epsilon_0} \frac{dq}{r^2} \cos \alpha \Rightarrow dE_x = \frac{1}{4\pi\epsilon_0} \frac{2\pi\sigma R^2 \sin \theta d\theta}{r^2} \cos \alpha \rightarrow (1)$$



نريد حذف  $\theta$  و  $\alpha$  من عبارة  $dE_x = \cos \theta d\theta$  و  $\cos \alpha$  من عبارة  $dE_z = \sin \theta d\theta$

$$R^2 = b^2 + r^2 - 2br \cos \alpha \Rightarrow \cos \alpha = \frac{b^2 + r^2 - R^2}{2br}$$

$$r^2 = R^2 + b^2 - 2Rb \cos \theta \Rightarrow \cos \theta = \frac{R^2 + b^2 - r^2}{2Rb} \rightarrow (2)$$

نشتق طرفي المعادلة (2) فنحصل على:  $\sin \theta d\theta = \frac{rdr}{Rb}$

نوضع في المعادلة (1) و ننظم الناتج لنجعل على عبارة الحقل العنصري:

$$dE_x = \frac{1}{4\pi\epsilon_0} \frac{2\pi\sigma R^2 \sin \theta d\theta}{r^2} \cos \alpha \Rightarrow dE_x = \frac{1}{2\pi\epsilon_0} \frac{\sigma R^2}{r^2} \frac{rdr}{Rb} \left( \frac{b^2 + r^2 - R^2}{2br} \right)$$

$$dE_x = \frac{1}{4\epsilon_0} \frac{\sigma R}{b^2} \left( \frac{b^2 + r^2 - R^2}{r^2} \right) dr = \frac{\sigma}{4\epsilon_0} \frac{R}{b^2} \left( \frac{b^2 - R^2}{r^2} + 1 \right) dr$$

$$dE_x = \frac{\sigma R}{4b^2\epsilon_0} \frac{b^2 - R^2}{r^2} dr + \frac{\sigma R}{4b^2\epsilon_0} dr$$

نکمال الان:

$$E_x = \frac{\sigma R}{4b^2\epsilon_0} \left[ \int_{r_1}^{r_2} \frac{b^2 - R^2}{r^2} dr + \int_{r_1}^{r_2} dr \right] \Rightarrow E_x = \frac{\sigma R}{4b^2\epsilon_0} \left( -\frac{b^2 - R^2}{r} \Big|_{r_1}^{r_2} + r \Big|_{r_1}^{r_2} \right)$$

بقي أن نعين الحدين  $r_1$  و  $r_2$ : بالنظر إلى الشكل نتبين موقع النقطة  $M$  المنتوية للإكلييل العنصري المتخذ:

خارج الكرة: حين تكون  $M$  منطبقة على  $r_1 = PM_1 = b - R$  :  $M_1$  على  $M_2$

$$r_2 = PM_2 = b + R$$

$$E = E_x = \frac{\sigma R}{4b^2\epsilon_0} \left( -\frac{b^2 - R^2}{r} \Big|_{b-R}^{b+R} + r \Big|_{b-R}^{b+R} \right)$$

$$E = \frac{\sigma R}{4b^2\epsilon_0} \left\{ \left[ (b+R) - (b-R) \right] - \left[ \left( \frac{b^2 - R^2}{b+R} \right) - \left( \frac{b^2 - R^2}{b-R} \right) \right] \right\}$$

$$E = \frac{\sigma R}{4b^2\epsilon_0} (2R + 2R) \Rightarrow \boxed{E = \frac{\sigma}{4\epsilon_0} \frac{R^2}{b^2}} \Leftrightarrow \boxed{\vec{E} = \frac{\sigma}{\epsilon_0} \frac{R^2}{b^2} \vec{u}_x}$$

داخل الكرة: (الشكل في الأسفل) حين تكون  $M$  منطبقة على  $r_1 = PM_1 = R - b$  :  $M_1$  على  $M_2$

$$r_2 = PM_2 = b + R : M_2$$

الحقل الناتج هو إذن:

$$E = E_x = \frac{\sigma R}{4b^2\epsilon_0} \left( -\frac{b^2 - R^2}{r} \Big|_{R-b}^{b+R} + r \Big|_{R-b}^{b+R} \right)$$

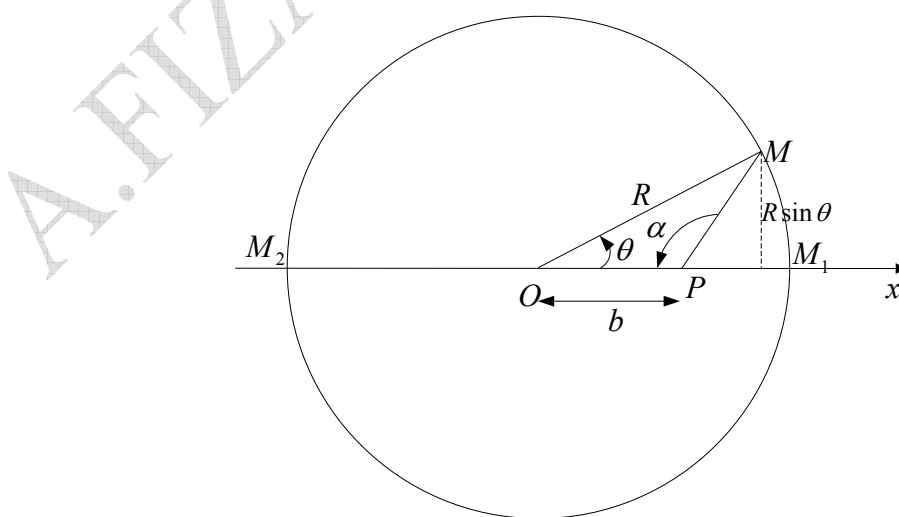
$$E = \frac{\sigma R}{4b^2\epsilon_0} \left\{ \left[ (b+R) - (R-b) \right] - \left[ \left( \frac{b^2 - R^2}{b+R} \right) - \left( \frac{b^2 - R^2}{R-b} \right) \right] \right\}$$

$$E = \frac{\sigma R}{4b^2\epsilon_0} (2b - 2b) \Rightarrow \boxed{E = 0}$$

على سطح الكرة:

وجدنا أن خارج الكرة الحقل يساوي:  $E = \frac{\sigma R^2}{\epsilon_0 b^2}$ . على السطح يأخذ الحقل الناتج قيمة خاصة:

$$b = R \Rightarrow \boxed{E = \frac{\sigma}{\epsilon_0}} \Leftrightarrow \boxed{\vec{E} = \frac{\sigma}{\epsilon_0} \vec{u}_x}$$



2/ نطبق نظرية غوص: سطح غوص الواجب اختياره هو كرة نصف قطرها  $b (b > R)$

$$\left. \begin{array}{l} \Phi = E \cdot S = \frac{Q_{\text{int}}}{\epsilon_0} \\ S = 4\pi b^2 \\ Q_{\text{int}} = \sigma \cdot S = \sigma \cdot 4\pi b^2 \end{array} \right| \Rightarrow E = \frac{\sigma 4\pi R^2}{4\pi b^2 \epsilon_0} \Rightarrow \boxed{E = \frac{\sigma R^2}{\epsilon_0 b^2}}$$

المناقشة:

خارج الكرة:  $b > R : E = \frac{\sigma R^2}{\epsilon_0 b^2}$

داخل الكرة: الشحنة الداخلية معدومة و عليه:  $Q_{\text{int}} = 0 \Rightarrow E = 0$

على سطح الكرة:  $b = R \Rightarrow E = \frac{\sigma}{\epsilon_0}$

3/ حساب الكمون الكهربائي: بالتتابع نفس الطريقة يمكننا كتابة:

$$dV = \frac{1}{4\pi\epsilon_0} \frac{2\pi\sigma R^2 \sin\theta d\theta}{r} \Rightarrow dV = \frac{1}{2\pi\epsilon_0} \frac{\sigma R^2}{r} \frac{r dr}{Rb}$$

خارج الكرة:

$$dV = \frac{1}{2\epsilon_0} \frac{\sigma R}{b} dr = \frac{\sigma}{2\epsilon_0} \frac{R}{b} dr \Rightarrow V = \frac{\sigma}{2\epsilon_0} \frac{R}{b} \int_{b-R}^{b+R} dr$$

$$V = \frac{\sigma}{2\epsilon_0} \frac{R}{b} r \Big|_{b-R}^{b+R} \Rightarrow \boxed{V = \frac{\sigma}{\epsilon_0} \frac{R^2}{b}}$$

على سطح الكرة:

$$b=R \Rightarrow \boxed{V = \frac{\sigma}{\epsilon_0} R}$$

داخل الكرة:

$$V = \frac{\sigma}{2\epsilon_0} \frac{R}{b} r \Big|_{R-b}^{b+R} \Rightarrow \boxed{V = \frac{\sigma}{\epsilon_0} R}$$

نلاحظ أن داخل الكرة الكمون ثابت، وهذا ما يفسر تساوي الكمون على سطح الكرة و بداخلها فنقول أن الكرة تشكل حجماً متساوياً للكمون.

4/ استنتاج الحقائق من الكمون:

خارج الكرة: نعتبر  $b$  متغيرة  $(b > R)$

$$\left. \begin{array}{l} V = \frac{\sigma}{\epsilon_0} \frac{R^2}{b} \\ E = -\frac{dV}{db} \end{array} \right| \Rightarrow \boxed{E = \frac{\sigma}{\epsilon_0} \frac{R^2}{b^2}}$$

على سطح الكرة: في العبارة السابقة نضع  $b = R$

$$b=R \Rightarrow E = \frac{\sigma}{\epsilon_0}$$

داخل الكرة: ( $b < R$ ) الكمون ثابت و عليه فإن مشتقه معدومة:

$$\begin{aligned} V &= \frac{\sigma}{\epsilon_0} R = Cte \\ E &= -\frac{dV}{db} \end{aligned} \quad \Rightarrow E = 0$$

### التمرين 20.1:

الحقل الكهروساكن داخل الأسطوانة: سطح غوص المناسب في هذه الحالة هو اسطوانة طولها  $h$ ، نصف قطرها  $r < R$  و تحصر بداخلها شحنة  $Q_{int} = \rho V = \rho \pi r^2 h$ . حسب قانون غوص فإن:

$$\Phi = ES = \frac{Q_{int}}{\epsilon_0} \Rightarrow E = \frac{Q_{int}}{\epsilon_0} = \frac{\rho \pi r^2 h}{2\pi rh \cdot \epsilon_0} \Rightarrow E_i = \frac{\rho}{2\epsilon_0} r \Leftrightarrow \vec{E}_i = \frac{\rho}{2\epsilon_0} r \cdot \vec{u}_r$$

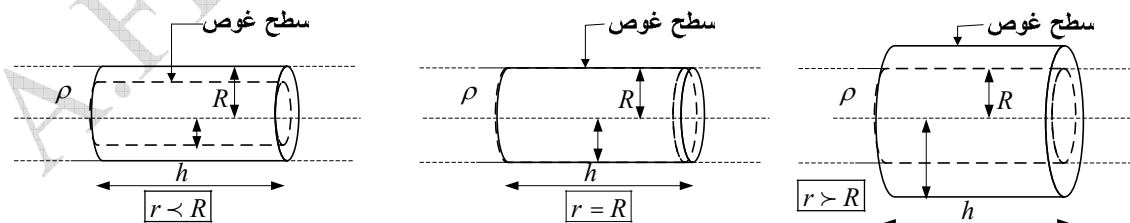
الحقل الكهروساكن على سطح الأسطوانة: سطح غوص المناسب في هذه الحالة هو اسطوانة طولها  $h$ ، نصف قطرها  $r = R$  و تحصر بداخلها شحنة  $Q_{int} = \rho V = \rho \pi R^2 h = \rho \pi r^2 h$ . حسب قانون غوص فإن:

$$\Phi = ES = \frac{Q_{int}}{\epsilon_0} \Rightarrow E = \frac{Q_{int}}{\epsilon_0} = \frac{\rho \pi R^2 h}{2\pi Rh \cdot \epsilon_0} \Rightarrow E_s = \frac{\rho}{2\epsilon_0} R \Leftrightarrow \vec{E}_s = \frac{\rho}{2\epsilon_0} R \cdot \vec{u}_r$$

ملاحظة: يمكن الوصول إلى عبارة الحقل على سطح الأسطوانة بتعويض  $\vec{E}$  في العبارة السابقة للحقل داخل الأسطوانة أو في العبارة اللاحقة للحقل خارج الأسطوانة.

الحقل الكهروساكن خارج الأسطوانة: سطح غوص المناسب في هذه الحالة هو اسطوانة طولها  $h$ ، نصف قطرها  $r > R$  و تحصر بداخلها شحنة  $Q_{int} = \rho V = \rho \pi R^2 h$ . حسب قانون غوص فإن:

$$\Phi = ES = \frac{Q_{int}}{\epsilon_0} \Rightarrow E = \frac{Q_{int}}{\epsilon_0} = \frac{\rho \pi R^2 h}{2\pi rh \cdot \epsilon_0} \Rightarrow E_e = \frac{\rho}{2\epsilon_0} \frac{R^2}{r} \Leftrightarrow \vec{E}_e = \frac{\rho}{2\epsilon_0} \frac{R^2}{r} \vec{u}_r$$



/2 لاستنتاج الكمون الكهربائي نلجم للقانون:  $\vec{E} = -\vec{grad}V$ . و بما أن الحقل قطري فإنه يمكننا كتابة:

$$E = -\frac{dV}{dr} \Rightarrow V = -\int E dr$$

ما علينا إلا مكاملة العبارتين  $E_e$  و  $E_i$  السابقتين للحقل.

$$V_i = - \int \frac{\rho}{2\epsilon_0} r dr \Rightarrow V_i = - \frac{\rho}{4\epsilon_0} r^2 + C_1$$

$$V_e = - \int \frac{\rho}{2\epsilon_0} \frac{R^2}{r} dr \Rightarrow V_e = - \frac{\rho}{2\epsilon_0} R^2 \ln r + C_2$$

نحصل على ثابت التكامل استناداً لشرط انعدام الكمون في  $r = 0$  و استمرارية الكمون في  $r = R$ .  
الكون داخلاً للأسطوانة:  $(R > r > 0)$

$$\left. \begin{aligned} V_i &= - \frac{\rho}{4\epsilon_0} r^2 + C_1 \\ r = 0, V = 0 &\quad \therefore C_1 = 0 \end{aligned} \right| \Rightarrow V_i = - \frac{\rho}{4\epsilon_0} r^2$$

الكون على سطح الأسطوانة: إذا عوضنا في عبارة  $V_i$  نحصل على الكون على سطح الأسطوانة:

$$\left. \begin{aligned} V_i &= - \frac{\rho}{4\epsilon_0} r^2 \\ r = R &\quad \therefore \end{aligned} \right| \Rightarrow V_s = - \frac{\rho}{4\epsilon_0} R^2$$

الكون خارجاً للأسطوانة:  $(R < r)$

$$V_e = - \int \frac{\rho}{2\epsilon_0} \frac{R^2}{r} dr \Rightarrow V_e = - \frac{\rho}{2\epsilon_0} R^2 \ln r + C_2$$

$$\left. \begin{aligned} V_e &= - \frac{\rho}{2\epsilon_0} R^2 \ln r + C_2 \\ r = R, V = - \frac{\rho}{4\epsilon_0} R^2 &\quad \therefore C_2 = \frac{\rho}{2\epsilon_0} R^2 \ln r - \frac{\rho}{4\epsilon_0} R^2 \end{aligned} \right|$$

$$V_e = \frac{\rho}{2\epsilon_0} R^2 \ln \frac{R}{r} - \frac{\rho}{4\epsilon_0} R^2$$

### التمرين 21.1:

سطح غوص المناسب في هذه الحالة هو كرة نصف قطرها  $S = 4\pi r^2$ . إذا وجدت بداخلها شحنة  $Q_{\text{int}}$  فإن الحقل الكهربائي الناتج بداخلها يساوي حسب نظرية غوص:

$$\Phi = ES = \frac{Q_{\text{int}}}{\epsilon_0} \Rightarrow E = \frac{Q_{\text{int}}}{\epsilon_0 S} \Rightarrow E = \frac{Q_{\text{int}}}{4\pi r^2 \epsilon_0}$$

في الحالات الثلاثة الحقل قطري.

**الحقل الكهروساكن داخلاً للكرة الداخلية ( $r < R_1$ )**: الشحنة الداخلية هي الشحنة التي يحصرها سطح غوص المتمثل في كرة نصف قطرها  $($  هي جزء من شحنة الكرة الداخلية).

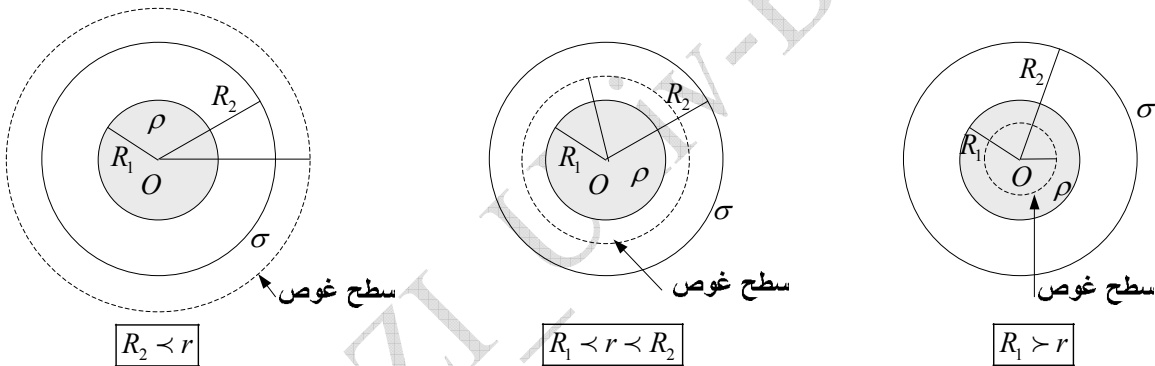
$$\left. \begin{aligned} E &= \frac{Q_{\text{int}}}{4\pi r^2 \epsilon_0} \\ Q_{\text{int}} &= \rho V = \rho \frac{4}{3} \pi r^3 \end{aligned} \right| \Rightarrow E = \frac{\rho \frac{4}{3} \pi r^3}{4\pi r^2 \epsilon_0} \Rightarrow E = \frac{\rho}{3\epsilon_0} r \Leftrightarrow \bar{E} = \frac{\rho}{3\epsilon_0} r \vec{u}_r$$

**الحقل الكهروساكن السائد بين الكرتين** ( $R_1 < r < R_2$ ) : الشحنة الداخلية لسطح غوص هي شحنة الكرة الداخلية كلها:

$$\left. \begin{aligned} E &= \frac{Q_{\text{int}}}{4\pi r^2 \epsilon_0} \\ Q_{\text{int}} &= \rho V_1 = \rho \frac{4}{3} \pi R_1^3 \end{aligned} \right| \Rightarrow E = \frac{\rho \frac{4}{3} \pi R_1^3}{4\pi r^2 \epsilon_0} \Rightarrow \boxed{E = \frac{\rho}{3\epsilon_0} \frac{R_1^3}{r^2}} \Leftrightarrow \boxed{\vec{E} = \frac{\rho}{3\epsilon_0} \frac{R_1^3}{r^2} \vec{u}_r}$$

**الحقل الكهروساكن السائد خارج الكرتين** ( $r > R_2$ ) : الشحنة الداخلية لسطح غوص هي شحنة الكرتين معاً:

$$\left. \begin{aligned} E &= \frac{Q_{\text{int}}}{4\pi r^2 \epsilon_0} \\ Q_{\text{int}} &= \rho V_1 + \sigma S_2 = \rho \frac{4}{3} \pi R_1^3 + \sigma 4\pi R_2^2 \end{aligned} \right| \Rightarrow E = \frac{\rho \frac{4}{3} \pi R_1^3 + \sigma 4\pi R_2^2}{4\pi r^2 \epsilon_0} \Rightarrow \boxed{E = \frac{\rho}{3\epsilon_0} \frac{R_1^3}{r^2} + \frac{\sigma}{\epsilon_0} \frac{R_2^2}{r^2}} \Rightarrow \boxed{\vec{E} = \frac{\rho}{3\epsilon_0} \frac{R_1^3}{r^2} + \frac{\sigma}{\epsilon_0} \frac{R_2^2}{r^2} \vec{u}_r}$$



الكمون الكهروساكن في نفس المناطق: لاستنتاج الكمون الكهربائي نلجمأ للقانون:  $\vec{E} = -\vec{\text{grad}}V$ . و بما أن الحقل قطري فإنه يمكننا كتابة:

$$E = -\frac{dV}{dr} \Rightarrow V = - \int Edr \quad ; \quad (\text{في المنطقة } (R_1 < r < R_2))$$

$$\left. \begin{aligned} E &= \frac{\rho}{3\epsilon_0} r \\ V &= - \int Edr \end{aligned} \right| \Rightarrow V = - \int \frac{\rho}{3\epsilon_0} r dr \Rightarrow \boxed{V = -\frac{\rho}{6\epsilon_0} r^2 + C_1}$$

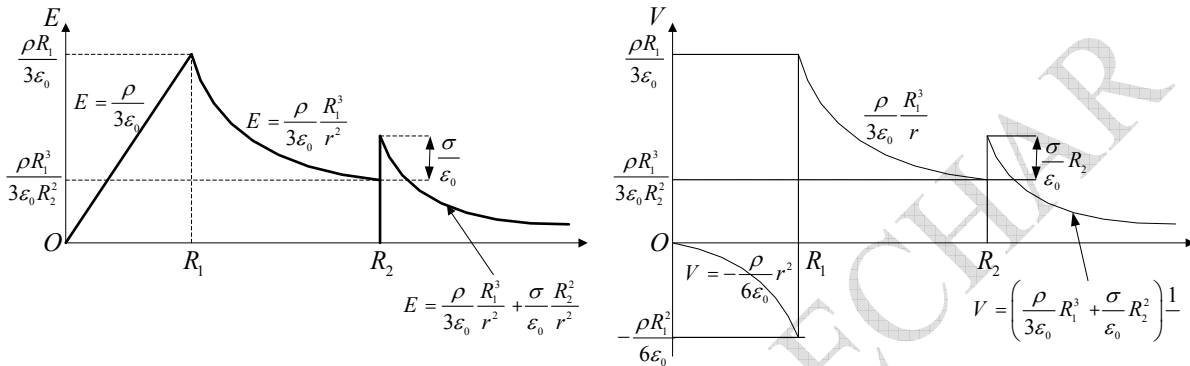
فـ **في المنطقة** ( $R_1 < r < R_2$ )

$$E = \frac{\rho}{3\epsilon_0} \frac{R_1^3}{r^2} \Rightarrow V = - \int \frac{\rho}{3\epsilon_0} \frac{R_1^3}{r^2} dr \Rightarrow \boxed{V = \frac{\rho}{3\epsilon_0} \frac{R_1^3}{r} + C_2}$$

في المنطقة  $(r > R_2)$

$$E = \frac{\rho}{3\epsilon_0} \frac{R_1^3}{r^2} + \frac{\sigma}{\epsilon_0} \frac{R_2^2}{r^2} \Rightarrow V = - \int \left( \frac{\rho}{3\epsilon_0} \frac{R_1^3}{r^2} + \frac{\sigma}{\epsilon_0} \frac{R_2^2}{r^2} \right) dr \Rightarrow \boxed{V = \left( \frac{\rho}{3\epsilon_0} R_1^3 + \frac{\sigma}{\epsilon_0} R_2^2 \right) \frac{1}{r} + C_3}$$

/3 مثلا على الشكلين التاليين الدالتين  $V(r)$  و  $E(r)$  تمثل  $V(r)$ . لتبسيط أحدنا  $C_1 = C_2 = C_3 = 0$



### التمرين 22.1:

$$\Phi = ES = \frac{Q_{int}}{\epsilon_0} \Rightarrow E = \frac{Q_{int}}{\epsilon_0 S} \Rightarrow \boxed{E = \frac{Q_{int}}{4\pi r^2 \epsilon_0}}$$

- أ/ حين تكون  $r < R_1$  فهذا يعني أن الشحنة داخل سطح غوص معدومة و عليه فإن الحقل معدوم.  
حين تكون  $R_1 < r < R_2$  فإن مجموع الشحتين الداخليتين معدوم كذلك:  $Q_{int} = -\lambda l + \lambda l = 0$  وبالتالي فإن الحقل معدوم كذلك. ( $l$  يمثل طول أسطوانة غوص).
- ب/ حين تكون  $R_2 < r < R_1$ , الشحنة الداخلية هي الشحنة التي تحملها الأسطوانة الداخلية أي  $Q_{int} = +\lambda l$ . إذن الحقل الكهربائي هو:

$$E = \frac{\lambda l}{\epsilon_0 S} \quad S = \pi r^2 l \Rightarrow E = \frac{\lambda}{2\pi\epsilon_0} \frac{1}{r} \Leftrightarrow \vec{E} = \frac{\lambda}{2\pi\epsilon_0} \frac{1}{r} \vec{u}_r \rightarrow (1)$$

2/ لاستنتاج الكمون الكهربائي نلجم للقانون:  $\vec{E} = -\vec{\nabla}V$ . و بما أن الحقل قطري فإنه يمكننا كتابة:

$$E = -\frac{dV}{dr} \Rightarrow V = - \int E dr$$

❖ من أجل  $r < R_1$  و  $r > R_2$  الحقل معدوم و عليه الكمون في هاتين المنطقتين يكون ثابتًا:

$$\boxed{E = 0 \Leftrightarrow V = C^{te}}$$

❖ من أجل  $R_1 < r < R_2$  نكامل العبارة (1) السابقة للحقل:

$$V = -\frac{\lambda}{2\pi\epsilon_0} \int \frac{1}{r} dr \Rightarrow \boxed{V = -\frac{\lambda}{2\pi\epsilon_0} \ln r + C}$$

سطح تساوي الكمون تكون أكثر تقاربًا لما يكون الحقل أكثر شدة أي لما تكون صغرية. هذا يقودنا إلى استنتاج أن سطوح تساوي الكمون تكون أكثر تقاربًا بجوار الأسطوانة الداخلية.

التمرين 23.1:

1/ حسب ما هو بين القوسين فإن  $k$  و  $\frac{1}{r}$  لها نفس البعد. نعرف أن بعد  $k$  هو طول ( $L$ ) و

$$\text{عليه فإن بعد } k \text{ هو: } \left[ \frac{1}{r} \right] = [k] = L^{-1} \cdot m^{-1}$$

2/ بسبب التناظر الكروي فإن الحقل قطري:

$$\vec{E}(r) = -\frac{dV}{dr} \Rightarrow E(r) = \frac{e}{4\pi\epsilon_0} \left( 2k^2 + \frac{2k}{r} + \frac{1}{r^2} \right) \exp(-2kr) \vec{u}$$

3/ حسب نظرية غوص:

$$\Phi = ES = \frac{q_{\text{int}}}{\epsilon_0} \Rightarrow q_{\text{int}} = ES$$

$$q(r) = e(2k^2 r^2 + 2kr + 1) \exp(-2kr) \rightarrow (1)$$

4/ من أجل  $r=0$  فإن الشحنة تساوي  $e$ . هذا يدل على أن التوزيع يحتوي على شحنة نقطية في المركز  $O$ .

5/  $\lim_{r \rightarrow \infty} q(r) = 0$ : هذا يعني أن الشحنة الكلية للتوزيع معروفة. وبما أن في المركز  $O$  توجد شحنة نقطية  $e$  فلا بد من وجود شحنة  $-e$  موزعة على كل الفضاء حول المركز  $O$  بحيث يكون مجموع الشختين معروفاً.

6/ نقسم في هذا السؤال الفضاء إلى كرات عنصرية حجمها  $dv = 4\pi r^2 dr$ ، و تحمل الشحنة العنصرية  $dq = \rho(r) dv$ . و عليه:

$$dq = \rho(r) 4\pi r^2 dr \rightarrow (2)$$

تقابل العبارة (1) هو:

$$dq = -4ek^3 r^2 \exp(-2kr) \rightarrow (3)$$

بمطابقة العبارتين (2) و (3) نحصل على عبارة كثافة الشحنة:

$$\rho(r) = \frac{-e}{\pi} k^3 \exp(-2kr)$$

التمرين 24.1:

1/ بسبب التناظر فإن الحقل قطري و لذا يمكننا استعمال العلاقة

$$E(r) = \frac{q}{4\pi\epsilon_0 r^2} \left( 1 + \frac{r}{a} \right) e^{-r/a} \Leftrightarrow \vec{E}(r) = \frac{q}{4\pi\epsilon_0 r^2} \left( 1 + \frac{r}{a} \right) e^{-r/a} \vec{u}_r$$

2/ تدفق الحقل: بما أن مركبة الحقل قطريّة و ثابتة على كرة ذات نصف قطر فإن التدفق هو:

$$\Phi = \iint \vec{E} d\vec{S} \Rightarrow \Phi = ES \Rightarrow \boxed{\Phi = \frac{q}{\epsilon_0} \left( 1 + \frac{r}{a} \right) e^{-r/a}}$$

دراسة النهايات تقود إلى النتيجتين:

$\Phi = \frac{q}{\epsilon_0} : 0$  إلى عندما تؤول

$\Phi = 0 : \infty$  إلى عندما تؤول

الخلاصة: حسب نظرية غوص، عبارة الشحنة الداخلية لكرة نصف قطرها هي:  $Q(r) = \epsilon_0 \Phi$ . نستنتج من هذا أن الشحنة الكلية للتوزيع معروفة وأن في المركز  $O$  توجد شحنة نقطية موجبة  $q$ .

3/ الكثافة الحجمية للشحنة:

الشحنة العنصرية  $dq$  المحصورة بين كرتين ذاتي نصفي قطر  $d$  هي  $dq = \rho(r)dV = 4\pi r^2 dr \cdot \rho(r)$

$$\begin{aligned} \rho(r) &= \frac{\epsilon_0}{4\pi r^2} \frac{d\Phi}{dr} \\ \frac{d\Phi}{dr} &= -\frac{q}{\epsilon_0} \frac{r}{a^2} e^{-r/a} \end{aligned} \Rightarrow \boxed{\rho(r) = -\frac{q}{4\pi a^2} \frac{1}{r} e^{-r/a}}$$

هذه الكثافة سالية و الشحنة الكلية هي  $-q$ .

4/ دراسة الدالة تبدأ بحساب المشتق، ثم تحديد نقطة انعدام المشتقة لتتبين لنا قمة الدالة :

$$\begin{aligned} \frac{d\rho(r)}{dr} &= \frac{q}{4\pi a^2} \frac{1}{r} \left( \frac{1}{r} + \frac{1}{a} \right) \\ \frac{d\rho(r)}{dr} &= 0 \Leftrightarrow \boxed{r = a} \end{aligned}$$

الدالة  $\rho(r)$  تمر بقيمة أعظمية في  $r = a$ . لمعرفة مدلول هذه الدالة نبحث عن بعدها ثم نستنتج وحدتها:

$$\boxed{[\rho(r)] = \frac{[q]}{[r]} = \frac{C}{L} \rightarrow C.m^{-1}}$$

الدالة المدروسة هي إذن الكثافة الطولية ( هنا القطرية ) للشحنات.

معلومات هامة: فعليا التوزيع الذي درسناه هو لذرة الهيدروجين. توجد شحنة البروتون ( $+q$ ) الموجبة في مركز الذرة التي تشكل النواة التي يطوف حولها الإلكترون الوحيد و الذي يحمل شحنة سالبة ( $-q$ ). أما  $a$  فتمثل نصف قطر بوهر (Bohr) وهو المسافة بين النواة و المنطقة التي يكون فيها أعظم احتمال لوجود الإلكترون.

### التمرين 25.1

1/ الكمون الكهربائي الناتج في النقطة  $M$ :

$$V_M = V_A + V_B = \frac{1}{4\pi\epsilon_0} \left( \frac{1}{r_1} - \frac{1}{r_2} \right) \Rightarrow V_M = \frac{1}{4\pi\epsilon_0} \left( \frac{r_2 - r_1}{r_1 r_2} \right)$$

$$\begin{aligned} a \ll r &\Rightarrow r_1 \approx r_2 \approx r \\ r_2 - r_1 &= a \cos \theta \\ p &= qa \end{aligned} \Rightarrow \boxed{V_M = \frac{p}{4\pi\epsilon_0} \frac{\cos \theta}{r^2}}$$

الحقل في القاعدة القطبية  $(\vec{E}_r, \vec{u}_\theta)$  مركبتان:  $\vec{E} = \vec{E}_r + \vec{E}_\theta$ . انطلاقا من القانون  $\vec{E} = -\vec{\text{grad}}V$  يمكن تعريف المركبتين القطبيتين:

$$E_r = -\frac{\partial V}{\partial r} \Rightarrow E_r = \frac{2}{4\pi\epsilon_0} \frac{p \cos \theta}{r^3}$$

$$E_\theta = -\frac{1}{r} \frac{\partial V}{\partial \theta} \Rightarrow E_\theta = \frac{1}{4\pi\epsilon_0} \frac{p \sin \theta}{r^3}$$

و منه فإن الحقل يساوي:

$$\vec{E} = \frac{1}{4\pi\epsilon_0} \frac{p}{r^3} (2 \cos \theta \vec{u}_r + \sin \theta \vec{u}_\theta)$$

$$E = \frac{1}{4\pi\epsilon_0} \frac{p}{r^3} (4 \cos^2 \theta + \sin^2 \theta)^{1/2} \Rightarrow E = \frac{1}{4\pi\epsilon_0} \frac{p}{r^3} (3 \cos^2 \theta + 1)^{1/2}$$

**2/ معادلة سطوح تساوي الكمون:** انتلافاً من معادلة الكمون الموجودة سابقاً نستنتج معادلة هذه السطوح:

$$V = C^{te} = V_0 \Rightarrow r^2 = \frac{qa}{4\pi\epsilon_0 V_0} \cos \theta \Rightarrow r^2 = \frac{p}{4\pi\epsilon_0 V_0} \cos \theta$$

كل قيمة لـ  $V_0$  يقابلها سطح متساوي الكمون الواقع على البعد من  $O$ .

**معادلة خطوط الحقل:** خط الحقل  $\vec{E}$  معرف بأنه متواافق خطياً مع  $d\vec{l}$ ، و عليه:  $\vec{E} = \lambda d\vec{l}$ . نعرف مركبتي  $\vec{E}$  و مركبتي  $d\vec{l}$ ، و من العلاقة بين الشعاعين يمكن الوصول إلى معادلة خطوط الحقل:

$$\vec{E} = \lambda d\vec{l} \\ \left. \vec{E} \left( \begin{array}{c} E_r \\ E_\theta \end{array} \right), d\vec{l} \left( \begin{array}{c} dr \\ rd\theta \end{array} \right) \right\} \Rightarrow \frac{dr}{E_r} = r \frac{d\theta}{E_\theta} \Rightarrow \frac{dr}{r} = \frac{E_r}{E_\theta} d\theta \rightarrow (1)$$

نمايل المعادلة (1) فنحصل، بثابت تقريري، على:

$$\frac{dr}{r} = \frac{E_r}{E_\theta} d\theta \Rightarrow \frac{dr}{r} = \frac{\frac{2}{4\pi\epsilon_0} \frac{p \cos \theta}{r^3}}{\frac{1}{4\pi\epsilon_0} \frac{p \sin \theta}{r^3}} d\theta$$

$$\frac{dr}{r} = \frac{2 \cos \theta}{\sin \theta} d\theta \Rightarrow \frac{dr}{r} = \frac{2 d(\sin \theta)}{\sin \theta}$$

$$\int \frac{dr}{r} = 2 \int \frac{d(\sin \theta)}{\sin \theta} \Rightarrow \ln r = 2 \ln (\sin \theta) + K$$

$$\ln r - \ln (\sin^2 \theta) = K \Rightarrow \ln \frac{r}{\sin^2 \theta} = K \Rightarrow \frac{r}{\sin^2 \theta} = K$$

و من كل هذا فإن معادلة خطوط الحقل هي:

$$r = K \sin^2 \theta$$

كل قيمة لـ  $K$  يقابلها خط للحقل الواقع على البعد من  $O$  بحيث خطوط الحقل عمودية على سطوح تساوي الكمون.

## II/ النواقل المتوازنة CONDUCTEURS EN EQUILIBRE

### A/ تعريف النواقل المتزنة و خصائصها (Définition et propriétés des conducteurs en équilibre)

نذكر أولاً أن الناقل الكهربائي (أو الموصّل) هو كل جسم يمكن لحاملاً الشحنة أن تتحرك (أي تتنقل) بداخله بحرية.

**1/ تعريف:** نقول عن ناقل أنه في حالة توازن كهروساكن إذا كانت كل الشحنات المتواجدة بداخله ساكنة.

**2/ خواص النواقل المتزنة:**

☞ بما أن الشحنات داخل الناقل المتزن ساكنة ، فهي لا تخضع لأية قوة ، و هذا يعني أن **الحقل الكهروساكن داخل الناقل المتزن معدوم**:

$$\vec{F} = q \cdot \vec{E} = \vec{0} \Rightarrow \boxed{\vec{E} = \vec{0}}$$

☞ يتعامد شعاع الحقل الكهربائي مع سطح الناقل المتوازن: هذا راجع لكون خطوط الحقل مماسية لشعاع الحقل و هي متعمدة مع السطح.

☞ **يشكل الناقل المتوازن حجماً لتراوبي الكمون:** عرفنا أن فرق الكمون بين نقطتين  $M$  و  $M'$  معرف بالعلاقة  $dV = -\vec{E} \cdot d\vec{l}$ . و بما أن  $\vec{E} = \vec{0}$  فهذا يعني أن الكمون ثابت في كل نقطة داخل الناقل المتوازن ، و بالتالي فإن السطح الخارجي للناقل هو سطح تراوبي الكمون ، مما يؤكّد تعامد شعاع الحقل الكهربائي مع سطح الناقل.

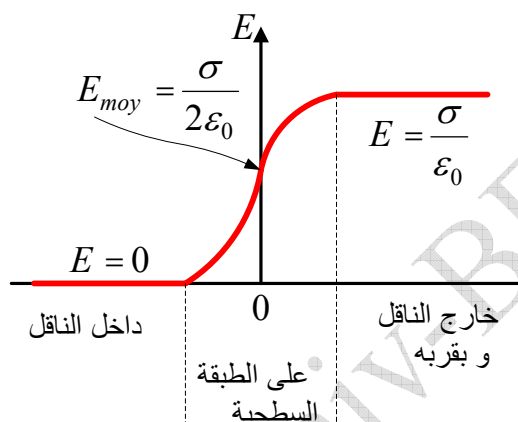
☞ **الشحنة داخل الناقل معدومة وتتموضع على سطح الناقل:** بالفعل و بما أن عدد البروتونات يساوي عدد الإلكترونات فإن الشحنة المجملة داخل الناقل معدومة. الشحنات الحرة الكلية تتوزع على سطح يشغل سمكاً مكوناً من بضعة طبقات من الذرات (و لا تعني كلمة السطح هنا ما يفهم من المعنى الهندسي). الشحنات الكهربائية المتحركة تترافق على السطح حتى يصبح الحقل الذي تنتجه متساوياً للحقل الخارجي المطبق على هذا السطح مما يؤدي إلى حالة التوازن.

**3/ نظرية كولومب:** (Théorème de Coulomb)

بجوار ناقل متوازن ، الحقل عمودي على سطح الناقل و عبارة شدّته هي  $E = \frac{\sigma}{\epsilon_0}$ .

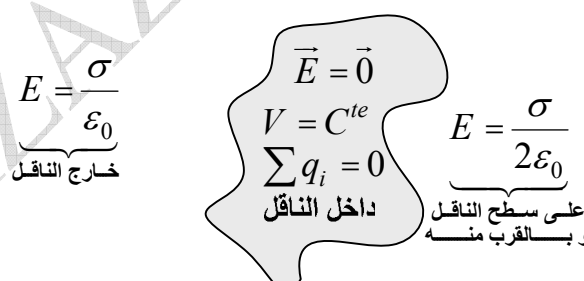
$\sigma$  تمثل الكثافة السطحية للناقل.

تعطي هذه العبارة قيمة الحقل الكهربائي في نقطة مجاورة للسطح و بخارج الناقل ، بينما الحقل في الداخل معادل . أما على السطح فإن الحقل يأخذ قيمة متوسطة  $E_{moy}$  . و نتيجة لهذا و عند عبور سطح الناقل ، فإن الحقل الكهربائي يتغير وفق ما هو مبين على الشكل 1.2.



الشكل 1.2 : تغير الحقل الكهربائي عند عبور سطح الناقل

يمكن اختصار خصائص الناقل المتزن بما هو مبين على الشكل 2.2:



الشكل 2.2 : خصائص الناقل المتزن

**4/ الضغط الكهروساكن:** (Pression électrostatique)

❖ **تعريف:** الضغط الكهروساكن هو القوة الكهربائية المطبقة على واحدة السطح.

(هذه القوة ناتجة عن التناور الحاصل بين الشحنات على السطح و الشحنات الأخرى)

$$(1.2) \quad p_e = \frac{\sigma^2}{2\epsilon_0}$$

التحليل: القوة العنصرية  $d\vec{f}$  المطبقة على سطح عنصري خارجي  $d\vec{S}_{ext}$  لناقل ، يحمل على سطحه شحنة عنصرية  $dq = \sigma \cdot dS_{ext}$  ، عبارتها هي :

$$d\vec{f} = dq \cdot \vec{E}_{moy} = \sigma \cdot dS_{ext} \cdot \frac{\sigma}{2\epsilon_0}$$

$$d\vec{f} = \frac{\sigma^2}{2\epsilon_0} \cdot d\vec{S}_{ext} \Rightarrow \frac{d\vec{f}}{d\vec{S}_{ext}} = p_e = \frac{\sigma^2}{2\epsilon_0} \quad \text{و منه:}$$

نستنتج من عبارة الضغط الكهروساكن أنه مقدار سلمي و أنه دائمًا موجب كما يمكن اعتباره بمثابة القوة التي بإمكانها نزع الشحنات من الناقل.

وحدة الضغط الكهروساكن: الباسكال (Pascal) (Pa)

**5/ قدرة السطوح الحادة :** (Pouvoir des pointes) تمثل الشحنات إلى التراكم على السطوح الحادة ( التي يكون نصف قطر انحنياتها صغيراً). نبين هذا في المثال التالي. يمثل الشكل 3.2 ناقلين متكونين من كرتين موصلتين بسلك.



الشكل 3.2 : قدرة السطوح الحادة

الكرتان لهما نفس الكمون  $V$  :

$$V = K \frac{Q_1}{R_1} = K \frac{Q_2}{R_2}$$

$$V = \frac{1}{4\pi\epsilon_0} \frac{\sigma_1 \cdot 4\pi R_1^2}{R_1} = \frac{1}{4\pi\epsilon_0} \frac{\sigma_2 \cdot 4\pi R_2^2}{R_2} \Rightarrow \sigma_1 R_1 = \sigma_2 R_2$$

و بما أن  $R_1 > R_2$  فإن  $\sigma_1 > \sigma_2$  ، وهذا يدل على أن الشحنات تميل إلى التراكم على السطوح الحادة.

تستعمل قدرة الرؤوس الحادة لتسهيل عملية التفريغ لتفادي الأخطار التي قد تترجم عن تراكم الشحنات. نجد تطبيقاتها في :

واقية الصواعق التي تثبت فوق المبني (لاسيما العالية منها) و هي موصلة بالأرض بواسطة أسلاك ناقلة مما يسمح بجذب الشحنات المترافقمة في الهواء و تفريغها في

الأرض. و في حالة توفر شروط لحدوث صاعقة بجوار البناء فإن شحناتها تفضل الاتجاه صوب الرأس الحاد ثم تفرغ في الأرض و تسلم البناء و من فيها. و كذا الأمر بالنسبة للأطراف المعدنية الحادة المشدودة بأجنحة الطائرات التي تسمح بالتفريغ المستمر للهواء من الشحنات الكهربائية.

#### 6/ السعة الذاتية لناقل منفرد في الفضاء:

**تعريف:** السعة الكهربائية لناقل معزول هي النسبة بين شحنته و كمونه:

$$(2.2) \quad C = \frac{Q}{V}$$

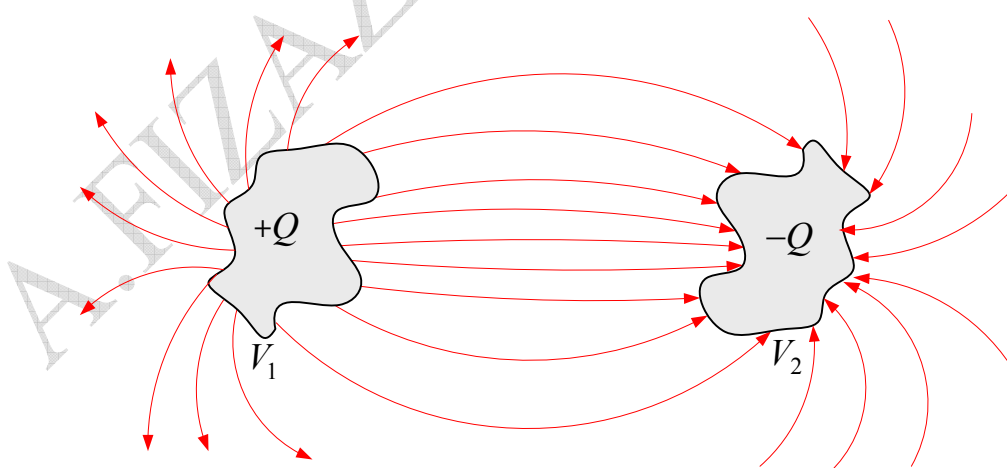
فمثلا ، سعة ناقل كروي في الفراغ ، بما أن كمونه  $V = K \frac{Q}{R}$  ، هي:

$$C = \frac{Q}{V} = 4\pi\epsilon_0 \cdot R$$

إذا كان العازل المحيط بالناقل الكروي ليس الفراغ فإن  $C = 4\pi\epsilon \cdot R$  حيث  $\epsilon$  هي سماحية العازل.

**توسيع:** يمكن توسيع مفهوم السعة إلى جملة نواقل. ففي حالة ناقلين يحملان شحنتين  $+Q$  و  $-Q$  و فرق الكمون بينهما  $U = V_1 - V_2$  (الشكل 4.2) فإن سعة الجملة هي:

$$C = \frac{Q}{V_1 - V_2} = \frac{Q}{U}$$



الشكل 4.2 : سعة ناقلين

**الوحدة:** الكولومب\الفولط  $(C \cdot V^{-1})$  و نسميها الفاراد  $(F)$  نسبة إلى ميكائيل فارادي  $(Michael Faraday 1791-1867)$

**رتيبة بعض المقادير:** (Ordre de grandeur de la capacité de quelques corps)

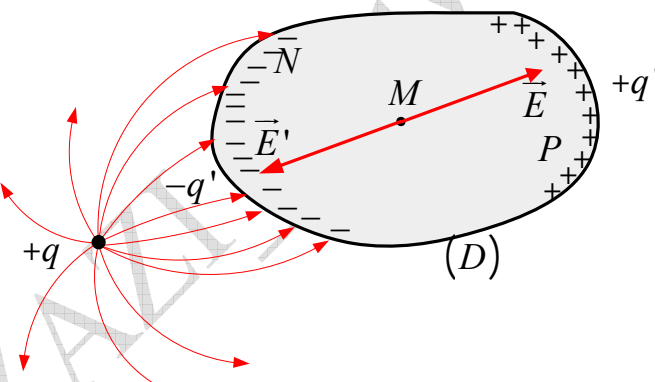
سعة الأرض ، باعتبار نصف قطرها  $R = 6400\text{km}$  ، هي  $C = 70\mu\text{F}$   
 سعة كرة نصف قطرها  $r = 10\text{cm}$  ، كمونها  $V = 1000V$  بالنسبة للأرض ، هي  $C = 10\text{pF}$

### 7 / ظاهرة التأثير بين النواقل المشحونة:

ما الذي يحدث عندما نضع ناقلاً معدولاً كهربائياً في حقل كهروساكن منتظم ؟  
 بما أن الشحنات حرّة في حركتها، سنشهد انتقالاً للشحنات الموجبة في جهة  $\vec{E}$  ، و  
 الشحنات السالبة في الجهة المعاكسة. يحدث استقطاب للناقل (أي ظهور قطب موجب و  
 قطب سالب). ينجرّ عن هذا توزيع سطحي  $\sigma$  غير منتظم ، غير أن الشحنة الكلية تبقى  
 معروفة.

#### التأثير الجزئي:

نضع الشحنة  $+q$  بجوار الناقل ( $D$ ) الغير مشحون. (الشكل 5.2).



الشكل 5.2 : تأثير شحنة على ناقل متزن

الشحنة  $+q$  تولّد ، في كل نقطة من الفضاء المحيط بها ، و خاصة داخل ( $D$ ) ، حقولاً كهربائياً  $\vec{E}$  و الذي يجبر الإلكترونات الحرة للانقال نحو الوجه  $N$  فتشحن هذه المنطقة سلباً. بسبب هجرة الإلكترونات للوجه  $P$  يشحن هذا الأخير إيجاباً.

شحنات  $N$  و  $P$  تنتج بدورها في النقطة  $M$  حقولاً  $\vec{E}'$  معاكساً للحقل  $\vec{E}$ . تتوقف هجرة الإلكترونات عندما يصبح  $\vec{E} + \vec{E}' = \vec{0}$  ، فتصبح للناقل ( $D$ ) كل خصائص الناقل المتزن حيث:

- في النقطة  $M$  ، الحقل معدوم داخل الناقل ،  $\vec{E}_{(+q)} + \vec{E}_{(+q')} + \vec{E}_{(-q')} = \vec{0}$  :

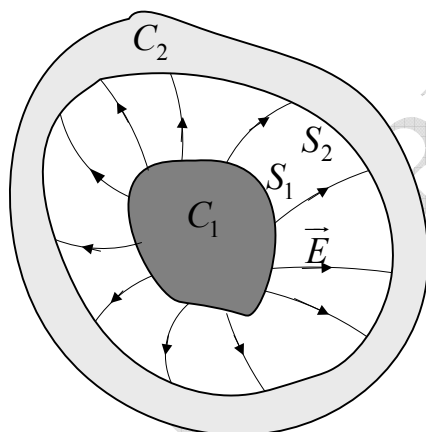
- سطحه متساوي الكمون ،

- الشحنات متراكمة على السطح و موزّعة بطريقة فريدة. حصل هنا تكهرب بطريقة نعرفها، و هي التكهرب بالتأثير. الشحنة الكلية للناقل ( $D$ ) تبقى معروفة. كلما هناك أتنا فرقنا بين الشحتتين المتساويتين و المتعاكستين في الإشارة ' $q'$  و  $+q'$ .

$|q| > |q'|$  : هذا يعني أن كل خطوط الحقل المنبعثة من الشحنة النقطية  $q$  لا تصل إلى الناقل ( $D$ ) و هذا ما يميز التأثير الجزيئي. **الشكل 5.2**

### التأثير الكلي: (Influence totale)

ناقلان  $C_1$  و  $C_2$  يكونان في تأثير كلي عندما يحيط الجسم المتأثر كليا بالجسم المؤثر. **(الشكل 6.2)**



الشكل 6.2 : التأثير الكلي

بافتراض  $C_1$  مشحون إيجاباً فهذا يعني أن السطح الداخلي  $S_2$  للناقل  $C_2$  يشحن سلباً. في هذه الحالة كل خطوط الحقل المنطلقة من  $C_1$  تصل إلى السطح  $S_2$  للناقل  $C_2$  ، و عليه فإن  $|Q_1| = |Q_2|$ .

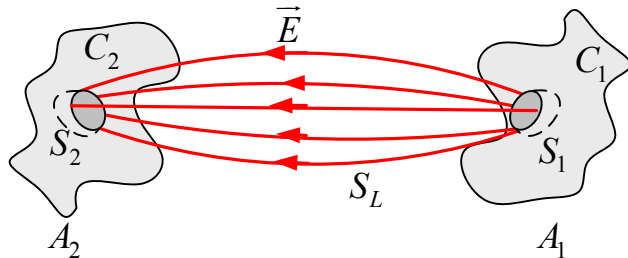
### 8/ نظرية العناصر المتناسبة: (Théorème des éléments correspondants)

ليكن الناقلان المترنان ( $A_1$ ) و ( $A_2$ ) المجاوران و الحاملان لكثافتين سطحيتين  $\sigma_1$  و  $\sigma_2$ . **(الشكل 7.2)**

إذا لم يكن الناقلان في نفس الكمون ، فإن خطوط الحقل الكهروسakan تربط الناقلتين ( $A_2$ ) و ( $A_1$ ).

ليكن  $(C_1)$  محيط صغير واقعا على سطح  $(A_1)$ ، بحيث أن كل خطوط الحقل الصادرة من  $(A_1)$  و المرتكزة على  $(C_1)$  تصل إلى  $(A_2)$  و ترسم عليه محينا مغلقا  $(C_2)$ . الشكل 7.2

مجموع خطوط الحقل هذه تشكل ما يسمى أنبوب التدفق (Tube de flux).



الشكل 7.2: عنصران متناسبان

التدفق الكهروساكن ، عبر السطح الجانبي  $S_L$  الذي يرسمه هذا الأنابيب ، معادم بسبب تعامد شعاع السطح مع شعاع الحقل.

ليكن السطح المتشكل من  $S_L$  ،  $S_1$  و  $S_2$  : تطبيقا لنظرية غوص ، و بما أن الناقلين في حالة توازن ، فإن:

$$\Phi = \frac{Q_{\text{int}}}{\epsilon_0} = \underbrace{\Phi_{S_L}}_0 + \Phi_{S_1} + \Phi_{S_2} = 0$$

إذا كانت  $Q_1$  الشحنة التي يحملها  $S_1$  و  $Q_2$  الشحنة التي يحملها  $S_2$  فإن :

$$(3.2) \quad \frac{Q_1}{\epsilon_0} + \frac{Q_2}{\epsilon_0} = 0 \Rightarrow [Q_1 = -Q_2]$$

**نص نظرية العناصر المتناسبة:** يحمل عنصران متناسبان شحتين كهربائيتين متساويتين و متعاكستين في الإشارة.

#### 9/ سعات و معاملات التأثير: (Capacités et coefficients d'influence)

ليكن  $n$  ناقل متزن و  $Q_i$  الشحنة الكهربائية الإجمالية. (الشكل 8.2)  
الحالة الأولى: الناقل  $A_1$  كمونه  $V_1$  و النواقل المتبقية متصلة بالأرض (أي أن كموناتها معادمة).

الناقل  $A_1$  يحمل الشحنة:  $q_{11} = C_{11} \cdot V_1$

الناقل  $A_1$  يؤثر على بقية النواقل  $A_2, A_3, \dots, A_n$  فتشحن بالتأثير و تحمل الشحنات:

$$q_{21} = C_{21} \cdot V_1$$

$$q_{31} = C_{31} \cdot V_1$$

.....

$$q_{j1} = C_{j1} \cdot V_1$$

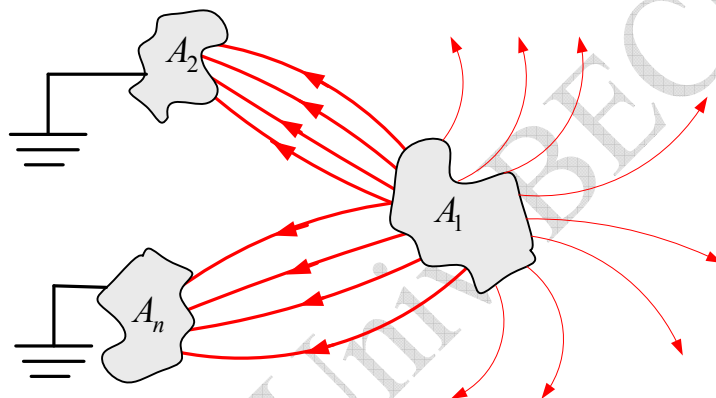
.....

$$q_{n1} = C_{n1} \cdot V_1$$

شحنة النواقل مجتمعة تساوي شحنة الناقل  $A_1$  + شحنات بقية النواقل التي حصلت

عليها بالتأثير:

$$Q_1 = C_{11} \cdot V_1 + C_{21} \cdot V_1 + C_{31} \cdot V_1 \dots + C_{j1} \cdot V_1 + \dots + C_{n1} \cdot V_1$$



الشكل 8.2: تأثر عدة نواقل بشحنة الناقل  $A_1$

الحالة الثانية: نفس التحليل الخاص بالناقل  $A_2$  يقودنا إلى المعادلات:

$$q_{12} = C_{12} \cdot V_2 \quad q_{22} = C_{22} \cdot V_2 \quad q_{32} = C_{32} \cdot V_2 \dots \quad q_{j2} = C_{j2} \cdot V_2$$

$$Q_2 = C_{12} \cdot V_2 + C_{22} \cdot V_2 + C_{32} \cdot V_2 \dots + C_{j2} \cdot V_2 + \dots + C_{n2} \cdot V_2$$

بتكرار هذه العملية على كل ناقل نتوصل إلى حساب شحنة أي ناقل  $i$  مهما كان :

$$Q_i = C_{1i} \cdot V_i + C_{2i} \cdot V_i + C_{3i} \cdot V_i \dots + C_{ji} \cdot V_i + \dots + C_{ni} \cdot V_i$$

يمكن كتابة هذه العلاقات على شكل مصفوفة:

$$\begin{bmatrix} Q_1 \\ Q_2 \\ \dots \\ Q_n \end{bmatrix} = \begin{bmatrix} C_{11} & \dots & C_{1j} & \dots & C_{1n} \\ C_{21} & \dots & C_{2j} & \dots & C_{2n} \\ \dots & \dots & \dots & \dots & \dots \\ C_{n1} & \dots & C_{nj} & \dots & C_{nn} \end{bmatrix} \begin{bmatrix} V_1 \\ V_2 \\ \dots \\ V_n \end{bmatrix}$$

**تعريف:**

☞ المعاملات  $C_{ij}$  تسمى معاملات التأثير.

و نقرأه: معامل تأثير الناقل  $j$  على الناقل  $i$ .

☞ المعاملات  $C_{ii}$  تسمى سعت التأثير.

و نقرأه: سعة الناقل  $i$  بوجود نواقل أخرى. لا يجب خلطها بسعة مكتفة منفردة أو معزولة  $C$ .

**خصائص سعات و معاملات التأثير:**

✓ معاملات التأثير تكون دائما سالبة:  $C_{ij} < 0$

✓ سعات التأثير تكون دائما موجبة:  $C_{ii} > 0$

$$C_{ij} = C_{ji} \quad \checkmark$$

$$q_{11} = C_{11}V_1 \geq |q_{21}| + \dots + |q_{n1}| = \sum_{j \neq i} |C_{ji}| V_1 \quad C_{ii} \geq -\sum_{j \neq i} C_{ji} \quad \checkmark$$

في الحالة الأخيرة هذا يعني أن الشحنة التي يحملها ( $A_1$ ) هي أكبر (بالقيمة المطلقة) من مجموع الشحنات التي تحملها النواقل الأخرى مجتمعة تحت تأثير الناقل ( $A_1$ ). سبب هذا هو أن أنابيب التدفق الصادرة من ( $A_1$ ) لا تصل بالضرورة كلها إلى النواقل الأخرى. لا يمكن أن يتحقق هذا إلا في حالة التأثير الكلي حيث:

$$\cdot q_{11} = C_{ii} \cdot V_i = \sum_{j \neq i} |C_{ji}| \quad \checkmark$$

✓ في حالة ناقلين في تأثير كلي نبرهن أن  $C_{11} = -C_{12}$  و  $C_{11} = -C_{21}$ .

**B / المكثفات:** (Les condensateurs)**1/ سعة و شحنة مكثفة:** (Capacité et charge d'un condensateur)

❖ **تعريف:** المكثفة هي كل جملة ناقلين  $A_1$  و  $A_2$  في تأثير كهروساكن.

**نوعا المكثفات:** (Les deux types de condensateurs)

- ذات لبوسين متقاربين

- ذات تأثير كلي

يفصل بين اللبوسين عازل يزيد في سعة المكثفة. في كل ما سيتبع نفترض وجود الفراغ بين اللبوسين.

سميت المكثفة بهذا الاسم لأنها تسمح بإبراز ظاهرة تكثيف الكهرباء ، أي تراكم الشحنات الكهربائية في منطقة صغيرة من الفضاء. كلما كانت السعة كبيرة كلما حصلنا على شحنات كهربائية كبيرة تحت توترات منخفضة.

### ❖ **ثوابت المكثفة:** (Constantes d'un condensateur)

- **سعة المكثفة:** سعة مكثفة هي معامل السعة  $C_{11}$  للبوس  $A_1$  بوجود  $A_2$  ،

$$\cdot C = C_{11}$$

- **شحنة المكثفة:** تعتبر أن شحنة المكثفة هي شحنة البوس الداخلي

$$\cdot Q = Q_{\text{int}}$$

- **العلاقة الأساسية للمكثفات:** (Relation fondamentale des condensateurs)

$$(4.2) \quad \left. \begin{aligned} Q &= C_{11}V_1 + C_{12}V_2 \\ C_{11} &= -C_{12} = -C_{21} \end{aligned} \right| \Rightarrow Q = C[V_1 - V_2] \Rightarrow \boxed{Q = CU}$$

اللبوس  $A_2$  يحمل الشحنة الكلية :

$$\left. \begin{aligned} Q_2 &= Q_{2,\text{ext}} + Q_{2,\text{int}} \\ Q_{2,\text{ext}} &= -Q_1 \end{aligned} \right| \Rightarrow Q_2 = Q_{2,\text{ext}} - Q_1$$

إذا كان  $A_2$  موصل بالأرض فإن  $Q_{2,\text{ext}} = 0$  و عليه:

$$(5.2) \quad Q_2 = -Q_1$$

في حالة التأثير الجزئي نحصل على نفس النتيجة. في مثل هذا النوع من المكثفات الشحنتان  $Q_1$  و  $Q_2$  تتناسب الشحنتين الموزعتين على كامل سطح كل

$$\cdot Q_2 = -Q_1$$

### 2/ **ساعات بعض أنواع المكثفات:**

لإيجاد السعة  $C$  لمكثفة ، يجب حساب العلاقة بين شحناتها  $Q$  و التوتر

$U = V_1 - V_2$  المطبق بين البوسين. لحساب  $U$  نستعمل عبارة تجوال الحقل الكهربائي:

$$U = V_1 - V_2 = \int_1^2 \vec{E} \cdot d\vec{l} = \frac{Q}{C}$$

**أ / المكثفة الكروية:** (Condensateur sphérique)

ت تكون المكثفة الكروية من كرتين لهما نفس المركز يفصل بينهما عازل. الشكل 9.2.

نتناول المسألة بالإحداثيات الكروية و هي الأكثر ملائمة في هذه الحالة.

نطلق من العبارة المعروفة لشعاع الحقل الكهربائي الناتج عن كرة:

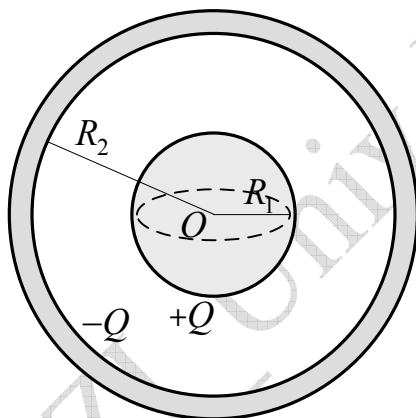
$$\vec{E}_{(r)} = K \frac{Q}{r^2} \vec{u}_r$$

نحسب تجول الحقل لنحصل على فرق الکمون بين البوسين:

$$U = V_1 - V_2 = \int_{R_1}^{R_2} \vec{E} \cdot d\vec{r} = KQ \left( \frac{1}{R_1} - \frac{1}{R_2} \right)$$

و في الأخير نتوصل إلى عبارة سعة المكثفة الكروية:

$$(6.2) \quad C = \frac{Q}{U} \Rightarrow C = 4\pi\epsilon_0 \frac{R_1 R_2}{R_2 - R_1}$$



الشكل 9.2 : المكثفة الكروية

**ب / المكثفة الأسطوانية:** (Condensateur cylindrique)

تشكل المكثفة الأسطوانية من اسطوانتين ناقلتين لهما نفس المحور يفصل بينها عازل.

الشكل 10.2

نختار لهذه الحالة الإحداثيات الأسطوانية و نتبع نفس الخطوات السابقة: حسب نظرية  
غوص فإن  $\vec{E}$  بين البوسين هو:

$$\vec{E}_{(\rho)} = \frac{\lambda}{2\pi\epsilon_0 \cdot \rho} \vec{u}_\rho$$

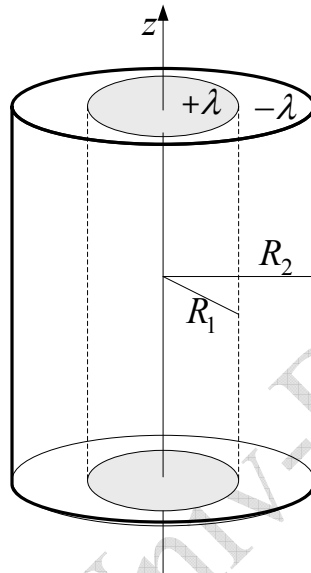
$\lambda$ : الكثافة الطولية (أو الخطية)

و منه فإن فرق الکمون بين البوسين هو:

$$U = V_1 - V_2 = \int_{R_1}^{R_2} \vec{E} \cdot d\vec{\rho} = \frac{\lambda}{2\pi\epsilon_0} \ln \frac{R_2}{R_1}$$

علماً أن  $Q = \lambda h$  ،  $h$  هي ارتفاع الأسطوانة ، فإن سعة المكثفة الأسطوانية المدرورة هي :

$$(7.2) \quad C = \frac{Q}{U} = \frac{\lambda \cdot h}{U} \Rightarrow \boxed{C = \frac{2\pi\epsilon_0 \cdot h}{\ln(R_2 / R_1)}}$$



الشكل 10.2 : المكثفة الأسطوانية

### ج/ المكثفة المستوية: (Condensateur plan)

تشكل المكثفة المستوية من مستويين ناقلين يفصل بينهما عازل. الشكل 11.2 في هذه الحالة نستعمل الإحداثيات الديكارتية. الحقل الكهروساكن بين اللبوسين هو تركيب الحقول الناتجين عن المستويين اللانهائيين أي:

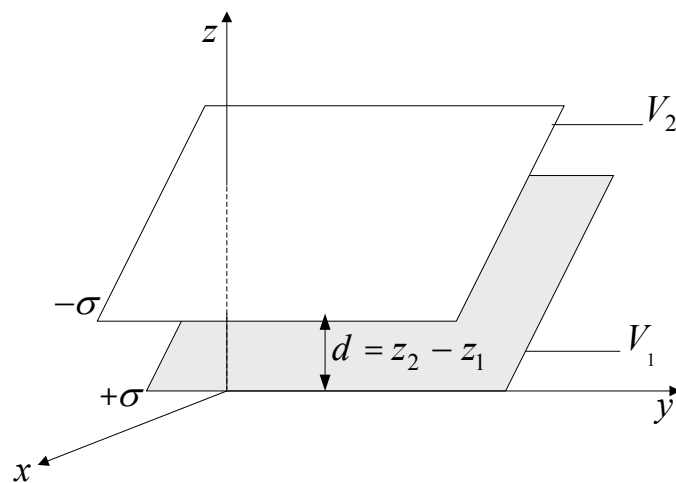
$$\vec{E} = \vec{E}_1 + \vec{E}_2 = \frac{\sigma}{2\epsilon_0} \vec{k} + \frac{-\sigma}{2\epsilon_0} (-\vec{k}) \Rightarrow \vec{E} = \frac{\sigma}{\epsilon_0} \vec{k}$$

$$U = V_1 - V_2 = \int_{z_1}^{z_2} E \cdot dz = \frac{\sigma}{\epsilon_0} (z_2 - z_1) \Rightarrow U = \frac{\sigma}{\epsilon_0} d$$

$\sigma$  تمثل الكثافة السطحية:  $Q = \sigma \cdot S$

سعة المكثفة المستوية هي إذن:

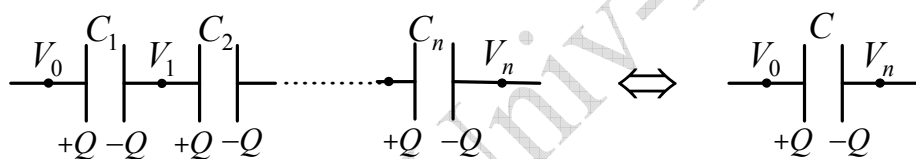
$$(8.2) \quad C = \frac{Q}{U} \Rightarrow \boxed{C = \epsilon_0 \frac{S}{d}}$$



الشكل 11.2 : المكثف المستوية

**3 / جمع المكثفات:** (Groupement de condensateurs)

**1/ الربط على التسلسل:** (Groupement en série) الشكل 12.2



الشكل 12.2 : ربط المكثفات على التسلسل

كل المكثفات تأخذ نفس الشحنة  $Q$  بسبب ظاهرة التأثير. التوتر بين طرفي كل المجموعة يساوي مجموع التوترات:

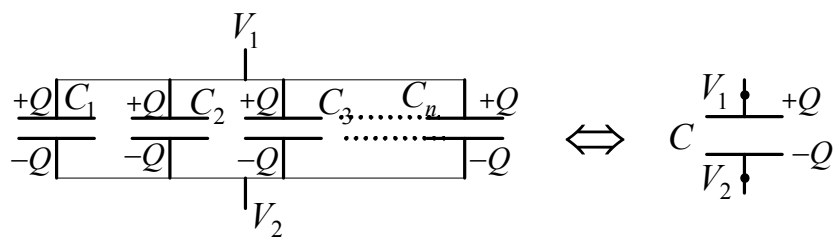
$$U = V_0 - V_n = (V_0 - V_1) + (V_1 - V_2) + (V_2 - V_3) + \dots + (V_{n-1} - V_n)$$

$$U = \frac{Q}{C_1} + \frac{Q}{C_2} + \frac{Q}{C_3} + \dots + \frac{Q}{C_n}$$

**النتيجة:** ملوب السعة المكافئة يساوي مجموع مقاالت السعات:

(9.2)

$$\boxed{\frac{1}{C} = \sum_{i=1}^n \frac{1}{C_i}}$$

**ب/ الرابط على التفرع:** (Groupement en parallèle) الشكل 13.2

الشكل 13.2: ربط المكثفات على التفرع

كل المكثفات تخضع لنفس التوتر  $U$ . تثبت التجربة أن الشحنة  $Q_i$  لكل مكثفة تناسب طرداً مع سعتها  $C_i$ . الشحنة الإجمالية تساوي مجموع الشحنات:

$$Q = Q_1 + Q_2 + \dots + Q_n$$

$$Q = C_1 \cdot U + C_2 \cdot U + \dots + C_n \cdot U$$

$$Q = (C_1 + C_2 + \dots + C_n) \cdot U$$

$$C \cdot U = (C_1 + C_2 + \dots + C_n) \cdot U$$

**النتيجة:** السعة المكافئة تساوي مجموع السعات:

(10.2)

$$C = \sum_{i=1}^n C_i$$

**4/ طاقة مكثفة مشحونة:** (énergie d'un condensateur chargé)

بيّنت الدراسة النظرية وأثبتت التجارب أن الطاقة التي تخزنها مكثفة مشحونة تناسب طرداً مع مربع التوتر المطبق بين لبوسيها. عبارتها هي:

(11.2)

$$W = \frac{1}{2} C \cdot U^2$$

كما يمكن استنتاج العبارة التالية بتعويض  $Q = C \cdot U$ :

(12.2)

$$W = \frac{1}{2} \frac{Q^2}{C}$$

**5/ طاقة الحقل الكهربائي:** (énergie du champ électrique)

شحن ناقل كهربائي يفرض صرف طاقة، لأن جلب شحنة إضافية إلى الناقل يتطلب بذل عمل للتلغلب على قوة التناحر الناتجة عن الشحنات الموجودة على الناقل مسبقاً. هذا العمل ينتج زيادة في طاقة الناقل.

ليكن ناقل سعته  $C$  يحمل شحنة  $q$  و كمونه  $V = \frac{q}{C}$ .

إذا أضفنا شحنة عنصرية  $dq$  للناقل، و ذلك بجلبها من لانهاية، فإن العمل المنجز هو:

$$dW = Vdq = \frac{q}{C} dq$$

الزيادة الإجمالية في طاقة الناقل حين تمر الشحنة من الصفر إلى القيمة  $Q$  يساوي:

$$W_E = \frac{1}{C} \int_0^Q q dq \Rightarrow \boxed{W_E = \frac{Q^2}{2C}}$$

و هذا ما يتطابق مع المعادلة (12.2).

في حالة ناقل كروي مثلاً، حيث  $C = 4\pi\epsilon_0 R$ ، فإن طاقة الحقل الكهربائي هي:

$$W_E = \frac{1}{2} \left( \frac{Q^2}{4\pi\epsilon_0 R} \right)$$

**6/ كثافة الطاقة الكهربائية:** (densité de l'énergie électrique)

نعتبر على سبيل المثال مكثفة مستوية:

$$\text{سعتها: } C = \epsilon_0 \frac{S}{d}$$

$$W_E = \frac{Q^2}{2C} = \frac{1}{2} CU^2 = \frac{1}{2} \frac{\epsilon_0 S}{d} U^2$$

إذا قسمنا هذه الطاقة على حجم المكثفة نحصل على ما نسميه كثافة الطاقة الكهربائية :

$$w = \frac{W_E}{v} = \frac{1}{2} \frac{\epsilon_0 S U^2}{d S d} \Rightarrow w = \frac{1}{2} \frac{\epsilon_0 U^2}{d^2} \rightarrow (1)$$

$$E = \frac{U}{d}$$

بعد التعويض تصبح المعادلة (1) :

(13.2)

$$\boxed{w = \frac{\epsilon_0}{2} E^2}$$

تمثل  $w$  كثافة الطاقة الكهربائية في الفراغ. و وحدتها الجول على المتر مكعب:  $Jm^{-3}$ .

بوجود عازل، غير الفراغ، نعرض  $\epsilon_0 \cdot \epsilon = \epsilon$  حيث  $\epsilon$  تمثل النفاذية النسبية للعزل بينما  $\epsilon$  ترمز إلى النفاذية المطلقة للعزل. و عليه يمكن كتابة كثافة الطاقة على الشكل:

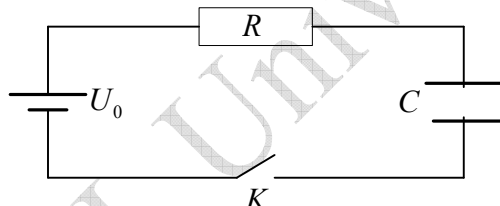
(14.2)

$$w = \frac{\epsilon}{2} E^2$$

**7/ شحن و تفريغ مكثفة عبر مقاومة:** charge et décharge d'un condensateur à travers une résistance

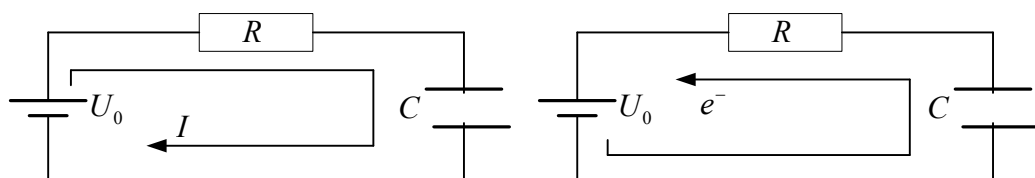
❖ **شحن مكثفة:**

ليكن التركيب المبين على الشكل (14.2) المكون من مقاومة  $R$  مربوطة على التسلسل مع مكثفة سعتها  $C$ . نغذي الجملة بواسطه منبع للتوتر المستمر  $U_0$ .



الشكل 14.2: تركيب لدراسة شحن مكثفة

في اللحظة  $t=0$  نغلق القاطعة  $K$ ، المكثفة فارغة من الشحن. لتكن  $(t)$   $i$  شدة التيار الكهربائي الجاري في الدارة في اللحظة  $t$ . الإلكترونات تتنقل في الجهة المعاكسة للتيار. تغادر هذه الإلكترونات اللبوس العلوي، حسب الشكل (15.2)، لتتنقل إلى اللبوس السفلي الذي يشحن سلبا. لتكن  $(t)$   $q$  و  $(t)$   $u$  على التوالي شحنة اللبوس العلوي و الكمون الكهربائي بين طرفي المكثفة (المقادير  $i$  ،  $q$  و  $u$  موجبة اصطلاحا). الشكل (15.2)



الشكل 15.2: شحن المكثفة

قانون أوم يسمح لنا بكتابه:  $U_0 = Ri + U$

علماً أن  $i = \frac{dq}{dt}$  و  $q = CU$  (التي تمثل زيادة الشحنة خلال زمن  $dt$ ).

نحصل على المعادلة التفاضلية من الدرجة الأولى:

$$U_0 = R \frac{dq}{dt} + \frac{q}{C} \Rightarrow U_0 C = R C \frac{dq}{dt} + q$$

$$U_0 C - q = R C \frac{dq}{dt} \Rightarrow \frac{dq}{U_0 C - q} = \frac{dt}{RC} \quad \text{أو:}$$

ن كامل طرفي المعادلة فنحصل على:

$$\ln(U_0 C - q) = -\frac{t}{RC} + A$$

ثابت التكامل  $A$  يحدد حسب الشروط الابتدائية: في اللحظة  $t=0$  كانت الشحنة  $q=0$

$$A = \ln U_0 C \quad \text{بالتالي:}$$

و منه:

$$\ln(U_0 C - q) - \ln U_0 C = -\frac{t}{RC} \Rightarrow \ln \frac{U_0 C - q}{U_0 C} = -\frac{t}{RC} \Rightarrow \frac{U_0 C - q}{U_0 C} = \exp\left(-\frac{t}{RC}\right)$$

$$(15.2) \quad q(t) = U_0 C \left(1 - \exp\left(-\frac{t}{RC}\right)\right) \quad \text{و في الأخير:}$$

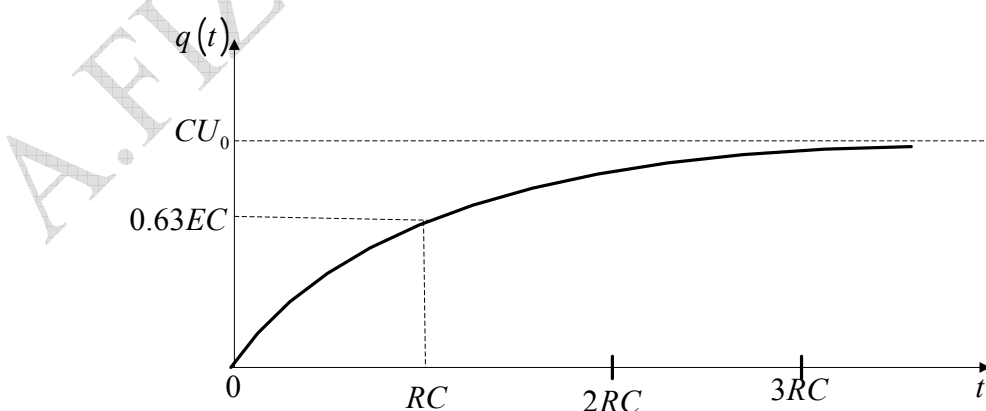
**تعريف:** ثابت الزمن (constante de temps) هو المقدار الثابت:

$$(16.2) \quad \boxed{\tau = RC}$$

**مدة شحن أو التفريغ:** أثبتت التجارب و الدراسات النظرية أن مدة شحن أو تفريغ مكثفة

$$\text{تقدر بـ } t = 5RC = 5\tau$$

يمثل الشكل (16.2) تغيرات الشحنة بدلالة الزمن خلال عملية الشحن.

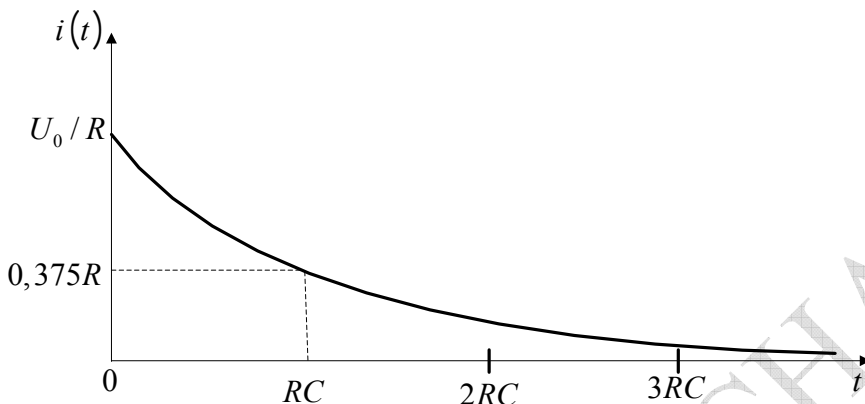


الشكل 16.2 : تغيرات الشحنة خلال شحن المكثفة

نستنتج شدة التيار في كل لحظة  $i(t) = \frac{dq}{dt}$

$$i(t) = \frac{U_0}{R} \exp\left(-\frac{t}{RC}\right) \quad (17.2)$$

يمثل الشكل (17.2) تغيرات شدة التيار الكهربائي بدلالة الزمن خلال عملية الشحن.



الشكل 17.2: تغيرات شدة التيار خلال شحن المكثفة

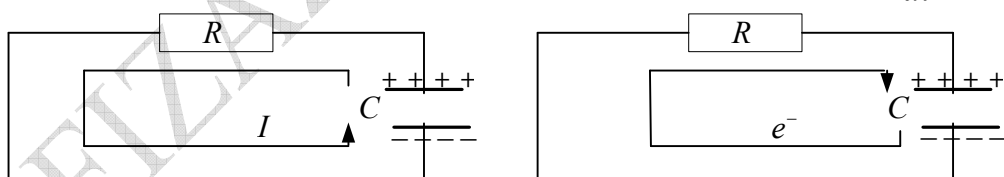
#### ❖ تفريغ مكثفة:

❖ بعد بلوغ المكثفة شحنتها القصوى  $q_0 = CU_0$  ، نستبدل الآن ( $t = 0$ ) منبع التوتر بدارة قصيرة كما هو مبين في الشكل (18.2).

غير التيار الكهرباء الآن اتجاهه: تغادر الإلكترونات اللبوس السفلي لتنتحق باللبوس العلوي. تتناقص الشحنة ( $q(t)$ ) بمرور الزمن.

باعتبار دائماً المقادير  $i$  ،  $q$  و  $U$  موجبة أصطلاحاً، نكتب قانون أوم:  $Ri = U$  ، مع

$$\cdot i = \frac{dq}{dt} \text{ و } q = CU$$



الشكل 18.2: تفريغ المكثفة

بما أن  $q$  تتناقص فإن  $0 < \frac{dq}{dt} < 0$  . و عليه:

$$-R \frac{dq}{dt} = \frac{q}{C} \Rightarrow R \frac{dq}{q} = -\frac{dt}{C}$$

$$\ln q = -\frac{t}{RC} + B$$

الثابت  $B$  تحدده الشروط الابتدائية:  $t = 0$  ،  $q = q_0 = CU_0$  :  $B = \ln q_0 \Rightarrow B = \ln CU_0$

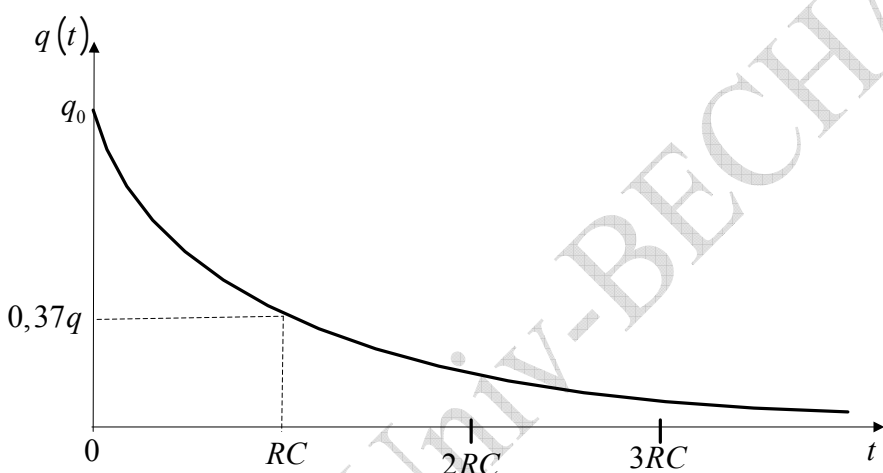
$$\ln q = -\frac{t}{RC} + \ln CU_0 \Rightarrow \ln \frac{q}{CU_0} = -\frac{t}{RC} \text{ و عليه:}$$

و عليه فإن عبارتي الشحنة و شدة التيار اللحظيين هما على التوالي:

$$q = CU_0 \exp\left(-\frac{t}{RC}\right) \quad (18.2)$$

$$i = -\frac{dq}{dt} \Rightarrow i = \frac{U_0}{R} \exp\left(-\frac{t}{RC}\right) \quad (19.2)$$

يمثل الشكل (19.2) تغيرات الشحنة خلال عملية التفريغ.



الشكل 19.2: تغيرات الشحنة خلال تفريغ المكثفة

بهذا نكون قد انتهينا من الإلمام بأهم خصائص النواقل المتزنة، التي تنتهي دراسة " الكهرباء الساكنة". في الفصل الموالي ننتقل إلى دراسة الشحنات و هي في حالة حركة، و هذا ما سندرسه تحت العنوان الكبير " الكهرباء المتحركة".

EXERCICES

\*\*

تمارينExercice 2.1

Considérons une boule en métal de rayon  $R$  ayant une charge globale  $Q$ .

1/ A l'équilibre, comment se répartissent les charges dans le conducteur ?

2/ En déduire l'expression de la densité surfacique de charge  $\sigma$  (*en Cm<sup>-2</sup>*).

3/ Que vaut le champ électrostatique dans le conducteur ?

4/ En appliquant le théorème de Coulomb, vérifier qu'à

$$\text{la surface du conducteur : } E = \frac{1}{4\pi\epsilon_0} \frac{Q}{R^2}$$

5/ En utilisant le théorème de Gauss, montrer que l'intensité du champ électrostatique crée à la distance  $(r \geq R)r$  du centre du conducteur est :

$$E = \frac{1}{4\pi\epsilon_0} \frac{Q}{r^2}.$$

التمرين 1.2

نعتبر كرة معدنية نصف قطرها  $R$  و شحنتها الكلية  $Q$ .

1/ في حالة التوازن، كيف توزع الشحنات في الناقل؟

2/ إستنتج عبارة الكثافة السطحية للشحنة  $\sigma$  بـ  $(Cm^{-2})$ .

3/ كم يساوي الحقل الكهربائي داخل الناقل؟

4/ بتطبيق نظرية كولومب، تحقق أن على سطح الناقل:

$$E = \frac{1}{4\pi\epsilon_0} \frac{Q}{R^2}$$

5/ باستعمال نظرية غوص، بين أن شدة الحقل الكهربائي المتولد على بعد  $r (r \geq R)$  من مركز الناقل هي:

$$E = \frac{1}{4\pi\epsilon_0} \frac{Q}{r^2}$$

Exercice 2.2

Une sphère conductrice ayant un rayon  $R = 8cm$  porte initialement une charge de  $80\mu C$ . Par la suite, une charge ponctuelle de  $-20\mu C$  est introduite au centre d'une cavité sphérique ayant un rayon  $r = 2,5cm$  à l'intérieur de la sphère.

1/ Quelle est la grandeur du champ électrique  $\vec{E}$  près de la surface extérieure de la sphère conductrice ?

2/ Quelle est la grandeur du champ électrique  $\vec{E}$  près de la surface intérieure de la sphère conductrice (dans la cavité) ?

3/ Quelle est la charge totale  $Q_i$  sur la surface intérieure de la cavité de la sphère conductrice ?

4/ Quelle est la charge totale sur la surface extérieure de la sphère conductrice ?

التمرين 2.2

كرة ناقلة ذات نصف قطر  $R = 8cm$  تحمل في البداية شحنة  $80\mu C$ . ندخل في ما بعد، شحنة نقطية  $-20\mu C$  في مركز تجويف كروي ذي نصف قطر  $r = 2,5cm$  داخل الكرة.

1/ ما هي شدة الحقل الكهربائي  $\vec{E}$  الناتج بقرب السطح الخارجي للكرة الناقلة؟

2/ ما هي شدة الحقل الكهربائي  $\vec{E}$  الناتج بقرب السطح الداخلي للكرة الناقلة (داخل التجويف)؟

3/ ما هي الشحنة الكلية  $Q_i$  على السطح الداخلي لتجويف الكرة الناقلة؟

4/ ما هي الشحنة الكلية  $Q_e$  على السطح الخارجي للكرة الناقلة؟

Exercice 2.3

Un cylindre creux et conducteur, de rayon  $3cm$ , porte initialement une densité linéaire de charge de  $9\mu Cm^{-1}$ . Par la suite, une tige mince ayant une densité linéaire de charge de  $5\mu Cm^{-1}$  est entièrement glissée au centre du cylindre creux. La tige et le cylindre ont, tous les deux, une longueur infinie.

1/ Quelle est la grandeur du champ électrique près de la surface extérieure du cylindre avant que la tige chargée soit glissée à l'intérieur ?

2/ Quelle est la densité linéaire de charge portée par la surface extérieure du cylindre creux après que la tige chargée soit glissée à l'intérieur ?

التمرين 3.2

أسطوانة ناقلة و مجوفة، نصف قطرها  $3cm$  ، تحمل في البداية كثافة خطية للشحنة مقدارها  $9\mu Cm^{-1}$ . في ما بعد، تزلق تماما إلى مركز الأسطوانة المجوفة، ساق رقيقة ذات كثافة خطية للشحنة مقدارها  $5\mu Cm^{-1}$ . كل من الأسطوانة و الساق لهما طول لا متناهي.

1/ ما هي شدة الحقل الكهربائي بقرب السطح الخارجي للأسطوانة قبل زلق الساق المشحونة داخل الأسطوانة؟

2/ ما هي الكثافة الخطية التي يحملها السطح الخارجي للأسطوانة المحوفة بعد زلق الساق المشحونة بداخلها؟

- 3/ Quelle est la grandeur du champ électrique près de la surface extérieure du cylindre après que la tige chargée soit glissée à l'intérieur ?
- 4/ Quelle est la grandeur du champ électrique à  $2\text{cm}$  du centre du cylindre après que la tige chargée soit glissée à l'intérieur ?

- 3/ ما هي شدة الحقل الكهربائي بقرب السطح الخارجي للأسطوانة بعد زلق الساق المشحونة بداخلها؟
- 4/ ما هي شدة الحقل الكهربائي على بعد  $2\text{cm}$  من مركز الأسطوانة بعد زلق الساق المشحونة بداخلها؟

**Exercice 2.4**

Une sphère de rayon  $R$  porte une charge  $Q$ .

1/ Calculer son énergie potentielle en fonction de la pression électrostatique.

2/ On décharge cette sphère en la reliant à la terre par l'intermédiaire d'un fil métallique. Que devient l'énergie emmagasinée précédemment ?

3/ On suppose que cette sphère a été chargée à l'aide d'une source de force électromotrice  $E$  constante. Quelle est l'énergie fournie par la source à la sphère ? La trouve-t-on sous forme d'énergie potentielle ? Sinon, où a disparu la différence ?

4/ soit  $\sigma$  la densité surfacique de charge de la sphère :

a) calculer sa capacité en fonction de  $\pi$ ,  $\epsilon_0$  et  $\sigma$ ,

b) trouver une relation littérale entre l'énergie interne et la pression électrostatique.

**التمرين 4.2**

كرة نصف قطرها  $R$  و تحمل شحنة  $Q$ :

- 1/ أحسب طاقتها الكامنة بدلالة الضغط الكهروساكن.
- 2/ نفرغ هذه الكرة بتوصيلها بالأرض بواسطة سلك معدني. كيف تصبح الطاقة المختزنة سابقاً؟

- 3/ نفترض أنه تم شحن هذه الكرة بواسطة منبع قوته المحركة الكهربائية  $E$  ثابتة. ما هي الطاقة التي قدمها المنبع للكرة؟ هل نجدها كافية على شكل طاقة كامنة؟ إذا كان الجواب لا، أين اختفى الفرق؟

4/ إذا كانت  $\sigma$  هي الكثافة السطحية لشحنة الكرة:

أ) إحسب سعة الكرة بدلالة  $\pi$ ,  $\epsilon_0$  و  $\sigma$ ,

ب) أوجد علاقة حرفية بين الطاقة الداخلية و الضغط الكهروساكن.

**Exercice 2.5**

Une sphère métallique de rayon  $R_1 = 1\text{m}$  porte une charge électrique totale  $Q = 10^{-9}\text{C}$ . On la relie par un fil conducteur à une sphère initialement non chargée de rayon  $R_2 = 0,30\text{m}$  ( placée à grande distance de la première sphère) de telle sorte q'elles se mettent au même potentiel.

1/ Quelle sera la charge à l'équilibre sur chacune des sphères après que la connexion sera faite ?

2/ Quelle est l'énergie de la sphère chargée avant la connexion ?

3/ Quelle est l'énergie du système après que les sphères soient reliées entre elles ? S'il y a une perte, expliquer où a été dissipée.

4/ Montrer que la charge est distribuée sur les deux sphères reliées entre elles de telle sorte que  $\frac{\sigma_1}{\sigma_2} = \frac{R_2}{R_1}$  où  $\sigma$  est la densité superficielle de charge.

5/ Montrer en conséquence que  $\frac{E_{1,surface}}{E_{2,surface}} = \frac{R_2}{R_1}$ .

On négligera dans le problème l'effet du fil de jonction.

**التمرين 5.2**

كرة معدنية نصف قطرها  $R_1 = 1\text{m}$  و تحمل شحنة كهربائية إجمالية  $Q = 10^{-9}\text{C}$ . نوصلها بواسطة سلك توصيل إلى كرة نصف قطرها  $R_2 = 0,30\text{m}$  و غير مشحونة في البداية) موضوعة على مسافة كبيرة من الكرة الأولى( بحيث تخضعان لنفس الكمون).

1/ في التوازن ما هي قيمة الشحنة على كل كرة بعد توصيلهما مع بعض؟

2/ ما هي طاقة الكرة المشحونة قبل التوصيل؟

3/ ما هي طاقة الجملة بعد ربط الكرتين معاً إذا كان هناك ضياع لطاقة، إشرح أين ضاعت.

4/ بين أن الشحنة موزعة على الكرتين المربوطتين معاً بحيث  $\frac{\sigma_1}{\sigma_2} = \frac{R_2}{R_1}$ , حيث  $\sigma$  هي الكثافة السطحية للشحنة.

•  $\frac{E_{1,surface}}{E_{2,surface}} = \frac{R_2}{R_1}$

5/ بين أنه وبالتالي نهمل في المسألة أثر سلك التوصيل.

**Exercice 2.6**

Une sphère conductrice  $S_1$  de centre  $O$  et de rayon  $R_1 = 10\text{cm}$  est placée dans une cavité sphérique creuse conductrice  $S_2$ , de rayon  $R_2 = 20\text{cm}$  et de mince épaisseur. L'ensemble baigne dans le vide. Les deux conducteurs sont initialement en équilibre. Quelle est la charge et comment se répartit-elle dans les deux cas :

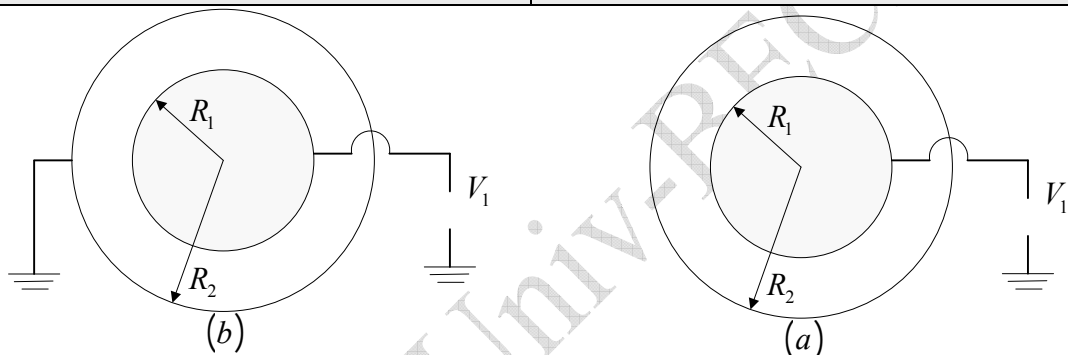
1/ La sphère est portée au potentiel  $V_1 = 10^4\text{V}$  tout en gardant la cavité creuse  $S_2$  isolée comme indiqué sur la figure (a).

2/ La sphère est maintenue au potentiel  $V_1$  tout en reliant la cavité creuse  $S_2$  à la terre comme indiqué sur la figure (b).

**التمرين 6.2**  
توضع كرة ناقلة  $S_1$  مركزها  $O$  و نصف قطرها  $R_1 = 10\text{cm}$  في مركز تجويف كروي ناقل  $S_2$  ، نصف قطره  $R_2 = 20\text{cm}$  و رقيق السمك. الجملة تبيّن في الفراغ. الكرتان متعادلتان في البداية. ما هي قيمة الشحنات و طبيعة توزيعها في الحالتين :

1/ تحمل الكرة  $S_1$  تحت الكمون  $V_1 = 10^4\text{V}$  معبقاء التجويف  $S_2$  معزولاً كما هو مبين على الشكل (a).

2/ نقى الكرة تحت الكمون  $V_1$  مع توصيل التجويف  $S_2$  بالأرض كما هو مبين على الشكل (b).

**Exercice 2.7**

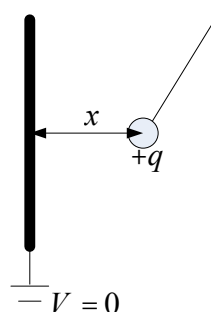
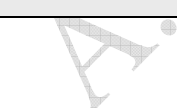
Un plateau circulaire vertical métallique de très grande dimension est relié à la terre (potentiel  $V = 0$ ). On place à une distance  $x$  une petite sphère métallique de rayon et de charge  $q$  suspendue à un fil. La sphère prend une position d'équilibre  $x_e$ .

Trouver la force qui s'exerce sur la petite sphère assimilée à une charge ponctuelle en utilisant la notion d'image électrique..

**التمرين 7.2**

طبق دائري شاقولي معدني ذي أبعاد كبيرة جداً و موصول بالأرض ( الكمون معدوم  $V = 0$  ). نضع على بعد  $x$  منه كرية معدنية نصف قطرها  $q$  و شحنتها معلقة بواسطة خيط. تأخذ الكرية موضع توازن  $x_e$ .

أوجد القوة المطبقة على الكرية المشبهة بشحنة نقطية باستعمال مفهوم الصورة الكهربائية.



**Exercice 2.8**

Une charge  $q$  est placée à une distance  $a$  d'un plan conducteur infini maintenu au potentiel zéro. On peut montrer que le champ résultant à la surface est le même que si une charge négative  $-q$  placée à une distance  $-a$  remplaçait le plan. (Figure ci-dessous).

Cette seconde charge est appelée *image* de la première.

1/ Montrer que le potentiel est nul en tout point du plan et que le champ est normal au plan et calculer son intensité..

2/ Montrer que la densité de charge sur le plan est  $qa/2\pi r^3$ .

3/ Calculer le flux électrique à travers le plan en utilisant la notion de l'angle solide, et vérifier que la charge totale du plan est  $-q$ .

**التمرين 8.2**

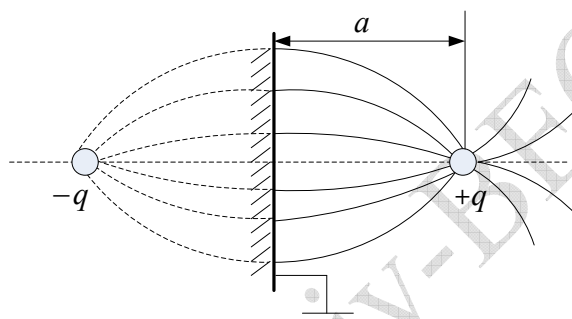
نوضع شحنة  $q$  على بعد  $a$  من مستوى ناقل لا متاهي مثبت في كمون معدوم. يمكن البرهان على أن الحقل الناتج على السطح هو نفسه لو نوضع شحنة سالبة  $-q$  على بعد  $a$  - مكان المستوى. (الشكل أسفله).

الشحنة الثانية هذه تسمى صورة الأولى.

1/ بين أن الكمون معدوم في كل نقطة من المستوى وأن الحقل عمودي على المستوى وأحسب شدته.

2/ بين أن كثافة الشحنة على المستوى هي  $qa/2\pi r^3$ .

3/ أحسب التدفق الكهربائي عبر المستوى باستعمال مفهوم الزاوية الصلبة وتأكد أن الشحنة الكلية لل المستوى هي  $-q$ .

**Exercice 2.9**

Trouver le flux du champ électrique , la charge intérieure totale et la densité de charge pour un cube de côté  $a$  (figure ci-dessous) placé dans une région où le champ électrique est de la forme :

$$1/ \vec{E} = Cx\vec{u}_x$$

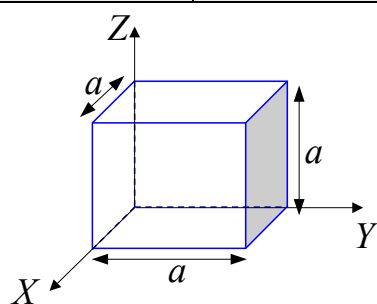
$$2/ \vec{E} = C(y\vec{u}_x + x\vec{u}_y), \quad C = \text{constante}$$

**التمرين 9.2**

أوجد تدفق الحقل الكهربائي ، الشحنة الداخلية الكلية و كثافة الشحنة لمكعب ضلعه  $a$  (الشكل أسفله) و الموضوع في منطقة حيث الحقل الكهربائي هو من الشكل :

$$\vec{E} = Cx\vec{u}_x /1$$

$$C = \text{ ثابت} , \quad \vec{E} = C(y\vec{u}_x + x\vec{u}_y) /2$$

**Exercice 2.10**

1/ Trouver les capacités et les coefficients d'influence de l'ensemble de deux conducteurs sphériques  $S_1(O_1, R_1)$  et  $S_2(O_2, R_2)$  éloignés l'un de l'autre par la distance  $d$  ( $d \gg R_1, R_2$ ) .

2/ discuter les deux cas :

**التمرين 10.2**

1/ أوجد السعات و عوامل التأثير لجملة ناقلين كرويين متباينين  $(S_1(O_1, R_1))$  و  $(S_2(O_2, R_2))$  . تفصيلهما المسافة  $d$  ( $d \gg R_1, R_2$ ) .

2/ نقاش الحالتين :

- a) si  $d \rightarrow \infty$ ,  
b) si  $d = R_1 = R_2$ .

- (أ) لو كانت  $d \rightarrow \infty$   
(ب) لو كانت  $d = R_1 = R_2$

**Exercice 2.11**

Un condensateur de capacité  $C = 100\mu F$  est chargé sous une tension  $U = 20V$ .

On le relie à un condensateur de même capacité  $C$ , mais initialement déchargé.

1/ Calculer la tension qui apparaît aux bornes de l'ensemble.

2/ Faire le bilan énergétique avant et après connexion. Commenter ?

**التمرين 11.2**

شحن مكثفة ذات سعة  $C = 100\mu F$  تحت توتر  $U = 20V$ .

ربط هذه المكثفة إلى مكثفة أخرى لها نفس السعة  $C$  و لكنها غير مشحونة في البداية.

1/ أحسب التوتر الذي يظهر بين طرفي الجملة.

2/ قم بالحوصلة الطاقوية قبل و بعد الربط. ما هو تعليقك؟

**Exercice 2.12**

Un condensateur de capacité  $C_1 = 3,3\mu F$  a été chargé sous une tension de  $24V$ ; l'armature  $A$  porte une charge positive  $Q_A$ .

1/ Calculer l'énergie emmagasinée dans ce condensateur.

2/ Les bornes  $A$  et  $B$  sont reliées aux bornes  $E$  et  $D$  d'un condensateur complètement déchargé, de capacité  $C_2 = 2,2\mu F$  (voir figure ci-dessous). Il apparaît un courant transitoire très bref, puis un équilibre électrique s'établie. La tension  $U_{AB}$  est alors égale à la tension  $U_{ED}$ ; l'armature  $A$  porte une charge  $Q'_A$  et l'armature  $E$  la charge  $Q'_E$ .

a) Ecrire une relation entre  $Q_A$ ,  $Q'_A$  et  $Q'_E$ .

b) Ecrire une seconde relation entre  $Q'_A$ ,  $Q'_E$ ,  $C_1$  et  $C_2$ .

c) En déduire numériquement  $Q'_A$  et  $Q'_E$ .

3/ Après la connexion, calculer l'énergie emmagasinée dans les deux condensateurs. Au cours de cette opération, l'énergie a-t-elle été conservée ? Sous quelle forme une partie de l'énergie électrique s'est-elle transformée dans les fils de jonction ? et en quelle quantité ?

**التمرين 12.2**

شحن مكثفة سعتها  $C_1 = 3,3\mu F$  تحت توتر  $Q_A = 24V$ ; البوس  $A$  يحمل الشحنة الموجبة.

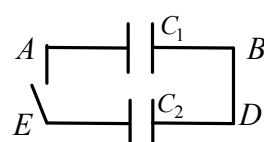
1/ أحسب الشحنة المخزنة في المكثفة.

2/ الطرفان  $A$  و  $B$  موصلان بالطرفين  $E$  و  $D$  (انظر الشكل لمكثفة فارغة تماما، سعتها  $C_2 = 2,2\mu F$ ) (أي شكل أسفله). يظهر تيار مؤقت و جد سريع، ثم يسود توازن كهربائي مستقر. التوتر  $U_{AB}$  يساوي حينها التوتر  $U_{ED}$ ; البوس  $A$  يحمل الشحنة  $Q'_A$  و البوس  $E$  يحمل الشحنة  $Q'_E$ .

3/ بعد التوصيل، أحسب الطاقة المخزنة في المكثفين.

خلال هذه العملية، هل الطاقة حفظت؟ إلى أي شكل تحول جزء من الطاقة الكهربائية في أسلاك التوصيل؟

و بأي كم؟

**Exercice 2.13**

On considère un condensateur plan formé de deux armatures conductrices identiques parallèles, espacées d'une distance  $d$ . Chaque armature est une plaque rectangulaire de surface  $S$ . On suppose que les deux

**التمرين 13.2**

نعتبر مكثفة مستوية مكونة من لبوسين ناقلين متماضيين متوازيين و متبعدين بمسافة  $d$ . كل لبوس عbara عن صفيحة مستطيلة ذات سطح  $S$ . نفترض أن اللبوسين في

armatures sont en influence totale et on néglige les effets de bord.

1/ Dans ce cas précis, que signifie l'expression "armatures en influence totale" ? Que peut-on dire de la répartition de la charge dans chaque armature ? Soit  $\sigma$  la densité de charge sur la surface plane d'équation  $y = 0$ ; quelle est la densité de charge sur la surface plane d'équation  $y = d$  ?

2/ Calculer l'expression du champ électrique au voisinage de chacune des armatures.

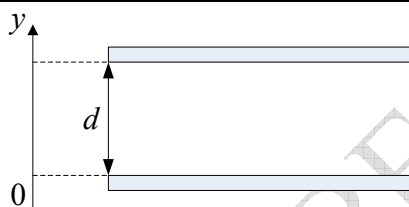
3/ Montrer que le champ électrique est uniforme entre les armatures et relier cette valeur à la différence de potentiel  $V(0) - V(d)$  entre les armatures. En déduire l'expression de la capacité  $C$  du condensateur.

تأثير كلي و نهمل آثار الطرف.

/1 في هذه الحالة بالضبط، ماذا تعني عبارة "لبسان في تأثير كلي"؟ ماذا يمكن قوله عن توزيع الشحنة على كل لبوس؟ لتكن  $\sigma$  كثافة الشحنة على السطح المستوي ذي المعادلة  $y = 0$ ؛ ما هي كثافة الشحنة على السطح المستوي ذي المعادلة  $y = d$ ؟

/2 أحسب عبارة الحقل الكهربائي بجوار كل لبوس.

/3 بين أن الحقل الكهربائي منتظم بين اللبوسين، اربط هذه القيمة بفرق الكほون بين اللبوسين  $V(0) - V(d)$ . إستنتج عبارة السعة  $C$  للمكثفة.



#### Exercice 2.14

Un générateur de tension continue et trois condensateurs sont assemblés comme indiqué sur la figure ci-dessous :

$$U = 3V, C_1 = 30\mu F$$

$$C_2 = 10\mu F, C_3 = 5\mu F$$

Quelles sont les charges  $Q_1, Q_2, Q_3$  que portent les trois condensateurs ?

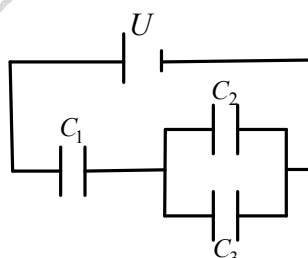
#### التمرين 14.2

يجمع مولد لتوتر مستمر و ثلاث مكثفات كما هو مبين على الشكل أسفله:

$$U = 3V, C_1 = 30\mu F$$

$$C_2 = 10\mu F, C_3 = 5\mu F$$

ما هي الشحنات  $Q_3, Q_2, Q_1$  التي تحملها المكثفات الثلاثة؟



#### Exercice 2.15

Un condensateur sphérique est constitué :

- D'une sphère interne conductrice pleine portant la charge  $Q$ ,
- D'une couronne sphérique conductrice de rayon intérieur  $R_i$  et de rayon extérieur  $R_e$ , (figure ci-dessous),

1. En appliquant le théorème de Gauss à une surface fermée sphérique de rayon compris entre  $R_i$  et  $R_e$ , calculer la charge portée par la paroi interne de la couronne conductrice.

2. Calculer le champ entre les deux armatures.

#### التمرين 15.2

ت تكون أسطوانة كروية من :

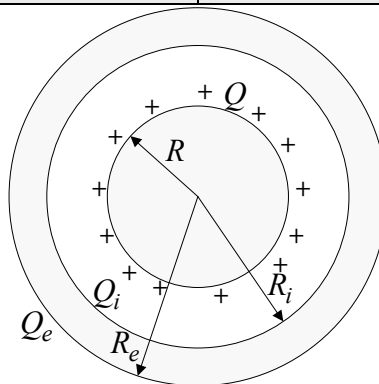
. كرة داخلية مصمتة تحمل الشحنة  $Q$  ،

. إكليل كروي ناقل نصف قطره الداخلي  $R_i$  و نصف قطر خارجي  $R_e$ ، (الشكل في الأسفل)،

/1 بتطبيق نظرية غوص على سطح كروي مغلق نصف قطره محصور بين  $R_i$  و  $R_e$ ، أحسب الشحنة التي يحملها الجدار الداخلي للإكليل الناقل.

/2 أحسب الحقل بين اللبوسين.

3. Que devient ce champ si on place entre les deux armatures du condensateur un matériau de permittivité relative  $\epsilon$  ?
4. En déduire le potentiel entre les deux armatures.
5. Calculer la capacité de ce condensateur.
6. Retrouver l'expression de la capacité d'un condensateur plan en considérant  $R_i$  très voisin de  $R$  :  $R_i = R + d$ .
- /3 كيف يصبح هذا الحقل لو وضعنا بين لبوسي المكثفة مادة سماحيتها النسبية  $\epsilon$  ؟  
 /4 إستنتج الكمون بين اللبوسين.  
 /5 أحسب سعة المكثفة.  
 /6 أوجد من جديد عبارة سعة مكثفة مستوية باعتبار  $R_i$   
 قریب جدا من  $R$  :  $R_i = R + d$  :

**Exercice 2.16**

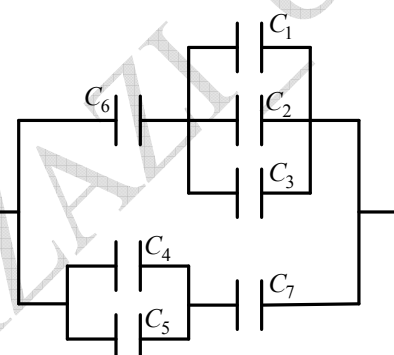
1/Déterminer la capacité de l'ensemble des condensateurs représenté sur la figure ci-dessous.

2/ Si la tension appliquée est de  $120V$ , trouver la charge et la différence de potentiel pour chaque condensateur ainsi que l'énergie de l'ensemble.

**التمرين 16.2**

1/ عين سعة مجموع المكثفات الممثلة على الشكل أسفله.

2/ إذا كان التوتر المطبق هو  $120V$  ، أحسب الشحنة و فرق الكمون بين طرفي كل مكثفة و كذا الطاقة المخزنة من قبل كل المجموعة.



$$C_1 = 1\mu F, C_2 = 2\mu F$$

$$C_3 = 3\mu F, C_4 = 4\mu F$$

$$C_5 = 5\mu F, C_6 = 12\mu F$$

$$C_7 = 18\mu F$$

**Exercice 2.17**

La capacité d'un condensateur variable d'un récepteur radio peut varier de  $50\text{ pF}$  à  $950\text{ pF}$  par rotation d'un bouton de  $0^\circ$  à  $180^\circ$ . Le cadran marquant  $180^\circ$ , le condensateur est relié à une batterie de  $400V$ . Après qu'il a été chargé, le condensateur est déconnecté de la batterie et le bouton ramené à  $0^\circ$ .

- 1/ Quelle est la charge du condensateur ?
- 2/ Quelle est la différence de potentiel entre les armatures quand le cadran marque  $0^\circ$  ?
- 3/ Quelle est l'énergie du condensateur dans cette position ?
- 4/ En négligeant tout frottement, calculer le travail nécessaire pour tourner le bouton.

**التمرين 17.2**  
يمكن لسعة مكثفة متغيرة لجهاز استقبال راديو أن تتغير من  $50\text{ pF}$  إلى  $950\text{ pF}$  بتدوير زر من  $0^\circ$  إلى  $180^\circ$ . حين يسجل المينا  $180^\circ$ , تكون المكثفة مربوطة إلى بطارية ذي  $400V$ . بعد شحنها، نقطع التوصيل بين المكثفة والبطارية ونضبط الزر في الوضع  $0^\circ$ .

- 1/ ما هي شحنة المكثفة؟
- 2/ ما هو فرق الكمون بين اللبوسين حين يشير المينا إلى  $0^\circ$  .
- 3/ ما هي طاقة المكثفة في هذا الوضع؟
- 4/ بإهمال كل احتكاك، أحسب العمل اللازم لتدوير الزر.

**Exercice 2.18**

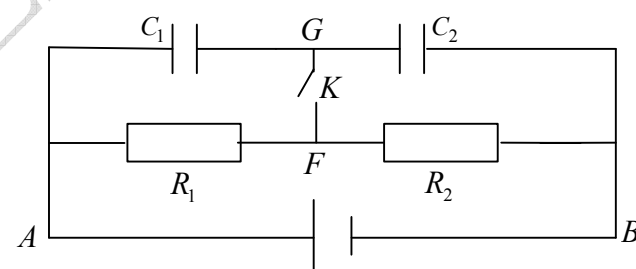
On monte deux résistances :  $R_1 = 8,8\Omega$  et  $R_2 = 4,4\Omega$  et deux condensateurs :  $C_1 = 0,48\mu F$  et  $C_2 = 0,24\mu F$  non chargés de la manière illustrée dans la figure ci-dessous.

Sachant qu'il y a une différence de potentiel de  $24V$  aux bornes de ce réseau, déterminer :

- 1/ le potentiel au point  $F$  lorsque l'interrupteur  $K$  est ouvert depuis un temps assez long (poser que  $V = 0$  à la borne négative de la source),
- 2/ le potentiel au point  $G$  lorsque l'interrupteur est ouvert,
- 3/ le potentiel final au même point  $G$  lorsque l'interrupteur  $K$  est fermé depuis un temps assez long,
- 4/ la quantité de charge qui a traversé l'interrupteur  $K$  fermé.

**التمرين 18.2**  
نركب مقاومتين:  $R_1 = 8,8\Omega$  و  $R_2 = 4,4\Omega$  و  $C_1 = 0,48\mu F$  و  $C_2 = 0,24\mu F$  كما هو مبين على الشكل أسفله.  
إذا علمت أن فرقا في الكمون مقداره  $24V$  يسود بين طرفى هذا التركيب، عين:

- 1/ الكمون في النقطة  $F$  حين تكون القاطعة مفتوحة منذ زمن طويل (ضع  $= 0$   $V$  في الطرف السالب للمنبع)،
- 2/ الكمون في النقطة  $G$  حين تكون القاطعة مفتوحة،
- 3/ الكمون في النقطة  $G$  حين تكون القاطعة مغلقة منذ زمن طويل،
- 4/ كمية الشحنة التي عبرت القاطعة  $K$  المغلقة.

**Exercice 2.19**

1/ Calculez la quantité d'énergie emmagasinée dans un condensateur constitué de deux plaques carrées de  $9cm$  de côté, séparées par un espace d'air de  $2mm$ , lorsque ses armatures portent une charge de  $\pm 300\mu C$ .

2/ Que devient cette énergie si on introduit une plaque en mica (de permittivité relative  $\kappa = 7$ ) de

**التمرين 19.2**  
1/ أحسب كمية الطاقة المخزنة في مكثفة مكونة من صفيحتين مربعتين ضلع كل واحدة  $9cm$  ، يفصل بينهما حيز من الهواء سماكة  $2mm$ ، بينما يحمل لبوسيها شحنة  $\pm 300\mu C$ .

2/ كيف تصبح هذه الطاقة لو أدخلنا صفيحة من الميكا

|  |  |
|--|--|
| <p>2mm d'épaisseur qui remplit donc tout l'espace entre les armatures ?</p> <p>c) Même question que 2/ pour le cas où la plaque de mica ne fait que 1mm d'épaisseur.</p> | <p>(نفاذية النسبة <math>\kappa = 7</math>) و سماكة 2mm و الذي يملأ إذن كل الفراغ بين اللبوسين؟</p> <p>3/ نفس سؤال 2/ في حالة ما إذا كان سماكة صفيحة الميكا لا يساوي إلا 1mm.</p> |
|--|--|

**Exercice 2.20**

On considère le montage comme indiqué sur la figure ci-dessous. Tous les interrupteurs sont ouverts et les condensateurs déchargés.

I. On ferme l'interrupteur  $K_1$  :

- 1/ Quelle est la charge finale portée par chaque condensateur ?
- 2/ Quelle est la différence de potentiel finale entre les armatures de chaque condensateur ?

II On laisse l'interrupteur  $K_1$  fermé, puis on ferme les interrupteurs  $K_2$  et  $K_3$  :

- 1/ Quelle est la charge finale portée par chaque condensateur ?
- 2/ Quelle est la différence de potentiel finale entre les armatures de chaque condensateur ?

III. On ouvre les interrupteurs  $K_2$  et  $K_3$ , puis on ferme les interrupteurs  $K_1$  et  $K_4$ , quelle est la charge finale portée par chaque condensateur ?

VI. On laisse les interrupteurs  $K_1$  et  $K_4$  fermés, puis on ferme aussi les interrupteurs  $K_2$  et  $K_3$  :

- 1/ Quelle est la différence de potentiel finale entre les armatures de chacun des deux condensateurs  $C_1$  et  $C_2$  ?
- 2/ Quelles sont les charges finales des deux condensateurs  $C_1$  et  $C_2$  ?

**Application numérique :**

$$R_1 = R_2 = 100\Omega, E = 6V$$

$$C_2 = 2\mu F, C_1 = 1\mu F$$

**التمرين 20.2**

نعتبر الدارة المبينة على الشكل أسفله. كل القواطع مفتوحة و المكثفات غير مشحونة.

I. نغلق القاطعة  $K_1$  :

- 1/ كم هي الشحنة النهائية التي تحملها كل مكثفة؟
- 2/ كم هو فرق الكمون النهائي بين لبوسي كل مكثفة؟

II. نترك القاطعة  $K_1$  مغلقة، ثم نغلق القاطعات  $K_2$  و  $K_3$  :

- 1/ كم هي الشحنة النهائية التي تحملها كل مكثفة؟
- 2/ كم هو فرق الكمون النهائي بين لبوسي كل مكثفة؟

III. نفتح القاطعات  $K_1$  و  $K_3$  و نغلق القاطعات  $K_2$  و  $K_4$  :

كم هي الشحنة النهائية التي تحملها كل مكثفة؟

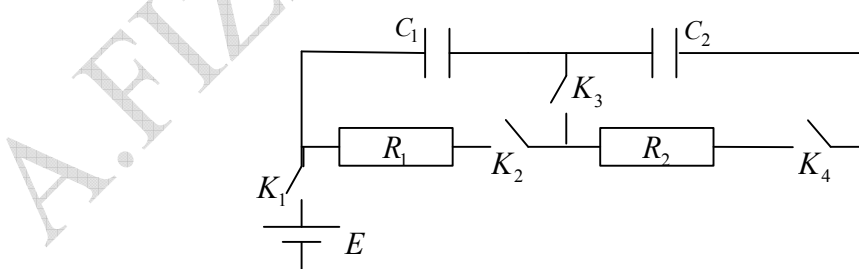
IV. نترك  $K_2$  و  $K_4$  مغلقتين، ثم نغلق  $K_1$  و  $K_3$  أيضاً :

- 1/ كم هو فرق الكمون بين لبوسي كل من المكثفتين  $C_2$  و  $C_1$  ؟
- 2/ كم هما الشحنتان النهائيتان للمكثفتين  $C_1$  و  $C_2$  ؟

**تطبيق عددي:**

$$R_1 = R_2 = 100\Omega, E = 6V$$

$$C_2 = 2\mu F, C_1 = 1\mu F$$

**Exercice 2.21**

Quatre condensateurs sont groupés comme indiqué sur la figure ci-dessous. On applique une différence de potentiel  $U$  entre les points  $A$  et  $B$  et l'on branche un électromètre  $E$  entre les points  $F$  et  $G$  pour déterminer leur différence de potentiel. Montrer que

**التمرين 21.2**

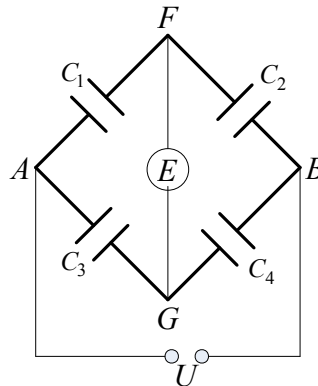
ترتبط أربع مكثفات كما هو مبين على الشكل في الأسفل. نطبق فرقا في الكمون  $U$  بين النقطتين  $A$  و  $B$ ، كما نربط إلكترومتر  $E$  بين النقطتين  $F$  و  $G$  من أجل تحديد التوتر بينهما. بين أن إلكترومتر يشير

l'électromètre indique zéro si  $\frac{C_1}{C_2} = \frac{C_3}{C_4}$ .

Ce dispositif représente un pont utilisable pour la mesure de la capacité d'un condensateur en fonction d'un condensateur étalon et du rapport de deux capacités.

إلى الصفر إذا كانت  $\frac{C_1}{C_2} = \frac{C_3}{C_4}$

هذا التركيب يمثل جسرا يستعمل لحساب سعة مكثفة بدلالة مكثفة معيارية و نسبة سعتين.



### Exercice 2.22

Soit le montage de condensateurs comme indiqué sur la figure ci-dessous.

1/ Redessiner le schéma de ce montage en faisant apparaître la symétrie par rapport à la branche  $ED$ .

2/ Si  $U = 100V$  et  $U_{CD} = 0$ , calculer la capacité du condensateur équivalent, la charge de chaque condensateur ainsi que la différence de potentiel entre les armatures de chaque condensateur.

On donne  $C_1 = C_2 = C_3 = C_4 = 1\mu F$

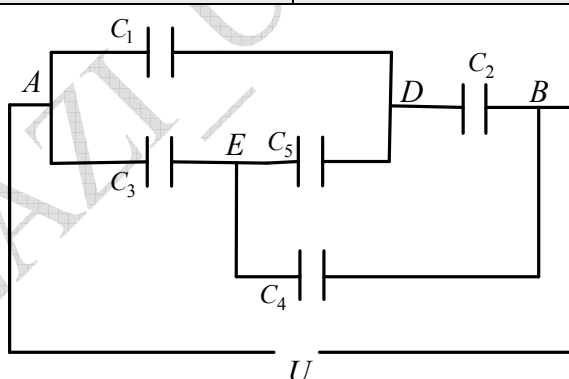
### التمرين 22.2

ليكن تركيب المكثفات كما هو مبين على الشكل أسفله.

/1 أعد رسم هذا التركيب بحيث تظهر التناظر حول الفرع  $ED$ .

/2 إذا كان  $U = 100V$  و  $U_{CD} = 0$  ، أحسب سعة المكثفة المكافئة، شحنة كل مكثفة و كذا فرق الكمون بين لبوسي كل مكثفة.

تعطى:  $C_1 = C_2 = C_3 = C_4 = 1\mu F$



### Exercice 2.23

Un condensateur de capacité  $C$  , initialement chargé sous une tension  $U_0$  est rapidement connecté à un autre condensateur de capacité  $C'$  , initialement déchargé, par l'intermédiaire d'un circuit électrique de résistance  $R$ .

La décharge de  $C$  et la charge de  $C'$  , en série, se fait avec la constante de temps  $\tau = RC_{eq} = R \frac{CC'}{C+C'}$ .

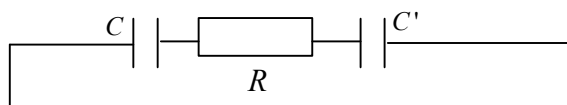
On demande d'établir le bilan des énergies libres du système, de calculer l'énergie perdue et de comparer cette énergie à celle consommée par effet Joule dans  $R$ .

### التمرين 23.2

مكثفة سعتها  $C$  ، مشحونة في البداية تحت توتر  $U_0$  توصل بسرعة بمكثفة أخرى سعتها  $C'$  ، فارغة في البداية، بواسطة دارة كهربائية ذات مقاومة  $R$ .

تفرض  $C$  و  $C'$  ، على التسلسل، تتم بثابت الزمن  $\tau = RC_{eq} = R \frac{CC'}{C+C'}$

المطلوب هو وضع حوصلة للطاقيات الحرية للجملة، حساب الطاقة الضائعة و مقارنة هذه الطاقة بتلك المستهلكة بفعل جول في  $R$ .

**Exercice 2.24**

On étudie la décharge d'un condensateur, en envisageant le circuit de la figure ci-dessous, constitué d'un conducteur ohmique de résistance  $R$  et d'un condensateur de capacité  $C$  chargé.

1/ Quel est le signe de  $i$ ? Établir la relation liant l'intensité  $i$  du courant à la tension  $u_C$ .

2/ Etablir l'équation différentielle régissant l'évolution de  $u_C$ .

3/ Une solution de l'équation différentielle peut s'écrire  $u_C = A \exp(-at)$  où  $A$  et  $a$  sont deux constantes positives non nulles.

- En utilisant l'équation différentielle, déterminer  $A$  et  $a$ .
- Donner l'expression littérale de la constante de temps  $\tau$ .
- Montrer par analyse dimensionnelle que  $\tau$  a la même unité qu'une durée.
- Sachant que  $R = 33\Omega$ , et  $\tau = 0,07s$ , en déduire la valeur de la capacité  $C$  du condensateur.

4/ En utilisant les résultats précédents :

- montrer que  $i = -\frac{U_0}{R} \exp\left(-\frac{t}{RC}\right)$ .
- Déterminer la valeur  $I_0$  de  $i$  à  $t = 0$ .
- Calculer la valeur de  $i$  pour  $t = 0,5s$ .
- Déterminer la valeur de  $u_C$  à la même date.
- Le condensateur est-il déchargé? Justifier la réponse.

5/ On remplace ce condensateur par un autre condensateur de capacité  $C'$  supérieure à  $C$ . Ce condensateur est chargé sous la même tension  $U_0$ . L'énergie emmagasinée dans ce condensateur est-elle supérieure à la précédente?

**التمرين 24.2**

ندرس تفريغ مكثفة، باعتبار الدارة المبينة على الشكل أسفله، و المكونة من ناقل أومي مقاومته  $R$  و مكثفة مشحونة سعتها  $C$ .

1/ ما هي إشارة  $i$ ? ضع العلاقة التي تربط الشدة  $i$  للتيار بالتوتر  $u_C$ .

2/ ضع المعادلة التفاضلية المسيرة لتطور  $u_C$ .

3/ إحدى حلول المعادلة التفاضلية يمكن أن تكتب  $u_C = A \exp(-at)$  حيث  $A$  و  $a$  ثابتان موجبين و غير معروفيين.

(أ) باستعمال المعادلة التفاضلية، حدد  $A$  و  $a$ .

(ب) اعط العبارة الحرفية لثابت الزمن  $\tau$ .

(ج) بين بالتحليل البعدى أن  $\tau$  لها نفس وحدة مدة زمنية.

(د) علما أن  $R = 33\Omega$  ،  $R = 0,07s$  ، استنتج قيمة السعة  $C$  للمكثفة.

4/ باستعمال النتائج السابقة:

$$(أ) بين أن i = -\frac{U_0}{R} \exp\left(-\frac{t}{RC}\right).$$

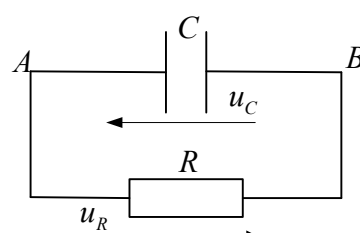
(ب) حدد القيمة  $I_0$  لـ  $i$  في  $t = 0$ .

(ج) أحسب قيمة  $i$  من أجل  $t = 0,5s$ .

(د) أحسب قيمة  $u_C$  في نفس اللحظة.

(ه) هل المكثفة أفرغت؟ برب إجابتك.

5/ نستبدل هذه المكثفة بمكثفة أخرى سعتها  $C'$  أكبر من  $C$ . هذه المكثفة مشحونة تحت توتر  $U_0$ . هل الطاقة المخزنة في هذا المكثف أكبر من السابقة؟



**Exercice 2.25**

On étudie le champ électrostatique et le potentiel créés par deux conducteurs sphériques concentriques chargés, en équilibre électrostatique.

Le conducteur central ( $C$ ) est une boule de centre  $O$  et de rayon  $R$ ; il porte une charge négative  $-Q$ .

Le conducteur externe ( $C'$ ) est une boule creuse, de centre  $O$  et porte une charge positive égale à  $2Q$ ; le rayon de sa surface interne est égal à  $2R$ , celui de sa surface externe est égal à  $3R$ .

Il n'y a pas d'autres charges, ni à l'intérieur de l'espace vide entre les deux conducteurs, ni à l'extérieur des deux conducteurs. Chacun des deux conducteurs est isolé. Le potentiel est nul à l'infini.

On note  $\vec{E}(M)$  le champ électrostatique et  $V(M)$  le potentiel en un point  $M$  quelconque de l'espace, repéré par ses coordonnées sphériques  $M(r, \theta, \varphi)$ , où  $\overrightarrow{OM} = r\vec{u}$ .

1/ Pourquoi peut-on affirmer que la densité volumique de charge est nulle dans les conducteurs ? Où trouve-t-on les charges ?

2/ Pourquoi peut-on écrire  $\vec{E}(M) = E(r)\vec{u}$  et  $V(M) = V(r)$  ?

3/ Démontrer que la charge  $2Q$  du conducteur externe ( $C'$ ) se répartit également sur ses deux surfaces.

4/ Calculer  $E(r)$  et tracer le graphe correspondant. Cette fonction est-elle continue ? Commenter.

5/ Calculer  $\operatorname{div}\vec{E}(M) = \frac{1}{r^2} \frac{d^2(r^2 E(r))}{dr^2}$  dans les différentes régions de l'espace. Pouvait-on prévoir ces résultats ?

6/ Déterminer le potentiel  $V(r)$  et tracer le graphe correspondant.

7/ En déduire le potentiel de chacun des deux conducteurs et la capacité du condensateur sphérique formé du conducteur ( $C$ ) et de la surface interne du conducteur ( $C'$ ).

8/ Faire une figure donnant l'allure de quelques lignes de champ (à l'intérieur du condensateur et à l'extérieur). Les orienter.

9/ Donner l'énergie emmagasinée dans ce condensateur.

**التمرين 25.2**

ندرس الحقل الكهروساكن و الكمون الناتجين عن ناقلين كرويين متراكزين و مشحونين و هما في حالة توازن كهروساكن.

الناقل المركزي ( $C$ ) هو كرة مصممة مركزها  $O$  و نصف قطرها  $R$ ؛ تحمل الشحنة السالبة  $-Q$ . الناقل الخارجي هو كرة مجوفة، مركزها  $O$  و تحمل الشحنة الموجبة المتساوية لـ  $-2Q$ ؛ نصف قطر سطحه الداخلي يساوي  $2R$ ، و نصف قطره الخارجي يساوي  $3R$ .

لا وجود لشحنات أخرى، لا داخل الحيز الفارغ بين الناقلين، و لا خارج الناقلين. كل من الناقلين معزول. الكمون معذوم في ما لا نهاية.

نرمز بـ  $\vec{E}(M)$  للحقل الكهروساكن و بـ  $V(M)$  للكمون في نقطة  $M$  مهما كانت في الفضاء، و المعينة بإحداثياتها الكروية  $M(r, \theta, \varphi)$  ، حيث  $\overrightarrow{OM} = r\vec{u}$  .

1/ لماذا يمكن الجزم بان الكثافة الحجمية للشحنة معروفة داخل الناقلين؟ أين نجد الشحنات؟

2/ لماذا يمكن كتابة  $\vec{E}(M) = E(r)\vec{u}$  و  $V(M) = V(r)$  ؟

3/ برهن أن الشحنة  $2Q$  للناقل الخارجي ( $C'$ ) موزعة بانتظام على السطحين.

4/ أحسب  $E(r)$  و ارسم البيان المناسب. هل هذه الدالة مستمرة؟ نقاش.

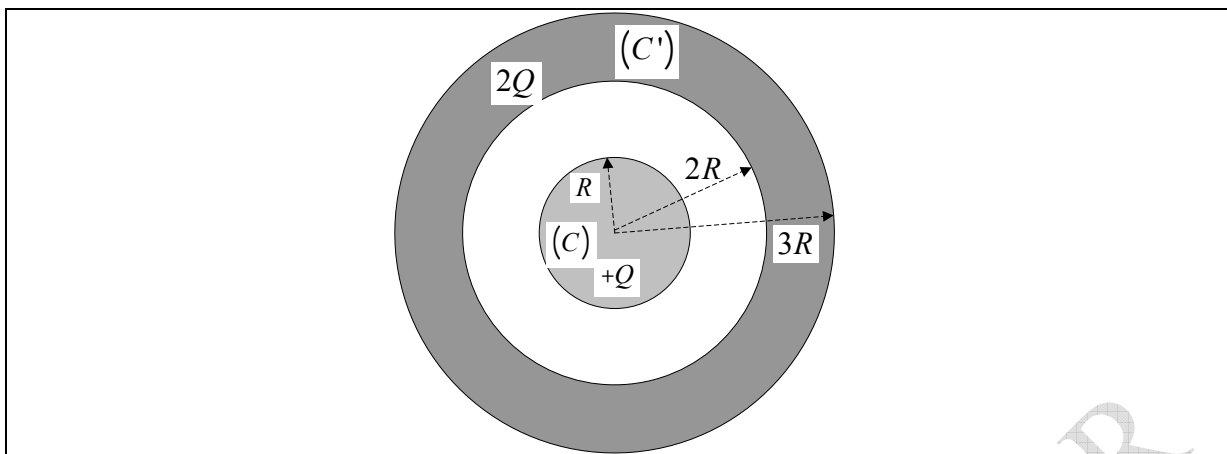
5/ أحسب  $\operatorname{div}\vec{E}(M) = \frac{1}{r^2} \frac{d^2(r^2 E(r))}{dr^2}$  في مختلف مناطق الفضاء. هل كان بالإمكان التنبؤ بهذه النتائج؟

6/ عين الكمون  $(r, V)$  و ارسم البيان المناسب.

7/ إستنتج كمون كل من الناقلين و سعة المكثفة الكروية المكونة من الناقل ( $C$ ) و السطح الداخلي للناقل ( $C'$ ).

8/ أرسم شكلًا تبين فيه بعض خطوط الحقل (داخل و خارج المكثفة). بين اتجاهها.

9/ اعط الطاقة المخزنة في المكثفة.

**Exercice 2.26**

Un condensateur plan est constitué de deux plaques métalliques rectangulaires  $A$  et  $B$  (figure-a- ci-dessous) de longueur  $L$  et de largeur  $x$ , séparées par une couche d'air d'épaisseur  $2d$ .

- 1/ Calculer la capacité du condensateur.
- 2/ Calculer la charge du condensateur lorsqu'il est mis sous une tension  $U$ .
- 3/ On introduit entre les deux armatures du condensateur une plaque métallique (figure-b- ci-dessous) d'épaisseur  $d/2$  et initialement neutre. Calculer les charges réparties sur les faces et les représenter sur les faces.

On donne :

$$L = 12\text{cm}; x = 10\text{cm}; 2d = 4\text{cm};$$

$$U = 400V; \epsilon_0 = 8.85 \cdot 10^{-12}$$

**التمرين 26.2**

ت تكون مكثفة مستوية من صفيحتين معدنيتين مستطيلتين  $A$  و  $B$  (الشكل أسفه-a-) طول كل منها  $L$  و عرض كل منها  $x$  ، تفصل بينهما طبقة من الهواء سماكة  $2d$ .

/ أحسب سعة المكثفة.

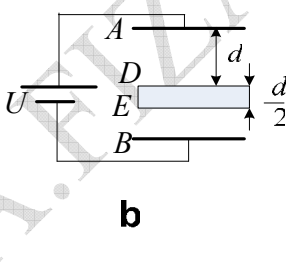
/ أحسب شحنة المكثفة حينما تربط بين طرفي فرق في الكمون  $U$ .

/ ندخل بين لبوسي المكثفة صفيحة معدنية (الشكل أسفه-b-) ذات سمك  $d/2$  و معتدلة في البداية. أحسب الشحنات  $Q_E, Q_D, Q_B, Q_A$  الموزعة على الأوجه و مثلها على الأوجه.

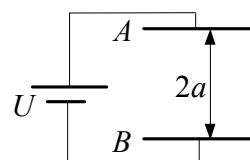
تعطى:

$$L = 12\text{cm}; x = 10\text{cm}; 2d = 4\text{cm};$$

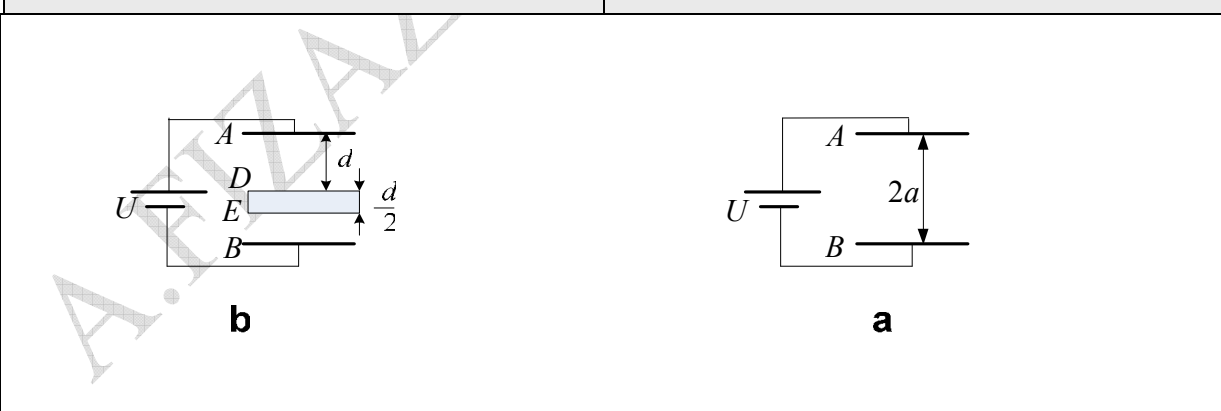
$$U = 400V; \epsilon_0 = 8.85 \cdot 10^{-12}$$



**b**



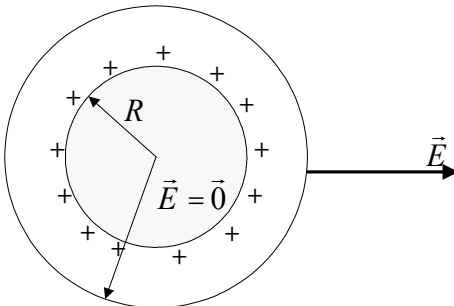
**a**



Corrigés des exercices 2.1 à 2.26 :حلول التمارين من 1.2 إلى 26.2التمرين 1.2:

1/ في حالة التوازن، تتواءز الشحنات بانتظام على سطح الناقل أي على سطح الكرة. داخل الناقل الشحنة الكلية معدومة.

2/ إستنتاج عبارة الكثافة السطحية للشحنة:



$$\sigma = \frac{Q}{S} \quad \left| \begin{array}{l} S = 4\pi R^2 \\ \Rightarrow \sigma = \frac{Q}{4\pi R^2} \end{array} \right. (C/m^2)$$

3/ في ناقل متوازن، يكون الحقل الكهروساكن معدوما.

4/ حسب نظرية كولومب فإن:

$$E = \frac{\sigma}{\epsilon_0} \Rightarrow E = \frac{1}{4\pi\epsilon_0} \frac{Q}{R^2} (V/m)$$

5/ لتطبيق نظرية غوص نعتبر سطحاً كروياً مغلقاً نصف قطره . تدفق الحقل الكهروساكن عبر هذا السطح هو:  $\Phi = ES = E \cdot 4\pi r^2$ . و عليه فإن شدة الحقل الكهروساكن الناتج على بعد  $(r \geq R)$  من مركز الناقل هو :

$$E \cdot 4\pi r^2 = \frac{Q}{\epsilon_0} \Rightarrow E = \frac{1}{4\pi\epsilon_0} \frac{Q}{r^2} (V/m)$$

التمرين 2.2:

1/ نطبق نظرية غوص: الشحنة الداخلية هي مجموع الشحنات داخل سطح غوص و الذي هو كرة نصف قطرها  $R_G$  أكبر بقليل من نصف قطر الكرة الناقلة:

$$Q_{int} = 80 - 20 \Rightarrow Q_{int} = 60 \cdot 10^{-6} C$$

$$E = \frac{Q_{int}}{\epsilon_0 S_G} = \frac{Q_{int}}{4\pi R_G^2 \cdot \epsilon_0}$$

$$E = 84,3 \cdot 10^6 Vm^{-1}$$

2/ سطح غوص في هذه الحالة يحيط بالتجويف وحده. الشحنة الداخلية هي التي يحملها التجويف أي  $-20 \mu C$ . و عليه فإن الحقل بقرب سطح التجويف:

$$E' = \frac{Q'_{int}}{\epsilon_0 S'_G} = \frac{Q'_{int}}{4\pi r_G^2 \cdot \epsilon_0}$$

$$E' = 2,81 \cdot 10^6 Vm^{-1}$$

3/ الشحنة على السطح الداخلي للتجويف هي الشحنة المساوية للشحنة النقطية و المعاكسة لها في الإشارة و هذا حسب التأثير الكلي الذي تحدثه الشحنة النقطية.

$$q + Q_i = 0 \Rightarrow Q_i = 20 \mu C$$

4/ الشحنة على السطح الخارجي + الشحنة على السطح الداخلي للتجويف = الشحنة التي تحملها الكرة. و عليه فإن الشحنة التي يحملها السطح الخارجي للكرة هي:

$$Q_e + Q_i = 80 \mu C , Q_e + 20 = 80 \Rightarrow Q_e = 60 \mu C$$

**التمرين 3.2:**

1/ نطبق نظرية غوص. نختار كسطح غوص اسطوانة نصف قطرها أكبر بقليل من نصف قطر الأسطوانة الناقلة بحيث تكون كل الشحنة التي تحملها الأسطوانة داخل سطح غوص.

$$E = \frac{Q_{int}}{\epsilon_0 S_G} = \frac{Q_{int}}{4\pi R_G^2 \cdot \epsilon_0}$$

$$E = 5,4 \cdot 10^6 Vm^{-1}$$

2/ الكثافة الخطية تساوي مجموع الكثافتين الخطيتين لكل من الأسطوانة و الساق:

$$\lambda = 9 + 5 , \lambda = 14 \mu Cm^{-1}$$

3/ نطبق نظرية غوص. نختار كسطح غوص اسطوانة نصف قطرها أكبر بقليل من نصف قطر الأسطوانة الناقلة بحيث تكون كل الشحنة التي تحملها الأسطوانة و الساق معا داخل سطح غوص:

$$E = \frac{Q_{int}}{\epsilon_0 S} = \frac{\lambda l}{2\pi r l \epsilon_0} \Rightarrow E = \frac{\lambda}{2\pi r \epsilon_0} , E = 8,4 \cdot 10^6 Vm^{-1}$$

4/ نطبق نظرية غوص. نختار كسطح غوص اسطوانة نصف قطرها  $R = 2cm$  بحيث تكون كل الشحنة التي داخل سطح غوص هي الشحنة التي تحملها الساق وحدها:

$$E = \frac{Q_{int}}{\epsilon_0 S} = \frac{\lambda_r l}{2\pi R l \epsilon_0} \Rightarrow E = \frac{\lambda}{2\pi R \epsilon_0} , E = 4,5 \cdot 10^6 Vm^{-1}$$

**التمرين 4.2:**

1/ نعلم أنه لشحن ناقل يجب القيام بعمل. إضافة شحنة عنصرية  $dq$  (نفترض أننا نجلبها من ما لا نهاية حيث  $V_\infty = 0$ ) لناقل يجب توفير العمل العنصري:  $dW_e = dq(V_\infty - V)$ . الطاقة الكامنة العنصرية هي إذن  $dE_p = -dW_e \Rightarrow dE_p = dq \cdot V$ . للحصول على الطاقة الكلية علينا بالتكامل:

$$E_p = \int_0^q V dq = \int_0^q \frac{q}{C} dq \Rightarrow E_p = \frac{1}{2} \frac{q^2}{C}$$

$$q = CV \Rightarrow E_p = \frac{1}{2} CV^2 \rightarrow (1)$$

$$V = \frac{1}{4\pi\epsilon_0} \frac{q}{R} \Big| \Rightarrow V = \frac{\sigma}{\epsilon_0} R \rightarrow (2) \\ q = \sigma \cdot 4\pi R^2$$

نعرض الكمون في المعادلة (1) فنحصل على:

$$C = 4\pi\epsilon_0 R \Big| \\ V^2 = \frac{\sigma^2}{\epsilon_0^2} R^2 \Big| \Rightarrow E_p = \frac{1}{2} 4\pi\epsilon_0 R \frac{\sigma^2}{\epsilon_0^2} R^2 , E_p = 4\pi R^3 p_e$$

2/ خلال عملية التفريغ، الطاقة التي كانت على سطح الكرة تحول إلى طاقة حرارية بفعل جول في السلك الواصل بين الكرة والأرض.

3/ الطاقة التي قدمها المولد للكرة هي:  $E_p = qV$  ، وهي ضعف الطاقة المخزنة في الكرة الناقلة. أما النصف الآخر فقد تحول إلى طاقة حرارية أثناء عملية نقل الشحنات عبر السلك.

التمرين 5.2:1/ الكرتان لهما نفس الكمون:  $V_1 = V_2$ 

$$\frac{1}{4\pi\epsilon_0} \frac{Q_1}{R_1} = \frac{1}{4\pi\epsilon_0} \frac{Q_2}{R_2} \Rightarrow \frac{Q_1}{R_1} = \frac{Q_2}{R_2} \rightarrow (1)$$

و حسب مبدأ احتفاظ الشحنة فإن:  $Q = Q_1 + Q_2 \rightarrow (2)$ 

من المعادلتين (1) و (2) يمكن استنتاج شحنة كل كرة:

$$\begin{cases} Q_1 R_2 = Q_2 R_1 \rightarrow Q_1 = Q_2 \frac{R_1}{R_2} \\ Q = Q_1 + Q_2 \rightarrow Q_1 = Q - Q_2 \end{cases} \Rightarrow \begin{cases} Q_2 = \frac{Q}{\frac{R_1}{R_2} + 1} \\ Q_1 = Q_2 \frac{R_1}{R_2} \end{cases} \rightarrow \begin{cases} Q_2 = \frac{3}{13} 10^{-9} C \\ Q_1 = \frac{10}{13} 10^{-9} C \end{cases}$$

2/ طاقة الكرة قبل ربطها مع الأخرى: (بمعرفة السعة  $C$  لناقل كروي  $C$  لنقل كروي  $C$  مع  $R_1$ )

$$W = \frac{Q^2}{2C} \Rightarrow W = \frac{Q^2}{8\pi\epsilon_0 R_1} \rightarrow W = 4,5 \cdot 10^{-9} J$$

3/ طاقة الجملة بعد وصل الكرتتين مع بعضهما:

$$W = W_1 + W_2$$

$$W = \frac{Q_1^2}{8\pi\epsilon_0 R_1} + \frac{Q_2^2}{8\pi\epsilon_0 R_2} \Rightarrow W = \frac{1}{8\pi\epsilon_0} \left[ \frac{Q_1^2}{R_1} + \frac{Q_2^2}{R_2} \right] \rightarrow W = 4,46 \cdot 10^{-9} C$$

نلاحظ ضياعا للطاقة، وإن كان مهملا. بما أن أثر السلك لا يؤخذ بعين الاعتبار فيمكن تفسير ضياع الطاقة على أنه تحول إلى إشعاع كهرومغناطيسي حين توصيل الكرتتين معا.

4/ من المعادلة (1) نستنتج:

$$\frac{Q_1}{R_1} = \frac{Q_2}{R_2} \Rightarrow \frac{\sigma_1 4\pi R_1^2}{R_1} = \frac{\sigma_2 4\pi R_2^2}{R_2} \Rightarrow \frac{\sigma_1}{\sigma_2} = \frac{R_2}{R_1}$$

5/ بتطبيق نظرية غوص يمكن حساب الحقل الكهربائي على سطح كل كرة:

$$ES = \frac{Q_{int}}{\epsilon_0} = \frac{\sigma S}{\epsilon_0} \Rightarrow E = \frac{\sigma}{\epsilon_0}$$

$$\begin{cases} E_{1,surface} = \frac{\sigma_1}{\epsilon_0} \\ E_{2,surface} = \frac{\sigma_2}{\epsilon_0} \end{cases} \Rightarrow \frac{E_{1,surface}}{E_{2,surface}} = \frac{\sigma_1}{\sigma_2} = \frac{R_2}{R_1}$$

$$\frac{\sigma_1}{\sigma_2} = \frac{R_2}{R_1}$$

التمرين 6.2:1/ تكتسب الكرة  $S_1$  عند حملها إلى الكمون  $V_1$  شحنة  $+Q_1$ . يتأثر التجويف  $S_2$  كلياً بشحنة الكرة  $+Q_1$  فتظهر على سطحه الداخلي شحنة  $-Q_1$  و على سطحه الخارجي شحنة  $+Q_2$ ، بحيث تبقى شحنته الكلية معدومة لكونه معزولاً و متوازناً (الشكل a). ولهذا السبب فإن الحقل داخل التجويف  $r < R_2$  يساوي حسب نظرية غوص:

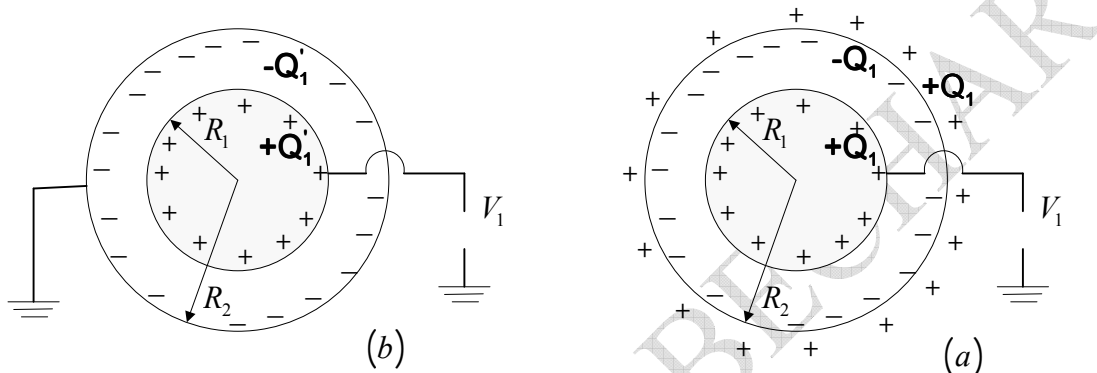
$$\left. \begin{aligned} E(r).S &= \frac{Q_1}{\epsilon_0} \\ S &= 4\pi r^2 \end{aligned} \right| \Rightarrow E(r) = \frac{Q_1}{4\pi\epsilon_0 r^2}$$

بحسب تجربة الحقل من  $R_1$  إلى  $\infty$  علماً أن  $V_\infty = 0$

$$V_1 - V_\infty = \int_{R_1}^{\infty} \vec{E} dr \Rightarrow V_1 = \frac{Q_1}{4\pi\epsilon_0} \int_{R_1}^{\infty} \frac{dr}{r^2} \Rightarrow V_1 = \frac{Q_1}{4\pi\epsilon_0 R_1}$$

و منه فإن قيمة الشحنة التي تحملها الكرة  $S_1$  هي:

$$Q_1 = 4\pi\epsilon_0 R_1 V_1 , Q_1 = 1,1 \mu C$$



2/ وصل الكرة الموجفة بالأرض يعني تفريغ سطحها الخارجي من الشحن ، بينما سطحها الداخلي يحمل الشحنة  $-Q_1$  ، كمون هذا التجويف معدوم. الشكل (b)

بالتتابع نفس خطوات السؤال السابق نتوصل إلى:

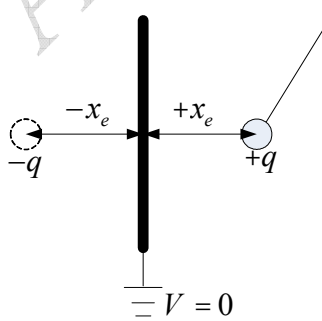
$$V_1 - V_2 = \int_{R_1}^{R_2} \vec{E} dr \Rightarrow V_1 = \frac{Q_1}{4\pi\epsilon_0} \int_{R_1}^{R_2} \frac{dr}{r^2} \Rightarrow V_1 = \frac{Q_1}{4\pi\epsilon_0} \left( \frac{1}{R_1} - \frac{1}{R_2} \right)$$

نستنتج من هذا شحنة السطح الداخلي للتجويف و التي تساوي و تعكس شحنة الكرة  $S_1$  بفعل التأثير الكلي:

$$\left. \begin{aligned} Q_1' &= 4\pi\epsilon_0 V_1 \left( \frac{R_1 R_2}{R_2 - R_1} \right) \\ Q_1 &= 4\pi\epsilon_0 R_1 V_1 \\ R_2 &= 2R_1 \Rightarrow Q_1' = 2Q_1 , Q_1' = 2,2 \mu C \end{aligned} \right|$$

الخلاصة: شحنة الكرة  $S_1$  تتغير بمجرد توصيل التجويف  $S_2$  بالأرض.

### التمرين 7.2:



يتمثل توزيع الشحنة في شحنة  $+q$  و التي يمكن اعتبارها نقطية ، و مستوى كمونه معدوم  $V = 0$ . قبل وضع الشحنة  $+q$  بجوار الطبق ، كان الطبق غير مشحون . عند تفريغ الشحنة  $+q$  من الطبق ، و بفعل التكهرب بالتأثير ، يشحن الطبق سلبا بحيث يبقى كمونه معدوما . ينجر عن هذا انجداب الشحنة إلى الطبق .

الشحنة  $+q$  و الطبق ينشئان في الفضاء توزيعا للكمون متميز بمستوى كمونه معدوما ( سطح متساوي الكمون ) في  $x = 0$  .

إذا استبدلنا الطبق بشحنة نقطية  $-q$  تقع على المسافة  $x_e$ ، يكون لدينا نفس التوزيع للكمون (المستوى المنصف كمونه  $V = 0$ ). تسمى هذه الشحنة بالصورة الكهربائية للشحنة  $+q$  بالنسبة للمستوى. التجاذب بين الشحنة  $+q$  و الطبق محمول إلى الكمون  $V = 0$  هو نفسه التجاذب الحاصل بين الشحنة  $+q$  و الشحنة  $-q$ .

إذن القوة المطبقة على الكريمة، حسب قانون كولومب، هي:

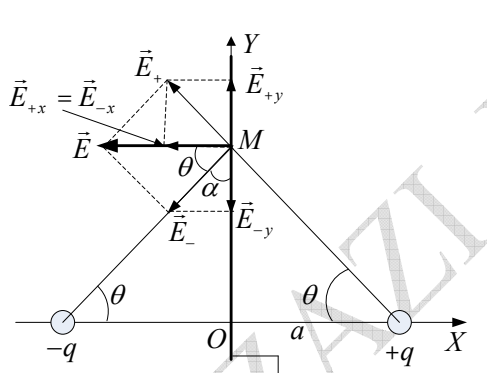
$$F = \frac{1}{4\pi\epsilon_0} \frac{q^2}{4x_e^2}$$

### التمرين 8.2:

1/ مهما كانت النقطة  $M$  المنتمية للمستوى الناقل فإن فرق الكمون الناتج عن الشحتين يكون معدوما:

$$\forall M, V(M) = \frac{q}{4\pi\epsilon_0} \left( \frac{1}{r_1} - \frac{1}{r_2} \right) \Bigg|_{r_1 = r_2 = r} \Rightarrow V(M) = 0$$

للحقل مركبة واحدة  $\vec{E}_x$  تقع على محور  $X$  و بالتالي فإن الحقل الناتج عن الشحتين في النقطة  $M$  عمودي على المستوى الناقل الشاقولي كما هو مبين في التحليل التالي: نرمز بـ  $\vec{E}_+$  و  $\vec{E}_-$  إلى الحقليين الناتجين عن كل من الشحتين  $+q$  و  $-q$ . استنادا إلى الشكل المولى فإن:



$$\begin{aligned} \vec{E}(M) &= \vec{E}_+ + \vec{E}_- \\ \vec{E}_+ &= \vec{E}_{+x} + \vec{E}_{+y} \\ \vec{E}_- &= \vec{E}_{-x} + \vec{E}_{-y} \\ E_+ &= E_- = \frac{q}{4\pi\epsilon_0} \frac{1}{r^2} \\ \vec{E}_{+x} &= \vec{E}_{-x} \Bigg| \Rightarrow \vec{E}(M) = 2\vec{E}_{+x} \\ \vec{E}_{+y} &= -\vec{E}_{-y} \\ \boxed{\vec{E}(M) = \vec{E}_x = -2E_+ \cos\theta \hat{u}_x} &\Leftrightarrow \boxed{E(M) = -\frac{q}{2\pi\epsilon_0} \frac{1}{r^2} \cos\theta} \end{aligned}$$

2/ لحساب كثافة الشحنة نستعمل نظرية غوص:

$$\begin{aligned} \Phi &= ES = \frac{Q_{int}}{\epsilon_0} \Bigg| \Rightarrow \sigma = E\epsilon_0 \\ Q_{int} &= \sigma S \\ E &= -\frac{q}{2\pi\epsilon_0} \frac{1}{r^2} \cos\theta \Bigg| \\ \cos\theta &= \frac{a}{r} \Bigg| \Rightarrow \boxed{\sigma = -\frac{1}{2\pi} \frac{qa}{r^3}} \end{aligned}$$

3/ للتأكد من شحنة المستوى نحسب التدفق الذي تحدثه الشحنة نقطية  $+q$  عبر سطح مستوى الناقل:

نعرف أن التدفق العنصري هو  $d\Phi = EdS$

$$d\Phi = 2E_+ \cos\theta \cdot dS \Rightarrow d\Phi = -\frac{q}{2\pi\epsilon_0} \frac{\cos\theta}{r^2} dS$$

$$d\Omega = \frac{\cos\theta}{r^2} dS \Rightarrow d\Phi = -\frac{q}{2\pi\epsilon_0} d\Omega \quad : d\Omega$$

$$\Phi = -\frac{q}{\epsilon_0} + \text{نرى نصف الفضاء و المناسب للزاوية الصلبة } \Omega = 2\pi, \text{ و منه:}$$

$$\text{حسب نظرية غوص} \quad \Phi = \frac{Q_{\text{int}}}{\epsilon_0}$$

$$\text{في الأخير نتأكد أن الشحنة التي يحملها المستوى هي: } \Phi = \frac{Q_{\text{int}}}{\epsilon_0} = -\frac{q}{\epsilon_0} \Rightarrow Q_{\text{int}} = -q$$

تبين أن هناك تأثير كلي بين الشحنة  $q$  و المستوى الناقل بشرط أن يكون لامتناهيا:  $q = -q$

### التمرين 9.2:

لحساب التدفق نستعمل العبارة التي مررنا عليها في الدرس خلال تحليلينا للبرهان على الشكل التفاضلي لنظرية غوص:

$$d\Phi_{\vec{E}} = \left[ \frac{\partial E_x}{\partial x} + \frac{\partial E_y}{\partial y} + \frac{\partial E_z}{\partial z} \right] dv = \frac{dq}{\epsilon_0}$$

$$\Phi = \frac{Q_{\text{int}}}{\epsilon_0} \quad \text{لحساب الشحنة الداخلية نستعمل نظرية غوص:}$$

أما لحساب كثافة الشحنة  $\rho$  فنستعمل نظرية غوص على الشكل التفاضلي:

$$\frac{\partial E_x}{\partial x} + \frac{\partial E_y}{\partial y} + \frac{\partial E_z}{\partial z} = \frac{\rho}{\epsilon_0}$$

$$\text{الحالة الأولى: } \vec{E} = Cx\vec{u}_x$$

للحقل الكهربائي مركبة واحدة فقط و هي  $E_x$ . التدفق هو إذن:

$$d\Phi_{\vec{E}} = \left[ \frac{\partial E_x}{\partial x} + \underbrace{\frac{\partial E_y}{\partial y} + \frac{\partial E_z}{\partial z}}_0 \right] dv = \frac{dq}{\epsilon_0}$$

$$\begin{aligned} \frac{dE_x}{dx} &= C \\ dv &= dx dy dz \\ d\Phi_{\vec{E}} &= C dv \end{aligned} \Rightarrow \Phi_{\vec{E}} = Cv, \quad \boxed{\Phi_{\vec{E}} = Ca^3}$$

$$\begin{aligned} \Phi &= \frac{q}{\epsilon_0} \\ q &= \Phi \epsilon_0 \end{aligned} \Rightarrow \boxed{q = \epsilon_0 Ca^3} \quad \text{الشحنة الداخلية:}$$

كثافة الشحنة:

$$\frac{\partial E_x}{\partial x} + \underbrace{\frac{\partial E_y}{\partial y} + \frac{\partial E_z}{\partial z}}_0 = \frac{\rho}{\epsilon_0} \Rightarrow \rho = \epsilon_0 \frac{dE_x}{dx} \Rightarrow \boxed{\rho = \epsilon_0 C}$$

**الحالة الثانية:**  $\vec{E} = C(y\vec{u}_x + x\vec{u}_y)$   
للحق الكهربائي مركبتان  $\vec{E}_x$  و  $\vec{E}_y$ . التدفق هو إذن:

$$d\Phi_{\vec{E}} = \left[ \underbrace{\frac{\partial E_x}{\partial x} + \frac{\partial E_y}{\partial y}}_0 + \underbrace{\frac{\partial E_z}{\partial z}}_0 \right] dv = 0 \Rightarrow \boxed{\Phi_{\vec{E}} = 0}$$

الشحنة الداخلية:  $q = \epsilon_0 \Phi = 0 \Rightarrow \boxed{q = 0}$   
كثافة الشحنة:

$$\underbrace{\frac{\partial E_x}{\partial x} + \frac{\partial E_y}{\partial y} + \frac{\partial E_z}{\partial z}}_0 = \frac{\rho}{\epsilon_0} \Rightarrow \boxed{\rho = 0}$$

### التمرين 10.2:

الناقل  $S_1$  يحمل شحنته الذاتية  $q_{11} = C_{11}V_1$  ، بالإضافة إلى الشحنة الناتجة عن تأثيره بالناقل  $S_2$  . و كذلك الأمر بالنسبة للناقل  $S_2$  :

$$q_1 = C_{11}V_1 + C_{12}V_2 \rightarrow (1)$$

$$q_2 = C_{21}V_{12} + C_{22}V \rightarrow (2)$$

و بما أن المسافة بينهما كبيرة جداً بالنسبة لقطريهما، فإن كمون كل كرة يكفي كمون شحنة نقطية، و يساوي مجموع كمونهما الذاتي و كمونهما التحربيسي، أي:

$$V_1 \approx \frac{1}{4\pi\epsilon_0} \frac{q_1}{R_1} + \frac{1}{4\pi\epsilon_0} \frac{q_2}{d} \rightarrow (3)$$

$$V_2 \approx \frac{1}{4\pi\epsilon_0} \frac{q_2}{R_2} + \frac{1}{4\pi\epsilon_0} \frac{q_1}{d} \rightarrow (4)$$

نجعل الناقل  $S_1$  في الكمون ( $V_1 > 0$ ) ، و نصل الناقل  $S_2$  بالأرض ( $V_2 = 0$ ) ، فنحصل بالترتيب على:

$$q_1' = C_{11}V_1 \rightarrow (5)$$

$$q_2' = C_{21}V_1 \rightarrow (6)$$

$$0 = \frac{1}{4\pi\epsilon_0} \frac{q_1'}{d} + \frac{1}{4\pi\epsilon_0} \frac{q_2'}{R_2} \rightarrow (7)$$

نستنتج من المعادلة (7) أن:

$$q_1' = -\frac{d}{R_2} q_2' \rightarrow (8)$$

$$q_2' = -\frac{R_2}{d} q_1' \rightarrow (9)$$

بتعويض النتيجة (8) في (3) ، مع مراعاة أن ( $d > R_1, R_2$ ) نجد:

$$V_1 \approx \frac{1}{4\pi\epsilon_0 R_1} \left( -\frac{d}{R_2} q_2' \right) + \frac{1}{4\pi\epsilon_0 d} q_2' \Rightarrow V_1 \approx \frac{1}{4\pi\epsilon_0} \frac{R_1 R_2 - d^2}{d R_1 R_2}$$

$$V_1 \approx -\frac{1}{4\pi\epsilon_0} \frac{d}{R_1 R_2} \rightarrow (10)$$

بمطابقة المعادلين (9) و (6) نجد معامل التأثير:

$$C_{21} = -\frac{1}{4\pi\epsilon_0} \frac{R_1 R_2}{d}$$

بتعميض النتيجة (9) في (3)، مع مراعاة أن  $(d \gg R_1, R_2)$  نجد:

$$V_1 \approx \frac{1}{4\pi\epsilon_0 R_1} q_1 + \frac{1}{4\pi\epsilon_0 d} \left( -\frac{R_2}{d} q_1 \right) \Rightarrow V_1 \approx -\frac{1}{4\pi\epsilon_0} \frac{R_1 R_2 - d^2}{d^2 R_1} q_1$$

$$V_1 \approx \frac{1}{4\pi\epsilon_0} \frac{1}{R_1} q_1 \rightarrow (11)$$

بمطابقة المعادلين (11) و (5) نجد سعة التأثير:

$$C_{11} = 4\pi\epsilon_0 R_1$$

نجعل الآن الناقل  $S_2$  في الكمون ( $V_2 > 0$ )، و نصل الناقل  $S_1$  بالأرض ( $V_1 = 0$ ). بالتبع نفس الخطوات التي مررنا بها في الحالة الأولى نتوصل إلى:

$$C_{22} = 4\pi\epsilon_0 R_2 , \quad C_{12} = -\frac{1}{4\pi\epsilon_0} \frac{R_1 R_2}{d} = C_{21}$$

مناقشة:

أ) لو كان الناقلان على بعد لامتناهٍ عن بعضهما البعض لكان:  $C_{12} = C_{21} = 0$  ، مما يدل على عدم تأثير الواحد بالآخر، أي أن كل واحد معزول تماماً وبالتالي  $C_1 = C_{11}$  و  $C_2 = C_{22}$ .

ب) لو كان الناقلان متماثلين و على بعد  $d = R_1 = R_2 = 4\pi\epsilon_0 d$  لكان:  $C_{11} = C_{22} = -C_{12} = -C_{21} = 4\pi\epsilon_0 d$  تكون الحل سريعاً لو استعملنا طريقة المصفوفات.

نكتب المعادلين (1) و (2) على الشكل:

$$\begin{bmatrix} q_1 \\ q_2 \end{bmatrix} = \begin{bmatrix} C_{11} & C_{12} \\ C_{21} & C_{22} \end{bmatrix} \begin{bmatrix} V_1 \\ V_2 \end{bmatrix}$$

كما يمكن كتابة المعادلين (3) و (4) على الشكل:

$$\begin{bmatrix} V_1 \\ V_2 \end{bmatrix} = \frac{1}{4\pi\epsilon_0} \begin{bmatrix} R_1^{-1} & d^{-1} \\ d^{-1} & R_2^{-1} \end{bmatrix} \begin{bmatrix} q_1 \\ q_2 \end{bmatrix}$$

نلاحظ أن المصفوفة الأولى، التي تمثل مصفوفة عوامل السعة و التأثير، تكافئ مقلوب المصفوفة الوسطى في المصفوفة الثانية، و بالنظر إلى خصائص المصفوفات فإن:

$$\begin{aligned} \begin{bmatrix} C_{11} & C_{12} \\ C_{21} & C_{22} \end{bmatrix} &= 4\pi\epsilon_0 \begin{bmatrix} R_1^{-1} & d^{-1} \\ d^{-1} & R_2^{-1} \end{bmatrix}^{-1} \\ \begin{bmatrix} C_{11} & C_{12} \\ C_{21} & C_{22} \end{bmatrix} &= 4\pi\epsilon_0 R_1 R_2 \begin{bmatrix} R_2^{-1} & -d^{-1} \\ -d^{-1} & R_1^{-1} \end{bmatrix} \end{aligned} \Rightarrow \begin{cases} C_{11} = 4\pi\epsilon_0 R_1 \\ C_{22} = 4\pi\epsilon_0 R_2 \\ C_{12} = C_{21} = -4\pi\epsilon_0 \frac{R_1 R_2}{d} \end{cases}$$

### التمرين 11.2:

1/ بعد وصل المكتفين معاً، تتوزع الشحنة  $Q$ ، التي كانت تحملها المكتفة الأولى، على المكتفين

بحيث تحمل كل منهما الشحنة  $\frac{Q}{2}$ .

$$\frac{Q}{2} = CU' \Rightarrow U' = \frac{Q}{2C} \quad [U' = 10V]$$

/ إحصاء الطاقة:

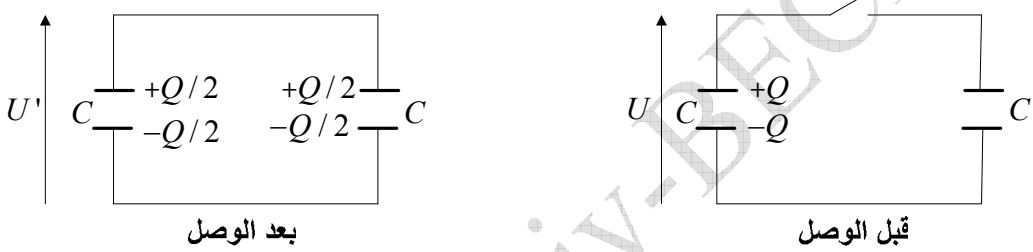
$$W = \frac{1}{2}CU^2 \quad [W = 20\mu J]$$

$$W' = \frac{1}{2}CU'^2 + \frac{1}{2}CU'^2 \quad [W' = 10\mu J]$$

**تعليق:** الفرق بين الحالتين هو نقصان في الطاقة قدره  $10\mu J$  !! هذه الطاقة لم تخفي !!!

**تفسير:** عند وصل المكثفين معاً، تيار التفريغ يولد حيلاً مغناطيسياً:  $-10\mu J$  تحولت إلى إشعاع (مثل ما يحدث على مستوى هوائية إرسال موجات الراديو).

لكي نقطع يكفي وضع جهاز مذيع (الراديو) بجوار الدارة: نسمع خشخة مميزة لاستقبال موجة كهرومغناطيسية. لنفس السبب يمكننا سماع الصاعقة في المذيع.



### التمرين 12.2:

/ الطاقة المخزنة:

$$W_E = \frac{1}{2}CU^2, \quad [W_E = 9,5 \cdot 10^{-4} J]$$

/ 1) العلاقة بين الشحنات: انحفاظ الشحنة يفرض علينا: (1)

ب) علاقة أخرى بين الشحنات:

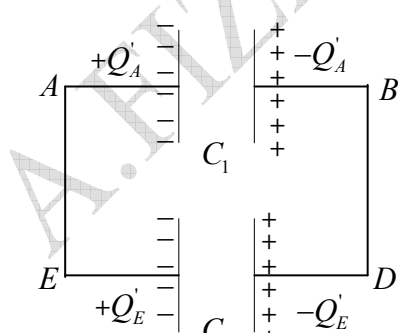
$$U = Q_A' \cdot C_1 = Q_E' \cdot C_2 \Rightarrow \frac{Q_A'}{Q_E'} = \frac{C_2}{C_1} \rightarrow (2)$$

ج) من المعادلين (1) و (2) نصل إلى قيمتي  $Q_A'$  و  $Q_E'$ :

$$[Q_A' = 4,7 \cdot 10^{-5} C, \quad Q_E' = 3,2 \cdot 10^{-5} C]$$

/ 3) الطاقة المخزنة في المكثفين:

$$W_E' = \frac{1}{2} \left[ \frac{Q_A'^2}{C_1} = \frac{Q_E'^2}{C_2} \right], \quad [W_E' = 5,7 \cdot 10^{-4} J]$$



نلاحظ أن الطاقة غير محفوظة، الفرق  $\Delta W_E$  ضاع على شكل طاقة حرارية بفعل جول في سلك التوصيل عند وصل المكثفين معاً.

$$[\Delta W_E = W_E - W_E'], \quad [\Delta W_E = 3,8 \cdot 10^{-4} J]$$

### التمرين 13.2:

1/ في القاعدة العامة، نقول عن ناقلين أنهما في حالة تأثير كلي إذا كانت كل خطوط الحقل الصادرة من سطح أحدهما تصل إلى سطح الآخر. هذا ما يحدث خصوصاً في حالة ما إذا كان أحد الناقلين يحيط كلياً بالناقل الثاني. في حالتنا هذه لا يمكن قول أي شيء عن خطوط الحقل المغادرة للسطح الخارجي للبوسين. في حين، إذا بقينا بعيدين بما فيه الكفاية عن طرفي كل لبوس، فإن خطوط الحقل الصادرة من السطح الداخلي للبوس تصل إلى اللبوس الآخر. بهذا المعنى يمكن القول أن هناك تأثير كلي.

في ناقل متوازن، الكثافة الحجمية للشحنة معدومة و بالتالي فإن الشحنة موزعة على السطح. بفعل التأثير الكلي فإن الشحنة التي يحملها سطح داخلي للبوس تساوي و تعكس الشحنة التي يحملها السطح الداخلي للبوس المقابل. بسبب تناقض المسألة، كثافتاً الشحنة تكونان منتظمتين و المستوى  $y = d$  يحمل كثافة شحنة ثابتة تساوي  $\sigma$ .

2/ ينص قانون كولومب على أن الحقل الكهربائي بجوار ناقل يكون عمودياً على سطح الناقل و

$$\vec{E} = \frac{\sigma}{\epsilon_0} \vec{u}_y, \text{ حيث } \sigma \text{ الكثافة الشحنية السطحية للناقل. لدينا لكل لبوس } .$$

3/ الحقل الكهربائي أحادي التوجيه أي أن له مركبة واحدة وفق محور  $-y$  و شدته ثابتة، إذن هو منتظم. نعرف أن  $\vec{E} = -\vec{\nabla}V$ . إذن:

$$\vec{E} = -\frac{dV}{dy} \vec{u}_y \Rightarrow \int_{V(0)}^{V(d)} dV = -\int_0^d E dy$$

$$V(d) - V(0) = -Ed$$

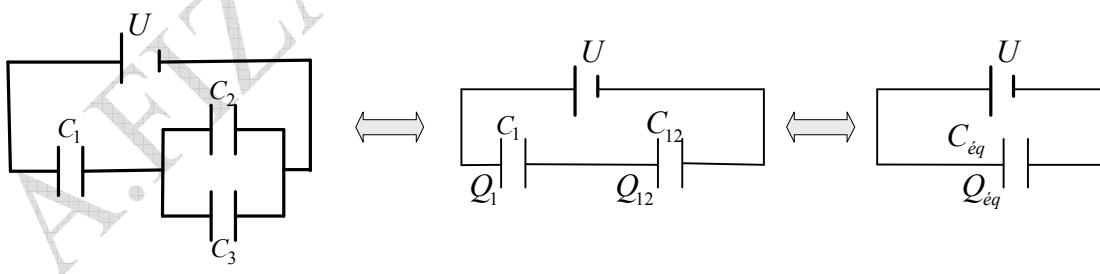
$$V(0) - V(d) = Ed \Rightarrow V(0) - V(d) = \frac{\sigma}{\epsilon_0} d$$

باقي لنا أن نحدد قيمة سعة المكثفة:

$$Q = C[V(0) - V(d)] \Rightarrow C = \frac{Q}{V(0) - V(d)} \Rightarrow C = \epsilon_0 \frac{S}{d}$$

### التمرين 14.2 :

يمكن تبسيط التركيب كما هو مبين على الشكل التالي:



المكثفات  $C_2$  و  $C_3$  على التفرع و لتكن  $C_{12}$  سعتهما المكافئة:

$$C_{12} = C_1 + C_2 \Rightarrow C_{12} = 15\mu F$$

المكثفات  $C_{12}$  و  $C_1$  على التسلسل و لتكن  $C_{eq}$  سعتهما المكافئة:

$$\frac{1}{C_{eq}} = \frac{1}{C_{12}} + \frac{1}{C_1} \Rightarrow C_{eq} = \frac{C_{12} + C_1}{C_{12}C_1} \Rightarrow C_{eq} = 10\mu F$$

الشحنة الكلية للجملة:

$$Q_{eq} = C_{eq}U \Rightarrow Q_{eq} = 30\mu C$$

شحنة المكثفة :  $C_1$ 

$$Q_1 = Q_{12} = Q_{eq} \Rightarrow Q_1 = 30 \mu C$$

$$U_{12} = \frac{Q_{12}}{C_{12}} \Rightarrow U_{12} = 2V \text{ هو: } C_{12}$$

$$Q_2 = C_2 U_{12} \Rightarrow Q_2 = 20 \mu C \text{ شحنة المكثفة ذات السعة } C_2$$

$$Q_3 = C_3 U_{12} \Rightarrow Q_3 = 10 \mu C \text{ شحنة المكثفة ذات السعة } C_3$$

**التمرين 15.2:**

1/ نطبق نظرية غوص على سطح كروي مغلق نصف قطره محصور بين  $R_e$  و  $R_i$ . داخل هذا السطح الحقل معدوم نظراً للتوازن الناقل. الشحنة التي يحملها الجدار الداخلي للإكيليل هي إذن:

$$\left| \begin{array}{l} E = 0 \\ \Phi = ES = \frac{Q_{int}}{\epsilon_0} = 0 \Rightarrow Q_i = -Q \\ Q_{int} = Q + Q_i \end{array} \right.$$

2/ هنا كذلك نطبق نظرية غوص. سطح غوص هو كرة نصف قطرها  $R > r > R_i$

$$\left| \begin{array}{l} \Phi = E' S = \frac{Q_{int}}{\epsilon_0} \Rightarrow E' = \frac{Q}{4\pi\epsilon_0} \frac{1}{r^2} \\ Q_{int} = Q \end{array} \right.$$

3/ في هذه الحالة نعرف أن النفاذية المطلقة ( $\epsilon$ ) للعزل تساوي جداء نفاذية الفراغ ( $\epsilon_0$ ) في نفاذية العازل النسبية ( $\epsilon_r$ ):  $\epsilon = \epsilon_0 \cdot \epsilon_r$ . إذا علمنا أن  $\epsilon_0 > \epsilon$  ، وبما أن الحقل يتاسب عكساً مع النفاذية فالنتيجة هي تناقص شدة الحقل.

$$\left| \begin{array}{l} E'' = \frac{Q}{4\pi\epsilon_0\epsilon_r} \frac{1}{r^2} \Rightarrow E'' < E' \\ \epsilon_0\epsilon_r > \epsilon_0 \end{array} \right.$$

4/ الكمون بين اللبوسين:

$$V' = -E' dr \Rightarrow V' = \frac{Q}{4\pi\epsilon_0} \frac{1}{r} + K$$

بافتراض، كما هو الحال دائماً،  $V' = 0$  لما  $r \rightarrow \infty$  ، فإن  $K = 0$ . و عليه:

$$V' = \frac{Q}{4\pi\epsilon_0} \frac{1}{r}$$

5/ سعة المكثفة: نحسب أولاً فرق الكمون بين اللبوسين ثم نستنتج السعة:

$$U = V - V_i \Rightarrow U = \frac{Q}{4\pi\epsilon_0} \left[ \frac{1}{R} - \frac{1}{R_i} \right]$$

$$C = \frac{Q}{U} \Rightarrow C = 4\pi\epsilon_0 \frac{RR_i}{R_i - R}$$

6/ في هذه الحالة يكون لدينا  $R_i(R_i + d) = R_i^2(1 + \frac{d}{R_i}) \approx R_i^2$  إذن يمكن

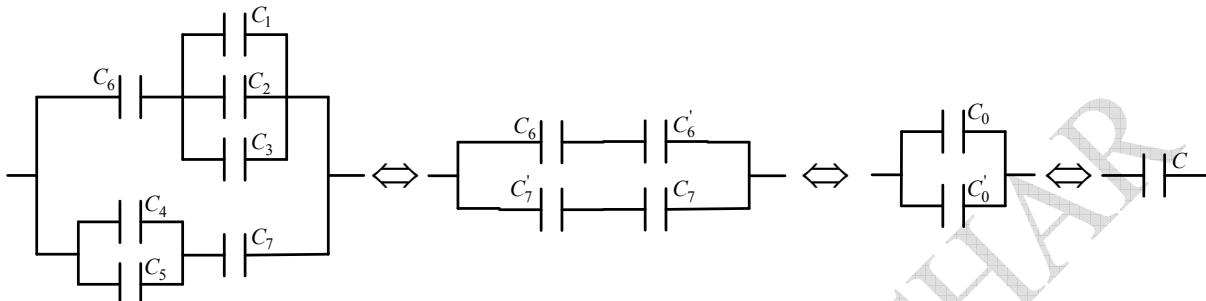
كتابة:

$$\left. \begin{array}{l} S = 4\pi R_i^2 \\ d = R_i - R \end{array} \right| \Rightarrow C = \epsilon_0 \frac{S}{d}$$

و هذه هي سعة مكثفة مستوية.

### التمرين 16.2:

نستعين بالشكل التالي:



1/ حساب سعة المكثفة المكافئة للتركيب:

$$C'_6 = C_1 + C_2 + C_3 \Rightarrow C'_6 = 6\mu F$$

$$C'_7 = C_4 + C_5 \Rightarrow C'_7 = 9\mu F$$

$$\frac{1}{C_0} = \frac{1}{C'_6} + \frac{1}{C'_7} \Rightarrow C_0 = 4\mu F$$

$$\frac{1}{C'_0} = \frac{1}{C_6} + \frac{1}{C_7} \Rightarrow C'_0 = 6\mu F$$

و في الأخير فإن السعة المكافئة تساوي:

$$C = C'_0 + C_0 \Rightarrow C = 10\mu F$$

2/ حساب الشحنة و فرق الكمون لكل مكثفة:

$$\left. \begin{array}{l} Q_6 = Q'_6 \Rightarrow 6U'_6 = 12U_6 \Rightarrow U'_6 = 2U_6 \\ U'_6 + U_6 = 120 \end{array} \right| \Rightarrow [U_6 = 40V], [U'_6 = 80V]$$

$$\left. \begin{array}{l} Q_7 = Q'_7 \Rightarrow 9U'_7 = 18U_7 \Rightarrow U'_7 = 2U_7 \\ U'_7 + U_7 = 120 \end{array} \right| \Rightarrow [U_7 = 40V], [U'_7 = 80V]$$

نستنتج من هذا:

$$[U_1 = U_2 = U_3 = 80V], [U_4 = U_5 = 40V]$$

يسهل الآن حساب شحنة كل مكثفة بتطبيق القانون  $Q = CU$

$$Q_6 = C_6 U_6 \Rightarrow Q_6 = 480\mu C$$

$$Q_1 = C_1 U_1 \Rightarrow Q_1 = 80\mu C$$

$$Q_2 = C_2 U_2 \Rightarrow Q_2 = 160\mu C$$

$$Q_3 = C_3 U_3 \Rightarrow Q_3 = 240\mu C$$

$$Q_7 = C_7 U_7 \Rightarrow Q_7 = 720\mu C$$

$$Q_4 = C_4 U_4 \Rightarrow Q_4 = 320\mu C$$

$$Q_5 = C_5 U_5 \Rightarrow Q_5 = 400\mu C$$

طاقة كل المجموعة:

$$W = \frac{1}{2} C U^2 \Rightarrow [W = 0,72J]$$

**التمرين 17.2:**

**ملاحظة:** نشير بالدليل 0 إلى كل ما يتعلق بالوضع  $0^\circ$  وبالدليل 1 إلى كل ما يتعلق بالوضع  $180^\circ$ .

$$1/\text{شحنة المكثفة لما توصل بالبطارية: } Q_1 = C_1 U , \quad Q_1 = 950.10^{-12}.400 , \quad Q_1 = 380nC$$

$$2/\text{فرق الكمون لما يشير المينا إلى } 0^\circ \text{ هو: } U_0 = \frac{Q_1}{C_0} , \quad U_0 = \frac{38.10^{-8}}{50.10^{-12}} , \quad U_0 = 7,6.10^3 V$$

$$3/\text{طاقة المكثفة لما يشير المينا إلى } 0^\circ : W_0 = \frac{1}{2} \frac{Q_1^2}{C_0} , \quad W_0 = 1,444.10^{-3} J$$

4/ العمل اللازم لتدوير الزر يساوي النقص في الطاقة بين الوضعين  $0^\circ$  و  $180^\circ$ :

$$\text{طاقة المكثفة لما يشير المينا إلى } 180^\circ : W_1 = \frac{1}{2} \frac{Q_1^2}{C_1} , \quad W_1 = 0,076.10^{-3} J$$

إذن العمل المتصروف هو:  $w = W_1 - W_0$  ،  $w = -1,368.10^{-3} J$   
إشارة النقص تعني صرف للطاقة.

**التمرين 18.2:**

1/**القطعة K مفتوحة:** ننظر إلى الشكل -أ- المناسب:

$$\text{حسب قانون التوترات: } U_{AB} = U_{AF} + U_{FB}$$

$$U_{AB} = (R_1 + R_2)I \quad \Rightarrow \quad U_{AB} = 3R_2 I = 3U_{FB} \\ R_1 = 2R_2 \quad \text{و منه:}$$

الكون في B هو إذن:

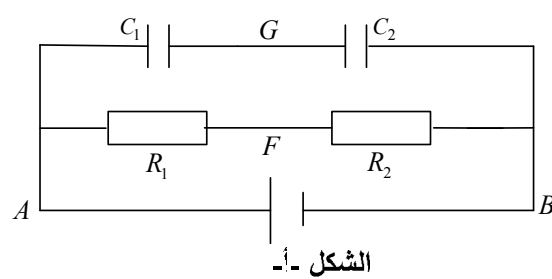
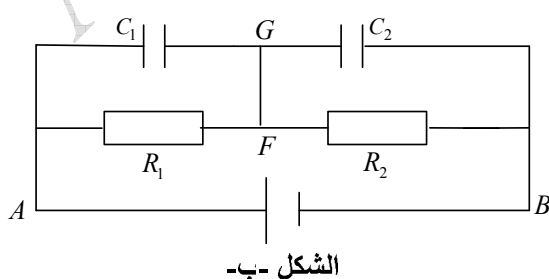
$$V_A - V_B = 3(V_F - V_B) \quad \Rightarrow \quad V_F = 8V \\ V_B = 0 , \quad V_A = 24V$$

2/ بالتتابع نفس الخطوات نجد قيمة الكون  $V_G$  لأنهما مربوطان على التسلسل:  
المكثفات تحملن نفس الشحنة  $Q$  لأنهما مربوطتان على التسلسل:

$$U_{AB} = QC_1 + QC_2 \quad \Rightarrow \quad U_{AB} = 3QC_1 = 3U_{AG} \\ C_2 = 2C_1$$

الكون في G هو إذن:

$$V_A - V_B = 3(V_A - V_G) \quad \Rightarrow \quad V_G = \frac{2V_A}{3} \quad V_G = 16V \\ V_B = 0 , \quad V_A = 24V$$



3/**القطعة K مغلقة:** ننظر إلى الشكل -ب- المناسب.

كمون النقطة  $F$  هو نفسه كما في السؤال (1) أي  $V_F = 8V$ . و عليه فإن:

$$V_F = V_G = 8V$$

/4 قبل غلق القاطعة كانت كل مكثفة تحمل شحنة مقدارها:

$$\begin{aligned} Q &= Q_1 = Q_2 \\ C_1 U_1 &= C_2 U_2 \quad \Rightarrow Q = 7,69 \cdot 10^{-6} C \\ U_1 &= V_A - V_G = 16V \end{aligned}$$

لحظة غلق القاطعة، و مؤقتاً، كل مكثفة تحمل شحنة خاصة بها:

$$\begin{aligned} Q_1 &= C_1 U_1 \rightarrow Q_1 = 7,69 \cdot 10^{-6} C \quad \Rightarrow Q_1 \neq Q_2 \\ Q_2 &= C_2 U_2 \rightarrow Q_2 = 1,92 \cdot 10^{-6} C \end{aligned}$$

غير أن هذا الوضع لا يدوم. حين بلوغ حالة التوازن بسرعة فإن شحنتي المكثفات تتساوىان. لكي تتساوى شحننا اللبوسين المشتركين في النقطة  $G$  يجب أن تغادر الشحنات السالبة، و هي وحدها القادرة على الحركة، البوس  $C_1$ . لا تتوقف هذه الهجرة إلا بعد تساوي شحنتي اللبوسين.

إذا كانت  $Q'$  هي قيمة الشحنة التي عبرت القاطعة فإن قيمتها تساوي:

$$Q_2 = Q_1 + Q' \Rightarrow Q' = Q_2 - Q_1 , \quad Q' = -5,76 \cdot 10^{-6} C$$

### التمرين 19.2:

1/ لحساب كمية الطاقة المخزنة في المكثفة، نحسب أولاً سعة المكثفة:

$$C_1 = \epsilon_0 \frac{S}{d} , \quad C_1 = 35,8 \cdot 10^{-12} F$$

$$W_E = \frac{1}{2} \frac{Q^2}{C_1} , \quad W_E = 1,25 \cdot 10^3 J$$

2/ إذا أدخلنا صفيحة من الميكا فإن السعة تزداد مما ينجر عن تناقص الطاقة. النفاذية المطلقة للميكا هي  $\epsilon = \epsilon_0 K$ . إذن:

$$C_2 = \kappa \epsilon_0 \frac{S}{d} , \quad C_2 = 250,6 \cdot 10^{-12} F$$

$$W_{E2} = \frac{1}{2} \frac{Q^2}{C_2} , \quad W_{E2} = 1,8 \cdot 10^2 J$$

3/ في حالة نقصان البعد بين اللبوسين فإن السعة تزداد و الطاقة المخزنة تتقصص:

$$C_3 = \kappa \epsilon_0 \frac{S}{d/2} , \quad C_3 = 501,2 \cdot 10^{-12} F$$

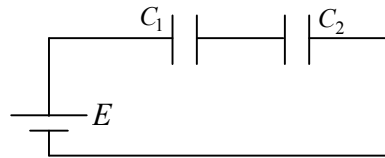
$$W_{E3} = \frac{1}{2} \frac{Q^2}{C_3} , \quad W_{E3} = 89,8 J$$

### التمرين 20.2:

I. القاطعة  $K_1$  مغلقة: ننظر إلى الشكل المناسب في الأسفل:

1/ المكثفات على التسلسل و تحملان نفس الشحنة. التوتر بين لبوسي المكثفة المكافئة يساوي القوة المحركة الكهربائية  $E$  للمولد:

$$\left. \begin{array}{l} C = \frac{C_1 C_2}{C_1 + C_2} \\ q = CV = CE \end{array} \right| \Rightarrow \boxed{q = E \frac{C_1 C_2}{C_1 + C_2}}, \quad \boxed{q = 4\mu C}$$

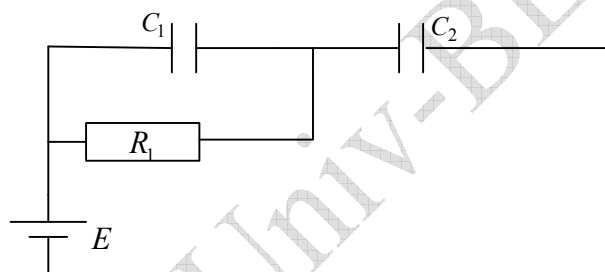


/2 فرق المكون بين طرفي كل مكثفة:

$$U_1 = \frac{q}{C_1} \Rightarrow \boxed{U_1 = 4V}$$

$$U_2 = \frac{q}{C_2} \Rightarrow \boxed{U_2 = 2V}$$

II. نترك القاطعة  $K_1$  مغلقة، ثم نغلق القاطعتين  $K_2$  و  $K_3$ . انظر إلى الشكل المناسب التالي :



1/ بعد الفترة الوجيزة لعملية الشحن ينعدم التيار الكهربائي، غير أن المولد يفرض توتراً بين قطبه بالتابع المслكين المختلفين لحساب التوتر بين طرفي المولد نتوصل إلى:

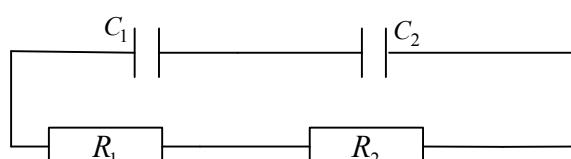
$$\left. \begin{array}{l} E = U_1 + U_2 \\ E = U_2 \end{array} \right| \Rightarrow U_1 = 0 \Rightarrow \boxed{q_1 = 0}$$

إذن المكثفة  $C_1$  تتفرّغ في المقاومة  $R_1$ ، بينما المكثفة  $C_2$  تشحّن تحت التوتر  $E$  للمولد حيث:

$$q_2 = C_2 E \Rightarrow \boxed{q_2 = 12nC}$$

/2 فرق المكون بين طرفي كل مكثفة:

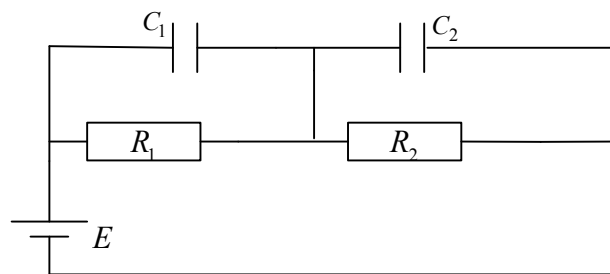
III. نفتح القاطعتين  $K_1$  و  $K_3$  و نغلق القاطعتين  $K_2$  و  $K_4$ . انظر الشكل المناسب الموالي:



المكثفاتان تتفرّغان كلياً في المقاومتين:  $\boxed{q_1 = q_2 = 0}$

IV. نترك  $K_2$  و  $K_4$  مغلقتين، ثم نغلق  $K_1$  و  $K_3$  أيضاً. انظر الشكل التالي:

/1 التوتر بين طرفي كل مكثفة:



$$E = (R_1 + R_2)I \Rightarrow I = \frac{E}{R_1 + R_2}, \quad I = 0,03A$$

$$R_1 = R_2 \Rightarrow U_1 = U_2 = R_1 I \quad U_1 = U_2 = 3V$$

/2 شحنة كل مكثفة:

$$q_1 = C_1 U_1 \quad q_1 = 3\mu C$$

$$q_2 = C_2 U_2 \quad q_2 = 6\mu C$$

**التمرين 21.2:**

إذا كان إلكترومتر يشير إلى الصفر فهذا يعني أن النقطتين F و G لهما نفس الكمون. نرى في الشكل المقابل أن:

$$U_{AF} = U_{AG} \Rightarrow \frac{q_1}{C_1} = \frac{q_3}{C_3} \rightarrow (1)$$

$$U_{FB} = U_{GB} \Rightarrow \frac{q_2}{C_2} = \frac{q_4}{C_4} \rightarrow (2)$$

حسب مبدأ انحفاظ الشحنة يتبيّن لنا أن:

$$-q_1 + q_2 = 0 \Rightarrow q_1 = q_2$$

$$-q_3 + q_4 = 0 \Rightarrow q_3 = q_4$$

في المعادلة (2) نعرض  $q_2$  و  $q_4$  على التوالي بـ  $q_1$  و  $q_3$  فنكتب:

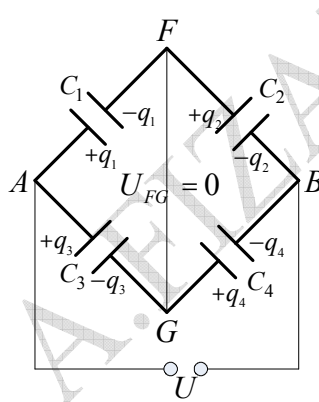
$$\frac{q_1}{C_2} = \frac{q_3}{C_4} \rightarrow (3)$$

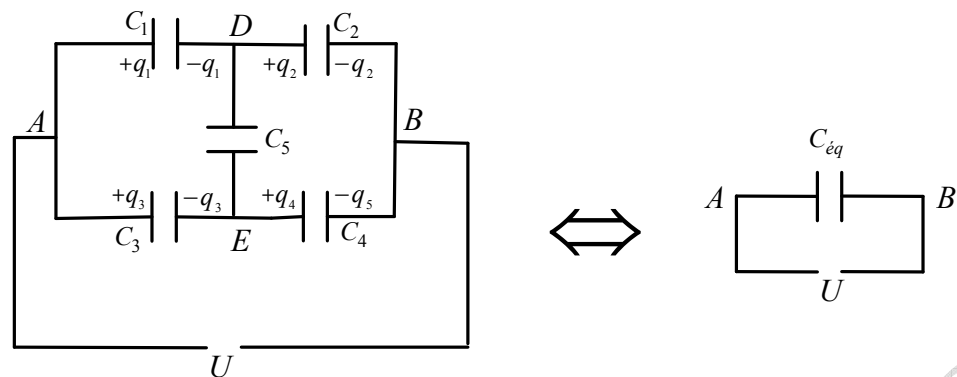
نقسم المعادلتين (3) و (1) طرف لطرف فنحصل على:

$$\frac{(3)}{(1)} \Rightarrow \frac{C_1}{C_2} = \frac{C_3}{C_4}$$

**التمرين 22.2:**

/1 نلاحظ أن E نقطة مشتركة للمكثفات  $C_1$  ،  $C_3$  و  $C_4$  ، كما أن D نقطة مشتركة للمكثفات  $C_2$  و  $C_5$ . المكثفة  $C_5$  تقع و حدتها بين النقطتين E و D. و على هذا الأساس يكون الشكل الذي يظهر التناظر هو التالي:





$$C_1 = C_2 = C_3 = C_4 = C/2$$

حسب مبدأ انفاذ الشحنة و بالنظر إلى الشكل السابق فان:

$$q = q_1 + q_3 = q_2 + q_4 \rightarrow (1)$$

$$C_{eq}U = CU_1 + CU_3 = CU_2 + CU_4$$

$$C_{eq}U = C(U_1 + U_3) = C(U_2 + U_4) \rightarrow (2)$$

حسب قانون التوترات يمكن أن نكتب:

$$\begin{aligned} U &= U_1 + U_2 \\ U &= U_3 + U_4 \end{aligned} \Rightarrow 2U = U_1 + U_2 + U_3 + U_4 \rightarrow (3)$$

من المعادلة (1) نستنتج أن:

$$C_{eq}U = CU_1 + CU_3 = CU_2 + CU_4 \Rightarrow U_1 + U_3 = U_2 + U_4$$

ننقل هذه النتيجة الأخيرة في المعادلة (3) لتصبح:

$$2U = \underbrace{U_1 + U_3}_{U_2 + U_4} + U_2 + U_4$$

$$U = U_2 + U_4 \rightarrow (4)$$

من المعادلتين (2) و (4) يمكننا حساب السعة المكافئة:

$$\begin{aligned} (1) \rightarrow C_{eq}U &= C(U_2 + U_4) \\ (4) \rightarrow U &= U_2 + U_4 \end{aligned} \Rightarrow C_{eq} = C = 1\mu F$$

شحنة كل مكتفة: نبين أن الشحنات  $q_1, q_2, q_3$  و  $q_4$  متساوية:

$$\begin{aligned} U_1 &= U_3 \\ U_2 &= U_4 \end{aligned} \Rightarrow \begin{cases} q_1 = q_3 \\ q_2 = q_4 \end{cases}$$

$$\begin{aligned} -q_1 + q_2 &= 0 \Rightarrow q_1 = q_2 \\ -q_3 + q_4 &= 0 \Rightarrow q_3 = q_4 \end{aligned} \Rightarrow q_1 = q_2 = q_3 = q_4$$

نقيّم الشحنة  $q_2$  مثلاً:

$$U = U_1 + U_2 \Rightarrow \frac{q}{C_{eq}} = \frac{q_1}{C_1} + \frac{q_2}{C_2} \Rightarrow q = q_1 + q_2 = 2q_2$$

$$q = C_{eq}U = 2Cq_2 \Rightarrow q_2 = \frac{C_{eq}}{2}U$$

$$q_1 = q_2 = q_3 = q_4 = 5 \cdot 10^{-7} C$$

أما الشحنة  $q_5$  فهي معدومة:  $q_5 = 0$

فرق الكمون بين طرفي كل مكثفة:

$$\left. \begin{array}{l} U = U_1 + U_2 \\ U_1 = U_2 \end{array} \right| \Rightarrow \boxed{U_1 = U_2 = U_3 = U_4 = 50V} \quad \boxed{U_5 = 0}$$

### التمرين 23.2:

الطاقة الحرية الكهروساكنة الإبتدائية للجملة هي:  $(1) \leftarrow W_{e1} = \frac{1}{2} C U_0^2$

نحصل على الطاقة النهاية، بعد انتهاء النظام الانتقالي، بدلالة  $C$  و  $C'$  و التوتر  $U$  المشترك بين

$$(2) \leftarrow W_{e2} = \frac{1}{2} (C + C') U^2$$

لمعرفة هذا التوتر  $U$ ، ندخل انفراط الشحنة الكهربائية خلال تحويل الطاقة. بالفعل، الجملة معزولة عن الخارج و الشحنة الكهربائية ، كمية مادية، لا يمكن لها إلا الانفراط. الشحنة الإبتدائية  $Q_0$  توزعت في النهاية إلى الشحنتين  $q$  و  $q'$  بحيث:

$$Q_0 = C U_0 = q + q' = (C + C') U^2$$

$$U = \frac{C}{C + C'} U_0$$

$$W_{e2} = \frac{1}{2} (C + C') \frac{C^2 U_0^2}{(C + C')^2} \Rightarrow \boxed{W_{e2} = \frac{1}{2} \frac{C^2}{C + C'} U_0^2}$$

الطاقة المخزنة في جملة المكثفين هي إذن  $(1) - (2)$ :

$$\Delta W_e = W_{e2} - W_{e1} = -\frac{1}{2} \frac{CC'}{C + C'} U_0^2$$

إشارة الناقص تدل على نقص في الطاقة. الطاقة الضائعة تحولت إلى الوسط الخارجي عن الجملة على شكل طاقة حرارية، في المقاومة  $R$ . تكون استطاعة هذا التحويل أكبر كلما كانت مدة التفريغ أصغر، وبالتالي المقاومة أضعف.

للتتأكد من هذا الأمر، نحسب الطاقة المبددة بفعل جول: لتكن  $i$  الشدة اللحظية للتيار الكهربائي في الدارة.

شكل هذا التيار أسي. قيمته الإبتدائية هي  $\frac{U_0}{R}$ ، لأن في هذه اللحظة كانت المكثفة ذات السعة  $C$  تحت توتر معدوم. ثابت الزمن هو  $\tau = RC_{eq}$ .

$$i = \frac{U_0}{R} e^{-t/\tau}$$

والتيار  $i$  يعطى بـ:

$$W_J = \int_0^\infty R i^2 dt = \int_0^\infty R \frac{U_0^2}{R^2} \exp(-2t/\tau) dt$$

$$W_J = \frac{1}{2} \frac{U_0^2}{R} \tau \Rightarrow \boxed{W_J = \frac{1}{2} U_0^2 \frac{CC'}{C + C'}}$$

الاستطاعة المتوسطة خلال تحول الجملة، إذا افترضنا أن العملية تمت فعليا في ظرف زمني  $t = 5\tau$ ، هي:

$$P_{moy} = \frac{W_J}{t} = \frac{1}{2} \frac{U_0^2}{R} \frac{\tau}{5\tau} \Rightarrow P_{moy} = \frac{1}{10} \frac{U_0^2}{R}$$

إذا قربنا المقاومة  $R$  من الصفر، فإن التحول يكون عنيفا. الاستطاعة الحرارية المحولة تقود لتسخين كبير، حتى ولو كانت كمية الطاقة المنوحة مستقلة عن  $R$ .

**الخلاصة:** يجب تفادي ربط هذين المنبعين للتوتر، أي المكثفين. إذا كانت المقاومة هي مقاومة قاطعة، وهي بالضرورة ضعيفة، فإن لحظة غلق القاطعة تؤدي إلى إتلافها. يمنع تحقيق مثل هذا التركيب.

### التمرين 24.2:

1/ خلال عملية شحن مكثفة تحسب شدة التيار إيجابا، خلال عملية التفريغ يغير التيار من اتجاهه، إذن

$$i = -\frac{dq_A}{dt}$$

**ملاحظة:** لأن الشحنة التي يحملها اللبوس  $A$  تتناقص خلال التفريغ

فنجد بالفعل  $i < 0$ .

العلاقة بين  $i$  و  $u_C$ :

$$\left. \begin{aligned} q_A &= Cu_C \\ i &= -\frac{dq_A}{dt} \end{aligned} \right| \Rightarrow i = -C \frac{du_C}{dt}$$

2/ المعادلة التقاضية لتطور التوتر  $u_C$ :

$$\left. \begin{aligned} u_C &= u_R \\ u_R &= Ri \\ i &= -C \frac{du_C}{dt} \end{aligned} \right| \Rightarrow u_C = -RC \frac{du_C}{dt} \Rightarrow \frac{1}{RC} u_C + \frac{du_C}{dt} = 0$$

(3) تعين الثابتين  $A$  و  $a$ :

$$\frac{du_C}{dt} = \frac{d(Ae^{-at})}{dt} \Rightarrow \frac{du_C}{dt} = -aA \exp(-at)$$

لنعبر أولا عن  $u_C$  في المعادلة التقاضية:

$$\frac{1}{RC} A \exp(-at) - aA \exp(-at) = 0 \Rightarrow A \left( \frac{1}{RC} - a \right) \exp(-at) = 0$$

هذه المعادلة محققة مهما كان الزمن  $t$ :

إذا كانت  $A = 0$  ، وهذا مستحيل لأن النص يفرض  $A > 0$  ،

أو  $\frac{1}{RC} - a = 0$  و هذا يؤدي بنا إلى:

$$\frac{1}{RC} - a = 0 \Rightarrow a = \frac{1}{RC}$$

في اللحظة  $t = 0$  لدينا  $u_C(0) = U_0 = 10V$  ، و منه:

$$A \exp(-a \cdot 0) = U_0 \Rightarrow A = U_0 , [A = 10V]$$

ب) ثابت الزمن هو:  $\tau = RC$   
ج) قيمة سعة المكثف:

$$C = \frac{\tau}{R} \quad , \quad C = 2 \cdot 10^{-3} F$$

د) بعد ثابت الزمن هو متجانس مع زمن :

$$\left. \begin{array}{l} \tau = RC \Rightarrow [\tau] = [R][C] \\ R = \frac{u_R}{i} \Rightarrow [R] = \frac{[U]}{[I]} \\ C = i \frac{dt}{du_C} \Rightarrow [C] = [I] \frac{[T]}{[U]} \end{array} \right\} \Rightarrow [\tau] = \frac{[U]}{[I]} [I] \frac{[T]}{[U]} \Rightarrow [\tau] = [T]$$

#### ٤) عبارة الشدة اللحظية:

$$i = C \cdot \frac{du_C}{dt} \quad \left| \begin{array}{l} \\ u_C = U_0 e^{-\left(\frac{t}{RC}\right)} \end{array} \right. \Rightarrow i = -\frac{U_0}{C} \exp\left(-\frac{t}{RC}\right)$$

$$i(0) = -\frac{U_0}{R} , \quad [I_0 = -0,3A] \quad : t = 0$$

$$ج) \text{ شدة التيار في } i(0,5) = -0,2A \quad : t = 0,5s$$

$$u(t) = U_0 \exp\left(-\frac{t}{RC}\right), \quad u(0,5) = 8.10^{-3} V$$

٤) المدة المنقضية تفوق بأكثر من خمس مرات قيمة ثابت الزمن  $\tau$ ، نجد قيمة  $L_c u$  فريبة من الصفر. يمكن إذن اعتبار أن المكتفة أفرغت.

عبارة الطاقة المخزنة في المكثفة  $C$  في اللحظة  $t = 0$  هي  $W_E = \frac{1}{2} C U_0^2$ . بالنسبة /5

لمفهوم  $C' \succ C$  يكون لدينا  $U_0^2 = \frac{1}{2}C'U_0^2$ . وبما أن  $U_0$  ثابت فإن  $W_E' \succ W_E$ .

## التمرين 25.2:

في ناقل متوازن، الحقل  $\vec{E}$  معدوم و بالتالي  $\operatorname{div} \vec{E} = 0$ . حسب الشكل التفاضلي لنظرية غوص فإن  $\rho = 0$  . إذن  $\operatorname{div} \vec{E} = \rho / \varepsilon_0$  .

2/ بفعل التناطر الكروي لجملة الناقلين في حالة التوازن الكهروساكن، الحقن ( $M\vec{E}$ ) الذي هو شعاع قطبي، هو محظوظ في كل المستويات المحتوية على المحور  $\overrightarrow{OM}$ ؛ إذن الحقن قطري أي يحمله  $\vec{u}$ .

إضافة إلى هذا فإنه لا يوجد تغيير بفعل التدوير حول  $O$ . هذا يعني أن قيم الحقل و الكمون لا تتعلق بالمتغيرين  $\theta$  و  $\varphi$ .

و عليه يمكن كتابة  $\vec{E}(M) = E(r)\vec{u}$  و  $V(M) = V(r)$

3/ توزيع الشحنات على سطوح الناقلين: بسبب التناظر الكروي لجملة الناقلين فإن الشحنات تتوزع بانتظام على سطوحهما. الشحنة  $Q$  للناقل الخارجي ( $C'$ ) تتوزع على سطحه الداخلي والخارجي. بما أن الناقلين ( $C$ ) و ( $C'$ ) في تأثير كلي، فإنه يوجد بالضرورة على السطح الداخلي للناقل ( $C'$ ) الشحنة  $+Q$ .

تظهر الشحنة المتبقية  $-Q$  على السطح الخارجي للناقل ( $C'$ ).

يمكن تبيان هذا كذلك بتطبيق نظرية غوص: الحقل معادم على كرة نصف قطرها  $r < 2R$ . تدفق الحقل الخارج هو إذن معادم. إذن الشحنة الداخلية لهذا السطح يجب أن تكون معادمة.

: E(r) / بيان 4

طبق نظرية غوص على كرة نصف قطرها  $r < R$ . الشحنة الداخلية هي  $-Q$ .

$$\text{نحصل على: } 4\pi r^2 E(r) = \frac{-Q}{\epsilon_0}$$

طبق نظرية غوص على كرة نصف قطرها  $2R < r < 3R$ . الشحنة الداخلية هي  $+Q$ . نحصل على:

$$4\pi r^2 E(r) = \frac{+Q}{\epsilon_0}$$

و عليه يكون لدينا:

$$4\pi r^2 E(r) = \frac{-Q}{\epsilon_0} : R < r < 2R$$

$$4\pi r^2 E(r) = \frac{+Q}{\epsilon_0} : r > 3R$$

الحقل معادم خارج هذا الفضاء المدروس، كما أن الحقل غير مستمر عند عبور كل سطح مشحون.

$\text{div} \vec{E}(M) = \frac{1}{r^2} \frac{d^2(r^2 E(r))}{dr^2} = 0$  / 5  
بالفعل، في هذه المسألة، لا وجود لكثافة شحنية حجمية في أي موضع. الشحنة موزع على سطوح الناقلين.



: V(r) / بيان الكمون

الكمون مستمر. نحصل عليه بالانطلاق من لانهاية حيث قيمته معادمة. بعملية تكاملية لـ  $V(r) = - \int E(r) dr$

$$\text{إذن من أجل } r > 3R : V(r) = \frac{Q}{4\pi\epsilon_0} \frac{1}{r}$$

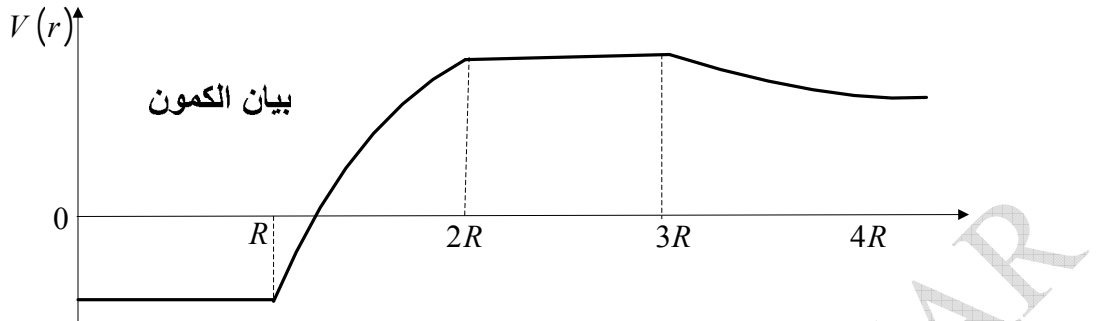
$$V(r) = \frac{Q}{4\pi\epsilon_0} \frac{1}{3R} : 3R > r > 2R$$

$$V(r) = \frac{-Q}{4\pi\epsilon_0} \frac{1}{2R} + K : 2R > r > R$$

$$V(2R) = \frac{-Q}{4\pi\epsilon_0} \frac{1}{2R} + K = \frac{Q}{4\pi\epsilon_0} \frac{1}{3R}$$

ثابت التكامل  $K$  هو بحيث نجد في الأخير:

$$V(r) = \frac{-Q}{4\pi\epsilon_0} \frac{1}{r} + \frac{5Q}{4\pi\epsilon_0} \frac{1}{6R}$$



$$V_{C'} = \frac{Q}{4\pi\epsilon_0} \frac{1}{3R} \quad / 7$$

كمون الناقل  $(C')$  هو:

$$V_C = \frac{-Q}{4\pi\epsilon_0} \frac{1}{6R} \quad / 8$$

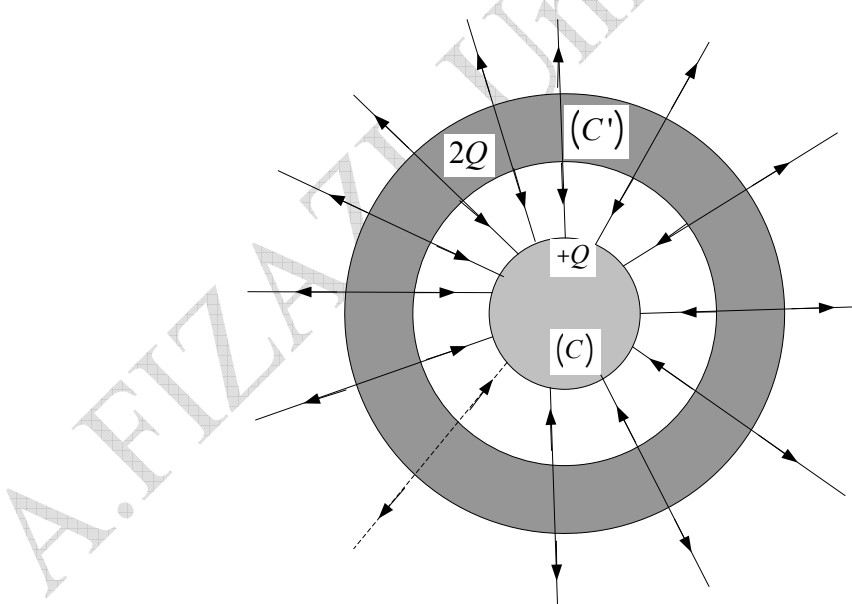
كمون الناقل  $(C)$  هو:

$$V_{C'} - V_C = U = \frac{Q}{4\pi\epsilon_0} \frac{1}{2R}$$

الفرق في الكمون هو إذن:

$C = 8\pi\epsilon_0 R$  باستعمال العلاقة الأساسية للمكتفات  $CU = Q$ ، نحصل على سعة هذه المكتفة الكروية:

8/ شكل بعض خطوط الحقل الموجهة (انظر الشكل).



$$W = \frac{1}{2} \frac{Q^2}{C} \Rightarrow W = \frac{Q^2}{16\pi\epsilon_0 R} \quad / 9$$

### التمرين 26.2:

$$C = \epsilon_0 \frac{S}{2d} = \epsilon_0 \frac{x \cdot L}{2d} \Rightarrow C = 2.65 \times 10^{-12} F \quad 1/\text{سعة المكتفة المستوية:}$$

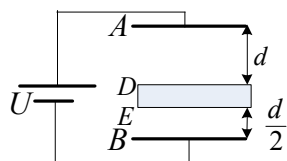
2/شحنة المكثفة:

$$\begin{aligned} Q &= CV \\ C &= \epsilon_0 \frac{S}{2d} = \epsilon_0 \frac{xL}{2d} \end{aligned} \Rightarrow \boxed{Q = \epsilon_0 \frac{xL}{2d} V}; \quad \boxed{Q = 1.1 \times 10^{-9} C}$$

3/حساب شحنات الأوجه:

تحدث عملية التكهرب بالتأثير:  $[Q_E = -Q_B; Q_A = -Q_D]$  و بما أن الصفيحة الداخلية معتدلة

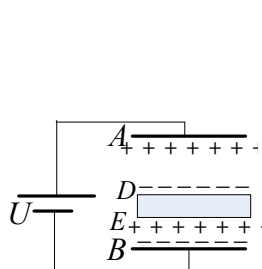
كهربائيا في البداية فإن:



$$\cdot [Q_D = -Q_E] \Rightarrow [Q_D = -Q_E = +Q_B = -Q_A = Q']$$

و النتيجة هي أن لدينا مكثفان مربوطان على التسلسل.

سعة المكثفة المكافئة هي إذن :



$$C_{eq} = \frac{C_1 C_2}{C_1 + C_2}; \quad \left. \begin{aligned} C_1 &= \frac{\epsilon_0 S}{d} \\ C_2 &= \frac{\epsilon_0 S}{d/2} \end{aligned} \right\} \Rightarrow \boxed{C_{eq} = \frac{2\epsilon_0 S}{3d}}$$

الشحنات التي تحملها الأوجه الأربع هي:

$$\boxed{Q' = C_{eq} V = 2\epsilon_0 \frac{Lx}{3d}}$$

$$\boxed{Q' = Q_D = -Q_E = +Q_B = -Q_A = 1.4 \times 10^{-9} C}$$



### III/ الكهرباء المتحركة

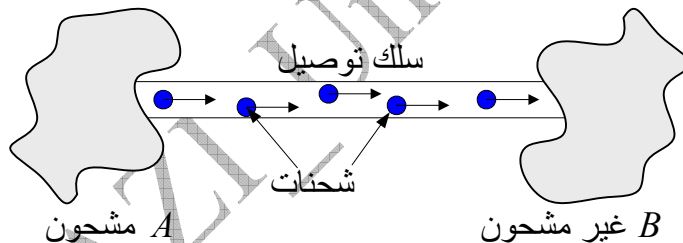
#### ELECTROCINETIQUE

الكهرباء المتحركة هي دراسة التيارات الكهربائية ، أي دراسة الشحنات الكهربائية في حالة الحركة في أوساط مادية تسمى الناقل. و بعبارة أخرى ، فإنها دراسة الدارات و الشبكات الكهربائية.

في ما يتبع نعتني بالسبب الذي يجعل الشحنات تتحرك و السبب الذي يعيق حركتها.

#### A/ التيار الكهربائي: (courant électrique)

يمثل الشكل 1.3 جسمين ،  $B$  غير مشحون و هو في حالة توازن ، والجسم  $A$  مشحون بإحدى طرق التكهرب. نوصل الجسمين بواسطة سلك يشحن الجسم  $B$  ، أي أنه يكتسب شحنة  $dQ$  خلال وقت وجيز  $dt$  ، و هكذا فإنه فقد التوازن الكهروساكن مؤقتا.



الشكل 1.3: مرور التيار الكهربائي من  $A$  نحو  $B$

نفسّر هذا بانتقال شحنات كهربائية من الجسم  $A$  نحو الجسم  $B$  عبر السلك الواصل بينهما. و من هنا نعرف التيار الكهربائي:

**تعريف:** التيار الكهربائي هو انتقال جماعي ومنظم لحاملات الشحنة (إلكترونات أو شوارد). قد يحدث هذا السيل من الشحنات في الفراغ (حزمة إلكترونات في أنبوب مهبطي...) أو في المادة الناقلة (الإلكترونات في المعادن أو الشوارد في المحاليل المائية...).

يظهر تيار كهربائي في الناقل عندما يوجد فرق في الكمون بين طرفي هذا الأخير.

**1/ شدة التيار الكهربائي:** (intensité du courant électrique)

**❖ الشدة المتوسطة:** (intensité moyenne) الشدة المتوسطة للتيار الكهربائي هي كمية الكهرباء (الشحنة) التي تجتاز مقطعاً من الناقل خلال وحدة الزمن:

$$(1.3) \quad I = \frac{\Delta Q}{\Delta t}$$

**❖ الشدة الحالية:** (intensité instantanée) هي مشتق الشحنة الكهربائية بالنسبة للزمن:

$$(2.3) \quad i = \lim_{\Delta t \rightarrow 0} \frac{\Delta Q}{\Delta t} = \frac{dQ}{dt}$$

**❖ الوحدة:** الأمبير ( $A$ ) ، (نسبة للعالم André-Marie Ampère 1775-1836) ، هو شدة تيار كهربائي مناسبة لمرور شحنة مقدارها 1 كولومب عبر مقطع الناقل خلال ثانية واحدة.

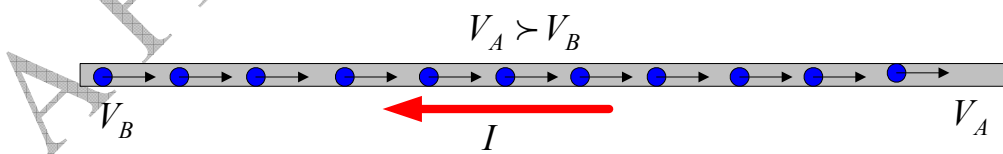
**❖ رتبة سرعة حاملات الشحنات:** (ordre de grandeur de la vitesse des porteurs de charges)

- في سلك معدني تنتقل الإلكترونات الحرجة بسرعة متوسطة تقارب  $1mm/s$
- في المحاليل المائية سرعة الشوارد تكون أضعف.

في الفراغ سرعة الإلكترونات تقارب  $10000km/s$ . و حتى هذه القيمة تبقى ضعيفة جداً أمام سرعة انتشار الضوء ( $c = 3.10^5 kms^{-1}$ ).

**❖ اتجاه التيار الكهربائي:** (sens du courant)

يسري التيار الكهربائي في الجهة المتقاسمة للكمونات أي في اتجاه شعاع الحقل الكهربائي. و هكذا فإن الاتجاه المختار اصطلاحاً هو عكس اتجاه حركة الشحنات السالبة.



الشكل 2.3: الإتجاه الإصطلاحي للتيار الكهربائي

**❖ تذكير بقانون أوم:** (Georges-Simon Ohm 1789-1854)

السهولة التي تتدفق بها الشحنات بين قطبين تتعلق بالطريقة التي يربط بها هذين القطبين. إذا وصلناهما بسلك توصيل، فإن الشحنات لا تواجه أي صعوبات تذكر للانطلاق، أما إذا وصلناهما بعزل ، فإن كل انتقال للشحنات يصبح صعباً جداً، إن لم يكن مستحيلاً.

هذه الخاصية التي تميز المادة، بالسماح أو بمنع الشحنات الكهربائية من المرور، تسمى **بـ مقاومة المادة المذكورة**. تفاصيل المقاومة بـ **الأوم ( $\Omega$ )**.

في حين تكون مقاومة المعادن ضعيفة، فإن مقاومة العوازل كبيرة جدا و لا متهايئة حتى. في الصناعة توجد عناصر صغيرة (تسمى مقاومات) يمكن لمقاومتها أن تتراوح بين بعض أومات إلى ملايين الأومات.

بالنسبة لنقل معدني، تحت درجة حرارة ثابتة، فإن النسبة بين فرق الكمون (التوتر)  $U$  بين طرفيه، و شدة التيار الكهربائي  $I$  الذي يجتازه، ثابتة و تساوي **مقاومة الناقل**:

(3.3)

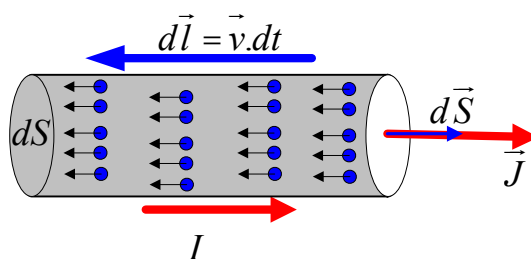
$$R = \frac{U}{I} = C^{te}$$

هذه العبارة بين شدة التيار و التوتر و المقاومة تعرف بـ **قانون أوم**. قانون أوم يظهر أنه من أجل فرق في الكمون محدد، يمكن وضع عدد من المقاومات في الدارة و هذا للحد من شدة التيار الكهربائي الذي يعبر الجهاز المغذي كهربائيا.

## 2/ كثافة التيار الكهربائي:

سبق و أن عرّفنا التيار الكهربائي على أنه سيل من الشحنات في الفراغ أو عبر وسط مادي ناقل. يمكن التعبير عن شدة التيار الكهربائي بدلالة سرعة الشحنات المتحركة (الحركة).

نعتبر ناقلا مقطعا  $dS$ . ليكن  $n$  عدد الشحنات  $q$  المتحركة و المحصورة داخل واحده الحجم و تتحرك بسرعة  $\vec{v}$  ثابتة.



الشكل 3.3: كثافة التيار

تنقدم الشحنات خلال المدة الوجيزة  $dt$  بمسافة:  $d\vec{l} = \vec{v}.dt$

خلال نفس المدة  $dt$ ، الشحنة  $dQ$  المحصورة داخل حجم عنصري  $dV$  من الناقل هي

$$dQ = nq.dV \quad \text{إذن:}$$

$$dV = d\vec{l}.d\vec{S} \quad \text{و بما أن}$$

$$dQ = n.q.\vec{v}.dt.d\vec{S} \quad \text{فإن:}$$

**تعريف:** كثافة التيار الكهربائي هي المقدار الشعاعي  $\vec{J}$  المساوي للشحنة المارة

خلال وحدة الزمن عبر وحدة السطح:

$$(4.3) \quad \boxed{\vec{J} = nq.\vec{v}}$$

و من ثم فإن:

$$dQ = \vec{J}.dt.d\vec{S}$$

في حالة بلور متكون من شواهد ساكنة و إلكترونات حرة متحركة فإن:

$$(5.3) \quad \boxed{\vec{J} = -ne.\vec{v}}$$

نلاحظ هنا أن شعاع كثافة التيار يعكس في اتجاهه الحركة الحقيقية للاكترونات، أي أن اتجاه التيار هو اتجاه الشعاع  $\vec{J}$ .

إذا كان  $\vec{S}$  يمثل شعاع السطح المقطع العرضي للناقل، و المنطبق على الشعاع  $\vec{J}$  فإن شدة التيار الكهربائي هي المقدار السلمي:

$$(6.3) \quad I = \frac{dQ}{dt} = \int_S \vec{J}.d\vec{S}$$

$$I = \vec{J}.\vec{S} \Rightarrow \boxed{I = nqv.S}$$

نعبر عن وحدة كثافة التيار الكهربائي بـ الأمبيرا المتر المربع ( $A.m^{-2}$ )

**مثال 1.3:** الكتلة المولية الجزيئية للنحاس تساوي  $M = 63,54 g.mol^{-1}$  ، و كتلته الحجمية  $\rho = 8,8.10^3 kg.m^{-3}$  .

أ/ أحسب عدد الذرات في وحدة الحجم ،

ب/ بافتراض أن كل ذرة من النحاس تحرر إلكترونين، و أن سلكا من نحاس

مقطعي  $10mm^2$  يجتازه تيار كهربائي شدته  $30A$  ، أحسب كثافة التيار الكهربائي ،

ج/ استنتج سرعة انتقال الإلكترونات داخل بلور النحاس.

**الإجابة:**

ا/ حساب عدد الذرات في  $1m^3$  من مادة النحاس:

$$\eta = \frac{N \cdot \rho}{M} \Rightarrow \eta = \frac{6,03 \cdot 10^{23} \times 8,8 \cdot 10^6}{63,54} \Rightarrow \boxed{\eta = 8,35 \cdot 10^{28}}$$

$$J = \frac{I}{S} \Rightarrow J = \frac{30}{10 \cdot 10^{-6}} \Rightarrow \boxed{J = 3 \cdot 10^6 A/m^2}$$

ب/ حساب الكثافة:

ج/ استنتاج سرعة تحرك الإلكترونات:

$$J = nev \Rightarrow v = \frac{J}{ne} \Rightarrow v = \frac{3 \cdot 10^6}{2 \times 8,35 \cdot 10^{28} \times 1,66 \cdot 10^{-19}} \Rightarrow \boxed{v = 108 \mu m.s^{-1}}$$

**❖ العلاقة بين الحقل الكهربائي و كثافة التيار الكهربائي :**

نعتبر جزء  $AB = l$  من ناقل يجتازه تيار كهربائي شدته  $I$ . وجود تيار كهربائي يعني بالضرورة وجود فرق في الكمون بين النقطتين  $A$  و  $B$ .

كما تعلمنا في درس سابق كيف نحسب فرق الكمون الكهربائي المطبق بين نقطتين:

$$(7.3) \quad U = V_A - V_B = \int_A^B \vec{E} \cdot d\vec{l}$$

إذا كان الناقل سلكاً مقطعاً  $S$  فإن الحقل الكهرومغناطيسي منتظم على طول الجزء  $AB$ . بما أن:

$$(8.3) \quad U = E \cdot l$$

فإن:

$$U = R \cdot I = E \cdot l \Rightarrow RJS = E \cdot l$$

و هكذا نحصل على عبارة جديدة لكتافة التيار:

$$(9.3) \quad J = \frac{l}{S \cdot R} E$$

$$(10.3) \quad \sigma = \frac{l}{S \cdot R} = C^{te}$$

نضع

نطلق على هذا الثابت اسم **النقاقية الكهربائية** (conductivité électrique) للمادة الناقلة ، و وحدتها واحد على الأوم متر  $(\Omega^{-1} \cdot m^{-1})$ .

تعلق الناقلية بالخواص المجهرية للمادة ، فهي كمية محلية تقييد في تمييز الخواص الكهربائية للمادة. على أساس الناقلية تصنف المواد إلى نوافل ، عوازل و شبه نوافل . مقلوب الناقلية يدعى **المقاومة الكهربائية** (résistivité électrique) للناقل (أو المقاومة النوعية):

$$(11.3) \quad \rho = \frac{1}{\sigma} = \frac{R \cdot S}{l}$$

و وحدتها هي الأوم.متر ( $\Omega \cdot m$ ) .

و هكذا يمكن كتابة عبارة مقاومة ناقل على الشكل:

$$(12.3) \quad R = \frac{l}{\sigma \cdot S} = \rho \frac{l}{S}$$

هذه العبارة البسيطة بين مقاومة سلك أسطواني و خصائصه الهندسية معروفة باسم قانون بوبييه نسبة لصاحبها (Claude Pouillet 1719-1868).

يبين المخطط (الشكل 4.3) ترتيباً عاماً للمواد من جهة نظر كهربائية.



الشكل 4.3 : مرتبة الناقلية و المقاومة

مقاومة بعض الأجسام :

| العوازل ( $\Omega \cdot m$ )       | الشبه نوافل ( $\Omega \cdot m$ ) في 300K | المعادن ( $\Omega \cdot m$ )     |
|------------------------------------|--|----------------------------------|
| الزجاج: من $10^{14}$ إلى $10^{11}$ | السيليسيوم: 2400                         | الفضة: $1,47 \cdot 10^{-8}$      |
| الميكا: من $10^{11}$ إلى $10^{15}$ | الجيرمانيوم: 0,5                         | النحاس: $1,72 \cdot 10^{-8}$     |
| الماء: من 0,1 إلى $10^5$           |  | الألمونيوم: $2,63 \cdot 10^{-8}$ |

❖ **ملاحظة:** تتغير مقاومة ناقل بدلالة درجة الحرارة. بالنسبة للمعادن تزداد المقاومة بازدياد درجة الحرارة (إذن المقاومة تزداد). بينما بالنسبة لأنواع النوافل ، فإن العكس هو الذي يحدث. بعض الخلائط المعدنية (alliages) ، مقاومتها تؤول إلى

الصفر حين تتحفظ درجة الحرارة و تقارب الصفر المطلق. يتعلّق الأمر بالنوافل الفائقة الناقلة (supraconducteurs).

بالنسبة للمعادن فإن تغيير مقاومتها يحكمها القانون:

$$(13.3) \quad \rho = \rho_0 [1 + \alpha (T - T_0)]$$

$\rho$ : المقاومية في درجة الحرارة  $T^\circ C$

$\rho_0$ : المقاومية في درجة الحرارة  $T_0^\circ C$  المرجعية.

$\alpha$ : المعامل الحراري للمقاومة و يساوي بالتقريب  $\frac{1}{273}$ .

تغيير المقاومية مع درجة الحرارة يتبعه بالضرورة تغيير المقاومة وفق القانون:

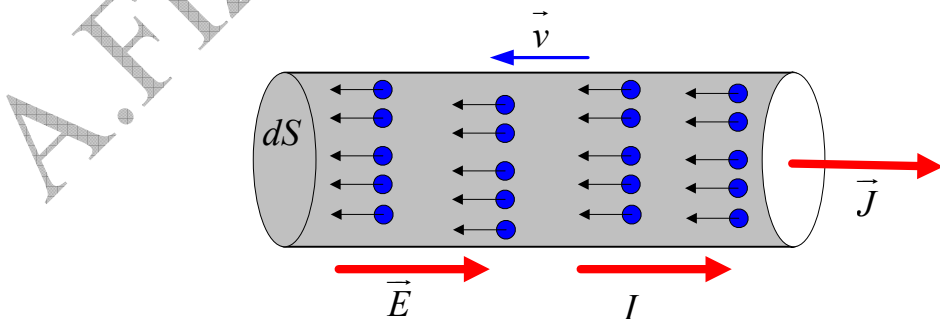
$$R = R_0 [1 + \alpha (T - T_0)]$$

يشذ عن قاعدة تغيير المقاومية مع درجة الحرارة، وفق القانون السابق، عنصر الكربون (الفحم)، و جميع السوائل القابلة للتحلل الكهربائي ، إذ أن مقاومتها تزداد كلما انخفضت درجة الحرارة و تنقص كلما ارتفعت. كما أن مقاومة بعض الخلاط المعدنية ( مثل المانكين (manganine) و الكونستتن (Constantin) تكاد تكون ثابتة ، فلا تتحفظ بتغيير درجة الحرارة. و لذلك يستعمل المانكين في عمل المقاومات القياسية. و تتحفظ المقاومة الكهربائية للنوافل قرب درجة الصفر المطلق. و تتحفظ مقاومة الناقل بتغيير نقاوته كذلك.

#### ❖ العلاقة بين $\vec{E}$ ، $\vec{J}$ و $I$ :

من المعادلة  $\vec{J} = \frac{l}{S \cdot R} \vec{E}$  يتبيّن لنا أن الشعاعين  $\vec{E}$  و  $\vec{J}$  لهما نفس الاتجاه. و بما أن

$I$  و  $\vec{E}$  لهما نفس الاتجاه فإن التيار الكهربائي يسري في اتجاه الشعاعين  $\vec{E}$  و  $\vec{J}$ .



الشكل 5.3: إتجاهات  $\vec{E}$  و  $\vec{J}$  و  $I$

**3/ فعل جول:** (James Prescott Joule 1818-1889)

حسب تعريف الكمون الكهربائي، العمل  $dW$  المنجز من قبل شحنة عنصرية  $dq$  تنتقل بين نقطتين، يسود بينهما فرق في الكمون الكهربائي (أو توتر)  $U$  هو:

$$dW = U \cdot dq$$

نعرف بصفة عامة (في الكهرباء كما في الميكانيك) الاستطاعة على أنها العمل المنجز خلال واحدة الزمن ، أي:

$$P = \frac{dW}{dt}$$

في حالتنا هذه ، لدينا:

$$P = \frac{dW}{dt} = \frac{U \cdot dq}{dt} = U \cdot I$$

و هكذا يمكن كتابة:

(14.3)

$$P = U \cdot I$$

هذه العبارة تترجم ما يعرف باسم **فعل جول** (effet joule) في الحالة العامة. وحدة الاستطاعة هي **واط** (James Watt 1736-1819). ( $W$ ) .

بالنسبة لثانيات القطب التي تخضع لقانون أوم ( $U = RI$ ) ، فإن مرور تيار كهربائي من خلالها ينتج حرارة: تسمى هذه الظاهرة كذلك **فعل جول**. و بالفعل فإن ثانوي قطب خامل يحول الطاقة الكهربائية إلى طاقة حرارية. الاستطاعة المبددة من قبل ثانوي القطب تساوي:

(15.3)

$$P = RI^2$$

نمثل الناقل الأومي بأحد الرسمين كما في الشكل 6.3.



الشكل 6.3 : تمثيل المقاومة

تبعد الطاقة على شكل حرارة يوحى لنا بتماثل بين المقاومة الكهربائية و قوى الاحتakan الميكانيكي. كل احتakan يؤدي إلى ضياع في الطاقة الميكانيكية الذي نجده على شكل حرارة (طاقة حرارية) ، بينما في المقاومة الكهربائية، "احتakan" الإلكترونات داخل المادة، يؤدي بالمثل إلى تبعد الطاقة الكهربائية على شكل طاقة حرارية... هنا تتجلى لنا فائدة

النواقل الفائقة الناقلية، أي المواد ذات المقاومة المعدومة تماماً، التي تسمح بنقل التيار الكهربائي بدون أي ضياع للطاقة.

حسب تعريف الطاقة، نستنتج أن الطاقة  $E$  التي ينتجهما منبع أو الطاقة المستهلكة من قبل مقاومة خلال مدة زمنية  $t$  تساوي:

$$(16.3) \quad E = U \cdot I \cdot t = R \cdot I^2 \cdot t = \frac{U^2}{R} \cdot t$$

وحدة الطاقة هي الجول ( $J$ ).

#### 4/ تذكير بربط النواقل الأولية: (groupement de résistances)

نميز حالتين لربط النواقل الأولية أو المقاومات:

##### 1/ الربط على التسلسل: (groupement en série) (الشكل 7.3)

كل المقاومات  $R_i$  يعبرها نفس التيار الكهربائي  $I$  و ليس لها إلا طرف مشترك واحد مع ثانية قطب آخر. التوتر  $U = U_{AB}$  يساوي مجموع التوترات بين طرفي كل ثانية قطب.



الشكل 7.3 : ربط المقاومات على التسلسل

$$U = U_1 + U_2 + U_3 + \dots + U_n = R \cdot I$$

$$U = R_1 \cdot I + R_2 \cdot I + R_3 \cdot I + \dots + R_n \cdot I = RI$$

و هكذا نحصل على المقاومة المكافئة لمجموع ثانيات القطب الخاملة المرتبطة على التسلسل:

$$(17.3) \quad R = \sum_{i=1}^n R_i$$

##### ب/ الربط على التفرع: (groupement en parallèle) (الشكل 8.3)

هذا الربط يتميز بكون كل ثانيات القطب أطرافها مشتركة مثنى مثنى. التوتر هو نفسه بين طرفي أي من المقاومات  $R_i$ .

التيار الكهربائي المغذي يتفرع على ثانيات القطب بحيث:

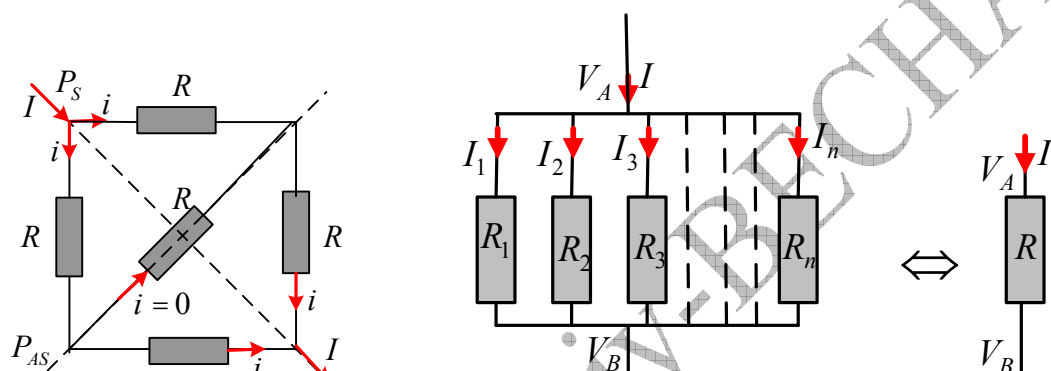
$$I = I_1 + I_2 + I_3 + \dots + I_n$$

$$I = \frac{U}{R} = \frac{U}{R_1} + \frac{U}{R_2} + \frac{U}{R_3} + \dots + \frac{U}{R_n} \Rightarrow \frac{U}{R} = \left[ \frac{1}{R_1} + \frac{1}{R_2} + \frac{1}{R_3} + \dots + \frac{1}{R_n} \right] U$$

و هكذا نحصل على المقاومة المكافئة لمجموع ثانيةات القطب الخاملاة المربوطة على التفرع:

$$(18.3) \quad \frac{1}{R} = \frac{1}{R_1} + \frac{1}{R_2} + \frac{1}{R_3} + \dots + \frac{1}{R_n} \Rightarrow \frac{1}{R} = \sum_{i=1}^n \frac{1}{R_i}$$

المقاومة المكافئة لمقاييس مربوطة على التفرع (أو التوازي) تكون قيمتها أصغر من قيمة أصغر مقاومة من المقايم المتفرعة.



الشكل 8.3 (أ) ربط المقاومات على التفرع

### ج/ تكافؤات مفيدة: (Des équivalences utiles)

► إذا كان، من أجل ناقل أو مي (مقاومة) وفي كل الأحوال،  $i = 0$  (أو  $u = 0$ ) فإنه يمكن استبداله بسلك أو حذفه من الدارة.

► إذا كانت نقطتان في نفس الكمون فإنه يمكن وصلهما بسلك.

► إذا كان يسري في سلك تيار كهربائي معادل فإنه يمكن حذف هذا السلك.

### د/ تمازحران: (symétries) الشكل 3.8-ب-

في بعض الحالات يصبح استعمال التمازحران جيد مفيد ويجنبنا كثير من الحسابات.

$P$ : مستوى تمازحران فیزیائی للشبکة. من وجہة النظر الكهربائیة يمكن لـ  $P$  أن

يكون من نوعین:

$P_S$ : مستوى التمازحران للتیارات و الکمونات.

$P_{AS}$ : مستوى لاتمازحران للتیارات و الکمونات (باعتبار الکمون معادل على المستوى). فرع موضوع على  $P_{AS}$  يجتازه تیار معادل.

لتوضيح هذه القواعد نعتبر كمثال الشكل 8.3(b) أعلاه. كل المقاومات ( $R$ ) متماثلة

مما ينتج عنه عدد من التنازرات  $P_S$  أو  $P_{AS}$ .

التيار  $I$  يتفرق إلى تيارين متماثلين  $i$ . و بالفعل لا يوجد أي سبب يجعل حاملات الشحنة تتسرّب في جهة بأكثر عدد من في الجهة الأخرى. نفس الشيء يحدث حين يخرج التيار  $I$ .

عند تطبيق قانون العقد فإن المقاومة المركزية يجتازها تيار معادل مهما كان التيار  $I$  أو التوتر  $U$  المفروضين على الجزء من الدارة.

حسب قواعد التكافؤات المذكورة أعلاه فإنه يمكننا حذف هذه المقاومة المركزية (دون حذف الفرع). تصبح المقاومة المكافئة تساوي بكل

$$\text{بساطة: } R_{eq} = \frac{R}{2} + \frac{R}{2} = R$$

## B/ عناصر الدارة الكهربائية: (éléments d'un circuit électrique)

كل التطبيقات في الكهرباء تستغل السهولة التي يتم بها تحويل الطاقة الكهربائية من منبع كهربائي إلى جهاز مهما كان (مكواة ، مصباح ، جهاز التلفزيون ....). هذا التحويل يتم بواسطة دارة كهربائية تصل المنبع بالجهاز ، و تسمح بانتقال الإلكترونات. المنابع الكهربائية متعددة: الأعمدة ، البطاريات ، الخلايا الشمسية ، المولدات... في كل هذه الحالات المنابع لها قطبان على الأقل يسود بينهما فرق في الكمون.

### 1/ عناصر و مصطلحات الدارة الكهربائية: (éléments et vocabulaire)

ت تكون الدارة الكهربائية من مجموعة عناصر تسمى ثنائيات قطب موصلة فيما بينها بأسلاك ناقلة، فتشكل بنية مغلقة.

✓ **العقدة:** (noeud) هي نقطة من الدارة حيث تصل ثلاثة أسلاك أو أكثر.

✓ **الفرع:** (branche) هو جزء من دارة محصور بين عقدتين.

✓ **العروة:** (maille) هي مجموعة فروع تشكل حلقة مغلقة.

✓ **ثنائي القطب:** (dipôle) ثبائي القطب ينحصر في دارة كهربائية بواسطة قطبين ، يدخل التيار من أحدهما و يخرج من الثاني. يتميز ثبائي القطب بالاستجابة لفرق في الكمون بين طرفيه، أي المنحنى المميز ( $I = f(U)$ ).

✓ **ثنائي القطب الخامل:** (dipôle passif) يستهلك الطاقة الكهربائية.

✓ **ثنائي القطب النشط:** (dipôle actif) ينتج تياراً كهربائياً.

**✓ ثبائي القطب الخطي:** يكون المنهن المميز له ( $I = f(U)$ ) عبارة

عن مستقيم.

**✓ أسلك التوصيل:** (fils de jonction) نهل مقاوماتها أمام مقاومات ثبائيات قطب أخرى، بحيث تعتبرها متساوية الكمونات.

**✓ الشبكة:** (réseau) هي مجموعة من الدارات الكهربائية.

**أصطلاح:** (convention) في الدراسة العملية لثبائيات القطب يستعمل مصطلحان:

**مصطلاح الآخذة:** التوتر و التيار الكهربائيان موجهان إيجابا و في اتجاهين متعاكسين. الشكل 9.3 (أ).

**مصطلاح المولد:** التوتر و التيار الكهربائيان موجهان إيجابا و في نفس الجهة. الشكل 9.3 (ب).



الشكل 9.3 : مصطلحا الآخذة و المولد

## 2/ ضرورة توفير قوة محركة كهربائية:

يجب على المولد أن يكون قادرا على بذل عمل كهربائي على الشحنات لتمريرها من القطب ذي الكمون المنخفض إلى القطب ذي الكمون العالي. إن عمل المولد يشبه عمل مضخة تضخ الماء من مستوى منخفض إلى مستوى أعلى. بالفعل يمكن فهم ظاهرة التيار الكهربائي بمقارنته مع التيار المائي في نهر:

الماء يجري من منطقة مرتفعة نحو منطقة منخفضة بفضل قوة الجاذبية أي الثقل. لكن إذا أردنا إنشاء دارة مغلقة للماء فلا بد من توفير طاقة ( وجوب استعمال مضخة) لسحب الماء إلى ارتفاع أعلى.

يمكن تعريف القوة المحركة الكهربائية لمنبع كهربائي بأنها العمل المبذول على واحدة الشحنة لنقلها خلال دارة مغلقة. فإذا كان  $dW$  هو العمل المبذول لتمرير شحنة مقدارها  $dq$  خلال الفترة الزمنية الصغيرة  $dt$  في الدارة، فإن القوة المحركة الكهربائية  $e$  تكون :

$$e = \frac{dW}{dq}$$

وبما أن الاستطاعة هي العمل المبذول خلال واحدة الزمن فإن:

$$P = \frac{dW}{dt} \Rightarrow P = e \cdot \frac{dq}{dt}$$

و من هذا نصل إلى العبارة:

$$(19.3) \quad P = eI$$

$$U = V_A - V_B = \int_A^B \vec{E} \cdot d\vec{l} = e$$

في حالة دارة مغلقة: الاستطاعة الكلية المقدمة بين  $A$  و  $B$  من قبل قوة كولومب تساوي:

$$P = U \cdot I = I \int_A^B \vec{E} \cdot d\vec{l} = I(V_A - V_B) = 0$$

أي استطاعة معروفة. وهذا يعني أن الحقل الكهروساكن لا يضمن استمرارية تيار كهربائي في دارة مغلقة.

حين يسري تيار كهربائي في دارة مغلقة، فهذا يدل على أن قوة كولومب ليست المسئولة عن الحركة الإجمالية لحملات الشحنة في الناقل.

هذا ما يحدث تماما في دارة كهربائية، بحيث يجب على قوة أخرى غير القوة الكهروساكنة الكولومبية من تمكين حملات الشحنة صعود الكمون و التغلب عليه. للحصول على تيار كهربائي متواصل في دارة مغلقة لا بد من تغذية الدارة بطاقة. الأجهزة التي تنتج هذه الطاقة تسمى مولدات كهربائية، و يمكن القول على أنها منابع للقوة المحركة الكهربائية ( $e$ ).

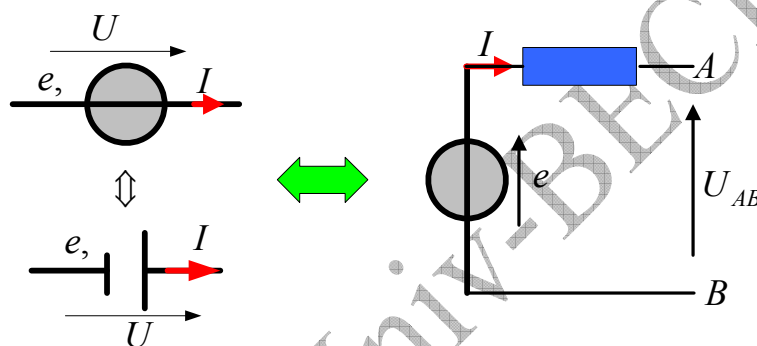
هناك طرق عديدة لإنتاج قوة محركة كهربائية:

- ⇒ البطاريه تحول الطاقة الكيميائيه إلى طاقة كهربائيه ،
- ⇒ مولد كهروساكن يحول الطاقة الميكانيكيه إلى طاقة كهربائيه ،
- ⇒ المولد الكهربائي يحول الطاقة الميكانيكيه إلى طاقة كهربائيه ،
- ⇒ الخلية الشمسية تحول الطاقة الإشعاعية إلى طاقة كهربائيه .

**3/ نوعا المولدات:** (les deux types de générateurs)**أ/ مولدات أو منابع التوتر:** (generateurs ou sources de tension)

منبع التوتر ، أو مولد التوتر ، هو ثنائي قطب يتميز بتوتر ثابت بين طرفيه مهما كانت شدة التيار الذي يجريه. لا نهتم في كل ما يتبع، في هذا الفصل، إلا بمولدات التوتر المستمر. تتميز هذه المولدات بقوة محركة كهربائية ( $e$ ) و مقاومة داخلية ( $r$ ) ضعيفة، و نمثلها كما في الشكل 10.3.

كما يمكن تعويض مولد توتر مماثله ( $e, r$ ) بمنبع توتر مثالي، قوته المحركة الكهربائية  $e$ ، مربوط على التسلسل مع ناقل أومي، مقاومته . الشكل 10.3



الشكل 10.3: تمثيل مولد توتر

القوة المحركة الكهربائية لمولد توتر تساوي فرق الكمون بين طرفيه حين لا يجري أي تيار كهربائي.

$$(20.3) \quad I = 0 \Rightarrow e = U_{AB}$$

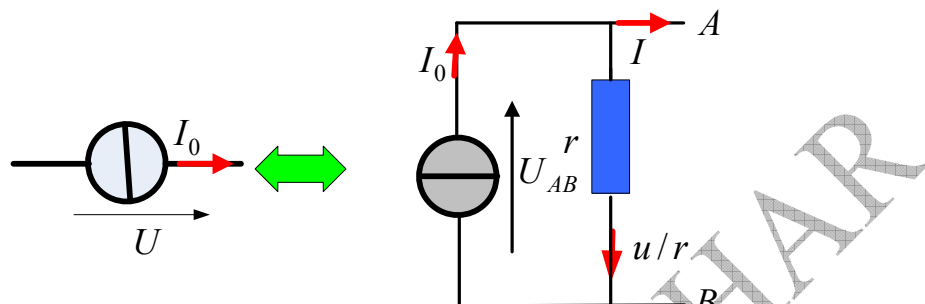
**ب/ مولدات أو منابع التيار:** (generateurs ou sources de courant)

منبع التيار ، أو مولد التيار ، هو ثنائي قطب يتميز بإيجاد تيار ثابت مهما كان فرق الكمون المتغير بين طرفيه. لا نهتم في كل ما يتبع، في هذا الفصل، إلا بمولدات التيار المستمر. يمكن تحقيق مثل هذه المنابع بواسطة أنظمة إلكترونية و يكون التوتر بين طرفي كل منها محدودا بقيمة أعظمية. نمثل مولد التيار كما في الشكل 11.3.

يمكن تعويض مولد تيار بمنبع تيار مثالي، يجري تيارا ثابتا  $I_0$ ، مربوط على التفرع مع ناقل أومي، مقاومته . الشكل 11.3

(21.3)

$$I = I_0 - \frac{u}{r}$$

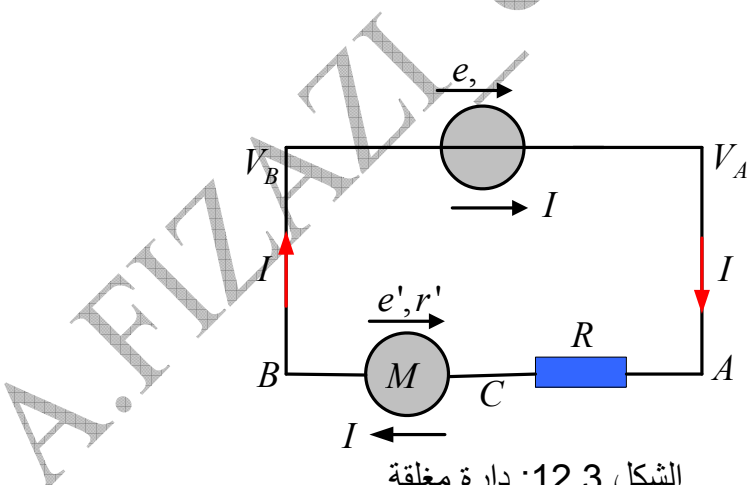


الشكل 11.3: تمثيل مولد تيار

**C/ القوانين المسيرة للدارات الكهربائية:** (lois régissant les circuits électriques):

**1/ معادلة الدارة الكهربائية:** (équation du circuit électrique):

لتكن الدارة الممثلة على الشكل 12.3 و المكونة من مولد، قوته المحركة الكهربائية  $e$  و مقاومته الداخلية ، مقاومة خارجية  $R$ ، و محرك قوته المحركة الكهربائية العكسية  $e'$  و مقاومته الداخلية  $r'$ .



الشكل 12.3: دارة مغلقة

المولد ينتج استطاعة كهربائية :  $P = e.I$

الناقل الأومي ( $R$ ) يحول الطاقة الكهربائية إلى طاقة حرارية مقدارها  $RI^2$ .  
المقاومة الداخلية للمولد هي بدورها تستهلك استطاعة مقدارها  $rI^2$  ( هذا ما يفسر سخونة المولد). في حين يستهلك المحرك  $M$  ( أو آذنة أو مولد مركب على التضاد بشرط أن

تكون  $e - e'$  ) استطاعة  $I(e)$  و التي يحولها إلى طاقة ميكانيكية، و مقاومته الداخلية تستهلك استطاعة تساوى  $I^2 r$  (بسبب وجود نوافل أومية داخل المولد).  
استنادا إلى قانون انحفاظ الطاقة فإن الطاقة المنتجة تساوي الطاقة المستهلكة:

$$eI = e'I + RI^2 + rI^2 + r'I^2$$

و منه فإن شدة التيار الذي يجتاز الدارة تساوى:

$$I = \frac{e - e'}{R + r + r'}$$

و في الحالة العامة إذا رمزا بـ  $R$  للمقاومات الداخلية و بـ  $r$  للمقاومات

$$(22.3) \quad I = \frac{\sum e}{\sum r + \sum R}$$

الخارجية فإن:

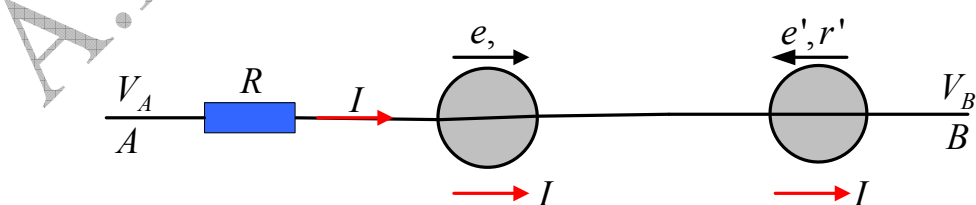
شدة التيار الكهربائي في دارة كهربائية تساوى المجموع الجبri للقوى المحركة الكهربائية مقسومة على مجموع المقاومات. تسمى هذه العلاقة بمعادلة الدارة الكهربائية.

**اصطلاح:** عند تطبيق العلاقة (22.3)، نختار اتجاهها معينا حول الدارة و نعتبره موجبا؛ تكون التيارات و القوى المحركة الكهربائية موجبة إذا كانت في نفس الاتجاه المختار، و تكون سالبة عكس ذلك.

## 2/ فرق الكمون بين نقطتين من دارة (قانون أوم المعم)

(différence de potentiel entre deux points d'un circuit électrique)

يمثل الشكل 13.3 جزءا من دارة كهربائية يجتازها تيار شدته  $I$ ، يجريه منبع غير ظاهر في الشكل، و الذي يزوّد هذا الجزء  $AB$  باستطاعة  $P = UI$  حيث  $U$  يمثل فرق الكمون بين النقطتين  $A$  و  $B$ .



الشكل 13.3 : فرق الكمون بين نقطتين

$R = \sum R_i$  ترمز إلى **المقاومة الكلية** لجزء  $AB$  (نوافل أومية ، أسلاك توصيل ، المقاومات الداخلية للمولدات أو الآخذات....).

$e = \sum e_i$  ترمز إلى **المجموع الجبري** لكل القوى المحركة الكهربائية و القوى المحركة الكهربائية العكسية.

الاستطاعة الناتجة بين النقطتين  $A$  و  $B$  تساوي :

$$UI + (\sum e_i) \cdot I$$

في المقاومات الاستطاعة المستهلكة هي :

$$(\sum R_i) \cdot I^2$$

إذا ساويانا بين الاستطاعتين الناتجة و المستهلكة وفق انحفاظ الطاقة فإن:

$$UI + (\sum e_i) \cdot I = (\sum R_i) \cdot I^2$$

و في الأخير نحصل على ما يسمى بالقانون المعمم لأوم:

$$(23.3) \quad V_A - V_B = U = (\sum R_i) \cdot I - \sum e_i$$

**اصطلاح:** إذا اخترنا الاتجاه من  $A$  نحو  $B$  موجبا، و كانت التيارات و القوى المحركة الكهربائية بنفس الاتجاه فإن إشاراتها تكون موجبة، أما إذا كانت بعكسه فإشاراتها سالبة.

إذا كانت النقطة  $A$  منطبقة على النقطة  $B$  فإن:

$$(24.3) \quad (\sum R) \cdot I - \sum e = 0$$

**فرق الكمون بين طرفي مولد التوتر:**

(différence de potentiel aux bornes d'un générateur de tension)

يمثل الشكل 14.3 مولدا للتوتر باحتماليين:

أ/ اتجاه التيار باتجاه القوة المحركة الكهربائية، أي أن التيار يخرج من القطب الموجب للمولد.

ب/ اتجاه التيار بعكس اتجاه القوة المحركة الكهربائية، أي أن التيار يخرج من القطب السالب للمولد.

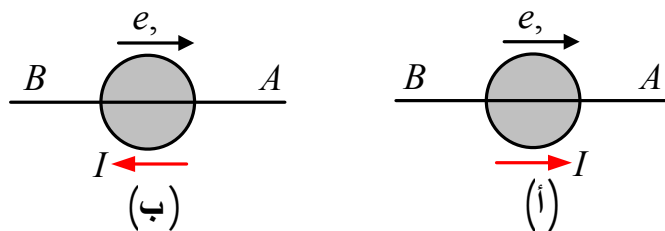
نستخدم على الجزء من الدارة العلاقة العامة:  $U_{AB} = \sum R_i I - \sum e_i$  و نختار الاتجاه الموجب من  $A$  نحو  $B$ :

الشكل 14.3 (أ):  $e$  و  $I$  معاكستان للاتجاه الموجب المختار، إذن هما سالبتان:

$$U_{AB} = \sum R_i I - \sum e_i = -rI - (-e)$$

$$(25.3) \quad U_{AB} = e - rI$$

هذه العبارة تمثل فرق الكمون بين طرفي مولد.



الشكل 14.3: فرق الكمون بين طرفي مولد

الشكل 14.3 (ب):  $e$  تعاكس الاتجاه الموجب المختار ، إذن هي سالبة ، بينما  $I$  يوافق الاتجاه الموجب المختار و عليه فهو موجب:

$$(26.3) \quad U_{AB} = \sum R_i I - \sum e_i = rI - (-e) \quad \boxed{U_{AB} = rI + e}$$

هذه العبارة الأخيرة تتناسب أيضاً فرق الكمون بين طرفي آخذة حيث  $e$  هي قوتها المركبة الكهربائية العكسية. هذا ليس غريباً لأن المولد الذي يدخل التيار من قطبه الموجب يسلك سلوك آخذة.

### 3/ ربط المولدات: (groupement de générateurs)

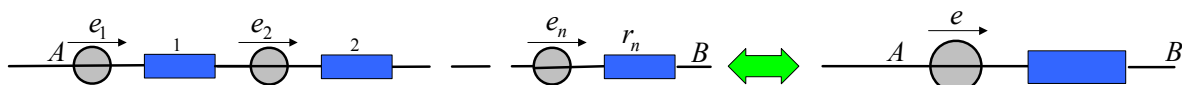
يمكن لدارة كهربائية أن تضم أكثر من مولد.

**أ/ مولدات التوتر:** كل مولد يتميز بقوة محركة كهربائية  $e_i$  و مقاومة داخلية  $r_i$ .

**الربط على التسلسل:** الشكل 15.3

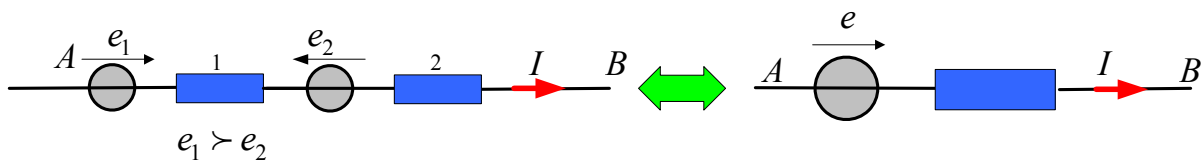
في هذه الحالة القوة المركبة الكهربائية للمولد المكافئ تساوي **المجموع الجيري** للقوى المركبة الكهربائية للمولدات المرتبطة، و مقاومته الداخلية تساوي **المجموع الحسابي** لكل المقاومات الداخلية.

$$(27.3) \quad \boxed{r = \sum_i r_i} \quad \boxed{e = \sum_i e_i}$$



الشكل 15.3: ربط مولدات توتر على التسلسل

### الربط على التضاد: الشكل 16.3



الشكل 16.3: ربط مولدات توتر على التضاد

نعتبر الآخذه (محرك مثلا) كمولد مربوط على التضاد مع المولد الفعلي، و بالعكس المولد المربوط على التضاد يقوم بدور محرك. المولد ذو القوة المحركة الكهربائية الأكبر هو الذي يفرض نفسه كمولد:

$$(28.3) \quad e_1 > e_2 \Rightarrow e = e_1 - e_2$$

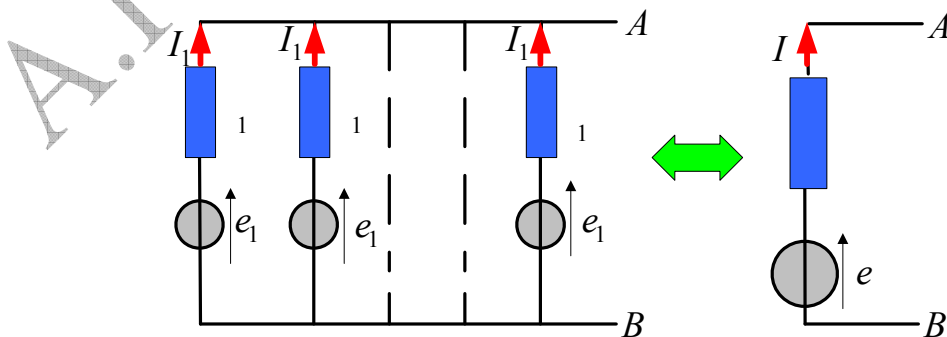
$$(29.3) \quad r = r_1 + r_2$$

### الربط على التفرع: الشكل 17.3

يمنع ربط متبعين للتوتر مختلفي التوتر على التفرع. لا بد أن تكون كل المولدات في هذه الحالة متماثلة.

في هذه الحالة القوة المحركة الكهربائية للمولد المكافئ تساوي القوة المحركة الكهربائية لمولد واحد، و مقلوب مقاومته الداخلية يساوي مجموع المقاومات لكل المقاومات الداخلية.

$$(30.3) \quad \boxed{I = nI_1} \quad \boxed{e = e_1} \quad \boxed{\frac{1}{r} = \sum_i \frac{1}{r_i} = \frac{n}{r_1}}$$

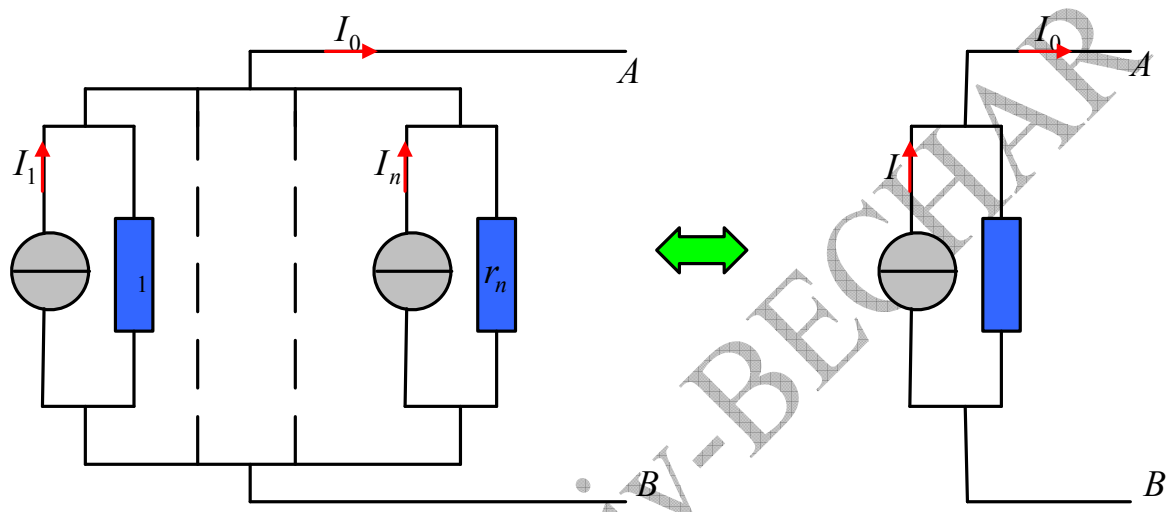


الشكل 17.3: ربط مولدات توتر على التفرع

**ب/ مولدات التيار:****الربط على التفرع:** الشكل 18.3

$$(31.3) \quad \frac{1}{r} = \frac{1}{r_1} + \frac{1}{r_2} + \dots + \frac{1}{r_n}$$

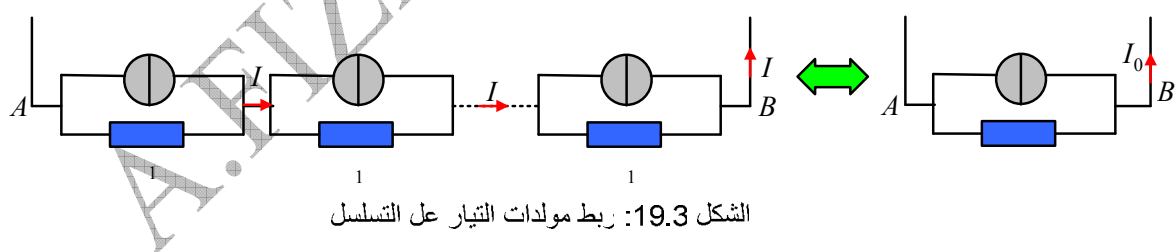
$$I = I_1 + I_2 + \dots + I_n$$



الشكل 18.3: ربط مولدات تيار على التفرع

**الربط على التسلسل:** الشكل 19.3

كل المنشآت يجب أن تكون متماثلة. يمنع ربط منبعثن للتيار بجريان تيارين مختلفي الشدة.



الشكل 19.3: ربط مولدات التيار على التسلسل

$$(32.3) \quad \frac{1}{r} = \frac{1}{r_1} + \frac{1}{r_2} + \dots + \frac{1}{r_n}$$

$$I_0 = I$$

$$V_A - V_B = V_1 + V_2 + \dots + V_n$$

لتوسيع كيفية تطبيق هذه القوانين نورد في ما يلي بعض الأمثلة التطبيقية:

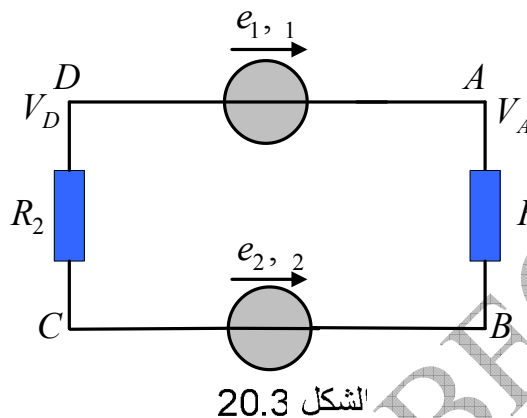
**المثال 2.3:** تعتبر الدارة المبينة على الشكل 20.3

$$e_1 = 12V, r_1 = 0,2\Omega, e_2 = 6V, r_2 = 0,1\Omega, R_1 = 1,4\Omega, R_2 = 2,3\Omega$$

أوجد:

أ/ اتجاه و شدة التيار في الدارة الكهربائية،

ب/ فرق الكمون بين النقطتين A و C.



**الحل:**

أ/ بما أن  $e_1 > e_2$  نستنتج أن اتجاه التيار باتجاه عقارب الساعة.

بما أن المولد الثاني مركب على التضاد مع المولد الأول، فإن قوته المحركة الكهربائية

$$I = \frac{\sum e}{\sum R}$$

$$I = \frac{12 - 6}{0,1 + 0,2 + 1,4 + 2,3} \Rightarrow I = 1,5A$$

ب/ لإيجاد فرق الكمون بين النقطتين A و C نستعمل العلاقة:

$$V_A - V_C = U_{AC} = (\sum R_i) \cdot I - \sum e_i$$

و يتم هذا باختيار أحد المسلكين ABC أو ADC

$$V_A - V_C = U_{AC} = \underbrace{(0,1 + 1,4)}_{\sum R_i \cdot I} \times 1,5 - \underbrace{(-6)}_{\sum e_i} \Rightarrow U_{AC} = 8,25V \quad : ABC$$

$$V_A - V_C = U_{AC} = \underbrace{(0,2 + 2,3)}_{\sum R_i \cdot I} \times -1,5 - \underbrace{(-12)}_{\sum e_i} \Rightarrow U_{AC} = 8,25V \quad : ADC$$

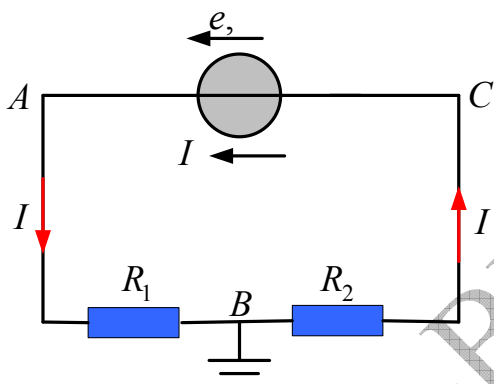
**المثال 3.3:**

إن جميع الدارات الكهربائية المستعملة في حياتنا اليومية ، مثل دارات الأجهزة الإلكترونية ، تحتوي على نقطة واحدة أو عدة نقاط موصولة بالأرض يكون الكمون فيها

صفراء. و ذلك لأن الأرض جسم ناقل كبير جدا لا يتأثر كمونها بتوصيلها بالنواقل المشحونة المعتادة. لذلك يعتبر كمون الأرض صفراء دائما. و كمون أي نقطة أخرى في الدارة يحسب بالنسبة لهذه النقاط و التي تعتبر كمرجع للكمون.

في الدارة المبينة على الشكل 21.3 وصلت النقطة  $B$  بالأرض. المطلوب حساب الكمون في النقطتين  $A$  و  $C$ .

تطبيق عددي:



الشكل 21.3

الحل:

$$I = \frac{\sum e}{\sum}$$

$$I = \frac{10}{5} \Rightarrow I = 2A$$

$$V_{AB} = R_1 \cdot I \Rightarrow V_{AB} = 3 \cdot 2 = 6V \quad : V_{BC} \text{ و } V_{AB}$$

$$V_{BC} = R_2 \cdot I \Rightarrow V_{BC} = 1 \cdot 2 = 2V$$

و بما أن  $V_B = 0$  فإن:

$$V_{BC} = V_B - V_C = 2 \Rightarrow V_C = -2V \quad \text{و} \quad V_{AB} = V_A - V_B = 6 \Rightarrow V_A = 6V$$

يمكنا التأكد من هذه النتيجة بحساب فرق الكمون بين طرفي المولد بالذهب من  $A$  إلى  $C$  عبر المولد:

$$V_A - V_C = U_{AC} = r \cdot I - \sum e_i \Rightarrow V_A - V_C = 1 \cdot (-2) - (-10) \Rightarrow V_A - V_C = 8V$$

**قانون كيرشوف: /4 (lois de Kirchhoff)**

**ا/ احتفاظ الشحنة:** (قانون العقد) (conservation de la charge ou loi des noeuds)

**في عقدة من دارة كهربائية مجموع شدّات التيارات الداخلة يساوي مجموع شدّات التيارات الخارجة:**

$$(33.3) \quad \sum I_s = \sum I_e$$

هذا يعني أن الشحنات لا تترافق ، و تتسرب عند عقدة في الشبكة أي أنها تخضع لقانون احتفاظ الشحنة.

**ب/ احتفاظ الطاقة:** (قانون العروات) (conservation de l'énergie ou loi des mailles)

**في عروة  $k$  من دارة كهربائية، المجموع الحراري لحاصل جداء المقاومة في التيار**

$$\left( \sum_{k=1}^n e_k \right) \text{ يساوي المجموع الحراري للقوى المحركة الكهربائية } \left( \sum_{k=1}^n R_k \cdot I_k \right)$$

$$(34.3) \quad \sum_{k=1}^n e_k = \sum_{k=1}^n R_k \cdot I_k$$

و هذه القاعدة ترجمة لقانون احتفاظ الطاقة و هي مطابقة للعلاقة (24.3):

**نصيحة عملية:** عند استعمال قانوني كيرشوف ينصح إتباع الخطوات التالية:

☞ عند استعمال القانون الأول المجموع الحسابي لشدّات التيارات الداخلة للعقدة يساوي المجموع الحسابي لشدّات التيارات الخارجة منها.

☞ عند استعمال القانون الثاني اختر اتجاهها موجبا حول العروة. إن جميع التيارات والقوى المحركة الكهربائية، إذا كانت في هذا الاتجاه تكون موجبة، و التي بعكسه سالبة. نعتبر اتجاه  $\rightarrow$  موجبا عندما ندخل من القطب السالب للمولد و نخرج من قطب الموجب و سالبا بالعكس.

في حالة الشبكات المعقدة ، من الصعب معرفة عدد المعادلات المستقلة ، لاستنتاج جميع المجاهيل. لذلك ينصح استخدام القاعدتين التاليتين:

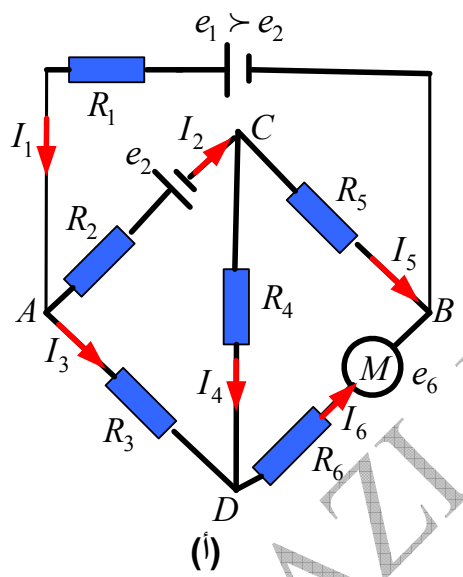
☞ إذا كان عدد العقد في الشبكة الكهربائية يساوي  $m$  ، فقانون العقد ينطبق على  $m-1$  عقدة. و لنا كامل الحرية في اختيار العقد.

☞ افصل الشبكة إلى مكوناتها من العروات المستقلة ، أي لها على الأقل فرع غير مشترك مع عروة أخرى ، و اعتبر كل عروة و كأنها قائمة بذاتها و طبق عليها القانون الثاني لکيرشوف.

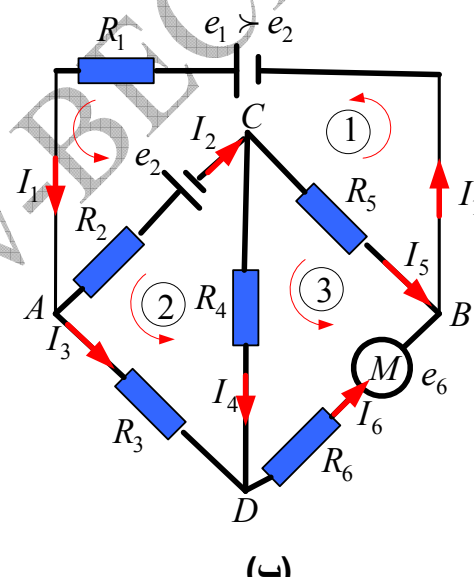
نوضح هذه الخطوات في الأمثلة التالية.

### المثال: 4.3

يمثل الشكل 22.3 (أ) دارة كهربائية مغلقة. نقترح تطبيق قانوني کيرشوف بكتابة المعادلات المناسبة. المقاومات الداخلية للمولدات و كذا للمحرك  $M$  مهملة.



الشكل 22.3



### الحل:

تطبيق القانون الأول: هناك 4 عقد تقابلها 4 معادلات:

$$\text{في العدة } A : I_1 = I_2 + I_3$$

$$\text{في العدة } B : I_1 = I_5 + I_6$$

$$\text{في العدة } C : I_2 = I_5 + I_4$$

$$\text{في العدة } D : I_6 = I_4 + I_3$$

تطبيق القانون الثاني: هناك 3 عروات مستقلة. بعد اختيار الاتجاهات كما هو مبين

على الشكل 23.3 (ب)، يمكن كتابة مختلف المعادلات:

$$e_1 - e_2 = R_1 I_1 + R_2 I_2 + R_5 I_5 : 1 \quad \text{العروة 1}$$

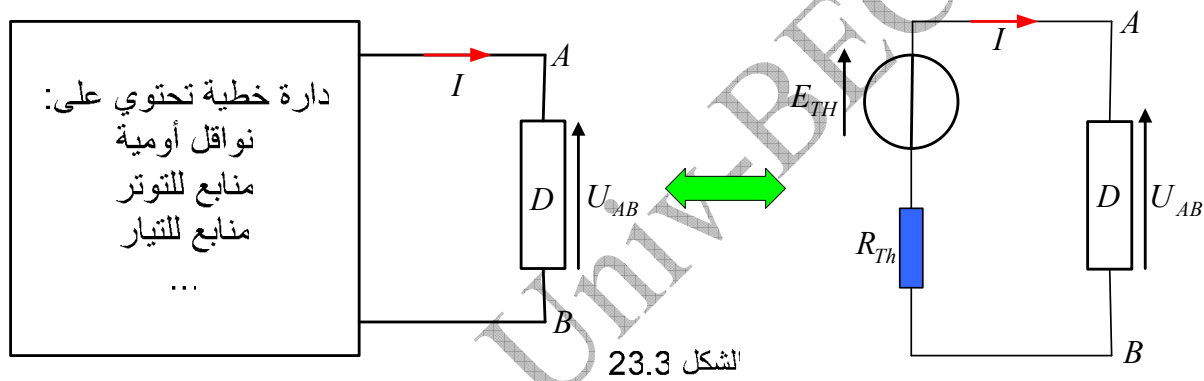
$$e_2 = R_3 I_3 - R_4 I_4 - R_2 I_2 : 2 \quad \text{العروة 2}$$

$$-e_6 = R_6 I_6 + R_4 I_4 - R_5 I_5 : 3 \quad \text{العروة 3}$$

ملاحظة: العروتان  $(e_1 \rightarrow A \rightarrow D \rightarrow B \rightarrow e_1)$  و  $(e_1 \rightarrow C \rightarrow B \rightarrow D \rightarrow A)$  لا فائدة من اعتبارهما لأنهما غير مستقلتين.

### 5/ نظرية تيفنا: (Théorème de Thévenin)

النص: كل شبكة خطية محصورة بين طرفي  $A$  و  $B$ ، مهما كانت معقدة، تكافئ مولداً وحيداً قوته المحركة الكهربائية  $(E_{Th})$  و مقاومته الداخلية  $(R_{Th})$  ، الشكل 23.3



حيث:

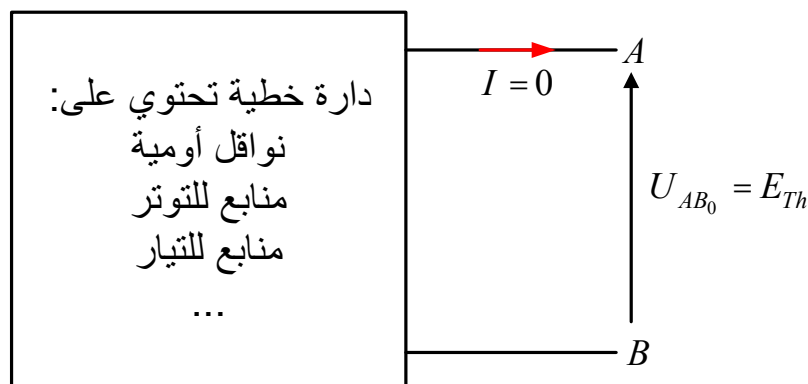
: تمثل القوة المحركة الكهربائية للمولد المكافئ (نسميه مولد تيفنا) و تساوي فرق الكمون الموجود بين الطرفين  $A$  و  $B$  حينما تكون الدارة مفتوحة ، أي التوصيل بين  $A$  و  $B$  مقطوعاً.

: تمثل المقاومة المكافئة للدارة حين ننظر إليها من الطرفين  $A$  و  $B$  (التوصيل بين  $A$  و  $B$  مذوف) و نطبق كل منابع التوتر و التيار الكهربائيين.

#### كيفية حساب مميزي مولد تيفنا:

حساب  $E_{Th}$ : نفتح الدارة بين  $A$  و  $B$  بحذف ثبائي القطب  $D$  ثم نحسب

.24.3  $U_{AB_0} = E_{Th}$  كما في الشكل



الشكل 24.3

**حساب  $R_{Th}$ :** نحذف ثائي القطب  $D$  و نطفئ كل منابع التوتر و التيار و نرسم شكلًا جديداً للدارة لا يحتوي إلا على المقاومات ، ثم نحسب المقاومة المكافئة  $R_{Th}$  لكل الدارة الواقعه بين  $A$  و  $B$ .

**إذا كان ثائي القطب  $D$  عبارة عن مقاومة  $R$  فإن شدة التيار العابر لثائي القطب**

$$I = \frac{E_{Th}}{R + R_{Th}}$$

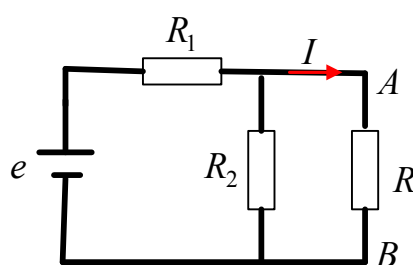
تساوي:

**ملاحظة:** يمكن أن يحتوي الفرع  $AB$  على أكثر من ثائي قطب.

نوضح كيفية تطبيق هذه النظرية في الأمثلة التالية:

### المثال 5.3:

لتكن الدارة المبينة على الشكل 25.3. نقترح إيجاد  $E_{Th}$  ،  $R_{Th}$  ثم استنتاج شدة التيار  $I$  الكهربائي الذي يغذي المقاومة  $R$  و كذا فرق الکمون بين طرفيها.



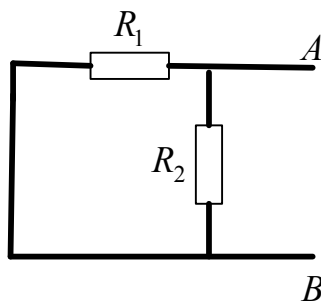
الشكل 25.3

### الحل:

نطفئ منابع التوتر و نحسب المقاومة المكافئة  $R_{Th}$  ، بحذف الفرع  $AB$  ( الشكل 26.3 ):

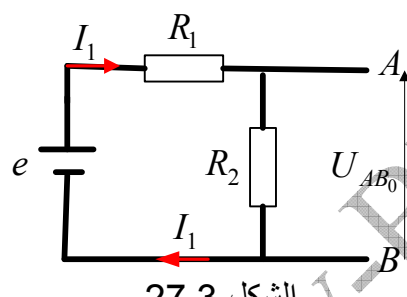
و  $R_2$  مركبتان على التفرع:

$$R_{Th} = \frac{R_1 R_2}{R_1 + R_2}$$



الشكل 26.3

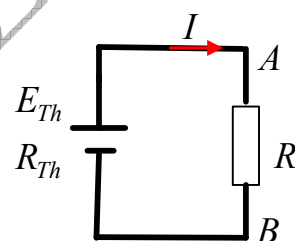
لحساب  $E_{Th}$  نعتبر الدارة مفتوحة و نحذف المقاومة بين  $A$  و  $B$  (الشكل 27.3)



الشكل 27.3

$$\begin{aligned} E_{Th} &= U_{AB_0} = V_A - V_B = e - R_1 I_1 \\ V_A - V_B &= R_2 I_1 \end{aligned} \Rightarrow E_{Th} = U_{AB_0} = R_2 \frac{e}{R_1 + R_2}$$

لحساب شدة التيار  $I$  ، نعتبر مولد تيفنا المكافئ مغذي الفرع  $AB$  (الشكل 28.3)



الشكل 28.3

$$U_{AB} = RI = E_{Th} - R_{Th}I \Rightarrow I = \frac{E_{Th}}{R + R_{Th}}$$

و بتعويض  $R_{Th}$  و  $E_{Th}$  نجد عبارة الشدة:

$$I = \frac{R_2 \cdot e}{R_1 R_2 + R R_1 + R R_2}$$

تعين فرق الكمون بين النقطتين  $A$  و  $B$  :

$$U_{AB} = RI \Rightarrow U_{AB} = \frac{RR_2}{R_1 R_2 + RR_1 + RR_2} e$$

**المثال 6.3:**

بين حرفيا و عدديا أنه يمكن تحويل مولد تيار إلى مولد توتر.

**الحل:**

يبين الشكل 29.3 تركيبين متكافئين، أي أن شدة التيار المنتج في كل من الدارتين هي نفسها و التوتر بين طرفي كل من الدارتين هو نفسه أيضا. النتيجة هي أنه يمكن تحويل مولد للتيار إلى مولد توتر.

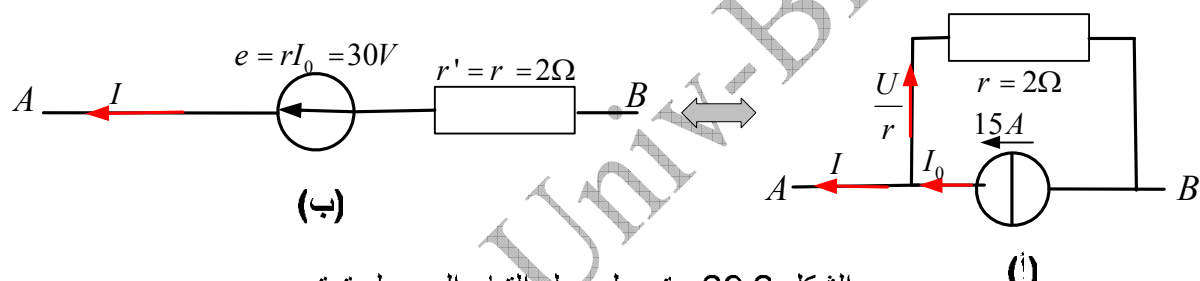
$$\text{من الشكل (أ) يمكن استنتاج: (1)} \rightarrow I = I_0 - \frac{U}{r}$$

$$\text{من الشكل يمكن استنتاج: (2)} \rightarrow U = V_A - V_B = e - r'I \Rightarrow I = \frac{e}{r'} - \frac{U}{r'}$$

بمطابقة المعادلتين (1) و (2) نتوصل إلى مميزي مولد التوتر بدلاًة مميزي مولد التيار:

$$r' = r, \quad r' = 2\Omega$$

$$e = rI_0, \quad e = 2 \times 15 = 30V$$



الشكل 29.3 : تحويل مولد التيار إلى مولد توتر

EXERCICES

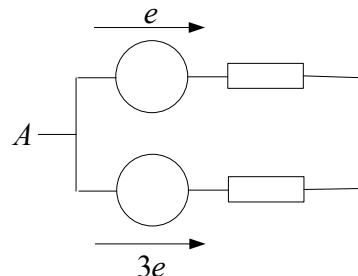
\*\*

تمارينExercice 3.1

Déterminer les paramètres du dipôle équivalent au groupement de générateurs entre les points  $A$  et  $B$ .  
Préciser le sens du courant.

التمرين 1.3

عين مميزتي ثنائي القطب المكافئ لمجموع المولدات  
بين النقطتين  $A$  و  $B$ .  
وضح اتجاه التيار.

Exercice 3.2

Deux résistances  $R_1$  et  $R_2$  sont montées en parallèle avec un générateur idéal dont la tension entre ses bornes est  $U$ .

Montrer que les intensités du courant qui traversent ces résistances sont respectivement :

$$I_1 = I \left( \frac{R_2}{R_1 + R_2} \right) \text{ et } I_2 = I \left( \frac{R_1}{R_1 + R_2} \right)$$

التمرين 2.3

مقاومتان  $R_1$  و  $R_2$  مركبتان على التوازي مع مولد مثلاني حيث التوتر بين قطبيه هو  $U$ .  
بين أن شدتي التيار اللتين تجتازان هاتين المقاومتين  
هما على التوالي :

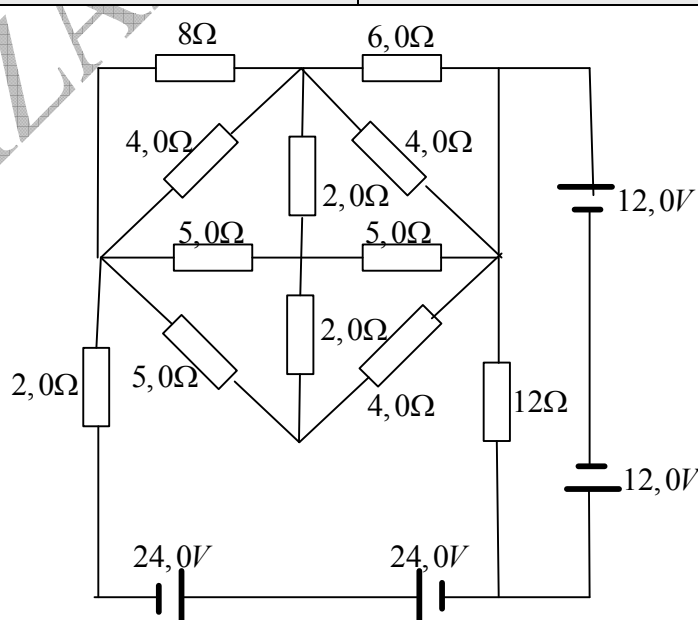
$$I_2 = I \left( \frac{R_1}{R_1 + R_2} \right) \text{ و } I_1 = I \left( \frac{R_2}{R_1 + R_2} \right)$$

Exercice 3.3

Quelle intensité traverse la résistance de  $8\Omega$  dans la figure ci-dessous.

التمرين 3.3

ما هي الشدة التي تجتاز المقاومة  $8\Omega$  في الشكل أسفله؟



**Exercice 3.4**

Calculer la résistance équivalente entre les points  $A$  et  $B$  du montage représenté sur la figure ci-dessous sachant que :

$$R_1 = R_2 = R_3 = R_4 = R_7 = 10\Omega ;$$

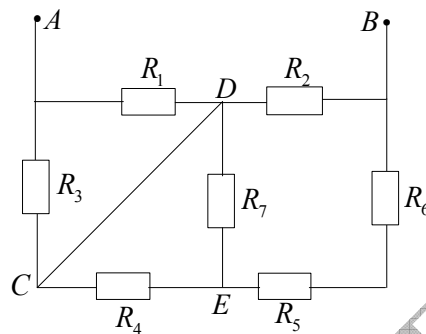
$$R_5 = R_6 = 2,5\Omega$$

**التمرين 4.3**

أحسب المقاومة المكافئة للدارة المبينة على الشكل أسفله بين النقطتين  $A$  و  $B$  علما أن:

$$R_1 = R_2 = R_3 = R_4 = R_7 = 10\Omega ;$$

$$R_5 = R_6 = 2,5\Omega$$

**Exercice 3.5**

Un fil de tungstène de  $1,00mm$  de diamètre transporte un courant d'intensité  $15,0A$ . Déterminer le champ électrique à l'intérieur du fil sachant que la résistivité du tungstène est  $5,5 \cdot 10^{-8} \Omega.m$ .

**التمرين 5.3**  
سلك من التنجستين قطره  $1,00mm$  يحمل تياراً شدته  $15,0A$ . حدد الحقل الكهربائي داخل السلك علماً أن المقاومة النوعية للتنجستين هي  $5,5 \cdot 10^{-8} \Omega.m$ .

**Exercice 3.6**

Le générateur de la figure ci-dessous a une force électromotrice  $e = 9,0V$  et une résistance  $r = 0,50\Omega$ .

- 1/ Calculer l'intensité dans chaque résistance.
- 2/ Quelle est la puissance fournie par le générateur ?
- 3/ Quelle est la différence de potentiel entre  $A$  et  $C$  ?

$$R_1 = R_2 = R_4 = 1,0\Omega , R_3 = 2,0\Omega , R_5 = 6,0\Omega$$

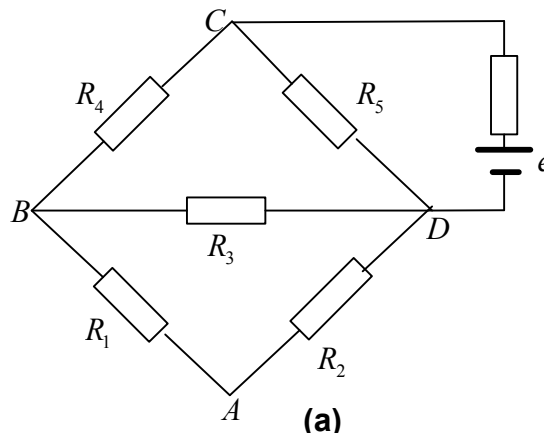
**التمرين 6.3**

لمولد الشكل أسفله قوة محركة كهربائية مقدارها  $e = 9,0V$  و مقاومة داخلية  $r = 0,50\Omega$ .  
أحسب الشدة في كل مقاومة.

/1 ما هي الإستطاعة المنتجة من قبل المولد؟

/2 ما هو فرق الكمون بين  $A$  و  $C$  ؟

$$R_1 = R_2 = R_4 = 1,0\Omega , R_3 = 2,0\Omega , R_5 = 6,0\Omega$$



(a)

**Exercice 3.7**

L'un des dispositifs les plus utiles pour mesurer la température, est le thermomètre à résistance de platine. Un fil d'environ  $2,0\text{m}$  de platine pur de  $0,1\text{mm}$  de diamètre est enroulé en forme de bobine de résistance  $25,5\Omega$  à  $0^\circ\text{C}$ . Sachant que le coefficient thermique de la résistivité du platine est  $0,003927\text{K}^{-1}$ , déterminer la variation de la résistance due à l'augmentation de température de  $1,00^\circ\text{C}$ . Quelle est la température, si la résistance est de  $35,5^\circ\text{C}$  ?

**التمرين 7.3**

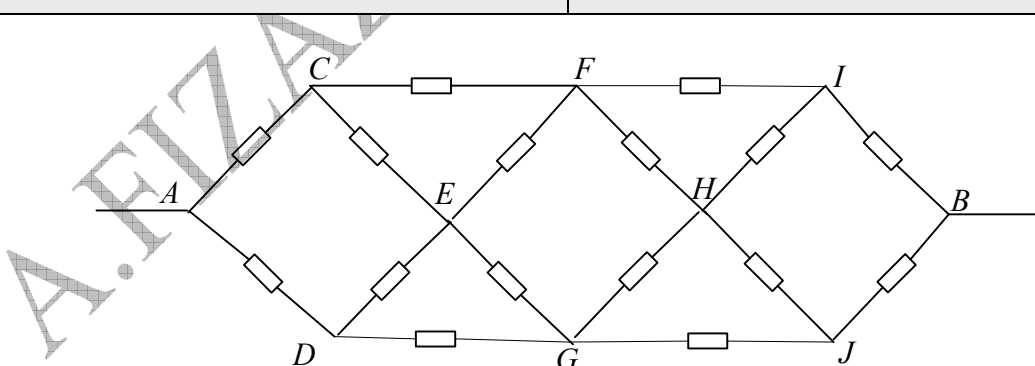
أحد التجهيزات الأكثر فائدة لقياس درجة الحرارة، هو مقياس الحرارة ذي مقاومة من البلاطين. سلك من البلاطين الخالص طوله  $2,0\text{m}$  قطره حوالي  $0,1\text{mm}$  ملفوف على شكل وشيعة مقاومته  $25,5\Omega$  في  $0^\circ\text{C}$ . علماً أن المعامل الحراري لمقاومة البلاطين هو  $0,003927\text{K}^{-1}$  ، حدد تغير المقاومة الناتج عن ارتفاع درجة الحرارة بـ  $1,00^\circ\text{C}$  . ما هي درجة الحرارة إذا كانت المقاومة  $35,5^\circ\text{C}$  ؟

**Exercice 3.8**

Dans la figure ci-dessous chaque branche contient une résistance  $r = 1\Omega$  . Calculer la résistance équivalente entre  $A$  et  $B$  .

**التمرين 8.3**

في الشكل أسفله كل فرع يحتوي على مقاومة  $r = 1\Omega$  . أحسب المقاومة المكافئة بين  $A$  و  $B$  .

**Exercice 3.9**

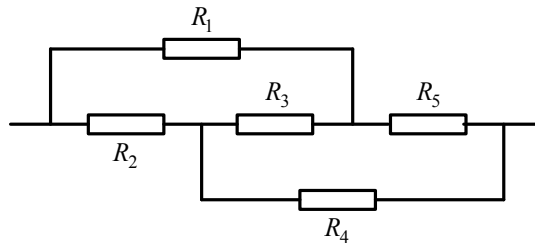
En utilisant les lois de Kirchhoff, trouver la résistance équivalente entre les bornes du groupe de résistances représenté dans la figure ci-dessous.

$$R_2 = R_3 = R_5 = 6\Omega \quad , \quad R_1 = R_4 = 12\Omega$$

**التمرين 9.3**

باستعمال قانوني كيرشوف، أوجد المقاومة المكافئة بين قطبي مجموعة المقاومات الممثلة في الشكل أسفله.

$$R_1 = R_4 = 12\Omega \quad , \quad R_2 = R_3 = R_5 = 6\Omega$$

**Exercice 3.10**

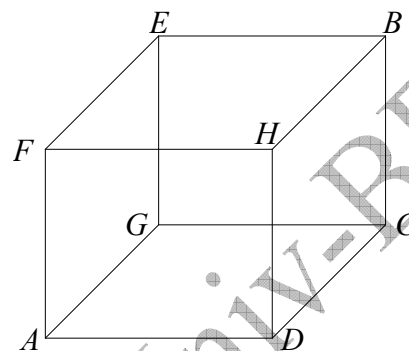
On considère un réseau électrique de forme cubique qui peut être alimenté de trois manières : entre  $A$  et  $B$ , entre  $A$  et  $C$ , entre  $A$  et  $D$ .

Déterminer dans chaque cas la résistance équivalente de ce réseau sachant que la résistance d'un côté est .

**التمرين 10.3**

نعتبر شبكة كهربائية ذات شكل تكعيبى و التي يمكن تغذيتها بطرق ثلاثة: بين  $A$  و  $B$ ، بين  $A$  و  $C$ ، بين  $A$  و  $D$ .

عين من أجل كل حالة المقاومة المكافئة لهذه الشبكة علما أن مقاومة كل ضلع هي .

**Exercice 3.11**

On réalise le montage indiqué sur la figure ci-dessous. Le condensateur est initialement déchargé.

On donne :

$$E = 15V, R_1 = 50k\Omega,$$

$$R_2 = R_3 = 100k\Omega, C = 20\mu F$$

1/ Déterminer les éléments  $E_{Th}$  et  $R_{Th}$  du modèle de Thévenin équivalent du dipôle actif linéaire situé à gauche des bornes  $A$  et  $B$ , l'interrupteur  $K$  étant ouvert.

2/ Calculer :

a/ l'intensité  $I$  du courant à la fermeture de  $K$ .

b/ l'énergie du condensateur une fois sa charge terminée.

c/ la durée approximative nécessaire pour la charge complète du condensateur.

**التمرين 11.3:**

نحقق التركيب المبين على الشكل في الأسفل. المكثفة فارغة في البداية. نعطي:

$$E = 15V, R_1 = 50k\Omega,$$

$$R_2 = R_3 = 100k\Omega, C = 20\mu F$$

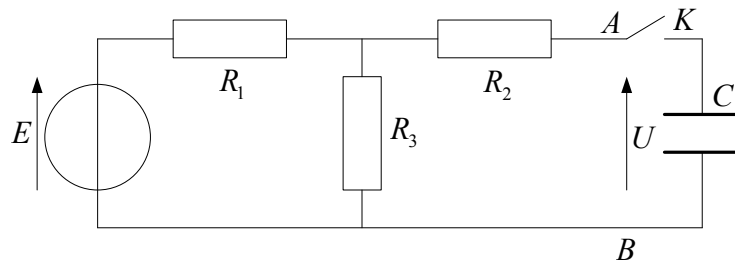
/1 عين العنصرين  $E_{Th}$  و  $R_{Th}$  لنموذج تيفنا المكافئ لثاني القطب الخطي النشط الواقع على يسار الترفين  $A$  و  $B$  حين تكون القاطعة  $K$  مفتوحة.

/2 أحسب

أ/ الشدة  $I$  للتيار عند غلق القاطعة  $K$  ،

ب/ طاقة المكثفة حين يتم شحنها،

ج/ المدة الزمنية التقريرية اللازمة لشحن المكثفة تماما.

**Exercice 3.12**

Un générateur, de f.e.m.  $e = 70,0V$  et de résistance interne  $r = 1,00\Omega$ , est connecté à un moteur, de f.e.m.  $e'$  et de résistance interne  $r'$ , en série avec un conducteur ohmique de résistance  $R = 10,0\Omega$  plongeant dans un calorimètre.

1/ Déterminer en fonction de  $e', r'$  et de l'intensité  $I$  du courant qui traverse le moteur la puissance totale  $P_T$  dissipée par le moteur ainsi que la puissance  $P_J$  dissipée par effet Joule par ce dernier. En déduire l'expression de la puissance  $P_M$  convertie en puissance mécanique. (On orientera la f.e.m.  $e'$  dans le sens opposé à celui du courant  $I$ ).

2/ a) Le moteur est bloqué, la puissance électrique convertie en puissance mécanique est nulle. On mesure un transfert thermique, au niveau du calorimètre,  $Q_1 = 15,00kJ$  en une minute. Calculer l'intensité  $I_1$  du courant dans ce cas et la f.e.m.  $e'$ . En déduire  $r'$ .

b) Le moteur fonctionne. Le transfert thermique n'est plus que de  $Q_2 = 1,50kJ$  en une minute. Calculer l'intensité  $I_2$  du courant et  $e''$ , nouvelle valeur de la f.e.m. du moteur.

3. On enlève le conducteur ohmique de résistance  $R$  et le moteur fonctionne.

a) Exprimer le rendement  $\eta$  du moteur, rapport de la puissance utile pour le moteur sur la puissance reçue par celui-ci.

b) Le moteur est connecté au générateur précédent. Déterminer le point de fonctionnement du circuit, c'est à dire :

intensité  $I$  du courant qui traverse le moteur et tension  $U$  aux bornes de ce dernier.

c) Calculer le rendement  $\eta$ .

**التمرين 12.3**

مولد قوته المحركة الكهربائية  $e = 70,0V$  و مقاومته الداخلية  $r = 1,00\Omega$  ، يوصل بمحرك، قوته المحركة الكهربائية  $e'$  و مقاومته الداخلية  $r'$ ، على التسلسل مع ناقل أومي مقاومته  $R = 10,0\Omega$  مغمور في مسurer (جهاز لقياس كمية الحرارة).

1/ حدد بدلالة  $e', r'$  والشدة  $I$  للتيار الذي يجتاز المحرك، الاستطاعة الكلية  $P_T$  المبددة من قبل المحرك و هذا الاستطاعة  $P_J$  المبددة بفعل جول من قبل هذا الأخير. يستنتج عبارة الاستطاعة  $P_M$  المحولة إلى استطاعة ميكانيكية. (وجه القوة المحركة الكهربائية  $e'$  في الاتجاه المعاكس لجهة التيار  $I$ ).

2/ أ) نمنع المحرك من الدوران، الاستطاعة الكهربائية المحولة إلى استطاعة ميكانيكية معروفة. نقيس تحويل حراري، على مستوى المسurer  $Q_1 = 15,00kJ$  في الدقيقة الواحدة. أحسب الشدة  $I_1$  للتيار في هذه الحالة و القوة المحركة الكهربائية  $e'$  . يستنتج  $r'$  .

ب) الآن المحرك يشتغل (يدور). التحويل الحراري هو  $Q_2 = 1,50kJ$  فقط في الدقيقة الواحدة. أحسب الشدة  $I_2$  للتيار و القيمة الجديدة  $e''$  للقوة المحركة الكهربائية للمحرك.

3/ ننزع الناقل أومي ذي المقاومة  $R$  و نبقى المحرك يشتغل.

أ) عبر عن المردود  $\eta$  للمحرك، أي النسبة بين الاستطاعة الفعلية للمحرك و الاستطاعة التي يتلقاها هو نفسه.

ب) يربط المحرك بالمولد السابق. عين نقطة اشتغال الدارة أي: الشدة  $I$  للتيار الذي يجتاز المولد و التوتر  $U$  بين طرفي هذا الأخير.

ج) أحسب المردود  $\eta$  .

**Exercice 3.13**

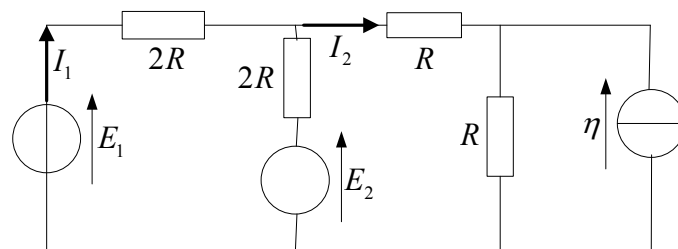
En utilisant les lois de Kirchhoff déterminer les courants  $I_1$  et  $I_2$  pour le réseau représenté sur la

**التمرين 13.3**

باستعمال قانوني كيرشوف عين التيارين  $I_1$  و  $I_2$  في

figure ci-dessous.

الشبكة الممثلة على الشكل أسفله.

**Exercice 3.14**

Calculer les caractéristiques  $E_{Th}$  et  $R_{Th}$  du générateur de Thévenin correspondant au circuit représenté sur la figure ci-dessous, en déduire ensuite l'intensité  $I$  du courant qui passe dans le conducteur ohmique  $R$ .

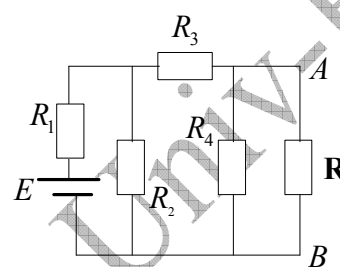
Application numérique :

$$\begin{aligned} R_1 &= 5\Omega ; R_2 = 2\Omega ; R_3 = 4\Omega ; \\ R_4 &= 10\Omega ; R = 5\Omega ; E = 20V \end{aligned}$$

**تمرين 14.3**

أحسب المميزتين  $E_{Th}$  و  $R_{Th}$  لمولد "تيفنا" المناسب للدارة الممثلة في الشكل أسفله ، ثم استنتاج شدة التيار  $I$  المار في الناقل الأومي  $R$ .  
تطبيق عددي :

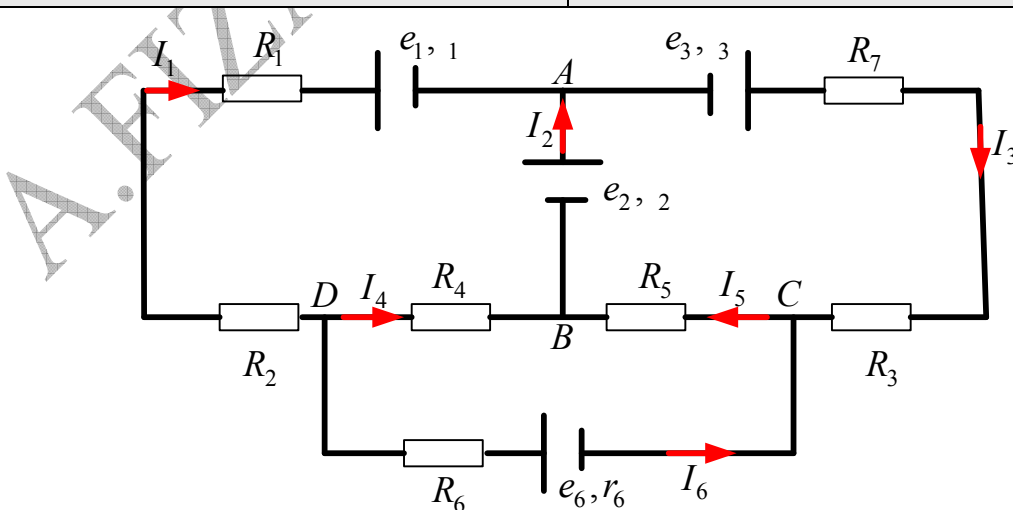
$$\begin{aligned} R_1 &= 5\Omega ; R_2 = 2\Omega ; R_3 = 4\Omega ; \\ R_4 &= 10\Omega ; R = 5\Omega ; E = 20V \end{aligned}$$

**Exercice 3.15**

Soit le circuit représenté sur la figure ci-dessous. En appliquant les deux lois de Kirchhoff écrire toutes les équations correspondant aux nœuds et aux mailles.

**التمرين 15.3**

لتكن الدارة المبينة على الشكل في الأسفل. بتطبيق قانوني كيرشوف أكتب كل المعادلات المناسبة للعقد والعروات.

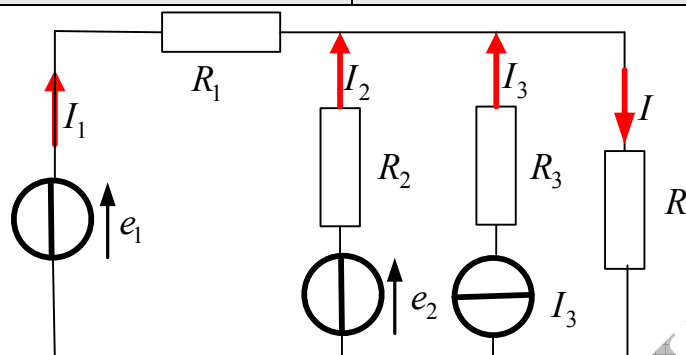
**Exercice 3.16**

Soit le circuit représenté sur la figure ci-dessous.

**التمرين 16.3**

Ecrire toutes les équations en appliquant les lois de Kirchhoff. En déduire l'expression de l'intensité  $I$  en fonction de  $e_1, e_2, R_1, R_2, R_3, R, I_3$ . Quelle est la tension  $(U_3)$  entre les bornes du générateur ?

لتكن الدارة المبينة على الشكل في الأسفل.  
أكتب كل المعادلات بتطبيق قانوني كيرشوف. استنتاج عبارة الشدة  $I$  بدلالة  $I_3$  بدلالة  $e_1, e_2, R_1, R_2, R_3, R, I_3$ . كم هو التوتر  $(U_3)$  بين طرفي المولد؟

**Exercice 3.17**

Le schéma ci-dessous représente un circuit appelé pont de Wheatstone. On demande de calculer les deux caractéristiques du générateur de Thévenin  $R_{Th}$  et  $E_{Th}$ , puis d'en déduire l'intensité  $I$  du courant électrique qui alimente la résistance ainsi que la différence de potentiel  $U_{AB}$  entre ses bornes.

Application numérique :

$$e = 24V, R_1 = R_4 = 10k\Omega$$

$$R_2 = 33k\Omega, R_3 = 27k\Omega, r = 2k\Omega$$

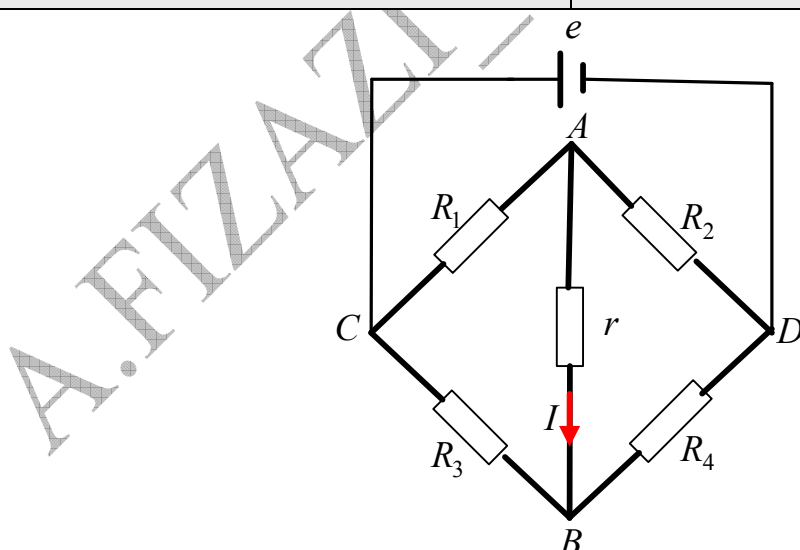
**التمرين 17.3**

يمثل الشكل في الأسفل دارة تعرف باسم جسر وسطون. المطلوب حساب مميزتي مولد تيفنا  $R_{Th}$  ثم استنتاج الشدة  $I$  للتيار الكهربائي الذي يغذي المقاومة و كذا فرق الكمون  $U_{AB}$  بين طرفيها.

تطبيق عددي:

$$e = 24V, R_1 = R_4 = 10k\Omega$$

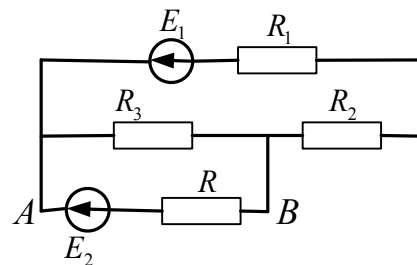
$$R_2 = 33k\Omega, R_3 = 27k\Omega, r = 2k\Omega$$

**Exercice 3.18**

Déterminer littéralement l'intensité du courant qui traverse la branche  $AB$  (figure ci-dessous) en fonction de  $E_1, E_2, R_1, R_2, R_3, R$ .

**التمرين 18.3**

عين حرفيًا شدة التيار العابر لفرع  $AB$  (الشكل في الأسفل) بدلالة  $E_1, E_2, R_1, R_2, R_3, R$ .

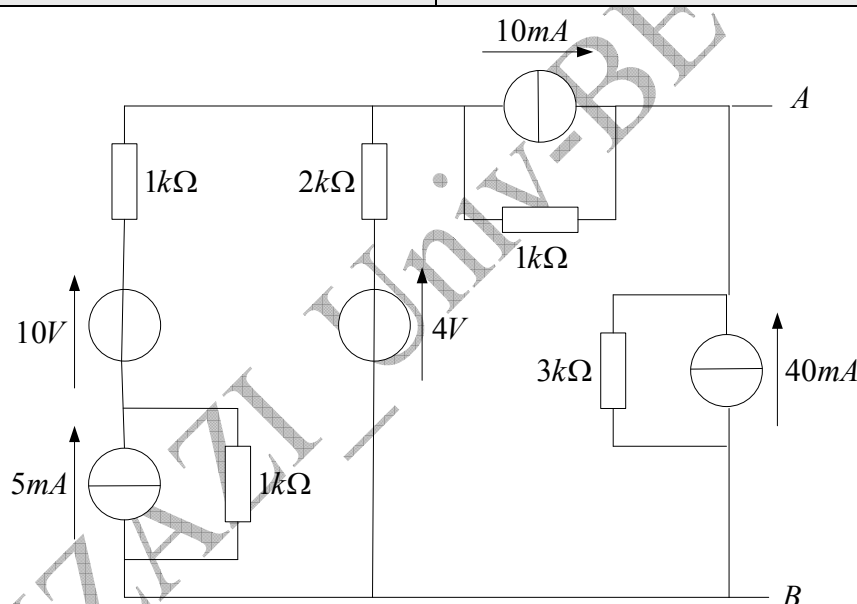
**Exercice 3.19**

Soit le montage indiqué sur la figure ci-dessous.  
En procédant par schémas équivalents, déterminer les caractéristiques du générateur de Thévenin équivalent au circuit entre les points  $A$  et  $B$ .

On branche une résistance  $R = 4k\Omega$  entre  $A$  et  $B$ . Calculer le courant  $I_0$  qui circule dans cette résistance.

**التمرين 19.3**

ليكن التركيب المبين على الشكل في الأسفل.  
باستعمال الأشكال المتكافئة، عين مميزتي مولد تيغنا المناسب للدارة بين  $A$  و  $B$ .  
نربط مقاومة  $R = 4k\Omega$  بين  $A$  و  $B$ . أحسب الشدة  $I_0$  للتيار الذي يجتاز هذه المقاومة.

**Exercice 3.20**

Un circuit est formé par deux mailles carrées  $ABCD$  et  $EFGH$ , la première entourant la seconde. Chaque côté de ces mailles a une résistance  $r = 1,0k\Omega$  et les deux sommets  $E$  et  $A$  sont connectés par une résistance d'également  $r = 1,0k\Omega$ . Une force électromotrice  $e = 12V$  est branchée entre  $G$  et  $C$ .

1/ Simplifier ce circuit et déterminer la résistance équivalente entre  $G$  et  $C$ .

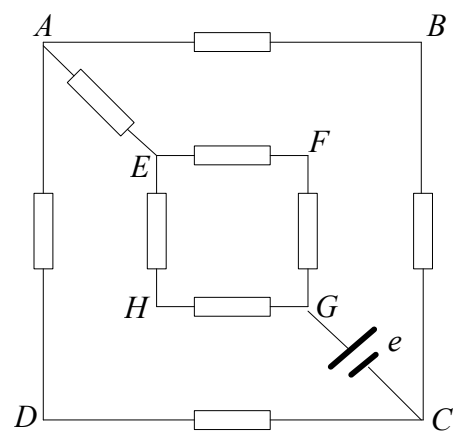
2/ Quelle est l'intensité débitée par le générateur?

3/ Quelle est la différence de potentiel entre les points  $C$  et  $A$ ?

**التمرين 20.3**

ت تكون دارة من عروتين مربعتين  $ABCD$  و  $EFGH$  الأولى تحيط بالثانية. كل ضلع لهاتين العروتين له مقاومة  $r = 1,0k\Omega$  و القمطان  $A$  و  $E$  موصلتان بواسطة مقاومة قيمتها كذلك  $r = 1,0k\Omega$ . تربط قوة محركة كهربائية مقدارها  $e = 12V$  بين  $G$  و  $C$ .  
1/ بسط هذه الدارة و حدد المقاومة المكافئة بين  $G$  و  $C$ .

2/ ما هي الشدة التي يجريها المولد?  
3/ ما هو فرق الكمون بين النقطتين  $C$  و  $A$ ?



A.FIZAZI - Univ.BECHAR

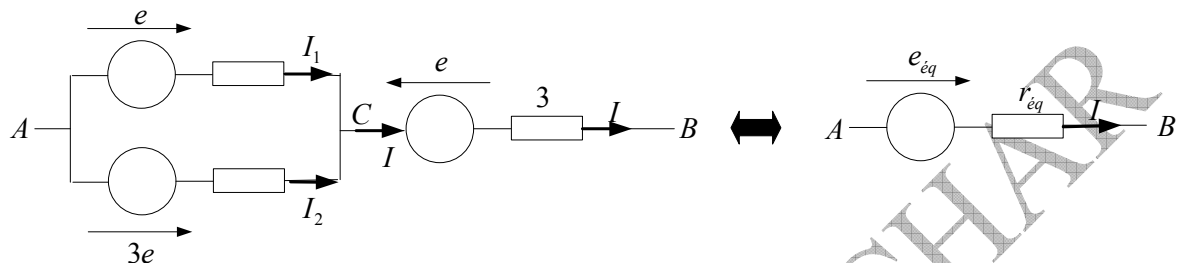
Solution des exercices 3.1 à 3.20:حلول التمارين من 1.3 إلى 20.3التمرين 1.3

نلاحظ من الشكل أسفله أن:

بافتراض أن التيار يسري من النقطة A نحو النقطة B فإن:

$$I = I_1 + I_2$$

يمكن حساب فرق الكمون بين النقطتين A و B بإتباع مسلكين مختلفين:



$$U_{AB} = (rI_1 - e) + (3rI + e) \rightarrow (1)$$

$$U_{AB} = (rI_2 - 3e) + (3rI + e) \rightarrow (2)$$

نجم المعادلتين (1) و (2) فنحصل على:

$$2U_{AB} = r(I_1 + I_2) - 4e + 6rI + 2e$$

$$2U_{AB} = rI - 4e + 6rI + 2e$$

$$2U_{AB} = -2e + 7rI \rightarrow (3)$$

فرق الكمون بين طرفي التركيب المكافئ هو:

$$U_{AB} = e_{eq} + r_{eq}I \rightarrow (4)$$

بمطابقة المعادلتين (3) و (4) نحصل على:

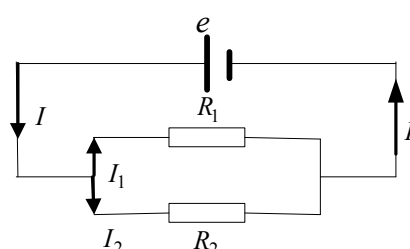
$$e_{eq} = -2e$$

$$r_{eq} = \frac{7}{2}r$$

نظراً لإشارة القوة المحركة الكهربائية المكافئة  $e_{eq}$  فإن الإتجاه الفعلي للتيار الكهربائي هو من النقطة B نحو النقطة A.

التمرين 2.3

حسب الشكل المرافق فإن الشدة الرئيسية  $I$  التي يجريها المولد، ذي القوة المحركة الكهربائية  $e$ ، تتوزع



على المقاومتين بحيث:

$$e = R_1 I_1 = R_2 I_2$$

$$\text{وبما أن: } I = I_1 + I_2$$

يمكن أن نحسب كل من الشدتين الفرعيتين :

$$\left. \begin{array}{l} I_2 = I - I_1 \\ R_1 I_1 = R_2 I_2 \end{array} \right| \Rightarrow R_1 I_1 = R_2 (I - I_1) \Rightarrow I_1 = I \frac{R_2}{R_1 + R_2}$$

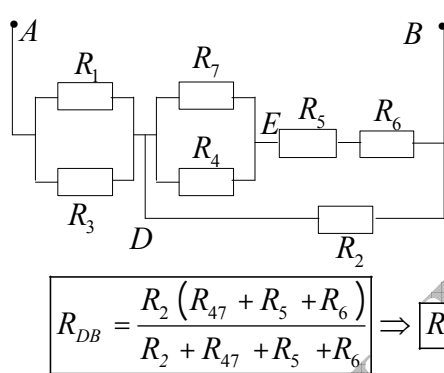
$$\left. \begin{array}{l} I_1 = I - I_2 \\ R_1 I_1 = R_2 I_2 \end{array} \right| \Rightarrow R_1 (I - I_2) = R_2 I_2 \Rightarrow I_2 = I \frac{R_1}{R_1 + R_2}$$

**التمرين 3.3:**

لو ركّزت على الشكل لأجبت بدون حسابات أن الشدة معدومة في كل فروع الدارة لأن المولدات تتعدّم مثلي و ذلك لأنها مركبة على التضاد مثلي و قواها المحركة الكهربائية تتعدّم مثلي مثلي.

**التمرين 4.3:**

يكفي أن نميز بين المقاومات المرتبطة على التسلسل و تلك المرتبطة على التفرع كما يبيّنه الشكل المرافق. و عليه:



$$R_{eq} = R_{AB} = (R_1 \parallel R_3) + R_2 \parallel [(R_4 \parallel R_7) + R_5 + R_6]$$

$$R_{AD} = R_{13} = \frac{R_1 R_3}{R_1 + R_3} \Rightarrow R_{13} = 5\Omega$$

$$R_{DE} = R_{47} = \frac{R_7 R_4}{R_7 + R_4} \Rightarrow R_{47} = 5\Omega$$

$$R_{DB} = \frac{R_2 (R_{47} + R_5 + R_6)}{R_2 + R_{47} + R_5 + R_6} \Rightarrow R_{DB} = 5\Omega ; R_{eq} = R_{AD} + R_{DB} \Rightarrow R_{eq} = R_{AB} = 10\Omega$$

**التمرين 5.3:**

نعرف العلاقة بين كثافة التيار و الناقلية و الحقل الكهربائي:

$$J = \sigma E$$

و بما أن كثافة التيار هي:

$$J = \frac{I}{S}$$

إذن:

$$E = \frac{I}{\sigma S}$$

و بما أن الناقلية هي مقلوب المقاومية فإنه يمكن كتابة:

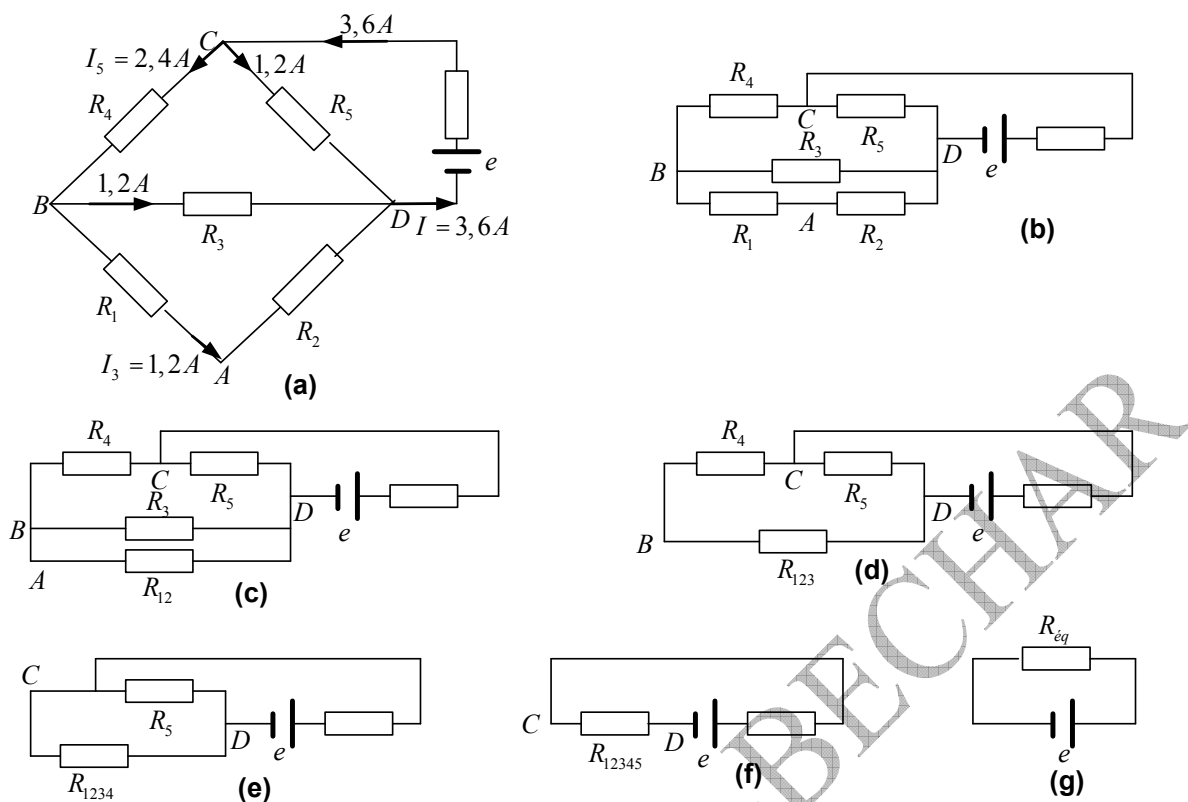
$$E = \rho \cdot \frac{I}{S} = \rho \frac{I}{\pi r^2}$$

تطبيق عددي:

$$E = 5,5 \cdot 10^{-8} \cdot \frac{15,0}{3,14 \cdot 0,25 \cdot 10^{-6}} \Rightarrow E = 1,05 Vm^{-1}$$

**التمرين 6.3:**

كل الأشكال الممثلة في الأسفل مكافئة للشكل المعطى في النص.



من الشكل (b) نستنتج المقاومة المكافئة للمقاومتين  $R_1$  و  $R_2$  المربوطتين على التسلسل:

$$R_{12} = R_1 + R_2 \rightarrow R_{12} = 2,0\Omega$$

من الشكل (c) نستنتج المقاومة المكافئة للمقاومتين  $R_{12}$  و  $R_3$  المربوطتين على التفرع:

$$\frac{1}{R_{123}} = \frac{1}{R_{12}} + \frac{1}{R_3} \Rightarrow R_{123} = \frac{R_{12} \cdot R_3}{R_1 + R_2} \rightarrow R_{123} = 2,0\Omega$$

من الشكل (d) نستنتج المقاومة المكافئة للمقاومتين  $R_{123}$  و  $R_4$  المربوطتين على التسلسل:

$$R_{1234} = R_{123} + R_4 \rightarrow R_{1234} = 3,0\Omega$$

من الشكل (e) نستنتج المقاومة المكافئة للمقاومتين  $R_{1234}$  و  $R_5$  المربوطتين على التفرع:

$$\frac{1}{R_{12345}} = \frac{1}{R_{1234}} + \frac{1}{R_5} \Rightarrow R_{12345} = \frac{R_{1234} \cdot R_5}{R_{1234} + R_5} \rightarrow R_{12345} = 2,0\Omega$$

من الشكل (f) نستنتج المقاومة المكافئة للمقاومتين  $R_{12345}$  و المقاومة الداخلية للمولد و المربوطتين على التسلسل:

$$R_{eq} = R_{12345} + r \rightarrow R_{eq} = 2,5\Omega$$

من الشكل (g) يمكننا الآن حساب الشدة الرئيسية التي يجريها المولد في الدارة:

$$I = \frac{e}{R_{eq}} \rightarrow I = 3,6A$$

انطلاقاً من هذه النتيجة و من الشكل (g) المناسب لها و مروراً بالأشكال من (f) و حتى (a) بالترتيب نحصل على مختلف الشدّات في كل فرع من فروع الدارة:

في الشكل (f) :  $I = 3,6A$

في الشكل (e) :

$$U_{CD} = R_5 \cdot I_5 = -rI + e \Rightarrow I_5 = \frac{rI + e}{R_5}$$

$$I_5 = \frac{-0,5 \cdot 3,6 + 9}{6} \rightarrow I_5 = 1,2 A$$

أما عبر المقاومة  $R_{1234}$  أي عبر  $R_4$  فالشدة هي:  $I_4 = I - I_5 \rightarrow I_4 = 2,4 A$   
في الشكل (c) : الشدة عبر  $R_{12}$  تساوي الشدة عبر  $R_5$  بما أن المقاومتين متساويتان:

$$I_3 = \frac{2,4}{2} \rightarrow I_3 = 1,2 A$$

في الشكل (a) مثنا قيم و جهات مختلف الشدات.

الإستطاعة المنتجة من قبل المولد هي:  $2$

$$P = R_{eq} \cdot I^2 = eI \rightarrow P = 32,4 W$$

/3 فرق الكمون بين  $A$  و  $C$  : يمكن حسابه بالتتابع أي فرع كان. بالتتابع مثلا الفرع  $ADeC$  فإن فرق الكمون المطلوب هو:

$$U_{AC} = R_2 I_3 + rI - e$$

$$U_{AC} = (1,1,2) + (0,5 \cdot 3,6 - 9) \rightarrow U_{AC} = -5 V$$

### التمرين 7.3

بما أن  $\rho = \rho_0 [1 + \alpha(T - T_0)]$

ينتج عن هذا  $R = R_0 [1 + \alpha(T - T_0)]$

المطلوب هو تحديد تغير المقاومة  $R - R_0$  من أجل تغير في درجة الحرارة  $T - T_0$  قدره  $1,00^\circ C$  و عليه:

$$R - R_0 = R_0 \alpha (T - T_0) \Leftrightarrow \Delta R = R_0 \alpha \Delta T$$

$$\Delta R = 25,5 \cdot 0,003927 \cdot 1,00 \Rightarrow \Delta R = 0,001 \Omega$$

هذا يعني أن المقاومة تزداد بـ  $0,001 \Omega$  كل ما ارتفعت درجة الحرارة بـ  $1 K$  أو  $1^\circ C$ .  
إذا أصبحت المقاومة  $35,5 \Omega$  فإن درجة الحرارة المناسبة تكون قد بلغت:

$$\Delta T = \frac{\Delta R}{R_0 \alpha}$$

$$\Delta T = \frac{35,5 - 25,5}{25,5 \cdot 0,003927} \Rightarrow \Delta T \approx 100^\circ C$$

### التمرين 8.3

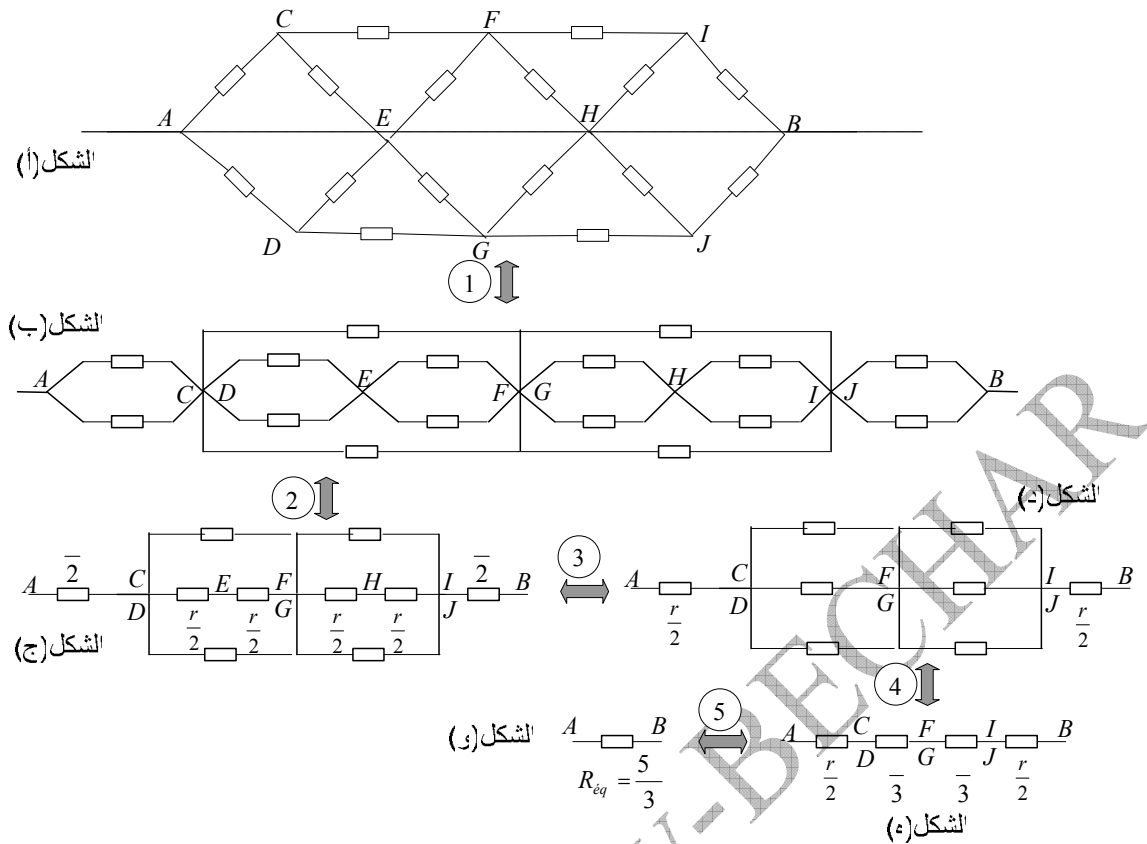
من الشكل (أ) نلاحظ أن الخط  $AEHB$  يمثل مستقيم تناظر بالنسبة للكمونات بحيث:

$$U_c = U_D$$

$$U_F = U_G$$

$$U_I = U_J$$

هذا ما يسمح لنا بتبسيط الشبكة كما هو مبين على الشكل (ب) مما يسهل حساب المقاومة المكافئة باتباع خطوات متالية و منطقية.



### التمرين 9.3

نفترض أن المجموعة يغذيها مولد قوته المحركة الكهربائية  $e = 18V$  (يمكنك اختيار أي قيمة أخرى، لأن مهما كانت قيمة  $e$  فإن قيمة المقاومة مستقلة عنها). مثنا على الشكل المرافق الشدة الرئيسية والشدات

التي تجتاز مختلف الفروع.

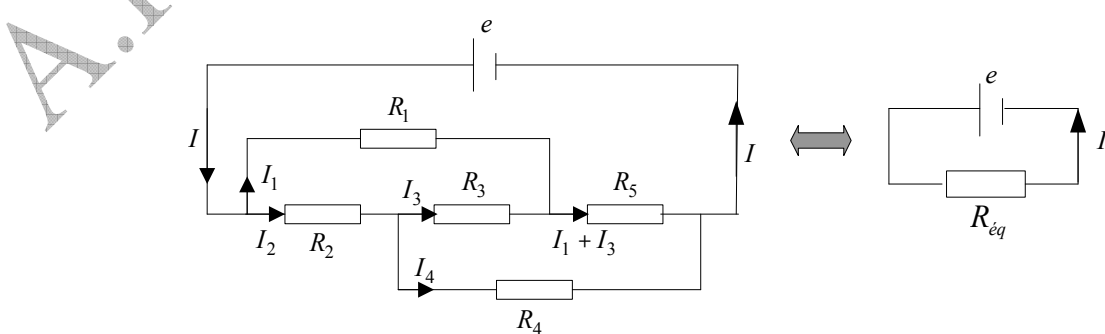
قانون كيرشوف للعروات يسمح لنا بكتابة المعادلات التالية:

:  $(e, R_1, R_4, R_5, e)$

$$R_1 I_1 + R_5 (I_1 + I_3) - e = 0 \rightarrow 12I_1 + 6I_1 + 6I_3 - 18 = 0 \rightarrow 3I_1 + I_3 - 3 = 0 \rightarrow (1)$$

:  $(e, R_2, R_5, e)$

$$R_2 I_2 + R_4 (I_2 - I_3) - e = 0 \rightarrow 6I_2 + 12I_2 - 12I_3 - 18 = 0 \rightarrow 3I_2 - 2I_3 - 3 = 0 \rightarrow (2)$$



:  $(e, R_2, R_3, R_5, e)$

$$R_2 I_2 + R_3 I_3 + R_5 (I_1 + I_3) - e = 0 \rightarrow 6I_2 + 6I_3 + 6(I_1 + I_3) - 18 = 0 \rightarrow I_1 + I_2 + 2I_3 - 3 = 0 \rightarrow (3)$$

تكونت لدينا جملة ذات ثلات مجاهيل يمكن تحديدها بإحدى الطرق الجبرية المعروفة:

$$\begin{cases} 3I_1 + 0I_2 + I_3 = 3 \\ 0I_1 + 3I_2 - 2I_3 = 3 \\ I_1 + I_2 + 2I_3 = 3 \end{cases}$$

إذا اخترنا استعمال طريقة المصفوفات فهي كالتالي:

$$d = \begin{vmatrix} 3 & 0 & 1 \\ 0 & 3 & -2 \\ 1 & 1 & 2 \end{vmatrix} = 21$$

$$\begin{vmatrix} 3 & 0 & 1 \\ 3 & 3 & -2 \\ 3 & 1 & 2 \end{vmatrix} = 18 \rightarrow I_1 = \frac{18}{21} \rightarrow I_1 = \frac{6}{7} A$$

$$\begin{vmatrix} 3 & 3 & 1 \\ 0 & 3 & -2 \\ 1 & 3 & 2 \end{vmatrix} = 27 \rightarrow I_2 = \frac{27}{21} \rightarrow I_2 = \frac{9}{7} A$$

$$\begin{vmatrix} 3 & 0 & 3 \\ 0 & 3 & 3 \\ 1 & 1 & 3 \end{vmatrix} = 9 \rightarrow I_3 = \frac{9}{21} \rightarrow I_3 = \frac{3}{7} A$$

$$I = I_1 + I_2 \rightarrow I = \frac{15}{7} A$$

$$R_{eq} = \frac{e}{I} \rightarrow R_{eq} = \frac{42}{5} = 8,4 \Omega$$

يمكنا الآن تحديد المقاومة المكافئة بحيث:

### التمرين 10.3

**1/ التغذية وفق  $AB$ :** أنظر الشكل (a) المرافق.

حين تكون الشبكة مغذاة بين النقطتين  $A$  و  $B$ ،  $AB$  يمثل محور تناول بالنسبة للكمونات.

في  $A$  التيار الرئيسي  $I_0$  ينقسم إلى ثلاثة مرات  $I$  و يصل إلى  $B$  كذلك ثلاثة مرات  $I$  ( $I_0 = 3I$ ).

عند وصول التيار  $I$  إلى  $F$  فإنه ينقسم إلى جزئين متساوين بما أن المسلكين للوصول إلى  $B$  متساويان كون النقطتين  $E$  و  $H$  هما في نفس الكمون. توزيع مختلف التيارات في المكعب يكون إذن على النحو الممثل على الشكل (a).

باتباع المسلك :  $AFEB$

$$U_{AB} = U_{AF} + U_{FE} + U_{EB}$$

$$U_{AB} = rI + r \frac{I}{2} + rI = \frac{5}{2}rI$$

$$U_{AB} = \frac{5}{2} \times \frac{3}{3}r.I = \frac{5}{6}r3.I \Rightarrow U_{AB} = \frac{5}{6}rI_0 = R_{eq}.I_0$$

و عليه فإن المقاومة المكافئة للشبكة هي:

$$R_{eq} = \frac{5}{6}r$$

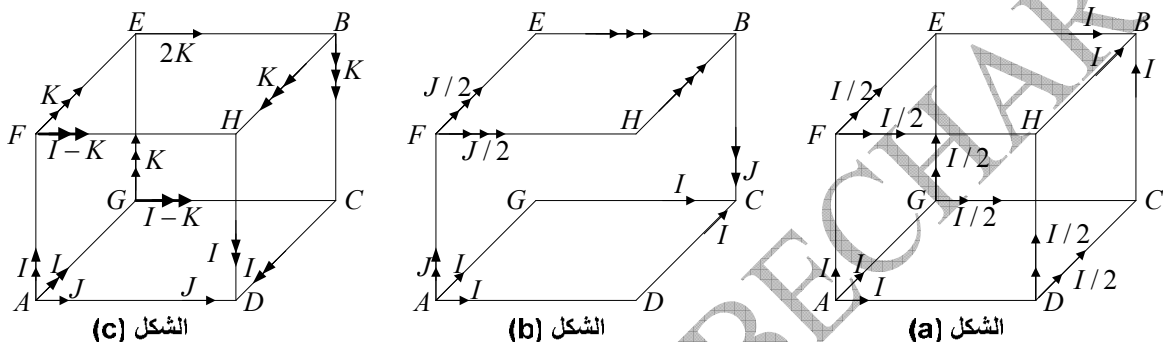
**2/ التغذية وفق  $AC$ :** أنظر الشكل (b) المرافق.

حين تغذية الشبكة وفق  $AC$  ، فإن المستوى  $AFBC$  يمثل مستوى تناظر للكمونات و المستوى  $GDHE$  يمثل مستوى تناظر دخول-خروج لتوزيع التيارات.

ينقسم التيار الرئيسي  $I_0$  إلى  $I$  في الفرعين  $AD$  و  $AG$  و  $J$  في الفرع  $AF$ . في  $F$  المسلك للذهباب إلى  $B$  هو نفسه لأن النقطتان  $E$  و  $H$  توجدان عند نفس الكمون. في  $F$  ينقسم التيار  $J$  إلى قسمين متساوين. بما أن  $EHDG$  هو مستوى تناظر دخول-خروج فإن الفرعين  $EB$  و  $BC$  يسري فيهما نفس التيار  $J/2$ . ينجر عن هذا أن الفرعين  $EG$  و  $DH$  لا يسري فيها أي تيار، و هذا ما يمكننا من القول على أن الشبكة مفتوحة بين  $E$  و  $G$  ، و بين  $D$  و  $H$ .

في النهاية، الفرع  $BC$  يجري فيه  $J$  و الفرعان  $GC$  و  $DC$  يسري فيهما  $I$ .

يمكن تبسيط الشبكة كما هو مبين على الشكل (b).



المقاومة المكافئة هي بحيث:

$$\frac{1}{R_{eq}} = \frac{1}{R_{AC}} + \frac{1}{2r + R_{FB}}$$

غير أن:

$$\frac{1}{R_{FB}} = \frac{1}{R_{AC}} = \frac{1}{2r} + \frac{1}{2r} = \frac{1}{r}$$

و منه:

$$\frac{1}{R_{eq}} = \frac{1}{r} + \frac{1}{2r + r} \Rightarrow R_{eq} = \frac{3}{4}r$$

3/ التغذية وفق  $AD$ : انظر الشكل (c) المرافق.

حين تغذى الشبكة بين النقطتين  $A$  و  $D$  ، فإن المستوى  $AEBD$  يمثل مستوى تناظر للكمونات. و من جهة أخرى المستوى المار من منصفي القطعتين  $AD$  و  $GC$  هو مستوى تناظر دخول-خروج لتوزيع التيارات.

بما أن النقطتين  $F$  و  $G$  هما عند نفس الكمون فإن الفرعين  $AF$  و  $AG$  يجتازهما نفس التيار  $I$ .

الفرع  $AD$  يجتازه التيار  $J$  بحيث  $I_0 = 2I + J$  (يتمثل التيار الرئيسي).

بما أن فرق الكمون بين النقطتين  $F$  و  $G$  هو نفسه، فإن الفرعين  $FE$  و  $GE$  يجتازهما نفس التيار شدته  $K$ . الفرع  $FH$  يجتازه التيار  $K - I$  و الفرع  $EB$  يجتازه التيار  $2K$ . نحصل على توزيع التيار كما هو مبين على الشكل (c).

لدينا:

$$U_{AD} = rJ = r(I_0 - 2I) \rightarrow (A)$$

و فق المسلك  $AFHD$ :

$$U_{AD} = r(I + I - K + I) = r(3I - K) \rightarrow (B)$$

باعتبار العروة  $FEBHF$ :

$$0 = R(K + 2K + K - (I - K)) \Rightarrow K = \frac{I}{5} \rightarrow (C)$$

$$(C) \rightarrow (B): U_{AD} = r \left( 3I - \frac{I}{5} \right) \Rightarrow I = \frac{5}{14} \frac{U_{AD}}{r} \rightarrow (D)$$

$$(D) \rightarrow (A): U_{AD} = rI - \frac{5}{7} U_{AD}$$

في النهاية نحصل على:

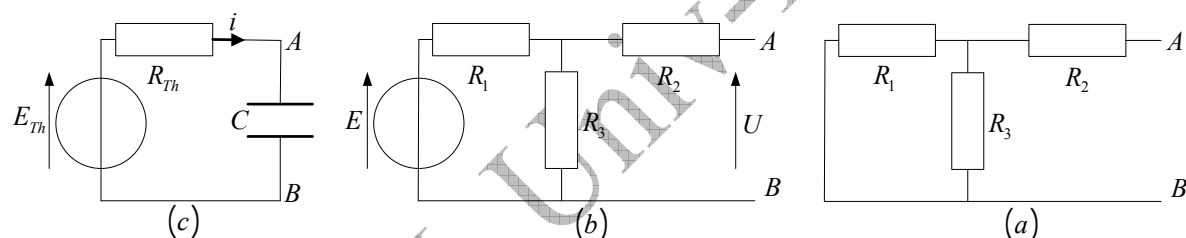
$$U_{AD} = \frac{7}{12} rI = R_{eq} I \Rightarrow R_{eq} = \frac{7}{12} r$$

**ملاحظة:** يمكن استعمال كون النقطتين F و G من جهة ، و H و C من جهة أخرى، هي عند نفس الكمون للربط بينهما بغرض تبسيط الشبكة.

### التمرين 11.3:

:  $R_{eq} = R_{Th}$  / الشكل (a) المرافق يسمح لنا بحساب المقاومة المكافئة للدارة المقومتان  $R_1$  و  $R_3$  مربوطة على التفرع ، و المقاومة المكافئة لهما مربوطة على التسلسل مع  $R_2$ .

$$R_{Th} = \frac{R_1 R_3}{R_1 + R_3} + R_2 , \quad R_{Th} = 133,3 k\Omega$$



الشكل (b) يمكننا من حساب القوة المحركة الكهربائية لمولد تيفنا:

:  $R_3$  لا يجتازها أي تيار. لتكن  $i$  شدة التيار الذي يمر في  $R_1$  و  $R_2$

$$i = \frac{E}{R_1 + R_3} \quad | \Rightarrow U = E_{Th} = R_3 \frac{E}{R_1 + R_3} , \quad E_{Th} = 30V$$

/ أ/ لحظة خلق القاطعة، شدة التيار الذي يجريه مولد تيفنا(الشكل (c)) هي:

$$i = \frac{E_{Th}}{R_{Th}} , \quad i = 0,075A$$

ب/ الطاقة  $W_E$  المخزنة في المكثفة عند الانتهاء من شحنها:

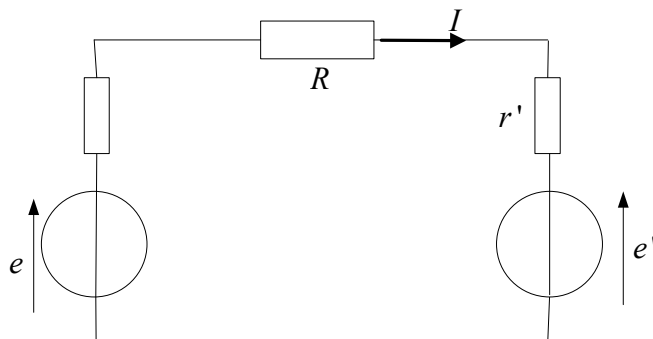
$$\begin{aligned} W_E &= \frac{1}{2} C U^2 \\ U &= E_{Th} \end{aligned} \Rightarrow \boxed{W_E = \frac{1}{2} C E_{Th}^2} , \quad \boxed{W_E = 0,05J}$$

ج/ المدة اللازمة لشحن المكثفة تساوي تقربيا خمس مرات ثابت الزمن  $\tau$  (قاعدة متعارف عليها و متأكد منها):

$$t = 5\tau \quad | \Rightarrow t = 5R_{Th}C , \quad t = 6,65s$$

**التمرين 12.3:**

نمثل الدارة بالشكل التالي:



/1 إذا رمنا بـ  $U$  إلى فرق الكمون بين طرفي المحرك، فإن الاستطاعة الكهربائية الإجمالية المستهلكة من قبله هي:

$$\begin{aligned} P_T &= U'I \\ U' &= e' + r'I^2 \end{aligned} \Rightarrow P_T = e'I + r'I^2$$

الاستطاعة المبددة بفعل جول من قبل المحرك هي:

إذن الاستطاعة الكهربائية المحولة إلى استطاعة ميكانيكية تساوي:

$$P_M = P_T - P_J \Rightarrow P_M = e'I$$

/2 أ) المحرك ممنوع من الدوران أي أنه يسلك سلوك ناقل أومي و بالتالي  $P_M = 0$ . الاستطاعة الكهربائية المبددة من قبل المحرك بفعل جول هي  $RI_1^2$ . و هذه الاستطاعة يستقبلها المسرع و عليه:

$$Q_1 = RI_1^2 t \Rightarrow I_1 = \sqrt{\frac{Q_1}{Rt}}, \quad I_1 = 5A$$

حسب قانون العروات:  $(r + r' + R)I_1 - (e - e') = 0$   
و بما أن المحرك لا يدور فإن  $e' = 0$ . و عليه:

$$r' = \frac{e}{I_1} - (r + R), \quad r' = 3\Omega$$

ب) المحرك يشتغل الآن، و هذا يعني أن:  $P_M \neq 0$  و  $e'' \neq 0$ .

$$I_2 = \sqrt{\frac{Q_2}{Rt}}, \quad I_2 = 1,6A$$

لحساب "e" نطبق قانون العروات حيث:

$$(r + r' + R)I_2 - (e - e'') = 0 \Rightarrow e'' = e - (r + r' + R)I_2, \quad e'' = 47,6V$$

/3 أ) يعرف المردود على أنه:  $\eta = \frac{P_m}{P_T}$

$$\eta = \frac{e''I}{e''I + r'I^2} \Rightarrow \eta = \frac{e''}{e'' + r'I}$$

ب) لدينا حاليا التوتر بين طرفي المولد يساوي التوتر بين طرفي المحرك:

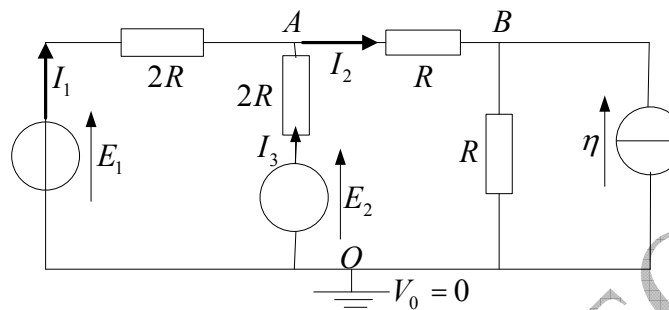
$$\begin{aligned} U &= e - rI \\ U &= e'' - r'I \end{aligned} \Rightarrow I = \frac{e - e''}{r + r'}, \quad I = 5,6A$$

$$U = 64,4V \quad \text{و عليه فإن:}$$

$$\eta = \frac{47,6}{47,6 + (3 \times 5,6)} \rightarrow \eta = 73,7\% \quad \text{ج/ حساب المردود:}$$

### التمرين 13.3

تحتوي الدارة على ثلاثة عقد. نعطي لأحد ها عشوائياً الكمون صفر ثم نكتب قانون العقد في  $A$  و مع الكمونين المجهولين  $V_A$  و  $V_B$ .



في العقدة A:  $I_1 - I_2 + I_3 = 0$  . و منه:

$$\begin{aligned} V_A - V_0 &= -2RI_1 + E_1 \\ V_A - V_0 &= -2RI_3 + E_2 \\ V_A - V_B &= RI_2 \end{aligned} \left| \begin{array}{l} \Rightarrow \frac{E_1 - V_A}{2R} + \frac{V_B - V_A}{R} + \frac{E_2 - V_A}{2R} = 0 \\ \Rightarrow \frac{V_A - V_B}{R} - \frac{V_B}{R} + \eta = 0 \end{array} \right.$$

في العقدة B:  $I_2 + I_4 + \eta = 0$  . و منه:

$$\begin{aligned} V_A - V_B &= RI_2 \\ V_B - V_0 &= -RI_4 \end{aligned} \left| \begin{array}{l} \Rightarrow \frac{V_A - V_B}{R} - \frac{V_B}{R} + \eta = 0 \end{array} \right.$$

نحصل على جملة من معادلين:

$$\begin{cases} 4V_A - 2V_B = E_1 + E_2 \\ -V_A + 2V_B = R\eta \end{cases}$$

نتوصل إلى الحل:

$$V_A = \frac{E_1 + E_2 + R\eta}{3}, \quad V_B = \frac{E_1 + E_2 + 4R\eta}{6}$$

و من ثمة نستنتج الشذتين  $I_1$  و  $I_2$ :

$$I_1 = \frac{E_1 - V_A}{2R} \rightarrow I_1 = \frac{2E_1 - E_2 - R\eta}{6R}$$

$$I_2 = \frac{V_A - V_B}{R} \rightarrow I_2 = \frac{E_1 + E_2 - 2R\eta}{6R}$$

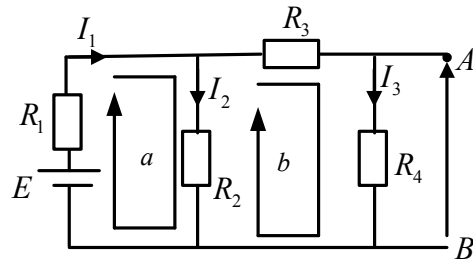
### التمرين 14.3

1/ حساب  $E_{th}$  بفتح الفرع :  $AB$

فلنحسب  $I_3$  بتطبيق قانون العقد:

حسب قانون العروات:

$$E = R_1 I_1 + R_2 I_2 \rightarrow (2) : (a)$$

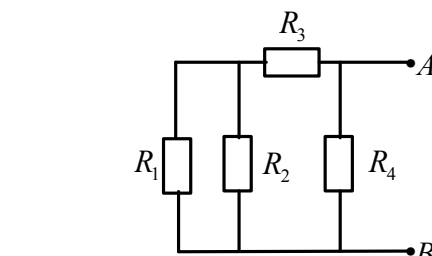


في العروة (b) : (3)  $0 = (R_3 + R_4)I_3 - R_2 I_2 \rightarrow (3)$   
نعرض العلاقة (1) في المعادلة (2) فنحصل على:  
 $E = R_1(I_2 + I_3) + R_2 I_2 \Rightarrow E = (R_1 + R_2)I_2 + R_1 I_3 \rightarrow (4)$   
 من المعادلة (3) نحسب (5):  $I_2 = \frac{R_3 + R_4}{R_2} I_3 \rightarrow (5)$   
 نعرض (5) في (4) فنحصل على:

$$E = \frac{(R_1 + R_2)(R_3 + R_4)}{R_2} I_3 + R_1 I_3 \Rightarrow E = \left[ \frac{(R_1 + R_2)(R_3 + R_4) + R_1 R_2}{R_2} \right] I_3$$

و في الأخير نحصل على  $I_3$  و

$$I_3 = \frac{ER_2}{(R_1 + R_2)(R_3 + R_4) + R_1 R_2} ; \quad E_{Th} = \frac{R_2 R_4 E}{(R_1 + R_2)(R_3 + R_4) + R_1 R_2} \Rightarrow E_{Th} = 3.70V$$



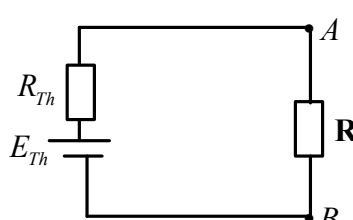
حساب  $R_{Th}$  بعد نزع المولد:  
المقاومة المكافئة لكل الدارة بدون المقاومة  $R$  هي:

$$R_{Th} = [(R_1 \parallel R_2) + R_3] \parallel R_4$$

$$R_1 \parallel R_2 \Rightarrow \frac{1}{R_{12}} = \frac{1}{R_1} + \frac{1}{R_2} = 0.715 \Rightarrow R_{12} = 1.43\Omega$$

المقاومة المكافئة لـ  $R_3$  و  $R_4$  هي:  $R' = R_{12} + R_3 = 5.43\Omega$   
و أخيرا مقاومة مولد تيفنا هي:

$$\frac{1}{R_{Th}} = \frac{1}{R'} + \frac{1}{R_4} \Rightarrow R_{Th} = 3.52\Omega$$



حساب الشدة  $I$  :

$$E_{Th} = (R + R_{Th})I \Rightarrow I = \frac{E_{Th}}{R + R_{Th}} \Rightarrow I = 0.43A$$

### التمرين 15.3

تطبيق القانون الأول: هناك 4 عقد تقابلها 4 معادلات:

$$I_1 + I_2 = I_3 : A$$

$$I_2 = I_5 + I_4 : B$$

$$I_5 = I_3 + I_6 : C$$

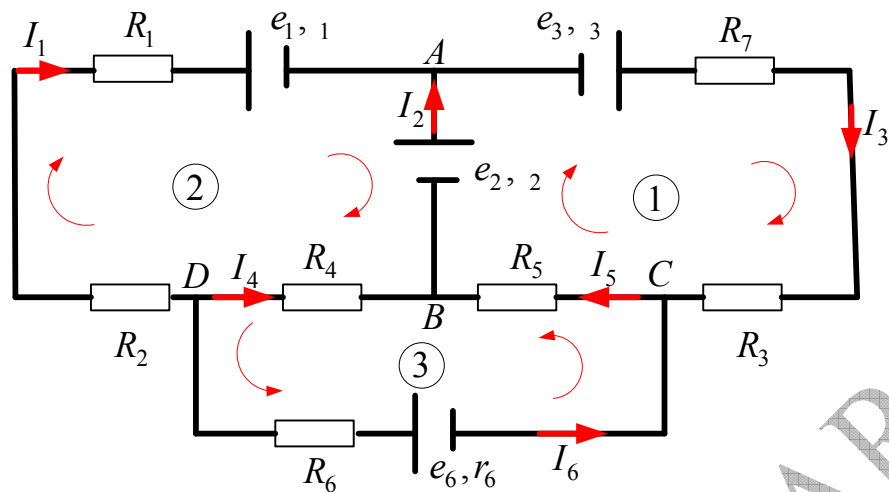
$$0 = I_4 + I_6 + I_1 : D$$

تطبيق القانون الثاني: هناك 3 عروات مستقلة. بعد اختيار الاتجاهات كما هو مبين على الشكل يمكن كتابة مختلف المعادلات:

$$e_3 + e_2 = R_7 I_3 + R_3 I_3 + R_5 I_5 + r_2 I_4 + r_3 I_3 : 1$$

$$-e_1 - e_2 = R_1 I_1 - R_4 I_4 - R_2 I_2 + r_1 I_1 - r_2 I_2 : 2$$

$$-e_6 = R_6 I_6 - R_4 I_4 + R_5 I_5 + r_6 I_6 : 3$$

**التمرين 16.3**

هناك عقدتان ، إذن يمكن كتابة معادلة واحدة بتطبيق قانون العقد:

$$I_1 + I_2 + I_3 = I$$

ثلاث عروات تقابلها ثلاثة معادلات بتطبيق قانون العروات:

$$e_1 - e_2 = R_1 I_1 - R_2 I_2$$

$$e_1 = R_1 I_1 + RI$$

$$e_2 = R_2 I_2 + RI$$

حل جملة المعادلات الثلاثة تعطينا في النهاية الشدة  $I$ :

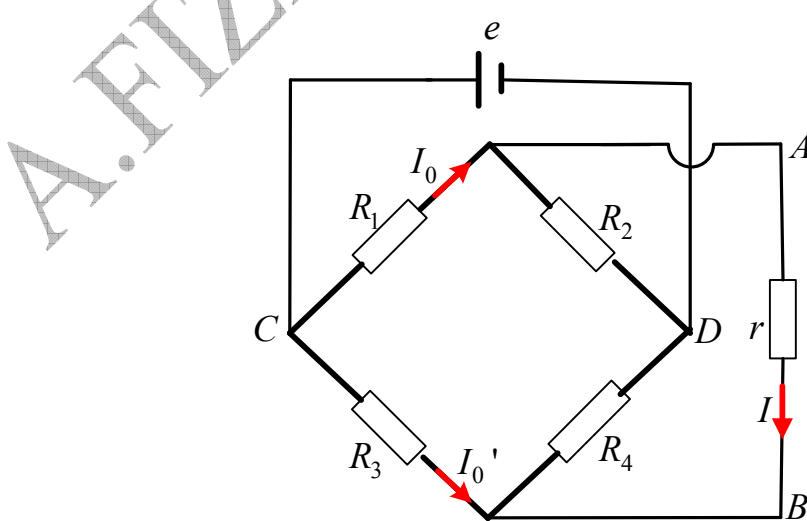
$$I = \frac{e_1 R_2 + e_2 R_1 + R_1 R_2 I_3}{R_1 R_2 + R R_1 + R R_2}$$

$$U_3 = RI + R_3 I_3$$

و من ثمة التوتر  $U_3$  هو:

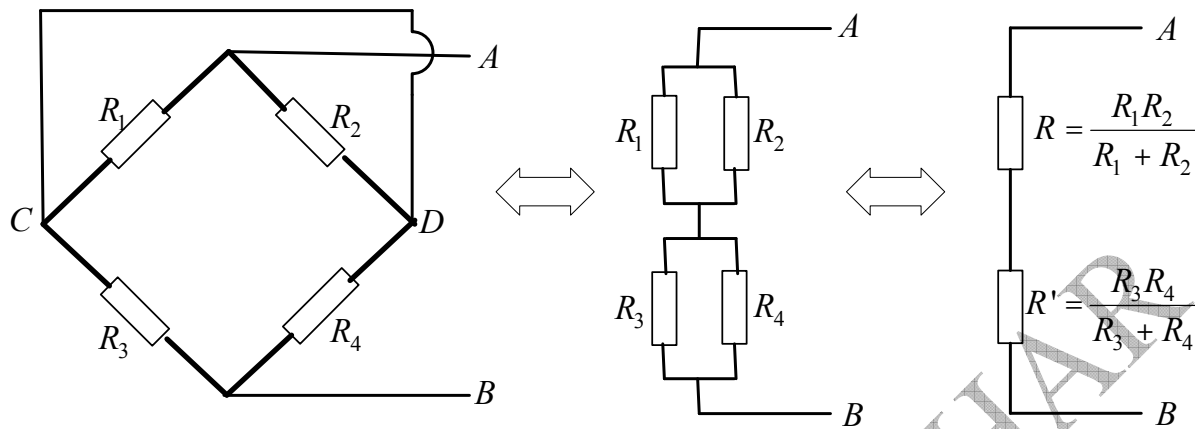
**التمرين 17.3:**

يمثل الشكل التالي التركيب المكافئ للتركيب المعطى في نص التمرين.



تعيين  $R_{Th}$ : نطفئ منابع التوتر و نحسب المقاومة المكافئة  $R_{Th}$  باستثناء المقاومة

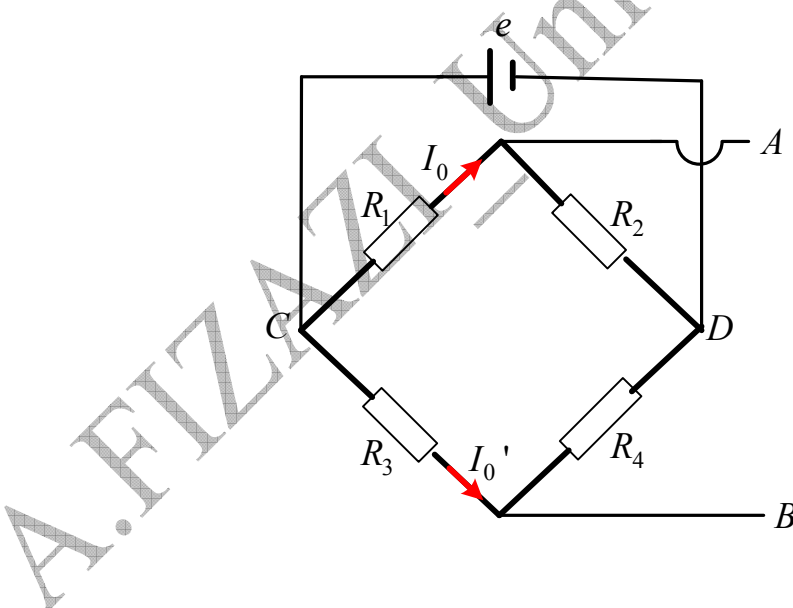
(الشكل التالي):



$$R' = \frac{R_3 R_4}{R_3 + R_4} \quad R = \frac{R_1 R_2}{R_1 + R_2} \quad R_{Th} = R + R'$$

$$R_{Th} = \frac{R_1 R_2}{R_1 + R_2} + \frac{R_3 R_4}{R_3 + R_4} \Rightarrow R_{Th} \approx 15\Omega$$

تعيين  $E_{Th}$ : نعتبر الدارة مفتوحة و نحذف المقاومة بين A و B (الشكل التالي)



$$e = (R_1 + R_2) I_0 = (R_3 + R_4) I_0'$$

$$E_{Th} = (V_A - V_B)_0 = R_2 I_0 - R_4 I_0' = R_3 I_0' - R_1 I_0$$

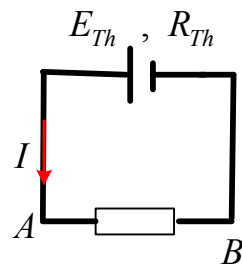
$$E_{Th} = U_{AB_0} = R_2 \frac{e}{R_1 + R_2} - R_4 \frac{e}{R_3 + R_4} ; \quad E_{Th} = U_{AB_0} = R_3 \frac{e}{R_3 + R_4} - R_1 \frac{e}{R_1 + R_2}$$

$$E_{Th} = \frac{R_2 R_3 - R_1 R_4}{(R_1 + R_2)(R_3 + R_4)} e$$

و في الأخير:

$$E_{Th} \approx 12V$$

حساب  $I$  و  $U$ : من الشكل التالي

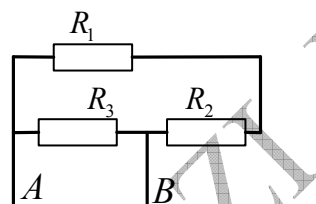


$$U_{AB} = rI = -R_{Th} + E_{Th} \Rightarrow I = \frac{E_{Th}}{r + R_{Th}} \Rightarrow I = 0,70A$$

$$U_{AB} = rI \Rightarrow U_{AB} = 1,4V$$

### التمرين 18.3:

تعيين  $R_{Th}$  من الشكل التالي حيث نزعنا الفرع  $AB$  و أطفأنا منابع التوتر:



$$R_{Th} = \frac{R_1 R_3 + R_2 R_3}{R_1 + R_2 + R_3}$$

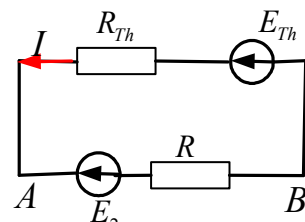
تعيين  $E_{Th}$  من الشكل التالي حيث نزعنا الفرع  $AB$  فقط:

$$U_{AB_0} = R_3 \cdot i = -(R_1 + R_2) \cdot i - (E_1)$$

$$i = \frac{E_1}{R_3 + R_1 + R_2}$$

$$E_{Th} = U_{AB_0} = \frac{R_3 E_1}{R_3 + R_1 + R_2}$$

تعيين  $I$  من الشكل التالي:



$$E_{Th} = U_{AB_0} = R \cdot I - (-E_2) = -R_{Th} \cdot I - (-E_{Th})$$

$$I = \frac{E_{Th} - E_2}{R + R_{Th}}$$

$$I = \frac{R_3 E_1 - E_2 (R_1 + R_2 + R_3)}{R (R_1 + R_2 + R_3) + R_1 R_3 + R_2 R_3}$$

التمرين 19.3 :

بعد تعويض مولدات التيار بمولدات توتر المكافئة، كما هو مبين على الشكل التالي، نعين القوة المحركة الكهربائية لمولد تيفنا  $E_{Th}$  و مقاومته الداخلية  $R_{Th}$ .

تحديد  $E_{Th}$ : يمكن حساب  $U_{AB_0}$  بالتتابع الفروع الثلاثة المختلفة للدارة و التي ينتج عنها ثلاثة معادلات:

$$\begin{aligned} U_{AB_0} &= E_{Th} = 1000I + 2000I_1 + 10 + 4 \\ U_{AB_0} &= E_{Th} = 1000I + 2000I_2 + 10 + 15 \\ U_{AB_0} &= E_{Th} = -7000I + 160 \\ I &= I_1 + I_2 \end{aligned} \Rightarrow \begin{cases} E_{Th} = 1000I + 2000I_1 + 10 + 4 \rightarrow (1) \\ E_{Th} = 1000I + 2000I_2 + 10 + 15 \rightarrow (2) \\ E_{Th} = -7000I + 160 \rightarrow (3) \\ I = I_1 + I_2 \rightarrow (4) \end{cases}$$

نجم المعادلين (1) و (2) نحصل على:

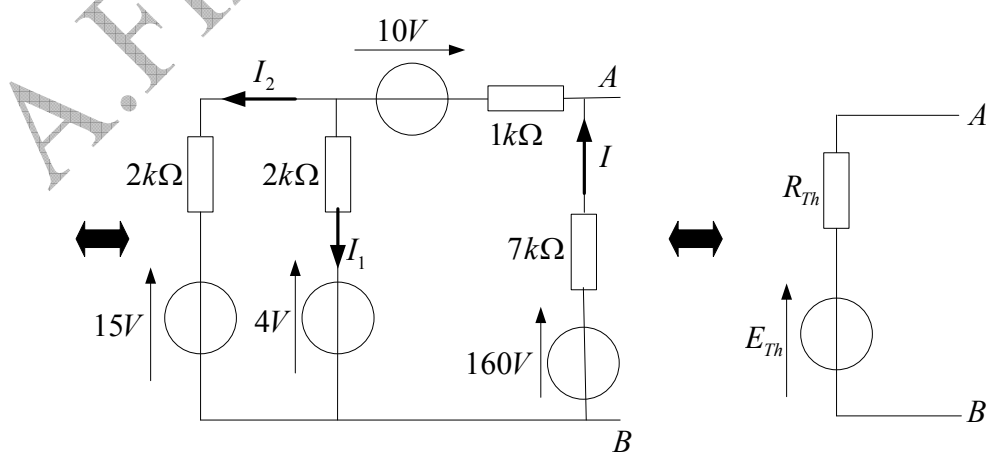
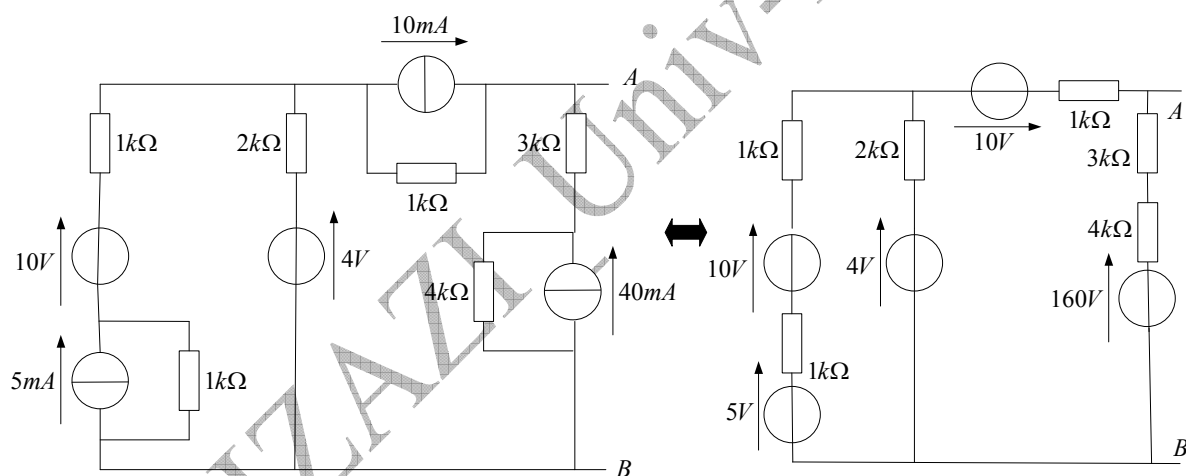
$$2E_{Th} = 2000I + 2000(I_1 + I_2) + 41 \Rightarrow 2E_{Th} = 4000I + 41 \rightarrow (5)$$

$$I = \frac{160 - E_{Th}}{7000} : \text{ من المعادلة (3)} : \quad (5)$$

في الأخير نوضع  $I$  في المعادلة (5) لنحصل على القوة المحركة الكهربائية لمولد تيفنا:

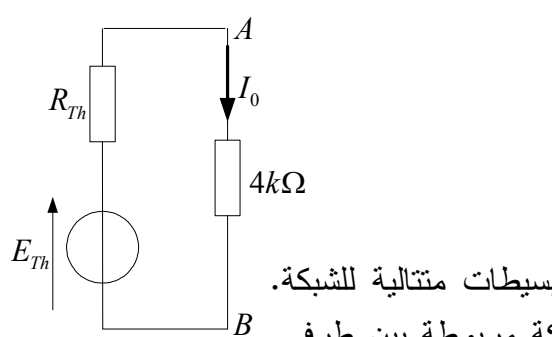
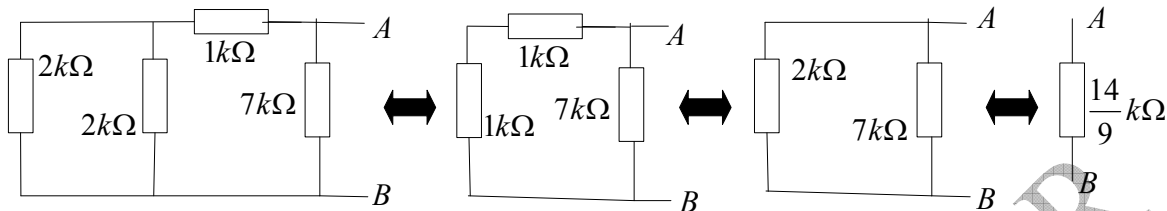
$$2E_{Th} = \frac{4}{7}(160 - E_{Th}) + 41$$

$$18E_{Th} = 927 \Rightarrow E_{Th} = 51,5V$$



تحديد  $R_{Th}$ : بعد إطفاء كل منابع التيار و التوتر نحسب المقاومة المكافئة لكل الدارة. على الأشكال التالية بينا عليها المقاومات المكافئة المتتالية من اليسار إلى اليمين لنجد في

$$\text{الأخير: } R_{Th} = \frac{14}{9} k\Omega$$



حساب شدة التيار العابر للمقاومة :

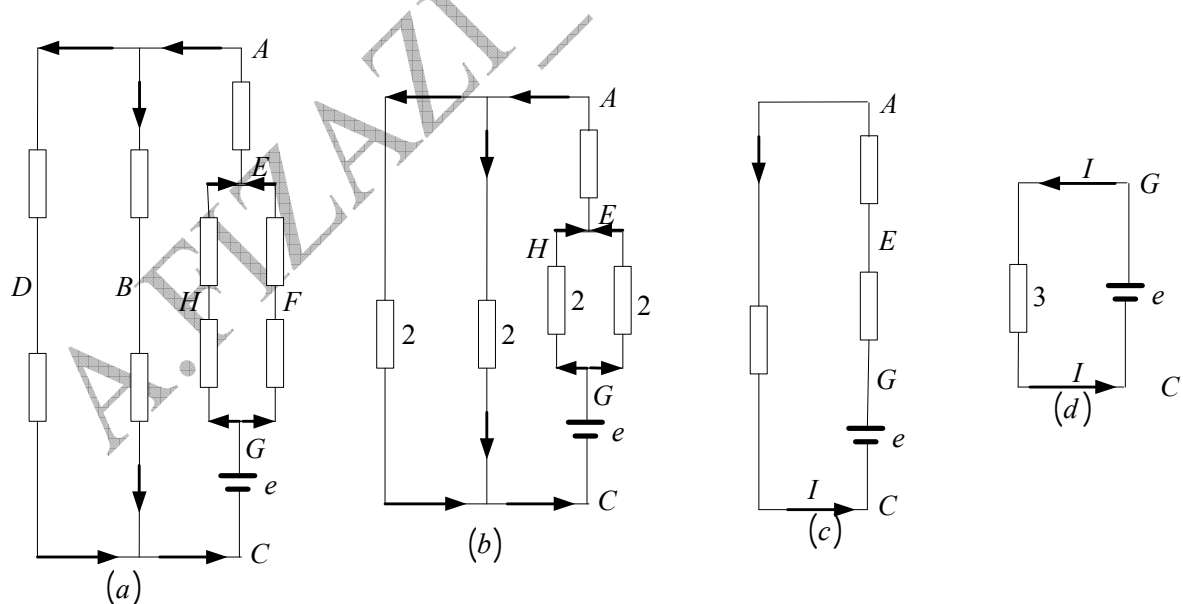
من الشكل التالي نستنتج الشدة  $I_0$ :

$$I_0 = \frac{E_{Th}}{R_{Th} + R}, \quad [I_0 \approx 9,3mA]$$

### التمرين 3.20

- 1/ تمثل الأشكال المرتبة (c), (b), (a) و (d) تبسيطات متتالية للشبكة.  
يمثل الشكل (d) المقاومة المكافئة  $R_{eq} = 3$  لكل الشبكة مربوطة بين طرفي مولد قوه المحركة الكهربائية  $e$ .  
2/ شدة التيار التي يجريها المولد هي:

$$U_{GC} = R_{eq} I = e \Rightarrow I = \frac{e}{R_{eq}} \quad [I = 4,0mA]$$



3/ فرق الكمون بين النقطتين  $C$  و  $A$  :

بما أن الفرعين  $GFE$  و  $GHE$  متماثلان فإن التيار الذي يخرج من المولد و الذي شدته  $4,0mA$  ينقسم إلى شنتين متساويتين ( $2mA$ ) في النقطة  $G$ . الفرع  $EA$  يجتازه التيار الرئيسي  $4,0mA$ .

و عليه فإن فرق الكمون بين النقطتين  $C$  و  $A$  هو :

$$U_{CA} = U_{CG} + U_{GH} + U_{HE} + U_{EA}$$

$$U_{CA} = -e + r \frac{I}{2} + r \frac{I}{2} + rI \Rightarrow \boxed{U_{CA} = -e + 2rI} \quad \boxed{U_{CA} = -4,0V}$$

أو باتباع الفرع  $CBA$  :

$$U_{CA} = U_{CB} + U_{BA}$$

$$U_{CA} = -r \frac{I}{2} - r \frac{I}{2} \Rightarrow \boxed{U_{CA} = rI} \quad \boxed{U_{CA} = -4,0V}$$

A.FIZAZI - Univ.BECHAR

## الكهربومغناطيسية/IV

### ELECTROMAGNETISME

إن كلمة مغناطيس مشتقة من اسم المنطقة التي تقع على الشاطئ الغربي لتركيا الحديثة، حيث لوحظت ظاهرة التمغناط منذ القديم ( 600 قبل الميلاد). كانت تحتوي تلك المنطقة على مناجم لمعدن المانيتيت الذي له ميزات خاصة.

و بالفعل، فقد لوحظ أن قطعتين من المعدن المذكور قد تجاذب أو تتنافر، كما يمكنها أن تمنح خصائصها لقطعة من حديد متواجدة بالقرب منها.

بقيت ظاهرة المغناطيسية دون تفسير حتى سنة 1819، حيث لاحظ العالم الدنمركي هانس كريستيان أورشتيد (Hans Christian Oersted 1777-1851) أن مرور تيار كهربائي في سلك على مقربة من إبرة مغناطة يجعلها تتحرف، مما يدل على أن هناك قوى مغناطيسية ناتجة عن التيار الكهربائي. أثبتت هذه التجربة أن سلكا يعبره تيار كهربائي يكتسب خصائص مغناطيسية مماثلة لتلك التي يتميز بها مغناطيس طبيعي.

في حاضرنا اتفق على أن كل الظواهر المغناطيسية هي ناتجة لسببين:

- ⇨ لحركة الشحنات الكهربائية (التيار الكهربائي) ،
- ⇨ لبعض الخصائص الداخلية للمادة.

### A / الحقل المغناطيسي:

#### 1/ تعريف الحقل المغناطيسي:

يوجد حقل مغناطيسي في منطقة متواجدة بجوار:

- ⇨ مغناطيس طبيعي أو اصطناعي ،
- ⇨ الأرض التي تعتبرها مغناطيس ضخم ،
- ⇨ ناقل يجتازه تيار كهربائي .

بالمقارنة مع الحقل الكهربائي فإن شحنة، أو مجموع شحنات، في حركة تولد في المنطقة المجاورة بها حقولاً مغناطيسياً. هذا الحقل المغناطيسي يؤثر على شحنة كهربائية خارجية

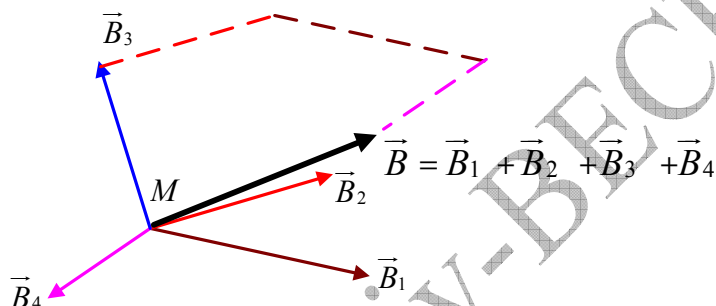
$q$  في حركة بقوة  $\vec{F}_B$ . و كذلك الأمر بالنسبة لتيار، ما دام التيار الكهربائي هو حركة شحنات.

مثل الحقل الكهربائي  $\vec{E}$ ، الحقل المغناطيسي هو كذلك حقل شعاعي نرمز له بالحرف  $\vec{B}$  و اسمه الكامل هو: **حقل التحرير المغناطيسي** (champ d'induction magnétique).

## 2/ مبدأ تركيب الحقول المغناطيسية:

إذا أثرت عدة حقول مغناطيسية  $\vec{B}_1, \vec{B}_2, \vec{B}_n, \dots$  على شحنة كهربائية في حالة حركة أو على إبرة مغнетة فإن الحقل المغناطيسي المكافئ  $\vec{B}$  يساوي المجموع الشعاعي لكافة الحقول المؤثرة:

$$\vec{B} = \vec{B}_1 + \vec{B}_2 + \dots + \vec{B}_n$$



الشكل 1.4 : تركيب الحقول المغناطيسية

## B/ القوة المغناطيسية المؤثرة على شحنة كهربائية متحركة :

(force électromagnétique agissant sur une charge électrique en mouvement)

**قانون لورنتز:** loi de Lorentz(Hendrik Antoon Lorentz 1853-1928)

كما سبق و أن قلنا يوجد حقل مغناطيسي بجوار كل جسم ممغنط، غير أن مثل هذا الحقل ليس له أي تأثير على شحنة كهربائية ساكنة.

إذا اعتبرنا شحنة متحركة في حقل مغناطيسي فإنها تصبح خاضعة لقوة جديدة ، بالإضافة إلى القوة الكهربائية و قوة الجاذبية.

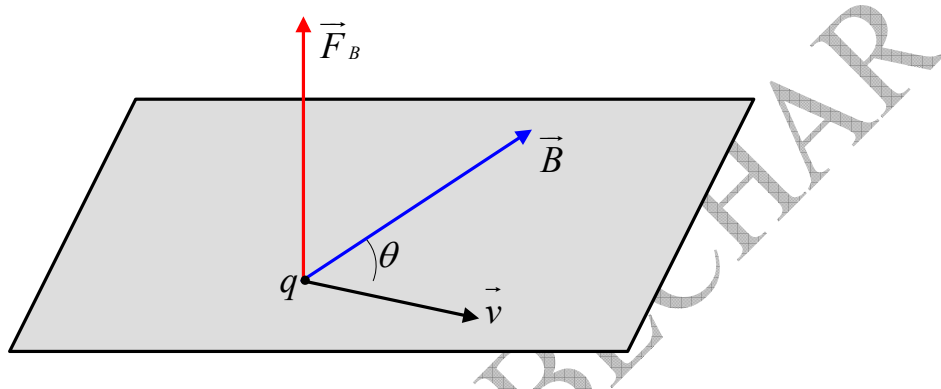
و هكذا حق تجريبيا أن الحقل المغناطيسي يطبق على شحنة متحركة قوة تتناسب طردا مع قيمة الشحنة و شعاع السرعة و شعاع الحقل المغناطيسي و تتعامد مع شعاع سرعة الشحنة:

$$(1.4) \quad \boxed{\vec{F}_B = q \vec{v} \wedge \vec{B} \Leftrightarrow F_B = q v B \sin \theta}$$

حين تتنقل الشحنة في منطقة حيث يسود الحقلان الكهربائي و المغناطيسي، فإن القوة الكلية هي محصلة القوتين الكهربائية و المغناطيسية:

$$(2.4) \quad \vec{F} = \vec{F}_e + \vec{F}_B = q\vec{E} + q\vec{v} \wedge \vec{B} \Rightarrow \vec{F} = q(\vec{E} + \vec{v} \wedge \vec{B})$$

هذه العلاقة تعبر عن قانون لورنتز.



الشكل 2.4 : القوة المغناطيسية المطبقة على شحنة متحركة في حقل مغناطيسي

### C / القوة المغناطيسية المطبقة على عنصر من سلك مستقيم:

(force électromagnétique exercée sur un élément d'un conducteur rectiligne)

قانون لابلاس: (loi de Laplace) 1

تعرفنا سابقا على كثافة التيار الكهربائي الذي يجتاز سلكا:  $\vec{J} = nq\vec{v}$

و كذلك على العلاقة بين شدة التيار و الكثافة:  $I = JS$

إذا وجد هذا الناقل في حقل مغناطيسي فإن القوة المغناطيسية المطبقة على شحنة داخل وحدة الحجم هي:

$$(3.4) \quad \vec{f} = nq\vec{v} \wedge \vec{B} \Rightarrow \vec{f} = \vec{J} \wedge \vec{B}$$

أما القوة المطبقة على حجم عنصري  $dV$  من السلك فتساوي:

$$(4.4) \quad d\vec{F} = \vec{f} \cdot dV = (\vec{J} \wedge \vec{B}) \cdot dV$$

إذا كان  $S$  هو مقطع السلك و  $dl$  الطول العنصري المعتبر فإن :

$$(5.4) \quad d\vec{F} = (\vec{J} \wedge \vec{B}) S \cdot dl$$

للحصول على القوة الكلية المطبقة على حجم معين يجب القيام بعملية تكامل:

(6.4)

$$\vec{F} = \int_{\text{مسار}} (\vec{J} \wedge \vec{B}) S.dl$$

و بما أن  $\vec{J} = J \vec{u}_T$  حيث  $\vec{u}_T$  هو شعاع الوحدة المماس لمحور السلك فإن:

(7.4)

$$\vec{F} = \int_{\text{مسار}} (J.S) \vec{u}_T \wedge \vec{B}.dl$$

(8.4)

$$\vec{F} = \int_{\text{مسار}} I \vec{u}_T \wedge \vec{B}.dl$$

إذا اعتربنا الناقل مستقيما موجودا في حقل مغناطيسي منتظم  $\vec{B}$ ، فهذا يعني أن  $\vec{u}_T$  و  $\vec{B}$  ثابتان، مما يسمح لنا بكتابة :

(9.4)

$$\vec{F} = I \vec{u}_T \wedge \vec{B} \int_{\text{مسار}} dl$$

إذا كان طول السلك السابق في الحقل المغناطيسي  $\int_{\text{مسار}} dl = l$  فإن:

(10.4)

$$\vec{F} = I.l \vec{u}_T \wedge \vec{B}$$

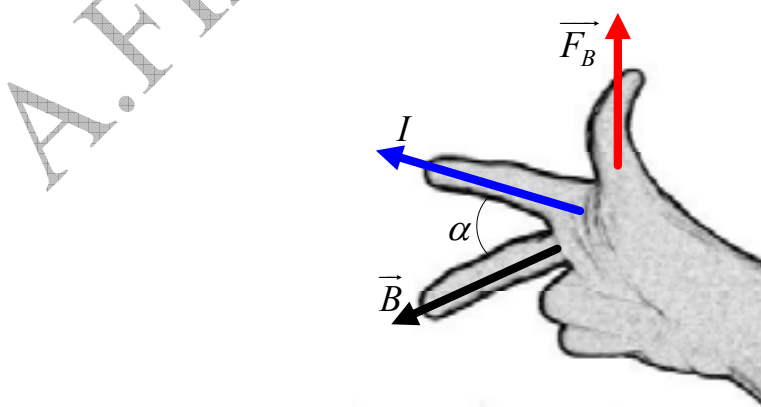
بما أن  $\|\vec{u}_T\| = 1$ ، و إذا كانت الزاوية بين الناقل المستقيم و شعاع الحقل المغناطيسي هي  $\alpha$  فإن:

(11.4)

$$F = B.I.l \sin \alpha$$

هذه العبارة تدل على قانون لابلاس.

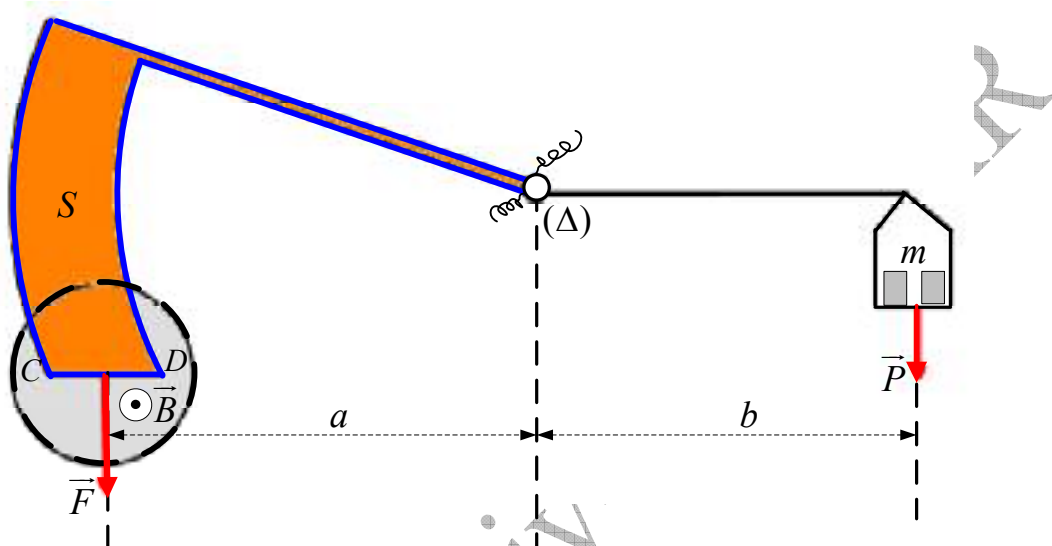
للحصول على الحامل و الاتجاه نستعمل قاعدة اليد اليمنى المعروفة، حيث الإبهام يشير إلى القوة المغناطيسية، السبابة إلى التيار أو السلك و الوسطى إلى شعاع الحقل المغناطيسي.



الشكل 3.4 قاعدة اليد اليمنى

تطبيقات: /2

ا/ ميزان كوطون: balance de Cotton(Aimé Cotton 1869-1951)



الشكل 4.4 : ميزان كوطون

يتكون ميزان كوطون من ذراعين قابلين للدوران حول محور  $\Delta$ :

القسم الأول يتميز بشكل خاص متكون من قطاع دائري عازل  $S$  مصنوع من مادة بلاستيكية يحده قوسان متمرکزان على محور الدوران  $\Delta$  للرافعة.  $S$  يشتمل على جزء مستقيم  $CD$  طوله  $a$ ، أفقى حين يكون الميزان في توازن.

سلك ناقل يخرج من  $O$ ، يتبع القطاع الدائري و القطعة المستقيمة  $CD$ ، ثم يعود إلى  $O$ .

الذراع الآخر للرافعة يحمل كفة. يكون الميزان متوازن حين لا يمر أي تيار كهربائي.

إذا غمرنا القطاع في حقل مغناطيسي منتظم  $\vec{B}$ ، عمودي على مستوى الشكل و موجه نحو الأمام، نلاحظ اختلال توازن الميزان عند مرور تيار كهربائي في السلك. من أجل استعادة التوازن يكفي وضع كتل معايرة على الكفة.

العزمان الغير معادمين والمؤثرين على الجملة هما عزم الثقل  $\vec{P}$  للكتل، و عزم قوة لابلاس  $\vec{F}_B$ .

$$F_B \cdot a = mg \cdot b \Rightarrow F_B = \frac{mg \cdot b}{a} \quad \text{عند التوازن:}$$

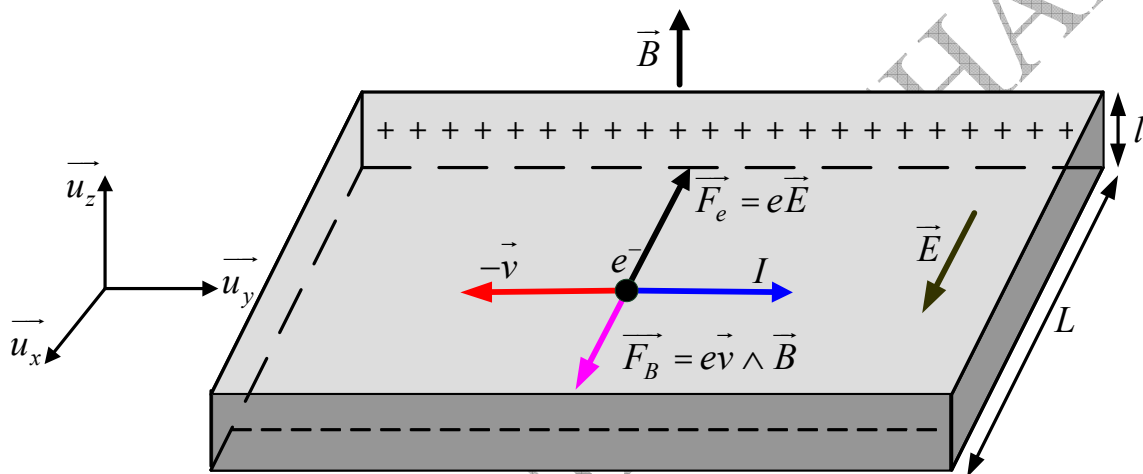
و هكذا يمكن حساب شدة حقل التحرير المغناطيسي:

$$(12.4) \quad B.I.l.a = mgb \Rightarrow B = \frac{mgb}{Il.a}$$

وحدة  $B$ : تيسلا (tesla(T))

**ب/ فعل هال** (Hall effect- Edwin Herbert 1855-1938)

يمثل الشكل 5.4 صفيحة من نحاس مقطوعها مستطيل (بضع مليمترات) يجتازها تيار كهربائي  $I$  في اتجاه الطول.



الشكل 5.4 : فعل هال

تبعد الإلكترونات مسارات موازية للمحور  $Oy$ ، وتنقل بسرعة  $\vec{v}$  في عكس الاتجاه الاصطلاحي للتيار الذي يجري في اتجاه  $Oy$ .

عند تطبيق حقل مغناطيسي  $\vec{B}$  عمودي على الصفيحة (حسب الشكل وفق  $Oz$ )، فإن كل إلكترون يخضع للقوة المغناطيسية  $\vec{F}_B = -e\vec{v} \wedge \vec{B} \Rightarrow \vec{F}_B = e\vec{v} \wedge \vec{B}$ . تحت تأثير هذه القوة المغناطيسية تحرف الإلكترونات نحو يمين الصفيحة و الذي يشحون سلبا، بينما الجانب الآخر من الصفيحة يشحون إيجابا، نظرا لتناقص الإلكترونات التي انحرفت نحو الجهة اليمنى. هذا ما يتسبب في ظهور حقل كهربائي  $\vec{E}$  مواز للمحور  $Ox$ .

تخضع الإلكترونات في كل لحظة إلى قوتين :

القوة المغناطيسية:  $\vec{F}_B = e\vec{v} \wedge \vec{B}$  الناتجة عن الحقل المغناطيسي و موجهة في اتجاه  $Ox$  ،

القوة الكهربائية:  $\vec{F}_e = -e\vec{E}$  الناتجة عن الحقل الكهربائي و موجهة عكس اتجاه  $Ox$  .

تساوي القوتين يؤدي إلى حالة توازن مما يؤدي إلى فرق في الكمون عرضي بين الطرفين المتقابلين من الصفيحة و هو يتاسب طردا مع  $\vec{B}$ .

تسمى هذه الظاهرة التي قمنا بوصفها بـ  **فعل هال العادي أو السالب** (effet Hall ordinaire ou négatif) ، الذي يظهر على أغلبية المعادن مثل النحاس، الفضة، الذهب، البلاatin...و لكن في بعض المعادن مثل التوتيناء، الكوبالت، و الحديد و في مواد أخرى كأنصاف النوافل يحدث  **فعل هال الموجب** (effet Hall positif). و التفسير هو أن شحنات موجبة هي التي تتنقل في اتجاه التيار الكهربائي مما يقلب رأسا على عقب التحليل الذي قمنا به في حالة فعل هال السالب.

و هكذا فإن فعل هال المكتشف سنة 1879 يقدم طريقة جد مفيدة لتحديد إشارة حاملات الشحنة في ناقل.

من فوائد فعل هال السماح بتحديد كثافة الشحنة، أي عدد الشحنات في واحده الحجم، كما تبينه الحسابات التالية.

حين بلوغ التوازن:  $F_e = F_B \Rightarrow evB = eE \Rightarrow E = vB$

نسمى توتر هال فرق الكمون الذي يظهر بين طرفي الصفيحة:  $U_H = E \cdot L \Rightarrow E = \frac{U_H}{L}$

نعرف مما سبق أن شدة التيار هي:  $I = JS = nevS$

و بما أن  $S$  هو مقطع الصفيحة فإن:  $I = nevLl \Rightarrow v = \frac{I}{neLl}$

و من ثمة فإن كثافة حاملات الشحنة هي:

$$vB = \frac{U_H}{L} \Rightarrow \frac{I}{neLl} B = \frac{U_H}{L} \Rightarrow n = \boxed{\frac{IB}{eLU_H}}$$

بالنسبة للمعادن العاديـة كثافة الشحنات من مرتبة  $10^{28} / m^3$ .

#### D/ قاعدة أمبير: (règle d'Ampère)

كان أرشتيد أول من برهن تجريبياً أن التيار الكهربائي يولـد حـقا مـغـناـطـيسـيا في المنطقة المجاورة له.

توالت التجارب على مدى عدة سنوات إلى أن توصل أمبير سنة 1826، و خلال أيام فقط، إلى قانون تجريبي يحمل اسمه.

يمثل الشكل 6.4 مجموعة من التيارات تمر داخل منحنى مغلق ( $C$ ).

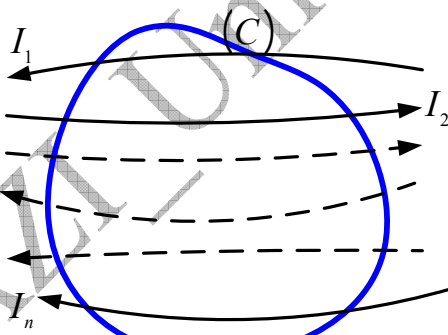
### نص قانون أمبير:

تجوال الحقل المغناطيسي على طول منحنى مغلق يضم تيارات  $I_n, I_2, I_1$  يساوي جداء النافذية المغناطيسية للفراغ في المجموع الجبري لشادات التيارات المحصورة داخل المحيط ( $C$ ).

(13.4)

$$A_B = \oint_C \vec{B} \cdot d\vec{l} = \mu_0 \sum_{i=1}^n I_i$$

$$\mu_0 = 4\pi \times 10^{-7} T.m.A^{-1}$$



الشكل 6.4 : التيار داخل منحنى مغلق

### مثال 1.4:

يجتاز تيار كهربائي ناقلاً اسطوانياً لا متاهي الطول نصف قطره  $R$ . كثافة التيار  $\vec{J}$  ثابتة عبر كل مقطع الأسطوانة و موازية للمحور  $oz$ . نعتبر  $I_0$  التيار الكلي الذي يجتاز الأسطوانة. أحسب الحقل المغناطيسي داخلاً و خارجاً للأسطوانة. أرسم تغيراته.

الحل:

نعتبر دائرة تحيط بالأسطوانة و تتعامد معها، نصف قطرها  $r$  (أ). تعتبر المقطع  $S_0$  لهذه الأسطوانة تيارات شدتها الكلية  $I_0$ . إذن تجول تحرير الحقل المغناطيسي وفق المسار المغلق ( $C$ ) يساوي:

$$A_B = \oint_C \vec{B} \cdot d\vec{l} = B \cdot 2\pi r$$

$$B \cdot 2\pi r = \mu_0 I_0 \Rightarrow B = \frac{\mu_0 I_0}{2\pi r}$$

تمثل هذه العبارة شدة الحقل المغناطيسي خارج الأسطوانة و الناتج عن مرور التيار الكهربائي في الأسطوانة. كما نلاحظ أن هذا الحقل يتاسب عكساً مع المسافة  $R \prec r$ .

أما داخل الأسطوانة  $R \succ r$  ، فالتيار الذي يعبر الدائرة الشكل 7.4 (ب) هو  $I$ :

$$J = \frac{I_0}{S_0} = \frac{I}{S} \Rightarrow I = \frac{I_0}{S_0} \cdot S$$

$$S_0 = \pi R^2 , S = \pi r^2$$

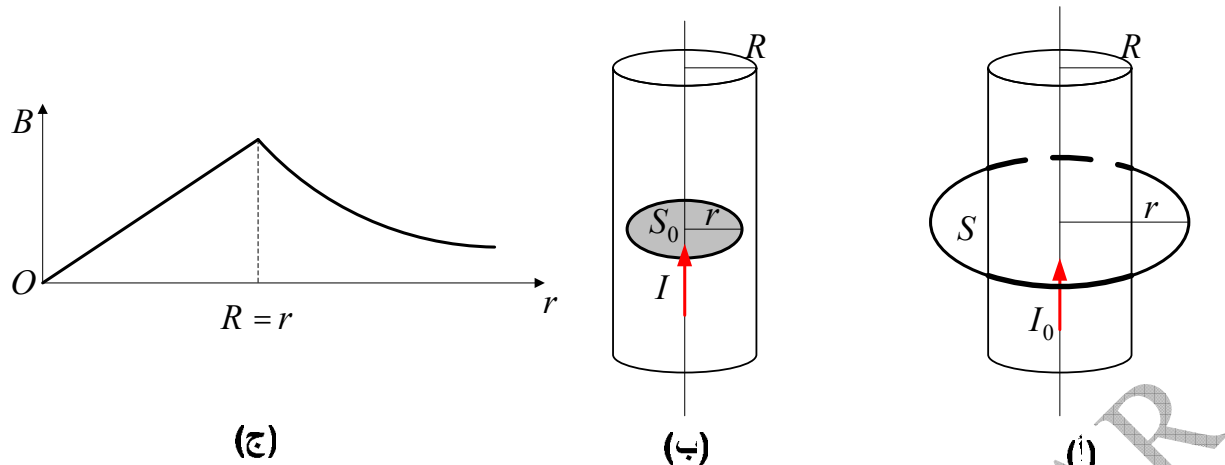
التجوال يساوي إذن:

$$A_B = \oint_C \vec{B} \cdot d\vec{l} = B \cdot 2\pi r = \mu_0 I$$

$$\mu_0 I = \mu_0 I_0 \frac{S}{S_0} \Rightarrow B = \frac{\mu_0 I_0}{2\pi R^2} \cdot r$$

في هذه الحالة شدة الحقل المغناطيسي في نقطة ما داخل الأسطوانة تتناسب طرداً مع البعد بين محور الأسطوانة و هذه النقطة.

يمثل الشكل 7.4 (ج) تغيرات شدة الحقل المغناطيسي بدلالة البعد  $r$ .



الشكل 7.4 : تطبيق قاعدة أمبير

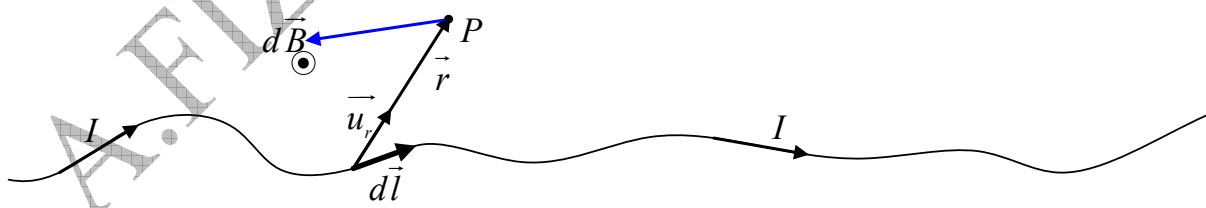
**E/ قانون بيوت وسافار:**

Loi de Biot et Savard (J.Batiste Biot 1774-1862/Félix Savard 1791-1841)

يسمح هذا القانون التجريبي، الذي وضع سنة 1820، بحساب التحرير المغناطيسي في نقطة من الفضاء، المتولد عن ناقل كييف ما كان شكله، يجتازه تيار كهربائي.

**1/ نص القانون:** يولد تيار كهربائي، شدته  $I$ ، يجتاز عنصرًا  $d\vec{l}$  من ناقل، حقل مغناطيسيًا عنصريًا  $d\vec{B}$  يساوي:

$$(14.4) \quad d\vec{B} = \frac{\mu_0 I}{4\pi r^2} \cdot d\vec{l} \wedge \vec{u}_r$$



الشكل 8.4 : الحقل المغناطيسي العنصري الناتج عن تيار كهربائي عنصري

$\vec{u}_r$  : يمثل شعاع الوحدة وفق منحى شعاع الموضع . إتجاه  $d\vec{B}$  يحدد بقاعدة البراغي أو قاعدة اليد اليمنى.

إذا أردنا حساب التحرير المغناطيسي الكلي  $\vec{B}$  الناتج عن كل الناقل يكفي القيام بعملية التكامل:

$$(15.4) \quad \vec{B} = \frac{\mu_0 \cdot I}{4\pi} \int_{\text{النافل}} \frac{d\vec{l} \wedge \vec{u}_r}{r^2}$$

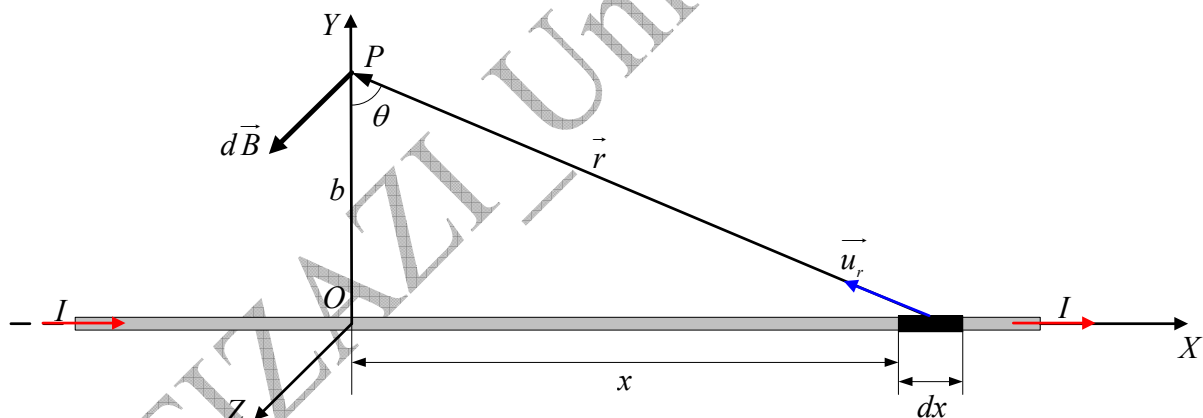
## 2/ تطبيقات قانون بيوت و سافار (applications de la loi de Biot et Savart):

### ا/ حقل التحرير المغناطيسي الناتج عن تيار مستقيم لا متناهي الطول:

(champ d'induction magnétique produit par un courant rectiligne infini)

يمثل الشكل 9.4 سلكاً لا متناهي الطول، يجتازه تيار كهربائي شدته  $I$ . نريد تعين حقل التحرير المغناطيسي الناتج عن كل السلك في النقطة  $P$  الواقعة على المحور  $oy$ . لتطبيق قانون بيوت و سافار يجب تحديد إحداثيات الشعاعين  $d\vec{l}$  و  $\vec{r}$  في المعلم الديكارتي  $Oxyz$ . و بما أن  $\vec{r} = r\vec{u}_r \Rightarrow \vec{u}_r = -$  يمكن كتابة القانون على الشكل:

$$(16.4) \quad d\vec{B} = \frac{\mu_0 \cdot I}{4\pi} \cdot \frac{d\vec{l} \wedge \vec{u}_r}{r^2} = \frac{\mu_0 \cdot I}{4\pi} \cdot \frac{d\vec{l} \wedge \vec{r}}{r^3}$$



الشكل 9.4 : الحقل المغناطيسي العنصري الناتج عن تيار كهربائي عنصري مستقيم

$$d\vec{l} = \begin{vmatrix} dx \\ 0 \\ 0 \end{vmatrix} \quad \vec{r} = \begin{vmatrix} -x \\ b \\ 0 \end{vmatrix}$$

$$d\vec{l} \wedge \vec{r} = \begin{vmatrix} \vec{i} & -\vec{j} & \vec{k} \\ dx & 0 & 0 \\ -x & b & 0 \end{vmatrix} = b \cdot dx \cdot \vec{k} \Rightarrow d\vec{B} = \frac{\mu_0 \cdot I}{4\pi} \cdot \frac{b \cdot d\vec{l}}{r^3} \vec{k}$$

$$r = \frac{b}{\cos \theta}, \quad x = b \cdot \tan \theta \Rightarrow dx = b \frac{1}{\cos^2 \alpha} d\theta$$

و بما أن:

بعد التعويض نحصل على:  
 $d\vec{B} = \frac{\mu_0 \cdot I}{4\pi \cdot b} \cos \theta \cdot d\theta \cdot \vec{k}$

نتكامل هذه العبارة من  $-\pi/2$  إلى  $\pi/2$ :  
 $\vec{B} = \int_{-\pi/2}^{+\pi/2} d\vec{B} = \frac{\mu_0 \cdot I}{4\pi \cdot b} \vec{k} \int_{-\pi/2}^{+\pi/2} \cos \theta \cdot d\theta$

لنجصل في الأخير على العبارة النهائية:

$$(17.4) \quad \boxed{\vec{B} = \frac{\mu_0 \cdot I}{2\pi \cdot b} \vec{k} \Rightarrow B = \frac{\mu_0 \cdot I}{2\pi \cdot b}}$$

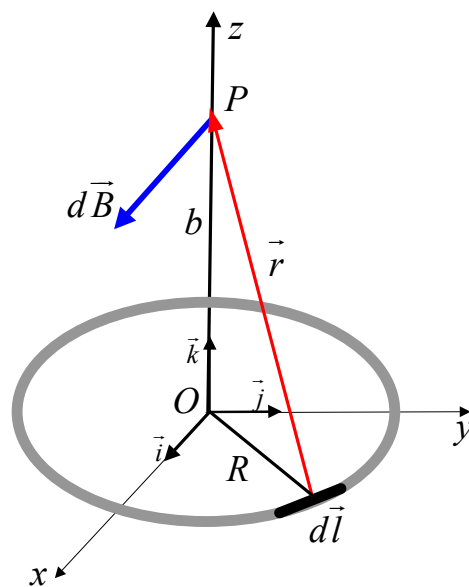
الشاع  $\vec{B}$  في هذه الحالة عمودي على المستوى  $Oxy$  و موجه حسب إحدى قواعد التوجيه.

**ملاحظة:** في حالة ناقل مستقيم ترسم خطوط الحقل دوائر مركزها الناقل و متعمدة معه.

### ب/ حقل التحريض المغناطيسي الناتج عن تيار دائري:

(champ d'induction magnétique produit par un courant circulaire)

يبين الشكل 10.4 حلقة يجتازها تيار كهربائي ثابت الشدة  $I$ . نريد تحديد حقل التحريض المغناطيسي على محور هذه الحلقة.



الشكل 10.4 : الحقل المغناطيسي الناتج عن تيار دائري

نختار على الحلقة طولاً عنصرياً  $d\vec{l}$ ، ثم نحسب الحقل المغناطيسي العنصري المتولد في النقطة  $P$ . للحصول على الحقل الكلي نقوم بعملية التكامل.

حسب الشكل 11.4:

$$\left. \begin{array}{l} Oy \perp Ox \\ dl \perp R \end{array} \right\} \Rightarrow \alpha = \theta \quad \text{الزاوיתان } \alpha \text{ و } \theta \text{ متعادمتا الأضلاع:}$$

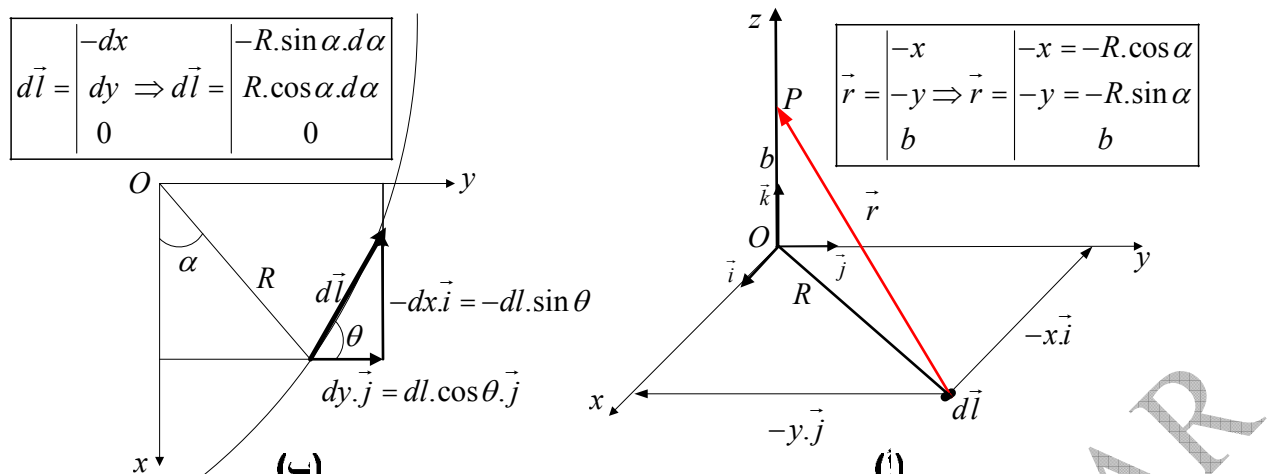
$$d\vec{l} = -dx\vec{i} + dy\vec{j} \Rightarrow d\vec{l} = -dl \sin \alpha \vec{i} + dl \cos \alpha \vec{j}$$

$$dl = R.d\alpha \quad \text{و بما أن}$$

$$d\vec{l} = -R \sin \alpha . d\alpha \vec{i} + R \cos \alpha . d\alpha \vec{j} \quad \text{فإن:}$$

و عليه فإن مركبات الشعاعين  $d\vec{l}$  و  $\vec{r}$  هي:

$$\vec{r} = \begin{vmatrix} -x = -R \cos \alpha . d\alpha \\ -y = -R \sin \alpha . d\alpha \\ b \end{vmatrix} \quad d\vec{l} = \begin{vmatrix} -R \sin \alpha . d\alpha \\ R \cos \alpha . d\alpha \\ 0 \end{vmatrix}$$

الشكل 11.4 : تعين مركبات الشعاعين  $d\vec{l}$  و

طبق قانون بيوت وسافار:

$$d\vec{B} = \frac{\mu_0 I}{4\pi} \cdot d\vec{l} \wedge \frac{\vec{r}}{r^3} = \frac{\mu_0 I}{4\pi r^3} \cdot d\vec{l} \wedge \vec{r}$$

$$d\vec{B} = \frac{\mu_0 I}{4\pi r^3} \cdot \begin{vmatrix} \vec{i} & \vec{j} & \vec{k} \\ -R\sin\alpha & R\cos\alpha & 0 \\ -R\cos\alpha & -R\sin\alpha & b \end{vmatrix} \cdot d\alpha$$

$$d\vec{B} = \underbrace{\frac{\mu_0 I}{4\pi r^3} \cdot (Rb\cos\alpha \cdot d\alpha) \vec{i}}_{d\vec{B}_x} + \underbrace{\frac{\mu_0 I}{4\pi r^3} \cdot (Rb\sin\alpha \cdot d\alpha) \vec{j}}_{d\vec{B}_y} + \underbrace{\frac{\mu_0 I}{4\pi r^3} \cdot (R^2 \cdot d\alpha) \vec{k}}_{d\vec{B}_z}$$

يتبيّن لنا أن  $\vec{d}\vec{B} = d\vec{B}_x + d\vec{B}_y + d\vec{B}_z$  ثلات مركبات:يُكفي الآن مكاملة المركبات الثلاثة من  $0$  إلى  $2\pi$  للحصول على المركبات الثلاثة للحقل

المغناطيسي الناتج عن كل الحلقة:

$$B_x = \int_0^{2\pi} dB_x = \int_0^{2\pi} \frac{\mu_0 I R b}{4\pi r^3} \cos\alpha \cdot d\alpha = \frac{\mu_0 I R b}{4\pi r^3} \cdot \int_0^{2\pi} \cos\alpha \cdot d\alpha = 0$$

$$B_y = \int_0^{2\pi} dB_y = \int_0^{2\pi} \frac{\mu_0 I R b}{4\pi r^3} \sin\alpha \cdot d\alpha = \frac{\mu_0 I R b}{4\pi r^3} \cdot \int_0^{2\pi} \sin\alpha \cdot d\alpha = 0$$

$$B_z = \int_0^{2\pi} dB_z = \int_0^{2\pi} \frac{\mu_0 I R^2}{4\pi r^3} d\alpha = \frac{\mu_0 I R^2}{4\pi r^3} \cdot \int_0^{2\pi} d\alpha = \frac{\mu_0 I R^2}{4\pi r^3} \cdot 2\pi$$

و في النهاية:

$$(18.4) \quad \boxed{\vec{B} = \vec{B}_z = \frac{\mu_0 R^2 I}{2[R^2 + b^2]^{3/2}} \vec{k}} \Rightarrow \boxed{B = B_z = \frac{\mu_0 R^2 I}{2[R^2 + b^2]^{3/2}}}$$

هذه العبارة لا تصح إلا إذا كانت النقطة  $P$  تقع على المحور العمودي على مستوى الحلقة و المار من مركزها.

مناقشة:

الحالة الأولى: في مركز الحلقة  $0 = b$  ، و مهما كان نصف قطرها فإن:

$$(19.4) \quad B = \frac{\mu_0 \cdot I}{2b}$$

الحالة الثانية: إذا كانت الحلقة صغيرة جدا أي  $R \gg b$  ، فإن:

$$(20.4) \quad B = \frac{\mu_0 R^2 \cdot I}{2b^3}$$

الحالة الثالثة: في حالة وشيعة مصفحة مكونة من  $N$  حلقة، نأخذ نصف قطر المتوسط للحلقات و نضرب النتائج السابقة في العدد  $N$  :

$$(21.4) \quad B = B_z = \frac{\mu_0 R^2 \cdot I}{2[R^2 + b^2]^{3/2}} \cdot N$$

$$B = \frac{\mu_0 \cdot I}{2b} \cdot N$$

$$B = \frac{\mu_0 R^2 \cdot I}{2b^3} \cdot N$$

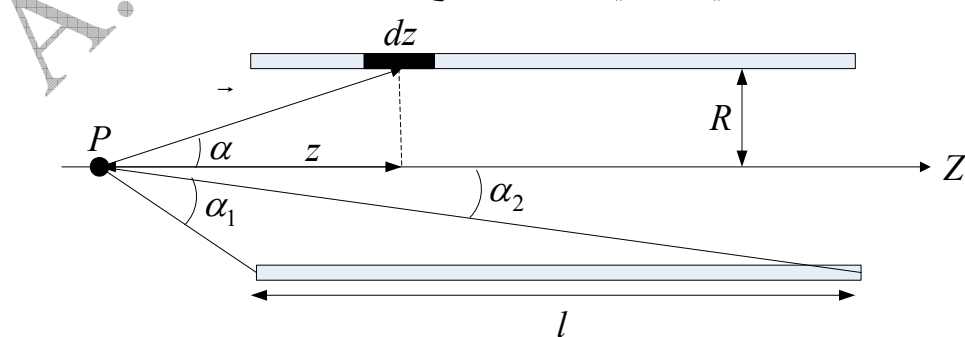
### ج/ حقل التحرير المغناطيسي الناتج عن تيار حلزوني:

(champ d'induction magnétique produit par un courant solénoïdal)

هنا كذلك لا نهم إلا ب نقطة تقع على محور الوشيعة الحلزونية.

لتكن وشيعة طولها  $l$  مكونة من  $N$  حلقة ، يجتازها تيار كهربائي شدته  $I$ . المطلوب

حساب حقل التحرير المغناطيسي  $\vec{B}$  في نقطة  $P$  تقع على المحور  $oz$  للوشيعة.



الشكل 12.4 : الحقل المغناطيسي الناتج عن تيار كهربائي حلزوني

نأخذ النقطة  $P$  كمبداً، و نعتبر الطول العنصري  $dz$  من الوشيعة و الذي في حقيقة

$$(12.4) \quad \text{أمره يحتوي على عدد من الحلقات يساوي } N. \frac{N}{l} \text{ (الشكل 12.4)}$$

و باستعمال نتائج الحقل المغناطيسي الناتج عن تيار دائري يمكننا كتابة:

$$d\vec{B} = \begin{cases} 0 \\ 0 \\ \frac{\mu_0 R^2 I}{2[R^2 + z^2]^{3/2}} \cdot \frac{N}{l} dz \end{cases}$$

نلاحظ من الشكل 12.4 أن:

$$z = R \cot \alpha \Rightarrow dz = -R \frac{1}{\sin^2 \alpha} d\alpha$$

للتمكن من عملية التكامل بسهولة لا بد من تحويل للمتغيرات:

$$R^2 + z^2 = R^2 + R^2 \cot^2 \alpha = R^2 \underbrace{(1 + \cot^2 \alpha)}_{1/\sin^2 \alpha} = R^2 \cdot \frac{1}{\sin^2 \alpha}$$

و بالتعويض في عبارة  $d\vec{B}$  نجد:

$$d\vec{B} = \frac{\mu_0 R^2 I}{2[R^2 / \sin^2 \alpha]^{3/2}} \cdot \frac{N}{l} \cdot (-R / \sin^2 \alpha) d\alpha \Rightarrow d\vec{B} = \frac{\mu_0 I}{2} \cdot \frac{N}{l} d\alpha$$

للحصول على حقل التحرير المغناطيسي، الناتج في النقطة  $P$  الواقعة على المحور  $oz$  للوشيعة، عن تيار كهربائي يجتاز هذه الوشيعة، يجب القيام بعملية التكامل من طرف إلى

آخر للوشيعة أي من  $\alpha_1$  إلى  $\alpha_2$  فنحصل على:

$$(22.4) \quad \boxed{\vec{B} = \frac{\mu_0 N I}{2l} (\cos \alpha_2 - \cos \alpha_1) \vec{k} \Rightarrow B = \frac{\mu_0 N I}{2l} (\cos \alpha_2 - \cos \alpha_1)}$$

مناقشة:

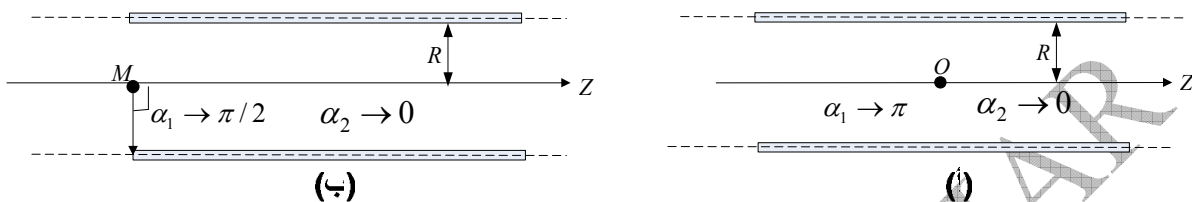
الحالة الأولى: النقطة  $O$  تقع في مركز وشيعة طويلة جداً بحيث  $\alpha_1 = \pi$  و  $\alpha_2 = 0$ ، الشكل 13.4 (أ):

$$(23.4) \quad \boxed{\vec{B} = \frac{\mu_0 N I}{l} \vec{k} \Rightarrow B = \frac{\mu_0 N I}{l}}$$

الحالة الثانية: النقطة  $M$  تقع على المحور  $oz$  وعلى حافة الوشيعة حيث  $\alpha_1 = \pi/2$  و

: الشكل 13.4(ب)  $\alpha_2 = 0$

$$(24.4) \quad \boxed{\vec{B} = \frac{\mu_0 \cdot N \cdot I}{2l} \vec{k} ; B = \frac{\mu_0 \cdot N \cdot I}{2l}}$$

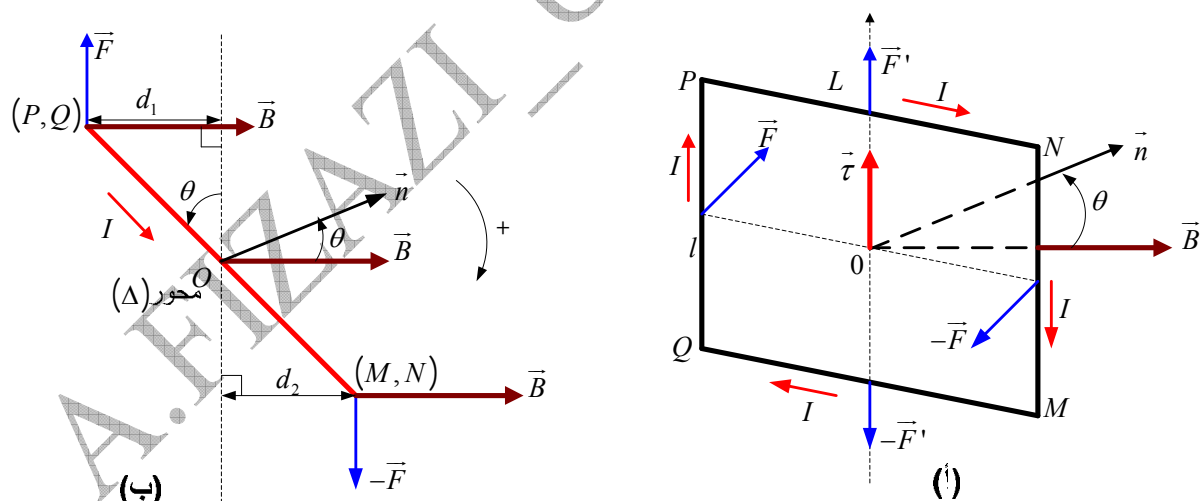


الشكل 13.4 : الحقل المغناطيسي الناتج عن تيار كهربائي حلزوني

**F/ثاني القطب المغناطيسي:** (dipôle magnétique)

**1/المزدوجة الكهرومغناطيسية:** (couple électromagnétique)

يمثل الشكل 14.4(أ) إطاراً مستطيلاً  $MNPQ$  يجتازه تيار كهربائي شدته  $I$  ثابتة و اتجاهه حسب ما هو معين على الشكل.



الشكل 14.4 : المزدوجة الكهرومغناطيسية

يسبح هذا الناقل في حقل مغناطيسي منتظم  $\vec{B}$  يصنع، مع ناظم سطح الناقل  $\vec{n}$ ، الزاوية  $\theta$ .  $\vec{n}$  موجه بالنسبة للتيار  $I$  حسب قاعدة البرغي.

القوتان  $\vec{F}$  تؤثران على الصلعين  $NP$  و  $MQ$ ، و هما متعاكستان مباشرة، بالإضافة لكون مفعولهما معدوم، لأن الإطار غير قابل للتشوه، و هما لا تتجان أي عزم. تؤثر القوتان  $\vec{F}$  على الصلعين  $MN$  و  $PQ$  فتكونان مزدوجة من شأنها تدوير الإطار، ليستقر في وضع حيث يكون مستواه عموديا على الحقل المغناطيسي  $\vec{B}$ . الصلعان  $MN$  و  $PQ$  متعامدان مع  $\vec{B}$  حين يبلغ الإطار موضع توازنه.

يبين الشكل 14.4(ب) مسقط الإطار الشاقولي  $MNPQ$  على مستوى أفقى. و اعتمادا على هذا الشكل يمكن تحديد مقدار المزدوجة:

$$(25.4) \quad \begin{aligned} \Gamma_{\Delta} &= F.d_1 + F.d_2 \\ d_1 = d_2 &= \frac{L}{2} \cdot \sin \theta \\ F &= B.I.l \end{aligned} \quad \boxed{\Gamma_{\Delta} = BIL.l \sin \theta}$$

بما أن مساحة الإطار تساوي  $S = Ll$  فإن:

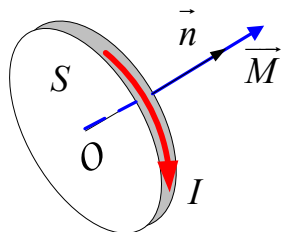
$$(26.4) \quad \boxed{\Gamma_{\Delta} = BIS \sin \theta}$$

نشير هنا إلى أن هذه المزدوجة للإرجاع يجعل الإطار يعود إلى وضع توازنه أي الوضع العمودي على الحقل  $\vec{B}$  ( $\vec{n} \parallel \vec{B}$  ،  $\theta = 0$ ) ، وهذا في حالة إزاحته من موضع توازنه. هذه النتيجة المتحصل عليها في حالة حلقة مستطيلة صالحة لأى دارة مهما كانت.

**النتيجة:** كل دارة مستوية يجتازها تيار كهربائي و موجودة في حقل مغناطيسي منتظم تخضع لفعل توجيهي ناتج عن مزدوجة. هذه المزدوجة الكهرومغناطيسية من شأنها جعل مستوى الإطار عمودي على  $\vec{B}$ .

## 2/ العزم المغناطيسي: (moment magnétique)

كل حلقة (أو أي شكل آخر) لتيار كهربائي تؤثر عليها مزدوجة كهرومغناطيسية تسمى "ثاني قطب مغناطيسي"



**تعريف:** نسمى شعاع العزم المغناطيسي أو عزم ثانوي القطب المغناطيسي لدارة إطار سطحه  $S$  العباره: 
$$(27.4) \quad \vec{M} = I.S.\vec{n}$$

الشكل 15.4 : العزم المغناطيسي

يمثل الشكل 15.4 شعاع العزم المغناطيسي في حالة حلقة.

انطلاقا من هذا التعريف يمكن كتابة عباره المزدوجة الكهرومغناطيسية بالصيغة:

$$(28.4) \quad \Gamma = MB \sin \theta \Leftrightarrow \vec{\Gamma} = \vec{M} \wedge \vec{B}$$

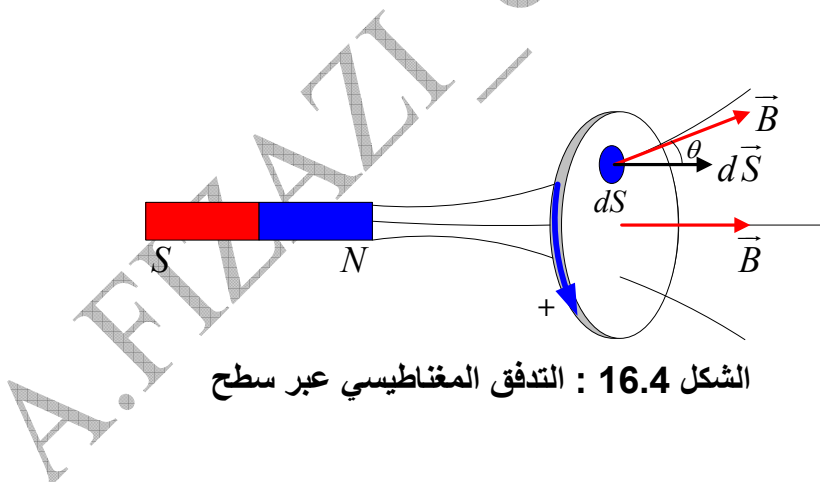
G/ **التحريض الكهرومغناطيسي:** (induction électromagnétique)

1/ **التدفق المغناطيسي:** (flux magnétique)

❖ **تعريف:** نسمى تدفق الحقل المغناطيسي  $\vec{B}$  عبر السطح العنصري  $dS$

المقدار:

$$(29.4) \quad \Phi = \int_S \vec{B} \cdot d\vec{S} = \int_S \vec{B} \cdot \vec{n} dS = \int_S B \cos \theta dS$$



الشكل 16.4 : التدفق المغناطيسي عبر سطح

$d\vec{S}$  يمثل شعاع السطح العنصري، نعتبره دائما عموديا على السطح و مغادر للسطح حسب الاتجاه الموجب المختار اعتبارا ( وفق قاعدة البرغي) على محيط السطح. كما نعتبر  $\vec{B}$  منتظما عبر السطح العنصري  $dS$ . الشعاع  $\vec{n}$  يمثل شعاع الواحدة لناظم السطح.

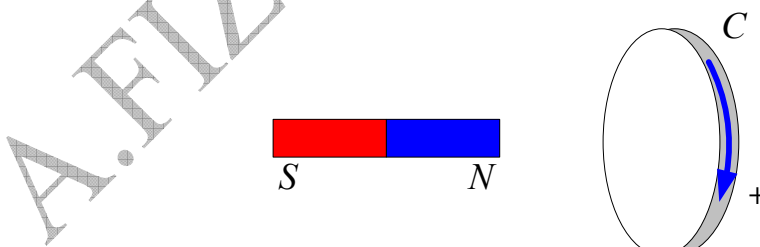
❖ **وحدة التدفق: وير:** (Wilhelm Edward Weber 1804-1891) ( $Wb$ )

### ❖ كيف يتغير $\Phi$ عند ما نقارب أو نبعد المغناطيس والوشيعة؟

- ☞ عند تقرّب المغناطيس من الوشيعة، فإن  $B$  تزداد في كل نقطة من السطح فيزداد  $\Phi$  (و هذا يعني ازدياد عدد خطوط الحقل العابرّة للسطح).
- ☞ عند إبعاد المغناطيس من الوشيعة، فإن  $B$  تتناقص في كل نقطة من السطح فيتناقص  $\Phi$  (و هذا يعني تناقص عدد خطوط الحقل العابرّة للسطح).

#### مثال 2.4:

- 1/ إخترنا اتجاهها موجباً للسير على الوشيعة المصفحة ( $C$ ) الممثلة على الشكل 17.4.
- أ/ هل التدفق موجب أم سالب؟ وبعد المغناطيس المستقيم عن الوشيعة، هل التدفق يزيد أم ينقص؟
- ب/ تناول نفس الأسئلة بعكس قطبي المغناطيس.
- 2/ تشتمل هذه الوشيعة على 20 حلقة ذات سطح  $10\text{cm}^2$  و تسبح في حقل مغناطيسي منتظم شدته  $0,1\text{T}$ . الوشيعة عمودية على خطوط الحقل.
- أ/ ننقل الوشيعة بحركة انسحابية، هل يتغيّر التدفق؟
- ب/ ندور الوشيعة بـ  $180^\circ$  حول أحد أقطارها. أحسب تغيّر التدفق عبر الوشيعة.



الشكل 17.4 : التحرير الكهرومغناطيسي

#### الحل:

- 1/ الشعاعان  $\vec{n}, \vec{B}$  في الوشيعة متوازيان و لهما نفس الإتجاه-الشكل 18.4(ا)
- $$\Phi = B.S.\cos\theta > 0 : (0 \leq \theta < \pi/2)$$

عند إبعاد المغناطيس من الوشيعة فإن شدة  $\vec{B}$  على مستوى سطحها تتناقص، إذن التدفق يتناقص.

ب/ الشعاعان  $\vec{n}, \vec{B}$  في الوشيعة متوازيان و متعاكسا للاتجاه -الشكل 18.4(ب)-

$$\Phi = B.S \cos\theta < 0 : (\pi \geq \theta > \pi/2)$$

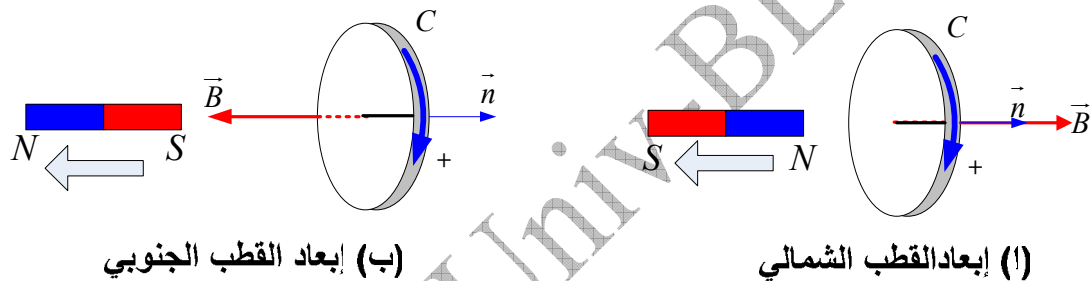
عند إبعاد المغناطيس من الوشيعة فإن شدة  $\vec{B}$  على مستوى سطحها تتناقص، إذن التدفق يتناقص.

1/ ما دام  $\vec{B}$  منتظم فإن التدفق لا يتغير.

ب/ في الوضع الإبتدائي:  $\Phi_1 = N.B.S \cos 0 = 2 \times 10^{-3} Wb$

في الوضع النهائي:  $\Phi_2 = N.B.S \cos 180^\circ = -2 \times 10^{-3} Wb$

إذن تغير التدفق المغناطيسي يساوي:  $\Delta\Phi = \Phi_2 - \Phi_1 = -4 \times 10^{-3} Wb$



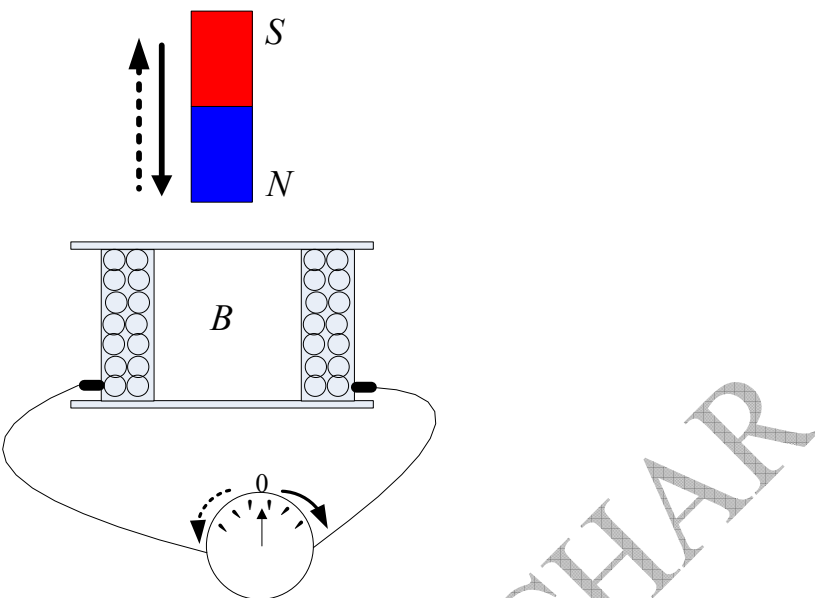
الشكل 18.4

## 2 التحرير الكهرومغناطيسي:

حتى الآن اعتبرنا الحقلين الكهربائي و المغناطيسي مستقلين عن الزمن أي حقلين ساكنين. فماذا لو أصبح الحقلان تابعين للزمن؟

في 1830 إكتشف فرادي و هنري (Joseph Henry 1797-1878/Michaël Faraday 1791-1867) ظاهرة التحرير الكهرومغناطيسي. هذه الظاهرة هي أساس مبدأ المولدات الكهربائية، المحولات و عديد من الأجهزة الكهرومغناطيسية المستعملة يوميا. وأهم من كل هذا فإن هذه الظاهرة هي أساس توليد التيار المتناوب.

### ❖ وصف التجربة:



الشكل 19.4 : التحرير الكهرومغناطيسي

يمثل الشكل 19.4 وشيعة مجوفة  $B$  ، تحتوي على عدد كبير من اللفات، موصولة بجهاز غلفاني حساس. المغناطيسي في البداية ساكن و موجه وفق محور الوشيعة. عند تقریب المغناطيسي بسرعة من الوشيعة فإن الجهاز الغلفاني يشير إلى مرور تيار كهربائي سرعان ما يختفي بتوقف حركة المغناطيسي. عند سحب المغناطيسي من داخل الوشيعة، يسجل الجهاز الغلفاني مرور تيار كهربائي في الإتجاه المعاكس.

التيار المسجل يدعى **تيار تحريري**(courant induit)، المغناطيسي هو **المحرض** (inducteur) و الوشيعة هي جزء من **الدارة المترسبة** (circuit induit). يمكن الحصول على تيار متجرّض بتدوير الوشيعة أمام المغناطيسي الساكن.

#### ❖ التفسير:

سبب ظهور التيار التحريري هو تغير التدفق المغناطيسي عبر سطح الوشيعة. التيار التحريري لا يدوم إلا مدة دوام **تغير التدفق**(variation du flux). ظهور هذا التيار التحريري يدل على وجود قوة محركة كهربائية تحريرية مقرها الوشيعة. تتعلق القوة المحركة الكهربائية التحريرية بسرعة تغير التدفق المغناطيسي .  $d\Phi_B / dt$

#### ❖ نص قانون فرادي و هنري:(loi de Faraday-Henry):

تولد قوة محركة كهربائية تحريرية في كل دارة مغلقة تسبح في حقل مغناطيسي وتساوي مشتقة التدفق المغناطيسي عبر الدارة بالنسبة للزمن (أي سرعة تغير التدفق) بعكس الإشارة.

(30.4)

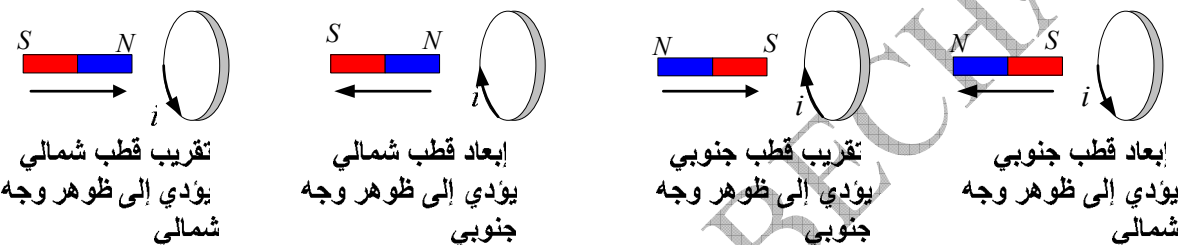
$$e = -\frac{d\Phi}{dt}$$

### ❖ نص قانون لانز:

يعطي هذا القانون كيفية التبؤ باتجاه التيار المترافق.

"اتجاه التيار التحريري يكون بحيث يعكس بأفعاله السبب الذي أدى إلى ظهوره."

نوضح محتوى هذا القانون بالأمثلة المبينة في الشكل 20.4.



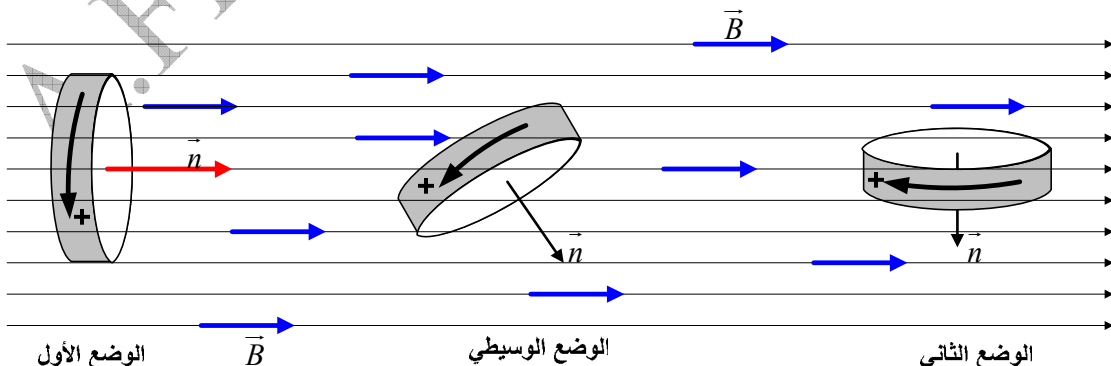
الشكل 20.4 : تعين اتجاه التيار المترافق بتطبيق قانون لانز

### مثال: 3.4

وشيعة مصفحة مكونة من  $N = 500$  حلقة دائرة، نصف قطرها  $r = 0,1m$  محورها يوازي في البداية شاعر الحقل المغناطيسي  $\vec{B}$  لحقل مغناطيسي منتظم شدته  $0,2T$  (الشكل 21.4). في ظرف  $0,5s$ ، يصبح محورها عموديا على  $\vec{B}$ .

ما هي القوة المحركة الكهربائية التحريرية المتوسطة التي تنشأ؟

ما هو اتجاه التيار المترافق؟



الشكل 21.4

الحل:

في وضعها الإبتدائي، نوجه شعاع الواحدة  $\vec{n}$  الناظمي على مستوى الحلقات في نفس اتجاه  $\vec{B}$ . إذن الحلقات موجهة في الإتجاه الموجب المبين على الشكل. في هذا الوضع، التدفق موجب و يساوي:

$$\Phi_0 = N \cdot \vec{B} \cdot \vec{n} \cdot S = N \cdot B \cdot S , \quad \Phi_0 = 500 \times 3,14 \times (0,1)^2 \times 0,2 \Rightarrow \boxed{\Phi_0 = 3,14 Wb}$$

في الوضع النهائي،  $\Phi_1 = 0$  لأن  $\vec{n} \perp \vec{B}$ . إذن، خلال الحركة تغير التدفق يساوي:

$$\Delta\Phi = \Phi_1 - \Phi_0 = -3,14 Wb$$

القوة المحركة الكهربائية التحريرية المتوسطة خلال المدة  $\Delta t = 0,5s$  تساوي:

$$e_{moy} = -\frac{-3,14}{0,5} \Rightarrow \boxed{e_{moy} = 6,28 V}$$

التدفق  $\Phi$  يتلاقص و التيار المتحرّض يسري أثناء كل مدة الحركة في الإتجاه الموجب المختار.

في هذا الفصل كان اهتمامنا منصبًا بأحد أهم آثار التيار الكهربائي ألا هو الأثر المغناطيسي و الذي يجد تطبيقاته الكثيرة في الصناعة، لا سيما الكهروميكانيك.

EXERCICES

\*\*

تمارينExercice 4.1

Un éclair transporte couramment un courant maximum de  $20kA$ . Quel est le champ magnétique maximum qu'il produit à  $1m$  ? à  $300m$  ?

التمرين 1.4

ينقل برق عادة تياراً أعظمياً مقداره  $20kA$ . ما هو الحقل المغناطيسي الأعظمي الذي ينتجه هذا البرق على بعد  $1m$ ؟ على بعد  $300m$ ؟

Exercice 4.2

Une ligne rectiligne de tension est située à une hauteur de  $12m$  au dessus du sol. Elle transporte un courant de  $300A$  dans la direction de l'Ouest.

Décrire le champ magnétique qu'elle produit et calculer sa valeur sous la ligne au niveau du sol.

Comparer le avec le champ magnétique terrestre.

تمرين 2.4

يقع خط مستقيم للتوتر على ارتفاع  $12m$  فوق سطح الأرض و ينقل تياراً قدره  $300A$  في اتجاه الغرب. صف الحقل المغناطيسي الذي ينتجه و احسب قيمته تحت الخط على مستوى سطح الأرض.قارنه بالحقل المغناطيسي الأرضي.

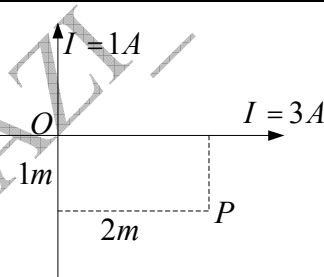
Exercice 4.3

Deux courants électriques perpendiculaires de  $1A$  et  $3A$  sont orientés comme sur le dessin et se croisent au point  $O$ .

Quelles sont l'intensité et l'orientation du champ magnétique au point  $P$  situé dans le plan des deux courants, à  $1m$  et  $2m$  des deux courants comme indiqué dans la figure ?

التمرين 3.4

تياران كهربائيان مت العمدان ذي  $1A$  و  $3A$  موجهان كما هو مبين على الرسم و ينقطعان في النقطة  $O$ . ما هما شدة و توجيه الحقل المغناطيسي في النقطة  $P$  الواقعة في مستوى التيارين، على بعد  $1m$  و  $2m$  من التيارين كما هو مبين في الشكل؟

Exercice 4.4

Soit une spire de rayon  $R$  parcourue par un courant d'intensité  $I$ .

1/ Calculer le champ magnétique créé le long de l'axe  $OZ$ , à une distance  $z$  du centre  $O$ , en fonction de l'angle  $\theta$  sous lequel on voit la spire (figure ci-dessous).

2/ Retrouver l'expression

$$B_z = \frac{\mu_0 I}{2} \frac{R^2}{(R^2 + z^2)^{3/2}}$$

3/ Quelle est la forme approchée de cette expression à grandes distances de l'axe  $OZ$  ?

4/ Exprimer le champ magnétique  $B_z$  en fonction du moment magnétique  $M$ .

5/ En déduire le champ  $B_o$  créé au centre  $O$  de la

التمرين 4.4

لتكن حلقة نصف قطرها  $R$  يجتازها تيار شدته  $I$ .  
أ/ أحسب الحقل المغناطيسي على طول المحور  $OZ$  ، على بعد  $z$  من المركز  $O$  ، بدلالة الزاوية  $\theta$  التي نرى من خلالها الحلقة (الشكل في الأسفل).

ب/ أوجد من جديد العبارة

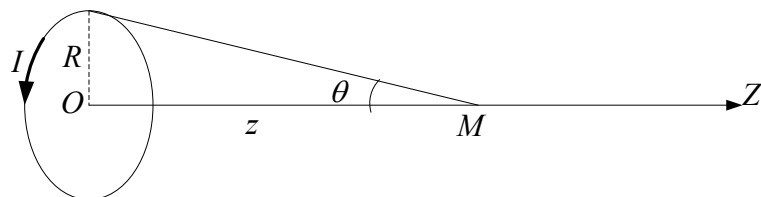
$$B_z = \frac{\mu_0 I}{2} \frac{R^2}{(R^2 + z^2)^{3/2}}$$

ج/ ما هو الشكل التقريري لهذه العبارة على مسافات كبيرة للمحور  $OZ$  ؟

د/ عبر عن الحقل المغناطيسي  $B_z$  بدلالة العزم المغناطيسي  $M$  .

هـ/ يستنتج الحقل  $B_o$  الناتج في المركز  $O$  للحلقة.

spire.



#### Exercice 4.5

Deux fils conducteurs rectilignes, infinis, parallèles, et distants de  $d = 20\text{cm}$ , sont traversés l'un par un courant  $I_1 = 20\text{A}$ , l'autre par un courant  $I_2 = 80\text{A}$ .

1/ les courants sont de même sens. Calculer l'intensité du champ magnétique résultant en un point  $M$  situé dans le plan des conducteurs, à égale distance de chacun d'eux. Trouver dans ce plan la distance par rapport aux conducteurs, de la droite où le champ magnétique est nul.

2/ Même questions avec des courants de sens contraires.

3/ En déduire la définition légale de l'ampère.

#### التمرين 5.4

سلكان ناقلان مستقيمان، لامتاهيان، متوازيان، و متباعدان بـ  $d = 20\text{cm}$ ، يجتاز أحدهما تيار  $I_1 = 20\text{A}$  ، و يجتاز الآخر تيار  $I_2 = 80\text{A}$

/1 التياران لهما نفس الاتجاه. أحسب شدة المقل المغناطيسي الناتج في نقطة  $M$  الواقعة في مستوى الناقلين، و على نفس بعد من كل منهما. أوجد في هذا المستوى المسافة بالنسبة للناقلين، للمستقيم حيث المقل المغناطيسي معادم.

/2 نفس الأسئلة مع تيارين متعاكسي الاتجاهين.

/3 إستنتاج التعريف القانوني للأمبير.

#### Exercice 4.6

Une particule de masse  $5.10^{-4}\text{kg}$  porte une charge de  $2,5.10^{-8}\text{C}$ . On communique à la particule une vitesse initiale horizontale de  $6.10^4\text{ms}^{-1}$ .

Quelles sont la grandeur et la direction du champ magnétique minimum qui maintiendra la particule sur une trajectoire horizontale en compensant l'effet de la pesanteur ?

#### التمرين 6.4:

جسيمة كتلتها  $5.10^{-4}\text{kg}$  تحمل شحنة  $C = 2,5.10^{-8}$  .  
نعطي للجسيمة سرعة ابتدائية أفقية مقدارها  $6.10^4\text{ms}^{-1}$  .  
ما هما شدة و جهة المقل المغناطيسي الأصغرى الذي يبقى الجسيمة على مسار أفقى بتعويض فعل الجاذبية؟

#### Exercice 4.7

1/ Calculer la circulation du champ magnétique le long de l'axe ( $Ox$ ) d'une spire circulaire de rayon  $R$  parcourue par un courant  $I$ .

2/ Calculer de même la circulation du champ magnétique le long de l'axe ( $Ox$ ) (de  $-\infty$  à  $+\infty$ ) d'un solénoïde circulaire de rayon  $R$ , de longueur  $l$  et comportant  $N$  spires jointives parcourues chacune par un courant  $I$ .

#### التمرين 7.4

/1 أحسب تجول المقل المغناطيسي على طول المحور ( $Ox$ ) (من  $-\infty$  إلى  $+\infty$ ) لحلقة دائريّة نصف قطرها  $R$  يجتازها تيار  $I$ .

/2 أحسب تجول المقل المغناطيسي على طول المحور ( $Ox$ ) (من  $-\infty$  إلى  $+\infty$ ) لحزون دائري نصف قطره  $R$ ، طوله  $l$  و يشتمل على  $N$  حلقة متلاصقة يجتاز كل واحدة منها تيار  $I$ .

#### Exercice 4.8

Un spectromètre de masse permet la séparation des isotopes d'un même élément chimique. Il est constitué essentiellement d'une chambre d'ionisation, d'une chambre accélératrice et d'une chambre de séparation. (figure ci-dessous).

On veut séparer des ions lithium  ${}^7_3\text{Li}^+$  et  ${}^6_3\text{Li}^+$

#### التمرين 8.4

جهاز قياس الطيف الكتني يمكن من فصل نظائر نفس العنصر الكيميائي. يتكون أساساً من غرفة للتبريد، غرفة مسرعه و غرفة للفصل. (الشكل في الأسفل).

نريد فصل شوارد الليثيوم  ${}^7_3\text{Li}^+$  و  ${}^6_3\text{Li}^+$  الحاملين للشحنة  $q = 1,6.10^{19}\text{C}$  و ذاتي الكتالين على التوالي

porteurs de la charge  $q = 1,6 \cdot 10^{19} C$  et de masses respectives  $m_1 = 7u.m.a$  et  $m_2 = 6u.m.a$ . Ces ions pénètrent en  $O'$  dans un champ électrique uniforme, créé par une tension  $U = V_A - V_C = 4000V$  appliquée entre les 2 plaques horizontales  $P_1$  et  $P_2$ .

Les ions lithium pénètrent alors dans un champ magnétique uniforme d'intensité  $B = 0,1T$ , leur trajectoire devient circulaire dans la chambre de séparation.

La partie effectivement décrite de chaque trajectoire est un demi-cercle à la fin duquel les particules arrivent sur la plaque photographique dans les collecteurs  $C_1$  et  $C_2$ .

1/ Evaluer les vitesses  $v_1$  et  $v_2$  des deux types d'ions en fonction de  $q, m_1$  ou  $m_2$  et  $U$  à la sortie de la chambre d'accélération.

2/ Calculer les distances  $OC_1$  et  $OC_2$ .

$$1u.m.a = 1,67 \cdot 10^{-27} kg$$

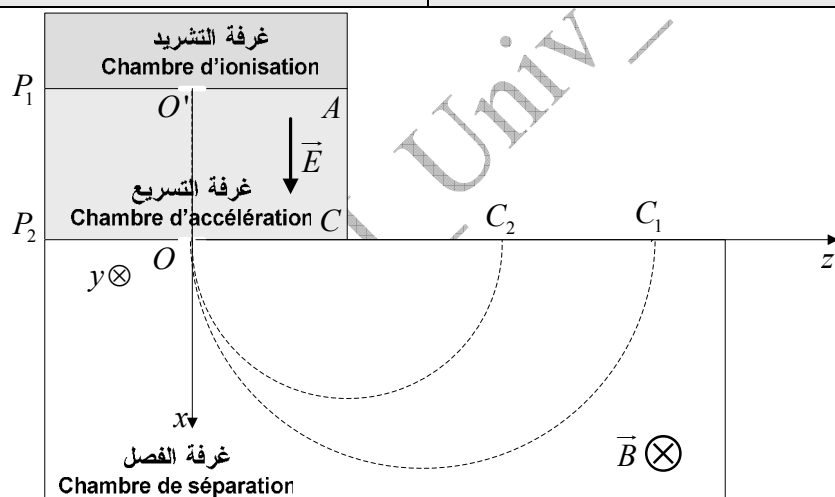
(porteur de la charge  $q = 1,6 \cdot 10^{19} C$  et de masse  $m_1 = 7u.m.a$  et  $m_2 = 6u.m.a$ ). Tدخل هذه الشوارد عند  $O'$  في حقل كهربائي منتظم، ناتج عن توتر  $U = V_A - V_C = 4000V$  مطبق بين صفيحتين أفقيتين  $P_1$  و  $P_2$

تدخل شوارد الليثيوم بعد ذلك في حقل مغناطيسي شدته  $B = 0,1T$  ، يصبح مسارها دائريا في غرفة الفصل. الجزء الموصوف فعليا لكل مسار هو نصف دائرة و الذي في نهايته تصل الجسيمات إلى الصفيحة الفوتوغرافية في المجمعين  $C_1$  و  $C_2$ .

1/ أحسب السرعتين  $v_1$  و  $v_2$  لصنفي الشوارد بدلالة  $q, m_1, m_2$  أو  $U$  عند الخروج من غرفة التسريع.

2/ أحسب المسافتين  $OC_1$  و  $OC_2$

$$1u.m.a = 1,67 \cdot 10^{-27} kg$$



#### Exercice 4.9

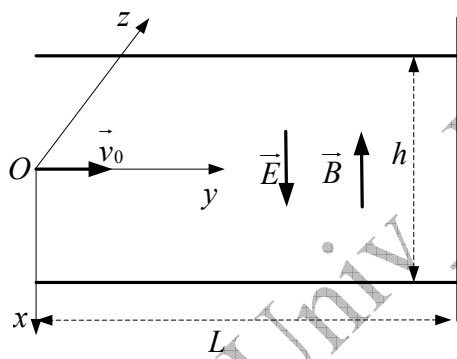
Dans un dispositif expérimental un faisceau homocinétique d'ions pénètre en  $O$ , pris comme origine des espaces, entre les armatures d'un condensateur plan avec une vitesse initiale horizontale  $v_0$  suivant la longueur. Un écran fluorescent ( $F$ ) est positionné immédiatement à la sortie du condensateur. Ce condensateur plan est formé de deux plaques carrées de côté  $L$  et distantes de  $h$ . Le faisceau est soumis à une différence de potentiel  $U$ . Un champ magnétique  $\vec{B}$  uniforme parallèle au champ électrique  $\vec{E}$  et de direction opposée, de module  $B$  règne dans cet espace. Nous ferons l'hypothèse que la vitesse initiale  $v_0$  est grande par rapport aux vitesses acquises à cause des champs

#### التمرين 9.4

في ترتيب تجاري تدخل حزمة شوارد في  $O$  ، المأخوذة كمبدأ للمسافات، بين لبوسي مكثفة مستوية بسرعة ابتدائية أفقية  $v_0$  وفق الطول. توضع شاشة مستشعة ( $F$ ) مباشرة عند مخرج المكثفة. تكون هذه المكثفة المستوية من صفيحتين مربعتين ضلع كل منهما  $L$  و متباعدتين بـ  $h$ . تخضع الحزمة لفرق في الكمون  $U$ . يسود في هذا المجال حقل مغناطيسي  $\vec{B}$  منتظم موازي للحقل الكهربائي  $\vec{E}$  و يعاكسه في الاتجاه، شدته  $B$ . نفترض أن السرعة الابتدائية كبيرة بالنسبة للسرعات المكتسبة بسبب الحقلين الكهربائي و المغناطيسي.

1/ بافتراض أن الحقل الكهربائي ينشط وحده

|  |   |
|--|---|
| <p>électrique et magnétique.</p> <p>1/ En supposant que le champ électrique agit seul (<math>B = 0</math>), trouver la trajectoire des ions dans le condensateur et la position des marques qu'ils laissent sur l'écran fluorescent.</p> <p>2/ En supposant que le champ magnétique agit seul (<math>E = 0</math>), trouver la trajectoire des ions dans le condensateur et la position des marques qu'ils laissent sur l'écran fluorescent.</p> <p>3/ Sous l'action simultanée des deux champs, montrer que l'équation de la trajectoire du faisceau est indépendante de la vitesse initiale du faisceau.</p> <p>4/ Quelle est la grandeur qu'on peut déduire de cette expérience ?</p> | <p>(<math>B = 0</math>) ، أوجد مسار الشوارد في المكثفة و موضع العلامات التي تتركها على الشاشة المستشعة.</p> <p>/ بافتراض أن الحقل المغناطيسي ينشط وحده (<math>E = 0</math>) ، أوجد مسار الشوارد في المكثفة و موضع العلامات التي تتركها على الشاشة المستشعة.</p> <p>/ تحت التأثير المتزامن للحقين معاً، بين أن مسار الحزمة مستقل عن السرعة الابتدائية للحزمة.</p> <p>/ ما هو المقدار الذي يمكن تحديده من خلال هذه التجربة؟</p> |
|--|---|

**Exercice 4.10**

On utilise le dispositif représenté ci-dessous pour dévier un faisceau d'électrons qui ont une vitesse  $v_0$ . Ce faisceau traverse, dans le vide, un champ magnétique uniforme d'induction  $\vec{B}$  perpendiculaire à  $\vec{v}_0$ . Le poids de l'électron est négligeable devant la force électromagnétique.

1/ Quelle est la trajectoire des électrons dans le champ ?

2/ Calculer la déviation  $\alpha$  infligée par ce champ au faisceau à sa sortie du champ.

3/ Établir l'expression mathématique de la période du mouvement de l'électron.

4/ Comment varient le rayon de la trajectoire, la période et la vitesse angulaire si la vitesse d'injection des électrons est doublée?

5/ Quelle serait la trajectoire si le faisceau d'électrons entrait dans le champ magnétique avec un vecteur vitesse parallèle au vecteur champ ? Justifier.

6/ Décrire la trajectoire si l'angle en  $O$  entre  $\vec{v}_0$  et  $\vec{B}$  est différent de  $0^\circ$  et  $90^\circ$ .

**التمرين 10.4**

يستعمل التركيب المبين على الشكل في الأسفل من أجل انحراف حزمة الإلكترونات لها نفس السرعة  $v_0$ . تعبر هذه الحزمة، في الفراغ ، حقلًا مغناطيسيًا منتظمًا تحريضه عمودياً على  $v_0$ . ثقل الإلكترون مهملاً أمام القوة المغناطيسية.

1/ ما هو مسار الإلكترونات داخل الحقل؟

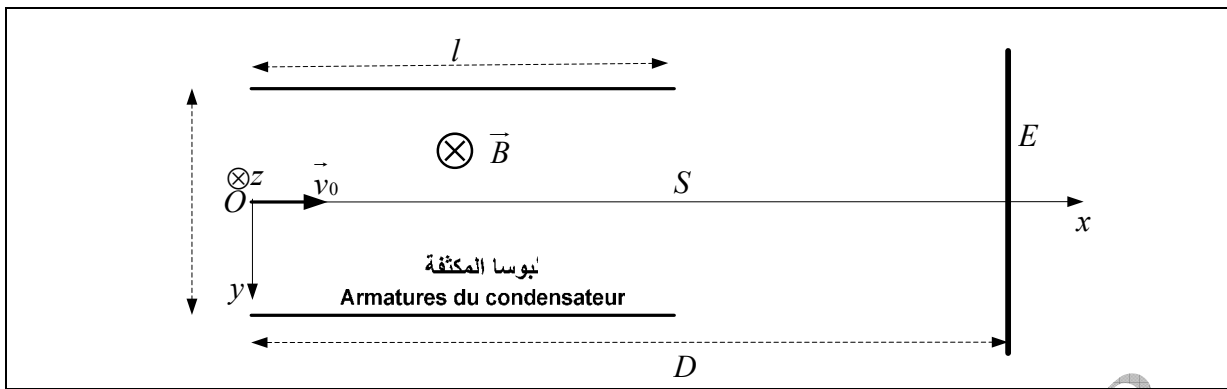
2/ احسب الانحراف  $\alpha$  الناتج عن الحقل و الذي طرأ على الحزمة عند خروجها من الحقل.

3/ ضع العبارة الرياضية لدور حركة الإلكترون.

4/ كيف يتغير نصف قطر، دور و السرعة الزاوية إذا تضاعفت سرعة ضخ الإلكترونات؟

5/ كيف سيكون المسار إذا دخلت حزمة الإلكترونات بشعاع سرعة مواز للحقل؟ برهن.

6/ صف المسار إذا كانت الزاوية في  $O$  بين  $v_0$  و  $\vec{B}$  مختلفة عن  $0^\circ$  و  $90^\circ$ .

**Exercice 4.11**

Le plan infini  $P(O, x, y)$  est parcouru par un courant électrique constant de densité surfacique  $\vec{J}_S = J \vec{u}_y$ . Soit  $M$  un point de l'axe  $Oz$  de cote  $z$ . Figure (a).

1/ Donner, en la justifiant, l'expression vectorielle du champ magnétique  $\vec{B}$  en  $M$ .

2/ Appliquer le théorème d'Ampère à la boucle  $AEDGA$ . figure (b), pour calculer la circulation de  $\vec{B}$  de part et d'autre du plan. Conclure.

3/ Montrer que ce champ présente une discontinuité à la traversée du plan et vérifier que cette discontinuité peut s'écrire :

$$\Delta \vec{B} = \vec{B}(z=0^+) - \vec{B}(z=0^-) = \mu_0 J \vec{u}_x$$

**التمرين 11.4**

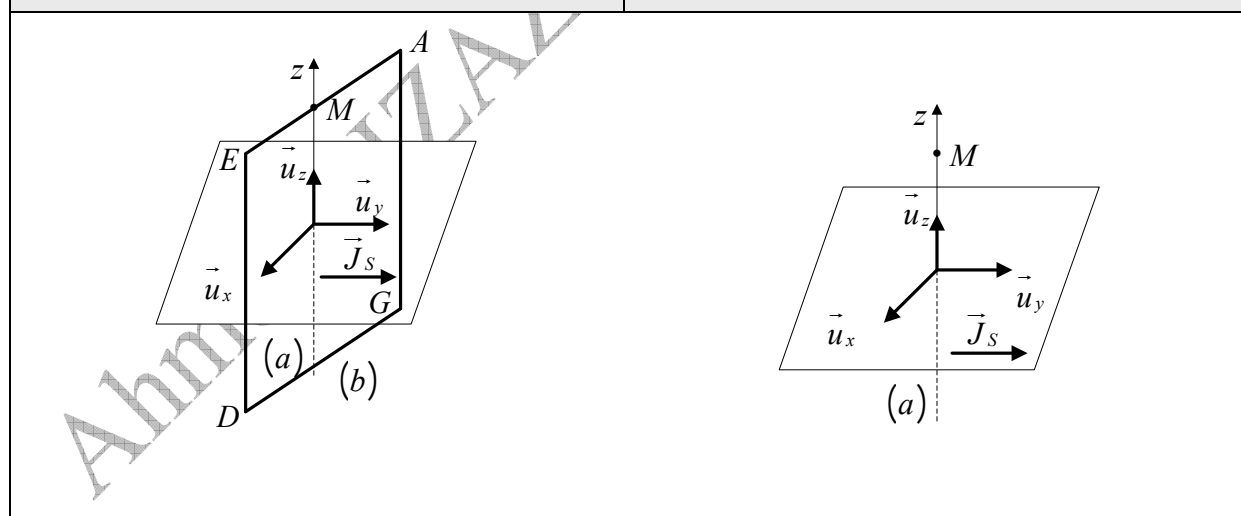
يجتاز المستوي  $P(O, x, y)$  الامتدادي ، تيار كهربائي ثابت كثافة السطحية  $J_S = J \vec{u}_y$  . لنكن نقطة  $M$  من المحور  $Oz$  علوها  $z$  . الشكل (a).

1/ إعطاء، مبرراً لها، العبارة الشعاعية للحقل المغناطيسي  $\vec{B}$  في  $M$ .

2/ طبق نظرية أمبير على الحلق  $AEDGA$  (الشكل (b))، لحساب شدة الحقل المغناطيسي على جانبي المستوي. ماذا تستنتج؟

3/ بين أن هذا الحقل عديم الاستمرارية عند عبور المستوي وتحقق أن عدم هذه الاستمرارية يمكن كتابته:

$$\Delta \vec{B} = \vec{B}(z=0^+) - \vec{B}(z=0^-) = \mu_0 J \vec{u}_x$$

**Exercice 4.12**

Une infinité de fils infiniment longs, tous parallèles à l'axe  $Oz$  et équidistants de  $a$ , sont parcourus par le même courant  $I$ . Ils coupent l'axe  $Ox$  aux points d'abscisses  $x_p = pa$  avec  $p$  entier. On cherche à déterminer le champ magnétique en un point  $M$  d'ordonnée  $y$  positive. Figure ci-dessous.

**التمرين 12.4**

عدد لامتدادي من الأسلاك لامتداد الطول، كلها موازية للمحور  $Oz$  ومتباعدة بنفس المسافة  $a$ ، يجتازها نفس التيار  $I$ . تقطع الأسلاك المحور  $Ox$  في النقاط ذات الفواصل  $x_p = pa$  مع  $p$  عدد طبيعي. نبحث عن تعين الحقل المغناطيسي في نقطة  $M$  ترتبها  $y$  موجب. الشكل في الأسفل.

1/ Dans le cas où l'ordonnée  $y$  de  $M$  est suffisamment grande devant  $a$  on peut remplacer les fils par une nappe de courants surfaciques. Soit  $\vec{J}$  la densité de ce courant par unité de longueur (le long de l'axe  $Ox$ ).

a/ Déterminer  $\vec{J}$ ,

b/ en utilisant le théorème d'Ampère, montrer que

$$B = \frac{1}{2} \mu_0 J,$$

c/ déterminer la valeur  $\vec{B}_0(M)$  du champ avec ce modèle continu.

2/ A présent on ne fait plus l'approximation de la répartition continue. Pour un point d'abscisse  $x = 0$ , calculer le champ magnétique  $\vec{B}(M)$ .

On l'écrira sous la forme  $\vec{B}(M) = \vec{B}_0(M)f(y)$ ,  $f(y)$  étant exprimée par la somme d'une infinité de termes.

On utilisera le résultat connu du champ créé par un fil de longueur infinie.

3/ Reprendre ce calcul pour un point d'abscisse  $-\frac{a}{2}$ .

1/ في حالة ما إذا كان الترتيب  $y$  لـ  $M$  كبيرا بقدر الإمكان أمام  $a$  يمكن استبدال الأسلاك بحزام عريض سطحي . لتكن  $\vec{J}$  كثافة هذا التيار لواحدة الطول ( على طول المحور  $Ox$  ).

1/ عين  $\vec{J}$

$$\text{ب/ باستعمال نظرية أمبير، برهن أن } B = \frac{1}{2} \mu_0 J$$

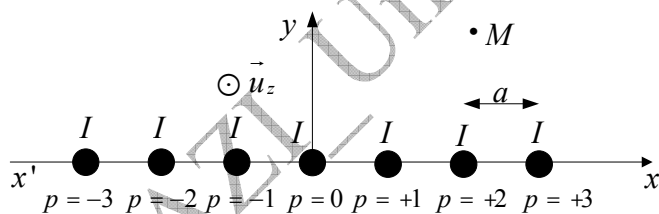
ج/ عين القيمة  $(\vec{B}_0(M))$  للحقل بهذا النموذج المستمر.

2/ الآن لا نفترض التوزيع المستمر. من أجل نقطة  $x = 0$ , أحسب الحقل المغناطيسي  $(\vec{B}(M))$ .

أكتبه على الشكل  $\vec{B}(M) = \vec{B}_0(M)f(y)$  ( $y$ ) تمثل مجموع عدد لامتناهي من الحدود.

نستعمل النتيجة المعروفة للحقل الناتج عن سلك لامتناهي الطول.

3/ أعد هذه الحسابات لنقطة  $M$  فاصلتها  $-\frac{a}{2}$ .



### Exercice 4.13

On considère un solénoïde idéal, infini, comportant  $N$  spires jointives par mètre de longueur et compte plusieurs couches. Le rayon intérieur est noté  $R_1$  et le rayon extérieur est noté  $R_2$ . On admet que le champ magnétique est nul à l'extérieur. L'intensité du courant dans une spire est  $I$ .

1/ Donner l'expression du champ magnétique en un point de l'axe du solénoïde.

2/ Montrer que le champ est uniforme à l'intérieur du solénoïde.

3/ Donner l'expression du champ à l'intérieur des enroulements à une distance de l'axe.

4/ Donner l'expression du flux du champ magnétique à travers une section droite du solénoïde.

### التمرين 13.4

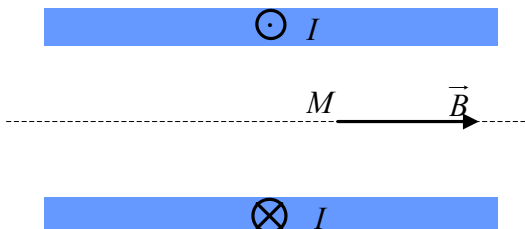
نعتبر حزرونا مثاليا لامتناهي الطول مكونا من حلقة متلاصقة لواحدة الطول ويشتمل على عديد من الطبقات. نرمز لنصف القطر الداخلي بـ  $R_1$  و لنصف القطر الخارجي بـ  $R_2$ . نقبل أن الحقل المغناطيسي معدوم في الخارج. شدة التيار داخل الحلقة الواحدة هي  $I$ .

1/ إعطاء عبارة الحقل المغناطيسي في نقطة من محور الحزرون.

2/ بين أن الحقل منتظم داخل الحزرون.

3/ إعطاء عبارة الحقل داخل اللفات على بعد من المحور.

4/ إعطاء عبارة تدفق الحقل المغناطيسي عبر مقطع مستقيم للحزرون.

**Exercice 4.14**

Un câble coaxial est constitué d'un conducteur cylindrique central de rayon  $R_1$  parcouru par un courant d'intensité  $I$ . Il est entouré d'un isolant cylindrique de rayon extérieur  $R_2$ . Le retour du courant se fait par un conducteur cylindrique de rayon intérieur  $R_2$  et de rayon extérieur  $R_3$ .

La densité volumique  $J$  de courant est uniforme dans les conducteurs ; la longueur est bien supérieure aux rayons.

1/ Déterminer en tout point  $M$  de l'espace le champ magnétique.

2/ Etudier la continuité du champ.

3/ Représenter  $B$  en fonction de la variable dont il dépend.

**التمرين 14.4**

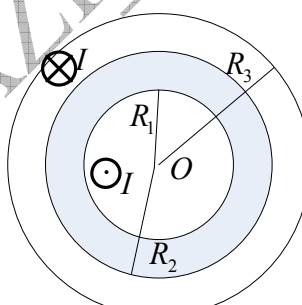
حل متحدد المحور متكون من ناقل اسطواني مرکزي نصف قطره  $R_1$  يمر فيه تيار شدته  $I$  . يحيط به عازل اسطواني نصف قطره الخارجي  $R_2$  . عودة التيار تتم عبر ناقل اسطواني نصف قطره الداخلي  $R_2$  و نصف قطره الخارجي  $R_3$  .

الكتافة الحجمية  $J$  للتيار منتقطة في الناقلين؛ طول الحبل كبيرة جدا بالنسبة لأنصاف القطر.

/1 حدد في كل نقطة  $M$  من الفضاء الحقل المغناطيسيي.

/2 أدرس استمرارية الحقل.

/3 مثل  $B$  بدلالة المتغير الذي تتعلق به.

**Exercice 4.15**

A l'instant pris pour origine des temps, une particule de masse  $m$  et de charge  $q$  est au repos dans le vide en un point pris comme origine des espaces. On établit à cet instant un champ magnétique constant  $\vec{B} = B\vec{u}_z$  et un champ électrique  $\vec{E} = E\vec{u}_y$ .

1/ Ecrire les équations différentielles régissant le mouvement de la particule. On posera  $\omega = \frac{q}{m} B$ .

2/ Trouver les équations paramétriques de la trajectoire. On posera  $A = \frac{E}{B\omega}$ .

3/ Dessiner l'allure de la trajectoire.

4/ Exprimer l'intensité de la vitesse à l'instant  $t$

**التمرين 15.4**

في اللحظة التي تأخذها كمبدأ للأزمنة ، توجد جسمة كتلتها  $m$  و شحنتها  $q$  في سكون في نقطة تأخذها كمبدأ للفضاءات. ننشئ في هذه اللحظة حقلًا مغناطيسيًا ثابتًا  $\vec{B} = B\vec{u}_z$  و حقلًا كهربائيًا  $\vec{E} = E\vec{u}_y$  .

/1 أكتب المعادلات التقاضية المسيرة لحركة الجسمة. نضع  $\omega = \frac{q}{m} B$

/2 أوجد المعادلات الزمنية للمسار. نضع  $A = \frac{E}{B\omega}$

/3 أرسم شكل المسار.

/4 عبر عن شدة السرعة في اللحظة  $t$  بدلالة  $E, B, t$

en fonction de  $E, B, t$  et  $\omega$ . Calculer la valeur de celle-ci pour  $t = \frac{\pi}{\omega}$ .

5/ Retrouver le résultat précédent en utilisant le théorème de l'énergie cinétique.

•  $t = \frac{\pi}{\omega}$ . أحسب قيمة هذه السرعة من أجل

5/ أوجد من جديد النتيجة السابقة باستعمال نظرية الطاقة الحركية.

#### Exercice 4.16

Une particule de masse  $m$  et de charge  $q > 0$  est soumise à l'action d'un champ magnétique  $\vec{B} = B\vec{u}_z$ , uniforme et constant. Elle se déplace dans un liquide en subissant une force de frottement  $\vec{F} = -\lambda\vec{v}$ , où  $\vec{v}$  est la vitesse de la particule par rapport au référentiel du laboratoire.

A l'origine des instants la particule se trouve à l'origine du repère  $Oxyz$  avec une vitesse initiale  $\vec{v}_0 = v_0\vec{u}_x$ .

1/ Déterminer la position  $M_\Omega$  de la particule lorsque  $t$  tend vers l'infini.

$$\text{On pose } \tau = \frac{m}{\lambda} \text{ et } \omega = \frac{q}{m} B.$$

2/ On repère la particule dans le plan  $xOy$  grâce à des coordonnées polaires : la distance  $r = M_\Omega M$  et l'angle  $\theta = (\overrightarrow{M_\Omega O}, \overrightarrow{M_\Omega M})$ . Déterminer l'équation polaire  $r(\theta)$  de la trajectoire de la particule. Représenter l'allure de cette trajectoire. Quel est le nom d'une pareille courbe?

16.4 التمرن  
تحضع جسيمة كتلتها  $m$  و شحنتها  $q > 0$  لحقن مغناطيسيي  $\vec{B} = B\vec{u}_z$  ، منتظم و ثابت. تتنقل في سائل و هي خاضعة لقوة احتكاك  $\vec{F} = -\lambda\vec{v}$  ، حيث  $\vec{v}$  هي سرعة الجسيمة بالنسبة لمراجع المخبر.

في مبدأ الأزمنة توجد الجسيمة في مبدأ المعلم  $Oxyz$  بسرعة ابتدائية  $\vec{v}_0 = v_0\vec{u}_x$ .

1/ عين الموقع  $M_\Omega$  للجسيمة حين يؤول  $t$  إلى ما لا نهاية.

$$\text{نضع } \omega = \frac{q}{m} B \text{ و } \tau = \frac{m}{\lambda}$$

2/ نحدد موقع الجسيمة في المعلم المستوي  $xOy$  بفضل الإحداثيات القطبية: المسافة  $r = M_\Omega M$  و الزاوية  $r(\theta) = (\overrightarrow{M_\Omega O}, \overrightarrow{M_\Omega M})$  . عين المعادلة القطبية  $\theta = (\overrightarrow{M_\Omega O}, \overrightarrow{M_\Omega M})$  لمسار الجسيمة. مثل شكل هذا المسار. ما هو اسم مثل هذا المنحنى؟

#### Exercice 4.17

Un électroaimant produit entre ses pôles un champ magnétique  $B(t)$  dépendant du temps. Entre ses pôles on place une bobine de 100 tours, d'aire  $4cm^2$ , orientée perpendiculairement au champ magnétique. La force électromotrice induite est initialement nulle. Elle passe subitement à la valeur  $+3V$  pendant  $4ms$ , puis à la valeur opposée  $-3V$  pendant  $4ms$  (voir figure).

1/ Quelle est l'intensité du champ magnétique  $B(t)$  entre les pôles de l'électroaimant en fonction du temps (initialement  $B$  est nul) ?

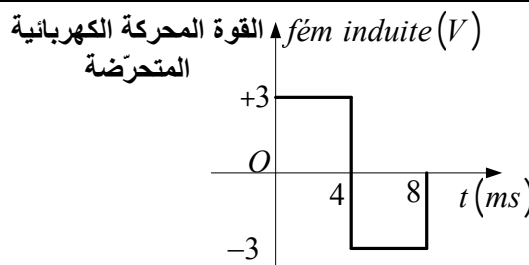
2/ Représenter graphiquement  $B(t)$ .

#### 17.4 التمرن

يُنتج كهرومغناطيس بين قطبيه حقل مغناطيسييا  $B(t)$  تابع بالزمن. نضع بين قطبيه وشيعة مكونة من 100 لفة، مساحتها  $4cm^2$ ، موجهة عموديا على الحقل المغناطيسي. القوة الكهرومغناطيسية المترسبة معروفة في البداية. تفقر فجأة إلى القيمة  $+3V$  خلال  $4ms$ ، ثم إلى القيمة المعاكسة  $-3V$  خلال  $4ms$  (انظر الشكل).

1/ ما هي شدة الحقل المغناطيسي بين قطبي الكهرومغناطيس بدلالة الزمن (في البداية  $B$  معورم)؟

$$. B(t) / 2$$

**Exercice 4.18**

Une bobine comptant  $N_2$  spires de section  $S_2$  est centrée sur l'axe d'un solénoïde infiniment long comptant  $n_1$  spires par mètre. Son axe fait un angle  $\theta$  avec celui du solénoïde. Calculer le coefficient d'inductance mutuelle des deux circuits.

**التمرين 18.4**

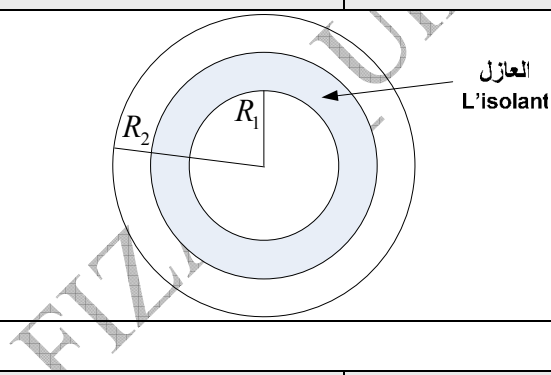
وشيحة تشمل على  $N_2$  حلقة ذات مقطع  $S_2$  و متمرکزة على محور حلزون لا متناهي الطول يحتوي على  $n_1$  حلقة في المتر. يصنع محورها الزاوية  $\theta$  مع محور الحلزون. أحسب معامل التحريرض الذاتي المتبادل للدارتين.

**Exercice 4.19**

Calculer l'inductance propre d'une longueur  $h$  d'un câble coaxial de longueur infinie de rayons  $R_1$  et  $R_2$ .

**التمرين 19.4**

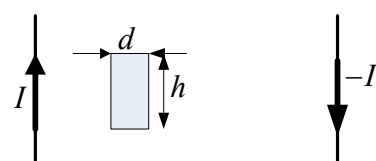
أحسب التحريرض الذاتي لطول  $h$  لحب متحد المحور طوله لامتناهي و نصفي قطريه  $R_1$  و  $R_2$ .

**Exercice 4.20**

On considère deux conducteurs identiques parallèles, de longueur infinie de rayon  $a$  dont les axes sont distants de  $b$  ( $b \gg a$ ). Calculer l'inductance propre de ce système.

**التمرين 20.4**

نعتبر ناقلين متماثلين و متوازيين، طولهما لامتناهي و نصف قطرهما  $a$  و بحيث يكون محوراهما متباعدان بـ  $b$  ( $b \gg a$ ). أحسب التحريرض الذاتي لهذه الجملة.



Solution des exercices 4.1 à 4.20 :حلول التمارين من 1.4 إلى 20.4التمرين 1.4

بافتراض جزء من البرق خطيا يمكن استعمال القانون:

$$B = \frac{\mu_0 I}{2\pi r} \rightarrow B = \frac{4\pi 10^{-7} \times 20.10^3}{2\pi \times 1} \Rightarrow B = 4.10^{-3} T$$

هذا على بعد واحد متر من البرق. أما على بعد 300m تكون النتيجة:

$$B = \frac{\mu_0 I}{2\pi r} \rightarrow B = \frac{4\pi 10^{-7} \times 20.10^3}{2\pi \times 300} \Rightarrow B = 1,33.10^{-5} T$$

التمرين 2.4

حسب قاعدة اليد اليمنى: إذا كان التيار الكهربائي يسري نحو الغرب فإن شعاع الحقل المغناطيسي الناتج عن هذا التيار موجه نحو الجنوب.

بالنسبة لتيار مستقيم فإن شدة الحقل المغناطيسي نحصل عليها بالقانون:

$$B = \frac{\mu_0 I}{2\pi r} \rightarrow B = \frac{4\pi 10^{-7} \times 300}{2\pi \times 12} \Rightarrow B = 5.10^{-6} T$$

نقارنه مع الحقل المغناطيسي الأرضي  $\vec{B}_0$ :

$$\frac{B}{B_0} = \frac{5.10^{-6}}{5.10^{-5}} = 10^{-1} \Rightarrow \frac{B}{B_0} = 10^{-1}$$

الحقل الناتج عن الخط الكهربائي لا يمثل إلا 10% من الحقل المغناطيسي للأرض.

التمرين 3.4

يعطى الحقل المغناطيسي الناتج عن تيار مستقيم شدته  $I$  على بعد  $r$  من الناقل بـ:

$$B = \mu_0 \frac{I}{2\pi r}$$

جهة الحقل المغناطيسي تعطى بقاعدة اليد اليمنى.

التيار الذي شدته 1A ينتج حيلاً مغناطيسياً عمودياً على مستوى الناقلين (يدخل في الورقة):

$$B_1 = 4\pi \cdot 10^{-7} \frac{1}{2\pi \times 1} \rightarrow B_1 = 2.10^{-7} T$$

التيار الذي شدته 3A ينتج حيلاً مغناطيسياً عمودياً على مستوى الناقلين (يدخل في الورقة):

$$B_2 = 4\pi \cdot 10^{-7} \frac{3}{2\pi \times 2} \rightarrow B_2 = 3.10^{-7} T$$

الحقل المغناطيسي الكلي هو مجموع الحقول  $\vec{B}_1$  و  $\vec{B}_2$ . بما أن الحقولين لهما نفس الاتجاه ولهم نفس الحامل، فإن الحقل المغناطيسي الكلي عمودي على مستوى الناقلين و شدته:

$$B = B_2 + B_1 \rightarrow B = 5.10^{-7} T$$

التمرين 4.4

حسب قانون بيوت و سافار فإن الحقل المغناطيسي العنصري  $d\vec{B}$  الناتج عن طول عنصري  $dl$  من الحلقة يجتازها تيار كهربائي شدته  $I$  هو:

$$d\vec{B} = \frac{\mu_0 I}{4\pi r^2} d\vec{l} \wedge \vec{u}$$

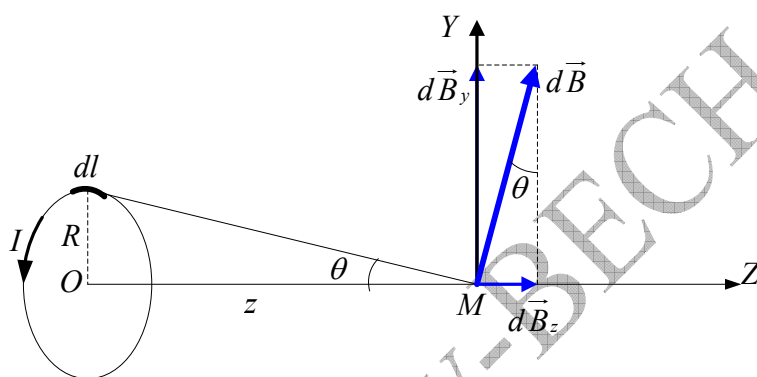
و بما أن  $\vec{u}_r = \vec{r}$  فإنه يمكن كتابة القانون السابق على الشكل:

$$d\vec{B} = \frac{\mu_0 I}{4\pi r^3} d\vec{l} \wedge \vec{r}$$

نلاحظ أن  $\vec{r} \perp d\vec{l}$  ، مما يستلزم  $|d\vec{l} \wedge \vec{r}| = d\vec{l} \cdot \vec{r}$  و عليه:

$$dB = \frac{\mu_0 I}{4\pi r^2} dl$$

يمكن تحليل  $d\vec{B}$  إلى مركبتين  $d\vec{B}_y$  و  $d\vec{B}_z$  ، بحيث عند القيام بعملية التكامل فإن كل المركبات تتعدم مثلي مثلي بسبب التناقض. الحقل الكلي الناتج هو محصلة كل المركبات  $d\vec{B}_z$  ، و بالتالي فإن  $\vec{B}_z$  الحاصل موازي للمحور  $OZ$ .



$$dB_z = dB \sin \theta \rightarrow dB_z = \frac{\mu_0 I}{4\pi r^2} \sin \theta dl$$

للحصول على  $B_z$  نكمل العبارة السابقة بالنسبة للمنغير الوحيد  $I$  فنحصل على:

$$B_z = \frac{\mu_0 I}{4\pi r^2} \sin \theta \oint dl$$

$$B_z = \frac{\mu_0 I}{4\pi r^2} \sin \theta \cdot 2\pi R \Rightarrow B_z = \frac{\mu_0 I}{2} \frac{R}{r^2} \sin \theta$$

بما أن  $\sin \theta = \frac{R}{r}$  فإنه يمكن الحصول على العبارة النهائية:

$$B_z = \frac{\mu_0 I}{2R} \frac{R^2}{r^2} \sin \theta \Rightarrow B_z = \frac{\mu_0 I}{2R} \sin^3 \theta \Leftrightarrow B_z = \frac{\mu_0 I}{2R} \sin^3 \theta \vec{u}_z$$

2/ بتعويض هذه المرة  $\sin \theta = \frac{R}{\sqrt{R^2 + z^2}}$  نحصل على العبارة المعطاة:

$$B_z = \frac{\mu_0 I}{2} \frac{R^2}{(R^2 + z^2)^{3/2}}$$

3/ الشكل التقريري لهذه العبارة على مسافات كبيرة للمحور  $OZ$  نحصل عليها بإهمال نصف قطر الحلقة أمام المسافة الكبيرة  $z$  ، فتكون النتيجة:

$$B_z \approx \frac{\mu_0 I}{2} \frac{R^2}{z^3}$$

4/ التعبير عن  $B_z$  بدلالة العزم المغناطيسي  $M$ :

$$\begin{aligned} M &= IS \\ S &= \pi R^2 \end{aligned} \rightarrow M = I\pi R^2$$

$$B_z = \frac{\mu_0 I}{2} \frac{R^2}{(R^2 + z^2)^{3/2}} = \frac{\mu_0 I}{2\pi} \frac{I\pi R^2}{(R^2 + z^2)^{3/2}} \Rightarrow B_z = \frac{\mu_0}{2\pi} \frac{M}{(R^2 + z^2)^{3/2}}$$

نحصل على الحقل المغناطيسي الناتج في مركز الحلقة بوضع  $z = 0$

$$B_o = \frac{\mu_0 I}{2R}$$

#### التمرين 5.4

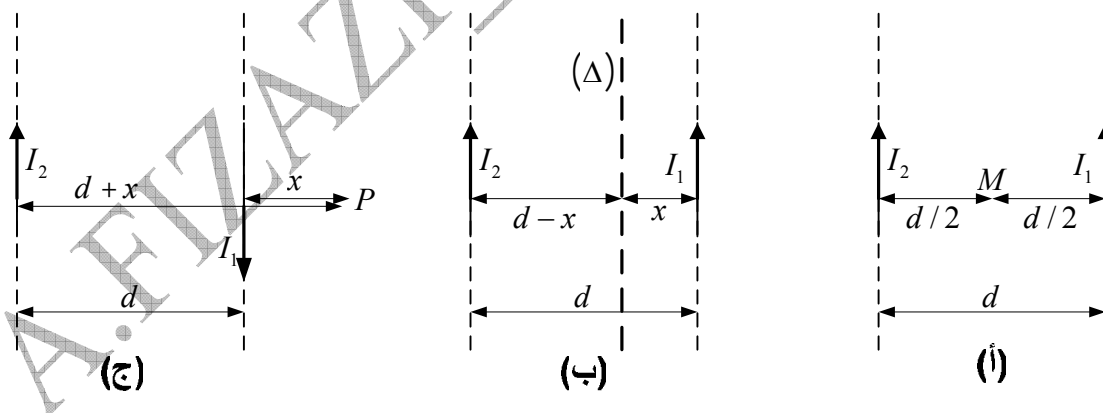
1/ الحقل المغناطيسي الناتج عن ناقل مستقيم على بعد  $d$  منه هو  $B = \frac{\mu_0}{2\pi d} I$ .  
الحقل المغناطيسي الناتج في النقطة  $M$  (الشكل (أ)) هو محاصلة الحقول المغناطيسيين الناتجين عن الناقلين المستقيمين:  $\vec{B}_M = \vec{B}_1 + \vec{B}_2$

حسب قاعدة اليد اليمنى فإن  $\vec{B}_1$  و  $\vec{B}_2$  متعاكسا الإتجاه:  $\vec{B}_M = B_2 - B_1$

$$B_M = \frac{\mu_0}{2\pi} \frac{I_2}{d/2} - \frac{\mu_0}{2\pi} \frac{I_1}{d/2} \Rightarrow B_M = \frac{\mu_0}{2\pi} \frac{1}{d/2} (I_2 - I_1) \rightarrow B_M = 1,2 \cdot 10^{-4} T$$

إنعدام  $\vec{B}$  يعني:  $\vec{B}_1 + \vec{B}_2 = \vec{0}$ . لا يمكن لهذا الشرط أن يتحقق خارج الناقلين، لأن  $\vec{B}_1$  و  $\vec{B}_2$  لهما نفس الإتجاه وبالتالي  $B_0 = B_2 + B_1 \neq 0$ . إذن لابد أن المستقيم ( $\Delta$ ) أين  $0 = B$  يقع بين الناقلين حيث  $B_0 = B_2 - B_1 = 0$ . و عليه وبالنظر إلى الشكل (ب)

$$B_0 = \frac{\mu_0}{2\pi} \frac{I_2}{d-x} - \frac{\mu_0}{2\pi} \frac{I_1}{x} = 0 \Rightarrow x = \frac{I_1}{I_2 - I_1} d \rightarrow x = \frac{d}{3}$$



في هذه الحالة  $\vec{B}_P = \vec{B}_2 + \vec{B}_1$  لهما نفس الإتجاه: حسب الشكل (أ) و لكن بعكس اتجاه  $I_1$

$$B_M = \frac{\mu_0}{2\pi} \frac{I_2}{d/2} + \frac{\mu_0}{2\pi} \frac{I_1}{d/2} \Rightarrow B_M = \frac{\mu_0}{2\pi} \frac{1}{d/2} (I_2 + I_1) \rightarrow B_M = 2 \cdot 10^{-4} T$$

مستحيل أن ينعدم الحقل المغناطيسي بين الناقلين لأن  $\vec{B}_1$  و  $\vec{B}_2$  لهما نفس الاتجاه. إذن لا بد أن النقطة  $P$  تقع خارج الناقلين  $B_P = B_2 + B_1 \neq 0$ . لابد أن المستقيم أين  $B_P = 0$  يقع خارج الناقلين حيث  $B_P = B_2 - B_1 = 0 \Leftrightarrow B_2 = B_1$ .

$$B_P = \frac{\mu}{2\pi} \frac{I_2}{d+x} - \frac{\mu}{2\pi} \frac{I_1}{x} = 0 \Rightarrow \boxed{x = \frac{I_1}{I_2 + I_1} d} \rightarrow \boxed{x = \frac{d}{5}}$$

#### التمرين 6.4:

نعرف أن الشحنة التي تتنقل في حقل مغناطيسي تكون خاضعة لقوة مغناطيسية  $\vec{F} = q\vec{v}_0 \wedge \vec{B}$  حيث شدتها تساوي  $\alpha = (\vec{v}_0, \vec{B})$ .  $F = qv_0 B \sin \alpha$ . الجسيمة المشحونة خاضعة لقوىتين: القوة المغناطيسية  $\vec{F}$  و قلها  $\vec{P} = mg$ . لكي يبقى مسارها أفقياً يجب أن تكون القوتان متعاكستين مباشرة  $\vec{F} = -\vec{P}$ .

$$\vec{B} \perp \vec{v}_0 \Rightarrow \sin \alpha = 1 \Rightarrow F = qv_0 B \quad \boxed{B = \frac{mg}{qv_0}} \\ P = mg$$

التطبيق العددي:

$$B = \frac{5 \cdot 10^{-4} \times 9,8}{2,5 \cdot 10^{-8} \times 6 \cdot 10^4} \rightarrow \boxed{B \approx 3,27 T}$$

أما جهة  $\vec{B}$  فهي أفقية و عمودية على المستوى الشاقولي المشكل من السرعة  $\vec{v}_0$  و القوة  $\vec{F}$ .

$\vec{v}_0$  أفقية و حاملها المحور  $x'$ ,

$\vec{F}$  شاقولية و حاملها المحور  $z'$ ,

$\vec{B}$  أفقية و حاملها المحور  $y'$ .

#### التمرين 7.4:

1/رأينا في الدرس وفي تمرين سابق أن شعاع الحقل المغناطيسي الناتج عن حلقة دائريّة (نصف قطرها  $R$  و يجتازها تيار شدته  $I$ ) في نقطة من محورها يعطى بالعبارة:

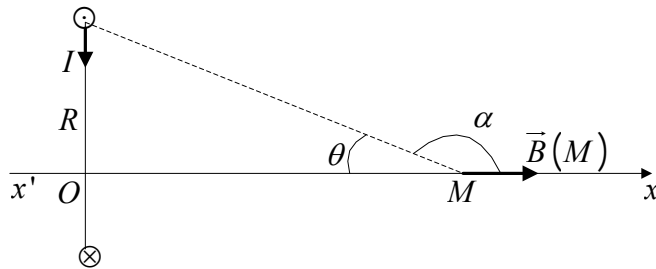
$$\vec{B}(M) = \frac{\mu_0}{2R} \sin^3 \theta \vec{u}_x$$

تجوال الشعاع  $\vec{B}$  على المحور  $(x'OX)$  يساوي:

$$C = \int_{-\infty}^{+\infty} B(x) dx$$

مع العلم أن:  $\sin \theta = \sin \alpha$  و بما أن  $x = -\frac{R}{\tan \alpha}$  فإن  $\alpha = 180^\circ$  و عليه:

$$C = \int_0^{\pi} \frac{\mu_0}{2R} \frac{\sin^3 \alpha}{\sin^2 \alpha} R d\alpha \Rightarrow \boxed{C = \mu_0 I}$$



2/ الناقل الحزوني متكون من  $N$  حلقة دائيرية. للحصول على التجوال يكفي ضرب النتيجة السابقة في  $N$  ، فنجد :

$$C = \int_{-\infty}^{+\infty} B(x) dx = \boxed{C = N\mu_0 I}$$

#### التمرين 8.4

1/ الشاردة ذات الشحنة  $q$  عند مرورها من  $O'$  إلى  $O$  تحت تأثير التوتر  $U$  تتنقى العمل :  
 $W = qU$

نطبق نظرية الطاقة الحركية للحصول على السرعة النهاية التي تصل بها الشاردة إلى  $O$  :

$$\frac{1}{2}mv^2 = qU \Rightarrow v = \sqrt{2 \frac{q}{m} U}$$

سرعة الشوارد  ${}^7_3 Li^+$  هي :

$$\boxed{v_1 = \sqrt{2 \frac{q}{m_1} U}}$$

سرعة الشوارد  ${}^6_3 Li^+$  هي :

$$\boxed{v_1 = \sqrt{2 \frac{q}{m_2} U}}$$

2/ تتنقل الشاردة داخل غرفة الفصل بسرعة  $\vec{v}$  و هي تخضع للفorce المغناطيسية :

$$\vec{F} = q\vec{v} \wedge \vec{B}$$

لدينا المقادير الشعاعية التالية :

$$\vec{a} \begin{cases} \ddot{x} \\ \ddot{y} \\ \ddot{z} \end{cases}, \quad \vec{v} \begin{cases} v \\ 0 \\ 0 \end{cases}, \quad \vec{B} \begin{cases} 0 \\ B \\ 0 \end{cases}$$

نكتب تسارع للحركة الآن :

$$\begin{cases} \ddot{x} \\ \ddot{y} \\ \ddot{z} \end{cases} = \frac{q}{m} \begin{cases} v \\ 0 \wedge B \\ 0 \end{cases} \Rightarrow \begin{cases} \ddot{x} \\ \ddot{y} \\ \ddot{z} \end{cases} = \begin{cases} 0 \\ 0 \\ \frac{q}{m} vB \end{cases}$$

تظهر لنا من هذه النتائج، و استنادا لما أعطي لنا في النص، أن:

$$\ddot{x} = a_x = 0 \Leftrightarrow \dot{x} = v_x = C^{te}$$

$$\ddot{y} = a_y = 0 \Leftrightarrow \dot{y} = v_y = 0$$

$$\ddot{z} = a_z = \frac{q}{m} v B \Leftrightarrow \dot{z} = v_z = 0$$

نلاحظ أن التسارع يحمله المحور  $Oz$  و هذا يعني أن القوة المغناطيسية التي تخضع لها الشحنة عمودية على المستوى  $xOy$  أي عمودية على السرعة  $\vec{v}$  و كذا على المسار. الشوارد تبقى في المستوى  $xOz$  خلال انتقالها في المجال المغناطيسي. إذن التسارع ناظمي.  
في معلم فرينت  $(O, \vec{N}, \vec{T})$ :

$$\vec{a} = \frac{d\vec{v}}{dt} = \vec{a}_N + \vec{a}_T \rightarrow \vec{a} = \frac{dv}{dt} \vec{T} + \frac{v^2}{R} \vec{N}$$

و بما أن السرعة ثابتة فإن المركبة المماسية للتسارع معدومة.

$$\vec{a}_T = \frac{dv}{dt} \vec{T} = \vec{0} \quad \left| \begin{array}{l} \text{الحركة منتظمة} \\ \vec{v} = \vec{C}^{te} \end{array} \right.$$

التسارع ناظمي:

$$\vec{a} = \vec{a}_N = \frac{v^2}{R} \vec{N} \rightarrow a_N = \frac{v^2}{R} = v \frac{e}{m} B$$

نصف قطر الانحناء هو إذن:

$$R = \frac{mv}{eB} = C^{te} \Rightarrow \text{الحركة دائرية}$$

و الخلاصة أن الحركة دائرية منتظمة.

ننقل عبارة السرعة الموضوعة سابقا في عبارة  $R$  فنجد:

$$R_1 = \frac{m_1}{qB} v_1 \Rightarrow R_1 = \frac{1}{B} \sqrt{\frac{2m_1 U}{q}} \rightarrow OC_1 = 2R_1 \approx 4,8cm$$

$$R_2 = \frac{m_2}{qB} v_2 \Rightarrow R_2 = \frac{1}{B} \sqrt{\frac{2m_2 U}{q}} \rightarrow OC_2 = 2R_2 \approx 4,5cm$$

#### التمرين 9.4

نهمل في كل هذا الحل التقل أمام القوى الأخرى.

/ الانحراف الناتج عن الحقل الكهربائي وحدة:

معادلة المسار:

وقف المحور  $Ox$  القوة الوحيدة المؤثرة على الحزمة الشاردية هي القوة الكهربائية  $\vec{F} = qE\vec{u}_x$  نطبق المبدأ الأساسي للتحريك فنكتب:

$$m\vec{a}_x = qE\vec{u}_x \Rightarrow a_x = \frac{q}{m} E$$

و بما أن المكثفة مستوية فإن  $E = \frac{U}{h}$  ، و عليه:

$$a_x = \frac{qU}{mh}$$

التسارع ثابت وفق المحور  $Ox$ . إذن الحركة مستقيمة متغيرة بانتظام، معادلتها الزمنية هي:

$$x = \frac{1}{2} a_x t^2 \rightarrow x = \frac{1}{2} \frac{qU}{mh} t^2$$

وفق المحور  $Oy$  لا تؤثر أي قوة على الحزمة الشاردية التي تقدم بسرعة ثابتة  $\vec{v}_y = v_y \hat{u}_y$ . الحركة وفق هذا المحور مستقيمة منتظمة و معادلتها الزمنية هي:

$$y = v_0 t \Rightarrow t = \frac{y}{v_0}$$

الانحراف النهائي على الشاشة عند خروج الحزمة من المكثفة (أين  $L = y$ ) بعد المدة  $\Delta t = \frac{L}{v_0}$  هو :

$$x = \frac{1}{2} \frac{qU}{mh} \left( \frac{L}{v_0} \right)^2 = \Delta x \rightarrow (1)$$

## 2/ الانحراف الناتج عن الحقل المغناطيسي وحده.

معادلة المسار:

وفق المحور  $Oz$  القوة الوحيدة المؤثرة على الحزمة الشاردية هي القوة المغناطيسية العمودية على المحور  $Ox$  الذي يحمل شعاع الحقل المغناطيسي:  $\vec{F} = q\vec{v}_0 \wedge \vec{B}$ . نطبق المبدأ الأساسي للتحريك فنكتب:

$$\begin{aligned} m\vec{a}_z &= \frac{q}{m} v_0 \vec{u}_y \wedge -B \vec{u}_x \Rightarrow \vec{a}_z = \frac{q}{m} v_0 B \vec{u}_z \\ a_z &= \frac{q}{m} v_0 B \end{aligned}$$

التسارع ثابت وفق المحور  $Oz$ . إذن الحركة مستقيمة متغيرة بانتظام، معادلتها الزمنية هي:

$$z = \frac{1}{2} a_z t^2 \rightarrow z = \frac{1}{2} \frac{q}{m} v_0 B t^2$$

وفق المحور  $Oy$  لا تؤثر أي قوة على الحزمة الشاردية التي تقدم بسرعة ثابتة  $\vec{v}_y = v_y \hat{u}_y$ . الحركة وفق هذا المحور مستقيمة منتظمة و معادلتها الزمنية هي:

$$y = v_0 t \Rightarrow t = \frac{y}{v_0}$$

الانحراف النهائي على الشاشة عند خروج الحزمة من المكثفة (أين  $L = y$ ) بعد المدة  $\Delta t = \frac{L}{v_0}$  هو :

$$\Delta z = \frac{1}{2} \frac{q}{m} B v_0 \left( \frac{L}{v_0} \right)^2 \Rightarrow z = \frac{1}{2} \frac{q}{m} B \frac{L^2}{v_0} = \Delta z \rightarrow (2)$$

3/ الأثر الذي تتركه الحزمة على الشاشة إزاح وفق المحور  $Oz$  (أي في مستوى الحركة الأصلية) بينما في الحالة الأولى إزاح الأثر عموديا على هذا المستوى. الانحراف الناتج هو تراكب الانحرافين الناتجين عن الحقول الكهربائي و المغناطيسي. بحذف السرعة بين المعادلتين (1) و (2) نحصل على:

$$v_0 = \frac{1}{2} \frac{q}{m} B \frac{L^2}{z} \Rightarrow x = 2 \frac{m}{q} \frac{U}{h} \frac{1}{B^2 L^2} z^2$$

نلاحظ أن العبارة مستقلة عن السرعة الابتدائية.

4/ تسمح هذه التجربة باستنتاج الشحنة الكتالية  $\frac{q}{m}$  للشوارد المكونة للحزمة. و بالفعل المقادير  $U, B, L, h$  معروفة مسبقا و لا يبقى إلا استنتاج النسبة بين كتلة الشاردة و شحنتها.

**التاريخ:** ميلikan (R.A Millikan) بتجربته الشهيرة استطاع حساب شحنة الإلكترون بفضل النتيجة التي توصل إليها قبله طومسون (J.J Thomson) و هي بالذات الشحنة الكتالية  $\frac{q}{m}$ . لم يبقى بعد ذلك إلا استنتاج كتلة الإلكترون.

#### التمرين 10.4

1/ كل إلكترون من الحزمة يخضع عند دخوله الحقل المغناطيسي إلى قوة مغناطيسية:

$$\vec{F} = q\vec{v}_0 \wedge \vec{B}$$

نطبق المبدأ الأساسي للتحريك:

$$m\vec{a} = -e\vec{v}_0 \cdot \vec{u}_x \wedge \vec{B} \cdot \vec{u}_z \rightarrow \vec{a} = \frac{e}{m} v_0 B \vec{u}_y \Rightarrow \vec{a} = a \vec{u}_y \Leftrightarrow \vec{F} = F \vec{u}_y$$

القوة المغناطيسية التي يخضع لها الإلكترون عمودية على كل من  $\vec{v}_0$  (أي المسار) و  $\vec{B}$ . ندرس الحركة في معلم فرينت  $(O, \vec{N}, \vec{T})$ . يكتب التسارع:

$$\vec{a} = \frac{d\vec{v}}{dt} = \vec{a}_N + \vec{a}_T \rightarrow \vec{a} = \frac{dv}{dt} \vec{T} + \frac{v^2}{R} \vec{N}$$

و بما أن السرعة ثابتة فإن المركبة المماسية للتسارع معروفة.

$$\vec{a}_T = \frac{dv}{dt} \vec{T} = \vec{0} \quad \text{الحركة منتظمة} \\ \vec{v} = \vec{v}_0 = \vec{C}^{te}$$

التسارع ناظمي:

$$\vec{a} = \vec{a}_N = \frac{v^2}{R} \vec{N} \rightarrow a_N = \frac{v_0^2}{R} = v_0 \frac{e}{m} B$$

نصف قطر الانحناء هو إذن:

$$R = \frac{mv_0}{eB} = C^{te}$$

خلاصة القول فالحركة دائيرية منتظمة. المسار داخل المكثف هو قوس قطره  $R$ . انظر الشكل أسفله

2/ زاوية الانحراف  $\alpha$  تساوي الزاوية في المركز للقوس  $\widehat{OA}$  (انظر الشكل) و بالتالي:

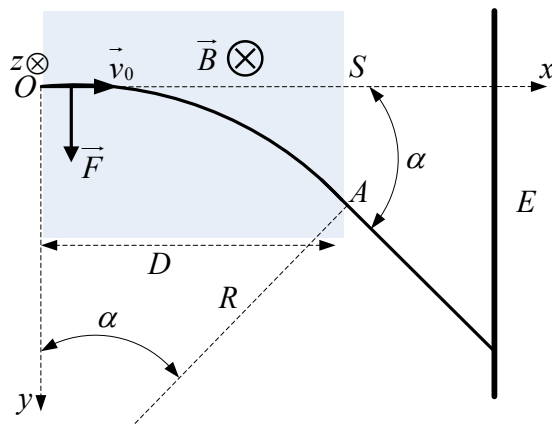
$$\alpha = \frac{\widehat{AO}}{R} \approx \frac{l}{R} \Rightarrow \boxed{\alpha = \frac{e}{mv_0} Bl}$$

3/ بما أن الحركة دائيرية فالسرعة الزاوية هي:

$$\omega = \frac{v_0}{R} \quad \Rightarrow \omega = \frac{eB}{m} \\ R = \frac{mv_0}{eB}$$

إذن الدور هو:

$$T = \frac{2\pi}{\omega} \Rightarrow \boxed{T = \frac{2\pi m}{eB}}$$



4/ إذا ضاعفنا السرعة  $v_0$  فإن: نصف القطر يتضاعف، ولكن الدور و السرعة الزاوية لا يتاثران لأنهما مستقلان عن السرعة الإبتدائية.

5/ إذا دخلت حزمة الإلكترونات بسرعة موازية للحقل المغناطيسي فإنها لن تتأثر بأية قوة، إذا أهملنا نقلها، و بالتالي فمسارها يبقى على حاله أي مستقيماً.

$$\vec{F} = m\vec{a} = -ev_0\vec{u}_x \wedge \vec{B}\vec{u}_x \quad \left| \Rightarrow \vec{F} = \vec{0} \Rightarrow \vec{v} = \vec{C}^{te} \right.$$

$$\vec{u}_x \wedge \vec{u}_x = \vec{0}$$

في هذه الحالة الموصوفة في النص فإن لكل من السرعة و التسارع مركبتان:

$\vec{v}_{||}$  و  $\vec{a}_{||}$ : مسقطان على منحي  $\vec{B}$   
 $\vec{v}_{\perp}$  و  $\vec{a}_{\perp}$ : مسقطان على المستوى العمودي على  $\vec{B}$ .  
 بتطبيق العلاقة الأساسية للتحريك :

$$\vec{F} = m\vec{a} = q(\vec{v} \wedge \vec{B}) \Rightarrow m(\vec{a}_{||} + \vec{a}_{\perp}) = q(\vec{v}_{||} + \vec{v}_{\perp}) \wedge \vec{B}$$

عندما ننشر نلاحظ أن الجداء الشعاعي  $q.\vec{v}_{||} \wedge \vec{B}$  معدوم لأن  $\vec{v}_{||}$  و  $\vec{B}$  متوازيان، فنحصل على:

$$m.\vec{a}_{||} + m.\vec{a}_{\perp} = \underbrace{q.\vec{v}_{||} \wedge \vec{B}}_{\vec{0}} + \underbrace{q\vec{v}_{\perp} \wedge \vec{B}}_{\vec{0}} \Rightarrow \begin{cases} m.\vec{a}_{||} = \vec{0} \\ q.\vec{v}_{||} \wedge \vec{B} = \vec{0} \end{cases}$$

هاتان النتيجتان تظهر لنا أن حركة الشحنة هي محصلة:

حركة مستقيمة منتظمة موازية للحقل:

و حركة دائرية منتظمة حول الشعاع  $\vec{B}$ ، نصف قطرها  $R = \frac{m.v_{\perp}}{eB}$  و سرعتها الزاوية

$$\cdot \omega = \frac{eB}{m}$$

المسار شكله حلزوني. نصف قطر الحلزون الذي ترسمه الحزمة الالكترونية يساوي  $R = \frac{m.v_{\perp}}{eB}$ .

#### التمرين 11.4

1/ المستوى  $O\vec{u}_y\vec{u}_z$ ، الموازي لـ  $\vec{J}_s$ ، هو مستوى تناظر للتيارات: و بالتالي، فإن الحقل المغناطيسي  $\vec{B}$  عمودي على هذا المستوى أي  $\vec{B} = B\vec{u}_x$ .

بانسحاب وفق  $\vec{u}_x$ ، توزيع هذا التيار غير متغير؛ بانسحاب وفق  $\vec{u}_y$ ، توزيع هذا التيار غير متغير.  
و عليه فإن شدة الحقل المغناطيسي لا يتعلق إلا بـ  $z$ .

قاعدة اليد اليمنى أو قاعدة أمبير تعطي اتجاه الحقل المغناطيسي: إذا كان  $0 < z$  فإن  $\vec{B}$  موجه  
وفق  $\vec{u}_x$  و إذا كان  $z < 0$  فإن  $\vec{B}$  موجه نحو  $-\vec{u}_x$ .

2/ تجوال  $\vec{B}$  على الحلقة  $AEDGA$  يساوي مجموع التجوالات على كل قطعة مستقيمة (الشكل):

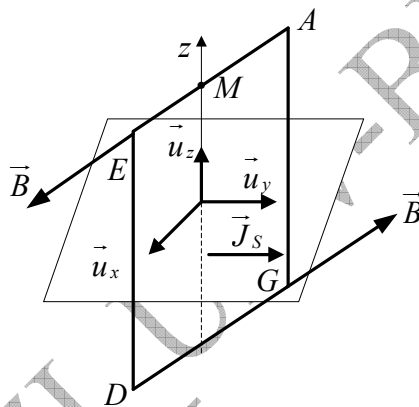
$$C = C_{AE} + C_{ED} + C_{DG} + C_{GA}$$

$C_{ED} = \int_E^D \vec{B} \cdot d\vec{E} = 0$  لأن  $\vec{B}$  عمدي على الصلعين (الإنقلابين). على الصلعين الآخرين  $C_{AE} = C_{DG}$

$$C = \int_A^E \vec{B} \cdot d\vec{A} + \int_D^G \vec{B} \cdot d\vec{D} = \mu_0 I$$

$$2B \cdot AE = \mu_0 J \cdot AE \Rightarrow B = \frac{1}{2} \mu_0 J$$

الخلاصة أن الحقل المغناطيسي ثابت على جانبي المستوى مهما كان علو النقطة  $M$ .



3/ و عليه عند عبور المستوى، أي  $0 \rightarrow z$ ، تتعدم استمرارية الحقل المغناطيسي بسبب تغير إشارته من + إلى -

$$\begin{aligned} \Delta \vec{B} &= \vec{B}(z=0^+) - \vec{B}(z=0^-) \\ \vec{B}(z=0^+) &= \left( \frac{1}{2} \mu_0 J \vec{u}_x \right) \\ -\vec{B}(z=0^-) &= -\left( -\frac{1}{2} \mu_0 J \vec{u}_x \right) \end{aligned} \Rightarrow \Delta \vec{B} = \mu_0 J \vec{u}_x$$

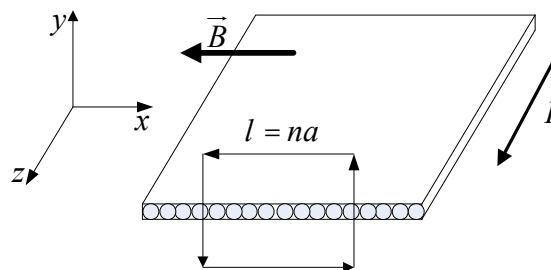
#### التمرين 12.4

1/ قطعة مستقيمة من الشريط (أو الحزام) طولها  $na = l$ ، وفق المحور  $Ox$ ، يجتازها تيار كلي شدته  $nI$ . نستنتج كثافة التيار الكهربائي:

$$\vec{J} = \frac{\text{شدة التيار}}{\text{طول الناكل}} = \frac{I}{a} \vec{u}_z$$

ب/ حسب قاعدة اليد اليمنى فإن الحقل المغناطيسي الناتج، وبسبب تناقض المسألة، له مركبة وحيدة وفق المحور  $Ox$  و تعاكسه في الاتجاه، أي  $\vec{B} = -\vec{B}_x$

لِيُكَنُّ المُحِيطُ الْمَرْبُعُ الْمُبَيَّنُ عَلَى الشَّكْلِ التَّالِيِّ:



التَّجَوَّلُ  $C$  لـ  $\vec{B}$  عَلَى الصُّلْعَيْنِ الْمُوازَيَيْنِ لـ  $Oz$  مَعْدُومٌ لَأَنَّ  $\vec{B}$  عَمْدُونٌ عَلَى كُلِّ مِنْهُمَا، وَ التَّجَوَّلُ عَلَى الصُّلْعَيْنِ الْمُوازَيَيْنِ لِلْمَحْورِ  $Ox$  لَا يَقْعُمُ إِلَّا الْمَرْكَبَةُ  $\vec{B}_x$ . حَسْبُ قَاعِدَةِ آمْبِيرِ فَإِنَّ:

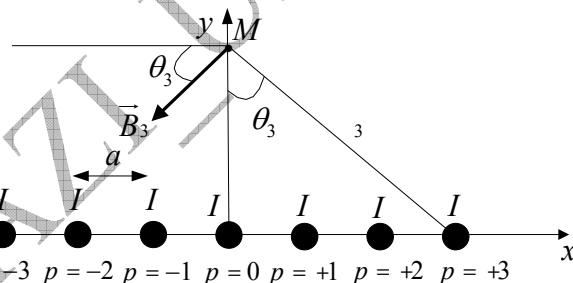
$$C = \sum B \Delta l = \mu_0 \sum_I l \Rightarrow C = Bl + Bl = \mu_0 \cdot Jl \Rightarrow B = \frac{1}{2} \mu_0 \cdot J$$

ج/ إِذْنُ الْحَقْلِ الْمَغَناطِيسِيِّ النَّاتِجُ عَنْ هَذَا التَّيَارِ فِي الْحَالَةِ الْمُذَكُورَةِ هُوَ:

$$\vec{B}_0(M) = -\frac{\mu_0 I}{2a} \vec{u}_x$$

الْإِشَارَةُ - نَاتِجَةٌ عَنْ كُونِ ( $\vec{B}_0(M)$  ، وَ حَسْبُ قَاعِدَةِ الْيَدِ الْيَمْنِيِّ، يَقْعُدُ عَلَى الْمَحْورِ  $Ox$  غَيْرُ أَنَّهُ يَعْكُسُهُ فِي الْاتِّجَاهِ.

$/2$  الْمَسْتَوِيُّ  $x=0$  الَّذِي يَحْتَوِي عَلَى  $M$  هُوَ مَسْتَوِيٌّ تَنَاطِرٌ بِالنَّسْبَةِ لِلتَّيَارَاتِ؛ الْمَرْكَبَةُ الْوَحِيدَةُ الَّتِي لَا تَنْعَدِمُ هِيَ  $B_x$  .  
أَنْظُرْ الشَّكْلَ التَّالِيَّ:



الْسَّلْكَانُ  $p$  و  $-p$  ، الْوَاقِعُ عَلَى الْبَعْدِ  $r_p = \sqrt{p^2 a^2 + y^2}$  مِن  $M$ ، يَوْلُدُ كُلُّ مِنْهُمَا حَقْلًا بِحِيثِ الْمَرْكَبَاتُ  $\vec{B}_{px}$  مَتَعَاكِسَةٌ مُبَاشِرَةٌ فَتَنْعَدِمُ، وَ الْإِحْدَاثَيَّاتُ  $\vec{B}_{py}$  هِيَ:

$$\vec{B}_{px} = \frac{\mu_0 I}{2\pi r_p} (-\cos \theta_p) \vec{u}_x ; B_{px} = \frac{\mu_0 I}{2\pi r_p} (-\cos \theta_p) \Rightarrow B_{px} = -\frac{\mu_0 I}{2\pi r_p} \frac{y}{r_p} \vec{u}_x$$

الْحَقْلُ الْكُلِّيُّ هُوَ مَجْمُوعُ كُلِّ الْمَرْكَبَاتِ  $\vec{B}_{px}$  ، إِذْنَ:

$$\vec{B}(M) = -\frac{\mu_0 I}{2\pi} \sum_p \frac{y}{r_p^2} \vec{u}_x = -\frac{\mu_0 I y}{2\pi} \sum_p \frac{1}{r_p^2} \vec{u}_x \Rightarrow \vec{B} = \vec{B}_0(M) f(y)$$

الْدَّالَّةُ  $f(y)$  يَجِبُ أَنْ تَسَاوِي:

$$-\frac{\mu_0 I y}{2\pi} \sum_p \frac{1}{r_p^2} = -\frac{\mu_0 I}{2a} f(y) \Rightarrow f(y) = \frac{a \cdot y}{\pi} \sum_{p=1}^{+\infty} \frac{1}{p^2 a^2 + y^2}$$

$$f(y) = \frac{a}{y\pi} \sum_{-\infty}^{+\infty} \frac{1}{p^2 \frac{a^2}{y^2} + 1}$$

. 3/ في هذه الحالة الحقل يبقى دائماً موجهاً وفق  $Ox$ . نقوم تقريراً بنفس الحسابات .

$$r_p = \sqrt{\left(p + \frac{1}{2}\right)^2 a^2 + y^2}$$

$$\vec{B}(M) = -\frac{\mu_0 I}{2\pi} \sum_p \frac{y}{r_p^2} \vec{u}_x = -\frac{\mu_0 I y}{2\pi} \sum_p \frac{1}{r_p^2} \vec{u}_x \Rightarrow \vec{B} = \vec{B}_0(M) f(y)$$

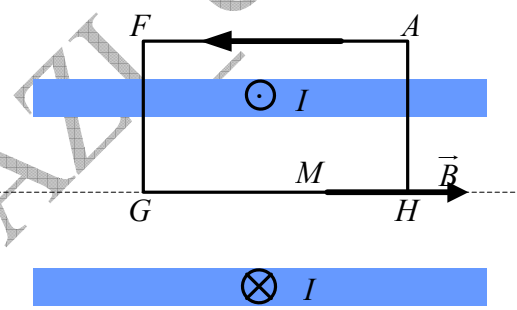
الدالة  $f(y)$  يجب أن تساوي:

$$-\frac{\mu_0 I y}{2\pi} \sum_p \frac{1}{r_p^2} = -\frac{\mu_0 I}{2a} f(y) \Rightarrow f(y) = \frac{a y}{\pi} \sum_{-\infty}^{+\infty} \frac{1}{\left(p + \frac{1}{2}\right)^2 a^2 + y^2}$$

$$f(y) = \frac{a}{y\pi} \sum_{-\infty}^{+\infty} \frac{1}{\left(p + \frac{1}{2}\right)^2 a^2 + y^2}$$

#### التمرين 13.4

1/ الحقل المغناطيسي للحزوون مواز لمحور الوشيعة. يبقى غير متغير في حالة انسحاب موازي للمحور  $z'$  أو بدوران حول هذا المحور.  
نختار المحيط AFGHA لتطبيق نظرية أمبير.



على المслك  $AF$  : الحقل معادل لأنّه خارج الحزوون، طبقاً للنص.

على المسلكين  $FG$  و  $AH$  : شعاع الحقل و كل من المسلكين متعامدان: تجوال الحقل معادل.

على المслك  $C = \int_D^F \vec{B}(r) d\vec{l} \Rightarrow C = B(r)L : GH = L$

شدة التيار المتشابكة:

الطول  $L$  يحتوي على  $NL$  حلقة. في السمك  $R_2 - R_1$  توجد  $N(R_2 - R_1)$  حلقة. إذن شدة التيار التي تجتاز هذه المجموعة من الحلقات المتشابكة هي:  $NL.N(R_2 - R_1) = N^2(R_2 - R_1)L.I$ .

طبق نظرية أمبير:

$$C = B(r)L = \mu_0 N^2 (R_2 - R_1) L I$$

وفي الأخير شدة الحقل المغناطيسي في نقطة من المحور هي :

$$B(r) = \mu_0 N^2 (R_2 - R_1) I$$

2/ محيط مماثل يمر من  $P$  مهما كان موقعها داخل الحزون يؤدي لنفس النتيجة: إذن الحقل منتظم داخل الحزون.

3/ نتبع نفس الطريقة حين تكون النقطة  $M$  داخل اللفات على بعد  $r$  من المحور. يكفي استبدال  $R_1$  بـ  $r$ :

$$B(r) = \mu_0 N^2 (R_2 - r) I$$

4/ التدفق عبر مقطع مستقيم من الحزون يستوجب جمع تدفقين: التدفق داخل الحزون و يساوي:

$$\Phi_i = SB \Big|_{S = \pi R_1^2} \Rightarrow \Phi_i = \pi R_1^2 \mu_0 N^2 (R_2 - R_1) I$$

التدفق عبر اللفات و الذي من أجله نختار إكليلاً نصف قطره  $d$  و سماكه  $dS = 2\pi r dr$ . نكمل العبارة التي كنا قد توصلنا إليها في 3، من  $R_1$  إلى  $R_2$  فنحصل على:

$$\Phi_2 = \int_{R_1}^{R_2} \mu_0 N^2 (R_2 - r) I \cdot 2\pi r dr \Rightarrow \Phi_2 = \mu_0 \pi N^2 I \left( \frac{1}{3} R_2^3 - R_2 R_1^2 + \frac{2}{3} R_1^3 \right)$$

التدفق الكلي هو:

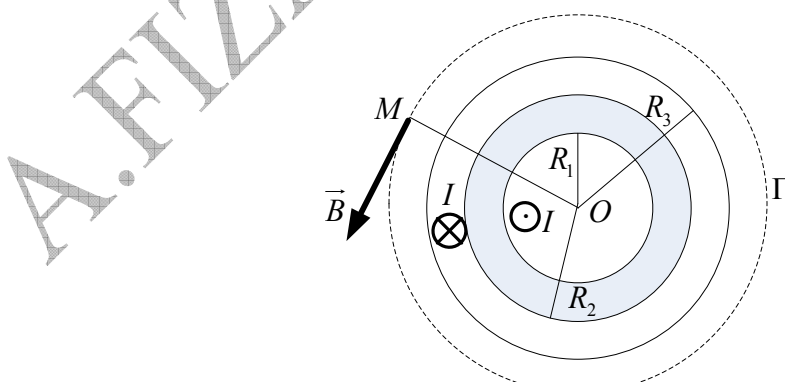
$$\Phi = \Phi_1 + \Phi_2 \Rightarrow \Phi = \frac{1}{3} \pi \mu_0 N^2 I (R_2^3 - R_1^3)$$

#### التمرين 14.2

الحقل قطري و لا يتعلّق إلا بالبعد الذي هو نصف قطر الدائرة (أنظر الشكل أسفله). تجول الحقل المغناطيسي على طول المنحنى  $\Gamma$  الدائري و الذي نصف قطره هو:

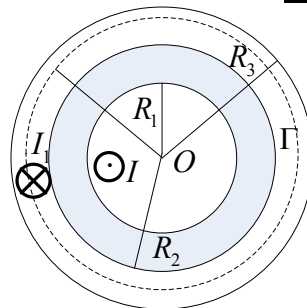
$$C = \oint_{\Gamma} \vec{B}(r) d\vec{l} \Rightarrow C = 2\pi r B(r)$$

$$2\pi r B(r) = \mu_0 \sum_i I_i$$



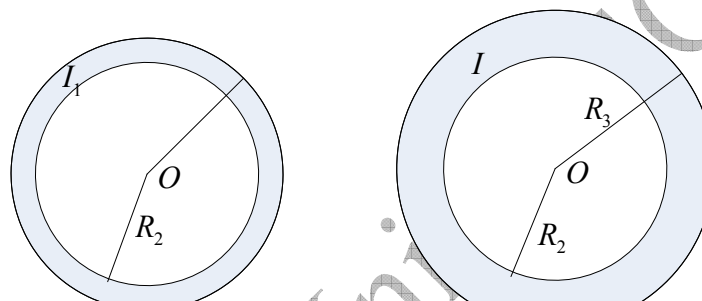
النقطة  $M$  خارج الحيل: شدة التيار الداخلي تساوي شدة التيار الخارج وبالتالي فالمجموع معنده، و منه:  $\mu_0 \sum_i I_i = 0 \Rightarrow B(r) = 0$

النقطة  $M$  بين الناقلين



شدة التيار الداخل و العابر للمحيط  $\Gamma$  هي  $I$ . نعّين عبارة الشدة  $I_1$  للتيار الخارج أي العائد و العابر للمحيط  $\Gamma$  أي التيار الذي يمرّ في هذا الحيز المحصور بين  $R_2$  و  $(r > R_2)$ .

$$\begin{aligned} I_1 &= J\pi(r^2 - R_2^2) \\ I &= J\pi(R_3^2 - R_2^2) \end{aligned} \Rightarrow I_1 = I \frac{r^2 - R_2^2}{R_3^2 - R_2^2}$$



$$I_1 = J\pi(r^2 - R_2^2) \quad I = J\pi(R_3^2 - R_2^2)$$

نطبق نظرية أمبير فنحصل على:

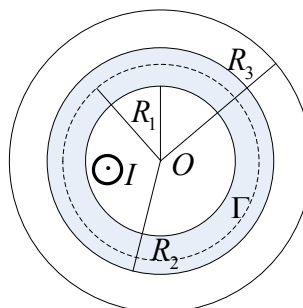
$$2\pi r B(r) = \mu_0 \sum_i I_i = \mu_0 (I - I_1)$$

$$B(r) = \frac{\mu_0 I}{2\pi r} \frac{R_3^2 - r^2}{R_3^2 - R_2^2}$$

مناقشة:

$$B(r) = \frac{\mu_0 I}{2\pi r} \frac{R_3^2 - r^2}{R_3^2 - R_2^2} \rightarrow \begin{cases} r \rightarrow R_3 : B(r) \rightarrow 0 \\ r \rightarrow R_2 : B(r) \rightarrow \frac{\mu_0 I}{2\pi} \end{cases}$$

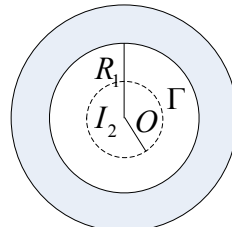
النقطة  $M$  داخل العازل ( $R_1 < r < R_2$ ): في هذه الحالة التيار الداخل وحده يعبر المحيط  $\Gamma$ .



$$2\pi rB(r) = \mu_0 I \Rightarrow B(r) = \frac{\mu_0 I}{2\pi r}$$

$$r \rightarrow R_2 : B(r) \rightarrow \frac{\mu_0 I}{2\pi R_2}$$

النقطة  $M$  داخل الناقل الأول



شدة التيار الداخلي والعاكس للمحيط  $\Gamma$  داخل الحيز المحصور بين  $R_1$  و  $(r < R_1)$  هو :

$$\begin{aligned} I_2 &= J\pi r^2 \\ I &= J\pi R_1^2 \end{aligned} \Rightarrow I_2 = I \frac{r^2}{R_1^2}$$

طبق نظرية أمبير فنحصل على:

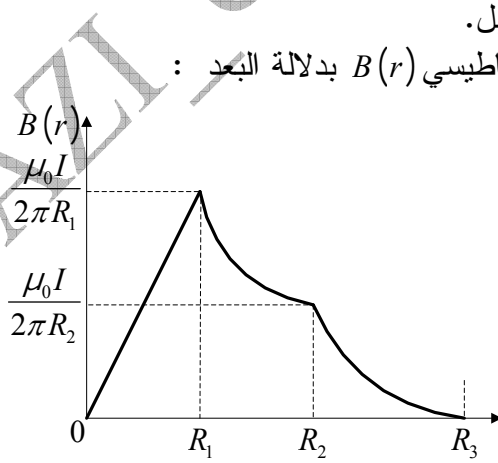
$$2\pi rB(r) = \mu_0 I_2$$

$$B(r) = \frac{\mu_0 I}{2\pi} \frac{r}{R_1^2}$$

$$r \rightarrow R_1 : B(r) \rightarrow \frac{\mu_0 I}{2\pi R_1}$$

تبعاً لكل النتائج المحصل عليها في السؤالين السابقين فإن الحقل مستمر على مختلف السطوح الفاصلة بين مختلف مكونات الحبل.

4/ التمثيل البياني للحقل المغناطيسي  $B(r)$  بدلالة البعد :



#### التمرين 15.4

1/ المعادلات التفاضلية المسيرة لحركة الجملة.

نختار كمعلم لدراسة حركة الجسيمة المعلم الغيلي  $(O, \vec{u}_x, \vec{u}_y, \vec{u}_z)$ . الجسيمة خاضعة لثقلها وقوة لورنتز. غير أنها نهمل تأثير الثقل أمام القوة الكهرومغناطيسية. القانون الثاني لنيوتون يمكننا من كتابة:

$$\vec{F} = m\vec{a} = q(\vec{E} + \vec{v} \wedge \vec{B}) \Rightarrow \vec{a} = \frac{q}{m}(\vec{E} + \vec{v} \wedge \vec{B})$$

لدينا المقادير الشعاعية التالية:

$$\vec{a} \begin{cases} \ddot{x} \\ \ddot{y} \\ \ddot{z} \end{cases}, \quad \vec{v} \begin{cases} \dot{x} \\ \dot{y} \\ \dot{z} \end{cases}, \quad \vec{B} \begin{cases} 0 \\ 0 \\ B \end{cases}, \quad \vec{E} \begin{cases} E \\ 0 \\ 0 \end{cases}$$

يكتب التسارع إذن:

$$\vec{a} \begin{cases} \ddot{x} \\ \ddot{y} \\ \ddot{z} \end{cases} = \frac{q}{m} \left[ \vec{E} \begin{cases} 0 \\ E \\ 0 \end{cases} + \vec{v} \begin{cases} \dot{x} \\ \dot{y} \\ \dot{z} \end{cases} \wedge \vec{B} \begin{cases} 0 \\ 0 \\ B \end{cases} \right] \Rightarrow \begin{cases} \ddot{x} \\ \ddot{y} \\ \ddot{z} \end{cases} = \begin{cases} \frac{q}{m} B \dot{y} \\ \frac{q}{m} E - \frac{q}{m} B \dot{x} \\ 0 \end{cases}$$

بوضع  $\omega = \frac{q}{m} B$ ، نحصل على جملة المعادلات التقاضية التالية التي تحكم حركة الجسيمة:

$$\boxed{\begin{cases} \ddot{x} = \omega \dot{y} \rightarrow (1) \\ \ddot{y} = \frac{q}{m} E - \omega \dot{x} \rightarrow (2) \\ \ddot{z} = 0 \rightarrow (3) \end{cases}}$$

2/ المعادلات الزمنية للمسار.

نظراً للشروط الإبتدائية فإن المعادلة (3) تؤدي إلى  $z = 0$ .

تتم الحركة إذن في المستوى  $xOy$ . تكامل المعادلة (1) يعطي:

$$\dot{x} = \omega y + \dot{x}(0)$$

و بما إن المركبة الإبتدائية للسرعة معروفة  $y(0) = 0$  نحصل على:

$$\dot{x} = \omega y$$

بنقل هذه النتيجة الأخيرة في المعادلة (2) نحصل على المعادلة التقاضية التالية:

$$\ddot{y} + \omega^2 y = \frac{q}{m} E$$

حل هذه المعادلة هو:

$$y = \frac{q}{m\omega^2} E + C \cos \omega t + D \sin \omega t = \frac{q}{m\omega\omega} E + C \cos \omega t + D \sin \omega t$$

بما أن:

$$\omega = \frac{q}{m} B \Rightarrow B = \frac{m\omega}{q}$$

فإن:

$$\frac{q}{m\omega\omega} E = \frac{E}{B\omega} = A$$

و عليه يمكن كتابة حل المعادلة التقاضية السابقة على الشكل:

$$y = A + C \cos \omega t + D \sin \omega t$$

$C$  و  $D$  ثابتان التقاضي و الواجب تحديدهما انطلاقاً من الشروط الإبتدائية. و بالفعل:

$$\begin{aligned}y(0) &= A + C = 0 \Rightarrow C = -A \\ \dot{y}(0) &= D\omega = 0 \Rightarrow D = 0\end{aligned}$$

و في النهاية نحصل على:

$$y = A(1 - \cos \omega t)$$

و بما أن  $\dot{x} = \omega y$  يصبح لدينا  $\dot{x} = A\omega(1 - \cos \omega t)$   
تكميل هذه المعادلة الأخيرة ، أخذين بعين الاعتبار الشروط الإبتدائية  $x(0) = 0$  ، يعطينا:

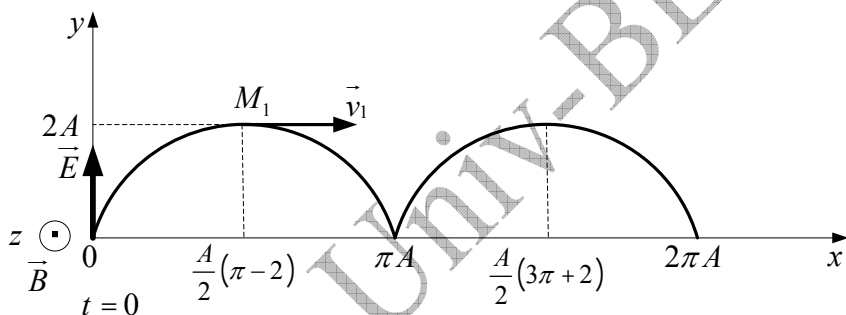
$$x = A(\omega t - \sin \omega t)$$

/3 شكل المسار.

نقيم جدول القيم التالي:

| $\omega t$ | 0 | $\pi/2$        | $\pi$   | $3\pi/2$        | 2        |
|------------|---|----------------|---------|-----------------|----------|
| $x$        | 0 | $A/2(\pi - 2)$ | $\pi A$ | $A/2(3\pi - 2)$ | $2\pi A$ |
| $y$        | 0 | $A$            | $2A$    | $A$             | 0        |

نظراً لدورية الدالتين المستعملتين نقتصر في دراستنا على المجال الذي اخترناه.



/4 شدة السرعة هي:

$$v = \sqrt{\dot{x}^2 + \dot{y}^2} = A\omega [2(1 - \cos \omega t)]^{1/2} = 2A\omega \sin \frac{\omega t}{2}$$

في اللحظة  $t = \frac{\pi}{\omega}$  ، السرعة تساوي:

$$v = 2A\omega = 2\frac{E}{B}$$

/5 استعمال نظرية الطاقة الحركية.

نطبق نظرية الطاقة الحركية  $\Delta E_c = \sum W_i$  بين اللحظتين 0 و  $t = \frac{\pi}{\omega}$

$$\frac{1}{2}mv^2 = \int_0^{M_1} q(\vec{B} + \vec{v} \wedge \vec{B})d\vec{l} = \int_0^{M_1} q\vec{E}d\vec{l} = \int_0^{M_1} qEdy$$

$$\frac{1}{2}mv^2 = qE2A$$

و منه:

$$\left. \begin{aligned} A &= \frac{E}{B\omega} \\ \omega &= \frac{qB}{m} \end{aligned} \right| \Rightarrow v^2 = 4\left(\frac{q}{m}\right)E\left(\frac{Em}{BqB}\right) = 4\frac{E^2}{B^2} \Rightarrow \boxed{v = 2\frac{E}{B}}$$

**التمرين 16.4**

الموقع / 1

ندرس حركة الجسيمة في المرجع الأرضي المفترض أنه غيلي. تخضع الجسيمة لثلاثة قوى: ثقلها، القوة المغناطيسية و قوة الاحتكاك. نهمل التقل أمام القوتين المتبقتين. يسمح المبدأ الأساسي للتحريك بكتابته:

$$\vec{F} = m\vec{a} = -\lambda\vec{v} + q\vec{v} \wedge \vec{B}$$

لدينا المقادير الشعاعية التالية:

$$\vec{a} \begin{cases} \ddot{x} \\ \ddot{y} \\ \ddot{z} \end{cases}, \quad \vec{v} \begin{cases} \dot{x} \\ \dot{y} \\ \dot{z} \end{cases}, \quad \vec{B} \begin{cases} 0 \\ 0 \\ B \end{cases}$$

نكتب الآن التسارع للحركة:

$$\begin{cases} \ddot{x} \\ \ddot{y} = -\frac{\lambda}{m}\dot{x} + \frac{q}{m}By \\ \ddot{z} = \dot{y} \wedge \dot{z} = B \end{cases} \Rightarrow \begin{cases} \ddot{x} \\ \ddot{y} = -\frac{\lambda}{m}\dot{y} - \frac{q}{m}Bx \\ \ddot{z} = -\frac{\lambda}{m}z \end{cases}$$

ندخل كل من  $\omega$  و  $\tau$  فحصل على جملة المعادلات التقاضية التالية التي تحكم حركة الجسيمة:

$$\begin{aligned} \ddot{x} &= -\frac{\dot{x}}{\tau} + \omega\dot{y} \\ \ddot{y} &= -\frac{\dot{y}}{\tau} - \omega\dot{x} \\ \ddot{z} &= -\frac{z}{\tau} \end{aligned}$$

ن كامل المعادلات الثلاثة المتحصل عليها فينتج لدينا:

$$\begin{aligned} \dot{x} &= -\frac{x}{\tau} + \omega y + v_0 \\ \dot{y} &= -\frac{y}{\tau} - \omega x \\ \dot{z} &= -\frac{z}{\tau} \end{aligned}$$

حل المعادلة التقاضية الأخيرة، إذا أخذنا بعين الاعتبار الشروط الابتدائية و بما أن الحركة تتم في المستوى  $xOy$  ، هو:

$$\dot{z} + \frac{1}{\tau}z = 0 \Rightarrow z = K \exp\left(-\frac{t}{\tau}\right) = 0$$

القوة المغناطيسية لا تعمل لأنها عمودية على مسار الجسيمة. القوة الوحيدة التي تعمل خلال حركة الجسيمة هي إذن قوة الاحتكاك و عملها مقاوم و بالتالي فهو سالب. الطاقة الحركية للجسيمة تتراقص و سرعتها تؤول إلى الصفر. يكون لدينا إذن:

$$t \rightarrow \infty \Rightarrow \begin{cases} \dot{x}_\infty = 0 \\ \dot{y}_\infty = 0 \end{cases}$$

فحصل على:

$$\dot{x}_\infty = -\frac{x_\infty}{\tau} + \omega y_\infty + v_0 = 0$$

$$\dot{y}_\infty = -\frac{y_\infty}{\tau} - \omega x_\infty = 0$$

في النهاية:

$$\begin{cases} -\frac{x_\infty}{\tau} + \omega y_\infty + v_0 = 0 \\ -\frac{y_\infty}{\tau} - \omega x_\infty = 0 \end{cases} \Rightarrow \overrightarrow{OM}_\Omega \left| \begin{array}{l} x_\infty = \frac{\tau v_0}{1 + \omega^2 \tau^2} \\ y_\infty = \frac{-\tau^2 \omega v_0}{1 + \omega^2 \tau^2} \\ z_\infty = 0 \end{array} \right.$$

2/ المعادلة القطبية.  
بالإحداثيات القطبية:

$$\begin{aligned} \vec{r} &= \overrightarrow{M_\Omega M} = \overrightarrow{OM} - \overrightarrow{OM}_\Omega = r \vec{u}_r \\ \vec{v} &= \frac{d\overrightarrow{OM}}{dt} - \underbrace{\frac{d\overrightarrow{OM}_\Omega}{dt}}_{0(t \rightarrow \infty)} = \frac{d\overrightarrow{M_\Omega M}}{dt} = \frac{d\vec{r}}{dt} = \dot{r} \vec{u}_r + r \dot{\theta} \vec{u}_\theta \rightarrow (1) \end{aligned}$$

كنا كتبنا في مستهل هذا الحل العلاقة الأساسية للتحريك:

$$\begin{aligned} m\vec{a} &= -\lambda \vec{v} + q\vec{v} \wedge \vec{B} \Rightarrow \vec{a} = -\frac{\lambda}{m} \vec{v} + \frac{q}{m} \vec{v} \wedge \vec{B} \\ \vec{a} &= -\frac{\lambda}{m} \vec{v} + \frac{q}{m} \vec{v} \wedge B \vec{u}_z = -\frac{\lambda}{m} \vec{v} + \frac{q}{m} B \vec{v} \wedge \vec{u}_z \end{aligned}$$

تكامل العبارة الأخيرة ينتهي:

$$\begin{aligned} \vec{v} &= \frac{d\overrightarrow{OM}}{dt} = -\frac{\lambda}{m} \overrightarrow{OM} + \frac{q}{m} B (\overrightarrow{OM} \wedge \vec{u}_z) + \vec{v}_0 \\ \vec{v} &= -\frac{1}{\tau} \overrightarrow{OM} + \omega (\overrightarrow{OM} \wedge \vec{u}_z) + \vec{v}_0 \rightarrow (2) \end{aligned}$$

لما  $t \rightarrow \infty$  هذه المعادلة الأخيرة تكتب:

$$\vec{0} = -\frac{1}{\tau} \overrightarrow{OM}_\Omega + \omega (\overrightarrow{OM}_\Omega \wedge \vec{u}_z) + \vec{v}_0 \rightarrow (3)$$

نطرح المعادلتين (2) و (3) :

$$\vec{v} = -\frac{1}{\tau} (\overrightarrow{OM} - \overrightarrow{OM}_\Omega) + \omega (\overrightarrow{OM} - \overrightarrow{OM}_\Omega) \wedge \vec{u}_z$$

$$\vec{v} = \frac{d\overrightarrow{OM}}{dt} = \frac{d\vec{r}}{dt} = -\frac{\vec{r}}{\tau} + \omega \vec{r} \wedge \vec{u}_z$$

نحصل على:

$$\vec{v} = \frac{d\vec{r}}{dt} = -\frac{1}{\tau} \vec{r} + \omega \vec{r} \wedge \vec{u}_z \Leftrightarrow \vec{v} = \frac{d\vec{r}}{dt} = -\frac{r}{\tau} \vec{u}_r + \omega r \underbrace{\vec{u}_r \wedge \vec{u}_z}_{\vec{u}_\theta}$$

$$\vec{v} = -\frac{r}{\tau} \vec{u}_r + \omega r \vec{u}_\theta \rightarrow (4)$$

بمطابقة المعادلتين (1) و (4) حد لحد، نتوصل إلى:

$$\begin{cases} \dot{r} = -\frac{v_0}{\tau} \\ \dot{\theta} = \omega \end{cases}$$

نکامل فنحصل على:

$$\begin{cases} r = K \exp\left(-\frac{t}{\tau}\right) \\ \theta = \omega t \end{cases}$$

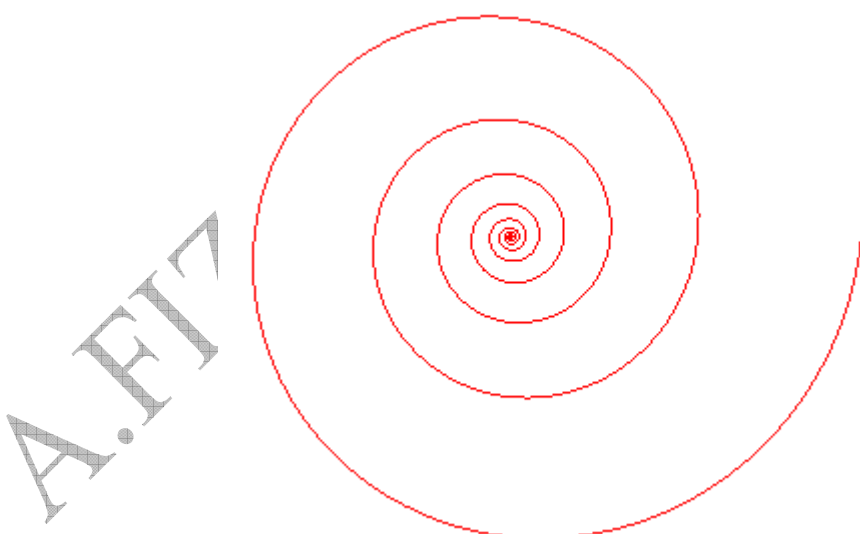
لتحديد  $K$  نعرف أن في اللحظة  $t=0$  توجد الجسيمة في مبدأ المعلم، هذا المبدأ يوجد على بعد ما لانهاية من الموضع  $M_\Omega$ . أي بمعنى آخر بالنسبة للنقطة  $M_\Omega$  ذات الإحداثيات  $(x_\infty, y_\infty)$  فإن إحداثتي مبدأ المعلم هما  $(-y_\infty, x_\infty)$ . لدينا إذن:

$$r(t=0) = \sqrt{x_\infty^2 + y_\infty^2} = \frac{v_0 \tau}{\sqrt{1 + \omega^2 \tau^2}} = K$$

في النهاية نحصل على:

$$r = \frac{v_0 \tau}{\sqrt{1 + \omega^2 \tau^2}} \exp\left(-\frac{\theta}{\omega \tau}\right)$$

هذه النتيجة تمثل المعادلة القطبية لحزون أو لولب لوغاريثمي (spirale logarithmique).



### التمرين 17.2

/ القوة المحركة الكهربائية التحريرية داخل وشيعة هي  $\frac{d\Phi(t)}{dt} = e(t)$ ، أين التدفق الكلي للحقل المغناطيسي عبر هذه الوشيعة هو  $\Phi(t) = NSB(t)$ ، حيث  $N$  يمثل عدد اللفات و  $S$  سطح الوشيعة.

إذن:

$$e(t) = -NS \frac{dB(t)}{dt} \rightarrow \frac{dB(t)}{dt} = -\frac{e(t)}{NS} \Rightarrow B(t) = -25 \int e(t) dt$$

من أجل  $t \leq 0$  فإن  $e_0 = 0$  و  $B_0 = 0$  عليه

$$B(t) = -25e \int_0^t dt = -25(+3) \int_0^t dt \Rightarrow B(t) = -75t : 0 < t < 4ms$$

$$\boxed{B(4.10^{-3}s) = -0.3T} , t = 4ms$$

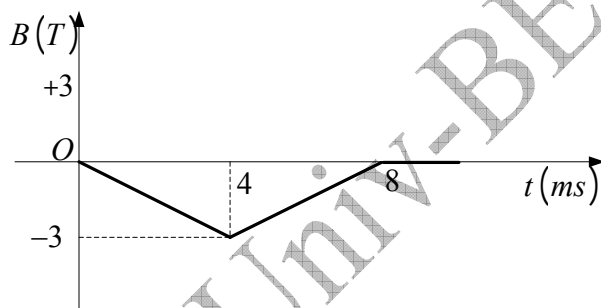
من أجل  $4 < t < 8ms$

$$B(t) - B(4.10^{-3}s) = -25e \int_{4.10^{-3}}^t dt = -25(-3) \int_{4.10^{-3}}^t dt \Rightarrow B(t) - B(4.10^{-3}s) = 75t - 0.3$$

في النهاية، عبارة الحقل المغناطيسي اللحظي هي:

$$B(t) = 75t - 0.6 : t > 8ms \text{ و } e = 0$$

يمثل الشكل الموجي تغيرات الحقل المغناطيسي بدلالة الزمن.



#### التمرين 18.4

الحقل المغناطيسي  $B$  الناتج عن الحلزون الذي يحتازه التيار الكهربائي  $I$  يساوي:

$$B = \mu_0 n_1 I$$

التدفق الذي يحتاز الوشيعة يساوي:

$$\Phi = N_2 B S_2 \cos \theta$$

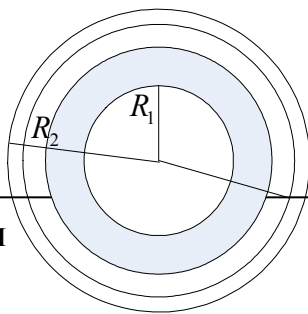
بعد تعويض  $B$  نحصل على:

$$\Phi = N_2 S_2 \mu_0 n_1 \cos \theta I \quad \Phi = L I \Rightarrow L = N_2 S_2 \mu_0 n_1 \cos \theta$$

#### التمرين 19.4

نفترض أن الناقل الداخلي يحتازه التيار  $I_0$ ، موجه إلى الأمام؛ و الناقل الخارجي يحتازه التيار  $I_0$  موجه إلى الخلف.

الحقل المغناطيسي الناتج في نقطة تبعد بـ عن المحور هو حسب قاعدة أمبير:



$$B \cdot 2\pi r = \mu_0 I \Rightarrow B = \frac{\mu_0 I}{2\pi}$$

$I$  تساوي مجموع التبار داخل الحلقة التي نصف قطرها .  
تدفق  $B$  عبر مقطع مستقيم عرضه  $d$  و ارتفاعه  $h$  نحصل عليه كالتالي:

$$d\Phi = BdS = Bhdr = \mu_0 Ih \frac{dr}{2\pi r} \Rightarrow \Phi = \frac{\mu_0 Ih}{2\pi} \int_{R_1}^{R_2} \frac{dr}{r}$$

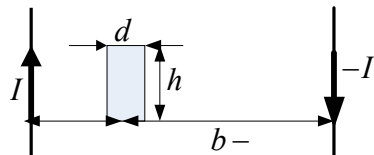
$$\Phi = \frac{\mu_0 Ih}{2\pi} \ln \frac{R_2}{R_1}$$

نعرف أن التدفق يتاسب طردا مع التحرير الذاتي:  $\Phi = LI$ . بمطابقة عبارتي التدفق المتحصل عليهما نتوصل إلى عبارة التحرير الذاتي للحبل:

$$L = \frac{\mu_0 h}{2\pi} \ln \frac{R_2}{R_1}$$

#### التمرين 20.4

الحقل المغناطيسي الناتج عن الناقلين المستقيمين في نقطة، تبعد عن الأول بالمسافة  $b$  وعن الثاني  $-b$ ، يساوي:



$$B = \mu_0 \frac{I}{2\pi r} + \mu_0 \frac{I}{2\pi(b-r)}$$

التدفق العنصري لهذا الحقل عبر شريط عرضه عنصري  $d$  و ارتفاعه  $h$  موازي للناقلين هو:

$$d\Phi = BS = Bhdr \Rightarrow d\Phi = \mu_0 \frac{hI}{2\pi} \left( \frac{1}{r} + \frac{1}{b-r} \right) dr$$

للحصول على التدفق كاملا يجب القيام بالمكاملة من  $a$  إلى  $b-a$ :

$$\Phi = \mu_0 \frac{hI}{2\pi} \int_a^{b-a} \left( \frac{1}{r} + \frac{1}{b-r} \right) dr \Rightarrow \Phi = \mu_0 \frac{hI}{2\pi} \left[ \ln r \Big|_a^{b-a} - \ln(b-r) \Big|_a^{b-a} \right]$$

$$\boxed{\Phi = \mu_0 \frac{hI}{\pi} \ln \frac{b-a}{a}}$$

في الحالة العامة التدفق لحقل مغناطيسي عبر سطح معين هو:  $\Phi = LI$ ، حيث  $L$  يمثل معامل التحرير. بمطابقة نحصل على التحرير الذاتي لهذه الجملة و هو:

$$\boxed{L = \mu_0 \frac{h}{\pi} \ln \frac{b-a}{a}}$$